

QUASICLASSICAL AND QUANTUM RATE COEFFICIENTS FOR THE $\text{N} + \text{N}_2$ REACTION

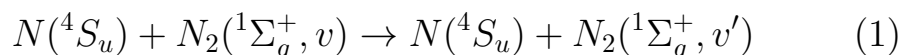
A. Laganà, G. Ochoa de Aspuru,
Dipartimento di Chimica, Università di Perugia,
Perugia (Italy)
E. Garcia,
Departamento de Química Física, Universidad del País Vasco,
Vitoria (Spain)

Abstract

An electronic version (containing minor editorial changes) of the quasiclassical and reduced dimensionality quantum state-to-state rate coefficients calculated for the $\text{N} + \text{N}_2(v) \rightarrow \text{N} + \text{N}_2(v')$ reaction are given at different translational and rotational temperatures for a wide range of initial vibrational states. The original printed text was published as A. Laganà, G. Ochoa de Aspuru, E. Garcia 1996. Quasiclassical and quantum rate coefficients for the $\text{N} + \text{N}_2$ reaction by the Università di Perugia, PERUGIA.

1. Introduction

The accurate calculation of the detailed (from a given reactant vibrational state v to a given product vibrational state v') rate coefficients of the



elementary reaction is of key importance for modelling the composition of the air both under equilibrium[1] regimes and non-equilibrium regimes.[2] This has prompted us to carry out extended quasiclassical trajectory[3] and reduced dimensionality quantum calculations[4] of these rate coefficients.

Quasiclassical (QCT) calculations were carried out using different potential energy surfaces (PESs). The more extensively used PES is a LEPS[5] potential having a collinear barrier of 1.56 eV. Other calculations were carried out on model PESs of the LAGROBO type[6] obtained by linearly combining three rotating bond order model potentials[7] for all the possible N + N₂ channels.

On the same PESs quantum calculations were also performed. However, since a full three dimensional quantum calculation of N + N₂ rate coefficients is still out of reach even when using the most advanced computer technology presently available, we adopted a reduced dimensionality quantum procedure of the Reactive Infinite Order Sudden (RIOS) type.[4] The RIOS approach has the advantage of making the dynamical problem two dimensional by decoupling both orbital and rotational motions. Then, the three dimensional nature of the process is regained in an approximate way by averaging over the collision angle Θ .

In our investigation the temperature T of the system (or, more in detail, its translational T_{tr} and rotational T_{rot} components) was analyzed by varying T_{tr} from 500 K to 8000 K and T_{rot} from 500 K to 4000 K.

2. The quasiclassical calculations

Although quasiclassical approaches are conceptually simple, to carry out state-to-state calculations at different temperatures of the system is not a trivial computational task. In fact, in a quasiclassical approach, the detailed (from a given reactant vibrational state v to a given product vibrational state v') rate coefficients are formulated as

$$k_{v,v'}(T_{tr}, T_{rot}) = \frac{\sum_j g(2j+1)e^{-\varepsilon_j/kT_{rot}}}{(k^3 T_{tr}^3 \pi \mu / 8)^{1/2} Q_R} \int_0^\infty dE_{tr} E_{tr} e^{-E_{tr}/kT_{tr}} \sigma_{vj,v'}(E_{tr}) \quad (2)$$

where g is 2 for even and 1 for odd rotational levels, μ is the reduced mass of N-N₂, k is the Boltzmann's constant, Q_R is the N₂ rotational partition function, E_{tr} is the translational energy, ε_j the energy of the j th rotational state, and $\sigma_{vj,v'}$ is the degeneracy averaged detailed reactive cross section $\sigma_{vj,v'j'}$ summed over the product rotational states j' . The quasiclassical detailed cross section is defined as a five dimensional integral. When using a Monte Carlo technique this is usually approximated as

$$\sigma_{vj,v'j'} = \frac{\pi b_{max}^2}{M} \sum_{i=1}^M f_{vj,v'j'}(\xi_1, \xi_2, \xi_3, \xi_4, \xi_5) \quad (3)$$

where M is the number of values of the $f_{vj,v'j'}(\xi_1, \xi_2, \xi_3, \xi_4, \xi_5)$ function considered for the Monte Carlo approximation and b_{max} is the maximum value of the impact parameter leading to reactive encounters. $f_{vj,v'j'}(\xi_1, \xi_2, \xi_3, \xi_4, \xi_5)$ is a Boolean function. Its value is 1 only when, after integrating the motion equations (trajectory) starting from a given initial values of the five ξ variables with a vibrational and a rotational energy corresponding to those of the quantum vj reactant state, the final outcome can be assigned to the $v'j'$ quantum state of the products. This assignment is made using the nearest integer method.[8]

To calculate state-to-state rate coefficients for M_v reactant vibrational states, $M_{T_{tr}}$ translational temperatures, $M_{T_{rot}}$ rotational temperatures using batches of M_{batch} (in our calculations not less than 10^4) trajectories, a total number of $M = M_v M_{T_{tr}} M_{T_{rot}} M_{batch}$ trajectories need to be integrated. When the number of vibrational states M_v (the value of M_{batch} is also related to the value of M_v since when the number of internal states increases, the size of the trajectory batch has to be increased both to have a suitable statistics and to allow larger impact parameters) and/or the number of temperatures to be considered is fairly high, the cpu time needed for the calculations is so large that there is no alternative to the use of parallel[9] computers. In our case, quasiclassical trajectory calculations were carried out on parallel Cray and IBM machines as well as on a hypercube nCUBE 2.[10]

3. The RIOS calculations

In the adopted RIOS approach, the degeneracy averaged detailed reactive cross section $\sigma_{vj,v'}$ needed to evaluate rate coefficients of equation (2) is approximated in terms of the ground rotational state cross section $\sigma_{vj=0,v'}$ values using the relationship $\sigma_{vj,v'}(E_{tr}) = \sigma_{vj=0,v'}(E_{tr} - \varepsilon_{vj})$ where ε_{vj} is the energy of the vj th vibrotational state. The ground rotational state cross section is formulated as

$$\sigma_{vj=0,v'}(E_{tr}) = \frac{\pi}{k_v^2} \sum_l (2l+1) \int_{-1}^1 |S_{vl,v'}(\Theta; E_{tr})|^2 d \cos \Theta \quad (4)$$

where $k_v^2 = 2\mu(E - \varepsilon_v)$, E is the total energy, ε_v is the energy of the vibrational state v and $S_{vl,v'}$ is the proper element of the \mathbf{S} matrix. The \mathbf{S} matrix is evaluated by integrating the coupled differential equations

$$\left[\frac{d^2}{dR^2} - D \right] \psi(R; \Theta) = 0 \quad (5)$$

obtained from the Infinite Order Sudden formulation of the Schrödinger equation

$$\begin{aligned} \left[-\frac{\hbar^2}{2\mu} \left(\frac{1}{R} \frac{\partial^2}{\partial R^2} R + \frac{1}{r} \frac{\partial^2}{\partial r^2} r - \frac{A_l}{R^2} - \frac{B_j}{r^2} \right) + V(R, r; \Theta) \right] \Xi^{RIOS}(R, r; \Theta) \\ = E \Xi^{RIOS}(R, r; \Theta) \end{aligned} \quad (6)$$

by expanding the scattering RIOS wavefunction $\Xi^{RIOS}(R, r; \Theta)$ in terms of the functions $\zeta_v(r; R, \Theta)$ of the bound coordinate r eigensolutions of the equation

$$\left[-\frac{\hbar^2}{2\mu} \frac{d^2}{dr^2} + V(r; R, \Theta) - \varepsilon_v \right] \zeta_v(r; R, \Theta) = 0 \quad (7)$$

R and r are the usual mass scaled Jacobi coordinates belonging, where appropriate, to the reactant or to the product arrangement. In the intermediate strong interaction region for sake of computational convenience, use is made of related circular coordinates.

Equation (6) is obtained from the exact (electronically adiabatic) nuclear Schrödinger equation by applying at the same time both the centrifugal sudden and the energy sudden approximations. In equation (6), $A_l = \hbar^{-2}l(l+1)$ and $B_j = \hbar^{-2}j(j+1)$ are the coefficients of the decoupled orbital and rotational terms of the Hamiltonian with l and j being the related quantum numbers.

The calculation of the RIOS rate coefficients for the same range of temperatures considered for quasiclassical trajectories is also a too heavy computational task for an ordinary sequential computer. In a quantum approach, in fact, one has first to solve the stationary Schrödinger equation for the whole range of energies relevant for the integration of equation (5). Therefore, to deal with both the large number of energy integration grid points and the increase of the basis dimension with energy, an efficient implementation of the code on parallel computers is again needed. The stability as well as the efficiency of our RIOS code when running on parallel computers have been recently investigated.[11]

4. Tables of results

Calculated rate coefficients are reported in the enclosed tables

for a given translational and rotational temperature. Units are $10^x \text{cm}^3 \text{molec}^{-1} \text{s}^{-1}$ with x being given in the round brackets. Initial vibrational states v (first row) are given in steps of 5 units while all the relevant final states v' are reported (first column).

Calculated rate constants are reported in the following order:

1. QCT non reactive LEPS values (Tables I - XX);
2. QCT reactive LEPS values (Tables XXI - XL);
3. QCT non reactive L0 values (Tables XLI - XLIV);
4. QCT reactive L0 values (Tables XLV - XLVIII);
5. QCT non reactive L1 values (Tables XLIX - LII);
6. QCT reactive L1 values (Tables LIII - LVI);
7. QCT non reactive L2 values (Tables LVII - LX);
8. QCT reactive L2 values (Tables LXI - LXIV);
9. QCT non reactive L3 values (Tables LXV - LXVIII);
10. QCT reactive L3 values (Tables LXIX - LXXII);
11. RIOS reactive LEPS values (Tables LXXIII - XCII);
12. RIOS reactive L0 values (Tables XCIII - CXII);
13. RIOS reactive L1 values (Tables CXIII - CXXXII);
14. RIOS reactive L2 values (Tables CXXXIII - CLII);
15. RIOS reactive L3 values (Tables CLIII - CLXXII).

Quasiclassical non reactive results have to be taken with some caution. As is well known, elastic ($v = v'$) rates are by definition unconverged. Inelastic ones, have been calculated using the same value of maximum impact parameter as reactive data. This and the poorer performance of the NI method for non reactive transitions makes related computed rate constants less accurate. In addition, since the main checks for the reliability of the empirical PESs used for the calculations was carried out by comparing with measured thermal rate constants,[12] the non reactive portion of the surface is not guaranteed to properly describe non reactive collisions.

Infinite order sudden values are reported only for reactive rates. In fact, the dynamical constraints introduced to apply the RIOS computational scheme prevent a physically acceptable description of non reactive events.

Acknowledgments

The authors wish to thank the Italian Space Agency (ASI), the Progetti Finalizzati of CNR (Italy) and the Spanish DG-ICYT (grant PS-92-0295) for financial support and computer time allocation. Financial support has also been given by the Integrated Spain-Italy Action (grant HI-92-012). One of us (G.O.A.) acknowledges a fellowship of the Basque Government.

References

- [1] D. Giordano, and L. Maraffa, *Proceedings of the AGARD-CP-514 Symposium on Theoretical and Experimental Methods in Hypersonic Flows*, 1992, 26-1.
- [2] *Nonequilibrium vibrational kinetics*; M. Capitelli Ed. (Springer-Verlag, Berlin, 1986); *Nonequilibrium Processes in partially ionized gases*; M. Capitelli and J.N. Bardsley Eds. (Plenum, New York, 1990); I. Armenise, M. Capitelli, E. Garcia, C. Gorse, A. Laganà, and S. Longo, *Chem. Phys. Letters*, **200**, 597 (1992).
- [3] D.G. Truhlar and J.T. Muckerman, in *Atom Molecule collision theory: a guide for the experimentalist*, R.B. Bernstein Ed. (Plenum, New York, 1979) chap. 16; D.L. Bunker, *Methods in Comput. Phys.* **10**, 287 (1971); M.L. Raff, and D.L. Thompson, in *Theory of Chemical reaction Dynamics*, M. Baer Ed. (CRC Press, Boca Raton, 1985) Vol. III, p. 1.
- [4] A. Laganà, E. Garcia, and O. Gervasi, *J. Chem. Phys.* **89**, 7238 (1988).
- [5] A. Laganà, E. Garcia, and L. Ciccarelli, *J. Phys. Chem.* **91**, 312 (1987).
- [6] E. Garcia and A. Laganà, *J. Chem. Phys.* **103**, 5410 (1995); A. Laganà, G. Ochoa de Aspuru, and E. Garcia, The effect of varying the transition state geometry on N + N₂ rate coefficients (in preparation).

- [7] A. Laganà, *J. Chem. Phys.* **95**, 2216 (1991); A. Laganà, G. Ferraro, E. Garcia, O. Gervasi, and A. Ottavi, *Chem. Phys. Letters* **168**, 341 (1992).
- [8] J.N.L. Connor and A. Laganà, *Comp. Phys. Communications* **17**, 145 (1979)
- [9] G. Fox, M. Johnson, G. Lyzenga, S. Otto, J. Salmon, D. Walker, *Solving Problems on Concurrent Processors* (Prentice-Hall, London, 1988).
- [10] R. Baraglia, R. Ferrini, D. Laforenza, R. Perego, A. Laganà, and O. Gervasi, *J. Math. Chem.* **11**, 1 (1992); A. Laganà, O. Gervasi, R. Baraglia, D. Laforenza, and R. Perego, *Theor. Chim. Acta* **84**, 413 (1992).
- [11] E. Garcia, O. Gervasi, and A. Laganà, "Approximate Quantum Techniques for Atom Diatom Reactions" in *Supercomputer Algorithms for Reactivity, Dynamics and Kinetics of Small Molecules*, A. Laganà, Ed. (Kluwer, Dordrecht, 1989), p. 271; A. Laganà, O. Gervasi, R. Baraglia and D. Laforenza, "Vector and Parallel Restructuring for Approximate Quantum Reactive Scattering Computer Codes in High Performance Computing", J.L. Delahyes and E. Gelenbe Eds, (North Holland, Amsterdam, 1989), p. 287; R. Baraglia, D. Laforenza, R. Perego, A. Laganà, O. Gervasi, M. Fruscione, P. Stofella, *CNR Report* **8/20**, 1991; A. Laganà, *Comp. Phys. Communications* **70**, 223 (1992); G.G. Balint-Kurti, F. Gögtas, S.P. Mort, A.R. Offer, A. Laganà, and O. Gervasi, *J. Chem. Phys.* **99**, 9567 (1993).

Virt&I-Comm.5.2014.11

- [12] A. Laganà, E. Garcia, *J. Phys. Chem.* **98**, 502 (1994); A. Laganà, G. Ochoa de Aspuru, and E. Garcia, *AIAA Technical Report*, **94-1986**, 1 (1994).

Virt&I-Comm.5.2014.11

Table I		QCT LEPS NON REACTIVE					$T_{tr}= 500.$	$T_{rot}= 500.$	
v'	v	10	15	20	25	30	35	40	45
0		.000(-00)	.167(-14)	.127(-13)	.153(-13)	.485(-13)	.697(-13)	.863(-13)	.145(-12)
1		.000(-00)	.119(-14)	.490(-14)	.262(-13)	.297(-13)	.827(-13)	.988(-13)	.764(-13)
2		.000(-00)	.000(-00)	.104(-13)	.191(-13)	.232(-13)	.906(-13)	.956(-13)	.110(-12)
3		.000(-00)	.000(-00)	.902(-14)	.162(-13)	.425(-13)	.661(-13)	.556(-13)	.147(-12)
4		.000(-00)	.000(-00)	.201(-14)	.266(-13)	.291(-13)	.314(-13)	.868(-13)	.856(-13)
5		.000(-00)	.105(-14)	.246(-14)	.130(-13)	.198(-13)	.435(-13)	.890(-13)	.761(-13)
6		.000(-00)	.162(-14)	.585(-14)	.207(-13)	.495(-13)	.448(-13)	.689(-13)	.113(-12)
7		.000(-00)	.853(-15)	.108(-13)	.262(-13)	.505(-13)	.718(-13)	.784(-13)	.899(-13)
8		.000(-00)	.108(-14)	.220(-14)	.204(-13)	.308(-13)	.898(-13)	.947(-13)	.154(-12)
9		.000(-00)	.000(-00)	.113(-13)	.165(-13)	.520(-13)	.904(-13)	.109(-12)	.990(-13)
10		.170(-09)	.000(-00)	.765(-14)	.372(-13)	.646(-13)	.599(-13)	.131(-12)	.141(-12)
11			.902(-15)	.142(-13)	.428(-13)	.626(-13)	.929(-13)	.135(-12)	.154(-12)
12			.818(-15)	.305(-14)	.333(-13)	.526(-13)	.116(-12)	.116(-12)	.128(-12)
13			.119(-14)	.133(-13)	.229(-13)	.939(-13)	.111(-12)	.154(-12)	.187(-12)
14			.953(-15)	.933(-14)	.261(-13)	.750(-13)	.105(-12)	.158(-12)	.126(-12)
15			.169(-09)	.108(-14)	.460(-13)	.763(-13)	.112(-12)	.185(-12)	.153(-12)
16				.137(-13)	.437(-13)	.100(-12)	.153(-12)	.147(-12)	.208(-12)
17				.678(-14)	.559(-13)	.936(-13)	.170(-12)	.170(-12)	.155(-12)
18				.674(-14)	.567(-13)	.125(-12)	.177(-12)	.184(-12)	.139(-12)
19				.136(-13)	.444(-13)	.158(-12)	.192(-12)	.224(-12)	.213(-12)
20				.207(-09)	.480(-13)	.104(-12)	.244(-12)	.254(-12)	.272(-12)
21					.615(-13)	.140(-12)	.235(-12)	.372(-12)	.304(-12)
22					.764(-13)	.118(-12)	.222(-12)	.330(-12)	.394(-12)
23					.560(-13)	.189(-12)	.320(-12)	.358(-12)	.471(-12)
24					.797(-13)	.164(-12)	.364(-12)	.362(-12)	.350(-12)
25					.248(-09)	.183(-12)	.434(-12)	.389(-12)	.356(-12)
26					.199(-14)	.214(-12)	.355(-12)	.523(-12)	.591(-12)
27						.217(-12)	.403(-12)	.485(-12)	.493(-12)
28						.232(-12)	.496(-12)	.695(-12)	.655(-12)
29						.351(-12)	.427(-12)	.674(-12)	.566(-12)
30						.286(-09)	.538(-12)	.691(-12)	.732(-12)
31						.180(-13)	.542(-12)	.923(-12)	.840(-12)
32							.648(-12)	.936(-12)	.907(-12)
33							.699(-12)	.102(-11)	.108(-11)
34							.781(-12)	.107(-11)	.110(-11)
35							.320(-09)	.966(-12)	.138(-11)
36							.492(-13)	.113(-11)	.127(-11)
37							.352(-14)	.118(-11)	.151(-11)
38								.130(-11)	.172(-11)
39								.142(-11)	.147(-11)
40								.339(-09)	.166(-11)
41								.144(-12)	.215(-11)
42								.190(-13)	.230(-11)
43									.250(-11)
44									.277(-11)
45									.339(-09)
46									.456(-12)
47									.344(-13)
48									.281(-14)
49									.115(-14)

Virt&I-Comm.5.2014.11

Table II		QCT LEPS NON REACTIVE						$T_{tr}=500.$	$T_{rot}=1000.$
v'	v	10	15	20	25	30	35	40	45
0		.000(-00)	.000(-00)	.119(-13)	.316(-13)	.572(-13)	.888(-13)	.731(-13)	.199(-12)
1		.000(-00)	.000(-00)	.779(-14)	.997(-14)	.738(-13)	.528(-13)	.463(-13)	.849(-13)
2		.000(-00)	.000(-00)	.249(-13)	.391(-13)	.264(-13)	.581(-13)	.118(-12)	.934(-13)
3		.000(-00)	.000(-00)	.979(-14)	.286(-13)	.413(-13)	.731(-13)	.891(-13)	.115(-12)
4		.000(-00)	.000(-00)	.850(-14)	.379(-13)	.564(-13)	.923(-13)	.106(-12)	.703(-13)
5		.000(-00)	.203(-14)	.547(-14)	.315(-13)	.592(-13)	.451(-13)	.120(-12)	.186(-12)
6		.000(-00)	.000(-00)	.964(-14)	.299(-13)	.212(-13)	.697(-13)	.135(-12)	.195(-12)
7		.000(-00)	.000(-00)	.755(-14)	.279(-13)	.867(-13)	.106(-12)	.797(-13)	.117(-12)
8		.000(-00)	.239(-14)	.117(-13)	.573(-13)	.856(-13)	.611(-13)	.849(-13)	.139(-12)
9		.000(-00)	.196(-14)	.191(-13)	.362(-13)	.562(-13)	.114(-12)	.111(-12)	.944(-13)
10	.168(-09)	.449(-14)	.148(-13)	.343(-13)	.343(-13)	.948(-13)	.128(-12)	.986(-13)	.811(-13)
11		.000(-00)	.265(-13)	.509(-13)	.711(-13)	.112(-12)	.143(-12)	.114(-12)	.114(-12)
12		.163(-14)	.834(-14)	.671(-13)	.387(-13)	.495(-13)	.125(-12)	.167(-12)	.167(-12)
13		.174(-14)	.152(-13)	.397(-13)	.596(-13)	.129(-12)	.129(-12)	.141(-12)	.141(-12)
14		.398(-14)	.710(-14)	.967(-13)	.109(-12)	.199(-12)	.207(-12)	.160(-12)	.160(-12)
15		.169(-09)	.129(-13)	.717(-13)	.116(-12)	.156(-12)	.188(-12)	.221(-12)	.221(-12)
16			.152(-13)	.646(-13)	.103(-12)	.260(-12)	.183(-12)	.151(-12)	.151(-12)
17			.580(-14)	.640(-13)	.116(-12)	.218(-12)	.195(-12)	.273(-12)	.273(-12)
18			.197(-13)	.748(-13)	.211(-12)	.216(-12)	.269(-12)	.139(-12)	.139(-12)
19			.355(-13)	.101(-12)	.152(-12)	.188(-12)	.263(-12)	.217(-12)	.217(-12)
20			.208(-09)	.594(-13)	.198(-12)	.222(-12)	.277(-12)	.327(-12)	.327(-12)
21			.188(-14)	.674(-13)	.165(-12)	.261(-12)	.332(-12)	.319(-12)	.319(-12)
22				.620(-13)	.182(-12)	.393(-12)	.395(-12)	.341(-12)	.341(-12)
23				.985(-13)	.269(-12)	.357(-12)	.395(-12)	.303(-12)	.303(-12)
24				.827(-13)	.243(-12)	.352(-12)	.456(-12)	.451(-12)	.451(-12)
25				.249(-09)	.216(-12)	.407(-12)	.441(-12)	.425(-12)	.425(-12)
26					.267(-12)	.346(-12)	.506(-12)	.802(-12)	.802(-12)
27					.305(-12)	.358(-12)	.783(-12)	.536(-12)	.536(-12)
28					.325(-12)	.608(-12)	.663(-12)	.719(-12)	.719(-12)
29					.277(-12)	.615(-12)	.777(-12)	.723(-12)	.723(-12)
30					.285(-09)	.566(-12)	.846(-12)	.843(-12)	.843(-12)
31					.145(-13)	.633(-12)	.742(-12)	.115(-11)	.115(-11)
32					.706(-14)	.630(-12)	.860(-12)	.768(-12)	.768(-12)
33					.221(-14)	.773(-12)	.915(-12)	.882(-12)	.882(-12)
34						.850(-12)	.910(-12)	.105(-11)	.105(-11)
35						.312(-09)	.119(-11)	.128(-11)	.128(-11)
36						.804(-13)	.136(-11)	.123(-11)	.123(-11)
37						.942(-14)	.129(-11)	.125(-11)	.125(-11)
38						.256(-14)	.158(-11)	.198(-11)	.198(-11)
39							.163(-11)	.193(-11)	.193(-11)
40							.327(-09)	.196(-11)	.196(-11)
41							.250(-12)	.189(-11)	.189(-11)
42							.378(-13)	.244(-11)	.244(-11)
43							.988(-14)	.267(-11)	.267(-11)
44								.298(-11)	.298(-11)
45								.322(-09)	.322(-09)
46								.635(-12)	.635(-12)
47								.113(-12)	.113(-12)
48								.333(-13)	.333(-13)
49								.894(-14)	.894(-14)
50								.579(-14)	.579(-14)

Virt&I-Comm.5.2014.11

Table III		QCT LEPS NON REACTIVE				$T_{lr}=500.$	$T_{rot}=2000.$		
v'	v	10	15	20	25	30	35	40	45
0		.000(-00)	.177(-14)	.140(-13)	.218(-13)	.772(-13)	.933(-13)	.114(-12)	.891(-13)
1		.000(-00)	.000(-00)	.376(-14)	.658(-13)	.764(-13)	.124(-12)	.155(-12)	.122(-12)
2		.000(-00)	.170(-14)	.122(-13)	.239(-13)	.604(-13)	.139(-12)	.145(-12)	.111(-12)
3		.000(-00)	.000(-00)	.108(-13)	.382(-13)	.586(-13)	.739(-13)	.166(-12)	.104(-12)
4		.000(-00)	.289(-14)	.000(-00)	.298(-13)	.871(-13)	.985(-13)	.112(-12)	.370(-13)
5		.000(-00)	.109(-14)	.202(-14)	.278(-13)	.637(-13)	.111(-12)	.148(-12)	.167(-12)
6		.000(-00)	.261(-14)	.192(-13)	.620(-13)	.403(-13)	.105(-12)	.143(-12)	.896(-13)
7		.000(-00)	.000(-00)	.177(-13)	.498(-13)	.136(-13)	.112(-12)	.899(-13)	.159(-12)
8		.124(-14)	.000(-00)	.792(-14)	.260(-13)	.432(-13)	.811(-13)	.121(-12)	.627(-13)
9		.000(-00)	.390(-14)	.206(-13)	.170(-13)	.116(-12)	.125(-12)	.142(-12)	.150(-12)
10		.169(-09)	.234(-14)	.817(-14)	.628(-13)	.878(-13)	.603(-13)	.131(-12)	.227(-12)
11			.000(-00)	.153(-13)	.117(-13)	.106(-12)	.108(-12)	.106(-12)	.985(-13)
12			.674(-14)	.207(-13)	.419(-13)	.730(-13)	.163(-12)	.132(-12)	.181(-12)
13			.175(-14)	.110(-13)	.614(-13)	.165(-12)	.209(-12)	.183(-12)	.154(-12)
14			.000(-00)	.369(-13)	.630(-13)	.171(-12)	.171(-12)	.190(-12)	.115(-12)
15			.169(-09)	.316(-13)	.621(-13)	.157(-12)	.259(-12)	.245(-12)	.222(-12)
16			.124(-14)	.706(-14)	.826(-13)	.184(-12)	.200(-12)	.250(-12)	.306(-12)
17				.415(-13)	.856(-13)	.182(-12)	.213(-12)	.304(-12)	.166(-12)
18				.140(-13)	.692(-13)	.114(-12)	.288(-12)	.271(-12)	.268(-12)
19				.156(-13)	.952(-13)	.180(-12)	.304(-12)	.329(-12)	.151(-12)
20				.207(-09)	.107(-12)	.223(-12)	.311(-12)	.425(-12)	.373(-12)
21					.120(-12)	.245(-12)	.366(-12)	.288(-12)	.325(-12)
22					.944(-13)	.222(-12)	.305(-12)	.448(-12)	.323(-12)
23					.126(-12)	.303(-12)	.347(-12)	.505(-12)	.413(-12)
24					.154(-12)	.349(-12)	.376(-12)	.406(-12)	.399(-12)
25					.247(-09)	.210(-12)	.447(-12)	.682(-12)	.356(-12)
26					.345(-13)	.234(-12)	.505(-12)	.601(-12)	.485(-12)
27						.235(-12)	.599(-12)	.660(-12)	.667(-12)
28						.324(-12)	.577(-12)	.659(-12)	.557(-12)
29						.388(-12)	.630(-12)	.100(-11)	.814(-12)
30						.281(-09)	.671(-12)	.695(-12)	.788(-12)
31						.747(-13)	.590(-12)	.843(-12)	.104(-11)
32						.141(-13)	.713(-12)	.873(-12)	.110(-11)
33						.267(-14)	.694(-12)	.725(-12)	.916(-12)
34							.993(-12)	.105(-11)	.111(-11)
35							.304(-09)	.119(-11)	.143(-11)
36							.242(-12)	.129(-11)	.169(-11)
37							.171(-13)	.141(-11)	.141(-11)
38							.697(-14)	.120(-11)	.158(-11)
39							.250(-14)	.147(-11)	.152(-11)
40								.315(-09)	.198(-11)
41								.582(-12)	.242(-11)
42								.157(-12)	.200(-11)
43								.420(-13)	.289(-11)
44								.209(-13)	.273(-11)
45								.121(-13)	.303(-09)
46									.988(-12)
47									.313(-12)
48									.718(-13)
49									.315(-13)
50									.264(-13)
51									.253(-13)
52									.109(-13)

Virt&I-Comm.5.2014.11

Table IV		QCT LEPS NON REACTIVE				$T_{tr}=500.$	$T_{rot}=4000.$		
v'	v	10	15	20	25	30	35	40	45
0		.000(-00)	.000(-00)	.191(-13)	.341(-13)	.720(-13)	.662(-13)	.129(-12)	.149(-12)
1		.110(-14)	.322(-14)	.265(-13)	.445(-13)	.603(-13)	.130(-12)	.154(-12)	.884(-13)
2		.000(-00)	.401(-14)	.136(-14)	.338(-13)	.957(-13)	.387(-13)	.684(-13)	.113(-12)
3		.000(-00)	.211(-14)	.868(-14)	.462(-13)	.116(-12)	.535(-13)	.129(-12)	.154(-12)
4		.000(-00)	.423(-14)	.223(-13)	.299(-13)	.557(-13)	.116(-12)	.113(-12)	.127(-12)
5		.000(-00)	.000(-00)	.000(-00)	.505(-13)	.809(-13)	.101(-12)	.136(-12)	.798(-13)
6		.000(-00)	.000(-00)	.814(-14)	.444(-13)	.987(-13)	.113(-12)	.105(-12)	.121(-12)
7		.000(-00)	.649(-14)	.164(-13)	.652(-13)	.753(-13)	.152(-12)	.121(-12)	.196(-12)
8		.000(-00)	.000(-00)	.310(-13)	.526(-13)	.120(-12)	.108(-12)	.180(-12)	.742(-13)
9		.000(-00)	.613(-14)	.115(-13)	.518(-13)	.115(-12)	.145(-12)	.157(-12)	.944(-13)
10		.169(-09)	.508(-14)	.222(-13)	.343(-13)	.132(-12)	.163(-12)	.152(-12)	.136(-12)
11			.000(-00)	.252(-13)	.689(-13)	.120(-12)	.144(-12)	.219(-12)	.102(-12)
12			.177(-14)	.196(-13)	.637(-13)	.104(-12)	.200(-12)	.127(-12)	.203(-12)
13			.398(-14)	.219(-13)	.123(-12)	.164(-12)	.221(-12)	.223(-12)	.163(-12)
14			.910(-14)	.310(-13)	.674(-13)	.164(-12)	.161(-12)	.216(-12)	.224(-12)
15			.169(-09)	.319(-13)	.838(-13)	.169(-12)	.221(-12)	.161(-12)	.205(-12)
16			.814(-14)	.168(-13)	.758(-13)	.160(-12)	.179(-12)	.260(-12)	.332(-12)
17				.320(-13)	.816(-13)	.147(-12)	.262(-12)	.186(-12)	.201(-12)
18				.331(-13)	.993(-13)	.180(-12)	.237(-12)	.281(-12)	.338(-12)
19				.613(-13)	.104(-12)	.148(-12)	.366(-12)	.368(-12)	.215(-12)
20				.207(-09)	.800(-13)	.236(-12)	.307(-12)	.279(-12)	.317(-12)
21				.395(-13)	.126(-12)	.261(-12)	.222(-12)	.392(-12)	.338(-12)
22				.173(-14)	.801(-13)	.228(-12)	.529(-12)	.558(-12)	.355(-12)
23					.768(-13)	.259(-12)	.295(-12)	.352(-12)	.434(-12)
24					.255(-12)	.268(-12)	.410(-12)	.582(-12)	.581(-12)
25					.245(-09)	.186(-12)	.441(-12)	.444(-12)	.297(-12)
26					.122(-12)	.294(-12)	.631(-12)	.588(-12)	.409(-12)
27					.320(-14)	.368(-12)	.527(-12)	.752(-12)	.454(-12)
28						.342(-12)	.547(-12)	.588(-12)	.581(-12)
29						.643(-12)	.596(-12)	.683(-12)	.831(-12)
30						.276(-09)	.745(-12)	.862(-12)	.661(-12)
31						.252(-12)	.742(-12)	.654(-12)	.888(-12)
32						.189(-13)	.719(-12)	.963(-12)	.718(-12)
33						.222(-13)	.744(-12)	.969(-12)	.839(-12)
34						.276(-14)	.122(-11)	.842(-12)	.115(-11)
35							.292(-09)	.132(-11)	.140(-11)
36							.774(-12)	.972(-12)	.116(-11)
37							.955(-13)	.152(-11)	.147(-11)
38							.451(-13)	.133(-11)	.134(-11)
39							.145(-13)	.206(-11)	.143(-11)
40							.196(-13)	.297(-09)	.212(-11)
41							.000(-00)	.127(-11)	.200(-11)
42							.000(-00)	.214(-12)	.197(-11)
43							.801(-14)	.926(-13)	.231(-11)
44							.000(-00)	.325(-13)	.366(-11)
45							.346(-14)	.196(-13)	.280(-09)
46								.188(-14)	.180(-11)
47								.298(-14)	.616(-12)
48									.136(-12)
49									.125(-12)
50									.522(-13)
51									.286(-13)
52									.271(-14)
53									.742(-14)

Virt&I-Comm.5.2014.11

Table V		QCT LEPS NON REACTIVE						$T_{tr}=1000.$	$T_{rot}= 500.$
v'	v	10	15	20	25	30	35	40	45
0		.237(-14)	.417(-13)	.863(-13)	.257(-12)	.208(-12)	.297(-12)	.251(-12)	.256(-12)
1		.000(-00)	.280(-13)	.633(-13)	.168(-12)	.253(-12)	.197(-12)	.305(-12)	.125(-12)
2		.329(-14)	.212(-13)	.715(-13)	.108(-12)	.111(-12)	.259(-12)	.147(-12)	.200(-12)
3		.000(-00)	.230(-13)	.916(-13)	.966(-13)	.148(-12)	.162(-12)	.239(-12)	.140(-12)
4		.986(-14)	.259(-13)	.465(-13)	.137(-12)	.108(-12)	.197(-12)	.217(-12)	.268(-12)
5		.000(-00)	.306(-13)	.455(-13)	.127(-12)	.268(-12)	.269(-12)	.374(-12)	.308(-12)
6		.000(-00)	.136(-13)	.111(-12)	.141(-12)	.241(-12)	.209(-12)	.181(-12)	.264(-12)
7		.287(-14)	.188(-13)	.560(-13)	.122(-12)	.184(-12)	.287(-12)	.205(-12)	.222(-12)
8		.000(-00)	.320(-13)	.540(-13)	.155(-12)	.169(-12)	.289(-12)	.196(-12)	.236(-12)
9		.294(-14)	.345(-14)	.103(-12)	.216(-12)	.217(-12)	.184(-12)	.226(-12)	.346(-12)
10		.239(-09)	.129(-13)	.119(-12)	.175(-12)	.200(-12)	.247(-12)	.307(-12)	.303(-12)
11			.328(-13)	.104(-12)	.226(-12)	.253(-12)	.295(-12)	.290(-12)	.445(-12)
12			.356(-13)	.151(-12)	.288(-12)	.313(-12)	.398(-12)	.295(-12)	.321(-12)
13			.279(-13)	.733(-13)	.200(-12)	.177(-12)	.474(-12)	.365(-12)	.395(-12)
14			.327(-13)	.106(-12)	.260(-12)	.406(-12)	.344(-12)	.325(-12)	.452(-12)
15			.238(-09)	.176(-12)	.275(-12)	.316(-12)	.430(-12)	.387(-12)	.446(-12)
16			.835(-14)	.163(-12)	.328(-12)	.510(-12)	.561(-12)	.379(-12)	.540(-12)
17				.119(-12)	.210(-12)	.354(-12)	.429(-12)	.460(-12)	.369(-12)
18				.116(-12)	.278(-12)	.483(-12)	.550(-12)	.426(-12)	.582(-12)
19				.178(-12)	.374(-12)	.735(-12)	.666(-12)	.781(-12)	.497(-12)
20				.287(-09)	.263(-12)	.452(-12)	.709(-12)	.684(-12)	.656(-12)
21				.239(-13)	.472(-12)	.530(-12)	.648(-12)	.700(-12)	.769(-12)
22					.193(-12)	.773(-12)	.717(-12)	.704(-12)	.584(-12)
23					.374(-12)	.671(-12)	.672(-12)	.786(-12)	.848(-12)
24					.390(-12)	.620(-12)	.721(-12)	.815(-12)	.101(-11)
25					.336(-09)	.560(-12)	.111(-11)	.986(-12)	.881(-12)
26					.609(-13)	.752(-12)	.989(-12)	.108(-11)	.701(-12)
27					.119(-13)	.773(-12)	.123(-11)	.122(-11)	.127(-11)
28						.770(-12)	.127(-11)	.112(-11)	.954(-12)
29						.792(-12)	.120(-11)	.142(-11)	.142(-11)
30						.373(-09)	.119(-11)	.166(-11)	.109(-11)
31						.123(-12)	.124(-11)	.153(-11)	.117(-11)
32						.319(-13)	.137(-11)	.154(-11)	.148(-11)
33						.363(-14)	.166(-11)	.163(-11)	.164(-11)
34							.119(-11)	.223(-11)	.188(-11)
35							.398(-09)	.215(-11)	.194(-11)
36							.391(-12)	.253(-11)	.211(-11)
37							.418(-13)	.253(-11)	.268(-11)
38							.199(-13)	.257(-11)	.241(-11)
39							.120(-13)	.278(-11)	.260(-11)
40							.360(-14)	.418(-09)	.276(-11)
41								.768(-12)	.353(-11)
42								.115(-12)	.409(-11)
43								.396(-13)	.397(-11)
44								.124(-13)	.406(-11)
45								.648(-14)	.414(-09)
46								.000(-00)	.173(-11)
47								.286(-14)	.434(-12)
48									.196(-12)
49									.493(-13)
50									.187(-13)
51									.121(-13)

Virt&I-Comm.5.2014.11

Table VI		QCT LEPS NON REACTIVE					$T_{tr}=1000.$		$T_{rot}=1000.$	
v'	v	10	15	20	25	30	35	40	45	
0		.146(-14)	.387(-13)	.139(-12)	.209(-12)	.324(-12)	.290(-12)	.311(-12)	.217(-12)	
1		.621(-14)	.343(-13)	.137(-12)	.175(-12)	.253(-12)	.416(-12)	.305(-12)	.258(-12)	
2		.301(-14)	.302(-13)	.861(-13)	.111(-12)	.224(-12)	.200(-12)	.324(-12)	.139(-12)	
3		.472(-14)	.161(-13)	.106(-12)	.192(-12)	.136(-12)	.278(-12)	.223(-12)	.286(-12)	
4		.458(-14)	.257(-13)	.693(-13)	.141(-12)	.251(-12)	.276(-12)	.222(-12)	.243(-12)	
5		.752(-14)	.317(-13)	.726(-13)	.196(-12)	.223(-12)	.192(-12)	.238(-12)	.215(-12)	
6		.507(-14)	.266(-13)	.112(-12)	.997(-13)	.187(-12)	.214(-12)	.245(-12)	.281(-12)	
7		.228(-14)	.300(-13)	.122(-12)	.180(-12)	.171(-12)	.281(-12)	.229(-12)	.230(-12)	
8		.419(-14)	.558(-13)	.952(-13)	.208(-12)	.206(-12)	.396(-12)	.359(-12)	.350(-12)	
9		.601(-14)	.448(-13)	.887(-13)	.206(-12)	.325(-12)	.294(-12)	.385(-12)	.237(-12)	
10		.239(-09)	.407(-13)	.786(-13)	.174(-12)	.264(-12)	.337(-12)	.302(-12)	.205(-12)	
11			.262(-13)	.100(-12)	.222(-12)	.291(-12)	.326(-12)	.492(-12)	.375(-12)	
12			.350(-13)	.106(-12)	.227(-12)	.353(-12)	.324(-12)	.328(-12)	.310(-12)	
13			.402(-13)	.122(-12)	.218(-12)	.379(-12)	.437(-12)	.340(-12)	.286(-12)	
14			.394(-13)	.123(-12)	.275(-12)	.426(-12)	.467(-12)	.376(-12)	.286(-12)	
15			.237(-09)	.105(-12)	.287(-12)	.295(-12)	.508(-12)	.475(-12)	.460(-12)	
16			.361(-14)	.135(-12)	.389(-12)	.392(-12)	.556(-12)	.531(-12)	.468(-12)	
17			.128(-14)	.135(-12)	.304(-12)	.476(-12)	.699(-12)	.508(-12)	.584(-12)	
18				.168(-12)	.287(-12)	.556(-12)	.585(-12)	.449(-12)	.427(-12)	
19				.175(-12)	.341(-12)	.541(-12)	.660(-12)	.629(-12)	.555(-12)	
20				.285(-09)	.367(-12)	.596(-12)	.711(-12)	.606(-12)	.834(-12)	
21				.149(-13)	.304(-12)	.718(-12)	.749(-12)	.767(-12)	.875(-12)	
22					.465(-12)	.670(-12)	.837(-12)	.780(-12)	.101(-11)	
23					.439(-12)	.575(-12)	.862(-12)	.866(-12)	.798(-12)	
24					.439(-12)	.790(-12)	.912(-12)	.973(-12)	.801(-12)	
25					.330(-09)	.678(-12)	.989(-12)	.891(-12)	.707(-12)	
26					.698(-13)	.796(-12)	.110(-11)	.100(-11)	.996(-12)	
27					.110(-13)	.819(-12)	.109(-11)	.136(-11)	.116(-11)	
28					.265(-14)	.748(-12)	.103(-11)	.114(-11)	.108(-11)	
29						.109(-11)	.125(-11)	.122(-11)	.133(-11)	
30						.365(-09)	.121(-11)	.155(-11)	.121(-11)	
31						.195(-12)	.138(-11)	.159(-11)	.150(-11)	
32						.403(-13)	.149(-11)	.165(-11)	.177(-11)	
33						.358(-14)	.198(-11)	.179(-11)	.182(-11)	
34							.185(-11)	.195(-11)	.220(-11)	
35							.386(-09)	.211(-11)	.218(-11)	
36							.437(-12)	.236(-11)	.212(-11)	
37							.814(-13)	.269(-11)	.240(-11)	
38							.227(-13)	.274(-11)	.267(-11)	
39							.000(-00)	.268(-11)	.277(-11)	
40							.125(-14)	.402(-09)	.323(-11)	
41								.112(-11)	.323(-11)	
42								.217(-12)	.372(-11)	
43								.804(-13)	.414(-11)	
44								.175(-13)	.485(-11)	
45								.443(-14)	.394(-09)	
46								.119(-14)	.183(-11)	
47									.706(-12)	
48									.313(-12)	
49									.104(-12)	
50									.408(-13)	
51									.276(-13)	
52									.567(-14)	

Virt&I-Comm.5.2014.11

Table VII		QCT LEPS NON REACTIVE					$T_{tr}=1000.$	$T_{rot}=2000.$	
v'	v	10	15	20	25	30	35	40	45
0		.000(-00)	.457(-13)	.132(-12)	.273(-12)	.186(-12)	.348(-12)	.277(-12)	.308(-12)
1		.326(-14)	.309(-13)	.590(-13)	.185(-12)	.450(-12)	.311(-12)	.299(-12)	.310(-12)
2		.210(-13)	.572(-13)	.125(-12)	.201(-12)	.288(-12)	.242(-12)	.346(-12)	.230(-12)
3		.858(-14)	.187(-13)	.116(-12)	.162(-12)	.218(-12)	.297(-12)	.249(-12)	.183(-12)
4		.125(-13)	.352(-13)	.120(-12)	.195(-12)	.198(-12)	.242(-12)	.227(-12)	.203(-12)
5		.000(-00)	.427(-13)	.220(-12)	.148(-12)	.251(-12)	.231(-12)	.330(-12)	.358(-12)
6		.000(-00)	.619(-13)	.123(-12)	.188(-12)	.279(-12)	.461(-12)	.223(-12)	.145(-12)
7		.738(-14)	.396(-13)	.144(-12)	.263(-12)	.236(-12)	.228(-12)	.300(-12)	.140(-12)
8		.560(-14)	.386(-13)	.122(-12)	.214(-12)	.214(-12)	.404(-12)	.369(-12)	.233(-12)
9		.800(-14)	.416(-13)	.154(-12)	.202(-12)	.315(-12)	.282(-12)	.352(-12)	.410(-12)
10		.239(-09)	.340(-13)	.122(-12)	.162(-12)	.192(-12)	.510(-12)	.328(-12)	.470(-12)
11		.307(-14)	.423(-13)	.204(-12)	.292(-12)	.312(-12)	.404(-12)	.425(-12)	.259(-12)
12			.463(-13)	.193(-12)	.286(-12)	.406(-12)	.391(-12)	.392(-12)	.338(-12)
13			.370(-13)	.199(-12)	.195(-12)	.397(-12)	.508(-12)	.230(-12)	.311(-12)
14			.835(-13)	.215(-12)	.370(-12)	.423(-12)	.528(-12)	.334(-12)	.325(-12)
15			.236(-09)	.136(-12)	.343(-12)	.441(-12)	.527(-12)	.476(-12)	.538(-12)
16			.124(-13)	.179(-12)	.488(-12)	.522(-12)	.574(-12)	.478(-12)	.524(-12)
17				.222(-12)	.368(-12)	.459(-12)	.541(-12)	.575(-12)	.489(-12)
18				.229(-12)	.451(-12)	.606(-12)	.806(-12)	.440(-12)	.412(-12)
19				.262(-12)	.439(-12)	.649(-12)	.754(-12)	.889(-12)	.612(-12)
20				.282(-09)	.437(-12)	.665(-12)	.664(-12)	.663(-12)	.547(-12)
21				.478(-13)	.374(-12)	.689(-12)	.102(-11)	.676(-12)	.601(-12)
22				.382(-14)	.417(-12)	.666(-12)	.865(-12)	.949(-12)	.994(-12)
23				.567(-14)	.545(-12)	.833(-12)	.645(-12)	.793(-12)	.908(-12)
24					.529(-12)	.639(-12)	.868(-12)	.102(-11)	.843(-12)
25					.326(-09)	.569(-12)	.997(-12)	.103(-11)	.826(-12)
26					.130(-12)	.811(-12)	.128(-11)	.100(-11)	.903(-12)
27					.353(-13)	.950(-12)	.118(-11)	.122(-11)	.798(-12)
28					.334(-14)	.109(-11)	.104(-11)	.123(-11)	.133(-11)
29						.769(-12)	.155(-11)	.184(-11)	.134(-11)
30						.356(-09)	.146(-11)	.145(-11)	.133(-11)
31						.441(-12)	.156(-11)	.174(-11)	.139(-11)
32						.116(-12)	.131(-11)	.175(-11)	.172(-11)
33						.937(-14)	.185(-11)	.209(-11)	.175(-11)
34						.317(-14)	.230(-11)	.200(-11)	.210(-11)
35						.837(-14)	.373(-09)	.242(-11)	.180(-11)
36							.514(-12)	.241(-11)	.181(-11)
37							.257(-12)	.246(-11)	.202(-11)
38							.100(-12)	.235(-11)	.283(-11)
39							.234(-13)	.304(-11)	.307(-11)
40							.113(-13)	.380(-09)	.385(-11)
41								.136(-11)	.313(-11)
42								.435(-12)	.326(-11)
43								.124(-12)	.359(-11)
44								.857(-13)	.475(-11)
45								.293(-13)	.367(-09)
46								.129(-13)	.228(-11)
47								.000(-00)	.814(-12)
48								.503(-14)	.456(-12)
49								.348(-14)	.200(-12)
50								.116(-13)	.786(-13)
51									.682(-13)
52									.962(-14)
53									.000(-00)
54									.000(-00)
55									.818(-14)
56									.493(-14)

Virt&I-Comm.5.2014.11

Table VIII		QCT LEPS NON REACTIVE					$T_{tr}=1000.$	$T_{rot}=4000.$	
v'	v	10	15	20	25	30	35	40	45
0		.305(-14)	.431(-13)	.142(-12)	.376(-12)	.307(-12)	.288(-12)	.415(-12)	.178(-12)
1		.000(-00)	.400(-13)	.112(-12)	.201(-12)	.408(-12)	.297(-12)	.249(-12)	.516(-12)
2		.104(-13)	.529(-13)	.120(-12)	.194(-12)	.302(-12)	.373(-12)	.271(-12)	.185(-12)
3		.162(-13)	.411(-13)	.974(-13)	.156(-12)	.172(-12)	.276(-12)	.211(-12)	.174(-12)
4		.000(-00)	.321(-13)	.594(-13)	.195(-12)	.243(-12)	.332(-12)	.281(-12)	.798(-13)
5		.399(-14)	.418(-13)	.157(-12)	.258(-12)	.196(-12)	.438(-12)	.215(-12)	.332(-12)
6		.145(-13)	.529(-13)	.141(-12)	.237(-12)	.264(-12)	.218(-12)	.290(-12)	.242(-12)
7		.806(-14)	.492(-13)	.148(-12)	.284(-12)	.263(-12)	.337(-12)	.463(-12)	.266(-12)
8		.416(-14)	.682(-13)	.146(-12)	.129(-12)	.495(-12)	.446(-12)	.315(-12)	.170(-12)
9		.515(-13)	.341(-13)	.133(-12)	.288(-12)	.375(-12)	.349(-12)	.259(-12)	.241(-12)
10		.239(-09)	.571(-13)	.239(-12)	.274(-12)	.278(-12)	.458(-12)	.297(-12)	.299(-12)
11		.591(-14)	.851(-13)	.193(-12)	.239(-12)	.342(-12)	.525(-12)	.412(-12)	.337(-12)
12		.516(-14)	.964(-13)	.241(-12)	.351(-12)	.337(-12)	.472(-12)	.416(-12)	.259(-12)
13			.784(-13)	.200(-12)	.402(-12)	.400(-12)	.470(-12)	.370(-12)	.388(-12)
14			.115(-12)	.248(-12)	.318(-12)	.640(-12)	.383(-12)	.760(-12)	.444(-12)
15			.235(-09)	.245(-12)	.290(-12)	.488(-12)	.667(-12)	.877(-12)	.333(-12)
16			.300(-13)	.211(-12)	.435(-12)	.665(-12)	.593(-12)	.626(-12)	.464(-12)
17			.153(-13)	.243(-12)	.472(-12)	.545(-12)	.555(-12)	.660(-12)	.423(-12)
18			.000(-00)	.283(-12)	.378(-12)	.731(-12)	.960(-12)	.722(-12)	.460(-12)
19			.387(-14)	.485(-12)	.437(-12)	.757(-12)	.535(-12)	.614(-12)	.572(-12)
20				.278(-09)	.602(-12)	.738(-12)	.710(-12)	.882(-12)	.477(-12)
21				.261(-12)	.370(-12)	.711(-12)	.841(-12)	.935(-12)	.559(-12)
22				.255(-13)	.432(-12)	.882(-12)	.832(-12)	.940(-12)	.776(-12)
23				.162(-13)	.607(-12)	.706(-12)	.673(-12)	.123(-11)	.777(-12)
24				.000(-00)	.107(-11)	.893(-12)	.129(-11)	.105(-11)	.765(-12)
25				.000(-00)	.317(-09)	.806(-12)	.113(-11)	.788(-12)	.881(-12)
26				.245(-14)	.408(-12)	.929(-12)	.109(-11)	.118(-11)	.850(-12)
27					.639(-13)	.949(-12)	.108(-11)	.113(-11)	.982(-12)
28					.263(-13)	.110(-11)	.149(-11)	.165(-11)	.107(-11)
29					.361(-14)	.203(-11)	.139(-11)	.140(-11)	.125(-11)
30					.763(-14)	.342(-09)	.132(-11)	.131(-11)	.146(-11)
31					.000(-00)	.879(-12)	.113(-11)	.175(-11)	.129(-11)
32					.000(-00)	.205(-12)	.184(-11)	.167(-11)	.152(-11)
33					.782(-14)	.532(-13)	.168(-11)	.149(-11)	.135(-11)
34						.591(-13)	.324(-11)	.222(-11)	.213(-11)
35						.381(-14)	.352(-09)	.189(-11)	.179(-11)
36						.000(-00)	.176(-11)	.235(-11)	.172(-11)
37						.331(-14)	.269(-12)	.195(-11)	.228(-11)
38							.183(-12)	.299(-11)	.238(-11)
39							.116(-12)	.414(-11)	.195(-11)
40							.430(-13)	.352(-09)	.283(-11)
41							.425(-13)	.262(-11)	.430(-11)
42								.107(-11)	.353(-11)
43								.302(-12)	.363(-11)
44								.180(-12)	.665(-11)
45								.153(-12)	.335(-09)
46								.676(-13)	.432(-11)
47								.492(-14)	.141(-11)
48								.311(-13)	.591(-12)
49								.619(-14)	.386(-12)
50								.801(-14)	.301(-12)
51								.932(-14)	.115(-12)
52									.438(-13)
53									.447(-13)
54									.361(-13)
55									.134(-13)
56									.819(-14)

Virt&I-Comm.5.2014.11

Table IX		QCT LEPS NON REACTIVE					$T_{tr}=2000.$	$T_{rot}= 500.$		
v'	v	5	10	15	20	25	30	35	40	45
0		.000(-00)	.307(-13)	.198(-12)	.565(-12)	.725(-12)	.864(-12)	.564(-12)	.707(-12)	.629(-12)
1		.291(-14)	.686(-13)	.271(-12)	.409(-12)	.397(-12)	.697(-12)	.102(-11)	.493(-12)	.532(-12)
2		.109(-13)	.648(-13)	.191(-12)	.442(-12)	.393(-12)	.650(-12)	.654(-12)	.263(-12)	.395(-12)
3		.178(-13)	.869(-13)	.253(-12)	.256(-12)	.696(-12)	.519(-12)	.723(-12)	.586(-12)	.402(-12)
4		.532(-13)	.965(-13)	.207(-12)	.291(-12)	.487(-12)	.631(-12)	.910(-12)	.557(-12)	.363(-12)
5		.268(-09)	.905(-13)	.280(-12)	.306(-12)	.441(-12)	.426(-12)	.612(-12)	.469(-12)	.596(-12)
6		.121(-13)	.700(-13)	.159(-12)	.260(-12)	.389(-12)	.627(-12)	.618(-12)	.583(-12)	.582(-12)
7		.623(-14)	.763(-13)	.227(-12)	.300(-12)	.530(-12)	.635(-12)	.536(-12)	.459(-12)	.605(-12)
8			.863(-13)	.149(-12)	.328(-12)	.637(-12)	.689(-12)	.453(-12)	.501(-12)	.468(-12)
9			.183(-12)	.219(-12)	.365(-12)	.457(-12)	.706(-12)	.511(-12)	.664(-12)	.527(-12)
10			.335(-09)	.234(-12)	.270(-12)	.620(-12)	.703(-12)	.755(-12)	.653(-12)	.122(-11)
11			.229(-13)	.292(-12)	.467(-12)	.737(-12)	.101(-11)	.751(-12)	.696(-12)	.676(-12)
12			.421(-14)	.318(-12)	.268(-12)	.745(-12)	.944(-12)	.102(-11)	.841(-12)	.540(-12)
13				.353(-12)	.348(-12)	.827(-12)	.896(-12)	.829(-12)	.647(-12)	.720(-12)
14				.369(-12)	.391(-12)	.605(-12)	.987(-12)	.819(-12)	.113(-11)	.101(-11)
15				.322(-09)	.630(-12)	.799(-12)	.103(-11)	.974(-12)	.905(-12)	.624(-12)
16				.116(-12)	.621(-12)	.109(-11)	.859(-12)	.954(-12)	.115(-11)	.842(-12)
17				.148(-13)	.413(-12)	.445(-12)	.915(-12)	.105(-11)	.802(-12)	.116(-11)
18				.185(-13)	.736(-12)	.991(-12)	.709(-12)	.117(-11)	.942(-12)	.839(-12)
19					.581(-12)	.723(-12)	.129(-11)	.169(-11)	.103(-11)	.101(-11)
20					.375(-09)	.119(-11)	.131(-11)	.110(-11)	.100(-11)	.879(-12)
21					.317(-12)	.105(-11)	.138(-11)	.159(-11)	.131(-11)	.703(-12)
22					.663(-13)	.108(-11)	.144(-11)	.131(-11)	.165(-11)	.125(-11)
23					.672(-14)	.125(-11)	.151(-11)	.148(-11)	.145(-11)	.128(-11)
24					.134(-13)	.141(-11)	.118(-11)	.169(-11)	.196(-11)	.138(-11)
25						.425(-09)	.165(-11)	.165(-11)	.158(-11)	.144(-11)
26						.417(-12)	.191(-11)	.158(-11)	.184(-11)	.167(-11)
27						.170(-12)	.149(-11)	.170(-11)	.259(-11)	.161(-11)
28						.301(-13)	.178(-11)	.228(-11)	.225(-11)	.247(-11)
29						.169(-13)	.203(-11)	.230(-11)	.241(-11)	.184(-11)
30						.484(-14)	.461(-09)	.232(-11)	.222(-11)	.201(-11)
31						.316(-14)	.857(-12)	.227(-11)	.255(-11)	.201(-11)
32						.000(-00)	.278(-12)	.224(-11)	.246(-11)	.242(-11)
33						.000(-00)	.886(-13)	.242(-11)	.284(-11)	.281(-11)
34						.000(-00)	.630(-13)	.314(-11)	.266(-11)	.227(-11)
35						.000(-00)	.260(-13)	.487(-09)	.259(-11)	.336(-11)
36						.253(-14)	.545(-14)	.130(-11)	.353(-11)	.329(-11)
37								.482(-12)	.362(-11)	.364(-11)
38								.198(-12)	.407(-11)	.364(-11)
39								.624(-13)	.416(-11)	.425(-11)
40								.394(-13)	.512(-09)	.373(-11)
41								.168(-13)	.194(-11)	.490(-11)
42								.542(-14)	.119(-11)	.454(-11)
43								.139(-13)	.467(-12)	.520(-11)
44								.102(-13)	.253(-12)	.650(-11)
45									.145(-12)	.523(-09)
46									.845(-13)	.363(-11)
47									.244(-13)	.138(-11)
48									.198(-13)	.777(-12)
49									.143(-13)	.476(-12)
50									.000(-00)	.270(-12)
51									.000(-00)	.120(-12)
52									.000(-00)	.525(-13)
53									.000(-00)	.702(-13)
54									.000(-00)	.554(-14)
55									.000(-00)	.000(-00)
56									.000(-00)	.000(-00)
57									.456(-14)	.947(-14)
58										.138(-13)
59										.140(-13)

Virt&I-Comm.5.2014.11

Table X		CT LEPS NON REACTIVE					$T_{tr}=2000.$	$T_{rot}=1000.$		
v'	v	5	10	15	20	25	30	35	40	45
0		.000(-00)	.335(-13)	.334(-12)	.670(-12)	.995(-12)	.553(-12)	.728(-12)	.755(-12)	.476(-12)
1		.751(-14)	.432(-13)	.269(-12)	.496(-12)	.440(-12)	.690(-12)	.576(-12)	.707(-12)	.536(-12)
2		.140(-13)	.766(-13)	.281(-12)	.381(-12)	.550(-12)	.602(-12)	.602(-12)	.646(-12)	.647(-12)
3		.138(-13)	.534(-13)	.205(-12)	.322(-12)	.514(-12)	.681(-12)	.540(-12)	.659(-12)	.473(-12)
4		.910(-13)	.720(-13)	.195(-12)	.498(-12)	.450(-12)	.687(-12)	.471(-12)	.388(-12)	.387(-12)
5		.268(-09)	.915(-13)	.262(-12)	.520(-12)	.422(-12)	.756(-12)	.737(-12)	.510(-12)	.280(-12)
6		.149(-13)	.871(-13)	.171(-12)	.552(-12)	.705(-12)	.648(-12)	.394(-12)	.565(-12)	.417(-12)
7			.879(-13)	.216(-12)	.416(-12)	.524(-12)	.603(-12)	.790(-12)	.347(-12)	.480(-12)
8			.105(-12)	.961(-13)	.277(-12)	.680(-12)	.776(-12)	.617(-12)	.499(-12)	.629(-12)
9			.173(-12)	.309(-12)	.493(-12)	.728(-12)	.651(-12)	.688(-12)	.734(-12)	.670(-12)
10			.334(-09)	.207(-12)	.533(-12)	.737(-12)	.658(-12)	.697(-12)	.666(-12)	.322(-12)
11			.372(-13)	.359(-12)	.514(-12)	.583(-12)	.742(-12)	.746(-12)	.783(-12)	.435(-12)
12				.281(-12)	.552(-12)	.668(-12)	.981(-12)	.865(-12)	.739(-12)	.100(-11)
13				.379(-12)	.444(-12)	.613(-12)	.537(-12)	.686(-12)	.101(-11)	.353(-12)
14				.302(-12)	.435(-12)	.644(-12)	.999(-12)	.942(-12)	.862(-12)	.622(-12)
15				.320(-09)	.426(-12)	.939(-12)	.125(-11)	.803(-12)	.951(-12)	.717(-12)
16				.125(-12)	.536(-12)	.829(-12)	.882(-12)	.897(-12)	.128(-11)	.611(-12)
17				.469(-13)	.534(-12)	.112(-11)	.938(-12)	.139(-11)	.932(-12)	.908(-12)
18				.130(-13)	.796(-12)	.108(-11)	.122(-11)	.131(-11)	.116(-11)	.758(-12)
19				.353(-14)	.596(-12)	.111(-11)	.169(-11)	.129(-11)	.102(-11)	.117(-11)
20					.371(-09)	.103(-11)	.108(-11)	.140(-11)	.134(-11)	.865(-12)
21					.190(-12)	.110(-11)	.125(-11)	.173(-11)	.973(-12)	.101(-11)
22					.860(-13)	.105(-11)	.143(-11)	.121(-11)	.120(-11)	.710(-12)
23					.332(-13)	.108(-11)	.133(-11)	.129(-11)	.129(-11)	.131(-11)
24						.145(-11)	.160(-11)	.181(-11)	.179(-11)	.138(-11)
25						.416(-09)	.151(-11)	.182(-11)	.180(-11)	.159(-11)
26						.562(-12)	.162(-11)	.164(-11)	.202(-11)	.178(-11)
27						.200(-12)	.184(-11)	.182(-11)	.177(-11)	.184(-11)
28						.217(-13)	.197(-11)	.228(-11)	.249(-11)	.148(-11)
29						.399(-13)	.198(-11)	.222(-11)	.233(-11)	.149(-11)
30						.797(-14)	.449(-09)	.174(-11)	.286(-11)	.243(-11)
31						.129(-13)	.101(-11)	.241(-11)	.294(-11)	.222(-11)
32						.356(-14)	.432(-12)	.236(-11)	.324(-11)	.217(-11)
33							.723(-13)	.301(-11)	.328(-11)	.241(-11)
34							.318(-13)	.317(-11)	.260(-11)	.311(-11)
35							.314(-13)	.474(-09)	.322(-11)	.236(-11)
36							.106(-13)	.164(-11)	.306(-11)	.336(-11)
37							.493(-14)	.435(-12)	.393(-11)	.342(-11)
38								.284(-12)	.444(-11)	.404(-11)
39								.122(-12)	.477(-11)	.467(-11)
40								.344(-13)	.497(-09)	.454(-11)
41								.324(-13)	.264(-11)	.461(-11)
42								.329(-13)	.862(-12)	.438(-11)
43								.000(-00)	.450(-12)	.501(-11)
44								.134(-13)	.336(-12)	.717(-11)
45									.201(-12)	.500(-09)
46									.914(-13)	.410(-11)
47									.130(-13)	.165(-11)
48									.248(-13)	.978(-12)
49									.000(-00)	.534(-12)
50									.317(-13)	.546(-12)
51										.297(-12)
52										.133(-12)
53										.506(-13)
54										.562(-13)
55										.000(-00)
56										.949(-14)
57										.237(-13)
58										.185(-13)
59										.711(-14)

Virt&I-Comm.5.2014.11

Table XI		QCT LEPS NON REACTIVE					$T_{tr}=2000.$	$T_{rot}=2000.$		
v'	v	5	10	15	20	25	30	35	40	45
0		.000(-00)	.607(-14)	.301(-12)	.633(-12)	.760(-12)	.802(-12)	.731(-12)	.700(-12)	.462(-12)
1		.509(-14)	.505(-13)	.234(-12)	.462(-12)	.696(-12)	.862(-12)	.790(-12)	.797(-12)	.425(-12)
2		.795(-14)	.899(-13)	.210(-12)	.393(-12)	.723(-12)	.614(-12)	.632(-12)	.515(-12)	.569(-12)
3		.171(-13)	.101(-12)	.311(-12)	.432(-12)	.589(-12)	.737(-12)	.611(-12)	.526(-12)	.394(-12)
4		.106(-12)	.834(-13)	.276(-12)	.497(-12)	.716(-12)	.624(-12)	.708(-12)	.571(-12)	.328(-12)
5		.267(-09)	.114(-12)	.226(-12)	.350(-12)	.561(-12)	.593(-12)	.635(-12)	.498(-12)	.426(-12)
6		.257(-13)	.122(-12)	.304(-12)	.389(-12)	.721(-12)	.631(-12)	.590(-12)	.435(-12)	.416(-12)
7		.187(-14)	.125(-12)	.320(-12)	.619(-12)	.734(-12)	.531(-12)	.671(-12)	.722(-12)	.331(-12)
8			.120(-12)	.309(-12)	.484(-12)	.676(-12)	.720(-12)	.668(-12)	.553(-12)	.452(-12)
9			.253(-12)	.213(-12)	.428(-12)	.772(-12)	.840(-12)	.533(-12)	.694(-12)	.548(-12)
10			.332(-09)	.311(-12)	.470(-12)	.670(-12)	.934(-12)	.732(-12)	.691(-12)	.487(-12)
11			.824(-13)	.289(-12)	.522(-12)	.619(-12)	.762(-12)	.702(-12)	.703(-12)	.702(-12)
12			.102(-13)	.362(-12)	.649(-12)	.849(-12)	.882(-12)	.943(-12)	.678(-12)	.555(-12)
13			.510(-14)	.292(-12)	.748(-12)	.885(-12)	.911(-12)	.939(-12)	.756(-12)	.810(-12)
14				.452(-12)	.590(-12)	.845(-12)	.103(-11)	.103(-11)	.785(-12)	.486(-12)
15				.316(-09)	.610(-12)	.103(-11)	.101(-11)	.979(-12)	.664(-12)	.625(-12)
16				.159(-12)	.662(-12)	.996(-12)	.116(-11)	.968(-12)	.107(-11)	.759(-12)
17				.475(-13)	.638(-12)	.979(-12)	.115(-11)	.122(-11)	.911(-12)	.925(-12)
18				.553(-14)	.766(-12)	.900(-12)	.131(-11)	.106(-11)	.128(-11)	.859(-12)
19				.105(-13)	.929(-12)	.970(-12)	.131(-11)	.146(-11)	.108(-11)	.102(-11)
20					.365(-09)	.934(-12)	.142(-11)	.129(-11)	.118(-11)	.110(-11)
21					.414(-12)	.119(-11)	.134(-11)	.163(-11)	.146(-11)	.102(-11)
22					.104(-12)	.109(-11)	.156(-11)	.177(-11)	.168(-11)	.105(-11)
23					.321(-13)	.114(-11)	.171(-11)	.164(-11)	.158(-11)	.139(-11)
24					.868(-14)	.156(-11)	.178(-11)	.173(-11)	.192(-11)	.102(-11)
25					.430(-14)	.404(-09)	.163(-11)	.193(-11)	.189(-11)	.164(-11)
26					.000(-00)	.704(-12)	.205(-11)	.196(-11)	.198(-11)	.151(-11)
27					.000(-00)	.217(-12)	.196(-11)	.204(-11)	.188(-11)	.179(-11)
28					.186(-14)	.717(-13)	.180(-11)	.246(-11)	.224(-11)	.172(-11)
29					.266(-14)	.170(-13)	.230(-11)	.251(-11)	.230(-11)	.176(-11)
30						.127(-13)	.431(-09)	.222(-11)	.232(-11)	.185(-11)
31						.764(-14)	.132(-11)	.249(-11)	.298(-11)	.197(-11)
32						.211(-14)	.459(-12)	.258(-11)	.240(-11)	.243(-11)
33						.524(-14)	.210(-12)	.289(-11)	.259(-11)	.241(-11)
34							.759(-13)	.394(-11)	.325(-11)	.249(-11)
35							.308(-13)	.454(-09)	.326(-11)	.240(-11)
36							.246(-13)	.221(-11)	.300(-11)	.310(-11)
37							.759(-14)	.815(-12)	.372(-11)	.338(-11)
38							.185(-14)	.380(-12)	.408(-11)	.388(-11)
39							.403(-14)	.228(-12)	.617(-11)	.369(-11)
40								.101(-12)	.468(-09)	.390(-11)
41								.339(-13)	.383(-11)	.395(-11)
42								.226(-13)	.146(-11)	.477(-11)
43								.684(-14)	.817(-12)	.573(-11)
44								.000(-00)	.343(-12)	.957(-11)
45								.549(-14)	.246(-12)	.467(-09)
46								.161(-14)	.166(-12)	.591(-11)
47								.000(-00)	.904(-13)	.272(-11)
48								.000(-00)	.482(-13)	.143(-11)
49								.000(-00)	.390(-13)	.715(-12)
50								.000(-00)	.870(-14)	.520(-12)
51								.000(-00)	.534(-14)	.301(-12)
52								.000(-00)	.991(-14)	.232(-12)
53								.101(-14)	.532(-14)	.126(-12)
54									.867(-14)	.103(-12)
55									.295(-14)	.540(-13)
56									.204(-14)	.344(-13)
57										.145(-13)
58										.184(-13)
59										.309(-13)

Virt&I-Comm.5.2014.11

Table XII		QCT LEPS NON REACTIVE					$T_{tr}=2000.$	$T_{rot}=4000.$		
v'	v	5	10	15	20	25	30	35	40	45
0		.291(-14)	.611(-14)	.271(-12)	.487(-12)	.691(-12)	.684(-12)	.746(-12)	.805(-12)	.512(-12)
1		.504(-14)	.613(-13)	.297(-12)	.514(-12)	.332(-12)	.874(-12)	.381(-12)	.813(-12)	.221(-12)
2		.303(-13)	.670(-13)	.292(-12)	.701(-12)	.533(-12)	.830(-12)	.650(-12)	.561(-12)	.289(-12)
3		.617(-13)	.996(-13)	.311(-12)	.425(-12)	.557(-12)	.785(-12)	.667(-12)	.495(-12)	.322(-12)
4		.256(-12)	.157(-12)	.283(-12)	.697(-12)	.727(-12)	.583(-12)	.691(-12)	.592(-12)	.541(-12)
5		.267(-09)	.113(-12)	.241(-12)	.481(-12)	.658(-12)	.519(-12)	.100(-11)	.342(-12)	.476(-12)
6		.960(-13)	.137(-12)	.322(-12)	.409(-12)	.422(-12)	.819(-12)	.565(-12)	.345(-12)	.332(-12)
7		.276(-14)	.146(-12)	.306(-12)	.434(-12)	.407(-12)	.860(-12)	.813(-12)	.619(-12)	.333(-12)
8		.752(-14)	.157(-12)	.423(-12)	.478(-12)	.605(-12)	.115(-11)	.642(-12)	.363(-12)	.599(-12)
9			.581(-12)	.320(-12)	.686(-12)	.765(-12)	.733(-12)	.101(-11)	.533(-12)	.343(-12)
10			.331(-09)	.381(-12)	.564(-12)	.657(-12)	.782(-12)	.981(-12)	.681(-12)	.619(-12)
11			.211(-12)	.424(-12)	.546(-12)	.913(-12)	.890(-12)	.578(-12)	.586(-12)	.525(-12)
12			.515(-13)	.316(-12)	.751(-12)	.805(-12)	.759(-12)	.146(-11)	.717(-12)	.430(-12)
13				.494(-12)	.664(-12)	.792(-12)	.119(-11)	.988(-12)	.661(-12)	.595(-12)
14				.992(-12)	.643(-12)	.971(-12)	.145(-11)	.105(-11)	.111(-11)	.833(-12)
15				.311(-09)	.750(-12)	.929(-12)	.908(-12)	.741(-12)	.875(-12)	.462(-12)
16				.381(-12)	.854(-12)	.782(-12)	.923(-12)	.742(-12)	.107(-11)	.140(-11)
17				.945(-13)	.922(-12)	.106(-11)	.987(-12)	.126(-11)	.129(-11)	.876(-12)
18				.133(-13)	.816(-12)	.864(-12)	.129(-11)	.103(-11)	.978(-12)	.728(-12)
19				.000(-00)	.203(-11)	.874(-12)	.140(-11)	.141(-11)	.124(-11)	.800(-12)
20				.323(-14)	.353(-09)	.912(-12)	.145(-11)	.126(-11)	.109(-11)	.856(-12)
21					.903(-12)	.117(-11)	.122(-11)	.142(-11)	.141(-11)	.105(-11)
22					.236(-12)	.877(-12)	.160(-11)	.154(-11)	.110(-11)	.892(-12)
23					.603(-13)	.113(-11)	.151(-11)	.133(-11)	.100(-11)	.120(-11)
24					.509(-13)	.263(-11)	.170(-11)	.145(-11)	.911(-12)	.148(-11)
25					.161(-13)	.392(-09)	.170(-11)	.219(-11)	.199(-11)	.110(-11)
26					.000(-00)	.140(-11)	.219(-11)	.197(-11)	.162(-11)	.161(-11)
27					.105(-13)	.391(-12)	.174(-11)	.175(-11)	.241(-11)	.135(-11)
28					.723(-14)	.120(-12)	.209(-11)	.239(-11)	.179(-11)	.204(-11)
29						.428(-13)	.344(-11)	.206(-11)	.215(-11)	.155(-11)
30						.194(-13)	.411(-09)	.240(-11)	.241(-11)	.181(-11)
31						.332(-13)	.301(-11)	.280(-11)	.243(-11)	.212(-11)
32						.733(-14)	.797(-12)	.255(-11)	.201(-11)	.166(-11)
33						.000(-00)	.388(-12)	.416(-11)	.292(-11)	.223(-11)
34						.324(-14)	.136(-12)	.654(-11)	.229(-11)	.280(-11)
35							.863(-13)	.421(-09)	.302(-11)	.258(-11)
36							.754(-13)	.381(-11)	.307(-11)	.261(-11)
37							.235(-13)	.111(-11)	.340(-11)	.361(-11)
38							.656(-14)	.629(-12)	.462(-11)	.370(-11)
39								.232(-12)	.899(-11)	.432(-11)
40								.120(-12)	.431(-09)	.313(-11)
41								.180(-12)	.676(-11)	.412(-11)
42								.105(-12)	.194(-11)	.501(-11)
43								.504(-13)	.152(-11)	.663(-11)
44								.444(-13)	.546(-12)	.117(-10)
45								.281(-13)	.302(-12)	.428(-09)
46								.841(-14)	.261(-12)	.909(-11)
47								.205(-13)	.108(-12)	.319(-11)
48								.611(-14)	.146(-12)	.130(-11)
49									.937(-13)	.131(-11)
50									.592(-13)	.524(-12)
51									.294(-13)	.422(-12)
52									.257(-13)	.375(-12)
53									.167(-13)	.505(-12)
54									.789(-14)	.228(-12)
55									.647(-14)	.841(-13)
56										.723(-13)
57										.780(-13)
58										.726(-13)
59										.359(-13)

Virt&I-Comm.5.2014.11

Table XIII		QCT LEPS NON REACTIVE					$T_{tr}=4000.$	$T_{rot}=500.$		
v'	v	5	10	15	20	25	30	35	40	45
0		.605(-13)	.142(-12)	.705(-12)	.168(-11)	.164(-11)	.187(-11)	.152(-11)	.133(-11)	.734(-12)
1		.141(-12)	.254(-12)	.747(-12)	.174(-11)	.162(-11)	.118(-11)	.889(-12)	.123(-11)	.123(-11)
2		.220(-12)	.313(-12)	.793(-12)	.834(-12)	.156(-11)	.160(-11)	.128(-11)	.105(-11)	.989(-12)
3		.516(-12)	.303(-12)	.897(-12)	.886(-12)	.104(-11)	.107(-11)	.141(-11)	.770(-12)	.406(-12)
4		.168(-11)	.524(-12)	.784(-12)	.104(-11)	.106(-11)	.923(-12)	.138(-11)	.814(-12)	.762(-12)
5		.370(-09)	.419(-12)	.805(-12)	.109(-11)	.116(-11)	.120(-11)	.179(-11)	.751(-12)	.619(-12)
6		.835(-12)	.612(-12)	.757(-12)	.953(-12)	.126(-11)	.148(-11)	.110(-11)	.110(-11)	.744(-12)
7		.143(-12)	.553(-12)	.686(-12)	.106(-11)	.116(-11)	.124(-11)	.121(-11)	.108(-11)	.793(-12)
8		.328(-13)	.694(-12)	.753(-12)	.138(-11)	.130(-11)	.199(-11)	.168(-11)	.938(-12)	.739(-12)
9		.156(-13)	.228(-11)	.726(-12)	.103(-11)	.120(-11)	.144(-11)	.999(-12)	.936(-12)	.144(-11)
10		.367(-14)	.448(-09)	.810(-12)	.596(-12)	.169(-11)	.155(-11)	.989(-12)	.103(-11)	.893(-12)
11		.306(-14)	.918(-12)	.874(-12)	.114(-11)	.125(-11)	.199(-11)	.194(-11)	.145(-11)	.158(-11)
12		.318(-14)	.175(-12)	.102(-11)	.140(-11)	.147(-11)	.137(-11)	.170(-11)	.120(-11)	.163(-11)
13			.699(-13)	.118(-11)	.109(-11)	.139(-11)	.154(-11)	.125(-11)	.127(-11)	.110(-11)
14			.314(-13)	.243(-11)	.111(-11)	.167(-11)	.174(-11)	.164(-11)	.946(-12)	.856(-12)
15			.502(-14)	.408(-09)	.119(-11)	.164(-11)	.225(-11)	.144(-11)	.126(-11)	.943(-12)
16			.108(-13)	.125(-11)	.127(-11)	.150(-11)	.196(-11)	.127(-11)	.181(-11)	.121(-11)
17			.000(-00)	.311(-12)	.142(-11)	.193(-11)	.198(-11)	.177(-11)	.150(-11)	.173(-11)
18			.000(-00)	.168(-12)	.199(-11)	.195(-11)	.186(-11)	.171(-11)	.140(-11)	.898(-12)
19			.000(-00)	.543(-13)	.312(-11)	.201(-11)	.176(-11)	.231(-11)	.208(-11)	.127(-11)
20			.689(-14)	.545(-13)	.463(-09)	.235(-11)	.194(-11)	.181(-11)	.263(-11)	.171(-11)
21				.120(-13)	.213(-11)	.185(-11)	.212(-11)	.166(-11)	.193(-11)	.160(-11)
22				.802(-14)	.548(-12)	.178(-11)	.206(-11)	.251(-11)	.234(-11)	.209(-11)
23				.724(-14)	.376(-12)	.220(-11)	.236(-11)	.320(-11)	.254(-11)	.237(-11)
24					.193(-12)	.456(-11)	.218(-11)	.282(-11)	.209(-11)	.272(-11)
25					.721(-13)	.507(-09)	.285(-11)	.306(-11)	.282(-11)	.190(-11)
26					.648(-14)	.251(-11)	.332(-11)	.299(-11)	.285(-11)	.254(-11)
27					.379(-13)	.762(-12)	.325(-11)	.261(-11)	.290(-11)	.157(-11)
28					.316(-13)	.409(-12)	.272(-11)	.277(-11)	.308(-11)	.245(-11)
29					.000(-00)	.198(-12)	.497(-11)	.299(-11)	.249(-11)	.238(-11)
30					.000(-00)	.848(-13)	.557(-09)	.404(-11)	.387(-11)	.248(-11)
31					.000(-00)	.103(-12)	.333(-11)	.457(-11)	.365(-11)	.233(-11)
32					.465(-14)	.733(-13)	.971(-12)	.377(-11)	.416(-11)	.400(-11)
33					.561(-14)	.257(-13)	.750(-12)	.352(-11)	.310(-11)	.377(-11)
34						.154(-13)	.342(-12)	.714(-11)	.363(-11)	.383(-11)
35						.118(-13)	.180(-12)	.760(-09)	.487(-11)	.457(-11)
36						.000(-00)	.120(-12)	.421(-11)	.446(-11)	.457(-11)
37						.000(-00)	.296(-13)	.176(-11)	.456(-11)	.324(-11)
38						.000(-00)	.176(-13)	.888(-12)	.621(-11)	.515(-11)
39						.491(-14)	.194(-13)	.450(-12)	.999(-11)	.553(-11)
40							.208(-13)	.438(-12)	.647(-09)	.503(-11)
41							.000(-00)	.203(-12)	.694(-11)	.692(-11)
42							.000(-00)	.225(-12)	.295(-11)	.603(-11)
43							.000(-00)	.107(-12)	.137(-11)	.774(-11)
44							.000(-00)	.470(-13)	.105(-11)	.156(-10)
45							.000(-00)	.111(-13)	.410(-12)	.684(-09)
46							.000(-00)	.000(-00)	.414(-12)	.108(-10)
47							.000(-00)	.154(-13)	.217(-12)	.401(-11)
48							.000(-00)	.170(-13)	.142(-12)	.254(-11)
49							.000(-00)	.203(-13)	.108(-12)	.103(-11)
50							.000(-00)	.101(-13)	.139(-12)	.934(-12)
51							.000(-00)	.115(-13)	.885(-13)	.996(-12)
52							.000(-00)	.823(-14)	.635(-14)	.595(-12)
53							.000(-00)	.175(-13)	.592(-13)	.236(-12)
54							.000(-00)	.978(-14)	.815(-13)	.274(-12)
55							.492(-14)	.000(-00)	.113(-13)	.160(-12)
56								.000(-00)	.104(-13)	.185(-12)
57								.000(-00)	.000(-00)	.180(-12)
58								.788(-14)	.216(-13)	.788(-13)
59										.414(-13)

Virt&I-Comm.5.2014.11

Table XIV		QCT LEPS NON REACTIVE					$T_{tr}=4000.$	$T_{rot}=1000.$		
v'	v	5	10	15	20	25	30	35	40	45
0		.456(-13)	.910(-13)	.893(-12)	.149(-11)	.177(-11)	.176(-11)	.182(-11)	.104(-11)	.540(-12)
1		.106(-12)	.257(-12)	.995(-12)	.105(-11)	.149(-11)	.175(-11)	.144(-11)	.117(-11)	.740(-12)
2		.178(-12)	.378(-12)	.743(-12)	.155(-11)	.157(-11)	.133(-11)	.143(-11)	.148(-11)	.123(-11)
3		.469(-12)	.440(-12)	.102(-11)	.114(-11)	.123(-11)	.130(-11)	.122(-11)	.149(-11)	.143(-11)
4		.168(-11)	.493(-12)	.764(-12)	.114(-11)	.119(-11)	.108(-11)	.158(-11)	.118(-11)	.851(-12)
5		.369(-09)	.468(-12)	.758(-12)	.127(-11)	.133(-11)	.171(-11)	.114(-11)	.114(-11)	.120(-11)
6		.893(-12)	.468(-12)	.989(-12)	.933(-12)	.146(-11)	.156(-11)	.119(-11)	.700(-12)	.599(-12)
7		.193(-12)	.636(-12)	.889(-12)	.116(-11)	.123(-11)	.127(-11)	.139(-11)	.163(-11)	.607(-12)
8		.574(-13)	.810(-12)	.664(-12)	.114(-11)	.141(-11)	.128(-11)	.158(-11)	.818(-12)	.878(-12)
9		.108(-13)	.234(-11)	.778(-12)	.114(-11)	.122(-11)	.131(-11)	.128(-11)	.132(-11)	.102(-11)
10		.363(-14)	.447(-09)	.102(-11)	.139(-11)	.121(-11)	.127(-11)	.100(-11)	.140(-11)	.102(-11)
11		.878(-14)	.110(-11)	.756(-12)	.132(-11)	.150(-11)	.148(-11)	.124(-11)	.745(-12)	.119(-11)
12			.193(-12)	.958(-12)	.131(-11)	.160(-11)	.152(-11)	.195(-11)	.110(-11)	.134(-11)
13			.845(-13)	.112(-11)	.158(-11)	.141(-11)	.175(-11)	.184(-11)	.144(-11)	.124(-11)
14			.348(-13)	.277(-11)	.179(-11)	.141(-11)	.133(-11)	.176(-11)	.145(-11)	.126(-11)
15			.139(-13)	.403(-09)	.111(-11)	.211(-11)	.175(-11)	.196(-11)	.168(-11)	.107(-11)
16			.226(-13)	.123(-11)	.133(-11)	.184(-11)	.189(-11)	.138(-11)	.151(-11)	.704(-12)
17			.486(-14)	.302(-12)	.127(-11)	.211(-11)	.202(-11)	.208(-11)	.194(-11)	.106(-11)
18			.000(-00)	.779(-13)	.210(-11)	.202(-11)	.187(-11)	.199(-11)	.222(-11)	.914(-12)
19			.527(-14)	.347(-13)	.374(-11)	.134(-11)	.189(-11)	.237(-11)	.183(-11)	.186(-11)
20			.399(-14)	.708(-14)	.454(-09)	.274(-11)	.236(-11)	.258(-11)	.132(-11)	.197(-11)
21			.289(-14)	.394(-13)	.189(-11)	.201(-11)	.271(-11)	.256(-11)	.240(-11)	.154(-11)
22			.000(-00)	.886(-14)	.539(-12)	.253(-11)	.260(-11)	.259(-11)	.190(-11)	.210(-11)
23			.000(-00)	.501(-14)	.351(-12)	.256(-11)	.227(-11)	.183(-11)	.209(-11)	.149(-11)
24			.000(-00)	.521(-14)	.226(-12)	.488(-11)	.293(-11)	.275(-11)	.189(-11)	.153(-11)
25			.315(-14)		.666(-13)	.493(-09)	.299(-11)	.300(-11)	.198(-11)	.140(-11)
26					.298(-13)	.240(-11)	.407(-11)	.324(-11)	.189(-11)	.160(-11)
27					.153(-13)	.835(-12)	.367(-11)	.284(-11)	.250(-11)	.205(-11)
28					.650(-14)	.553(-12)	.365(-11)	.312(-11)	.285(-11)	.255(-11)
29					.145(-13)	.208(-12)	.684(-11)	.259(-11)	.233(-11)	.343(-11)
30						.150(-12)	.534(-09)	.338(-11)	.318(-11)	.182(-11)
31						.580(-13)	.363(-11)	.272(-11)	.379(-11)	.309(-11)
32						.858(-13)	.155(-11)	.374(-11)	.488(-11)	.293(-11)
33						.150(-13)	.614(-12)	.464(-11)	.459(-11)	.354(-11)
34						.228(-13)	.351(-12)	.762(-11)	.460(-11)	.351(-11)
35						.000(-00)	.232(-12)	.573(-09)	.434(-11)	.451(-11)
36						.185(-13)	.209(-12)	.611(-11)	.456(-11)	.387(-11)
37						.000(-00)	.858(-13)	.243(-11)	.565(-11)	.573(-11)
38						.991(-14)	.282(-13)	.957(-12)	.649(-11)	.597(-11)
39						.000(-00)	.154(-13)	.470(-12)	.111(-10)	.644(-11)
40						.710(-14)	.451(-13)	.338(-12)	.624(-09)	.496(-11)
41							.000(-00)	.191(-12)	.763(-11)	.462(-11)
42							.508(-14)	.708(-13)	.215(-11)	.623(-11)
43							.000(-00)	.149(-12)	.204(-11)	.904(-11)
44							.697(-14)	.678(-13)	.114(-11)	.156(-10)
45							.846(-14)	.535(-13)	.637(-12)	.651(-09)
46							.816(-14)	.484(-13)	.381(-12)	.126(-10)
47							.492(-14)	.168(-13)	.254(-12)	.423(-11)
48								.191(-13)	.283(-12)	.230(-11)
49								.528(-13)	.158(-12)	.149(-11)
50								.495(-14)	.109(-12)	.117(-11)
51								.000(-00)	.115(-12)	.946(-12)
52								.716(-14)	.370(-13)	.598(-12)
53									.724(-13)	.367(-12)
54									.263(-13)	.312(-12)
55									.000(-00)	.266(-12)
56									.927(-14)	.221(-12)
57									.000(-00)	.216(-12)
58									.882(-14)	.773(-13)
59									.118(-13)	.588(-13)

Virt&I-Comm.5.2014.11

Table XV		QCT LEPS NON REACTIVE					$T_{tr}=4000.$	$T_{rot}=2000.$		
v'	v	5	10	15	20	25	30	35	40	45
0		.485(-13)	.608(-13)	.908(-12)	.142(-11)	.105(-11)	.168(-11)	.865(-12)	.114(-11)	.980(-12)
1		.117(-12)	.328(-12)	.889(-12)	.812(-12)	.164(-11)	.142(-11)	.158(-11)	.850(-12)	.690(-12)
2		.272(-12)	.426(-12)	.785(-12)	.131(-11)	.976(-12)	.143(-11)	.104(-11)	.736(-12)	.651(-12)
3		.527(-12)	.493(-12)	.758(-12)	.146(-11)	.893(-12)	.151(-11)	.113(-11)	.890(-12)	.698(-12)
4		.223(-11)	.434(-12)	.627(-12)	.127(-11)	.126(-11)	.892(-12)	.117(-11)	.114(-11)	.504(-12)
5		.369(-09)	.627(-12)	.941(-12)	.120(-11)	.124(-11)	.126(-11)	.878(-12)	.930(-12)	.728(-12)
6		.976(-12)	.607(-12)	.900(-12)	.814(-12)	.110(-11)	.936(-12)	.847(-12)	.550(-12)	.539(-12)
7		.162(-12)	.754(-12)	.116(-11)	.111(-11)	.153(-11)	.108(-11)	.125(-11)	.106(-11)	.606(-12)
8		.423(-13)	.105(-11)	.847(-12)	.111(-11)	.135(-11)	.116(-11)	.124(-11)	.104(-11)	.875(-12)
9		.431(-13)	.246(-11)	.111(-11)	.139(-11)	.131(-11)	.126(-11)	.866(-12)	.136(-11)	.943(-12)
10		.211(-13)	.444(-09)	.754(-12)	.941(-12)	.135(-11)	.177(-11)	.147(-11)	.944(-12)	.555(-12)
11			.137(-11)	.951(-12)	.123(-11)	.148(-11)	.156(-11)	.167(-11)	.130(-11)	.106(-11)
12			.404(-12)	.144(-11)	.113(-11)	.179(-11)	.149(-11)	.119(-11)	.119(-11)	.948(-12)
13			.968(-13)	.148(-11)	.116(-11)	.149(-11)	.158(-11)	.198(-11)	.991(-12)	.116(-11)
14			.383(-13)	.300(-11)	.151(-11)	.161(-11)	.139(-11)	.174(-11)	.127(-11)	.100(-11)
15			.172(-13)	.396(-09)	.149(-11)	.161(-11)	.161(-11)	.225(-11)	.122(-11)	.119(-11)
16			.000(-00)	.181(-11)	.165(-11)	.197(-11)	.202(-11)	.172(-11)	.161(-11)	.109(-11)
17			.714(-14)	.472(-12)	.156(-11)	.143(-11)	.124(-11)	.199(-11)	.141(-11)	.941(-12)
18			.000(-00)	.172(-12)	.190(-11)	.185(-11)	.226(-11)	.179(-11)	.225(-11)	.947(-12)
19			.433(-14)	.888(-13)	.387(-11)	.244(-11)	.206(-11)	.208(-11)	.240(-11)	.132(-11)
20				.363(-13)	.444(-09)	.196(-11)	.201(-11)	.264(-11)	.138(-11)	.224(-11)
21				.445(-13)	.261(-11)	.173(-11)	.176(-11)	.225(-11)	.181(-11)	.119(-11)
22				.326(-13)	.602(-12)	.230(-11)	.280(-11)	.273(-11)	.159(-11)	.164(-11)
23				.176(-13)	.405(-12)	.299(-11)	.293(-11)	.227(-11)	.219(-11)	.201(-11)
24					.299(-12)	.378(-11)	.280(-11)	.262(-11)	.321(-11)	.216(-11)
25					.101(-12)	.490(-09)	.288(-11)	.248(-11)	.294(-11)	.169(-11)
26					.698(-13)	.278(-11)	.261(-11)	.318(-11)	.285(-11)	.124(-11)
27					.432(-13)	.104(-11)	.335(-11)	.304(-11)	.295(-11)	.225(-11)
28					.293(-13)	.550(-12)	.368(-11)	.338(-11)	.359(-11)	.262(-11)
29					.000(-00)	.187(-12)	.720(-11)	.233(-11)	.248(-11)	.255(-11)
30					.232(-13)	.134(-12)	.529(-09)	.340(-11)	.336(-11)	.253(-11)
31					.213(-13)	.882(-13)	.475(-11)	.355(-11)	.391(-11)	.271(-11)
32					.857(-14)	.280(-13)	.135(-11)	.442(-11)	.409(-11)	.409(-11)
33					.000(-00)	.230(-13)	.684(-12)	.494(-11)	.425(-11)	.277(-11)
34					.000(-00)	.105(-13)	.635(-12)	.100(-10)	.408(-11)	.485(-11)
35					.397(-14)	.000(-00)	.384(-12)	.558(-09)	.483(-11)	.388(-11)
36						.106(-13)	.125(-12)	.634(-11)	.470(-11)	.323(-11)
37						.000(-00)	.449(-13)	.243(-11)	.530(-11)	.611(-11)
38						.283(-13)	.386(-13)	.146(-11)	.583(-11)	.452(-11)
39						.000(-00)	.554(-13)	.900(-12)	.127(-10)	.493(-11)
40						.000(-00)	.352(-13)	.546(-12)	.598(-09)	.538(-11)
41						.819(-14)	.108(-13)	.530(-12)	.790(-11)	.587(-11)
42							.882(-14)	.265(-12)	.356(-11)	.623(-11)
43							.000(-00)	.140(-12)	.209(-11)	.104(-10)
44							.843(-14)	.163(-12)	.147(-11)	.160(-10)
45							.185(-13)	.671(-13)	.946(-12)	.616(-09)
46							.000(-00)	.807(-13)	.649(-12)	.148(-10)
47							.185(-13)	.316(-13)	.119(-12)	.507(-11)
48								.108(-13)	.353(-12)	.252(-11)
49								.381(-13)	.277(-12)	.191(-11)
50								.197(-13)	.172(-12)	.129(-11)
51								.751(-14)	.116(-12)	.117(-11)
52									.524(-13)	.869(-12)
53									.128(-12)	.786(-12)
54									.453(-13)	.415(-12)
55									.125(-13)	.224(-12)
56									.233(-13)	.194(-12)
57									.000(-00)	.363(-12)
58									.267(-13)	.148(-12)
59										.709(-13)

Virt&I-Comm.5.2014.11

Table XVI		QCT LEPS NON REACTIVE					$T_{tr}=4000.$	$T_{rot}=4000.$		
v'	v	5	10	15	20	25	30	35	40	45
0		.921(-13)	.117(-12)	.700(-12)	.134(-11)	.162(-11)	.168(-11)	.124(-11)	.960(-12)	.835(-12)
1		.136(-12)	.353(-12)	.890(-12)	.116(-11)	.124(-11)	.131(-11)	.123(-11)	.885(-12)	.536(-12)
2		.331(-12)	.325(-12)	.104(-11)	.964(-12)	.115(-11)	.144(-11)	.929(-12)	.902(-12)	.666(-12)
3		.662(-12)	.476(-12)	.816(-12)	.106(-11)	.133(-11)	.134(-11)	.120(-11)	.693(-12)	.610(-12)
4		.291(-11)	.627(-12)	.830(-12)	.146(-11)	.144(-11)	.133(-11)	.118(-11)	.826(-12)	.547(-12)
5		.366(-09)	.521(-12)	.126(-11)	.983(-12)	.122(-11)	.146(-11)	.108(-11)	.950(-12)	.603(-12)
6		.158(-11)	.590(-12)	.105(-11)	.136(-11)	.850(-12)	.131(-11)	.100(-11)	.809(-12)	.803(-12)
7		.147(-12)	.799(-12)	.102(-11)	.115(-11)	.134(-11)	.116(-11)	.113(-11)	.942(-12)	.818(-12)
8		.104(-12)	.122(-11)	.909(-12)	.110(-11)	.146(-11)	.136(-11)	.128(-11)	.889(-12)	.784(-12)
9		.235(-13)	.351(-11)	.109(-11)	.136(-11)	.132(-11)	.115(-11)	.144(-11)	.120(-11)	.564(-12)
10		.250(-13)	.437(-09)	.103(-11)	.112(-11)	.155(-11)	.172(-11)	.109(-11)	.105(-11)	.727(-12)
11		.647(-14)	.192(-11)	.900(-12)	.134(-11)	.164(-11)	.166(-11)	.144(-11)	.119(-11)	.786(-12)
12		.458(-14)	.409(-12)	.134(-11)	.134(-11)	.137(-11)	.171(-11)	.131(-11)	.127(-11)	.116(-11)
13		.000(-00)	.912(-13)	.174(-11)	.142(-11)	.150(-11)	.181(-11)	.144(-11)	.110(-11)	.100(-11)
14		.000(-00)	.424(-13)	.474(-11)	.172(-11)	.159(-11)	.168(-11)	.127(-11)	.113(-11)	.924(-12)
15		.000(-00)	.546(-13)	.386(-09)	.148(-11)	.177(-11)	.176(-11)	.161(-11)	.159(-11)	.937(-12)
16		.147(-14)	.230(-13)	.287(-11)	.199(-11)	.177(-11)	.209(-11)	.141(-11)	.104(-11)	.105(-11)
17		.240(-14)	.480(-14)	.511(-12)	.204(-11)	.151(-11)	.192(-11)	.145(-11)	.166(-11)	.124(-11)
18		.119(-14)	.960(-14)	.307(-12)	.256(-11)	.182(-11)	.218(-11)	.152(-11)	.164(-11)	.125(-11)
19			.132(-13)	.162(-12)	.581(-11)	.243(-11)	.191(-11)	.173(-11)	.156(-11)	.972(-12)
20			.000(-00)	.569(-13)	.428(-09)	.222(-11)	.196(-11)	.226(-11)	.173(-11)	.142(-11)
21			.181(-14)	.364(-13)	.338(-11)	.218(-11)	.202(-11)	.200(-11)	.165(-11)	.151(-11)
22			.370(-14)	.157(-13)	.716(-12)	.237(-11)	.259(-11)	.215(-11)	.162(-11)	.181(-11)
23				.109(-13)	.391(-12)	.329(-11)	.230(-11)	.244(-11)	.188(-11)	.162(-11)
24				.114(-13)	.191(-12)	.753(-11)	.254(-11)	.273(-11)	.228(-11)	.178(-11)
25				.000(-00)	.611(-13)	.465(-09)	.288(-11)	.320(-11)	.252(-11)	.196(-11)
26				.627(-14)	.113(-12)	.442(-11)	.306(-11)	.299(-11)	.254(-11)	.237(-11)
27				.000(-00)	.622(-13)	.109(-11)	.371(-11)	.304(-11)	.244(-11)	.214(-11)
28				.343(-14)	.557(-14)	.912(-12)	.411(-11)	.298(-11)	.315(-11)	.182(-11)
29					.138(-13)	.448(-12)	.967(-11)	.386(-11)	.320(-11)	.234(-11)
30					.629(-14)	.156(-12)	.495(-09)	.382(-11)	.354(-11)	.225(-11)
31					.750(-14)	.167(-12)	.791(-11)	.420(-11)	.348(-11)	.279(-11)
32					.497(-14)	.100(-12)	.186(-11)	.416(-11)	.368(-11)	.339(-11)
33					.310(-14)	.256(-13)	.105(-11)	.597(-11)	.442(-11)	.279(-11)
34					.000(-00)	.274(-13)	.569(-12)	.124(-10)	.426(-11)	.332(-11)
35					.000(-00)	.353(-13)	.471(-12)	.536(-09)	.421(-11)	.377(-11)
36					.565(-14)	.332(-13)	.211(-12)	.982(-11)	.450(-11)	.405(-11)
37						.836(-14)	.164(-12)	.278(-11)	.573(-11)	.498(-11)
38						.000(-00)	.177(-12)	.156(-11)	.709(-11)	.338(-11)
39						.384(-14)	.106(-12)	.102(-11)	.170(-10)	.417(-11)
40						.379(-14)	.636(-13)	.647(-12)	.550(-09)	.422(-11)
41							.560(-13)	.492(-12)	.127(-10)	.631(-11)
42							.389(-13)	.365(-12)	.488(-11)	.695(-11)
43							.357(-13)	.249(-12)	.291(-11)	.974(-11)
44							.180(-13)	.241(-12)	.159(-11)	.207(-10)
45							.255(-13)	.138(-12)	.980(-12)	.584(-09)
46							.113(-13)	.907(-13)	.842(-12)	.176(-10)
47							.111(-13)	.698(-13)	.707(-12)	.602(-11)
48							.685(-14)	.253(-13)	.330(-12)	.351(-11)
49							.170(-13)	.483(-13)	.416(-12)	.254(-11)
50							.000(-00)	.313(-13)	.234(-12)	.201(-11)
51							.000(-00)	.134(-13)	.188(-12)	.124(-11)
52							.714(-14)	.651(-14)	.138(-12)	.954(-12)
53							.240(-13)	.132(-13)	.161(-12)	.866(-12)
54							.000(-00)	.926(-14)	.101(-12)	.527(-12)
55							.000(-00)	.422(-14)	.743(-13)	.446(-12)
56							.000(-00)	.203(-13)	.435(-13)	.357(-12)
57							.000(-00)	.454(-14)	.222(-13)	.428(-12)
58							.000(-00)		.315(-13)	.156(-12)
59							.231(-14)		.229(-13)	.188(-12)

Virt&I-Comm.5.2014.11

Table XVII		QCT LEPS NON REACTIVE					$T_{tr}=8000.$	$T_{rot}=500.$		
v'	v	5	10	15	20	25	30	35	40	45
0		.556(-12)	.679(-12)	.188(-11)	.232(-11)	.280(-11)	.322(-11)	.214(-11)	.232(-11)	.128(-11)
1		.130(-11)	.114(-11)	.146(-11)	.220(-11)	.208(-11)	.273(-11)	.175(-11)	.257(-11)	.138(-11)
2		.173(-11)	.161(-11)	.185(-11)	.219(-11)	.246(-11)	.182(-11)	.269(-11)	.172(-11)	.859(-12)
3		.329(-11)	.167(-11)	.202(-11)	.222(-11)	.213(-11)	.218(-11)	.185(-11)	.285(-11)	.119(-11)
4		.105(-10)	.116(-11)	.182(-11)	.186(-11)	.237(-11)	.252(-11)	.174(-11)	.155(-11)	.102(-11)
5		.473(-09)	.215(-11)	.179(-11)	.164(-11)	.226(-11)	.215(-11)	.111(-11)	.180(-11)	.863(-12)
6		.802(-11)	.245(-11)	.170(-11)	.222(-11)	.268(-11)	.216(-11)	.230(-11)	.160(-11)	.105(-11)
7		.186(-11)	.263(-11)	.232(-11)	.221(-11)	.188(-11)	.173(-11)	.143(-11)	.126(-11)	.124(-11)
8		.805(-12)	.496(-11)	.227(-11)	.218(-11)	.187(-11)	.171(-11)	.132(-11)	.152(-11)	.133(-11)
9		.490(-12)	.125(-10)	.257(-11)	.213(-11)	.192(-11)	.232(-11)	.224(-11)	.170(-11)	.167(-11)
10		.350(-12)	.554(-09)	.262(-11)	.233(-11)	.221(-11)	.214(-11)	.221(-11)	.134(-11)	.125(-11)
11		.632(-13)	.896(-11)	.248(-11)	.315(-11)	.275(-11)	.190(-11)	.239(-11)	.184(-11)	.149(-11)
12		.868(-13)	.204(-11)	.294(-11)	.185(-11)	.265(-11)	.257(-11)	.209(-11)	.183(-11)	.138(-11)
13		.501(-13)	.112(-11)	.457(-11)	.252(-11)	.234(-11)	.313(-11)	.215(-11)	.131(-11)	.149(-11)
14		.224(-13)	.555(-12)	.128(-10)	.261(-11)	.273(-11)	.214(-11)	.263(-11)	.184(-11)	.188(-11)
15		.204(-13)	.336(-12)	.475(-09)	.231(-11)	.396(-11)	.255(-11)	.208(-11)	.170(-11)	.178(-11)
16		.109(-13)	.954(-13)	.818(-11)	.291(-11)	.260(-11)	.161(-11)	.215(-11)	.196(-11)	.216(-11)
17		.146(-13)	.178(-12)	.198(-11)	.405(-11)	.314(-11)	.253(-11)	.248(-11)	.161(-11)	.117(-11)
18		.120(-13)	.859(-13)	.884(-12)	.502(-11)	.362(-11)	.230(-11)	.264(-11)	.297(-11)	.166(-11)
19		.561(-14)	.484(-13)	.774(-12)	.129(-10)	.312(-11)	.243(-11)	.329(-11)	.246(-11)	.168(-11)
20		.000(-00)	.580(-13)	.275(-12)	.534(-09)	.359(-11)	.362(-11)	.269(-11)	.205(-11)	.260(-11)
21		.000(-00)	.531(-13)	.228(-12)	.940(-11)	.396(-11)	.365(-11)	.271(-11)	.220(-11)	.233(-11)
22		.000(-00)	.181(-13)	.208(-12)	.262(-11)	.426(-11)	.321(-11)	.238(-11)	.321(-11)	.365(-11)
23		.000(-00)	.000(-00)	.903(-13)	.135(-11)	.578(-11)	.419(-11)	.431(-11)	.237(-11)	.197(-11)
24		.000(-00)	.275(-13)	.649(-13)	.118(-11)	.144(-10)	.354(-11)	.448(-11)	.247(-11)	.269(-11)
25		.000(-00)	.557(-14)	.572(-13)	.486(-12)	.605(-09)	.447(-11)	.455(-11)	.368(-11)	.297(-11)
26		.000(-00)	.123(-13)	.801(-14)	.453(-12)	.109(-10)	.439(-11)	.342(-11)	.281(-11)	.204(-11)
27		.000(-00)	.618(-14)	.569(-13)	.344(-12)	.323(-11)	.437(-11)	.418(-11)	.311(-11)	.202(-11)
28		.000(-00)	.806(-14)	.121(-13)	.263(-12)	.190(-11)	.747(-11)	.457(-11)	.435(-11)	.404(-11)
29		.432(-14)	.128(-13)	.167(-13)	.811(-13)	.115(-11)	.172(-10)	.529(-11)	.429(-11)	.484(-11)
30			.549(-14)	.242(-13)	.729(-13)	.934(-12)	.672(-09)	.482(-11)	.373(-11)	.503(-11)
31				.000(-00)	.678(-13)	.646(-12)	.120(-10)	.397(-11)	.603(-11)	.379(-11)
32				.713(-14)	.238(-13)	.358(-12)	.421(-11)	.700(-11)	.457(-11)	.480(-11)
33				.000(-00)	.137(-13)	.302(-12)	.250(-11)	.106(-10)	.540(-11)	.366(-11)
34				.770(-14)	.548(-13)	.197(-12)	.160(-11)	.205(-10)	.542(-11)	.373(-11)
35				.000(-00)	.000(-00)	.906(-13)	.838(-12)	.741(-09)	.605(-11)	.441(-11)
36				.171(-13)	.483(-13)	.144(-12)	.611(-12)	.150(-10)	.491(-11)	.625(-11)
37				.000(-00)	.711(-14)	.187(-12)	.499(-12)	.537(-11)	.836(-11)	.505(-11)
38				.000(-00)	.206(-13)	.596(-13)	.596(-12)	.330(-11)	.111(-10)	.745(-11)
39				.457(-14)	.000(-00)	.493(-13)	.321(-12)	.189(-11)	.244(-10)	.822(-11)
40					.000(-00)	.766(-13)	.163(-12)	.145(-11)	.825(-09)	.666(-11)
41					.000(-00)	.483(-13)	.286(-12)	.981(-12)	.233(-10)	.846(-11)
42					.692(-14)	.116(-13)	.678(-13)	.101(-11)	.648(-11)	.937(-11)
43					.211(-13)	.876(-14)	.964(-13)	.791(-12)	.402(-11)	.161(-10)
44					.000(-00)	.923(-14)	.154(-12)	.684(-12)	.290(-11)	.343(-10)
45					.000(-00)	.000(-00)	.106(-12)	.371(-12)	.200(-11)	.898(-09)
46					.000(-00)	.000(-00)	.132(-12)	.256(-12)	.145(-11)	.276(-10)
47					.000(-00)	.000(-00)	.115(-12)	.271(-12)	.140(-11)	.105(-10)
48					.000(-00)	.112(-13)	.307(-13)	.445(-12)	.847(-12)	.601(-11)
49					.000(-00)	.000(-00)	.291(-13)	.161(-12)	.688(-12)	.386(-11)
50					.000(-00)	.000(-00)	.226(-13)	.575(-13)	.874(-12)	.201(-11)
51					.000(-00)	.000(-00)	.103(-12)	.189(-12)	.465(-12)	.198(-11)
52					.000(-00)	.267(-13)	.000(-00)	.781(-13)	.510(-12)	.146(-11)
53					.000(-00)		.144(-13)	.488(-13)	.339(-12)	.147(-11)
54					.000(-00)		.301(-13)	.799(-13)	.209(-12)	.123(-11)
55					.000(-00)		.000(-00)	.752(-13)	.129(-12)	.743(-12)
56					.152(-13)		.000(-00)	.232(-13)	.156(-12)	.670(-12)
57							.137(-13)	.320(-13)	.104(-12)	.556(-12)
58								.134(-13)	.374(-13)	.351(-12)
59									.884(-13)	.189(-12)

Virt&I-Comm.5.2014.11

Table XVIII		QCT LEPS NON REACTIVE					$T_{tr}=8000.$	$T_{rot}=1000.$		
v'	v	5	10	15	20	25	30	35	40	45
0		.619(-12)	.575(-12)	.139(-11)	.212(-11)	.232(-11)	.332(-11)	.222(-11)	.177(-11)	.162(-11)
1		.110(-11)	.997(-12)	.144(-11)	.262(-11)	.244(-11)	.254(-11)	.171(-11)	.126(-11)	.139(-11)
2		.204(-11)	.147(-11)	.196(-11)	.241(-11)	.225(-11)	.283(-11)	.201(-11)	.131(-11)	.108(-11)
3		.304(-11)	.161(-11)	.197(-11)	.235(-11)	.212(-11)	.239(-11)	.155(-11)	.135(-11)	.100(-11)
4		.110(-10)	.160(-11)	.188(-11)	.252(-11)	.255(-11)	.233(-11)	.162(-11)	.115(-11)	.696(-12)
5		.471(-09)	.177(-11)	.173(-11)	.160(-11)	.293(-11)	.210(-11)	.138(-11)	.124(-11)	.652(-12)
6		.856(-11)	.197(-11)	.200(-11)	.171(-11)	.232(-11)	.184(-11)	.192(-11)	.147(-11)	.148(-11)
7		.220(-11)	.323(-11)	.229(-11)	.191(-11)	.222(-11)	.235(-11)	.161(-11)	.148(-11)	.774(-12)
8		.740(-12)	.408(-11)	.245(-11)	.209(-11)	.211(-11)	.150(-11)	.156(-11)	.741(-12)	.152(-11)
9		.322(-12)	.127(-10)	.278(-11)	.196(-11)	.266(-11)	.252(-11)	.214(-11)	.124(-11)	.885(-12)
10		.160(-12)	.551(-09)	.235(-11)	.237(-11)	.227(-11)	.256(-11)	.228(-11)	.186(-11)	.134(-11)
11		.192(-12)	.906(-11)	.306(-11)	.228(-11)	.294(-11)	.218(-11)	.209(-11)	.135(-11)	.180(-11)
12		.763(-13)	.191(-11)	.280(-11)	.265(-11)	.180(-11)	.262(-11)	.161(-11)	.149(-11)	.152(-11)
13		.622(-13)	.886(-12)	.481(-11)	.280(-11)	.224(-11)	.263(-11)	.185(-11)	.173(-11)	.864(-12)
14		.000(-00)	.482(-12)	.131(-10)	.334(-11)	.315(-11)	.345(-11)	.255(-11)	.231(-11)	.198(-11)
15		.275(-13)	.249(-12)	.468(-09)	.352(-11)	.250(-11)	.262(-11)	.222(-11)	.287(-11)	.289(-11)
16		.282(-13)	.166(-12)	.853(-11)	.284(-11)	.354(-11)	.251(-11)	.246(-11)	.209(-11)	.186(-11)
17		.121(-13)	.207(-12)	.230(-11)	.300(-11)	.416(-11)	.266(-11)	.207(-11)	.297(-11)	.128(-11)
18		.150(-13)	.629(-13)	.909(-12)	.556(-11)	.286(-11)	.302(-11)	.233(-11)	.195(-11)	.211(-11)
19		.553(-14)	.528(-13)	.537(-12)	.141(-10)	.251(-11)	.353(-11)	.302(-11)	.201(-11)	.222(-11)
20		.182(-13)	.523(-13)	.393(-12)	.523(-09)	.452(-11)	.279(-11)	.331(-11)	.321(-11)	.168(-11)
21		.568(-14)	.942(-14)	.253(-12)	.102(-10)	.369(-11)	.360(-11)	.289(-11)	.290(-11)	.280(-11)
22		.000(-00)	.423(-13)	.114(-12)	.327(-11)	.459(-11)	.326(-11)	.369(-11)	.233(-11)	.236(-11)
23		.713(-14)	.106(-13)	.907(-13)	.126(-11)	.682(-11)	.350(-11)	.289(-11)	.322(-11)	.309(-11)
24		.000(-00)	.564(-13)	.954(-13)	.784(-12)	.142(-10)	.308(-11)	.268(-11)	.241(-11)	.287(-11)
25		.000(-00)	.000(-00)	.571(-13)	.353(-12)	.596(-09)	.468(-11)	.461(-11)	.306(-11)	.278(-11)
26		.000(-00)	.000(-00)	.622(-13)	.533(-12)	.120(-10)	.426(-11)	.333(-11)	.267(-11)	.385(-11)
27		.000(-00)	.806(-14)	.357(-13)	.273(-12)	.381(-11)	.550(-11)	.378(-11)	.296(-11)	.265(-11)
28		.000(-00)		.538(-13)	.202(-12)	.185(-11)	.795(-11)	.567(-11)	.344(-11)	.369(-11)
29		.432(-14)		.125(-13)	.801(-13)	.101(-11)	.192(-10)	.444(-11)	.297(-11)	.230(-11)
30		.329(-14)		.000(-00)	.185(-12)	.918(-12)	.666(-09)	.417(-11)	.438(-11)	.282(-11)
31				.000(-00)	.877(-13)	.381(-12)	.117(-10)	.517(-11)	.515(-11)	.389(-11)
32				.139(-13)	.838(-13)	.521(-12)	.401(-11)	.668(-11)	.458(-11)	.273(-11)
33				.849(-14)	.737(-13)	.251(-12)	.211(-11)	.871(-11)	.525(-11)	.377(-11)
34				.713(-14)	.100(-13)	.147(-12)	.188(-11)	.210(-10)	.557(-11)	.593(-11)
35				.000(-00)	.235(-13)	.173(-12)	.107(-11)	.736(-09)	.732(-11)	.549(-11)
36				.760(-14)	.299(-13)	.110(-12)	.765(-12)	.169(-10)	.662(-11)	.488(-11)
37					.000(-00)	.132(-12)	.648(-12)	.577(-11)	.761(-11)	.608(-11)
38					.889(-14)	.121(-13)	.469(-12)	.343(-11)	.106(-10)	.567(-11)
39					.000(-00)	.721(-13)	.238(-12)	.193(-11)	.252(-10)	.721(-11)
40					.000(-00)	.169(-13)	.270(-12)	.112(-11)	.814(-09)	.684(-11)
41					.000(-00)	.311(-13)	.244(-12)	.112(-11)	.240(-10)	.946(-11)
42					.000(-00)	.867(-13)	.205(-12)	.112(-11)	.796(-11)	.123(-10)
43					.842(-14)	.143(-13)	.211(-12)	.750(-12)	.322(-11)	.142(-10)
44					.000(-00)	.251(-13)	.136(-12)	.528(-12)	.325(-11)	.383(-10)
45					.000(-00)	.209(-13)	.717(-13)	.455(-12)	.191(-11)	.872(-09)
46					.000(-00)	.234(-13)	.217(-13)	.234(-12)	.170(-11)	.289(-10)
47					.000(-00)	.000(-00)	.467(-13)	.353(-12)	.156(-11)	.886(-11)
48					.000(-00)	.000(-00)	.277(-13)	.250(-12)	.832(-12)	.512(-11)
49					.000(-00)	.155(-13)	.192(-13)	.143(-12)	.704(-12)	.540(-11)
50					.189(-13)	.000(-00)	.333(-13)	.297(-12)	.670(-12)	.304(-11)
51					.000(-00)	.000(-00)	.578(-13)	.165(-12)	.567(-12)	.271(-11)
52					.000(-00)	.109(-13)	.505(-13)	.930(-13)	.362(-12)	.200(-11)
53					.000(-00)		.938(-14)	.860(-13)	.377(-12)	.156(-11)
54					.000(-00)		.956(-14)	.217(-13)	.309(-12)	.146(-11)
55					.000(-00)		.000(-00)	.548(-13)	.255(-12)	.971(-12)
56					.895(-14)		.946(-14)	.507(-13)	.236(-12)	.779(-12)
57							.127(-13)	.170(-13)	.187(-12)	.716(-12)
58							.111(-13)	.000(-00)	.248(-12)	.364(-12)
59								.146(-13)	.813(-13)	.330(-12)

Virt&I-Comm.5.2014.11

Table XIX		QCT LEPS NON REACTIVE					$T_{tr}=8000.$	$T_{rot}=2000.$		
v'	v	5	10	15	20	25	30	35	40	45
0		.648(-12)	.739(-12)	.139(-11)	.211(-11)	.246(-11)	.271(-11)	.279(-11)	.140(-11)	.949(-12)
1		.131(-11)	.109(-11)	.195(-11)	.231(-11)	.224(-11)	.292(-11)	.139(-11)	.142(-11)	.163(-11)
2		.171(-11)	.160(-11)	.185(-11)	.232(-11)	.160(-11)	.205(-11)	.160(-11)	.108(-11)	.797(-12)
3		.367(-11)	.127(-11)	.163(-11)	.195(-11)	.196(-11)	.230(-11)	.179(-11)	.130(-11)	.771(-12)
4		.123(-10)	.170(-11)	.171(-11)	.120(-11)	.222(-11)	.125(-11)	.209(-11)	.151(-11)	.840(-12)
5		.465(-09)	.235(-11)	.236(-11)	.230(-11)	.122(-11)	.169(-11)	.271(-11)	.139(-11)	.881(-12)
6		.876(-11)	.200(-11)	.252(-11)	.248(-11)	.217(-11)	.202(-11)	.120(-11)	.165(-11)	.134(-11)
7		.160(-11)	.311(-11)	.126(-11)	.166(-11)	.217(-11)	.198(-11)	.168(-11)	.139(-11)	.979(-12)
8		.859(-12)	.431(-11)	.211(-11)	.205(-11)	.289(-11)	.172(-11)	.219(-11)	.858(-12)	.540(-12)
9		.394(-12)	.138(-10)	.272(-11)	.220(-11)	.270(-11)	.199(-11)	.192(-11)	.120(-11)	.951(-12)
10		.210(-12)	.543(-09)	.249(-11)	.211(-11)	.232(-11)	.167(-11)	.130(-11)	.126(-11)	.115(-11)
11		.293(-12)	.921(-11)	.240(-11)	.186(-11)	.225(-11)	.223(-11)	.231(-11)	.238(-11)	.115(-11)
12		.532(-13)	.216(-11)	.275(-11)	.200(-11)	.318(-11)	.262(-11)	.181(-11)	.110(-11)	.948(-12)
13		.892(-13)	.115(-11)	.540(-11)	.161(-11)	.243(-11)	.200(-11)	.175(-11)	.188(-11)	.171(-11)
14		.295(-13)	.612(-12)	.139(-10)	.343(-11)	.272(-11)	.270(-11)	.276(-11)	.163(-11)	.168(-11)
15		.610(-13)	.294(-12)	.461(-09)	.283(-11)	.328(-11)	.344(-11)	.245(-11)	.258(-11)	.129(-11)
16		.684(-13)	.218(-12)	.867(-11)	.306(-11)	.305(-11)	.312(-11)	.340(-11)	.159(-11)	.182(-11)
17		.738(-14)	.126(-12)	.291(-11)	.471(-11)	.339(-11)	.272(-11)	.273(-11)	.307(-11)	.884(-12)
18		.211(-13)	.623(-13)	.125(-11)	.526(-11)	.336(-11)	.312(-11)	.221(-11)	.193(-11)	.171(-11)
19		.000(-00)	.504(-13)	.503(-12)	.154(-10)	.305(-11)	.399(-11)	.367(-11)	.204(-11)	.246(-11)
20		.000(-00)	.581(-13)	.409(-12)	.510(-09)	.286(-11)	.355(-11)	.291(-11)	.250(-11)	.294(-11)
21		.101(-13)	.250(-13)	.297(-12)	.123(-10)	.291(-11)	.270(-11)	.402(-11)	.336(-11)	.245(-11)
22		.727(-14)	.000(-00)	.266(-12)	.306(-11)	.503(-11)	.293(-11)	.351(-11)	.236(-11)	.168(-11)
23		.000(-00)	.108(-13)	.128(-12)	.159(-11)	.596(-11)	.286(-11)	.316(-11)	.224(-11)	.212(-11)
24		.000(-00)	.113(-13)	.143(-12)	.716(-12)	.158(-10)	.469(-11)	.391(-11)	.408(-11)	.333(-11)
25		.553(-14)	.240(-13)	.850(-13)	.548(-12)	.579(-09)	.472(-11)	.265(-11)	.372(-11)	.209(-11)
26			.770(-14)	.533(-13)	.360(-12)	.135(-10)	.571(-11)	.324(-11)	.443(-11)	.213(-11)
27			.000(-00)	.436(-13)	.302(-12)	.416(-11)	.560(-11)	.417(-11)	.330(-11)	.284(-11)
28			.000(-00)	.175(-13)	.156(-12)	.185(-11)	.833(-11)	.461(-11)	.319(-11)	.502(-11)
29			.756(-14)	.106(-13)	.141(-12)	.146(-11)	.207(-10)	.525(-11)	.279(-11)	.295(-11)
30			.000(-00)	.000(-00)	.139(-12)	.767(-12)	.639(-09)	.396(-11)	.363(-11)	.393(-11)
31			.000(-00)	.279(-13)	.177(-12)	.778(-12)	.148(-10)	.546(-11)	.430(-11)	.506(-11)
32			.525(-14)	.000(-00)	.572(-13)	.500(-12)	.411(-11)	.822(-11)	.495(-11)	.347(-11)
33				.970(-14)	.100(-12)	.494(-12)	.275(-11)	.887(-11)	.369(-11)	.416(-11)
34				.000(-00)	.495(-13)	.236(-12)	.188(-11)	.236(-10)	.480(-11)	.593(-11)
35				.713(-14)	.233(-13)	.224(-12)	.113(-11)	.701(-09)	.658(-11)	.522(-11)
36				.000(-00)	.491(-13)	.119(-12)	.117(-11)	.203(-10)	.674(-11)	.404(-11)
37				.000(-00)	.157(-13)	.713(-13)	.518(-12)	.727(-11)	.862(-11)	.584(-11)
38				.000(-00)	.311(-13)	.442(-13)	.441(-12)	.361(-11)	.131(-10)	.843(-11)
39				.000(-00)	.116(-13)	.825(-13)	.449(-12)	.292(-11)	.289(-10)	.511(-11)
40				.000(-00)	.136(-13)	.992(-13)	.336(-12)	.169(-11)	.778(-09)	.757(-11)
41				.000(-00)	.000(-00)	.387(-13)	.234(-12)	.166(-11)	.252(-10)	.821(-11)
42				.707(-14)	.842(-14)	.118(-13)	.225(-12)	.124(-11)	.930(-11)	.117(-10)
43				.795(-14)	.104(-13)	.355(-13)	.154(-12)	.906(-12)	.423(-11)	.126(-10)
44				.000(-00)	.000(-00)	.778(-14)	.230(-12)	.605(-12)	.291(-11)	.383(-10)
45				.644(-14)	.000(-00)	.277(-13)	.114(-12)	.767(-12)	.214(-11)	.830(-09)
46					.000(-00)	.107(-13)	.867(-13)	.388(-12)	.179(-11)	.332(-10)
47					.000(-00)	.000(-00)	.110(-12)	.211(-12)	.124(-11)	.109(-10)
48					.000(-00)	.299(-13)	.282(-13)	.240(-12)	.120(-11)	.574(-11)
49					.000(-00)	.380(-13)	.185(-13)	.263(-12)	.892(-12)	.409(-11)
50					.970(-14)	.000(-00)	.186(-13)	.180(-12)	.576(-12)	.311(-11)
51					.000(-00)	.000(-00)	.000(-00)	.205(-13)	.424(-12)	.253(-11)
52					.000(-00)	.158(-13)	.187(-13)	.836(-13)	.600(-12)	.169(-11)
53					.000(-00)	.000(-00)	.154(-13)	.145(-12)	.313(-12)	.161(-11)
54					.000(-00)	.939(-14)	.201(-13)	.557(-13)	.458(-12)	.992(-12)
55					.895(-14)	.136(-13)	.249(-13)	.198(-13)	.643(-12)	.110(-11)
56						.000(-00)		.570(-13)	.348(-12)	.763(-12)
57						.000(-00)		.226(-13)	.173(-12)	.439(-12)
58						.140(-13)		.197(-13)	.687(-13)	.563(-12)
59								.146(-13)	.453(-13)	.735(-12)

Virt&I-Comm.5.2014.11

Table XX		QCT LEPS NON REACTIVE					$T_{tr}=8000.$	$T_{rot}=4000.$		
v'	v	5	10	15	20	25	30	35	40	45
0		.558(-12)	.446(-12)	.114(-11)	.166(-11)	.228(-11)	.166(-11)	.191(-11)	.143(-11)	.959(-12)
1		.132(-11)	.101(-11)	.190(-11)	.255(-11)	.209(-11)	.251(-11)	.125(-11)	.102(-11)	.945(-12)
2		.199(-11)	.161(-11)	.190(-11)	.205(-11)	.233(-11)	.156(-11)	.183(-11)	.116(-11)	.120(-11)
3		.487(-11)	.160(-11)	.149(-11)	.239(-11)	.369(-11)	.197(-11)	.179(-11)	.144(-11)	.114(-11)
4		.136(-10)	.167(-11)	.177(-11)	.217(-11)	.183(-11)	.189(-11)	.139(-11)	.109(-11)	.122(-11)
5		.457(-09)	.217(-11)	.186(-11)	.280(-11)	.245(-11)	.122(-11)	.109(-11)	.140(-11)	.146(-11)
6		.923(-11)	.265(-11)	.226(-11)	.223(-11)	.189(-11)	.170(-11)	.136(-11)	.197(-11)	.927(-12)
7		.167(-11)	.264(-11)	.223(-11)	.307(-11)	.226(-11)	.171(-11)	.183(-11)	.121(-11)	.918(-12)
8		.670(-12)	.477(-11)	.245(-11)	.214(-11)	.278(-11)	.218(-11)	.166(-11)	.106(-11)	.102(-11)
9		.359(-12)	.156(-10)	.262(-11)	.166(-11)	.188(-11)	.163(-11)	.182(-11)	.100(-11)	.113(-11)
10		.288(-12)	.526(-09)	.209(-11)	.250(-11)	.228(-11)	.140(-11)	.229(-11)	.130(-11)	.134(-11)
11		.241(-12)	.110(-10)	.209(-11)	.254(-11)	.254(-11)	.245(-11)	.150(-11)	.207(-11)	.166(-11)
12		.114(-12)	.278(-11)	.396(-11)	.294(-11)	.338(-11)	.241(-11)	.189(-11)	.130(-11)	.819(-12)
13		.105(-12)	.108(-11)	.625(-11)	.353(-11)	.290(-11)	.199(-11)	.225(-11)	.179(-11)	.117(-11)
14		.939(-13)	.673(-12)	.148(-10)	.238(-11)	.275(-11)	.212(-11)	.307(-11)	.215(-11)	.119(-11)
15		.508(-13)	.471(-12)	.438(-09)	.282(-11)	.259(-11)	.350(-11)	.227(-11)	.133(-11)	.189(-11)
16		.160(-13)	.230(-12)	.109(-10)	.330(-11)	.290(-11)	.242(-11)	.248(-11)	.189(-11)	.135(-11)
17		.104(-13)	.190(-12)	.343(-11)	.436(-11)	.237(-11)	.280(-11)	.285(-11)	.258(-11)	.118(-11)
18		.169(-13)	.366(-13)	.168(-11)	.657(-11)	.298(-11)	.311(-11)	.285(-11)	.202(-11)	.199(-11)
19		.318(-13)	.129(-12)	.956(-12)	.169(-10)	.390(-11)	.207(-11)	.245(-11)	.200(-11)	.179(-11)
20		.000(-00)	.678(-13)	.515(-12)	.487(-09)	.300(-11)	.301(-11)	.355(-11)	.270(-11)	.123(-11)
21		.547(-14)	.208(-13)	.474(-12)	.135(-10)	.482(-11)	.325(-11)	.333(-11)	.261(-11)	.159(-11)
22		.497(-14)	.256(-13)	.337(-12)	.428(-11)	.536(-11)	.406(-11)	.239(-11)	.310(-11)	.197(-11)
23		.669(-14)	.181(-13)	.322(-12)	.190(-11)	.833(-11)	.439(-11)	.367(-11)	.238(-11)	.180(-11)
24			.223(-13)	.243(-12)	.119(-11)	.207(-10)	.411(-11)	.332(-11)	.229(-11)	.208(-11)
25			.000(-00)	.648(-13)	.824(-12)	.542(-09)	.448(-11)	.344(-11)	.333(-11)	.251(-11)
26			.176(-13)	.315(-13)	.461(-12)	.161(-10)	.623(-11)	.462(-11)	.222(-11)	.235(-11)
27			.818(-14)	.737(-13)	.420(-12)	.483(-11)	.567(-11)	.418(-11)	.238(-11)	.349(-11)
28			.756(-14)	.849(-13)	.233(-12)	.253(-11)	.918(-11)	.343(-11)	.316(-11)	.283(-11)
29				.124(-13)	.176(-12)	.168(-11)	.221(-10)	.369(-11)	.434(-11)	.365(-11)
30				.326(-13)	.845(-13)	.108(-11)	.601(-09)	.518(-11)	.400(-11)	.398(-11)
31				.280(-13)	.231(-12)	.594(-12)	.173(-10)	.663(-11)	.351(-11)	.429(-11)
32				.779(-14)	.825(-13)	.879(-12)	.420(-11)	.646(-11)	.463(-11)	.479(-11)
33				.972(-14)	.464(-13)	.500(-12)	.290(-11)	.873(-11)	.407(-11)	.565(-11)
34				.203(-13)	.691(-13)	.564(-12)	.225(-11)	.245(-10)	.433(-11)	.438(-11)
35				.000(-00)	.391(-13)	.431(-12)	.152(-11)	.659(-09)	.598(-11)	.562(-11)
36				.970(-14)	.518(-13)	.101(-12)	.917(-12)	.214(-10)	.690(-11)	.654(-11)
37				.713(-14)	.141(-13)	.120(-12)	.970(-12)	.775(-11)	.837(-11)	.578(-11)
38				.000(-00)	.508(-13)	.242(-12)	.945(-12)	.449(-11)	.133(-10)	.526(-11)
39				.000(-00)	.630(-14)	.143(-12)	.473(-12)	.273(-11)	.368(-10)	.746(-11)
40				.000(-00)	.136(-13)	.537(-13)	.258(-12)	.184(-11)	.735(-09)	.681(-11)
41				.000(-00)	.000(-00)	.275(-13)	.325(-12)	.209(-11)	.257(-10)	.900(-11)
42				.000(-00)	.842(-14)	.586(-13)	.348(-12)	.140(-11)	.937(-11)	.102(-10)
43				.000(-00)	.000(-00)	.519(-13)	.252(-12)	.131(-11)	.545(-11)	.185(-10)
44				.000(-00)	.000(-00)	.538(-13)	.937(-13)	.749(-12)	.405(-11)	.346(-10)
45				.000(-00)	.000(-00)	.000(-00)	.896(-13)	.744(-12)	.241(-11)	.786(-09)
46				.000(-00)	.000(-00)	.136(-13)	.109(-12)	.634(-12)	.210(-11)	.332(-10)
47				.912(-14)	.000(-00)	.242(-13)	.199(-12)	.444(-12)	.245(-11)	.134(-10)
48					.000(-00)	.371(-13)	.901(-13)	.426(-12)	.159(-11)	.901(-11)
49					.000(-00)	.158(-13)	.179(-13)	.262(-12)	.128(-11)	.492(-11)
50					.667(-14)	.246(-13)	.350(-13)	.225(-12)	.735(-12)	.313(-11)
51					.000(-00)	.108(-13)	.905(-13)	.166(-12)	.938(-12)	.333(-11)
52					.000(-00)		.111(-13)	.271(-13)	.533(-12)	.225(-11)
53					.000(-00)		.126(-13)	.163(-12)	.577(-12)	.209(-11)
54					.000(-00)		.209(-13)	.106(-12)	.282(-12)	.130(-11)
55					.000(-00)		.000(-00)	.550(-13)	.302(-12)	.854(-12)
56					.172(-13)		.633(-13)	.587(-13)	.715(-13)	.746(-12)
57								.138(-12)	.855(-13)	.624(-12)
58								.306(-13)	.192(-12)	.548(-12)
59								.189(-13)		.304(-12)

Virt&I-Comm.5.2014.11

Table XXI		QCT LEPS REACTIVE				$T_{tr}= 500.$	$T_{rot}= 500.$		
v'	v	10	15	20	25	30	35	40	45
0		.000(-00)	.235(-14)	.115(-13)	.176(-13)	.326(-13)	.697(-13)	.104(-12)	.915(-13)
1		.000(-00)	.101(-14)	.632(-14)	.173(-13)	.444(-13)	.777(-13)	.885(-13)	.119(-12)
2		.000(-00)	.119(-14)	.734(-14)	.322(-13)	.476(-13)	.468(-13)	.854(-13)	.103(-12)
3		.000(-00)	.920(-15)	.475(-14)	.789(-14)	.308(-13)	.856(-13)	.107(-12)	.924(-13)
4		.000(-00)	.964(-15)	.616(-14)	.235(-13)	.377(-13)	.600(-13)	.789(-13)	.111(-12)
5		.000(-00)	.000(-00)	.140(-13)	.182(-13)	.563(-13)	.493(-13)	.102(-12)	.926(-13)
6		.000(-00)	.236(-14)	.120(-13)	.243(-13)	.527(-13)	.886(-13)	.851(-13)	.833(-13)
7		.000(-00)	.624(-15)	.103(-13)	.203(-13)	.490(-13)	.864(-13)	.753(-13)	.109(-12)
8		.000(-00)	.246(-14)	.119(-13)	.267(-13)	.639(-13)	.802(-13)	.109(-12)	.102(-12)
9		.000(-00)	.232(-14)	.111(-13)	.223(-13)	.607(-13)	.118(-12)	.118(-12)	.111(-12)
10		.522(-15)	.765(-15)	.128(-13)	.328(-13)	.758(-13)	.119(-12)	.100(-12)	.146(-12)
11			.359(-14)	.193(-13)	.457(-13)	.703(-13)	.731(-13)	.103(-12)	.117(-12)
12			.610(-14)	.233(-13)	.614(-13)	.118(-12)	.140(-12)	.166(-12)	.151(-12)
13			.417(-14)	.253(-13)	.546(-13)	.118(-12)	.136(-12)	.171(-12)	.159(-12)
14			.586(-14)	.278(-13)	.478(-13)	.115(-12)	.161(-12)	.156(-12)	.319(-12)
15			.655(-14)	.282(-13)	.525(-13)	.152(-12)	.210(-12)	.209(-12)	.179(-12)
16				.373(-13)	.879(-13)	.173(-12)	.234(-12)	.226(-12)	.240(-12)
17				.443(-13)	.858(-13)	.182(-12)	.246(-12)	.234(-12)	.197(-12)
18				.401(-13)	.119(-12)	.230(-12)	.189(-12)	.325(-12)	.343(-12)
19				.718(-13)	.150(-12)	.269(-12)	.308(-12)	.311(-12)	.381(-12)
20				.517(-13)	.167(-12)	.282(-12)	.359(-12)	.414(-12)	.342(-12)
21					.188(-12)	.237(-12)	.377(-12)	.330(-12)	.413(-12)
22					.213(-12)	.319(-12)	.464(-12)	.420(-12)	.497(-12)
23					.330(-12)	.365(-12)	.508(-12)	.513(-12)	.584(-12)
24					.358(-12)	.452(-12)	.553(-12)	.676(-12)	.522(-12)
25					.292(-12)	.560(-12)	.720(-12)	.697(-12)	.629(-12)
26					.211(-13)	.632(-12)	.655(-12)	.762(-12)	.746(-12)
27					.775(-15)	.874(-12)	.856(-12)	.901(-12)	.902(-12)
28						.102(-11)	.101(-11)	.120(-11)	.103(-11)
29						.136(-11)	.116(-11)	.112(-11)	.959(-12)
30						.107(-11)	.132(-11)	.140(-11)	.109(-11)
31						.540(-13)	.181(-11)	.145(-11)	.124(-11)
32						.299(-14)	.202(-11)	.193(-11)	.156(-11)
33							.282(-11)	.203(-11)	.180(-11)
34							.367(-11)	.240(-11)	.214(-11)
35							.292(-11)	.286(-11)	.233(-11)
36							.274(-12)	.360(-11)	.260(-11)
37							.118(-13)	.443(-11)	.322(-11)
38							.111(-14)	.592(-11)	.401(-11)
39								.808(-11)	.454(-11)
40								.675(-11)	.520(-11)
41								.981(-12)	.689(-11)
42								.702(-13)	.837(-11)
43								.300(-14)	.111(-10)
44									.156(-10)
45									.132(-10)
46									.276(-11)
47									.283(-12)
48									.360(-13)
49									.770(-14)
50									.844(-15)

Virt&I-Comm.5.2014.11

Table XXII		QCT LEPS REACTIVE					$T_{tr}=500.$		$T_{rot}=1000.$	
v'	v	10	15	20	25	30	35	40	45	
0		.000(-00)	.000(-00)	.121(-13)	.539(-13)	.962(-13)	.738(-13)	.127(-12)	.127(-12)	
1		.000(-00)	.000(-00)	.406(-14)	.370(-13)	.424(-13)	.899(-13)	.130(-12)	.861(-13)	
2		.000(-00)	.000(-00)	.360(-14)	.224(-13)	.346(-13)	.582(-13)	.218(-12)	.991(-13)	
3		.000(-00)	.000(-00)	.000(-00)	.325(-13)	.410(-13)	.104(-12)	.912(-13)	.327(-13)	
4		.000(-00)	.000(-00)	.126(-14)	.313(-13)	.504(-13)	.101(-12)	.254(-13)	.103(-12)	
5		.000(-00)	.196(-14)	.106(-13)	.335(-13)	.469(-13)	.999(-13)	.647(-13)	.906(-13)	
6		.000(-00)	.000(-00)	.687(-14)	.177(-13)	.677(-13)	.931(-13)	.106(-12)	.528(-13)	
7		.000(-00)	.000(-00)	.124(-13)	.419(-13)	.653(-13)	.115(-12)	.984(-13)	.182(-12)	
8		.000(-00)	.137(-14)	.136(-13)	.263(-13)	.566(-13)	.117(-12)	.166(-12)	.108(-12)	
9		.000(-00)	.161(-14)	.297(-13)	.558(-13)	.435(-13)	.107(-12)	.112(-12)	.261(-12)	
10		.000(-00)	.000(-00)	.239(-13)	.545(-13)	.861(-13)	.152(-12)	.154(-12)	.109(-12)	
11			.936(-14)	.149(-13)	.615(-13)	.111(-12)	.924(-13)	.174(-12)	.130(-12)	
12			.749(-14)	.165(-13)	.774(-13)	.531(-13)	.159(-12)	.219(-12)	.138(-12)	
13			.316(-14)	.389(-13)	.798(-13)	.150(-12)	.218(-12)	.317(-12)	.121(-12)	
14			.138(-13)	.394(-13)	.558(-13)	.135(-12)	.172(-12)	.235(-12)	.147(-12)	
15			.831(-14)	.528(-13)	.595(-13)	.146(-12)	.203(-12)	.287(-12)	.296(-12)	
16			.185(-14)	.416(-13)	.751(-13)	.217(-12)	.290(-12)	.174(-12)	.238(-12)	
17				.467(-13)	.102(-12)	.180(-12)	.253(-12)	.321(-12)	.348(-12)	
18				.999(-13)	.180(-12)	.221(-12)	.305(-12)	.332(-12)	.427(-12)	
19				.151(-12)	.186(-12)	.293(-12)	.345(-12)	.196(-12)	.341(-12)	
20				.114(-12)	.227(-12)	.392(-12)	.361(-12)	.552(-12)	.492(-12)	
21				.124(-13)	.287(-12)	.432(-12)	.392(-12)	.618(-12)	.415(-12)	
22					.316(-12)	.488(-12)	.464(-12)	.686(-12)	.535(-12)	
23					.387(-12)	.600(-12)	.678(-12)	.670(-12)	.602(-12)	
24					.608(-12)	.555(-12)	.669(-12)	.942(-12)	.672(-12)	
25					.446(-12)	.643(-12)	.762(-12)	.624(-12)	.528(-12)	
26					.588(-13)	.829(-12)	.921(-12)	.835(-12)	.957(-12)	
27					.464(-14)	.111(-11)	.826(-12)	.100(-11)	.950(-12)	
28						.137(-11)	.127(-11)	.134(-11)	.112(-11)	
29						.158(-11)	.132(-11)	.128(-11)	.106(-11)	
30						.155(-11)	.166(-11)	.152(-11)	.119(-11)	
31						.231(-12)	.206(-11)	.177(-11)	.156(-11)	
32						.773(-14)	.270(-11)	.234(-11)	.176(-11)	
33							.328(-11)	.232(-11)	.174(-11)	
34							.435(-11)	.283(-11)	.207(-11)	
35							.384(-11)	.335(-11)	.263(-11)	
36							.770(-12)	.418(-11)	.272(-11)	
37							.769(-13)	.524(-11)	.315(-11)	
38								.646(-11)	.319(-11)	
39								.879(-11)	.500(-11)	
40								.864(-11)	.562(-11)	
41								.247(-11)	.695(-11)	
42								.417(-12)	.920(-11)	
43								.766(-13)	.129(-10)	
44									.172(-10)	
45									.168(-10)	
46									.674(-11)	
47									.137(-11)	
48									.288(-12)	
49									.641(-13)	
50									.158(-13)	

Virt&I-Comm.5.2014.11

Table XXIII		QCT LEPS REACTIVE					$T_{tr}=500.$		$T_{rot}=2000.$	
v'	v	10	15	20	25	30	35	40	45	
0		.000(-00)	.888(-14)	.179(-13)	.631(-13)	.542(-13)	.837(-13)	.122(-12)	.126(-12)	
1		.000(-00)	.217(-14)	.229(-13)	.552(-13)	.659(-13)	.996(-13)	.159(-12)	.155(-12)	
2		.000(-00)	.147(-14)	.315(-14)	.298(-13)	.967(-13)	.166(-12)	.112(-12)	.111(-12)	
3		.000(-00)	.101(-13)	.198(-14)	.247(-13)	.885(-13)	.164(-12)	.932(-13)	.121(-12)	
4		.000(-00)	.400(-14)	.524(-14)	.484(-13)	.379(-13)	.119(-12)	.135(-12)	.861(-13)	
5		.000(-00)	.000(-00)	.138(-13)	.424(-13)	.805(-13)	.112(-12)	.138(-12)	.104(-12)	
6		.000(-00)	.672(-14)	.144(-13)	.607(-13)	.963(-13)	.121(-12)	.145(-12)	.145(-12)	
7		.000(-00)	.000(-00)	.333(-14)	.337(-13)	.810(-13)	.701(-13)	.169(-12)	.102(-12)	
8		.999(-15)	.205(-14)	.318(-13)	.373(-13)	.498(-13)	.670(-13)	.202(-12)	.103(-12)	
9		.172(-14)	.190(-14)	.169(-13)	.942(-13)	.844(-13)	.136(-12)	.177(-12)	.208(-12)	
10		.139(-14)	.784(-14)	.326(-13)	.281(-13)	.772(-13)	.150(-12)	.141(-12)	.228(-12)	
11			.802(-14)	.349(-13)	.111(-12)	.141(-12)	.194(-12)	.184(-12)	.129(-12)	
12			.789(-14)	.347(-13)	.907(-13)	.937(-13)	.170(-12)	.210(-12)	.118(-12)	
13			.101(-13)	.557(-13)	.699(-13)	.167(-12)	.172(-12)	.201(-12)	.146(-12)	
14			.207(-13)	.394(-13)	.126(-12)	.171(-12)	.264(-12)	.239(-12)	.186(-12)	
15			.186(-13)	.551(-13)	.741(-13)	.210(-12)	.158(-12)	.307(-12)	.250(-12)	
16			.647(-14)	.830(-13)	.103(-12)	.234(-12)	.220(-12)	.375(-12)	.295(-12)	
17				.941(-13)	.176(-12)	.307(-12)	.265(-12)	.486(-12)	.231(-12)	
18				.122(-12)	.191(-12)	.319(-12)	.287(-12)	.368(-12)	.292(-12)	
19				.160(-12)	.209(-12)	.356(-12)	.338(-12)	.349(-12)	.278(-12)	
20				.192(-12)	.209(-12)	.319(-12)	.421(-12)	.392(-12)	.271(-12)	
21				.397(-13)	.315(-12)	.443(-12)	.580(-12)	.471(-12)	.418(-12)	
22				.180(-13)	.346(-12)	.451(-12)	.533(-12)	.454(-12)	.457(-12)	
23				.323(-14)	.561(-12)	.511(-12)	.701(-12)	.420(-12)	.564(-12)	
24					.735(-12)	.654(-12)	.625(-12)	.583(-12)	.617(-12)	
25					.656(-12)	.831(-12)	.879(-12)	.830(-12)	.634(-12)	
26					.198(-12)	.903(-12)	.113(-11)	.112(-11)	.843(-12)	
27					.450(-13)	.122(-11)	.108(-11)	.105(-11)	.108(-11)	
28					.236(-14)	.154(-11)	.130(-11)	.128(-11)	.881(-12)	
29						.185(-11)	.125(-11)	.125(-11)	.115(-11)	
30						.223(-11)	.193(-11)	.151(-11)	.140(-11)	
31						.821(-12)	.210(-11)	.183(-11)	.156(-11)	
32						.264(-12)	.261(-11)	.206(-11)	.179(-11)	
33						.322(-13)	.313(-11)	.260(-11)	.225(-11)	
34						.531(-14)	.514(-11)	.269(-11)	.222(-11)	
35							.523(-11)	.365(-11)	.229(-11)	
36							.260(-11)	.443(-11)	.298(-11)	
37							.702(-12)	.549(-11)	.380(-11)	
38							.230(-12)	.682(-11)	.406(-11)	
39							.180(-12)	.984(-11)	.559(-11)	
40							.149(-13)	.101(-10)	.636(-11)	
41							.453(-14)	.607(-11)	.770(-11)	
42								.260(-11)	.903(-11)	
43								.903(-12)	.122(-10)	
44								.355(-12)	.174(-10)	
45								.105(-12)	.190(-10)	
46								.476(-13)	.110(-10)	
47								.528(-14)	.572(-11)	
48								.659(-14)	.239(-11)	
49								.370(-14)	.114(-11)	
50									.478(-12)	
51									.174(-12)	
52									.214(-13)	
53									.206(-13)	
54									.601(-14)	

Virt&I-Comm.5.2014.11

Table XXIV		QCT LEPS REACTIVE				$T_{tr}=500.$	$T_{rot}=4000.$		
v'	v	10	15	20	25	30	35	40	45
0		.000(-00)	.146(-14)	.279(-13)	.735(-13)	.484(-13)	.808(-13)	.632(-13)	.141(-12)
1		.000(-00)	.268(-14)	.114(-13)	.333(-13)	.698(-13)	.102(-12)	.114(-12)	.834(-13)
2		.000(-00)	.383(-14)	.865(-14)	.360(-13)	.696(-13)	.117(-12)	.102(-12)	.609(-13)
3		.000(-00)	.212(-14)	.965(-14)	.595(-13)	.665(-13)	.140(-12)	.174(-12)	.139(-12)
4		.000(-00)	.561(-14)	.290(-14)	.489(-13)	.694(-13)	.909(-13)	.137(-12)	.110(-12)
5		.000(-00)	.205(-14)	.240(-13)	.535(-13)	.875(-13)	.154(-12)	.109(-12)	.135(-12)
6		.000(-00)	.701(-14)	.274(-13)	.323(-13)	.837(-13)	.184(-12)	.807(-13)	.144(-12)
7		.124(-14)	.471(-14)	.188(-13)	.469(-13)	.142(-12)	.233(-12)	.106(-12)	.121(-12)
8		.122(-14)	.576(-14)	.282(-13)	.739(-13)	.810(-13)	.103(-12)	.145(-12)	.170(-12)
9		.161(-14)	.162(-14)	.375(-13)	.973(-13)	.153(-12)	.149(-12)	.203(-12)	.203(-12)
10		.175(-14)	.109(-13)	.424(-13)	.683(-13)	.115(-12)	.228(-12)	.242(-12)	.132(-12)
11		.000(-00)	.118(-13)	.364(-13)	.788(-13)	.118(-12)	.181(-12)	.218(-12)	.120(-12)
12		.262(-14)	.115(-13)	.308(-13)	.121(-12)	.157(-12)	.213(-12)	.220(-12)	.928(-13)
13			.109(-13)	.463(-13)	.112(-12)	.213(-12)	.213(-12)	.160(-12)	.409(-12)
14			.177(-13)	.540(-13)	.126(-12)	.246(-12)	.191(-12)	.212(-12)	.268(-12)
15			.302(-13)	.600(-13)	.150(-12)	.175(-12)	.227(-12)	.287(-12)	.292(-12)
16			.120(-13)	.761(-13)	.156(-12)	.256(-12)	.262(-12)	.289(-12)	.418(-12)
17			.196(-14)	.777(-13)	.192(-12)	.256(-12)	.306(-12)	.294(-12)	.374(-12)
18			.174(-14)	.168(-12)	.193(-12)	.350(-12)	.373(-12)	.407(-12)	.246(-12)
19				.133(-12)	.228(-12)	.342(-12)	.381(-12)	.316(-12)	.477(-12)
20				.191(-12)	.285(-12)	.384(-12)	.580(-12)	.444(-12)	.469(-12)
21				.148(-12)	.308(-12)	.431(-12)	.634(-12)	.568(-12)	.378(-12)
22				.606(-13)	.364(-12)	.561(-12)	.593(-12)	.596(-12)	.299(-12)
23				.120(-13)	.525(-12)	.663(-12)	.700(-12)	.705(-12)	.679(-12)
24				.107(-13)	.827(-12)	.654(-12)	.671(-12)	.798(-12)	.774(-12)
25					.785(-12)	.882(-12)	.977(-12)	.832(-12)	.696(-12)
26					.516(-12)	.108(-11)	.111(-11)	.824(-12)	.719(-12)
27					.271(-12)	.128(-11)	.126(-11)	.119(-11)	.103(-11)
28					.135(-12)	.141(-11)	.131(-11)	.118(-11)	.107(-11)
29					.638(-13)	.199(-11)	.132(-11)	.148(-11)	.120(-11)
30					.558(-13)	.278(-11)	.201(-11)	.155(-11)	.142(-11)
31					.312(-13)	.179(-11)	.235(-11)	.205(-11)	.171(-11)
32					.000(-00)	.119(-11)	.291(-11)	.217(-11)	.165(-11)
33					.000(-00)	.537(-12)	.375(-11)	.273(-11)	.221(-11)
34					.000(-00)	.231(-12)	.455(-11)	.284(-11)	.253(-11)
35					.397(-14)	.947(-13)	.602(-11)	.386(-11)	.246(-11)
36						.610(-13)	.466(-11)	.456(-11)	.278(-11)
37						.911(-14)	.313(-11)	.531(-11)	.307(-11)
38						.323(-13)	.189(-11)	.720(-11)	.428(-11)
39							.921(-12)	.960(-11)	.532(-11)
40							.553(-12)	.114(-10)	.665(-11)
41							.366(-12)	.974(-11)	.769(-11)
42							.130(-12)	.624(-11)	.100(-10)
43							.116(-12)	.381(-11)	.125(-10)
44							.166(-13)	.215(-11)	.161(-10)
45							.146(-13)	.133(-11)	.194(-10)
46							.621(-13)	.630(-12)	.165(-10)
47								.306(-12)	.110(-10)
48								.115(-12)	.695(-11)
49								.895(-13)	.405(-11)
50								.232(-13)	.211(-11)
51								.698(-14)	.776(-12)
52									.420(-12)
53									.151(-12)
54									.959(-13)
55									.257(-13)
56									.538(-14)
57									.375(-14)

Virt&I-Comm.5.2014.11

Table XXV		QCT LEPS REACTIVE							
v'	v	$T_{tr}=1000.$					$T_{rot}=500.$		
		10	15	20	25	30	35	40	45
0		.000(-00)	.424(-13)	.131(-12)	.229(-12)	.244(-12)	.329(-12)	.207(-12)	.250(-12)
1		.791(-14)	.616(-13)	.662(-13)	.158(-12)	.254(-12)	.247(-12)	.271(-12)	.269(-12)
2		.321(-14)	.258(-13)	.987(-13)	.175(-12)	.154(-12)	.341(-12)	.347(-12)	.107(-12)
3		.433(-14)	.306(-13)	.131(-12)	.141(-12)	.317(-12)	.377(-12)	.206(-12)	.174(-12)
4		.117(-13)	.401(-13)	.565(-13)	.171(-12)	.216(-12)	.198(-12)	.295(-12)	.246(-12)
5		.544(-14)	.487(-13)	.139(-12)	.176(-12)	.217(-12)	.302(-12)	.328(-12)	.403(-12)
6		.422(-14)	.467(-13)	.136(-12)	.118(-12)	.284(-12)	.358(-12)	.361(-12)	.204(-12)
7		.142(-13)	.525(-13)	.117(-12)	.162(-12)	.260(-12)	.323(-12)	.229(-12)	.366(-12)
8		.209(-13)	.636(-13)	.153(-12)	.239(-12)	.250(-12)	.444(-12)	.239(-12)	.343(-12)
9		.292(-13)	.621(-13)	.107(-12)	.186(-12)	.327(-12)	.541(-12)	.455(-12)	.406(-12)
10		.168(-13)	.103(-12)	.117(-12)	.283(-12)	.352(-12)	.484(-12)	.448(-12)	.511(-12)
11		.167(-14)	.903(-13)	.213(-12)	.256(-12)	.381(-12)	.426(-12)	.481(-12)	.351(-12)
12			.103(-12)	.296(-12)	.360(-12)	.412(-12)	.578(-12)	.486(-12)	.423(-12)
13			.137(-12)	.295(-12)	.344(-12)	.573(-12)	.516(-12)	.567(-12)	.582(-12)
14			.255(-12)	.304(-12)	.319(-12)	.639(-12)	.490(-12)	.534(-12)	.470(-12)
15			.160(-12)	.323(-12)	.423(-12)	.429(-12)	.678(-12)	.387(-12)	.527(-12)
16			.192(-13)	.426(-12)	.533(-12)	.900(-12)	.730(-12)	.739(-12)	.574(-12)
17			.248(-14)	.507(-12)	.608(-12)	.792(-12)	.813(-12)	.821(-12)	.696(-12)
18				.771(-12)	.894(-12)	.941(-12)	.115(-11)	.822(-12)	.663(-12)
19				.964(-12)	.888(-12)	.102(-11)	.942(-12)	.836(-12)	.741(-12)
20				.685(-12)	.981(-12)	.112(-11)	.127(-11)	.129(-11)	.787(-12)
21				.862(-13)	.136(-11)	.124(-11)	.136(-11)	.890(-12)	.107(-11)
22				.903(-14)	.154(-11)	.148(-11)	.161(-11)	.146(-11)	.959(-12)
23					.189(-11)	.176(-11)	.148(-11)	.149(-11)	.132(-11)
24					.272(-11)	.204(-11)	.185(-11)	.214(-11)	.145(-11)
25					.179(-11)	.203(-11)	.201(-11)	.161(-11)	.131(-11)
26					.241(-12)	.321(-11)	.220(-11)	.220(-11)	.184(-11)
27					.227(-13)	.313(-11)	.292(-11)	.275(-11)	.201(-11)
28					.845(-14)	.430(-11)	.358(-11)	.245(-11)	.181(-11)
29						.513(-11)	.323(-11)	.286(-11)	.234(-11)
30						.414(-11)	.421(-11)	.379(-11)	.304(-11)
31						.706(-12)	.533(-11)	.351(-11)	.277(-11)
32						.938(-13)	.644(-11)	.436(-11)	.308(-11)
33						.100(-13)	.764(-11)	.462(-11)	.341(-11)
34						.350(-14)	.106(-10)	.539(-11)	.441(-11)
35							.716(-11)	.683(-11)	.539(-11)
36							.145(-11)	.869(-11)	.565(-11)
37							.231(-12)	.105(-10)	.675(-11)
38							.474(-13)	.130(-10)	.777(-11)
39							.148(-13)	.177(-10)	.907(-11)
40							.000(-00)	.121(-10)	.117(-10)
41							.269(-14)	.329(-11)	.137(-10)
42								.629(-12)	.164(-10)
43								.158(-12)	.211(-10)
44								.381(-13)	.258(-10)
45								.372(-14)	.205(-10)
46									.620(-11)
47									.159(-11)
48									.320(-12)
49									.929(-13)
50									.331(-13)
51									.230(-13)
52									.101(-13)

Virt&I-Comm.5.2014.11

Table XXVI		QCT LEPS REACTIVE					$T_{tr}=1000.$		$T_{rot}=1000.$	
v'	v	10	15	20	25	30	35	40	45	
0		.423(-14)	.508(-13)	.191(-12)	.278(-12)	.341(-12)	.379(-12)	.432(-12)	.184(-12)	
1		.271(-14)	.507(-13)	.110(-12)	.202(-12)	.255(-12)	.247(-12)	.297(-12)	.189(-12)	
2		.103(-13)	.390(-13)	.114(-12)	.196(-12)	.242(-12)	.314(-12)	.289(-12)	.255(-12)	
3		.135(-13)	.364(-13)	.724(-13)	.184(-12)	.237(-12)	.292(-12)	.312(-12)	.203(-12)	
4		.542(-14)	.293(-13)	.738(-13)	.200(-12)	.304(-12)	.257(-12)	.231(-12)	.312(-12)	
5		.123(-13)	.591(-13)	.109(-12)	.214(-12)	.233(-12)	.279(-12)	.252(-12)	.221(-12)	
6		.193(-13)	.603(-13)	.138(-12)	.179(-12)	.303(-12)	.328(-12)	.368(-12)	.307(-12)	
7		.782(-14)	.683(-13)	.165(-12)	.303(-12)	.257(-12)	.320(-12)	.357(-12)	.307(-12)	
8		.201(-13)	.708(-13)	.171(-12)	.248(-12)	.317(-12)	.426(-12)	.320(-12)	.312(-12)	
9		.365(-13)	.727(-13)	.142(-12)	.342(-12)	.370(-12)	.416(-12)	.342(-12)	.439(-12)	
10		.427(-13)	.124(-12)	.207(-12)	.279(-12)	.461(-12)	.321(-12)	.419(-12)	.286(-12)	
11		.506(-14)	.146(-12)	.283(-12)	.378(-12)	.483(-12)	.483(-12)	.463(-12)	.413(-12)	
12			.104(-12)	.287(-12)	.497(-12)	.579(-12)	.556(-12)	.636(-12)	.475(-12)	
13			.212(-12)	.321(-12)	.404(-12)	.516(-12)	.537(-12)	.579(-12)	.489(-12)	
14			.298(-12)	.303(-12)	.566(-12)	.626(-12)	.674(-12)	.596(-12)	.475(-12)	
15			.272(-12)	.460(-12)	.657(-12)	.628(-12)	.810(-12)	.542(-12)	.731(-12)	
16			.305(-13)	.662(-12)	.607(-12)	.870(-12)	.865(-12)	.597(-12)	.687(-12)	
17			.325(-14)	.609(-12)	.669(-12)	.884(-12)	.813(-12)	.825(-12)	.489(-12)	
18				.870(-12)	.848(-12)	.917(-12)	.103(-11)	.791(-12)	.717(-12)	
19				.112(-11)	.116(-11)	.105(-11)	.114(-11)	.990(-12)	.793(-12)	
20				.104(-11)	.121(-11)	.135(-11)	.114(-11)	.109(-11)	.908(-12)	
21				.129(-12)	.134(-11)	.137(-11)	.134(-11)	.133(-11)	.101(-11)	
22				.131(-13)	.167(-11)	.164(-11)	.142(-11)	.125(-11)	.116(-11)	
23					.234(-11)	.202(-11)	.176(-11)	.170(-11)	.120(-11)	
24					.316(-11)	.220(-11)	.198(-11)	.170(-11)	.132(-11)	
25					.239(-11)	.236(-11)	.225(-11)	.194(-11)	.163(-11)	
26					.425(-12)	.284(-11)	.259(-11)	.234(-11)	.160(-11)	
27					.543(-13)	.388(-11)	.291(-11)	.261(-11)	.182(-11)	
28					.867(-14)	.512(-11)	.323(-11)	.266(-11)	.198(-11)	
29						.614(-11)	.427(-11)	.296(-11)	.249(-11)	
30						.493(-11)	.480(-11)	.355(-11)	.272(-11)	
31						.130(-11)	.539(-11)	.416(-11)	.322(-11)	
32						.198(-12)	.682(-11)	.478(-11)	.377(-11)	
33						.443(-13)	.940(-11)	.542(-11)	.401(-11)	
34						.523(-14)	.116(-10)	.652(-11)	.475(-11)	
35						.994(-15)	.951(-11)	.756(-11)	.578(-11)	
36						.000(-00)	.276(-11)	.911(-11)	.648(-11)	
37						.000(-00)	.561(-12)	.113(-10)	.710(-11)	
38						.000(-00)	.955(-13)	.147(-10)	.806(-11)	
39						.101(-14)	.153(-13)	.184(-10)	.958(-11)	
40							.684(-14)	.164(-10)	.118(-10)	
41							.134(-14)	.570(-11)	.141(-10)	
42								.124(-11)	.173(-10)	
43								.357(-12)	.226(-10)	
44								.151(-12)	.261(-10)	
45								.204(-13)	.252(-10)	
46								.610(-14)	.106(-10)	
47								.670(-14)	.358(-11)	
48									.119(-11)	
49									.333(-12)	
50									.167(-12)	
51									.725(-13)	
52									.178(-13)	
53									.574(-14)	
54									.645(-14)	
55									.280(-14)	
56									.000(-00)	
57									.000(-00)	
58									.350(-14)	

Virt&I-Comm.5.2014.11

Table XXVII		QCT LEPS REACTIVE				$T_{tr}=1000.$	$T_{rot}=2000.$		
v'	v	10	15	20	25	30	35	40	45
0		.000(-00)	.703(-13)	.164(-12)	.242(-12)	.337(-12)	.408(-12)	.331(-12)	.172(-12)
1		.728(-14)	.622(-13)	.151(-12)	.296(-12)	.265(-12)	.366(-12)	.267(-12)	.303(-12)
2		.612(-14)	.602(-13)	.127(-12)	.194(-12)	.323(-12)	.392(-12)	.485(-12)	.293(-12)
3		.106(-13)	.669(-13)	.130(-12)	.244(-12)	.315(-12)	.130(-12)	.351(-12)	.225(-12)
4		.182(-13)	.341(-13)	.223(-12)	.201(-12)	.294(-12)	.354(-12)	.392(-12)	.323(-12)
5		.201(-13)	.647(-13)	.120(-12)	.233(-12)	.303(-12)	.449(-12)	.260(-12)	.160(-12)
6		.251(-13)	.780(-13)	.167(-12)	.253(-12)	.450(-12)	.238(-12)	.298(-12)	.461(-12)
7		.234(-13)	.122(-12)	.182(-12)	.252(-12)	.225(-12)	.251(-12)	.285(-12)	.363(-12)
8		.349(-13)	.869(-13)	.191(-12)	.253(-12)	.308(-12)	.384(-12)	.343(-12)	.200(-12)
9		.709(-13)	.169(-12)	.181(-12)	.255(-12)	.491(-12)	.293(-12)	.524(-12)	.292(-12)
10		.722(-13)	.171(-12)	.238(-12)	.301(-12)	.485(-12)	.356(-12)	.356(-12)	.400(-12)
11		.161(-13)	.151(-12)	.247(-12)	.388(-12)	.417(-12)	.679(-12)	.469(-12)	.398(-12)
12		.442(-14)	.203(-12)	.311(-12)	.537(-12)	.460(-12)	.608(-12)	.318(-12)	.364(-12)
13			.273(-12)	.370(-12)	.538(-12)	.583(-12)	.489(-12)	.655(-12)	.401(-12)
14			.398(-12)	.482(-12)	.629(-12)	.680(-12)	.712(-12)	.558(-12)	.666(-12)
15			.310(-12)	.468(-12)	.552(-12)	.809(-12)	.948(-12)	.774(-12)	.514(-12)
16			.115(-12)	.720(-12)	.839(-12)	.835(-12)	.979(-12)	.909(-12)	.721(-12)
17			.211(-13)	.818(-12)	.908(-12)	.905(-12)	.841(-12)	.957(-12)	.655(-12)
18			.442(-14)	.885(-12)	.873(-12)	.973(-12)	.988(-12)	.877(-12)	.837(-12)
19				.153(-11)	.123(-11)	.105(-11)	.104(-11)	.835(-12)	.821(-12)
20				.162(-11)	.130(-11)	.110(-11)	.140(-11)	.126(-11)	.824(-12)
21				.417(-12)	.157(-11)	.183(-11)	.137(-11)	.158(-11)	.972(-12)
22				.122(-12)	.182(-11)	.154(-11)	.150(-11)	.129(-11)	.112(-11)
23				.158(-13)	.281(-11)	.199(-11)	.176(-11)	.190(-11)	.145(-11)
24				.477(-14)	.354(-11)	.218(-11)	.225(-11)	.241(-11)	.128(-11)
25					.345(-11)	.274(-11)	.242(-11)	.153(-11)	.152(-11)
26					.124(-11)	.345(-11)	.285(-11)	.216(-11)	.125(-11)
27					.268(-12)	.455(-11)	.305(-11)	.259(-11)	.218(-11)
28					.707(-13)	.521(-11)	.342(-11)	.295(-11)	.194(-11)
29					.105(-13)	.705(-11)	.430(-11)	.319(-11)	.256(-11)
30					.224(-14)	.701(-11)	.457(-11)	.319(-11)	.299(-11)
31						.315(-11)	.566(-11)	.421(-11)	.307(-11)
32						.920(-12)	.725(-11)	.517(-11)	.360(-11)
33						.298(-12)	.929(-11)	.560(-11)	.431(-11)
34						.931(-13)	.121(-10)	.674(-11)	.476(-11)
35						.213(-13)	.119(-10)	.822(-11)	.585(-11)
36						.707(-14)	.634(-11)	.899(-11)	.570(-11)
37							.227(-11)	.119(-10)	.601(-11)
38							.612(-12)	.151(-10)	.846(-11)
39							.172(-12)	.190(-10)	.948(-11)
40							.372(-13)	.191(-10)	.129(-10)
41							.140(-13)	.104(-10)	.132(-10)
42							.110(-13)	.483(-11)	.184(-10)
43							.603(-14)	.186(-11)	.217(-10)
44							.363(-14)	.858(-12)	.282(-10)
45							.432(-14)	.254(-12)	.272(-10)
46								.949(-13)	.180(-10)
47								.680(-13)	.917(-11)
48								.672(-14)	.468(-11)
49								.241(-13)	.219(-11)
50								.000(-00)	.105(-11)
51								.000(-00)	.622(-12)
52								.000(-00)	.211(-12)
53								.516(-14)	.937(-13)
54								.000(-00)	.549(-13)
55								.675(-14)	.818(-13)
56									.307(-13)
57									.399(-14)

Virt&I-Comm.5.2014.11

Table XXVIII		QCT LEPS REACTIVE					$T_{tr}=1000.$		$T_{rot}=4000.$	
v'	v	10	15	20	25	30	35	40	45	
0		.586(-14)	.631(-13)	.184(-12)	.351(-12)	.335(-12)	.501(-12)	.328(-12)	.289(-12)	
1		.529(-14)	.566(-13)	.205(-12)	.362(-12)	.405(-12)	.249(-12)	.353(-12)	.310(-12)	
2		.144(-13)	.813(-13)	.189(-12)	.253(-12)	.248(-12)	.245(-12)	.395(-12)	.233(-12)	
3		.105(-13)	.611(-13)	.146(-12)	.255(-12)	.330(-12)	.354(-12)	.209(-12)	.348(-12)	
4		.133(-13)	.744(-13)	.193(-12)	.312(-12)	.291(-12)	.208(-12)	.529(-12)	.211(-12)	
5		.145(-13)	.123(-12)	.217(-12)	.245(-12)	.285(-12)	.438(-12)	.155(-12)	.185(-12)	
6		.271(-13)	.698(-13)	.213(-12)	.244(-12)	.440(-12)	.466(-12)	.205(-12)	.131(-12)	
7		.242(-13)	.122(-12)	.153(-12)	.318(-12)	.324(-12)	.396(-12)	.297(-12)	.157(-12)	
8		.336(-13)	.845(-13)	.187(-12)	.323(-12)	.392(-12)	.377(-12)	.294(-12)	.328(-12)	
9		.749(-13)	.122(-12)	.235(-12)	.441(-12)	.313(-12)	.337(-12)	.326(-12)	.534(-12)	
10		.145(-12)	.164(-12)	.242(-12)	.325(-12)	.521(-12)	.540(-12)	.563(-12)	.486(-12)	
11		.532(-13)	.263(-12)	.356(-12)	.382(-12)	.508(-12)	.518(-12)	.334(-12)	.284(-12)	
12		.161(-13)	.268(-12)	.407(-12)	.519(-12)	.506(-12)	.574(-12)	.439(-12)	.330(-12)	
13		.442(-14)	.321(-12)	.493(-12)	.492(-12)	.735(-12)	.799(-12)	.425(-12)	.446(-12)	
14		.515(-14)	.494(-12)	.573(-12)	.568(-12)	.831(-12)	.464(-12)	.627(-12)	.512(-12)	
15			.687(-12)	.512(-12)	.800(-12)	.597(-12)	.652(-12)	.728(-12)	.480(-12)	
16			.222(-12)	.852(-12)	.981(-12)	.865(-12)	.105(-11)	.732(-12)	.426(-12)	
17			.158(-12)	.795(-12)	.933(-12)	.912(-12)	.107(-11)	.746(-12)	.737(-12)	
18			.596(-13)	.107(-11)	.117(-11)	.100(-11)	.105(-11)	.898(-12)	.756(-12)	
19			.128(-13)	.167(-11)	.130(-11)	.113(-11)	.126(-11)	.109(-11)	.704(-12)	
20			.000(-00)	.184(-11)	.142(-11)	.151(-11)	.157(-11)	.935(-12)	.831(-12)	
21			.000(-00)	.978(-12)	.153(-11)	.154(-11)	.160(-11)	.104(-11)	.936(-12)	
22			.840(-14)	.338(-12)	.211(-11)	.193(-11)	.193(-11)	.147(-11)	.122(-11)	
23				.203(-12)	.283(-11)	.183(-11)	.184(-11)	.148(-11)	.130(-11)	
24				.501(-13)	.376(-11)	.226(-11)	.198(-11)	.182(-11)	.156(-11)	
25				.394(-13)	.468(-11)	.294(-11)	.239(-11)	.232(-11)	.134(-11)	
26				.000(-00)	.294(-11)	.326(-11)	.237(-11)	.199(-11)	.174(-11)	
27				.509(-14)	.128(-11)	.431(-11)	.281(-11)	.287(-11)	.179(-11)	
28				.000(-00)	.377(-12)	.579(-11)	.386(-11)	.323(-11)	.214(-11)	
29				.343(-14)	.289(-12)	.700(-11)	.470(-11)	.289(-11)	.205(-11)	
30					.846(-13)	.861(-11)	.488(-11)	.391(-11)	.260(-11)	
31					.108(-12)	.584(-11)	.660(-11)	.426(-11)	.301(-11)	
32					.317(-14)	.316(-11)	.735(-11)	.510(-11)	.339(-11)	
33					.000(-00)	.167(-11)	.950(-11)	.576(-11)	.456(-11)	
34					.000(-00)	.732(-12)	.125(-10)	.675(-11)	.448(-11)	
35					.000(-00)	.212(-12)	.133(-10)	.782(-11)	.596(-11)	
36					.595(-13)	.188(-12)	.917(-11)	.101(-10)	.606(-11)	
37						.157(-12)	.550(-11)	.109(-10)	.657(-11)	
38						.881(-13)	.344(-11)	.141(-10)	.841(-11)	
39						.131(-12)	.227(-11)	.195(-10)	.952(-11)	
40						.904(-14)	.126(-11)	.213(-10)	.116(-10)	
41						.242(-14)	.634(-12)	.163(-10)	.145(-10)	
42						.000(-00)	.277(-12)	.102(-10)	.199(-10)	
43						.000(-00)	.173(-12)	.545(-11)	.216(-10)	
44						.000(-00)	.789(-13)	.403(-11)	.263(-10)	
45						.000(-00)	.988(-13)	.289(-11)	.299(-10)	
46						.000(-00)	.000(-00)	.105(-11)	.239(-10)	
47						.606(-14)	.136(-13)	.468(-12)	.160(-10)	
48								.338(-12)	.106(-10)	
49								.108(-12)	.616(-11)	
50								.483(-13)	.415(-11)	
51								.352(-13)	.171(-11)	
52								.325(-13)	.577(-12)	
53								.401(-14)	.484(-12)	
54								.914(-14)	.148(-12)	
55									.124(-12)	
56									.683(-13)	
57									.511(-13)	
58									.130(-13)	
59									.127(-13)	

Virt&I-Comm.5.2014.11

Table XIX		QCT LEPS REACTIVE					$T_{tr}=2000.$	$T_{rot}=500.$		
v'	v	5	10	15	20	25	30	35	40	45
0		.164(-14)	.348(-13)	.417(-12)	.763(-12)	.841(-12)	.981(-12)	.732(-12)	.563(-12)	.524(-12)
1		.457(-14)	.103(-12)	.372(-12)	.572(-12)	.583(-12)	.823(-12)	.847(-12)	.793(-12)	.479(-12)
2		.127(-13)	.928(-13)	.268(-12)	.544(-12)	.752(-12)	.628(-12)	.695(-12)	.707(-12)	.654(-12)
3		.141(-13)	.178(-12)	.384(-12)	.358(-12)	.654(-12)	.669(-12)	.574(-12)	.527(-12)	.570(-12)
4		.421(-13)	.161(-12)	.373(-12)	.625(-12)	.799(-12)	.627(-12)	.664(-12)	.437(-12)	.383(-12)
5		.136(-12)	.221(-12)	.468(-12)	.774(-12)	.787(-12)	.820(-12)	.699(-12)	.806(-12)	.740(-12)
6		.188(-13)	.256(-12)	.394(-12)	.653(-12)	.853(-12)	.915(-12)	.926(-12)	.425(-12)	.492(-12)
7		.276(-14)	.279(-12)	.598(-12)	.690(-12)	.801(-12)	.115(-11)	.818(-12)	.758(-12)	.474(-12)
8			.451(-12)	.579(-12)	.815(-12)	.819(-12)	.734(-12)	.962(-12)	.940(-12)	.701(-12)
9			.653(-12)	.585(-12)	.889(-12)	.113(-11)	.111(-11)	.827(-12)	.813(-12)	.835(-12)
10			.627(-12)	.707(-12)	.101(-11)	.915(-12)	.963(-12)	.102(-11)	.876(-12)	.642(-12)
11			.112(-12)	.889(-12)	.120(-11)	.115(-11)	.116(-11)	.111(-11)	.857(-12)	.683(-12)
12			.245(-13)	.108(-11)	.113(-11)	.154(-11)	.166(-11)	.129(-11)	.935(-12)	.102(-11)
13			.347(-14)	.133(-11)	.141(-11)	.153(-11)	.154(-11)	.152(-11)	.126(-11)	.102(-11)
14			.000(-00)	.188(-11)	.192(-11)	.174(-11)	.164(-11)	.117(-11)	.109(-11)	.102(-11)
15			.449(-14)	.157(-11)	.193(-11)	.182(-11)	.198(-11)	.154(-11)	.180(-11)	.114(-11)
16				.361(-12)	.241(-11)	.209(-11)	.180(-11)	.189(-11)	.171(-11)	.114(-11)
17				.868(-13)	.325(-11)	.245(-11)	.242(-11)	.188(-11)	.193(-11)	.133(-11)
18				.123(-13)	.382(-11)	.283(-11)	.240(-11)	.242(-11)	.255(-11)	.174(-11)
19				.353(-14)	.463(-11)	.293(-11)	.290(-11)	.249(-11)	.238(-11)	.147(-11)
20					.326(-11)	.309(-11)	.259(-11)	.238(-11)	.207(-11)	.157(-11)
21					.679(-12)	.415(-11)	.319(-11)	.305(-11)	.287(-11)	.221(-11)
22					.207(-12)	.573(-11)	.432(-11)	.355(-11)	.319(-11)	.272(-11)
23					.513(-13)	.727(-11)	.464(-11)	.490(-11)	.284(-11)	.275(-11)
24					.157(-13)	.741(-11)	.579(-11)	.440(-11)	.343(-11)	.230(-11)
25					.807(-14)	.600(-11)	.620(-11)	.442(-11)	.337(-11)	.275(-11)
26						.165(-11)	.775(-11)	.607(-11)	.466(-11)	.273(-11)
27						.345(-12)	.790(-11)	.604(-11)	.548(-11)	.301(-11)
28						.132(-12)	.120(-10)	.641(-11)	.566(-11)	.398(-11)
29						.414(-13)	.125(-10)	.805(-11)	.591(-11)	.525(-11)
30						.109(-13)	.930(-11)	.913(-11)	.599(-11)	.482(-11)
31							.291(-11)	.126(-10)	.790(-11)	.532(-11)
32							.964(-12)	.141(-10)	.995(-11)	.624(-11)
33							.295(-12)	.166(-10)	.968(-11)	.806(-11)
34							.855(-13)	.207(-10)	.127(-10)	.856(-11)
35							.630(-13)	.127(-10)	.129(-10)	.100(-10)
36							.166(-13)	.511(-11)	.171(-10)	.106(-10)
37							.414(-14)	.176(-11)	.202(-10)	.123(-10)
38							.000(-00)	.658(-12)	.242(-10)	.142(-10)
39							.000(-00)	.229(-12)	.258(-10)	.168(-10)
40							.000(-00)	.117(-12)	.181(-10)	.197(-10)
41							.000(-00)	.629(-13)	.728(-11)	.234(-10)
42							.295(-14)	.171(-13)	.284(-11)	.260(-10)
43								.105(-13)	.138(-11)	.341(-10)
44									.458(-12)	.293(-10)
45									.214(-12)	.237(-10)
46									.167(-12)	.117(-10)
47									.481(-13)	.608(-11)
48									.290(-13)	.247(-11)
49									.152(-13)	.113(-11)
50									.401(-14)	.705(-12)
51									.149(-13)	.320(-12)
52									.000(-00)	.212(-12)
53									.000(-00)	.153(-12)
54									.000(-00)	.651(-13)
55									.419(-14)	.489(-13)
56										.232(-13)
57										.181(-13)
58										.116(-13)

Virt&I-Comm.5.2014.11

Table XXX		QCT LEPS REACTIVE					$T_{tr}=2000.$	$T_{rot}=1000.$		
v'	v	5	10	15	20	25	30	35	40	45
0		.225(-14)	.587(-13)	.362(-12)	.817(-12)	.812(-12)	.748(-12)	.812(-12)	.678(-12)	.432(-12)
1		.761(-14)	.895(-13)	.375(-12)	.530(-12)	.663(-12)	.969(-12)	.904(-12)	.703(-12)	.319(-12)
2		.114(-13)	.180(-12)	.356(-12)	.422(-12)	.917(-12)	.761(-12)	.687(-12)	.632(-12)	.259(-12)
3		.354(-13)	.138(-12)	.415(-12)	.507(-12)	.604(-12)	.723(-12)	.666(-12)	.526(-12)	.421(-12)
4		.663(-13)	.177(-12)	.407(-12)	.771(-12)	.592(-12)	.821(-12)	.738(-12)	.115(-11)	.511(-12)
5		.134(-12)	.187(-12)	.447(-12)	.586(-12)	.591(-12)	.649(-12)	.774(-12)	.518(-12)	.731(-12)
6		.287(-13)	.271(-12)	.499(-12)	.705(-12)	.676(-12)	.747(-12)	.806(-12)	.666(-12)	.388(-12)
7		.524(-14)	.302(-12)	.357(-12)	.719(-12)	.111(-11)	.106(-11)	.105(-11)	.812(-12)	.667(-12)
8			.462(-12)	.613(-12)	.694(-12)	.102(-11)	.122(-11)	.103(-11)	.662(-12)	.881(-12)
9			.734(-12)	.737(-12)	.810(-12)	.102(-11)	.100(-11)	.144(-11)	.107(-11)	.101(-11)
10			.789(-12)	.859(-12)	.998(-12)	.136(-11)	.124(-11)	.103(-11)	.100(-11)	.755(-12)
11			.235(-12)	.877(-12)	.111(-11)	.126(-11)	.141(-11)	.114(-11)	.904(-12)	.133(-11)
12			.340(-13)	.112(-11)	.137(-11)	.158(-11)	.116(-11)	.117(-11)	.130(-11)	.919(-12)
13			.249(-14)	.180(-11)	.159(-11)	.173(-11)	.125(-11)	.147(-11)	.980(-12)	.105(-11)
14				.220(-11)	.160(-11)	.159(-11)	.174(-11)	.165(-11)	.107(-11)	.129(-11)
15				.211(-11)	.185(-11)	.221(-11)	.240(-11)	.172(-11)	.104(-11)	.103(-11)
16				.505(-12)	.240(-11)	.216(-11)	.228(-11)	.205(-11)	.155(-11)	.122(-11)
17				.134(-12)	.315(-11)	.274(-11)	.242(-11)	.198(-11)	.184(-11)	.109(-11)
18				.532(-14)	.491(-11)	.303(-11)	.265(-11)	.244(-11)	.144(-11)	.157(-11)
19				.364(-14)	.451(-11)	.344(-11)	.306(-11)	.229(-11)	.235(-11)	.159(-11)
20					.414(-11)	.368(-11)	.295(-11)	.343(-11)	.245(-11)	.182(-11)
21					.111(-11)	.528(-11)	.410(-11)	.348(-11)	.232(-11)	.207(-11)
22					.253(-12)	.611(-11)	.392(-11)	.340(-11)	.239(-11)	.209(-11)
23					.998(-13)	.747(-11)	.468(-11)	.418(-11)	.225(-11)	.234(-11)
24					.290(-13)	.817(-11)	.575(-11)	.421(-11)	.322(-11)	.306(-11)
25					.166(-13)	.708(-11)	.617(-11)	.549(-11)	.390(-11)	.246(-11)
26						.216(-11)	.851(-11)	.594(-11)	.411(-11)	.323(-11)
27						.746(-12)	.110(-10)	.672(-11)	.565(-11)	.335(-11)
28						.191(-12)	.125(-10)	.733(-11)	.618(-11)	.382(-11)
29						.558(-13)	.124(-10)	.763(-11)	.600(-11)	.486(-11)
30						.251(-13)	.116(-10)	.110(-10)	.743(-11)	.579(-11)
31						.157(-13)	.434(-11)	.129(-10)	.774(-11)	.647(-11)
32						.434(-14)	.128(-11)	.148(-10)	.864(-11)	.706(-11)
33							.436(-12)	.169(-10)	.973(-11)	.843(-11)
34							.169(-12)	.202(-10)	.118(-10)	.816(-11)
35							.446(-13)	.153(-10)	.149(-10)	.943(-11)
36							.163(-13)	.698(-11)	.175(-10)	.110(-10)
37							.414(-14)	.244(-11)	.201(-10)	.127(-10)
38							.858(-14)	.920(-12)	.255(-10)	.142(-10)
39							.334(-14)	.400(-12)	.269(-10)	.160(-10)
40							.000(-00)	.152(-12)	.223(-10)	.211(-10)
41							.000(-00)	.786(-13)	.104(-10)	.230(-10)
42							.000(-00)	.474(-13)	.433(-11)	.294(-10)
43							.295(-14)	.109(-13)	.177(-11)	.308(-10)
44									.868(-12)	.367(-10)
45									.398(-12)	.282(-10)
46									.231(-12)	.159(-10)
47									.797(-13)	.721(-11)
48									.479(-13)	.350(-11)
49									.188(-13)	.178(-11)
50									.258(-13)	.929(-12)
51									.876(-14)	.477(-12)
52									.824(-14)	.389(-12)
53										.255(-12)
54										.131(-12)
55										.640(-13)
56										.341(-13)
57										.224(-13)
58										.108(-13)

Virt&I-Comm.5.2014.11

Table XXXI		QCT LEPS REACTIVE					$T_{tr}=2000.$	$T_{rot}=2000.$		
v'	v	5	10	15	20	25	30	35	40	45
0		.687(-15)	.499(-13)	.405(-12)	.754(-12)	.880(-12)	.964(-12)	.833(-12)	.620(-12)	.500(-12)
1		.163(-14)	.122(-12)	.433(-12)	.637(-12)	.871(-12)	.970(-12)	.833(-12)	.544(-12)	.525(-12)
2		.183(-13)	.158(-12)	.422(-12)	.505(-12)	.878(-12)	.721(-12)	.919(-12)	.667(-12)	.487(-12)
3		.517(-13)	.193(-12)	.487(-12)	.602(-12)	.689(-12)	.804(-12)	.869(-12)	.679(-12)	.512(-12)
4		.108(-12)	.187(-12)	.452(-12)	.533(-12)	.766(-12)	.659(-12)	.703(-12)	.559(-12)	.495(-12)
5		.228(-12)	.252(-12)	.497(-12)	.773(-12)	.864(-12)	.861(-12)	.773(-12)	.658(-12)	.470(-12)
6		.419(-13)	.306(-12)	.486(-12)	.681(-12)	.861(-12)	.963(-12)	.815(-12)	.761(-12)	.489(-12)
7		.584(-14)	.398(-12)	.659(-12)	.789(-12)	.800(-12)	.971(-12)	.103(-11)	.832(-12)	.530(-12)
8		.417(-14)	.595(-12)	.711(-12)	.836(-12)	.857(-12)	.980(-12)	.803(-12)	.945(-12)	.732(-12)
9			.874(-12)	.812(-12)	.922(-12)	.105(-11)	.112(-11)	.916(-12)	.662(-12)	.566(-12)
10			.101(-11)	.940(-12)	.101(-11)	.123(-11)	.107(-11)	.113(-11)	.983(-12)	.786(-12)
11			.341(-12)	.107(-11)	.134(-11)	.139(-11)	.133(-11)	.144(-11)	.118(-11)	.935(-12)
12			.670(-13)	.142(-11)	.144(-11)	.144(-11)	.156(-11)	.141(-11)	.118(-11)	.892(-12)
13			.168(-13)	.201(-11)	.156(-11)	.164(-11)	.167(-11)	.139(-11)	.123(-11)	.962(-12)
14			.353(-14)	.277(-11)	.184(-11)	.181(-11)	.181(-11)	.144(-11)	.131(-11)	.989(-12)
15			.182(-14)	.233(-11)	.217(-11)	.205(-11)	.240(-11)	.183(-11)	.137(-11)	.112(-11)
16				.886(-12)	.278(-11)	.236(-11)	.207(-11)	.187(-11)	.145(-11)	.112(-11)
17				.201(-12)	.323(-11)	.251(-11)	.231(-11)	.226(-11)	.149(-11)	.110(-11)
18				.670(-13)	.456(-11)	.310(-11)	.279(-11)	.238(-11)	.200(-11)	.146(-11)
19				.102(-13)	.602(-11)	.362(-11)	.310(-11)	.285(-11)	.193(-11)	.123(-11)
20				.246(-14)	.483(-11)	.426(-11)	.339(-11)	.272(-11)	.219(-11)	.166(-11)
21					.221(-11)	.472(-11)	.404(-11)	.302(-11)	.251(-11)	.176(-11)
22					.655(-12)	.683(-11)	.440(-11)	.355(-11)	.277(-11)	.206(-11)
23					.155(-12)	.822(-11)	.521(-11)	.402(-11)	.347(-11)	.238(-11)
24					.774(-13)	.103(-10)	.576(-11)	.437(-11)	.364(-11)	.259(-11)
25					.213(-13)	.884(-11)	.644(-11)	.522(-11)	.380(-11)	.305(-11)
26					.588(-14)	.394(-11)	.866(-11)	.596(-11)	.463(-11)	.313(-11)
27					.000(-00)	.143(-11)	.106(-10)	.667(-11)	.524(-11)	.353(-11)
28					.000(-00)	.338(-12)	.126(-10)	.720(-11)	.553(-11)	.443(-11)
29					.118(-14)	.124(-12)	.155(-10)	.930(-11)	.578(-11)	.443(-11)
30						.446(-13)	.135(-10)	.108(-10)	.696(-11)	.540(-11)
31						.180(-13)	.683(-11)	.118(-10)	.862(-11)	.609(-11)
32						.707(-14)	.266(-11)	.154(-10)	.983(-11)	.647(-11)
33						.192(-14)	.104(-11)	.195(-10)	.109(-10)	.757(-11)
34							.360(-12)	.216(-10)	.130(-10)	.840(-11)
35							.161(-12)	.199(-10)	.160(-10)	.107(-10)
36							.469(-13)	.108(-10)	.173(-10)	.111(-10)
37							.228(-13)	.475(-11)	.213(-10)	.133(-10)
38							.206(-13)	.206(-11)	.261(-10)	.155(-10)
39							.398(-14)	.969(-12)	.279(-10)	.175(-10)
40							.193(-14)	.455(-12)	.268(-10)	.207(-10)
41							.182(-14)	.190(-12)	.157(-10)	.256(-10)
42								.163(-12)	.830(-11)	.283(-10)
43								.251(-13)	.407(-11)	.337(-10)
44								.158(-13)	.192(-11)	.361(-10)
45								.658(-14)	.105(-11)	.320(-10)
46								.137(-13)	.549(-12)	.228(-10)
47								.132(-14)	.324(-12)	.130(-10)
48								.000(-00)	.139(-12)	.771(-11)
49								.283(-14)	.897(-13)	.452(-11)
50								.000(-00)	.693(-13)	.235(-11)
51								.158(-14)	.484(-13)	.142(-11)
52									.215(-13)	.867(-12)
53									.238(-13)	.575(-12)
54									.120(-13)	.358(-12)
55									.755(-14)	.186(-12)
56									.346(-14)	.756(-13)
57									.169(-14)	.774(-13)
58									.278(-14)	.447(-13)
59									.454(-14)	.356(-13)

Virt&I-Comm.5.2014.11

Table XXXII		QCT LEPS REACTIVE					$T_{tr}=2000.$	$T_{rot}=4000.$		
v'	v	5	10	15	20	25	30	35	40	45
0		.000(-00)	.570(-13)	.451(-12)	.611(-12)	.106(-11)	.895(-12)	.468(-12)	.454(-12)	.653(-12)
1		.236(-13)	.918(-13)	.465(-12)	.407(-12)	.793(-12)	.790(-12)	.702(-12)	.557(-12)	.390(-12)
2		.352(-13)	.133(-12)	.354(-12)	.545(-12)	.558(-12)	.850(-12)	.489(-12)	.473(-12)	.510(-12)
3		.852(-13)	.296(-12)	.236(-12)	.490(-12)	.760(-12)	.765(-12)	.542(-12)	.478(-12)	.505(-12)
4		.120(-12)	.235(-12)	.406(-12)	.767(-12)	.740(-12)	.910(-12)	.637(-12)	.453(-12)	.469(-12)
5		.346(-12)	.279(-12)	.638(-12)	.788(-12)	.914(-12)	.535(-12)	.413(-12)	.595(-12)	.584(-12)
6		.122(-12)	.335(-12)	.631(-12)	.627(-12)	.951(-12)	.900(-12)	.856(-12)	.805(-12)	.586(-12)
7		.435(-13)	.535(-12)	.665(-12)	.111(-11)	.914(-12)	.122(-11)	.778(-12)	.888(-12)	.466(-12)
8		.187(-13)	.670(-12)	.884(-12)	.825(-12)	.876(-12)	.964(-12)	.817(-12)	.872(-12)	.317(-12)
9		.246(-14)	.124(-11)	.696(-12)	.103(-11)	.112(-11)	.139(-11)	.110(-11)	.934(-12)	.633(-12)
10			.137(-11)	.105(-11)	.126(-11)	.153(-11)	.109(-11)	.169(-11)	.931(-12)	.546(-12)
11			.771(-12)	.111(-11)	.149(-11)	.147(-11)	.156(-11)	.927(-12)	.103(-11)	.738(-12)
12			.214(-12)	.148(-11)	.166(-11)	.173(-11)	.194(-11)	.127(-11)	.784(-12)	.120(-11)
13			.624(-13)	.199(-11)	.179(-11)	.207(-11)	.142(-11)	.175(-11)	.123(-11)	.114(-11)
14			.237(-13)	.305(-11)	.223(-11)	.212(-11)	.175(-11)	.146(-11)	.116(-11)	.120(-11)
15			.484(-14)	.337(-11)	.238(-11)	.229(-11)	.167(-11)	.190(-11)	.104(-11)	.868(-12)
16			.100(-13)	.233(-11)	.289(-11)	.213(-11)	.213(-11)	.209(-11)	.202(-11)	.120(-11)
17				.106(-11)	.333(-11)	.295(-11)	.260(-11)	.296(-11)	.153(-11)	.126(-11)
18				.226(-12)	.441(-11)	.275(-11)	.257(-11)	.264(-11)	.181(-11)	.124(-11)
19				.183(-12)	.629(-11)	.404(-11)	.350(-11)	.242(-11)	.198(-11)	.181(-11)
20				.282(-13)	.617(-11)	.465(-11)	.337(-11)	.261(-11)	.258(-11)	.192(-11)
21				.151(-13)	.433(-11)	.577(-11)	.386(-11)	.315(-11)	.274(-11)	.163(-11)
22				.000(-00)	.213(-11)	.626(-11)	.480(-11)	.384(-11)	.249(-11)	.235(-11)
23				.000(-00)	.649(-12)	.865(-11)	.450(-11)	.451(-11)	.363(-11)	.207(-11)
24				.348(-14)	.322(-12)	.100(-10)	.599(-11)	.523(-11)	.397(-11)	.248(-11)
25				.000(-00)	.140(-12)	.108(-10)	.753(-11)	.512(-11)	.369(-11)	.299(-11)
26				.625(-14)	.742(-13)	.697(-11)	.910(-11)	.599(-11)	.455(-11)	.352(-11)
27					.332(-13)	.417(-11)	.111(-10)	.632(-11)	.508(-11)	.422(-11)
28					.187(-13)	.181(-11)	.138(-10)	.832(-11)	.574(-11)	.409(-11)
29						.741(-12)	.156(-10)	.933(-11)	.677(-11)	.435(-11)
30						.427(-12)	.152(-10)	.992(-11)	.784(-11)	.530(-11)
31						.146(-12)	.103(-10)	.136(-10)	.846(-11)	.579(-11)
32						.118(-12)	.658(-11)	.154(-10)	.959(-11)	.657(-11)
33						.198(-13)	.381(-11)	.184(-10)	.101(-10)	.683(-11)
34						.660(-13)	.194(-11)	.231(-10)	.134(-10)	.892(-11)
35						.615(-14)	.891(-12)	.223(-10)	.147(-10)	.939(-11)
36						.000(-00)	.468(-12)	.145(-10)	.184(-10)	.101(-10)
37						.109(-13)	.186(-12)	.976(-11)	.239(-10)	.143(-10)
38						.000(-00)	.146(-12)	.550(-11)	.239(-10)	.165(-10)
39						.000(-00)	.114(-12)	.386(-11)	.287(-10)	.172(-10)
40						.794(-14)	.570(-13)	.196(-11)	.273(-10)	.223(-10)
41							.252(-13)	.156(-11)	.215(-10)	.230(-10)
42							.000(-00)	.690(-12)	.144(-10)	.300(-10)
43							.163(-13)	.450(-12)	.101(-10)	.320(-10)
44								.101(-12)	.583(-11)	.336(-10)
45								.113(-12)	.403(-11)	.318(-10)
46								.150(-12)	.258(-11)	.259(-10)
47								.768(-13)	.151(-11)	.194(-10)
48								.633(-13)	.908(-12)	.138(-10)
49								.627(-14)	.312(-12)	.930(-11)
50									.257(-12)	.560(-11)
51									.764(-13)	.344(-11)
52									.823(-13)	.200(-11)
53									.575(-13)	.149(-11)
54									.100(-12)	.681(-12)
55									.367(-13)	.484(-12)
56									.000(-00)	.501(-12)
57									.958(-14)	.190(-12)
58									.226(-13)	.221(-12)
59									.411(-13)	.770(-13)

Virt&I-Comm.5.2014.11

Table XXXIII		QCT LEPS REACTIVE					$T_{lr}=4000.$	$T_{rot}= 500.$		
v'	v	5	10	15	20	25	30	35	40	45
0		.810(-13)	.191(-12)	.945(-12)	.169(-11)	.209(-11)	.201(-11)	.136(-11)	.111(-11)	.131(-11)
1		.131(-12)	.355(-12)	.106(-11)	.160(-11)	.153(-11)	.175(-11)	.163(-11)	.104(-11)	.854(-12)
2		.368(-12)	.756(-12)	.106(-11)	.169(-11)	.207(-11)	.166(-11)	.166(-11)	.179(-11)	.154(-11)
3		.623(-12)	.995(-12)	.159(-11)	.161(-11)	.173(-11)	.165(-11)	.212(-11)	.150(-11)	.783(-12)
4		.137(-11)	.875(-12)	.170(-11)	.157(-11)	.127(-11)	.163(-11)	.197(-11)	.123(-11)	.897(-12)
5		.162(-11)	.122(-11)	.156(-11)	.253(-11)	.190(-11)	.128(-11)	.162(-11)	.160(-11)	.156(-11)
6		.363(-12)	.140(-11)	.158(-11)	.203(-11)	.192(-11)	.223(-11)	.157(-11)	.216(-11)	.932(-12)
7		.975(-13)	.216(-11)	.196(-11)	.201(-11)	.211(-11)	.257(-11)	.178(-11)	.995(-12)	.145(-11)
8		.118(-12)	.338(-11)	.217(-11)	.302(-11)	.234(-11)	.217(-11)	.188(-11)	.198(-11)	.100(-11)
9		.313(-13)	.438(-11)	.278(-11)	.223(-11)	.273(-11)	.221(-11)	.245(-11)	.194(-11)	.118(-11)
10		.122(-13)	.371(-11)	.329(-11)	.291(-11)	.244(-11)	.260(-11)	.207(-11)	.216(-11)	.145(-11)
11		.319(-14)	.127(-11)	.388(-11)	.327(-11)	.306(-11)	.360(-11)	.201(-11)	.229(-11)	.121(-11)
12		.696(-14)	.373(-12)	.510(-11)	.392(-11)	.365(-11)	.227(-11)	.259(-11)	.180(-11)	.150(-11)
13			.189(-12)	.648(-11)	.443(-11)	.360(-11)	.342(-11)	.245(-11)	.244(-11)	.164(-11)
14			.151(-12)	.767(-11)	.512(-11)	.338(-11)	.382(-11)	.311(-11)	.335(-11)	.182(-11)
15			.560(-13)	.620(-11)	.599(-11)	.440(-11)	.418(-11)	.319(-11)	.234(-11)	.192(-11)
16			.926(-14)	.205(-11)	.738(-11)	.519(-11)	.349(-11)	.345(-11)	.292(-11)	.252(-11)
17			.994(-14)	.821(-12)	.864(-11)	.740(-11)	.493(-11)	.370(-11)	.310(-11)	.319(-11)
18			.513(-14)	.419(-12)	.107(-10)	.657(-11)	.552(-11)	.407(-11)	.385(-11)	.375(-11)
19			.742(-14)	.177(-12)	.115(-10)	.780(-11)	.677(-11)	.501(-11)	.399(-11)	.325(-11)
20			.000(-00)	.790(-13)	.845(-11)	.948(-11)	.715(-11)	.569(-11)	.474(-11)	.307(-11)
21			.000(-00)	.550(-13)	.372(-11)	.120(-10)	.719(-11)	.689(-11)	.375(-11)	.417(-11)
22			.000(-00)	.217(-13)	.154(-11)	.146(-10)	.890(-11)	.699(-11)	.461(-11)	.344(-11)
23			.000(-00)	.108(-13)	.740(-12)	.165(-10)	.978(-11)	.691(-11)	.644(-11)	.517(-11)
24			.000(-00)	.114(-13)	.365(-12)	.156(-10)	.128(-10)	.781(-11)	.675(-11)	.385(-11)
25			.000(-00)	.520(-14)	.236(-12)	.114(-10)	.130(-10)	.100(-10)	.695(-11)	.572(-11)
26			.000(-00)	.000(-00)	.101(-12)	.567(-11)	.159(-10)	.100(-10)	.775(-11)	.566(-11)
27			.312(-14)	.299(-14)	.287(-13)	.248(-11)	.185(-10)	.136(-10)	.778(-11)	.712(-11)
28				.000(-00)	.513(-13)	.136(-11)	.213(-10)	.152(-10)	.106(-10)	.756(-11)
29				.000(-00)	.154(-13)	.653(-12)	.210(-10)	.159(-10)	.119(-10)	.977(-11)
30				.315(-14)		.370(-12)	.140(-10)	.190(-10)	.120(-10)	.891(-11)
31						.244(-12)	.757(-11)	.226(-10)	.153(-10)	.106(-10)
32						.106(-12)	.398(-11)	.248(-10)	.167(-10)	.123(-10)
33						.627(-13)	.213(-11)	.268(-10)	.205(-10)	.129(-10)
34						.392(-13)	.107(-11)	.268(-10)	.221(-10)	.151(-10)
35						.129(-13)	.689(-12)	.180(-10)	.235(-10)	.157(-10)
36						.245(-13)	.323(-12)	.986(-11)	.277(-10)	.195(-10)
37						.102(-13)	.271(-12)	.470(-11)	.297(-10)	.227(-10)
38						.125(-13)	.795(-13)	.307(-11)	.341(-10)	.234(-10)
39						.000(-00)	.841(-13)	.197(-11)	.304(-10)	.273(-10)
40						.000(-00)	.522(-13)	.108(-11)	.217(-10)	.293(-10)
41						.000(-00)	.172(-13)	.944(-12)	.138(-10)	.314(-10)
42						.000(-00)	.249(-13)	.495(-12)	.768(-11)	.345(-10)
43						.000(-00)	.663(-14)	.273(-12)	.418(-11)	.331(-10)
44						.000(-00)	.530(-14)	.199(-12)	.299(-11)	.347(-10)
45						.000(-00)	.602(-14)	.114(-12)	.148(-11)	.272(-10)
46						.000(-00)	.141(-13)	.782(-13)	.131(-11)	.161(-10)
47						.000(-00)	.000(-00)	.217(-13)	.743(-12)	.931(-11)
48						.000(-00)	.723(-14)	.424(-13)	.432(-12)	.609(-11)
49						.000(-00)		.320(-13)	.523(-12)	.473(-11)
50						.000(-00)		.263(-13)	.270(-12)	.291(-11)
51						.381(-14)		.000(-00)	.237(-12)	.207(-11)
52								.661(-14)	.171(-12)	.139(-11)
53								.573(-14)	.507(-13)	.827(-12)
54								.699(-14)	.394(-13)	.892(-12)
55								.000(-00)	.923(-13)	.465(-12)
56								.000(-00)	.383(-13)	.518(-12)
57								.116(-13)	.595(-13)	.347(-12)
58								.514(-14)	.467(-13)	.229(-12)
59										.970(-13)

Virt&I-Comm.5.2014.11

Table XXXIV		QCT LEPS REACTIVE					$T_{tr}=4000.$	$T_{rot}=1000.$		
v'	v	5	10	15	20	25	30	35	40	45
0		.111(-12)	.306(-12)	.132(-11)	.218(-11)	.243(-11)	.193(-11)	.167(-11)	.114(-11)	.742(-12)
1		.151(-12)	.442(-12)	.885(-12)	.188(-11)	.212(-11)	.159(-11)	.146(-11)	.866(-12)	.850(-12)
2		.402(-12)	.641(-12)	.110(-11)	.164(-11)	.144(-11)	.154(-11)	.169(-11)	.154(-11)	.128(-11)
3		.783(-12)	.103(-11)	.129(-11)	.168(-11)	.259(-11)	.169(-11)	.165(-11)	.129(-11)	.101(-11)
4		.145(-11)	.106(-11)	.128(-11)	.159(-11)	.197(-11)	.171(-11)	.192(-11)	.115(-11)	.968(-12)
5		.181(-11)	.118(-11)	.174(-11)	.168(-11)	.156(-11)	.189(-11)	.920(-12)	.195(-11)	.103(-11)
6		.471(-12)	.163(-11)	.239(-11)	.198(-11)	.228(-11)	.271(-11)	.193(-11)	.129(-11)	.145(-11)
7		.166(-12)	.203(-11)	.204(-11)	.244(-11)	.193(-11)	.219(-11)	.169(-11)	.129(-11)	.950(-12)
8		.121(-12)	.294(-11)	.284(-11)	.261(-11)	.224(-11)	.216(-11)	.167(-11)	.207(-11)	.946(-12)
9		.335(-13)	.434(-11)	.287(-11)	.243(-11)	.309(-11)	.267(-11)	.150(-11)	.185(-11)	.121(-11)
10		.319(-14)	.438(-11)	.344(-11)	.307(-11)	.238(-11)	.321(-11)	.232(-11)	.168(-11)	.140(-11)
11		.115(-13)	.146(-11)	.413(-11)	.392(-11)	.309(-11)	.344(-11)	.261(-11)	.193(-11)	.178(-11)
12		.101(-13)	.501(-12)	.501(-11)	.341(-11)	.352(-11)	.303(-11)	.280(-11)	.182(-11)	.162(-11)
13		.449(-14)	.284(-12)	.707(-11)	.515(-11)	.352(-11)	.389(-11)	.302(-11)	.182(-11)	.123(-11)
14		.000(-00)	.635(-13)	.834(-11)	.501(-11)	.472(-11)	.405(-11)	.281(-11)	.274(-11)	.218(-11)
15		.000(-00)	.497(-13)	.709(-11)	.601(-11)	.510(-11)	.434(-11)	.373(-11)	.251(-11)	.182(-11)
16		.306(-14)	.419(-13)	.232(-11)	.795(-11)	.556(-11)	.534(-11)	.463(-11)	.325(-11)	.184(-11)
17			.502(-14)	.941(-12)	.846(-11)	.674(-11)	.432(-11)	.397(-11)	.341(-11)	.284(-11)
18			.000(-00)	.467(-12)	.120(-10)	.695(-11)	.583(-11)	.457(-11)	.403(-11)	.277(-11)
19			.370(-14)	.202(-12)	.133(-10)	.983(-11)	.809(-11)	.496(-11)	.420(-11)	.338(-11)
20			.303(-14)	.128(-12)	.950(-11)	.102(-10)	.748(-11)	.585(-11)	.468(-11)	.385(-11)
21			.000(-00)	.341(-13)	.425(-11)	.114(-10)	.816(-11)	.634(-11)	.507(-11)	.354(-11)
22			.000(-00)	.259(-13)	.176(-11)	.156(-10)	.909(-11)	.644(-11)	.493(-11)	.442(-11)
23			.000(-00)	.136(-13)	.989(-12)	.160(-10)	.103(-10)	.909(-11)	.634(-11)	.385(-11)
24			.000(-00)	.000(-00)	.285(-12)	.167(-10)	.127(-10)	.905(-11)	.602(-11)	.555(-11)
25			.000(-00)	.000(-00)	.257(-12)	.135(-10)	.137(-10)	.850(-11)	.812(-11)	.542(-11)
26			.312(-14)	.303(-14)	.101(-12)	.648(-11)	.161(-10)	.117(-10)	.785(-11)	.653(-11)
27				.299(-14)	.399(-13)	.318(-11)	.198(-10)	.126(-10)	.931(-11)	.800(-11)
28					.415(-13)	.134(-11)	.216(-10)	.158(-10)	.981(-11)	.746(-11)
29					.131(-13)	.579(-12)	.231(-10)	.171(-10)	.110(-10)	.744(-11)
30					.000(-00)	.447(-12)	.163(-10)	.218(-10)	.140(-10)	.906(-11)
31					.112(-13)	.235(-12)	.858(-11)	.229(-10)	.145(-10)	.113(-10)
32					.411(-14)	.100(-12)	.435(-11)	.239(-10)	.162(-10)	.109(-10)
33					.465(-14)	.147(-12)	.264(-11)	.275(-10)	.178(-10)	.129(-10)
34					.000(-00)	.146(-13)	.117(-11)	.278(-10)	.240(-10)	.176(-10)
35					.766(-14)	.332(-13)	.703(-12)	.222(-10)	.253(-10)	.162(-10)
36						.252(-13)	.358(-12)	.120(-10)	.311(-10)	.178(-10)
37						.745(-14)	.247(-12)	.646(-11)	.352(-10)	.225(-10)
38						.109(-13)	.104(-12)	.375(-11)	.309(-10)	.249(-10)
39						.905(-14)	.110(-12)	.212(-11)	.309(-10)	.299(-10)
40						.000(-00)	.558(-13)	.145(-11)	.261(-10)	.305(-10)
41						.000(-00)	.174(-13)	.994(-12)	.163(-10)	.318(-10)
42						.000(-00)	.332(-13)	.646(-12)	.887(-11)	.370(-10)
43						.000(-00)	.110(-13)	.334(-12)	.498(-11)	.382(-10)
44						.000(-00)	.000(-00)	.207(-12)	.346(-11)	.355(-10)
45						.000(-00)	.177(-13)	.173(-12)	.216(-11)	.328(-10)
46						.000(-00)	.123(-13)	.949(-13)	.123(-11)	.182(-10)
47						.000(-00)	.137(-13)	.544(-13)	.986(-12)	.123(-10)
48						.000(-00)	.000(-00)	.431(-13)	.528(-12)	.870(-11)
49						.000(-00)	.000(-00)	.206(-13)	.640(-12)	.526(-11)
50						.000(-00)	.640(-14)	.165(-13)	.377(-12)	.310(-11)
51						.381(-14)		.749(-14)	.168(-12)	.218(-11)
52								.208(-13)	.199(-12)	.186(-11)
53								.121(-13)	.149(-12)	.133(-11)
54								.607(-14)	.952(-13)	.771(-12)
55								.115(-13)	.114(-12)	.861(-12)
56								.000(-00)	.467(-13)	.589(-12)
57								.000(-00)	.449(-13)	.365(-12)
58								.000(-00)	.923(-14)	.239(-12)
59								.621(-14)	.290(-13)	.176(-12)

Virt&I-Comm.5.2014.11

Table XXXV		QCT LEPS REACTIVE					$T_{tr}=4000.$	$T_{rot}=2000.$		
v'	v	5	10	15	20	25	30	35	40	45
0		.926(-13)	.218(-12)	.105(-11)	.221(-11)	.227(-11)	.211(-11)	.179(-11)	.120(-11)	.844(-12)
1		.209(-12)	.637(-12)	.143(-11)	.183(-11)	.211(-11)	.182(-11)	.144(-11)	.121(-11)	.118(-11)
2		.374(-12)	.714(-12)	.137(-11)	.159(-11)	.199(-11)	.175(-11)	.145(-11)	.105(-11)	.924(-12)
3		.853(-12)	.986(-12)	.168(-11)	.128(-11)	.181(-11)	.199(-11)	.140(-11)	.115(-11)	.962(-12)
4		.182(-11)	.104(-11)	.168(-11)	.165(-11)	.196(-11)	.129(-11)	.156(-11)	.114(-11)	.108(-11)
5		.251(-11)	.147(-11)	.181(-11)	.157(-11)	.219(-11)	.148(-11)	.129(-11)	.954(-12)	.624(-12)
6		.635(-12)	.167(-11)	.196(-11)	.231(-11)	.245(-11)	.270(-11)	.146(-11)	.103(-11)	.148(-11)
7		.266(-12)	.242(-11)	.169(-11)	.222(-11)	.274(-11)	.176(-11)	.201(-11)	.164(-11)	.932(-12)
8		.602(-13)	.336(-11)	.284(-11)	.239(-11)	.208(-11)	.266(-11)	.150(-11)	.123(-11)	.993(-12)
9		.667(-13)	.545(-11)	.271(-11)	.259(-11)	.252(-11)	.277(-11)	.214(-11)	.188(-11)	.761(-12)
10		.274(-13)	.502(-11)	.344(-11)	.363(-11)	.281(-11)	.274(-11)	.224(-11)	.143(-11)	.165(-11)
11		.148(-13)	.191(-11)	.499(-11)	.413(-11)	.342(-11)	.320(-11)	.245(-11)	.254(-11)	.159(-11)
12		.818(-14)	.744(-12)	.557(-11)	.466(-11)	.379(-11)	.339(-11)	.252(-11)	.187(-11)	.222(-11)
13			.222(-12)	.769(-11)	.437(-11)	.337(-11)	.381(-11)	.210(-11)	.224(-11)	.229(-11)
14			.994(-13)	.992(-11)	.508(-11)	.492(-11)	.399(-11)	.291(-11)	.257(-11)	.235(-11)
15			.853(-13)	.739(-11)	.641(-11)	.530(-11)	.347(-11)	.346(-11)	.260(-11)	.243(-11)
16			.250(-13)	.361(-11)	.751(-11)	.496(-11)	.453(-11)	.349(-11)	.309(-11)	.221(-11)
17			.151(-13)	.171(-11)	.106(-10)	.628(-11)	.447(-11)	.619(-11)	.392(-11)	.187(-11)
18			.116(-13)	.638(-12)	.113(-10)	.759(-11)	.550(-11)	.542(-11)	.375(-11)	.259(-11)
19			.336(-14)	.215(-12)	.140(-10)	.906(-11)	.677(-11)	.508(-11)	.410(-11)	.321(-11)
20			.000(-00)	.122(-12)	.108(-10)	.952(-11)	.645(-11)	.551(-11)	.375(-11)	.406(-11)
21			.352(-14)	.685(-13)	.669(-11)	.123(-10)	.773(-11)	.628(-11)	.442(-11)	.369(-11)
22				.391(-13)	.290(-11)	.150(-10)	.778(-11)	.778(-11)	.685(-11)	.396(-11)
23				.227(-13)	.102(-11)	.185(-10)	.112(-10)	.732(-11)	.664(-11)	.435(-11)
24				.000(-00)	.613(-12)	.173(-10)	.118(-10)	.903(-11)	.662(-11)	.485(-11)
25				.397(-14)	.304(-12)	.168(-10)	.149(-10)	.937(-11)	.757(-11)	.552(-11)
26					.184(-12)	.923(-11)	.190(-10)	.116(-10)	.941(-11)	.535(-11)
27					.868(-13)	.410(-11)	.211(-10)	.133(-10)	.955(-11)	.863(-11)
28					.256(-13)	.188(-11)	.229(-10)	.164(-10)	.111(-10)	.626(-11)
29					.302(-13)	.109(-11)	.219(-10)	.155(-10)	.123(-10)	.925(-11)
30					.112(-13)	.572(-12)	.196(-10)	.193(-10)	.137(-10)	.767(-11)
31					.119(-13)	.325(-12)	.108(-10)	.226(-10)	.157(-10)	.118(-10)
32					.663(-14)	.220(-12)	.576(-11)	.255(-10)	.179(-10)	.970(-11)
33						.103(-12)	.376(-11)	.263(-10)	.206(-10)	.135(-10)
34						.404(-13)	.192(-11)	.298(-10)	.197(-10)	.128(-10)
35						.621(-13)	.114(-11)	.231(-10)	.242(-10)	.165(-10)
36						.281(-13)	.682(-12)	.161(-10)	.289(-10)	.170(-10)
37						.276(-13)	.289(-12)	.857(-11)	.291(-10)	.198(-10)
38						.211(-13)	.175(-12)	.524(-11)	.311(-10)	.239(-10)
39							.187(-12)	.308(-11)	.318(-10)	.272(-10)
40							.826(-13)	.198(-11)	.273(-10)	.287(-10)
41							.485(-13)	.139(-11)	.191(-10)	.318(-10)
42							.375(-13)	.985(-12)	.121(-10)	.341(-10)
43							.573(-14)	.499(-12)	.731(-11)	.406(-10)
44							.665(-14)	.369(-12)	.516(-11)	.352(-10)
45							.993(-14)	.191(-12)	.314(-11)	.335(-10)
46							.000(-00)	.213(-12)	.267(-11)	.254(-10)
47							.980(-14)	.118(-12)	.189(-11)	.163(-10)
48							.510(-14)	.176(-13)	.102(-11)	.104(-10)
49							.000(-00)	.678(-13)	.900(-12)	.782(-11)
50							.670(-14)	.363(-13)	.556(-12)	.570(-11)
51							.580(-14)	.361(-13)	.337(-12)	.435(-11)
52							.000(-00)	.326(-13)	.288(-12)	.184(-11)
53							.533(-14)	.146(-13)	.184(-12)	.173(-11)
54								.128(-13)	.116(-12)	.108(-11)
55									.701(-13)	.115(-11)
56									.944(-13)	.725(-12)
57									.111(-13)	.431(-12)
58									.372(-13)	.343(-12)
59									.333(-13)	.370(-12)

Virt&I-Comm.5.2014.11

Table XXXVI		QCT LEPS REACTIVE					$T_{tr}=4000.$	$T_{rot}=4000.$		
v'	v	5	10	15	20	25	30	35	40	45
0		.135(-12)	.277(-12)	.114(-11)	.165(-11)	.193(-11)	.187(-11)	.150(-11)	.122(-11)	.817(-12)
1		.323(-12)	.643(-12)	.106(-11)	.143(-11)	.182(-11)	.166(-11)	.145(-11)	.117(-11)	.960(-12)
2		.531(-12)	.926(-12)	.131(-11)	.157(-11)	.144(-11)	.159(-11)	.138(-11)	.127(-11)	.102(-11)
3		.988(-12)	.114(-11)	.128(-11)	.164(-11)	.193(-11)	.168(-11)	.134(-11)	.119(-11)	.636(-12)
4		.173(-11)	.125(-11)	.161(-11)	.157(-11)	.162(-11)	.189(-11)	.148(-11)	.123(-11)	.889(-12)
5		.287(-11)	.179(-11)	.198(-11)	.168(-11)	.253(-11)	.193(-11)	.164(-11)	.111(-11)	.835(-12)
6		.122(-11)	.186(-11)	.205(-11)	.207(-11)	.224(-11)	.182(-11)	.130(-11)	.141(-11)	.938(-12)
7		.424(-12)	.236(-11)	.247(-11)	.261(-11)	.209(-11)	.210(-11)	.194(-11)	.121(-11)	.826(-12)
8		.180(-12)	.385(-11)	.260(-11)	.253(-11)	.252(-11)	.229(-11)	.159(-11)	.144(-11)	.103(-11)
9		.543(-13)	.599(-11)	.324(-11)	.324(-11)	.309(-11)	.267(-11)	.203(-11)	.149(-11)	.115(-11)
10		.344(-13)	.666(-11)	.375(-11)	.353(-11)	.288(-11)	.294(-11)	.215(-11)	.185(-11)	.118(-11)
11		.350(-13)	.340(-11)	.475(-11)	.397(-11)	.344(-11)	.301(-11)	.267(-11)	.210(-11)	.140(-11)
12		.151(-13)	.151(-11)	.602(-11)	.448(-11)	.413(-11)	.294(-11)	.272(-11)	.214(-11)	.189(-11)
13		.291(-14)	.596(-12)	.813(-11)	.475(-11)	.432(-11)	.383(-11)	.317(-11)	.230(-11)	.176(-11)
14		.000(-00)	.256(-12)	.902(-11)	.569(-11)	.482(-11)	.424(-11)	.311(-11)	.290(-11)	.201(-11)
15		.262(-14)	.140(-12)	.101(-10)	.649(-11)	.523(-11)	.416(-11)	.321(-11)	.241(-11)	.202(-11)
16			.627(-13)	.606(-11)	.857(-11)	.627(-11)	.464(-11)	.356(-11)	.303(-11)	.204(-11)
17			.549(-13)	.265(-11)	.105(-10)	.630(-11)	.570(-11)	.455(-11)	.362(-11)	.212(-11)
18			.154(-13)	.119(-11)	.132(-10)	.818(-11)	.604(-11)	.527(-11)	.355(-11)	.297(-11)
19			.114(-13)	.630(-12)	.148(-10)	.867(-11)	.641(-11)	.498(-11)	.399(-11)	.332(-11)
20			.359(-14)	.338(-12)	.141(-10)	.107(-10)	.707(-11)	.603(-11)	.505(-11)	.391(-11)
21			.137(-14)	.127(-12)	.910(-11)	.129(-10)	.773(-11)	.681(-11)	.465(-11)	.292(-11)
22				.731(-13)	.434(-11)	.150(-10)	.976(-11)	.704(-11)	.568(-11)	.461(-11)
23				.407(-13)	.240(-11)	.171(-10)	.109(-10)	.803(-11)	.643(-11)	.427(-11)
24				.218(-13)	.128(-11)	.203(-10)	.130(-10)	.954(-11)	.667(-11)	.482(-11)
25				.934(-14)	.641(-12)	.190(-10)	.144(-10)	.106(-10)	.766(-11)	.557(-11)
26				.657(-14)	.480(-12)	.126(-10)	.178(-10)	.111(-10)	.903(-11)	.631(-11)
27				.493(-14)	.253(-12)	.745(-11)	.207(-10)	.134(-10)	.993(-11)	.681(-11)
28				.600(-14)	.107(-12)	.419(-11)	.225(-10)	.144(-10)	.104(-10)	.782(-11)
29				.245(-14)	.117(-12)	.232(-11)	.249(-10)	.166(-10)	.116(-10)	.801(-11)
30				.000(-00)	.374(-13)	.118(-11)	.226(-10)	.188(-10)	.133(-10)	.891(-11)
31				.000(-00)	.157(-13)	.686(-12)	.151(-10)	.225(-10)	.144(-10)	.958(-11)
32				.000(-00)	.298(-14)	.524(-12)	.107(-10)	.258(-10)	.172(-10)	.113(-10)
33				.000(-00)	.101(-13)	.231(-12)	.620(-11)	.278(-10)	.192(-10)	.122(-10)
34				.000(-00)	.000(-00)	.233(-12)	.401(-11)	.297(-10)	.214(-10)	.139(-10)
35				.281(-14)	.972(-14)	.924(-13)	.237(-11)	.270(-10)	.251(-10)	.157(-10)
36					.000(-00)	.699(-13)	.151(-11)	.203(-10)	.274(-10)	.176(-10)
37					.000(-00)	.807(-13)	.110(-11)	.153(-10)	.312(-10)	.207(-10)
38					.789(-14)	.951(-14)	.746(-12)	.921(-11)	.331(-10)	.225(-10)
39					.000(-00)	.977(-14)	.363(-12)	.685(-11)	.333(-10)	.259(-10)
40					.000(-00)	.260(-13)	.191(-12)	.476(-11)	.288(-10)	.297(-10)
41					.207(-14)	.119(-13)	.213(-12)	.266(-11)	.252(-10)	.319(-10)
42					.000(-00)	.140(-13)	.155(-12)	.176(-11)	.175(-10)	.352(-10)
43					.000(-00)	.754(-14)	.559(-13)	.113(-11)	.132(-10)	.351(-10)
44					.118(-14)	.000(-00)	.108(-12)	.111(-11)	.901(-11)	.369(-10)
45						.000(-00)	.572(-13)	.622(-12)	.717(-11)	.337(-10)
46						.198(-14)	.497(-13)	.501(-12)	.422(-11)	.304(-10)
47						.000(-00)	.249(-13)	.285(-12)	.314(-11)	.230(-10)
48						.000(-00)	.218(-13)	.221(-12)	.219(-11)	.158(-10)
49						.321(-14)	.116(-13)	.130(-12)	.183(-11)	.119(-10)
50						.000(-00)	.889(-14)	.164(-12)	.112(-11)	.819(-11)
51						.000(-00)	.576(-14)	.803(-13)	.949(-12)	.570(-11)
52						.294(-14)	.561(-14)	.766(-13)	.749(-12)	.376(-11)
53							.614(-14)	.265(-13)	.519(-12)	.287(-11)
54							.177(-14)	.278(-13)	.244(-12)	.215(-11)
55							.353(-14)	.332(-13)	.269(-12)	.151(-11)
56							.000(-00)	.298(-13)	.193(-12)	.120(-11)
57							.272(-14)	.195(-13)	.127(-12)	.833(-12)
58								.226(-14)	.150(-12)	.628(-12)
59								.245(-14)	.801(-13)	.452(-12)

Virt&I-Comm.5.2014.11

		Table XXXVII QCT LEPS REACTIVE					$T_{tr}=8000.$	$T_{rot}= 500.$		
v'	v	5	10	15	20	25	30	35	40	45
0		.115(-11)	.132(-11)	.233(-11)	.331(-11)	.334(-11)	.316(-11)	.270(-11)	.197(-11)	.166(-11)
1		.187(-11)	.172(-11)	.274(-11)	.325(-11)	.294(-11)	.370(-11)	.248(-11)	.203(-11)	.211(-11)
2		.333(-11)	.261(-11)	.272(-11)	.335(-11)	.390(-11)	.231(-11)	.238(-11)	.174(-11)	.157(-11)
3		.537(-11)	.339(-11)	.433(-11)	.322(-11)	.291(-11)	.279(-11)	.228(-11)	.253(-11)	.161(-11)
4		.840(-11)	.363(-11)	.384(-11)	.416(-11)	.331(-11)	.404(-11)	.224(-11)	.272(-11)	.168(-11)
5		.765(-11)	.510(-11)	.506(-11)	.419(-11)	.389(-11)	.269(-11)	.294(-11)	.304(-11)	.190(-11)
6		.281(-11)	.571(-11)	.493(-11)	.476(-11)	.423(-11)	.354(-11)	.279(-11)	.259(-11)	.161(-11)
7		.169(-11)	.799(-11)	.543(-11)	.560(-11)	.462(-11)	.448(-11)	.349(-11)	.287(-11)	.247(-11)
8		.865(-12)	.111(-10)	.706(-11)	.567(-11)	.369(-11)	.366(-11)	.335(-11)	.364(-11)	.232(-11)
9		.575(-12)	.130(-10)	.800(-11)	.571(-11)	.537(-11)	.441(-11)	.325(-11)	.328(-11)	.254(-11)
10		.365(-12)	.111(-10)	.102(-10)	.691(-11)	.682(-11)	.437(-11)	.346(-11)	.397(-11)	.259(-11)
11		.194(-12)	.510(-11)	.122(-10)	.878(-11)	.604(-11)	.588(-11)	.413(-11)	.408(-11)	.251(-11)
12		.175(-12)	.274(-11)	.139(-10)	.922(-11)	.808(-11)	.651(-11)	.345(-11)	.434(-11)	.260(-11)
13		.884(-13)	.156(-11)	.162(-10)	.109(-10)	.814(-11)	.666(-11)	.734(-11)	.458(-11)	.346(-11)
14		.104(-12)	.101(-11)	.165(-10)	.142(-10)	.869(-11)	.790(-11)	.615(-11)	.553(-11)	.354(-11)
15		.798(-14)	.733(-12)	.118(-10)	.146(-10)	.106(-10)	.757(-11)	.556(-11)	.612(-11)	.383(-11)
16		.489(-13)	.404(-12)	.623(-11)	.165(-10)	.124(-10)	.870(-11)	.737(-11)	.538(-11)	.450(-11)
17		.129(-13)	.299(-12)	.396(-11)	.202(-10)	.135(-10)	.103(-10)	.829(-11)	.626(-11)	.434(-11)
18		.212(-13)	.239(-12)	.215(-11)	.218(-10)	.147(-10)	.116(-10)	.976(-11)	.646(-11)	.593(-11)
19		.773(-14)	.123(-12)	.174(-11)	.182(-10)	.149(-10)	.128(-10)	.100(-10)	.777(-11)	.438(-11)
20		.118(-13)	.761(-13)	.118(-11)	.139(-10)	.198(-10)	.127(-10)	.103(-10)	.796(-11)	.722(-11)
21		.775(-14)	.474(-13)	.703(-12)	.830(-11)	.211(-10)	.153(-10)	.126(-10)	.805(-11)	.682(-11)
22		.401(-14)	.714(-13)	.607(-12)	.503(-11)	.225(-10)	.168(-10)	.142(-10)	.878(-11)	.776(-11)
23		.000(-00)	.433(-13)	.332(-12)	.354(-11)	.247(-10)	.196(-10)	.156(-10)	.105(-10)	.894(-11)
24		.000(-00)	.897(-14)	.174(-12)	.236(-11)	.236(-10)	.212(-10)	.184(-10)	.979(-11)	.968(-11)
25		.745(-14)	.202(-13)	.136(-12)	.161(-11)	.190(-10)	.259(-10)	.169(-10)	.117(-10)	.946(-11)
26		.000(-00)	.671(-14)	.127(-12)	.114(-11)	.107(-10)	.269(-10)	.199(-10)	.138(-10)	.974(-11)
27		.000(-00)	.141(-13)	.131(-12)	.747(-12)	.629(-11)	.300(-10)	.232(-10)	.179(-10)	.109(-10)
28		.000(-00)	.000(-00)	.770(-13)	.638(-12)	.477(-11)	.288(-10)	.222(-10)	.172(-10)	.134(-10)
29		.000(-00)	.000(-00)	.357(-13)	.410(-12)	.345(-11)	.248(-10)	.247(-10)	.189(-10)	.128(-10)
30		.000(-00)	.000(-00)	.407(-13)	.178(-12)	.159(-11)	.188(-10)	.291(-10)	.223(-10)	.123(-10)
31		.000(-00)	.000(-00)	.000(-00)	.243(-12)	.174(-11)	.123(-10)	.258(-10)	.222(-10)	.143(-10)
32		.000(-00)	.000(-00)	.123(-13)	.103(-12)	.105(-11)	.767(-11)	.310(-10)	.268(-10)	.172(-10)
33		.000(-00)	.603(-14)	.000(-00)	.101(-12)	.690(-12)	.642(-11)	.270(-10)	.293(-10)	.177(-10)
34		.000(-00)		.694(-14)	.239(-13)	.598(-12)	.439(-11)	.269(-10)	.257(-10)	.197(-10)
35		.000(-00)		.711(-14)	.620(-13)	.553(-12)	.349(-11)	.207(-10)	.315(-10)	.240(-10)
36		.329(-14)		.438(-14)	.604(-13)	.400(-12)	.278(-11)	.172(-10)	.297(-10)	.275(-10)
37				.000(-00)	.248(-13)	.300(-12)	.124(-11)	.106(-10)	.289(-10)	.297(-10)
38				.000(-00)	.688(-14)	.245(-12)	.105(-11)	.750(-11)	.366(-10)	.290(-10)
39				.682(-14)	.000(-00)	.230(-12)	.924(-12)	.594(-11)	.266(-10)	.265(-10)
40				.849(-14)	.899(-14)	.423(-13)	.593(-12)	.390(-11)	.246(-10)	.309(-10)
41				.000(-00)	.158(-13)	.411(-13)	.514(-12)	.249(-11)	.150(-10)	.330(-10)
42				.000(-00)	.832(-14)	.251(-13)	.332(-12)	.208(-11)	.120(-10)	.302(-10)
43				.557(-14)	.861(-14)	.457(-13)	.315(-12)	.197(-11)	.932(-11)	.286(-10)
44					.140(-13)	.641(-13)	.325(-12)	.139(-11)	.655(-11)	.248(-10)
45					.000(-00)	.353(-13)	.199(-12)	.945(-12)	.485(-11)	.244(-10)
46					.000(-00)	.216(-13)	.124(-12)	.729(-12)	.447(-11)	.165(-10)
47					.624(-14)	.170(-13)	.140(-12)	.712(-12)	.293(-11)	.122(-10)
48					.000(-00)	.712(-14)	.524(-13)	.401(-12)	.216(-11)	.984(-11)
49					.000(-00)	.000(-00)	.839(-13)	.390(-12)	.162(-11)	.713(-11)
50					.694(-14)	.320(-13)	.608(-13)	.260(-12)	.137(-11)	.565(-11)
51							.541(-13)	.336(-12)	.756(-12)	.503(-11)
52							.624(-13)	.183(-12)	.610(-12)	.377(-11)
53							.554(-13)	.146(-12)	.525(-12)	.290(-11)
54							.295(-13)	.233(-12)	.535(-12)	.257(-11)
55							.240(-13)	.900(-13)	.227(-12)	.157(-11)
56							.115(-13)	.128(-12)	.303(-12)	.152(-11)
57							.127(-13)	.000(-00)	.237(-12)	.776(-12)
58							.110(-13)	.432(-13)	.212(-12)	.619(-12)
59							.129(-13)	.100(-13)	.117(-12)	.636(-12)

Virt&I-Comm.5.2014.11

Table XXXVIII		QCT LEPS REACTIVE					$T_{tr}=8000.$	$T_{rot}=1000.$		
v'	v	5	10	15	20	25	30	35	40	45
0		.115(-11)	.113(-11)	.276(-11)	.342(-11)	.302(-11)	.281(-11)	.149(-11)	.197(-11)	.138(-11)
1		.227(-11)	.188(-11)	.312(-11)	.269(-11)	.304(-11)	.276(-11)	.231(-11)	.205(-11)	.173(-11)
2		.323(-11)	.256(-11)	.344(-11)	.336(-11)	.354(-11)	.301(-11)	.224(-11)	.156(-11)	.179(-11)
3		.526(-11)	.305(-11)	.280(-11)	.403(-11)	.405(-11)	.285(-11)	.293(-11)	.344(-11)	.168(-11)
4		.837(-11)	.430(-11)	.391(-11)	.369(-11)	.353(-11)	.263(-11)	.280(-11)	.250(-11)	.108(-11)
5		.817(-11)	.503(-11)	.452(-11)	.477(-11)	.520(-11)	.305(-11)	.314(-11)	.284(-11)	.146(-11)
6		.284(-11)	.625(-11)	.560(-11)	.408(-11)	.411(-11)	.358(-11)	.254(-11)	.270(-11)	.141(-11)
7		.174(-11)	.806(-11)	.580(-11)	.461(-11)	.527(-11)	.446(-11)	.313(-11)	.319(-11)	.156(-11)
8		.112(-11)	.111(-10)	.708(-11)	.619(-11)	.481(-11)	.439(-11)	.334(-11)	.313(-11)	.220(-11)
9		.807(-12)	.146(-10)	.833(-11)	.701(-11)	.509(-11)	.487(-11)	.582(-11)	.360(-11)	.244(-11)
10		.434(-12)	.123(-10)	.900(-11)	.811(-11)	.471(-11)	.460(-11)	.540(-11)	.293(-11)	.270(-11)
11		.196(-12)	.532(-11)	.123(-10)	.676(-11)	.634(-11)	.509(-11)	.449(-11)	.399(-11)	.320(-11)
12		.246(-12)	.319(-11)	.144(-10)	.107(-10)	.731(-11)	.537(-11)	.595(-11)	.473(-11)	.307(-11)
13		.128(-12)	.142(-11)	.174(-10)	.100(-10)	.792(-11)	.675(-11)	.659(-11)	.544(-11)	.481(-11)
14		.963(-13)	.123(-11)	.167(-10)	.125(-10)	.762(-11)	.706(-11)	.626(-11)	.435(-11)	.360(-11)
15		.288(-13)	.673(-12)	.139(-10)	.173(-10)	.108(-10)	.768(-11)	.656(-11)	.557(-11)	.405(-11)
16		.384(-13)	.450(-12)	.670(-11)	.179(-10)	.122(-10)	.899(-11)	.795(-11)	.490(-11)	.439(-11)
17		.116(-13)	.263(-12)	.436(-11)	.193(-10)	.134(-10)	.963(-11)	.862(-11)	.593(-11)	.516(-11)
18		.188(-13)	.171(-12)	.237(-11)	.216(-10)	.138(-10)	.103(-10)	.796(-11)	.634(-11)	.426(-11)
19		.000(-00)	.115(-12)	.202(-11)	.208(-10)	.170(-10)	.136(-10)	.988(-11)	.722(-11)	.494(-11)
20		.763(-14)	.534(-13)	.104(-11)	.141(-10)	.198(-10)	.121(-10)	.110(-10)	.777(-11)	.685(-11)
21		.578(-14)	.601(-13)	.738(-12)	.849(-11)	.219(-10)	.163(-10)	.118(-10)	.918(-11)	.741(-11)
22		.000(-00)	.134(-12)	.570(-12)	.593(-11)	.239(-10)	.171(-10)	.138(-10)	.794(-11)	.892(-11)
23		.000(-00)	.000(-00)	.214(-12)	.405(-11)	.237(-10)	.210(-10)	.148(-10)	.983(-11)	.797(-11)
24		.000(-00)	.219(-13)	.275(-12)	.274(-11)	.239(-10)	.223(-10)	.155(-10)	.128(-10)	.938(-11)
25		.000(-00)	.563(-13)	.114(-12)	.189(-11)	.197(-10)	.252(-10)	.169(-10)	.123(-10)	.112(-10)
26		.000(-00)	.196(-13)	.168(-12)	.112(-11)	.112(-10)	.264(-10)	.206(-10)	.138(-10)	.102(-10)
27		.000(-00)	.474(-14)	.657(-13)	.983(-12)	.751(-11)	.297(-10)	.215(-10)	.162(-10)	.110(-10)
28		.000(-00)	.000(-00)	.230(-13)	.654(-12)	.471(-11)	.263(-10)	.262(-10)	.168(-10)	.105(-10)
29		.000(-00)	.000(-00)	.703(-13)	.254(-12)	.289(-11)	.231(-10)	.269(-10)	.193(-10)	.115(-10)
30		.000(-00)	.000(-00)	.670(-13)	.236(-12)	.244(-11)	.208(-10)	.261(-10)	.228(-10)	.134(-10)
31		.000(-00)	.557(-14)	.304(-13)	.186(-12)	.169(-11)	.130(-10)	.282(-10)	.229(-10)	.167(-10)
32		.000(-00)		.196(-13)	.148(-12)	.106(-11)	.942(-11)	.305(-10)	.267(-10)	.195(-10)
33		.000(-00)		.144(-13)	.105(-12)	.880(-12)	.643(-11)	.280(-10)	.291(-10)	.196(-10)
34		.000(-00)		.000(-00)	.101(-12)	.995(-12)	.483(-11)	.251(-10)	.261(-10)	.192(-10)
35		.401(-14)		.000(-00)	.676(-13)	.619(-12)	.295(-11)	.192(-10)	.301(-10)	.253(-10)
36				.000(-00)	.298(-13)	.404(-12)	.229(-11)	.169(-10)	.369(-10)	.245(-10)
37				.204(-13)	.000(-00)	.238(-12)	.174(-11)	.109(-10)	.325(-10)	.298(-10)
38				.000(-00)	.128(-13)	.240(-12)	.131(-11)	.893(-11)	.329(-10)	.258(-10)
39				.000(-00)	.165(-13)	.179(-12)	.994(-12)	.566(-11)	.255(-10)	.311(-10)
40				.000(-00)	.130(-13)	.135(-12)	.941(-12)	.452(-11)	.246(-10)	.328(-10)
41				.100(-13)	.355(-13)	.904(-13)	.606(-12)	.320(-11)	.170(-10)	.255(-10)
42					.131(-13)	.176(-12)	.279(-12)	.201(-11)	.116(-10)	.313(-10)
43					.204(-13)	.365(-13)	.317(-12)	.210(-11)	.107(-10)	.336(-10)
44					.162(-13)	.354(-13)	.201(-12)	.140(-11)	.747(-11)	.330(-10)
45					.000(-00)	.319(-13)	.220(-12)	.119(-11)	.483(-11)	.218(-10)
46					.000(-00)	.215(-13)	.258(-12)	.745(-12)	.367(-11)	.158(-10)
47					.771(-14)	.147(-13)	.133(-12)	.774(-12)	.343(-11)	.127(-10)
48						.000(-00)	.101(-12)	.442(-12)	.304(-11)	.902(-11)
49						.000(-00)	.839(-13)	.421(-12)	.167(-11)	.897(-11)
50						.105(-13)	.705(-13)	.338(-12)	.202(-11)	.694(-11)
51						.286(-13)	.589(-13)	.236(-12)	.101(-11)	.450(-11)
52						.139(-13)	.568(-13)	.236(-12)	.885(-12)	.366(-11)
53						.106(-13)	.354(-13)	.149(-12)	.760(-12)	.297(-11)
54						.898(-14)	.132(-13)	.164(-12)	.379(-12)	.212(-11)
55						.000(-00)	.564(-13)	.163(-12)	.236(-12)	.217(-11)
56						.900(-14)	.000(-00)	.630(-13)	.373(-12)	.109(-11)
57							.000(-00)	.639(-13)	.229(-12)	.885(-12)
58							.236(-13)	.464(-13)	.270(-12)	.796(-12)
59							.110(-13)	.426(-13)	.291(-12)	.433(-12)

Virt&I-Comm.5.2014.11

Table XXXIX		QCT LEPS REACTIVE					$T_{tr}=8000.$	$T_{rot}=2000.$		
v'	v	5	10	15	20	25	30	35	40	45
0		.124(-11)	.184(-11)	.261(-11)	.310(-11)	.283(-11)	.284(-11)	.216(-11)	.189(-11)	.173(-11)
1		.243(-11)	.199(-11)	.332(-11)	.354(-11)	.338(-11)	.283(-11)	.231(-11)	.188(-11)	.114(-11)
2		.364(-11)	.315(-11)	.282(-11)	.295(-11)	.363(-11)	.247(-11)	.276(-11)	.201(-11)	.164(-11)
3		.490(-11)	.302(-11)	.366(-11)	.321(-11)	.365(-11)	.332(-11)	.362(-11)	.204(-11)	.168(-11)
4		.950(-11)	.431(-11)	.420(-11)	.454(-11)	.325(-11)	.239(-11)	.266(-11)	.265(-11)	.216(-11)
5		.928(-11)	.492(-11)	.485(-11)	.449(-11)	.360(-11)	.348(-11)	.282(-11)	.176(-11)	.175(-11)
6		.412(-11)	.669(-11)	.483(-11)	.506(-11)	.427(-11)	.404(-11)	.252(-11)	.228(-11)	.156(-11)
7		.196(-11)	.852(-11)	.602(-11)	.548(-11)	.413(-11)	.406(-11)	.384(-11)	.216(-11)	.205(-11)
8		.127(-11)	.107(-10)	.750(-11)	.670(-11)	.451(-11)	.351(-11)	.359(-11)	.330(-11)	.235(-11)
9		.724(-12)	.147(-10)	.804(-11)	.623(-11)	.567(-11)	.538(-11)	.367(-11)	.297(-11)	.281(-11)
10		.494(-12)	.131(-10)	.104(-10)	.694(-11)	.640(-11)	.555(-11)	.491(-11)	.382(-11)	.269(-11)
11		.236(-12)	.659(-11)	.105(-10)	.878(-11)	.681(-11)	.675(-11)	.406(-11)	.449(-11)	.286(-11)
12		.192(-12)	.309(-11)	.150(-10)	.875(-11)	.854(-11)	.753(-11)	.686(-11)	.392(-11)	.364(-11)
13		.107(-12)	.196(-11)	.174(-10)	.115(-10)	.798(-11)	.606(-11)	.529(-11)	.519(-11)	.312(-11)
14		.812(-13)	.138(-11)	.168(-10)	.146(-10)	.787(-11)	.667(-11)	.580(-11)	.428(-11)	.359(-11)
15		.492(-13)	.108(-11)	.159(-10)	.173(-10)	.106(-10)	.793(-11)	.614(-11)	.496(-11)	.477(-11)
16		.792(-13)	.562(-12)	.912(-11)	.168(-10)	.115(-10)	.106(-10)	.758(-11)	.551(-11)	.397(-11)
17		.193(-13)	.223(-12)	.376(-11)	.198(-10)	.138(-10)	.112(-10)	.762(-11)	.519(-11)	.483(-11)
18		.000(-00)	.261(-12)	.270(-11)	.202(-10)	.163(-10)	.120(-10)	.797(-11)	.737(-11)	.603(-11)
19		.000(-00)	.227(-12)	.235(-11)	.217(-10)	.164(-10)	.133(-10)	.919(-11)	.814(-11)	.540(-11)
20		.237(-13)	.557(-13)	.108(-11)	.176(-10)	.197(-10)	.130(-10)	.122(-10)	.784(-11)	.620(-11)
21		.669(-14)	.821(-13)	.746(-12)	.116(-10)	.191(-10)	.155(-10)	.106(-10)	.112(-10)	.746(-11)
22		.582(-14)	.678(-13)	.549(-12)	.725(-11)	.256(-10)	.169(-10)	.113(-10)	.872(-11)	.922(-11)
23		.638(-14)	.509(-13)	.456(-12)	.444(-11)	.262(-10)	.194(-10)	.137(-10)	.119(-10)	.780(-11)
24		.713(-14)	.460(-13)	.320(-12)	.271(-11)	.247(-10)	.233(-10)	.148(-10)	.117(-10)	.868(-11)
25			.302(-13)	.143(-12)	.185(-11)	.215(-10)	.252(-10)	.167(-10)	.129(-10)	.796(-11)
26			.150(-13)	.128(-12)	.136(-11)	.147(-10)	.250(-10)	.211(-10)	.136(-10)	.123(-10)
27			.000(-00)	.819(-13)	.104(-11)	.946(-11)	.266(-10)	.229(-10)	.157(-10)	.116(-10)
28			.718(-14)	.289(-13)	.678(-12)	.565(-11)	.302(-10)	.257(-10)	.186(-10)	.116(-10)
29			.587(-14)	.689(-13)	.367(-12)	.419(-11)	.259(-10)	.245(-10)	.160(-10)	.130(-10)
30				.328(-13)	.281(-12)	.329(-11)	.205(-10)	.284(-10)	.212(-10)	.163(-10)
31				.419(-13)	.178(-12)	.196(-11)	.178(-10)	.285(-10)	.226(-10)	.144(-10)
32				.199(-13)	.213(-12)	.103(-11)	.110(-10)	.299(-10)	.267(-10)	.157(-10)
33				.682(-14)	.121(-12)	.800(-12)	.771(-11)	.293(-10)	.289(-10)	.150(-10)
34				.227(-13)	.548(-13)	.103(-11)	.515(-11)	.283(-10)	.237(-10)	.226(-10)
35				.000(-00)	.531(-13)	.760(-12)	.387(-11)	.264(-10)	.311(-10)	.227(-10)
36				.000(-00)	.223(-13)	.537(-12)	.302(-11)	.193(-10)	.359(-10)	.256(-10)
37				.000(-00)	.351(-13)	.351(-12)	.185(-11)	.138(-10)	.316(-10)	.252(-10)
38				.000(-00)	.660(-13)	.170(-12)	.166(-11)	.973(-11)	.346(-10)	.310(-10)
39				.720(-14)	.289(-13)	.238(-12)	.126(-11)	.787(-11)	.293(-10)	.318(-10)
40				.000(-00)	.160(-13)	.120(-12)	.833(-12)	.479(-11)	.282(-10)	.299(-10)
41				.000(-00)	.334(-13)	.115(-12)	.518(-12)	.417(-11)	.206(-10)	.325(-10)
42				.000(-00)	.186(-13)	.746(-13)	.627(-12)	.289(-11)	.142(-10)	.337(-10)
43				.000(-00)	.000(-00)	.872(-13)	.269(-12)	.215(-11)	.116(-10)	.317(-10)
44				.525(-14)	.000(-00)	.602(-13)	.244(-12)	.138(-11)	.888(-11)	.295(-10)
45					.147(-13)	.276(-13)	.169(-12)	.160(-11)	.590(-11)	.243(-10)
46					.688(-14)	.454(-13)	.231(-12)	.108(-11)	.519(-11)	.187(-10)
47						.000(-00)	.206(-12)	.110(-11)	.467(-11)	.153(-10)
48						.206(-13)	.524(-13)	.725(-12)	.271(-11)	.116(-10)
49						.000(-00)	.680(-13)	.629(-12)	.296(-11)	.836(-11)
50						.317(-13)	.114(-12)	.602(-12)	.170(-11)	.671(-11)
51						.000(-00)	.288(-13)	.262(-12)	.144(-11)	.591(-11)
52						.000(-00)	.331(-13)	.335(-12)	.109(-11)	.492(-11)
53						.000(-00)	.388(-13)	.278(-12)	.858(-12)	.407(-11)
54						.339(-13)	.354(-13)	.168(-12)	.758(-12)	.283(-11)
55						.000(-00)	.275(-13)	.226(-12)	.608(-12)	.226(-11)
56						.000(-00)	.248(-13)	.135(-12)	.354(-12)	.129(-11)
57						.900(-14)		.325(-13)	.278(-12)	.149(-11)
58								.000(-00)	.393(-12)	.553(-12)
59								.214(-13)	.220(-12)	.589(-12)

Virt&I-Comm.5.2014.11

		Table XL QCT LEPS REACTIVE $T_{tr}=8000.$ $T_{rot}=4000.$								
v'	v	5	10	15	20	25	30	35	40	45
0		.127(-11)	.179(-11)	.250(-11)	.278(-11)	.282(-11)	.282(-11)	.203(-11)	.188(-11)	.149(-11)
1		.270(-11)	.201(-11)	.321(-11)	.323(-11)	.261(-11)	.302(-11)	.200(-11)	.183(-11)	.143(-11)
2		.417(-11)	.280(-11)	.355(-11)	.365(-11)	.288(-11)	.319(-11)	.231(-11)	.210(-11)	.141(-11)
3		.616(-11)	.361(-11)	.292(-11)	.314(-11)	.261(-11)	.229(-11)	.274(-11)	.184(-11)	.104(-11)
4		.936(-11)	.391(-11)	.389(-11)	.374(-11)	.325(-11)	.271(-11)	.248(-11)	.151(-11)	.176(-11)
5		.978(-11)	.545(-11)	.468(-11)	.506(-11)	.410(-11)	.423(-11)	.335(-11)	.239(-11)	.199(-11)
6		.537(-11)	.735(-11)	.513(-11)	.419(-11)	.455(-11)	.302(-11)	.301(-11)	.201(-11)	.171(-11)
7		.274(-11)	.905(-11)	.657(-11)	.465(-11)	.459(-11)	.424(-11)	.396(-11)	.426(-11)	.250(-11)
8		.144(-11)	.126(-10)	.772(-11)	.586(-11)	.538(-11)	.506(-11)	.354(-11)	.281(-11)	.225(-11)
9		.972(-12)	.168(-10)	.790(-11)	.599(-11)	.547(-11)	.554(-11)	.408(-11)	.333(-11)	.306(-11)
10		.628(-12)	.148(-10)	.107(-10)	.759(-11)	.563(-11)	.404(-11)	.402(-11)	.409(-11)	.216(-11)
11		.350(-12)	.856(-11)	.110(-10)	.711(-11)	.660(-11)	.756(-11)	.475(-11)	.318(-11)	.309(-11)
12		.155(-12)	.389(-11)	.151(-10)	.968(-11)	.879(-11)	.656(-11)	.438(-11)	.382(-11)	.329(-11)
13		.167(-12)	.268(-11)	.184(-10)	.109(-10)	.807(-11)	.691(-11)	.572(-11)	.461(-11)	.321(-11)
14		.959(-13)	.170(-11)	.188(-10)	.126(-10)	.101(-10)	.773(-11)	.582(-11)	.486(-11)	.398(-11)
15		.995(-13)	.124(-11)	.183(-10)	.146(-10)	.124(-10)	.744(-11)	.595(-11)	.479(-11)	.454(-11)
16		.727(-13)	.687(-12)	.117(-10)	.179(-10)	.140(-10)	.105(-10)	.732(-11)	.557(-11)	.426(-11)
17		.294(-13)	.432(-12)	.669(-11)	.196(-10)	.133(-10)	.118(-10)	.741(-11)	.638(-11)	.496(-11)
18		.221(-13)	.251(-12)	.439(-11)	.212(-10)	.143(-10)	.113(-10)	.961(-11)	.664(-11)	.508(-11)
19		.000(-00)	.223(-12)	.287(-11)	.231(-10)	.154(-10)	.150(-10)	.977(-11)	.858(-11)	.538(-11)
20		.116(-13)	.235(-12)	.151(-11)	.218(-10)	.201(-10)	.147(-10)	.115(-10)	.802(-11)	.575(-11)
21		.634(-14)	.114(-12)	.123(-11)	.162(-10)	.226(-10)	.182(-10)	.105(-10)	.816(-11)	.738(-11)
22		.175(-13)	.759(-13)	.783(-12)	.937(-11)	.224(-10)	.168(-10)	.140(-10)	.957(-11)	.733(-11)
23		.102(-13)	.645(-13)	.594(-12)	.583(-11)	.246(-10)	.220(-10)	.133(-10)	.116(-10)	.745(-11)
24		.826(-14)	.720(-13)	.455(-12)	.455(-11)	.244(-10)	.218(-10)	.179(-10)	.113(-10)	.811(-11)
25			.157(-13)	.175(-12)	.193(-11)	.249(-10)	.243(-10)	.171(-10)	.126(-10)	.792(-11)
26			.113(-13)	.122(-12)	.241(-11)	.201(-10)	.276(-10)	.201(-10)	.155(-10)	.979(-11)
27			.000(-00)	.110(-12)	.126(-11)	.108(-10)	.264(-10)	.226(-10)	.168(-10)	.106(-10)
28			.601(-14)	.650(-13)	.897(-12)	.880(-11)	.280(-10)	.245(-10)	.157(-10)	.113(-10)
29			.742(-14)	.124(-12)	.512(-12)	.478(-11)	.281(-10)	.267(-10)	.180(-10)	.130(-10)
30			.000(-00)	.452(-13)	.362(-12)	.434(-11)	.255(-10)	.257(-10)	.193(-10)	.121(-10)
31			.000(-00)	.169(-13)	.220(-12)	.306(-11)	.188(-10)	.274(-10)	.205(-10)	.153(-10)
32			.000(-00)	.396(-13)	.164(-12)	.217(-11)	.148(-10)	.348(-10)	.247(-10)	.163(-10)
33			.000(-00)	.250(-13)	.178(-12)	.172(-11)	.917(-11)	.337(-10)	.286(-10)	.176(-10)
34			.718(-14)	.000(-00)	.251(-12)	.148(-11)	.791(-11)	.291(-10)	.262(-10)	.171(-10)
35			.000(-00)	.000(-00)	.107(-12)	.910(-12)	.568(-11)	.266(-10)	.296(-10)	.199(-10)
36			.000(-00)	.000(-00)	.106(-12)	.648(-12)	.394(-11)	.221(-10)	.344(-10)	.246(-10)
37			.736(-14)	.000(-00)	.414(-13)	.452(-12)	.351(-11)	.185(-10)	.314(-10)	.252(-10)
38				.000(-00)	.753(-13)	.300(-12)	.325(-11)	.119(-10)	.325(-10)	.284(-10)
39				.000(-00)	.237(-13)	.250(-12)	.140(-11)	.977(-11)	.320(-10)	.276(-10)
40				.000(-00)	.639(-13)	.172(-12)	.162(-11)	.975(-11)	.287(-10)	.325(-10)
41				.000(-00)	.000(-00)	.101(-12)	.912(-12)	.546(-11)	.251(-10)	.291(-10)
42				.000(-00)	.490(-13)	.132(-12)	.649(-12)	.342(-11)	.185(-10)	.340(-10)
43				.000(-00)	.227(-13)	.112(-12)	.672(-12)	.358(-11)	.146(-10)	.309(-10)
44				.000(-00)	.100(-13)	.616(-13)	.616(-12)	.218(-11)	.101(-10)	.269(-10)
45				.000(-00)	.000(-00)	.944(-13)	.316(-12)	.212(-11)	.944(-11)	.316(-10)
46				.000(-00)	.126(-13)	.522(-13)	.324(-12)	.200(-11)	.973(-11)	.236(-10)
47				.000(-00)	.605(-14)	.748(-13)	.221(-12)	.213(-11)	.480(-11)	.184(-10)
48				.000(-00)	.000(-00)	.648(-14)	.971(-13)	.101(-11)	.387(-11)	.164(-10)
49				.000(-00)	.000(-00)	.000(-00)	.283(-12)	.860(-12)	.379(-11)	.115(-10)
50				.000(-00)	.000(-00)	.219(-13)	.792(-13)	.780(-12)	.212(-11)	.955(-11)
51				.525(-14)	.587(-14)	.000(-00)	.178(-12)	.555(-12)	.178(-11)	.736(-11)
52					.688(-14)	.387(-13)	.105(-12)	.315(-12)	.142(-11)	.518(-11)
53						.240(-13)	.120(-13)	.242(-12)	.176(-11)	.376(-11)
54						.112(-13)	.110(-12)	.160(-12)	.773(-12)	.317(-11)
55						.000(-00)	.104(-12)	.370(-12)	.819(-12)	.251(-11)
56						.127(-13)	.000(-00)	.130(-12)	.623(-12)	.201(-11)
57						.000(-00)	.351(-13)	.692(-13)	.354(-12)	.124(-11)
58						.987(-14)	.357(-13)	.299(-13)	.400(-12)	.132(-11)
59								.633(-13)	.446(-12)	.101(-11)

Virt&I-Comm.5.2014.11

Table XLI		QCT L0 NON REACTIVE				$T_{tr}= 500.$	$T_{rot}= 500.$		
v'	v	10	15	20	25	30	35	40	45
0		.000(-00)	.608(-15)	.809(-14)	.187(-13)	.206(-13)	.437(-13)	.423(-13)	.416(-13)
1		.000(-00)	.000(-00)	.401(-14)	.733(-14)	.227(-13)	.460(-13)	.507(-13)	.603(-13)
2		.000(-00)	.494(-15)	.571(-14)	.745(-14)	.108(-13)	.333(-13)	.209(-13)	.709(-13)
3		.000(-00)	.152(-14)	.158(-14)	.127(-13)	.212(-13)	.476(-13)	.529(-13)	.616(-13)
4		.000(-00)	.000(-00)	.628(-14)	.114(-13)	.196(-13)	.163(-13)	.448(-13)	.883(-13)
5		.000(-00)	.000(-00)	.000(-00)	.137(-13)	.109(-13)	.270(-13)	.545(-13)	.374(-13)
6		.000(-00)	.626(-15)	.302(-14)	.929(-14)	.153(-13)	.336(-13)	.562(-13)	.657(-13)
7		.494(-15)	.000(-00)	.120(-14)	.126(-13)	.239(-13)	.424(-13)	.480(-13)	.465(-13)
8		.000(-00)	.000(-00)	.684(-14)	.133(-13)	.163(-13)	.232(-13)	.816(-13)	.312(-13)
9		.000(-00)	.000(-00)	.219(-14)	.102(-13)	.185(-13)	.478(-13)	.598(-13)	.559(-13)
10		.166(-09)	.000(-00)	.000(-00)	.197(-13)	.266(-13)	.497(-13)	.450(-13)	.581(-13)
11			.000(-00)	.586(-14)	.102(-13)	.285(-13)	.596(-13)	.713(-13)	.436(-13)
12			.000(-00)	.329(-14)	.172(-13)	.334(-13)	.470(-13)	.712(-13)	.885(-13)
13			.000(-00)	.240(-14)	.178(-13)	.372(-13)	.657(-13)	.698(-13)	.118(-12)
14			.000(-00)	.475(-14)	.166(-13)	.364(-13)	.674(-13)	.675(-13)	.708(-13)
15			.166(-09)	.249(-14)	.201(-13)	.388(-13)	.115(-12)	.110(-12)	.113(-12)
16				.671(-14)	.137(-13)	.520(-13)	.719(-13)	.103(-12)	.164(-12)
17				.597(-14)	.315(-13)	.661(-13)	.112(-12)	.107(-12)	.159(-12)
18				.163(-14)	.254(-13)	.491(-13)	.105(-12)	.153(-12)	.167(-12)
19				.318(-14)	.280(-13)	.726(-13)	.103(-12)	.147(-12)	.155(-12)
20				.205(-09)	.197(-13)	.653(-13)	.117(-12)	.132(-12)	.198(-12)
21					.274(-13)	.767(-13)	.132(-12)	.125(-12)	.183(-12)
22					.360(-13)	.642(-13)	.166(-12)	.167(-12)	.211(-12)
23					.360(-13)	.777(-13)	.170(-12)	.224(-12)	.242(-12)
24					.481(-13)	.887(-13)	.177(-12)	.269(-12)	.294(-12)
25					.248(-09)	.124(-12)	.161(-12)	.252(-12)	.340(-12)
26					.138(-14)	.135(-12)	.195(-12)	.319(-12)	.317(-12)
27						.106(-12)	.226(-12)	.282(-12)	.389(-12)
28						.116(-12)	.274(-12)	.306(-12)	.446(-12)
29						.137(-12)	.227(-12)	.426(-12)	.374(-12)
30						.292(-09)	.266(-12)	.408(-12)	.412(-12)
31						.147(-13)	.345(-12)	.483(-12)	.483(-12)
32							.332(-12)	.551(-12)	.483(-12)
33							.343(-12)	.467(-12)	.586(-12)
34							.386(-12)	.618(-12)	.792(-12)
35							.331(-09)	.585(-12)	.919(-12)
36							.456(-13)	.684(-12)	.914(-12)
37							.203(-14)	.806(-12)	.773(-12)
38								.810(-12)	.103(-11)
39								.892(-12)	.137(-11)
40								.366(-09)	.126(-11)
41								.100(-12)	.149(-11)
42								.483(-14)	.161(-11)
43								.120(-14)	.161(-11)
44									.180(-11)
45									.382(-09)
46									.253(-12)
47									.481(-13)
48									.666(-14)
49									.236(-14)

Virt&l-Comm.5.2014.11

Table XLII		QCT L0 NON REACTIVE				$T_{tr}=1000.$	$T_{rot}=1000.$		
v'	v	10	15	20	25	30	35	40	45
0		.000(-00)	.209(-13)	.113(-12)	.135(-12)	.236(-12)	.288(-12)	.246(-12)	.271(-12)
1		.359(-14)	.280(-13)	.472(-13)	.950(-13)	.177(-12)	.232(-12)	.285(-12)	.184(-12)
2		.717(-14)	.243(-13)	.401(-13)	.975(-13)	.166(-12)	.196(-12)	.190(-12)	.213(-12)
3		.410(-14)	.341(-13)	.638(-13)	.120(-12)	.198(-12)	.168(-12)	.219(-12)	.166(-12)
4		.410(-14)	.469(-14)	.755(-13)	.808(-13)	.140(-12)	.148(-12)	.248(-12)	.246(-12)
5		.678(-14)	.119(-13)	.540(-13)	.681(-13)	.158(-12)	.214(-12)	.249(-12)	.144(-12)
6		.211(-14)	.301(-13)	.931(-13)	.753(-13)	.165(-12)	.177(-12)	.228(-12)	.156(-12)
7		.380(-14)	.171(-13)	.692(-13)	.148(-12)	.126(-12)	.210(-12)	.267(-12)	.208(-12)
8		.639(-15)	.283(-13)	.619(-13)	.137(-12)	.118(-12)	.235(-12)	.208(-12)	.259(-12)
9		.579(-14)	.405(-13)	.605(-13)	.117(-12)	.180(-12)	.222(-12)	.331(-12)	.261(-12)
10		.235(-09)	.477(-13)	.759(-13)	.116(-12)	.178(-12)	.225(-12)	.209(-12)	.280(-12)
11			.231(-13)	.837(-13)	.141(-12)	.154(-12)	.272(-12)	.278(-12)	.229(-12)
12			.317(-13)	.117(-12)	.161(-12)	.259(-12)	.307(-12)	.237(-12)	.420(-12)
13			.174(-13)	.854(-13)	.174(-12)	.262(-12)	.297(-12)	.309(-12)	.241(-12)
14			.325(-13)	.922(-13)	.160(-12)	.235(-12)	.326(-12)	.306(-12)	.416(-12)
15			.234(-09)	.121(-12)	.175(-12)	.300(-12)	.331(-12)	.283(-12)	.384(-12)
16				.940(-13)	.252(-12)	.320(-12)	.323(-12)	.355(-12)	.320(-12)
17				.129(-12)	.256(-12)	.310(-12)	.429(-12)	.395(-12)	.341(-12)
18				.134(-12)	.235(-12)	.373(-12)	.437(-12)	.501(-12)	.520(-12)
19				.142(-12)	.269(-12)	.453(-12)	.416(-12)	.588(-12)	.367(-12)
20				.283(-09)	.259(-12)	.439(-12)	.584(-12)	.486(-12)	.472(-12)
21				.160(-13)	.346(-12)	.463(-12)	.622(-12)	.610(-12)	.480(-12)
22				.133(-14)	.326(-12)	.416(-12)	.521(-12)	.497(-12)	.536(-12)
23					.262(-12)	.408(-12)	.596(-12)	.750(-12)	.641(-12)
24					.331(-12)	.697(-12)	.676(-12)	.797(-12)	.792(-12)
25					.334(-09)	.565(-12)	.767(-12)	.848(-12)	.675(-12)
26					.537(-13)	.657(-12)	.776(-12)	.964(-12)	.966(-12)
27					.104(-13)	.720(-12)	.874(-12)	.994(-12)	.953(-12)
28					.377(-14)	.711(-12)	.104(-11)	.113(-11)	.890(-12)
29						.590(-12)	.103(-11)	.105(-11)	.105(-11)
30						.381(-09)	.101(-11)	.103(-11)	.852(-12)
31						.135(-12)	.116(-11)	.124(-11)	.128(-11)
32						.369(-13)	.116(-11)	.137(-11)	.129(-11)
33						.651(-14)	.121(-11)	.148(-11)	.112(-11)
34							.136(-11)	.164(-11)	.152(-11)
35							.416(-09)	.178(-11)	.182(-11)
36							.288(-12)	.194(-11)	.197(-11)
37							.522(-13)	.207(-11)	.210(-11)
38							.680(-14)	.215(-11)	.210(-11)
39							.194(-14)	.220(-11)	.249(-11)
40							.845(-14)	.444(-09)	.241(-11)
41								.793(-12)	.274(-11)
42								.179(-12)	.266(-11)
43								.554(-13)	.324(-11)
44								.151(-13)	.366(-11)
45								.120(-14)	.446(-09)
46								.234(-14)	.161(-11)
47									.530(-12)
48									.229(-12)
49									.913(-13)
50									.204(-13)
51									.943(-14)
52									.758(-14)
53									.127(-14)
54									.238(-14)

Virt&I-Comm.5.2014.11

Table XLIII		QCT L0 NON REACTIVE				$T_{tr}=2000.$	$T_{rot}=2000.$		
v'	v	10	15	20	25	30	35	40	45
0		.729(-14)	.233(-12)	.596(-12)	.636(-12)	.678(-12)	.695(-12)	.655(-12)	.530(-12)
1		.252(-13)	.324(-12)	.418(-12)	.556(-12)	.555(-12)	.620(-12)	.602(-12)	.427(-12)
2		.934(-13)	.268(-12)	.389(-12)	.501(-12)	.556(-12)	.657(-12)	.545(-12)	.386(-12)
3		.850(-13)	.221(-12)	.323(-12)	.437(-12)	.574(-12)	.620(-12)	.433(-12)	.508(-12)
4		.108(-12)	.165(-12)	.353(-12)	.568(-12)	.606(-12)	.609(-12)	.436(-12)	.284(-12)
5		.154(-12)	.271(-12)	.489(-12)	.464(-12)	.506(-12)	.544(-12)	.323(-12)	.310(-12)
6		.145(-12)	.233(-12)	.475(-12)	.581(-12)	.648(-12)	.599(-12)	.549(-12)	.309(-12)
7		.121(-12)	.239(-12)	.370(-12)	.506(-12)	.477(-12)	.641(-12)	.452(-12)	.315(-12)
8		.978(-13)	.274(-12)	.371(-12)	.560(-12)	.722(-12)	.459(-12)	.469(-12)	.424(-12)
9		.130(-12)	.266(-12)	.361(-12)	.624(-12)	.713(-12)	.690(-12)	.514(-12)	.465(-12)
10		.328(-09)	.257(-12)	.503(-12)	.503(-12)	.716(-12)	.626(-12)	.486(-12)	.360(-12)
11		.501(-13)	.282(-12)	.364(-12)	.653(-12)	.591(-12)	.689(-12)	.519(-12)	.666(-12)
12		.102(-13)	.298(-12)	.504(-12)	.733(-12)	.618(-12)	.975(-12)	.719(-12)	.431(-12)
13		.241(-14)	.356(-12)	.474(-12)	.710(-12)	.769(-12)	.828(-12)	.663(-12)	.676(-12)
14		.158(-14)	.395(-12)	.448(-12)	.752(-12)	.845(-12)	.105(-11)	.752(-12)	.648(-12)
15			.314(-09)	.567(-12)	.934(-12)	.898(-12)	.108(-11)	.803(-12)	.686(-12)
16			.220(-12)	.557(-12)	.861(-12)	.907(-12)	.892(-12)	.873(-12)	.595(-12)
17			.358(-13)	.553(-12)	.717(-12)	.117(-11)	.122(-11)	.834(-12)	.653(-12)
18			.243(-14)	.697(-12)	.787(-12)	.945(-12)	.104(-11)	.945(-12)	.685(-12)
19			.000(-00)	.727(-12)	.836(-12)	.114(-11)	.112(-11)	.114(-11)	.958(-12)
20			.000(-00)	.367(-09)	.883(-12)	.923(-12)	.116(-11)	.124(-11)	.104(-11)
21			.248(-14)	.334(-12)	.101(-11)	.120(-11)	.124(-11)	.115(-11)	.998(-12)
22				.874(-13)	.921(-12)	.122(-11)	.146(-11)	.122(-11)	.131(-11)
23				.194(-13)	.106(-11)	.105(-11)	.170(-11)	.120(-11)	.128(-11)
24				.880(-14)	.137(-11)	.132(-11)	.139(-11)	.134(-11)	.123(-11)
25				.000(-00)	.419(-09)	.150(-11)	.160(-11)	.155(-11)	.100(-11)
26				.000(-00)	.654(-12)	.149(-11)	.157(-11)	.160(-11)	.121(-11)
27				.189(-14)	.183(-12)	.195(-11)	.190(-11)	.168(-11)	.144(-11)
28					.771(-13)	.182(-11)	.205(-11)	.158(-11)	.179(-11)
29					.417(-13)	.219(-11)	.168(-11)	.211(-11)	.108(-11)
30					.167(-13)	.462(-09)	.182(-11)	.193(-11)	.175(-11)
31					.228(-14)	.107(-11)	.188(-11)	.258(-11)	.163(-11)
32						.393(-12)	.243(-11)	.233(-11)	.202(-11)
33						.152(-12)	.250(-11)	.270(-11)	.244(-11)
34						.872(-13)	.343(-11)	.245(-11)	.268(-11)
35						.208(-13)	.492(-09)	.302(-11)	.255(-11)
36						.171(-13)	.198(-11)	.297(-11)	.274(-11)
37						.295(-14)	.617(-12)	.331(-11)	.260(-11)
38						.549(-14)	.323(-12)	.397(-11)	.288(-11)
39						.166(-14)	.102(-12)	.606(-11)	.375(-11)
40						.214(-14)	.117(-12)	.516(-09)	.337(-11)
41							.380(-13)	.368(-11)	.395(-11)
42							.219(-13)	.124(-11)	.445(-11)
43							.852(-14)	.623(-12)	.488(-11)
44							.309(-14)	.276(-12)	.991(-11)
45							.000(-00)	.170(-12)	.511(-09)
46							.976(-14)	.608(-13)	.646(-11)
47								.315(-13)	.215(-11)
48								.371(-13)	.127(-11)
49								.260(-13)	.643(-12)
50								.221(-13)	.409(-12)
51								.134(-13)	.364(-12)
52								.937(-14)	.245(-12)
53								.797(-14)	.150(-12)
54								.833(-14)	.106(-12)
55									.372(-13)
56									.308(-13)
57									.275(-13)
58									.590(-14)
59									.430(-14)

Virt&I-Comm.5.2014.11

Table XLIV		QCT LO NON REACTIVE					$T_{tr}=4000.$	$T_{rot}=4000.$	
v'	v	10	15	20	25	30	35	40	45
0		.617(-13)	.531(-12)	.114(-11)	.153(-11)	.147(-11)	.152(-11)	.975(-12)	.881(-12)
1		.156(-12)	.700(-12)	.142(-11)	.153(-11)	.142(-11)	.167(-11)	.983(-12)	.784(-12)
2		.466(-12)	.861(-12)	.139(-11)	.117(-11)	.137(-11)	.769(-12)	.961(-12)	.703(-12)
3		.420(-12)	.861(-12)	.114(-11)	.120(-11)	.121(-11)	.112(-11)	.807(-12)	.102(-11)
4		.674(-12)	.878(-12)	.112(-11)	.137(-11)	.124(-11)	.123(-11)	.881(-12)	.927(-12)
5		.722(-12)	.916(-12)	.115(-11)	.100(-11)	.973(-12)	.133(-11)	.700(-12)	.678(-12)
6		.739(-12)	.965(-12)	.108(-11)	.126(-11)	.123(-11)	.901(-12)	.914(-12)	.572(-12)
7		.747(-12)	.103(-11)	.136(-11)	.126(-11)	.123(-11)	.892(-12)	.595(-12)	.700(-12)
8		.126(-11)	.113(-11)	.116(-11)	.103(-11)	.117(-11)	.103(-11)	.916(-12)	.682(-12)
9		.315(-11)	.110(-11)	.123(-11)	.119(-11)	.131(-11)	.128(-11)	.890(-12)	.781(-12)
10		.430(-09)	.113(-11)	.136(-11)	.129(-11)	.129(-11)	.947(-12)	.123(-11)	.886(-12)
11		.164(-11)	.106(-11)	.124(-11)	.146(-11)	.152(-11)	.141(-11)	.110(-11)	.747(-12)
12		.369(-12)	.114(-11)	.128(-11)	.118(-11)	.164(-11)	.113(-11)	.126(-11)	.805(-12)
13		.159(-12)	.160(-11)	.139(-11)	.179(-11)	.168(-11)	.142(-11)	.125(-11)	.818(-12)
14		.835(-13)	.402(-11)	.127(-11)	.126(-11)	.149(-11)	.137(-11)	.128(-11)	.132(-11)
15		.432(-13)	.386(-09)	.157(-11)	.153(-11)	.142(-11)	.143(-11)	.135(-11)	.107(-11)
16		.346(-13)	.224(-11)	.155(-11)	.198(-11)	.170(-11)	.192(-11)	.148(-11)	.887(-12)
17		.176(-13)	.637(-12)	.159(-11)	.165(-11)	.212(-11)	.154(-11)	.135(-11)	.931(-12)
18		.774(-14)	.216(-12)	.191(-11)	.198(-11)	.145(-11)	.173(-11)	.136(-11)	.110(-11)
19		.245(-14)	.121(-12)	.515(-11)	.205(-11)	.188(-11)	.202(-11)	.159(-11)	.167(-11)
20		.302(-14)	.674(-13)	.434(-09)	.170(-11)	.250(-11)	.197(-11)	.130(-11)	.128(-11)
21			.508(-13)	.342(-11)	.195(-11)	.188(-11)	.219(-11)	.192(-11)	.135(-11)
22			.188(-13)	.901(-12)	.240(-11)	.234(-11)	.207(-11)	.179(-11)	.154(-11)
23			.203(-13)	.439(-12)	.318(-11)	.271(-11)	.230(-11)	.182(-11)	.231(-11)
24			.504(-14)	.232(-12)	.732(-11)	.245(-11)	.238(-11)	.266(-11)	.133(-11)
25			.479(-14)	.106(-12)	.482(-09)	.309(-11)	.244(-11)	.196(-11)	.144(-11)
26			.522(-14)	.827(-13)	.461(-11)	.291(-11)	.311(-11)	.227(-11)	.156(-11)
27				.377(-13)	.126(-11)	.297(-11)	.287(-11)	.250(-11)	.211(-11)
28				.125(-13)	.621(-12)	.373(-11)	.285(-11)	.228(-11)	.272(-11)
29				.318(-13)	.365(-12)	.103(-10)	.334(-11)	.341(-11)	.237(-11)
30				.604(-14)	.356(-12)	.523(-09)	.270(-11)	.341(-11)	.251(-11)
31				.105(-13)	.122(-12)	.709(-11)	.319(-11)	.359(-11)	.257(-11)
32				.728(-14)	.133(-12)	.180(-11)	.408(-11)	.348(-11)	.263(-11)
33				.111(-13)	.103(-12)	.849(-12)	.581(-11)	.363(-11)	.251(-11)
34				.453(-14)	.810(-13)	.892(-12)	.153(-10)	.382(-11)	.289(-11)
35				.000(-00)	.272(-13)	.488(-12)	.550(-09)	.388(-11)	.354(-11)
36				.407(-14)	.117(-13)	.291(-12)	.106(-10)	.426(-11)	.347(-11)
37					.170(-13)	.173(-12)	.291(-11)	.468(-11)	.344(-11)
38					.276(-13)	.106(-12)	.174(-11)	.685(-11)	.441(-11)
39					.104(-13)	.170(-12)	.109(-11)	.183(-10)	.577(-11)
40					.879(-14)	.606(-13)	.818(-12)	.585(-09)	.426(-11)
41					.483(-14)	.489(-13)	.545(-12)	.155(-10)	.495(-11)
42					.000(-00)	.306(-13)	.362(-12)	.438(-11)	.640(-11)
43					.000(-00)	.611(-13)	.250(-12)	.222(-11)	.990(-11)
44					.000(-00)	.166(-13)	.194(-12)	.188(-11)	.213(-10)
45					.000(-00)	.132(-13)	.953(-13)	.108(-11)	.601(-09)
46					.000(-00)	.123(-13)	.109(-12)	.789(-12)	.169(-10)
47					.000(-00)	.396(-14)	.531(-13)	.601(-12)	.637(-11)
48					.177(-14)	.704(-14)	.122(-12)	.426(-12)	.392(-11)
49						.752(-14)	.622(-13)	.454(-12)	.274(-11)
50						.304(-14)	.294(-13)	.223(-12)	.192(-11)
51						.000(-00)	.656(-14)	.229(-12)	.122(-11)
52						.270(-14)	.342(-13)	.170(-12)	.109(-11)
53						.000(-00)	.000(-00)	.514(-13)	.589(-12)
54						.000(-00)	.220(-13)	.124(-12)	.671(-12)
55						.000(-00)	.643(-14)	.299(-13)	.596(-12)
56						.000(-00)	.496(-14)	.776(-13)	.306(-12)
57						.000(-00)	.504(-14)	.466(-13)	.201(-12)
58						.336(-14)		.186(-13)	.173(-12)
59								.104(-13)	.154(-12)

Virt&I-Comm.5.2014.11

Table XLV		QCT L0 REACTIVE				$T_{tr}= 500.$	$T_{rot}= 500.$		
v'	v	10	15	20	25	30	35	40	45
0		.000(-00)	.113(-14)	.559(-14)	.124(-13)	.291(-13)	.352(-13)	.385(-13)	.105(-12)
1		.000(-00)	.119(-14)	.229(-14)	.124(-13)	.122(-13)	.531(-13)	.650(-13)	.615(-13)
2		.000(-00)	.000(-00)	.574(-14)	.232(-14)	.196(-13)	.402(-13)	.397(-13)	.727(-13)
3		.000(-00)	.180(-14)	.602(-14)	.119(-13)	.197(-13)	.373(-13)	.793(-13)	.509(-13)
4		.000(-00)	.000(-00)	.555(-14)	.608(-14)	.233(-13)	.355(-13)	.484(-13)	.491(-13)
5		.000(-00)	.105(-14)	.220(-14)	.581(-14)	.349(-13)	.384(-13)	.673(-13)	.746(-13)
6		.000(-00)	.000(-00)	.143(-14)	.631(-14)	.113(-13)	.290(-13)	.527(-13)	.585(-13)
7		.000(-00)	.191(-14)	.450(-14)	.995(-14)	.279(-13)	.399(-13)	.560(-13)	.461(-13)
8		.000(-00)	.000(-00)	.950(-14)	.190(-13)	.337(-13)	.372(-13)	.591(-13)	.106(-12)
9		.000(-00)	.171(-14)	.693(-14)	.150(-13)	.316(-13)	.588(-13)	.744(-13)	.495(-13)
10		.000(-00)	.127(-14)	.123(-13)	.150(-13)	.260(-13)	.453(-13)	.706(-13)	.118(-12)
11			.159(-14)	.101(-13)	.140(-13)	.310(-13)	.471(-13)	.897(-13)	.855(-13)
12			.281(-14)	.593(-14)	.190(-13)	.412(-13)	.509(-13)	.731(-13)	.118(-12)
13			.558(-14)	.867(-14)	.144(-13)	.351(-13)	.722(-13)	.841(-13)	.902(-13)
14			.405(-14)	.782(-14)	.345(-13)	.550(-13)	.764(-13)	.114(-12)	.134(-12)
15			.000(-00)	.109(-13)	.223(-13)	.661(-13)	.659(-13)	.115(-12)	.121(-12)
16				.254(-13)	.382(-13)	.630(-13)	.793(-13)	.147(-12)	.115(-12)
17				.228(-13)	.429(-13)	.932(-13)	.127(-12)	.151(-12)	.180(-12)
18				.166(-13)	.598(-13)	.101(-12)	.134(-12)	.168(-12)	.217(-12)
19				.315(-13)	.669(-13)	.122(-12)	.148(-12)	.174(-12)	.181(-12)
20				.230(-13)	.610(-13)	.137(-12)	.139(-12)	.246(-12)	.224(-12)
21				.170(-14)	.104(-12)	.160(-12)	.220(-12)	.208(-12)	.276(-12)
22					.114(-12)	.147(-12)	.261(-12)	.282(-12)	.265(-12)
23					.154(-12)	.171(-12)	.245(-12)	.335(-12)	.425(-12)
24					.200(-12)	.212(-12)	.258(-12)	.352(-12)	.298(-12)
25					.131(-12)	.263(-12)	.365(-12)	.412(-12)	.356(-12)
26					.798(-14)	.348(-12)	.351(-12)	.547(-12)	.404(-12)
27						.390(-12)	.452(-12)	.523(-12)	.522(-12)
28						.464(-12)	.610(-12)	.506(-12)	.494(-12)
29						.640(-12)	.652(-12)	.764(-12)	.717(-12)
30						.495(-12)	.711(-12)	.663(-12)	.699(-12)
31						.401(-13)	.935(-12)	.923(-12)	.809(-12)
32						.678(-15)	.104(-11)	.995(-12)	.989(-12)
33							.139(-11)	.120(-11)	.111(-11)
34							.194(-11)	.131(-11)	.140(-11)
35							.145(-11)	.169(-11)	.156(-11)
36							.143(-12)	.190(-11)	.176(-11)
37							.114(-14)	.274(-11)	.215(-11)
38								.361(-11)	.200(-11)
39								.478(-11)	.291(-11)
40								.382(-11)	.326(-11)
41								.459(-12)	.436(-11)
42								.282(-13)	.537(-11)
43								.208(-14)	.766(-11)
44								.129(-14)	.100(-10)
45									.851(-11)
46									.171(-11)
47									.180(-12)
48									.243(-13)
49									.244(-14)
50									.184(-14)

Virt&I-Comm.5.2014.11

Table XLVI		QCT L0 REACTIVE				$T_{tr}=1000.$	$T_{rot}=1000.$		
v'	v	10	15	20	25	30	35	40	45
0		.000(-00)	.382(-13)	.913(-13)	.174(-12)	.280(-12)	.298(-12)	.212(-12)	.280(-12)
1		.277(-14)	.360(-13)	.682(-13)	.157(-12)	.179(-12)	.277(-12)	.235(-12)	.361(-12)
2		.572(-14)	.421(-13)	.665(-13)	.115(-12)	.174(-12)	.183(-12)	.192(-12)	.218(-12)
3		.469(-14)	.342(-13)	.789(-13)	.853(-13)	.112(-12)	.181(-12)	.248(-12)	.259(-12)
4		.976(-14)	.423(-13)	.111(-12)	.155(-12)	.184(-12)	.268(-12)	.189(-12)	.134(-12)
5		.425(-14)	.434(-13)	.108(-12)	.124(-12)	.211(-12)	.212(-12)	.258(-12)	.128(-12)
6		.638(-14)	.629(-13)	.959(-13)	.147(-12)	.206(-12)	.215(-12)	.221(-12)	.236(-12)
7		.212(-13)	.455(-13)	.119(-12)	.199(-12)	.202(-12)	.239(-12)	.264(-12)	.196(-12)
8		.210(-13)	.514(-13)	.129(-12)	.159(-12)	.255(-12)	.183(-12)	.345(-12)	.198(-12)
9		.341(-13)	.495(-13)	.109(-12)	.231(-12)	.230(-12)	.206(-12)	.362(-12)	.246(-12)
10		.257(-13)	.625(-13)	.155(-12)	.191(-12)	.210(-12)	.285(-12)	.266(-12)	.276(-12)
11		.317(-14)	.102(-12)	.161(-12)	.240(-12)	.334(-12)	.315(-12)	.366(-12)	.347(-12)
12			.115(-12)	.234(-12)	.275(-12)	.377(-12)	.386(-12)	.409(-12)	.244(-12)
13			.139(-12)	.240(-12)	.261(-12)	.326(-12)	.391(-12)	.405(-12)	.324(-12)
14			.216(-12)	.222(-12)	.313(-12)	.486(-12)	.394(-12)	.418(-12)	.506(-12)
15			.180(-12)	.258(-12)	.368(-12)	.410(-12)	.423(-12)	.385(-12)	.425(-12)
16			.234(-13)	.361(-12)	.397(-12)	.442(-12)	.520(-12)	.493(-12)	.500(-12)
17			.152(-14)	.426(-12)	.603(-12)	.538(-12)	.676(-12)	.531(-12)	.611(-12)
18				.570(-12)	.597(-12)	.700(-12)	.653(-12)	.680(-12)	.617(-12)
19				.700(-12)	.729(-12)	.645(-12)	.769(-12)	.649(-12)	.509(-12)
20				.597(-12)	.904(-12)	.827(-12)	.813(-12)	.869(-12)	.667(-12)
21				.114(-12)	.103(-11)	.938(-12)	.889(-12)	.874(-12)	.705(-12)
22				.194(-13)	.104(-11)	.109(-11)	.107(-11)	.911(-12)	.645(-12)
23				.221(-14)	.144(-11)	.123(-11)	.127(-11)	.121(-11)	.811(-12)
24					.175(-11)	.156(-11)	.130(-11)	.130(-11)	.109(-11)
25					.165(-11)	.174(-11)	.160(-11)	.137(-11)	.100(-11)
26					.280(-12)	.219(-11)	.160(-11)	.152(-11)	.128(-11)
27					.475(-13)	.256(-11)	.192(-11)	.187(-11)	.132(-11)
28					.278(-14)	.324(-11)	.222(-11)	.187(-11)	.175(-11)
29						.367(-11)	.263(-11)	.194(-11)	.163(-11)
30						.315(-11)	.302(-11)	.269(-11)	.190(-11)
31						.843(-12)	.365(-11)	.287(-11)	.230(-11)
32						.156(-12)	.472(-11)	.302(-11)	.254(-11)
33						.189(-13)	.656(-11)	.372(-11)	.274(-11)
34						.210(-14)	.747(-11)	.462(-11)	.379(-11)
35							.618(-11)	.580(-11)	.394(-11)
36							.216(-11)	.672(-11)	.463(-11)
37							.452(-12)	.814(-11)	.501(-11)
38							.949(-13)	.108(-10)	.588(-11)
39							.121(-13)	.128(-10)	.738(-11)
40							.781(-14)	.109(-10)	.890(-11)
41								.447(-11)	.107(-10)
42								.120(-11)	.141(-10)
43								.241(-12)	.184(-10)
44								.622(-13)	.216(-10)
45								.251(-13)	.202(-10)
46								.783(-14)	.834(-11)
47								.977(-15)	.261(-11)
48									.963(-12)
49									.311(-12)
50									.108(-12)
51									.440(-13)
52									.142(-13)
53									.427(-14)
54									.000(-00)
55									.939(-14)
56									.177(-14)

Virt&I-Comm.5.2014.11

Table XLVII		QCT L0 REACTIVE				$T_{tr}=2000.$	$T_{rot}=2000.$		
v'	v	10	15	20	25	30	35	40	45
0		.323(-13)	.337(-12)	.770(-12)	.918(-12)	.711(-12)	.765(-12)	.740(-12)	.604(-12)
1		.102(-12)	.305(-12)	.583(-12)	.670(-12)	.626(-12)	.100(-11)	.654(-12)	.565(-12)
2		.144(-12)	.362(-12)	.549(-12)	.605(-12)	.692(-12)	.618(-12)	.738(-12)	.484(-12)
3		.192(-12)	.516(-12)	.525(-12)	.609(-12)	.681(-12)	.669(-12)	.585(-12)	.449(-12)
4		.196(-12)	.441(-12)	.583(-12)	.619(-12)	.696(-12)	.594(-12)	.419(-12)	.452(-12)
5		.202(-12)	.507(-12)	.563(-12)	.719(-12)	.754(-12)	.746(-12)	.582(-12)	.501(-12)
6		.284(-12)	.486(-12)	.658(-12)	.763(-12)	.737(-12)	.516(-12)	.690(-12)	.502(-12)
7		.378(-12)	.600(-12)	.698(-12)	.891(-12)	.808(-12)	.707(-12)	.513(-12)	.481(-12)
8		.521(-12)	.580(-12)	.708(-12)	.896(-12)	.808(-12)	.996(-12)	.786(-12)	.651(-12)
9		.745(-12)	.542(-12)	.871(-12)	.966(-12)	.113(-11)	.879(-12)	.926(-12)	.585(-12)
10		.774(-12)	.791(-12)	.847(-12)	.917(-12)	.103(-11)	.897(-12)	.629(-12)	.666(-12)
11		.297(-12)	.102(-11)	.123(-11)	.119(-11)	.119(-11)	.818(-12)	.889(-12)	.649(-12)
12		.679(-13)	.120(-11)	.128(-11)	.107(-11)	.139(-11)	.111(-11)	.782(-12)	.557(-12)
13		.621(-14)	.152(-11)	.119(-11)	.137(-11)	.124(-11)	.103(-11)	.110(-11)	.110(-11)
14		.324(-14)	.207(-11)	.155(-11)	.148(-11)	.138(-11)	.132(-11)	.109(-11)	.921(-12)
15			.196(-11)	.171(-11)	.184(-11)	.186(-11)	.124(-11)	.125(-11)	.817(-12)
16			.723(-12)	.220(-11)	.184(-11)	.164(-11)	.145(-11)	.135(-11)	.765(-12)
17			.203(-12)	.272(-11)	.223(-11)	.221(-11)	.163(-11)	.136(-11)	.106(-11)
18			.670(-13)	.345(-11)	.228(-11)	.199(-11)	.177(-11)	.188(-11)	.144(-11)
19			.141(-13)	.432(-11)	.290(-11)	.243(-11)	.230(-11)	.188(-11)	.147(-11)
20			.686(-14)	.368(-11)	.291(-11)	.252(-11)	.247(-11)	.167(-11)	.161(-11)
21			.634(-14)	.157(-11)	.383(-11)	.334(-11)	.268(-11)	.216(-11)	.169(-11)
22				.501(-12)	.484(-11)	.384(-11)	.272(-11)	.231(-11)	.195(-11)
23				.900(-13)	.647(-11)	.395(-11)	.279(-11)	.276(-11)	.189(-11)
24				.711(-13)	.751(-11)	.466(-11)	.351(-11)	.291(-11)	.238(-11)
25				.289(-14)	.600(-11)	.543(-11)	.438(-11)	.350(-11)	.260(-11)
26				.165(-14)	.322(-11)	.602(-11)	.469(-11)	.357(-11)	.272(-11)
27				.133(-14)	.106(-11)	.810(-11)	.540(-11)	.392(-11)	.341(-11)
28					.304(-12)	.100(-10)	.579(-11)	.479(-11)	.379(-11)
29					.100(-12)	.115(-10)	.701(-11)	.501(-11)	.393(-11)
30					.684(-13)	.994(-11)	.847(-11)	.552(-11)	.361(-11)
31					.202(-13)	.535(-11)	.978(-11)	.686(-11)	.584(-11)
32					.836(-14)	.221(-11)	.123(-10)	.798(-11)	.482(-11)
33					.000(-00)	.754(-12)	.155(-10)	.922(-11)	.629(-11)
34					.000(-00)	.338(-12)	.173(-10)	.104(-10)	.717(-11)
35					.000(-00)	.111(-12)	.156(-10)	.120(-10)	.869(-11)
36					.215(-14)	.383(-13)	.875(-11)	.143(-10)	.955(-11)
37						.331(-13)	.414(-11)	.185(-10)	.110(-10)
38						.517(-14)	.191(-11)	.215(-10)	.128(-10)
39						.573(-14)	.786(-12)	.236(-10)	.162(-10)
40						.000(-00)	.294(-12)	.227(-10)	.171(-10)
41						.521(-14)	.141(-12)	.142(-10)	.216(-10)
42							.681(-13)	.657(-11)	.242(-10)
43							.403(-13)	.388(-11)	.301(-10)
44							.338(-13)	.163(-11)	.308(-10)
45							.875(-14)	.897(-12)	.306(-10)
46							.944(-14)	.445(-12)	.207(-10)
47							.128(-13)	.321(-12)	.120(-10)
48							.152(-14)	.151(-12)	.699(-11)
49							.000(-00)	.768(-13)	.399(-11)
50							.303(-14)	.374(-13)	.286(-11)
51							.245(-14)	.354(-13)	.158(-11)
52							.148(-14)	.742(-14)	.591(-12)
53							.143(-14)	.102(-13)	.412(-12)
54								.343(-13)	.296(-12)
55								.559(-14)	.172(-12)
56								.000(-00)	.101(-12)
57								.151(-14)	.817(-13)
58								.116(-13)	.504(-13)
59									.322(-13)

Virt&I-Comm.5.2014.11

Table XLVIII		QCT L0 REACTIVE				$T_{tr}=4000.$	$T_{rot}=4000.$		
v'	v	10	15	20	25	30	35	40	45
0		.238(-12)	.912(-12)	.163(-11)	.216(-11)	.192(-11)	.156(-11)	.120(-11)	.116(-11)
1		.551(-12)	.115(-11)	.161(-11)	.162(-11)	.179(-11)	.170(-11)	.122(-11)	.126(-11)
2		.754(-12)	.159(-11)	.186(-11)	.198(-11)	.156(-11)	.143(-11)	.893(-12)	.116(-11)
3		.996(-12)	.141(-11)	.171(-11)	.147(-11)	.140(-11)	.125(-11)	.123(-11)	.827(-12)
4		.127(-11)	.183(-11)	.178(-11)	.161(-11)	.167(-11)	.143(-11)	.119(-11)	.135(-11)
5		.147(-11)	.188(-11)	.180(-11)	.191(-11)	.160(-11)	.139(-11)	.148(-11)	.852(-12)
6		.206(-11)	.200(-11)	.192(-11)	.230(-11)	.159(-11)	.156(-11)	.905(-12)	.119(-11)
7		.271(-11)	.238(-11)	.228(-11)	.228(-11)	.174(-11)	.171(-11)	.149(-11)	.960(-12)
8		.368(-11)	.236(-11)	.259(-11)	.193(-11)	.157(-11)	.183(-11)	.124(-11)	.131(-11)
9		.539(-11)	.274(-11)	.236(-11)	.241(-11)	.188(-11)	.172(-11)	.141(-11)	.120(-11)
10		.563(-11)	.344(-11)	.320(-11)	.277(-11)	.212(-11)	.177(-11)	.148(-11)	.140(-11)
11		.296(-11)	.431(-11)	.295(-11)	.306(-11)	.318(-11)	.202(-11)	.168(-11)	.138(-11)
12		.132(-11)	.530(-11)	.379(-11)	.365(-11)	.331(-11)	.253(-11)	.178(-11)	.167(-11)
13		.482(-12)	.738(-11)	.446(-11)	.405(-11)	.348(-11)	.206(-11)	.180(-11)	.153(-11)
14		.217(-12)	.818(-11)	.461(-11)	.373(-11)	.338(-11)	.297(-11)	.231(-11)	.167(-11)
15		.112(-12)	.809(-11)	.544(-11)	.416(-11)	.396(-11)	.293(-11)	.209(-11)	.153(-11)
16		.885(-13)	.433(-11)	.747(-11)	.522(-11)	.398(-11)	.312(-11)	.355(-11)	.222(-11)
17		.271(-13)	.237(-11)	.964(-11)	.594(-11)	.444(-11)	.407(-11)	.290(-11)	.188(-11)
18		.211(-14)	.125(-11)	.113(-10)	.642(-11)	.470(-11)	.436(-11)	.312(-11)	.228(-11)
19		.133(-13)	.518(-12)	.119(-10)	.774(-11)	.567(-11)	.437(-11)	.326(-11)	.260(-11)
20		.177(-14)	.240(-12)	.105(-10)	.884(-11)	.601(-11)	.479(-11)	.421(-11)	.304(-11)
21		.826(-14)	.167(-12)	.723(-11)	.110(-10)	.671(-11)	.593(-11)	.448(-11)	.303(-11)
22		.224(-14)	.930(-13)	.407(-11)	.128(-10)	.811(-11)	.588(-11)	.487(-11)	.349(-11)
23			.521(-13)	.212(-11)	.137(-10)	.891(-11)	.730(-11)	.502(-11)	.394(-11)
24			.434(-13)	.973(-12)	.171(-10)	.105(-10)	.740(-11)	.583(-11)	.450(-11)
25			.201(-13)	.617(-12)	.154(-10)	.129(-10)	.837(-11)	.675(-11)	.491(-11)
26			.505(-14)	.323(-12)	.111(-10)	.147(-10)	.977(-11)	.661(-11)	.550(-11)
27			.358(-14)	.224(-12)	.597(-11)	.168(-10)	.110(-10)	.822(-11)	.652(-11)
28			.348(-14)	.990(-13)	.316(-11)	.211(-10)	.128(-10)	.910(-11)	.625(-11)
29				.451(-13)	.212(-11)	.221(-10)	.156(-10)	.946(-11)	.788(-11)
30				.225(-13)	.135(-11)	.201(-10)	.173(-10)	.120(-10)	.886(-11)
31				.210(-13)	.589(-12)	.143(-10)	.203(-10)	.132(-10)	.819(-11)
32				.110(-13)	.416(-12)	.944(-11)	.240(-10)	.150(-10)	.100(-10)
33				.169(-13)	.197(-12)	.541(-11)	.257(-10)	.170(-10)	.110(-10)
34				.000(-00)	.110(-12)	.355(-11)	.261(-10)	.189(-10)	.128(-10)
35				.219(-14)	.799(-13)	.235(-11)	.244(-10)	.219(-10)	.143(-10)
36				.000(-00)	.371(-13)	.185(-11)	.188(-10)	.255(-10)	.166(-10)
37				.000(-00)	.530(-13)	.777(-12)	.126(-10)	.289(-10)	.180(-10)
38				.198(-14)	.106(-13)	.498(-12)	.876(-11)	.312(-10)	.208(-10)
39				.000(-00)	.226(-13)	.487(-12)	.525(-11)	.319(-10)	.258(-10)
40				.158(-14)	.652(-14)	.160(-12)	.380(-11)	.295(-10)	.243(-10)
41					.105(-13)	.236(-12)	.229(-11)	.234(-10)	.285(-10)
42					.753(-14)	.107(-12)	.217(-11)	.166(-10)	.359(-10)
43					.251(-14)	.472(-13)	.118(-11)	.129(-10)	.355(-10)
44					.000(-00)	.851(-13)	.733(-12)	.911(-11)	.349(-10)
45					.000(-00)	.962(-13)	.592(-12)	.621(-11)	.326(-10)
46					.683(-14)	.476(-13)	.476(-12)	.474(-11)	.279(-10)
47					.826(-14)	.208(-13)	.385(-12)	.246(-11)	.219(-10)
48						.741(-14)	.163(-12)	.184(-11)	.170(-10)
49						.113(-13)	.224(-12)	.139(-11)	.123(-10)
50						.000(-00)	.128(-12)	.112(-11)	.738(-11)
51						.217(-14)	.896(-13)	.745(-12)	.591(-11)
52						.497(-14)	.109(-12)	.546(-12)	.384(-11)
53						.000(-00)	.337(-13)	.393(-12)	.324(-11)
54						.283(-14)	.553(-13)	.328(-12)	.173(-11)
55						.375(-14)	.161(-13)	.179(-12)	.130(-11)
56							.194(-13)	.157(-12)	.956(-12)
57							.178(-13)	.127(-12)	.997(-12)
58							.146(-13)	.966(-13)	.649(-12)
59							.217(-14)	.690(-13)	.534(-12)

Virt&I-Comm.5.2014.11

Table XLIX		QCT L1 NON REACTIVE						$T_{tr}=500.$	$T_{rot}=500.$
v'	v	10	15	20	25	30	35	40	45
0		.000(-00)	.919(-15)	.234(-13)	.501(-13)	.175(-12)	.190(-12)	.194(-12)	.119(-12)
1		.000(-00)	.275(-14)	.124(-13)	.592(-13)	.879(-13)	.215(-12)	.218(-12)	.161(-12)
2		.000(-00)	.219(-14)	.170(-13)	.416(-13)	.960(-13)	.113(-12)	.154(-12)	.170(-12)
3		.000(-00)	.620(-15)	.126(-13)	.611(-13)	.806(-13)	.119(-12)	.121(-12)	.112(-12)
4		.000(-00)	.222(-14)	.108(-13)	.232(-13)	.952(-13)	.114(-12)	.144(-12)	.231(-12)
5		.000(-00)	.855(-15)	.863(-14)	.422(-13)	.821(-13)	.809(-13)	.117(-12)	.109(-12)
6		.000(-00)	.000(-00)	.183(-13)	.246(-13)	.872(-13)	.178(-12)	.187(-12)	.172(-12)
7		.000(-00)	.284(-14)	.107(-13)	.558(-13)	.101(-12)	.159(-12)	.189(-12)	.153(-12)
8		.000(-00)	.208(-14)	.124(-13)	.490(-13)	.107(-12)	.151(-12)	.200(-12)	.989(-13)
9		.486(-15)	.703(-15)	.148(-13)	.452(-13)	.128(-12)	.174(-12)	.190(-12)	.209(-12)
10		.166(-09)	.213(-14)	.604(-14)	.391(-13)	.107(-12)	.237(-12)	.227(-12)	.189(-12)
11			.000(-00)	.159(-13)	.463(-13)	.107(-12)	.196(-12)	.162(-12)	.166(-12)
12			.494(-15)	.828(-14)	.539(-13)	.118(-12)	.190(-12)	.258(-12)	.261(-12)
13			.132(-14)	.924(-14)	.469(-13)	.147(-12)	.218(-12)	.255(-12)	.260(-12)
14			.000(-00)	.910(-14)	.606(-13)	.113(-12)	.249(-12)	.267(-12)	.235(-12)
15			.166(-09)	.153(-13)	.448(-13)	.171(-12)	.248(-12)	.296(-12)	.345(-12)
16				.151(-13)	.757(-13)	.134(-12)	.258(-12)	.326(-12)	.394(-12)
17				.882(-14)	.607(-13)	.109(-12)	.294(-12)	.393(-12)	.331(-12)
18				.137(-13)	.466(-13)	.139(-12)	.213(-12)	.354(-12)	.363(-12)
19				.695(-14)	.702(-13)	.163(-12)	.304(-12)	.420(-12)	.455(-12)
20				.204(-09)	.579(-13)	.133(-12)	.346(-12)	.393(-12)	.470(-12)
21					.604(-13)	.187(-12)	.288(-12)	.434(-12)	.586(-12)
22					.629(-13)	.159(-12)	.349(-12)	.473(-12)	.627(-12)
23					.430(-13)	.164(-12)	.373(-12)	.587(-12)	.603(-12)
24					.716(-13)	.141(-12)	.366(-12)	.550(-12)	.691(-12)
25					.244(-09)	.148(-12)	.336(-12)	.620(-12)	.715(-12)
26						.177(-12)	.408(-12)	.593(-12)	.704(-12)
27						.211(-12)	.424(-12)	.531(-12)	.719(-12)
28						.182(-12)	.402(-12)	.555(-12)	.887(-12)
29						.192(-12)	.380(-12)	.739(-12)	.869(-12)
30						.282(-09)	.387(-12)	.666(-12)	.939(-12)
31						.887(-14)	.525(-12)	.901(-12)	.102(-11)
32							.483(-12)	.721(-12)	.113(-11)
33							.457(-12)	.822(-12)	.120(-11)
34							.503(-12)	.828(-12)	.115(-11)
35							.310(-09)	.843(-12)	.117(-11)
36							.310(-13)	.859(-12)	.139(-11)
37								.993(-12)	.137(-11)
38								.977(-12)	.139(-11)
39								.121(-11)	.152(-11)
40								.330(-09)	.156(-11)
41								.144(-12)	.142(-11)
42								.318(-14)	.173(-11)
43								.277(-14)	.161(-11)
44									.233(-11)
45									.330(-09)
46									.313(-12)
47									.554(-13)
48									.102(-14)

Virt&I-Comm.5.2014.11

Table L		QCT L1 NON REACTIVE				$T_{tr}=1000.$	$T_{rot}=1000.$		
v'	v	10	15	20	25	30	35	40	45
0		.000(-00)	.190(-14)	.285(-12)	.544(-12)	.778(-12)	.713(-12)	.594(-12)	.587(-12)
1		.000(-00)	.749(-13)	.206(-12)	.360(-12)	.485(-12)	.605(-12)	.516(-12)	.417(-12)
2		.000(-00)	.605(-13)	.209(-12)	.248(-12)	.471(-12)	.483(-12)	.535(-12)	.449(-12)
3		.265(-14)	.705(-13)	.184(-12)	.313(-12)	.314(-12)	.357(-12)	.540(-12)	.324(-12)
4		.338(-14)	.747(-13)	.147(-12)	.363(-12)	.285(-12)	.413(-12)	.487(-12)	.323(-12)
5		.472(-14)	.668(-13)	.166(-12)	.205(-12)	.390(-12)	.374(-12)	.400(-12)	.263(-12)
6		.637(-14)	.627(-13)	.153(-12)	.242(-12)	.374(-12)	.454(-12)	.497(-12)	.370(-12)
7		.114(-13)	.373(-13)	.159(-12)	.321(-12)	.439(-12)	.498(-12)	.449(-12)	.372(-12)
8		.143(-13)	.627(-13)	.958(-13)	.341(-12)	.492(-12)	.437(-12)	.517(-12)	.403(-12)
9		.178(-13)	.438(-13)	.170(-12)	.327(-12)	.419(-12)	.505(-12)	.457(-12)	.531(-12)
10		.235(-09)	.233(-13)	.125(-12)	.243(-12)	.427(-12)	.602(-12)	.506(-12)	.464(-12)
11		.150(-14)	.448(-13)	.874(-13)	.308(-12)	.395(-12)	.477(-12)	.616(-12)	.469(-12)
12			.459(-13)	.123(-12)	.304(-12)	.608(-12)	.565(-12)	.636(-12)	.573(-12)
13			.680(-13)	.127(-12)	.268(-12)	.557(-12)	.785(-12)	.773(-12)	.655(-12)
14			.518(-13)	.219(-12)	.252(-12)	.374(-12)	.759(-12)	.785(-12)	.591(-12)
15			.232(-09)	.158(-12)	.326(-12)	.572(-12)	.676(-12)	.629(-12)	.697(-12)
16			.147(-13)	.115(-12)	.230(-12)	.529(-12)	.687(-12)	.598(-12)	.659(-12)
17				.165(-12)	.322(-12)	.671(-12)	.791(-12)	.852(-12)	.836(-12)
18				.201(-12)	.295(-12)	.511(-12)	.846(-12)	.795(-12)	.868(-12)
19				.207(-12)	.397(-12)	.698(-12)	.909(-12)	.907(-12)	.100(-11)
20				.276(-09)	.358(-12)	.641(-12)	.878(-12)	.109(-11)	.951(-12)
21				.434(-13)	.400(-12)	.598(-12)	.100(-11)	.106(-11)	.123(-11)
22				.566(-14)	.377(-12)	.632(-12)	.955(-12)	.114(-11)	.884(-12)
23					.454(-12)	.596(-12)	.923(-12)	.119(-11)	.101(-11)
24					.514(-12)	.720(-12)	.100(-11)	.114(-11)	.113(-11)
25					.318(-09)	.595(-12)	.106(-11)	.129(-11)	.140(-11)
26					.806(-13)	.739(-12)	.122(-11)	.133(-11)	.120(-11)
27					.483(-14)	.834(-12)	.993(-12)	.136(-11)	.141(-11)
28						.871(-12)	.112(-11)	.146(-11)	.131(-11)
29						.105(-11)	.112(-11)	.134(-11)	.141(-11)
30						.351(-09)	.110(-11)	.135(-11)	.138(-11)
31						.245(-12)	.101(-11)	.181(-11)	.201(-11)
32						.185(-13)	.142(-11)	.208(-11)	.207(-11)
33						.900(-14)	.150(-11)	.173(-11)	.215(-11)
34							.218(-11)	.180(-11)	.185(-11)
35							.371(-09)	.175(-11)	.246(-11)
36							.529(-12)	.195(-11)	.232(-11)
37							.686(-13)	.177(-11)	.231(-11)
38							.302(-13)	.247(-11)	.273(-11)
39							.124(-13)	.343(-11)	.250(-11)
40								.384(-09)	.320(-11)
41								.152(-11)	.271(-11)
42								.168(-12)	.314(-11)
43								.602(-13)	.333(-11)
44								.300(-13)	.546(-11)
45								.679(-14)	.378(-09)
46								.000(-00)	.227(-11)
47								.000(-00)	.488(-12)
48								.234(-14)	.208(-12)
49									.815(-13)
50									.530(-13)
51									.653(-14)
52									.775(-14)
53									.621(-14)

Virt&I-Comm.5.2014.11

Table LI		QCT L1 NON REACTIVE				$T_{tr}=2000.$	$T_{rot}=2000.$		
v'	v	10	15	20	25	30	35	40	45
0		.000(-00)	.681(-13)	.644(-12)	.165(-11)	.175(-11)	.179(-11)	.150(-11)	.990(-12)
1		.000(-00)	.346(-12)	.944(-12)	.113(-11)	.137(-11)	.111(-11)	.102(-11)	.848(-12)
2		.000(-00)	.488(-12)	.881(-12)	.949(-12)	.103(-11)	.106(-11)	.933(-12)	.798(-12)
3		.326(-13)	.462(-12)	.827(-12)	.112(-11)	.875(-12)	.118(-11)	.947(-12)	.541(-12)
4		.841(-13)	.478(-12)	.777(-12)	.872(-12)	.100(-11)	.100(-11)	.819(-12)	.703(-12)
5		.819(-13)	.437(-12)	.667(-12)	.908(-12)	.946(-12)	.996(-12)	.762(-12)	.759(-12)
6		.196(-12)	.395(-12)	.680(-12)	.816(-12)	.968(-12)	.113(-11)	.107(-11)	.791(-12)
7		.235(-12)	.387(-12)	.662(-12)	.887(-12)	.916(-12)	.100(-11)	.847(-12)	.826(-12)
8		.233(-12)	.370(-12)	.663(-12)	.872(-12)	.111(-11)	.966(-12)	.937(-12)	.784(-12)
9		.575(-12)	.368(-12)	.742(-12)	.989(-12)	.999(-12)	.110(-11)	.123(-11)	.735(-12)
10		.325(-09)	.385(-12)	.757(-12)	.823(-12)	.127(-11)	.123(-11)	.845(-12)	.839(-12)
11		.249(-12)	.458(-12)	.671(-12)	.939(-12)	.951(-12)	.102(-11)	.990(-12)	.747(-12)
12		.138(-13)	.395(-12)	.705(-12)	.983(-12)	.127(-11)	.128(-11)	.954(-12)	.111(-11)
13		.498(-14)	.434(-12)	.831(-12)	.101(-11)	.135(-11)	.128(-11)	.113(-11)	.975(-12)
14		.157(-14)	.117(-11)	.647(-12)	.104(-11)	.125(-11)	.110(-11)	.133(-11)	.101(-11)
15			.303(-09)	.746(-12)	.873(-12)	.134(-11)	.164(-11)	.118(-11)	.743(-12)
16			.431(-12)	.635(-12)	.926(-12)	.133(-11)	.140(-11)	.150(-11)	.115(-11)
17			.314(-13)	.757(-12)	.898(-12)	.127(-11)	.160(-11)	.159(-11)	.984(-12)
18			.169(-13)	.801(-12)	.108(-11)	.118(-11)	.142(-11)	.144(-11)	.112(-11)
19			.547(-14)	.219(-11)	.102(-11)	.169(-11)	.155(-11)	.162(-11)	.134(-11)
20			.000(-00)	.341(-09)	.119(-11)	.128(-11)	.163(-11)	.200(-11)	.170(-11)
21			.000(-00)	.920(-12)	.103(-11)	.141(-11)	.165(-11)	.189(-11)	.127(-11)
22			.973(-15)	.168(-12)	.130(-11)	.147(-11)	.149(-11)	.189(-11)	.148(-11)
23				.348(-13)	.129(-11)	.152(-11)	.165(-11)	.221(-11)	.142(-11)
24				.943(-14)	.351(-11)	.164(-11)	.181(-11)	.201(-11)	.181(-11)
25				.116(-13)	.377(-09)	.165(-11)	.216(-11)	.177(-11)	.171(-11)
26				.179(-14)	.138(-11)	.148(-11)	.210(-11)	.215(-11)	.199(-11)
27				.278(-14)	.219(-12)	.219(-11)	.206(-11)	.236(-11)	.209(-11)
28				.102(-14)	.766(-13)	.200(-11)	.189(-11)	.244(-11)	.202(-11)
29					.333(-13)	.504(-11)	.206(-11)	.195(-11)	.253(-11)
30					.210(-13)	.404(-09)	.254(-11)	.241(-11)	.212(-11)
31					.168(-14)	.235(-11)	.210(-11)	.281(-11)	.223(-11)
32					.000(-00)	.438(-12)	.272(-11)	.269(-11)	.266(-11)
33					.193(-14)	.165(-12)	.262(-11)	.254(-11)	.325(-11)
34						.698(-13)	.716(-11)	.303(-11)	.320(-11)
35						.341(-13)	.423(-09)	.310(-11)	.295(-11)
36						.672(-14)	.394(-11)	.328(-11)	.296(-11)
37						.206(-14)	.745(-12)	.328(-11)	.353(-11)
38						.474(-14)	.340(-12)	.473(-11)	.398(-11)
39						.177(-14)	.158(-12)	.108(-10)	.383(-11)
40						.166(-14)	.769(-13)	.440(-09)	.345(-11)
41							.706(-13)	.510(-11)	.400(-11)
42							.426(-13)	.137(-11)	.480(-11)
43							.386(-14)	.674(-12)	.500(-11)
44							.349(-14)	.350(-12)	.130(-10)
45							.126(-13)	.175(-12)	.439(-09)
46							.266(-14)	.180(-12)	.969(-11)
47							.000(-00)	.416(-14)	.228(-11)
48							.383(-14)	.482(-13)	.128(-11)
49							.309(-14)	.397(-13)	.726(-12)
50								.108(-13)	.414(-12)
51								.146(-13)	.347(-12)
52								.212(-13)	.221(-12)
53								.599(-14)	.187(-12)
54								.196(-14)	.104(-12)
55									.112(-12)
56									.703(-13)
57									.292(-13)
58									.228(-13)
59									.843(-14)

Virt&I-Comm.5.2014.11

Table LII		QCT L1 NON REACTIVE					$T_{tr}=4000.$	$T_{rot}=4000.$	
v'	v	10	15	20	25	30	35	40	45
0		.293(-13)	.213(-12)	.972(-12)	.226(-11)	.282(-11)	.254(-11)	.174(-11)	.116(-11)
1		.871(-13)	.714(-12)	.172(-11)	.210(-11)	.208(-11)	.201(-11)	.159(-11)	.119(-11)
2		.112(-12)	.113(-11)	.148(-11)	.200(-11)	.167(-11)	.176(-11)	.155(-11)	.966(-12)
3		.213(-12)	.960(-12)	.193(-11)	.189(-11)	.217(-11)	.154(-11)	.179(-11)	.677(-12)
4		.455(-12)	.124(-11)	.199(-11)	.204(-11)	.191(-11)	.197(-11)	.170(-11)	.890(-12)
5		.644(-12)	.135(-11)	.196(-11)	.163(-11)	.158(-11)	.136(-11)	.146(-11)	.899(-12)
6		.673(-12)	.127(-11)	.163(-11)	.205(-11)	.200(-11)	.238(-11)	.127(-11)	.134(-11)
7		.126(-11)	.130(-11)	.145(-11)	.193(-11)	.164(-11)	.212(-11)	.108(-11)	.788(-12)
8		.224(-11)	.142(-11)	.159(-11)	.241(-11)	.173(-11)	.146(-11)	.128(-11)	.102(-11)
9		.608(-11)	.163(-11)	.162(-11)	.206(-11)	.193(-11)	.193(-11)	.181(-11)	.138(-11)
10		.413(-09)	.154(-11)	.151(-11)	.195(-11)	.212(-11)	.170(-11)	.187(-11)	.119(-11)
11		.351(-11)	.183(-11)	.149(-11)	.205(-11)	.209(-11)	.193(-11)	.183(-11)	.119(-11)
12		.534(-12)	.177(-11)	.161(-11)	.250(-11)	.182(-11)	.169(-11)	.145(-11)	.946(-12)
13		.250(-12)	.250(-11)	.162(-11)	.200(-11)	.227(-11)	.161(-11)	.147(-11)	.897(-12)
14		.126(-12)	.765(-11)	.176(-11)	.200(-11)	.230(-11)	.188(-11)	.167(-11)	.135(-11)
15		.989(-13)	.351(-09)	.200(-11)	.203(-11)	.201(-11)	.201(-11)	.182(-11)	.136(-11)
16		.359(-13)	.346(-11)	.185(-11)	.198(-11)	.229(-11)	.234(-11)	.164(-11)	.109(-11)
17		.936(-14)	.750(-12)	.270(-11)	.218(-11)	.210(-11)	.237(-11)	.185(-11)	.224(-11)
18		.940(-14)	.242(-12)	.339(-11)	.245(-11)	.249(-11)	.232(-11)	.185(-11)	.158(-11)
19		.503(-14)	.211(-12)	.982(-11)	.238(-11)	.267(-11)	.249(-11)	.218(-11)	.149(-11)
20		.000(-00)	.124(-12)	.378(-09)	.253(-11)	.200(-11)	.258(-11)	.243(-11)	.194(-11)
21		.125(-14)	.290(-13)	.639(-11)	.255(-11)	.261(-11)	.258(-11)	.211(-11)	.175(-11)
22			.242(-13)	.101(-11)	.227(-11)	.225(-11)	.296(-11)	.260(-11)	.230(-11)
23			.114(-13)	.516(-12)	.515(-11)	.275(-11)	.321(-11)	.268(-11)	.217(-11)
24			.664(-14)	.272(-12)	.128(-10)	.303(-11)	.280(-11)	.202(-11)	.201(-11)
25			.581(-14)	.127(-12)	.411(-09)	.271(-11)	.291(-11)	.292(-11)	.231(-11)
26			.855(-14)	.167(-12)	.710(-11)	.298(-11)	.342(-11)	.289(-11)	.251(-11)
27			.000(-00)	.562(-13)	.162(-11)	.326(-11)	.328(-11)	.304(-11)	.300(-11)
28			.314(-14)	.648(-13)	.660(-12)	.545(-11)	.318(-11)	.278(-11)	.323(-11)
29				.274(-13)	.372(-12)	.175(-10)	.355(-11)	.303(-11)	.343(-11)
30				.971(-14)	.195(-12)	.444(-09)	.300(-11)	.386(-11)	.287(-11)
31				.156(-13)	.941(-13)	.108(-10)	.325(-11)	.397(-11)	.270(-11)
32				.000(-00)	.118(-12)	.252(-11)	.386(-11)	.415(-11)	.287(-11)
33				.665(-14)	.335(-13)	.143(-11)	.657(-11)	.320(-11)	.355(-11)
34				.325(-14)	.561(-13)	.513(-12)	.243(-10)	.445(-11)	.322(-11)
35				.378(-14)	.845(-13)	.472(-12)	.469(-09)	.442(-11)	.418(-11)
36				.107(-13)	.192(-13)	.251(-12)	.142(-10)	.368(-11)	.411(-11)
37				.689(-14)	.101(-13)	.200(-12)	.356(-11)	.481(-11)	.431(-11)
38					.765(-14)	.134(-12)	.174(-11)	.877(-11)	.551(-11)
39					.117(-13)	.101(-12)	.112(-11)	.268(-10)	.526(-11)
40					.386(-14)	.578(-13)	.751(-12)	.507(-09)	.517(-11)
41					.227(-14)	.862(-13)	.323(-12)	.189(-10)	.607(-11)
42					.634(-14)	.306(-13)	.294(-12)	.427(-11)	.705(-11)
43					.000(-00)	.311(-13)	.267(-12)	.272(-11)	.931(-11)
44					.354(-14)	.418(-13)	.293(-12)	.145(-11)	.292(-10)
45					.000(-00)	.168(-13)	.139(-12)	.109(-11)	.530(-09)
46					.000(-00)	.517(-14)	.133(-12)	.880(-12)	.260(-10)
47					.458(-14)	.000(-00)	.108(-12)	.705(-12)	.696(-11)
48					.000(-00)	.935(-14)	.486(-13)	.498(-12)	.359(-11)
49					.000(-00)	.130(-13)	.637(-13)	.389(-12)	.280(-11)
50					.177(-14)	.000(-00)	.266(-13)	.269(-12)	.191(-11)
51						.396(-14)	.190(-13)	.241(-12)	.130(-11)
52						.304(-14)	.198(-13)	.185(-12)	.104(-11)
53						.283(-14)	.111(-13)	.120(-12)	.726(-12)
54							.929(-14)	.172(-12)	.561(-12)
55							.106(-13)	.790(-13)	.625(-12)
56							.721(-14)	.389(-13)	.401(-12)
57							.496(-14)	.724(-13)	.207(-12)
58							.643(-14)	.286(-13)	.173(-12)
59							.471(-14)	.985(-14)	.169(-12)

Virt&I-Comm.5.2014.11

Table LIII		QCT L1 REACTIVE				$T_{tr}= 500.$		$T_{rot}= 500.$	
v'	v	10	15	20	25	30	35	40	45
0		.000(-00)	.319(-14)	.386(-13)	.105(-12)	.135(-12)	.160(-12)	.149(-12)	.163(-12)
1		.000(-00)	.348(-14)	.190(-13)	.644(-13)	.136(-12)	.213(-12)	.225(-12)	.175(-12)
2		.000(-00)	.373(-14)	.132(-13)	.531(-13)	.107(-12)	.188(-12)	.254(-12)	.224(-12)
3		.000(-00)	.525(-15)	.291(-13)	.614(-13)	.895(-13)	.104(-12)	.213(-12)	.161(-12)
4		.000(-00)	.351(-14)	.127(-13)	.457(-13)	.916(-13)	.107(-12)	.214(-12)	.125(-12)
5		.780(-15)	.309(-14)	.176(-13)	.473(-13)	.115(-12)	.114(-12)	.176(-12)	.219(-12)
6		.000(-00)	.452(-15)	.209(-13)	.531(-13)	.102(-12)	.166(-12)	.196(-12)	.157(-12)
7		.000(-00)	.222(-14)	.160(-13)	.710(-13)	.113(-12)	.142(-12)	.186(-12)	.211(-12)
8		.000(-00)	.316(-14)	.262(-13)	.705(-13)	.109(-12)	.188(-12)	.238(-12)	.229(-12)
9		.000(-00)	.131(-14)	.278(-13)	.701(-13)	.105(-12)	.250(-12)	.280(-12)	.208(-12)
10		.000(-00)	.364(-14)	.241(-13)	.938(-13)	.170(-12)	.196(-12)	.282(-12)	.248(-12)
11			.573(-14)	.271(-13)	.851(-13)	.165(-12)	.243(-12)	.273(-12)	.287(-12)
12			.162(-14)	.377(-13)	.855(-13)	.213(-12)	.337(-12)	.336(-12)	.251(-12)
13			.763(-14)	.367(-13)	.972(-13)	.214(-12)	.321(-12)	.323(-12)	.266(-12)
14			.743(-14)	.494(-13)	.130(-12)	.188(-12)	.307(-12)	.387(-12)	.382(-12)
15			.687(-14)	.485(-13)	.143(-12)	.240(-12)	.380(-12)	.425(-12)	.420(-12)
16			.486(-15)	.380(-13)	.120(-12)	.254(-12)	.369(-12)	.538(-12)	.428(-12)
17				.471(-13)	.174(-12)	.302(-12)	.517(-12)	.394(-12)	.445(-12)
18				.589(-13)	.180(-12)	.330(-12)	.501(-12)	.480(-12)	.415(-12)
19				.630(-13)	.194(-12)	.345(-12)	.505(-12)	.589(-12)	.509(-12)
20				.756(-13)	.194(-12)	.476(-12)	.535(-12)	.624(-12)	.622(-12)
21				.595(-14)	.194(-12)	.463(-12)	.570(-12)	.649(-12)	.638(-12)
22					.240(-12)	.432(-12)	.714(-12)	.959(-12)	.794(-12)
23					.336(-12)	.527(-12)	.777(-12)	.910(-12)	.746(-12)
24					.396(-12)	.524(-12)	.797(-12)	.103(-11)	.909(-12)
25					.297(-12)	.618(-12)	.891(-12)	.976(-12)	.103(-11)
26					.171(-13)	.806(-12)	.928(-12)	.108(-11)	.101(-11)
27					.710(-15)	.913(-12)	.104(-11)	.149(-11)	.128(-11)
28						.108(-11)	.124(-11)	.131(-11)	.135(-11)
29						.142(-11)	.118(-11)	.154(-11)	.159(-11)
30						.894(-12)	.167(-11)	.158(-11)	.147(-11)
31						.694(-13)	.163(-11)	.186(-11)	.186(-11)
32						.667(-15)	.215(-11)	.215(-11)	.205(-11)
33							.261(-11)	.239(-11)	.232(-11)
34							.319(-11)	.262(-11)	.266(-11)
35							.244(-11)	.317(-11)	.277(-11)
36							.257(-12)	.359(-11)	.310(-11)
37							.772(-14)	.441(-11)	.381(-11)
38								.571(-11)	.423(-11)
39								.696(-11)	.512(-11)
40								.505(-11)	.582(-11)
41								.686(-12)	.631(-11)
42								.366(-13)	.804(-11)
43								.483(-14)	.109(-10)
44								.129(-14)	.131(-10)
45									.102(-10)
46									.209(-11)
47									.285(-12)
48									.320(-13)
49									.876(-14)
50									.112(-14)

Virt&I-Comm.5.2014.11

Table LIV		QCT L1 REACTIVE				$T_{tr}=1000.$	$T_{rot}=1000.$		
v'	v	10	15	20	25	30	35	40	45
0		.000(-00)	.235(-13)	.400(-12)	.699(-12)	.759(-12)	.788(-12)	.582(-12)	.349(-12)
1		.110(-14)	.114(-12)	.295(-12)	.404(-12)	.484(-12)	.547(-12)	.575(-12)	.433(-12)
2		.279(-14)	.125(-12)	.242(-12)	.350(-12)	.418(-12)	.488(-12)	.565(-12)	.491(-12)
3		.951(-14)	.136(-12)	.216(-12)	.456(-12)	.527(-12)	.628(-12)	.463(-12)	.462(-12)
4		.181(-13)	.111(-12)	.278(-12)	.430(-12)	.413(-12)	.558(-12)	.444(-12)	.434(-12)
5		.275(-13)	.110(-12)	.216(-12)	.404(-12)	.467(-12)	.529(-12)	.445(-12)	.326(-12)
6		.213(-13)	.981(-13)	.249(-12)	.410(-12)	.531(-12)	.624(-12)	.512(-12)	.344(-12)
7		.262(-13)	.130(-12)	.328(-12)	.441(-12)	.642(-12)	.652(-12)	.536(-12)	.457(-12)
8		.477(-13)	.109(-12)	.274(-12)	.482(-12)	.684(-12)	.534(-12)	.624(-12)	.483(-12)
9		.605(-13)	.159(-12)	.263(-12)	.450(-12)	.624(-12)	.605(-12)	.707(-12)	.594(-12)
10		.655(-13)	.123(-12)	.367(-12)	.760(-12)	.705(-12)	.727(-12)	.641(-12)	.560(-12)
11		.892(-14)	.198(-12)	.333(-12)	.566(-12)	.597(-12)	.870(-12)	.887(-12)	.494(-12)
12			.233(-12)	.512(-12)	.704(-12)	.796(-12)	.882(-12)	.780(-12)	.612(-12)
13			.312(-12)	.444(-12)	.689(-12)	.927(-12)	.902(-12)	.829(-12)	.749(-12)
14			.340(-12)	.457(-12)	.734(-12)	.101(-11)	.101(-11)	.953(-12)	.681(-12)
15			.284(-12)	.581(-12)	.843(-12)	.994(-12)	.106(-11)	.114(-11)	.889(-12)
16			.398(-13)	.589(-12)	.950(-12)	.934(-12)	.123(-11)	.107(-11)	.875(-12)
17			.582(-14)	.764(-12)	.102(-11)	.131(-11)	.124(-11)	.125(-11)	.993(-12)
18			.750(-15)	.978(-12)	.106(-11)	.141(-11)	.162(-11)	.135(-11)	.103(-11)
19				.126(-11)	.130(-11)	.151(-11)	.174(-11)	.176(-11)	.109(-11)
20				.983(-12)	.137(-11)	.175(-11)	.185(-11)	.138(-11)	.117(-11)
21				.243(-12)	.163(-11)	.179(-11)	.200(-11)	.189(-11)	.149(-11)
22				.168(-13)	.204(-11)	.190(-11)	.198(-11)	.204(-11)	.181(-11)
23				.452(-14)	.255(-11)	.218(-11)	.239(-11)	.234(-11)	.189(-11)
24					.267(-11)	.240(-11)	.225(-11)	.225(-11)	.198(-11)
25					.229(-11)	.299(-11)	.287(-11)	.248(-11)	.193(-11)
26					.489(-12)	.323(-11)	.269(-11)	.254(-11)	.233(-11)
27					.695(-13)	.401(-11)	.338(-11)	.347(-11)	.253(-11)
28					.465(-14)	.494(-11)	.360(-11)	.331(-11)	.285(-11)
29					.324(-14)	.547(-11)	.443(-11)	.385(-11)	.268(-11)
30						.466(-11)	.470(-11)	.472(-11)	.356(-11)
31						.127(-11)	.572(-11)	.480(-11)	.407(-11)
32						.192(-12)	.693(-11)	.528(-11)	.419(-11)
33						.195(-13)	.851(-11)	.558(-11)	.454(-11)
34						.115(-14)	.982(-11)	.668(-11)	.565(-11)
35						.122(-14)	.805(-11)	.771(-11)	.612(-11)
36							.260(-11)	.912(-11)	.626(-11)
37							.483(-12)	.106(-10)	.774(-11)
38							.123(-12)	.135(-10)	.806(-11)
39							.246(-13)	.152(-10)	.986(-11)
40							.423(-14)	.126(-10)	.114(-10)
41							.654(-14)	.520(-11)	.133(-10)
42								.130(-11)	.171(-10)
43								.259(-12)	.201(-10)
44								.955(-13)	.245(-10)
45								.337(-13)	.202(-10)
46								.900(-14)	.930(-11)
47								.609(-14)	.314(-11)
48									.109(-11)
49									.397(-12)
50									.127(-12)
51									.500(-13)
52									.197(-13)
53									.132(-13)
54									.319(-14)
55									.977(-14)

Virt&I-Comm.5.2014.11

Table LV		QCT L1 REACTIVE				$T_{tr}=2000.$		$T_{rot}=2000.$	
v'	v	10	15	20	25	30	35	40	45
0		.777(-14)	.229(-12)	.133(-11)	.218(-11)	.196(-11)	.185(-11)	.171(-11)	.971(-12)
1		.353(-13)	.638(-12)	.123(-11)	.175(-11)	.171(-11)	.123(-11)	.101(-11)	.107(-11)
2		.836(-13)	.671(-12)	.112(-11)	.145(-11)	.150(-11)	.122(-11)	.118(-11)	.859(-12)
3		.193(-12)	.880(-12)	.133(-11)	.129(-11)	.169(-11)	.115(-11)	.867(-12)	.920(-12)
4		.304(-12)	.818(-12)	.121(-11)	.154(-11)	.127(-11)	.110(-11)	.991(-12)	.620(-12)
5		.430(-12)	.929(-12)	.124(-11)	.127(-11)	.138(-11)	.126(-11)	.112(-11)	.606(-12)
6		.463(-12)	.891(-12)	.125(-11)	.143(-11)	.184(-11)	.128(-11)	.116(-11)	.101(-11)
7		.729(-12)	.992(-12)	.117(-11)	.145(-11)	.162(-11)	.126(-11)	.121(-11)	.909(-12)
8		.853(-12)	.111(-11)	.147(-11)	.169(-11)	.170(-11)	.163(-11)	.138(-11)	.772(-12)
9		.141(-11)	.977(-12)	.141(-11)	.171(-11)	.152(-11)	.159(-11)	.164(-11)	.104(-11)
10		.148(-11)	.138(-11)	.162(-11)	.189(-11)	.207(-11)	.170(-11)	.157(-11)	.122(-11)
11		.419(-12)	.173(-11)	.149(-11)	.195(-11)	.232(-11)	.196(-11)	.166(-11)	.123(-11)
12		.116(-12)	.186(-11)	.226(-11)	.197(-11)	.234(-11)	.199(-11)	.168(-11)	.120(-11)
13		.268(-13)	.235(-11)	.238(-11)	.229(-11)	.243(-11)	.213(-11)	.140(-11)	.125(-11)
14		.644(-14)	.335(-11)	.248(-11)	.221(-11)	.256(-11)	.216(-11)	.189(-11)	.151(-11)
15			.268(-11)	.270(-11)	.260(-11)	.282(-11)	.225(-11)	.201(-11)	.145(-11)
16			.117(-11)	.318(-11)	.300(-11)	.304(-11)	.268(-11)	.195(-11)	.162(-11)
17			.234(-12)	.398(-11)	.324(-11)	.296(-11)	.314(-11)	.236(-11)	.228(-11)
18			.805(-13)	.482(-11)	.381(-11)	.360(-11)	.298(-11)	.230(-11)	.217(-11)
19			.354(-13)	.559(-11)	.395(-11)	.401(-11)	.372(-11)	.301(-11)	.224(-11)
20			.315(-14)	.493(-11)	.471(-11)	.445(-11)	.353(-11)	.306(-11)	.239(-11)
21			.629(-14)	.224(-11)	.567(-11)	.456(-11)	.381(-11)	.363(-11)	.269(-11)
22				.519(-12)	.707(-11)	.524(-11)	.422(-11)	.375(-11)	.330(-11)
23				.254(-12)	.858(-11)	.581(-11)	.500(-11)	.422(-11)	.286(-11)
24				.676(-13)	.924(-11)	.674(-11)	.543(-11)	.494(-11)	.288(-11)
25				.130(-13)	.771(-11)	.753(-11)	.585(-11)	.459(-11)	.374(-11)
26				.116(-13)	.374(-11)	.887(-11)	.667(-11)	.523(-11)	.392(-11)
27					.134(-11)	.100(-10)	.761(-11)	.577(-11)	.441(-11)
28					.485(-12)	.117(-10)	.801(-11)	.604(-11)	.432(-11)
29					.217(-12)	.132(-10)	.945(-11)	.686(-11)	.535(-11)
30					.374(-13)	.118(-10)	.108(-10)	.849(-11)	.556(-11)
31					.191(-13)	.616(-11)	.127(-10)	.963(-11)	.599(-11)
32					.593(-14)	.239(-11)	.153(-10)	.102(-10)	.710(-11)
33					.000(-00)	.959(-12)	.170(-10)	.117(-10)	.781(-11)
34					.000(-00)	.437(-12)	.198(-10)	.127(-10)	.100(-10)
35					.000(-00)	.160(-12)	.166(-10)	.141(-10)	.113(-10)
36					.000(-00)	.531(-13)	.912(-11)	.170(-10)	.127(-10)
37					.215(-14)	.269(-13)	.438(-11)	.205(-10)	.131(-10)
38						.168(-13)	.214(-11)	.235(-10)	.151(-10)
39						.000(-00)	.849(-12)	.244(-10)	.182(-10)
40						.238(-14)	.347(-12)	.215(-10)	.192(-10)
41						.214(-14)	.138(-12)	.134(-10)	.230(-10)
42						.521(-14)	.865(-13)	.728(-11)	.246(-10)
43							.765(-13)	.407(-11)	.302(-10)
44							.284(-13)	.172(-11)	.323(-10)
45							.115(-13)	.928(-12)	.292(-10)
46							.230(-14)	.563(-12)	.194(-10)
47							.314(-14)	.450(-12)	.127(-10)
48							.518(-14)	.135(-12)	.738(-11)
49							.524(-14)	.122(-12)	.418(-11)
50							.141(-14)	.483(-13)	.235(-11)
51							.143(-14)	.471(-13)	.149(-11)
52							.000(-00)	.459(-13)	.817(-12)
53							.245(-14)	.333(-14)	.542(-12)
54								.150(-13)	.331(-12)
55								.191(-14)	.172(-12)
56								.932(-14)	.102(-12)
57									.780(-13)
58									.793(-13)
59									.213(-13)

Virt&I-Comm.5.2014.11

Table LVI		QCT L1 REACTIVE				$T_{tr}=4000.$	$T_{rot}=4000.$		
v'	v	10	15	20	25	30	35	40	45
0		.205(-12)	.888(-12)	.239(-11)	.373(-11)	.376(-11)	.249(-11)	.208(-11)	.150(-11)
1		.404(-12)	.176(-11)	.265(-11)	.355(-11)	.294(-11)	.262(-11)	.210(-11)	.170(-11)
2		.786(-12)	.231(-11)	.252(-11)	.303(-11)	.223(-11)	.249(-11)	.207(-11)	.116(-11)
3		.119(-11)	.241(-11)	.321(-11)	.287(-11)	.276(-11)	.217(-11)	.182(-11)	.142(-11)
4		.190(-11)	.277(-11)	.272(-11)	.301(-11)	.271(-11)	.262(-11)	.175(-11)	.151(-11)
5		.224(-11)	.287(-11)	.319(-11)	.314(-11)	.336(-11)	.226(-11)	.202(-11)	.146(-11)
6		.294(-11)	.354(-11)	.339(-11)	.335(-11)	.323(-11)	.248(-11)	.178(-11)	.161(-11)
7		.399(-11)	.372(-11)	.358(-11)	.354(-11)	.317(-11)	.267(-11)	.190(-11)	.121(-11)
8		.507(-11)	.416(-11)	.407(-11)	.409(-11)	.325(-11)	.248(-11)	.191(-11)	.127(-11)
9		.746(-11)	.441(-11)	.421(-11)	.339(-11)	.318(-11)	.304(-11)	.250(-11)	.180(-11)
10		.801(-11)	.540(-11)	.469(-11)	.436(-11)	.386(-11)	.308(-11)	.315(-11)	.179(-11)
11		.445(-11)	.599(-11)	.553(-11)	.473(-11)	.364(-11)	.316(-11)	.215(-11)	.198(-11)
12		.194(-11)	.731(-11)	.557(-11)	.510(-11)	.384(-11)	.362(-11)	.297(-11)	.174(-11)
13		.727(-12)	.880(-11)	.598(-11)	.509(-11)	.487(-11)	.448(-11)	.321(-11)	.196(-11)
14		.381(-12)	.109(-10)	.751(-11)	.590(-11)	.467(-11)	.396(-11)	.310(-11)	.249(-11)
15		.196(-12)	.904(-11)	.747(-11)	.617(-11)	.502(-11)	.429(-11)	.354(-11)	.271(-11)
16		.909(-13)	.638(-11)	.988(-11)	.771(-11)	.524(-11)	.462(-11)	.340(-11)	.264(-11)
17		.541(-13)	.318(-11)	.109(-10)	.769(-11)	.625(-11)	.553(-11)	.365(-11)	.309(-11)
18		.289(-13)	.136(-11)	.129(-10)	.844(-11)	.706(-11)	.591(-11)	.472(-11)	.388(-11)
19		.137(-13)	.751(-12)	.141(-10)	.956(-11)	.717(-11)	.555(-11)	.487(-11)	.333(-11)
20		.000(-00)	.454(-12)	.127(-10)	.110(-10)	.816(-11)	.662(-11)	.527(-11)	.365(-11)
21		.538(-14)	.251(-12)	.885(-11)	.136(-10)	.958(-11)	.727(-11)	.487(-11)	.416(-11)
22		.909(-14)	.101(-12)	.502(-11)	.150(-10)	.113(-10)	.761(-11)	.611(-11)	.452(-11)
23			.842(-13)	.250(-11)	.171(-10)	.116(-10)	.921(-11)	.757(-11)	.531(-11)
24			.425(-13)	.126(-11)	.180(-10)	.134(-10)	.992(-11)	.662(-11)	.548(-11)
25			.160(-13)	.851(-12)	.160(-10)	.138(-10)	.109(-10)	.679(-11)	.643(-11)
26			.101(-13)	.399(-12)	.107(-10)	.176(-10)	.129(-10)	.776(-11)	.600(-11)
27			.470(-14)	.281(-12)	.686(-11)	.197(-10)	.151(-10)	.106(-10)	.867(-11)
28			.000(-00)	.110(-12)	.390(-11)	.212(-10)	.150(-10)	.119(-10)	.767(-11)
29			.107(-13)	.606(-13)	.212(-11)	.227(-10)	.189(-10)	.124(-10)	.846(-11)
30				.422(-13)	.129(-11)	.208(-10)	.191(-10)	.152(-10)	.981(-11)
31				.406(-13)	.926(-12)	.149(-10)	.216(-10)	.153(-10)	.103(-10)
32				.000(-00)	.429(-12)	.934(-11)	.232(-10)	.157(-10)	.112(-10)
33				.148(-13)	.396(-12)	.612(-11)	.249(-10)	.188(-10)	.141(-10)
34				.666(-14)	.131(-12)	.404(-11)	.251(-10)	.205(-10)	.139(-10)
35				.326(-14)	.878(-13)	.270(-11)	.232(-10)	.241(-10)	.157(-10)
36				.000(-00)	.118(-12)	.169(-11)	.186(-10)	.269(-10)	.174(-10)
37				.158(-14)	.544(-13)	.909(-12)	.129(-10)	.309(-10)	.210(-10)
38				.669(-14)	.767(-13)	.681(-12)	.884(-11)	.304(-10)	.216(-10)
39				.198(-14)	.179(-13)	.344(-12)	.582(-11)	.302(-10)	.258(-10)
40					.732(-14)	.262(-12)	.368(-11)	.280(-10)	.276(-10)
41					.409(-14)	.229(-12)	.301(-11)	.230(-10)	.296(-10)
42					.150(-13)	.137(-12)	.219(-11)	.182(-10)	.338(-10)
43					.753(-14)	.149(-12)	.137(-11)	.114(-10)	.327(-10)
44					.486(-14)	.850(-13)	.734(-12)	.840(-11)	.348(-10)
45					.000(-00)	.789(-13)	.698(-12)	.718(-11)	.314(-10)
46					.258(-14)	.383(-13)	.489(-12)	.447(-11)	.257(-10)
47					.683(-14)	.180(-13)	.349(-12)	.273(-11)	.217(-10)
48					.330(-14)	.105(-13)	.258(-12)	.200(-11)	.186(-10)
49					.000(-00)	.399(-14)	.155(-12)	.154(-11)	.118(-10)
50					.567(-14)	.449(-14)	.189(-12)	.140(-11)	.758(-11)
51					.000(-00)	.571(-14)	.122(-12)	.847(-12)	.521(-11)
52					.000(-00)	.423(-14)	.103(-12)	.528(-12)	.423(-11)
53					.000(-00)	.000(-00)	.462(-13)	.492(-12)	.283(-11)
54					.000(-00)	.375(-14)	.201(-13)	.198(-12)	.225(-11)
55					.000(-00)	.336(-14)	.113(-13)	.201(-12)	.141(-11)
56					.000(-00)	.000(-00)	.145(-13)	.108(-12)	.103(-11)
57					.000(-00)	.000(-00)	.195(-13)	.149(-12)	.818(-12)
58					.184(-14)	.191(-14)	.755(-14)	.100(-12)	.621(-12)
59							.137(-13)	.100(-12)	.311(-12)

Virt&I-Comm.5.2014.11

Table LVII		QCT L2 NON REACTIVE					$T_{tr}= 500.$	$T_{rot}= 500.$	
v'	v	10	15	20	25	30	35	40	45
0		.000(-00)	.105(-14)	.232(-13)	.766(-13)	.111(-12)	.158(-12)	.147(-12)	.128(-12)
1		.000(-00)	.924(-15)	.153(-13)	.420(-13)	.105(-12)	.100(-12)	.154(-12)	.127(-12)
2		.000(-00)	.658(-15)	.165(-13)	.399(-13)	.554(-13)	.147(-12)	.134(-12)	.125(-12)
3		.000(-00)	.149(-14)	.138(-13)	.261(-13)	.442(-13)	.858(-13)	.103(-12)	.108(-12)
4		.000(-00)	.270(-14)	.129(-13)	.247(-13)	.101(-12)	.858(-13)	.127(-12)	.147(-12)
5		.000(-00)	.151(-14)	.712(-14)	.328(-13)	.770(-13)	.996(-13)	.837(-13)	.138(-12)
6		.000(-00)	.793(-15)	.131(-13)	.472(-13)	.837(-13)	.131(-12)	.108(-12)	.138(-12)
7		.000(-00)	.134(-14)	.985(-14)	.367(-13)	.813(-13)	.110(-12)	.721(-13)	.153(-12)
8		.000(-00)	.180(-14)	.138(-13)	.270(-13)	.782(-13)	.127(-12)	.154(-12)	.154(-12)
9		.486(-15)	.170(-14)	.204(-13)	.449(-13)	.906(-13)	.129(-12)	.152(-12)	.103(-12)
10		.166(-09)	.260(-14)	.122(-13)	.428(-13)	.114(-12)	.123(-12)	.169(-12)	.204(-12)
11			.000(-00)	.933(-14)	.486(-13)	.101(-12)	.151(-12)	.188(-12)	.168(-12)
12			.494(-15)	.769(-14)	.538(-13)	.139(-12)	.167(-12)	.166(-12)	.147(-12)
13			.132(-14)	.122(-13)	.535(-13)	.114(-12)	.212(-12)	.203(-12)	.190(-12)
14			.000(-00)	.119(-13)	.299(-13)	.126(-12)	.213(-12)	.256(-12)	.251(-12)
15			.166(-09)	.734(-14)	.299(-13)	.112(-12)	.218(-12)	.243(-12)	.273(-12)
16				.198(-13)	.606(-13)	.154(-12)	.199(-12)	.208(-12)	.235(-12)
17				.590(-14)	.431(-13)	.126(-12)	.194(-12)	.238(-12)	.324(-12)
18				.125(-13)	.410(-13)	.146(-12)	.295(-12)	.325(-12)	.319(-12)
19				.136(-13)	.465(-13)	.148(-12)	.313(-12)	.382(-12)	.379(-12)
20				.204(-09)	.364(-13)	.151(-12)	.239(-12)	.383(-12)	.352(-12)
21					.476(-13)	.150(-12)	.299(-12)	.355(-12)	.422(-12)
22					.503(-13)	.103(-12)	.231(-12)	.463(-12)	.433(-12)
23					.375(-13)	.174(-12)	.262(-12)	.469(-12)	.424(-12)
24					.577(-13)	.146(-12)	.262(-12)	.453(-12)	.571(-12)
25					.245(-09)	.124(-12)	.307(-12)	.529(-12)	.470(-12)
26					.196(-14)	.158(-12)	.377(-12)	.603(-12)	.684(-12)
27						.151(-12)	.306(-12)	.516(-12)	.628(-12)
28						.104(-12)	.328(-12)	.621(-12)	.734(-12)
29						.169(-12)	.402(-12)	.620(-12)	.660(-12)
30						.284(-09)	.450(-12)	.737(-12)	.811(-12)
31						.143(-13)	.374(-12)	.662(-12)	.954(-12)
32							.367(-12)	.712(-12)	.909(-12)
33							.468(-12)	.801(-12)	.107(-11)
34							.412(-12)	.662(-12)	.113(-11)
35							.316(-09)	.694(-12)	.108(-11)
36							.243(-13)	.773(-12)	.119(-11)
37							.125(-14)	.772(-12)	.126(-11)
38								.855(-12)	.134(-11)
39								.109(-11)	.137(-11)
40								.341(-09)	.135(-11)
41								.129(-12)	.142(-11)
42								.928(-15)	.148(-11)
43									.166(-11)
44									.212(-11)
45									.349(-09)
46									.281(-12)
47									.279(-13)
48									.216(-14)

Virt&I-Comm.5.2014.11

Table LVIII		QCT L2 NON REACTIVE					$T_{tr}=1000.$	$T_{rot}=1000.$	
v'	v	10	15	20	25	30	35	40	45
0		.000(-00)	.702(-14)	.216(-12)	.482(-12)	.603(-12)	.576(-12)	.454(-12)	.365(-12)
1		.000(-00)	.749(-13)	.188(-12)	.247(-12)	.493(-12)	.488(-12)	.481(-12)	.351(-12)
2		.000(-00)	.734(-13)	.130(-12)	.303(-12)	.373(-12)	.388(-12)	.320(-12)	.335(-12)
3		.000(-00)	.548(-13)	.194(-12)	.318(-12)	.375(-12)	.357(-12)	.297(-12)	.262(-12)
4		.143(-14)	.671(-13)	.113(-12)	.221(-12)	.347(-12)	.398(-12)	.281(-12)	.198(-12)
5		.334(-14)	.852(-13)	.150(-12)	.269(-12)	.411(-12)	.340(-12)	.435(-12)	.277(-12)
6		.140(-13)	.265(-13)	.147(-12)	.221(-12)	.352(-12)	.421(-12)	.296(-12)	.282(-12)
7		.994(-14)	.330(-13)	.116(-12)	.266(-12)	.317(-12)	.464(-12)	.327(-12)	.250(-12)
8		.110(-13)	.459(-13)	.134(-12)	.253(-12)	.363(-12)	.452(-12)	.344(-12)	.353(-12)
9		.153(-13)	.494(-13)	.121(-12)	.197(-12)	.346(-12)	.303(-12)	.449(-12)	.409(-12)
10		.235(-09)	.430(-13)	.112(-12)	.304(-12)	.435(-12)	.467(-12)	.509(-12)	.397(-12)
11			.338(-13)	.115(-12)	.289(-12)	.445(-12)	.491(-12)	.548(-12)	.340(-12)
12			.451(-13)	.135(-12)	.303(-12)	.401(-12)	.525(-12)	.573(-12)	.353(-12)
13			.456(-13)	.141(-12)	.284(-12)	.560(-12)	.711(-12)	.589(-12)	.536(-12)
14			.404(-13)	.163(-12)	.325(-12)	.460(-12)	.561(-12)	.565(-12)	.337(-12)
15			.232(-09)	.177(-12)	.237(-12)	.474(-12)	.623(-12)	.691(-12)	.433(-12)
16			.882(-14)	.140(-12)	.248(-12)	.421(-12)	.547(-12)	.586(-12)	.507(-12)
17				.131(-12)	.305(-12)	.459(-12)	.873(-12)	.792(-12)	.643(-12)
18				.181(-12)	.235(-12)	.572(-12)	.749(-12)	.663(-12)	.777(-12)
19				.167(-12)	.259(-12)	.569(-12)	.858(-12)	.740(-12)	.931(-12)
20				.277(-09)	.335(-12)	.580(-12)	.625(-12)	.703(-12)	.868(-12)
21				.288(-13)	.393(-12)	.496(-12)	.889(-12)	.915(-12)	.933(-12)
22					.371(-12)	.642(-12)	.984(-12)	.948(-12)	.817(-12)
23					.274(-12)	.621(-12)	.903(-12)	.988(-12)	.101(-11)
24					.580(-12)	.553(-12)	.106(-11)	.100(-11)	.960(-12)
25					.321(-09)	.593(-12)	.107(-11)	.130(-11)	.115(-11)
26					.843(-13)	.676(-12)	.975(-12)	.108(-11)	.145(-11)
27					.778(-14)	.745(-12)	.985(-12)	.129(-11)	.151(-11)
28						.757(-12)	.949(-12)	.132(-11)	.123(-11)
29						.101(-11)	.118(-11)	.131(-11)	.131(-11)
30						.358(-09)	.105(-11)	.156(-11)	.122(-11)
31						.273(-12)	.909(-12)	.134(-11)	.162(-11)
32						.400(-13)	.119(-11)	.152(-11)	.159(-11)
33						.523(-14)	.130(-11)	.173(-11)	.190(-11)
34							.201(-11)	.179(-11)	.156(-11)
35							.385(-09)	.166(-11)	.201(-11)
36							.547(-12)	.160(-11)	.206(-11)
37							.106(-12)	.176(-11)	.229(-11)
38							.151(-13)	.206(-11)	.258(-11)
39							.705(-14)	.348(-11)	.231(-11)
40								.405(-09)	.286(-11)
41								.145(-11)	.271(-11)
42								.170(-12)	.299(-11)
43								.562(-13)	.315(-11)
44								.338(-13)	.495(-11)
45								.539(-14)	.407(-09)
46								.000(-00)	.202(-11)
47								.234(-14)	.534(-12)
48									.230(-12)
49									.834(-13)
50									.506(-13)
51									.475(-14)
52									.880(-14)
53									.387(-14)
54									.000(-00)
55									.217(-14)

Virt&I-Comm.5.2014.11

Table LIX		QCT L2 NON REACTIVE					$T_{tr}=2000.$	$T_{rot}=2000.$	
v'	v	10	15	20	25	30	35	40	45
0		.000(-00)	.382(-13)	.806(-12)	.136(-11)	.139(-11)	.123(-11)	.855(-12)	.429(-12)
1		.290(-14)	.329(-12)	.917(-12)	.115(-11)	.111(-11)	.781(-12)	.937(-12)	.582(-12)
2		.412(-14)	.487(-12)	.763(-12)	.103(-11)	.923(-12)	.954(-12)	.945(-12)	.631(-12)
3		.158(-13)	.446(-12)	.763(-12)	.929(-12)	.858(-12)	.814(-12)	.823(-12)	.515(-12)
4		.676(-13)	.484(-12)	.701(-12)	.908(-12)	.920(-12)	.802(-12)	.840(-12)	.549(-12)
5		.110(-12)	.418(-12)	.708(-12)	.905(-12)	.801(-12)	.769(-12)	.640(-12)	.621(-12)
6		.155(-12)	.373(-12)	.655(-12)	.834(-12)	.105(-11)	.893(-12)	.747(-12)	.530(-12)
7		.233(-12)	.399(-12)	.665(-12)	.894(-12)	.937(-12)	.787(-12)	.835(-12)	.592(-12)
8		.239(-12)	.367(-12)	.672(-12)	.925(-12)	.934(-12)	.988(-12)	.544(-12)	.525(-12)
9		.507(-12)	.347(-12)	.636(-12)	.803(-12)	.911(-12)	.100(-11)	.677(-12)	.748(-12)
10		.325(-09)	.417(-12)	.553(-12)	.925(-12)	.101(-11)	.859(-12)	.692(-12)	.603(-12)
11		.256(-12)	.335(-12)	.600(-12)	.669(-12)	.100(-11)	.127(-11)	.132(-11)	.599(-12)
12		.183(-13)	.373(-12)	.694(-12)	.828(-12)	.982(-12)	.112(-11)	.823(-12)	.916(-12)
13		.105(-13)	.409(-12)	.653(-12)	.895(-12)	.137(-11)	.126(-11)	.946(-12)	.921(-12)
14		.157(-14)	.124(-11)	.706(-12)	.947(-12)	.133(-11)	.128(-11)	.103(-11)	.748(-12)
15			.304(-09)	.602(-12)	.859(-12)	.132(-11)	.125(-11)	.108(-11)	.961(-12)
16			.402(-12)	.593(-12)	.810(-12)	.936(-12)	.123(-11)	.990(-12)	.102(-11)
17			.521(-13)	.639(-12)	.104(-11)	.128(-11)	.126(-11)	.141(-11)	.935(-12)
18			.193(-13)	.851(-12)	.871(-12)	.141(-11)	.134(-11)	.122(-11)	.101(-11)
19			.601(-14)	.219(-11)	.914(-12)	.133(-11)	.124(-11)	.149(-11)	.121(-11)
20			.000(-00)	.346(-09)	.115(-11)	.137(-11)	.156(-11)	.152(-11)	.131(-11)
21			.000(-00)	.113(-11)	.110(-11)	.138(-11)	.138(-11)	.131(-11)	.117(-11)
22			.973(-15)	.139(-12)	.106(-11)	.158(-11)	.143(-11)	.163(-11)	.128(-11)
23				.399(-13)	.139(-11)	.139(-11)	.166(-11)	.188(-11)	.135(-11)
24				.149(-13)	.342(-11)	.140(-11)	.172(-11)	.153(-11)	.130(-11)
25				.000(-00)	.387(-09)	.154(-11)	.180(-11)	.197(-11)	.179(-11)
26				.458(-14)	.124(-11)	.144(-11)	.200(-11)	.190(-11)	.165(-11)
27				.102(-14)	.315(-12)	.206(-11)	.175(-11)	.199(-11)	.159(-11)
28					.756(-13)	.196(-11)	.197(-11)	.229(-11)	.219(-11)
29					.367(-13)	.482(-11)	.201(-11)	.218(-11)	.177(-11)
30					.236(-13)	.422(-09)	.215(-11)	.225(-11)	.220(-11)
31						.220(-11)	.214(-11)	.251(-11)	.227(-11)
32						.401(-12)	.254(-11)	.217(-11)	.312(-11)
33						.127(-12)	.287(-11)	.254(-11)	.279(-11)
34						.505(-13)	.654(-11)	.329(-11)	.267(-11)
35						.373(-13)	.445(-09)	.373(-11)	.291(-11)
36						.137(-13)	.394(-11)	.301(-11)	.294(-11)
37						.206(-14)	.660(-12)	.311(-11)	.342(-11)
38						.589(-14)	.389(-12)	.459(-11)	.351(-11)
39						.166(-14)	.852(-13)	.108(-10)	.372(-11)
40							.119(-12)	.468(-09)	.374(-11)
41							.534(-13)	.601(-11)	.374(-11)
42							.423(-13)	.129(-11)	.435(-11)
43							.709(-14)	.594(-12)	.559(-11)
44							.907(-14)	.399(-12)	.136(-10)
45							.183(-14)	.219(-12)	.473(-09)
46							.000(-00)	.844(-13)	.976(-11)
47							.266(-14)	.426(-13)	.231(-11)
48							.383(-14)	.507(-13)	.118(-11)
49							.309(-14)	.211(-13)	.733(-12)
50								.628(-14)	.521(-12)
51								.204(-13)	.318(-12)
52								.192(-13)	.214(-12)
53								.000(-00)	.196(-12)
54								.196(-14)	.106(-12)
55								.183(-14)	.780(-13)
56								.000(-00)	.516(-13)
57								.000(-00)	.242(-13)
58								.000(-00)	.299(-13)
59								.299(-14)	.179(-13)

Virt&I-Comm.5.2014.11

Table LX		QCT L2 NON REACTIVE					$T_{tr}=4000.$	$T_{rot}=4000.$	
v'	v	10	15	20	25	30	35	40	45
0		.326(-13)	.175(-12)	.130(-11)	.243(-11)	.231(-11)	.192(-11)	.150(-11)	.140(-11)
1		.788(-13)	.703(-12)	.172(-11)	.177(-11)	.201(-11)	.175(-11)	.118(-11)	.968(-12)
2		.163(-12)	.102(-11)	.158(-11)	.186(-11)	.159(-11)	.151(-11)	.142(-11)	.727(-12)
3		.264(-12)	.142(-11)	.173(-11)	.185(-11)	.186(-11)	.178(-11)	.117(-11)	.857(-12)
4		.390(-12)	.116(-11)	.151(-11)	.180(-11)	.147(-11)	.162(-11)	.108(-11)	.935(-12)
5		.574(-12)	.120(-11)	.137(-11)	.181(-11)	.150(-11)	.146(-11)	.943(-12)	.916(-12)
6		.873(-12)	.159(-11)	.184(-11)	.153(-11)	.175(-11)	.173(-11)	.872(-12)	.668(-12)
7		.125(-11)	.141(-11)	.133(-11)	.172(-11)	.152(-11)	.159(-11)	.144(-11)	.109(-11)
8		.188(-11)	.139(-11)	.172(-11)	.191(-11)	.147(-11)	.133(-11)	.140(-11)	.118(-11)
9		.648(-11)	.141(-11)	.152(-11)	.191(-11)	.179(-11)	.135(-11)	.114(-11)	.118(-11)
10		.414(-09)	.143(-11)	.166(-11)	.188(-11)	.164(-11)	.152(-11)	.145(-11)	.104(-11)
11		.376(-11)	.155(-11)	.160(-11)	.195(-11)	.203(-11)	.165(-11)	.145(-11)	.104(-11)
12		.676(-12)	.180(-11)	.172(-11)	.217(-11)	.182(-11)	.148(-11)	.152(-11)	.771(-12)
13		.228(-12)	.270(-11)	.140(-11)	.199(-11)	.224(-11)	.188(-11)	.152(-11)	.126(-11)
14		.742(-13)	.743(-11)	.160(-11)	.202(-11)	.182(-11)	.177(-11)	.165(-11)	.115(-11)
15		.687(-13)	.355(-09)	.176(-11)	.208(-11)	.174(-11)	.175(-11)	.192(-11)	.125(-11)
16		.228(-13)	.415(-11)	.186(-11)	.188(-11)	.186(-11)	.236(-11)	.171(-11)	.104(-11)
17		.265(-13)	.723(-12)	.204(-11)	.188(-11)	.228(-11)	.220(-11)	.179(-11)	.162(-11)
18		.239(-13)	.225(-12)	.291(-11)	.231(-11)	.244(-11)	.211(-11)	.171(-11)	.153(-11)
19		.000(-00)	.250(-12)	.955(-11)	.232(-11)	.243(-11)	.245(-11)	.180(-11)	.154(-11)
20		.000(-00)	.940(-13)	.389(-09)	.223(-11)	.227(-11)	.284(-11)	.217(-11)	.165(-11)
21		.000(-00)	.546(-13)	.706(-11)	.251(-11)	.241(-11)	.247(-11)	.188(-11)	.204(-11)
22		.125(-14)	.214(-13)	.100(-11)	.251(-11)	.216(-11)	.229(-11)	.212(-11)	.180(-11)
23			.398(-14)	.327(-12)	.441(-11)	.262(-11)	.256(-11)	.255(-11)	.172(-11)
24			.831(-14)	.334(-12)	.138(-10)	.345(-11)	.253(-11)	.298(-11)	.221(-11)
25			.616(-14)	.186(-12)	.428(-09)	.293(-11)	.247(-11)	.268(-11)	.187(-11)
26			.107(-13)	.102(-12)	.698(-11)	.302(-11)	.298(-11)	.290(-11)	.277(-11)
27				.644(-13)	.164(-11)	.361(-11)	.297(-11)	.310(-11)	.236(-11)
28				.256(-13)	.807(-12)	.551(-11)	.324(-11)	.275(-11)	.163(-11)
29				.126(-13)	.392(-12)	.168(-10)	.312(-11)	.320(-11)	.274(-11)
30				.115(-13)	.317(-12)	.467(-09)	.306(-11)	.340(-11)	.289(-11)
31				.193(-13)	.152(-12)	.119(-10)	.389(-11)	.353(-11)	.294(-11)
32				.620(-14)	.898(-13)	.289(-11)	.528(-11)	.331(-11)	.281(-11)
33				.109(-13)	.245(-13)	.110(-11)	.634(-11)	.385(-11)	.357(-11)
34				.000(-00)	.451(-13)	.710(-12)	.249(-10)	.397(-11)	.342(-11)
35				.689(-14)	.573(-13)	.445(-12)	.496(-09)	.370(-11)	.378(-11)
36				.453(-14)	.165(-13)	.180(-12)	.152(-10)	.494(-11)	.403(-11)
37					.444(-14)	.328(-12)	.395(-11)	.521(-11)	.471(-11)
38					.229(-13)	.115(-12)	.162(-11)	.903(-11)	.499(-11)
39					.000(-00)	.101(-12)	.870(-12)	.277(-10)	.537(-11)
40					.000(-00)	.528(-13)	.599(-12)	.532(-09)	.499(-11)
41					.000(-00)	.508(-13)	.454(-12)	.201(-10)	.507(-11)
42					.227(-14)	.606(-13)	.326(-12)	.538(-11)	.746(-11)
43					.634(-14)	.123(-13)	.246(-12)	.238(-11)	.101(-10)
44					.354(-14)	.201(-13)	.242(-12)	.179(-11)	.335(-10)
45					.000(-00)	.259(-13)	.168(-12)	.108(-11)	.555(-09)
46					.000(-00)	.517(-14)	.120(-12)	.102(-11)	.277(-10)
47					.458(-14)	.000(-00)	.566(-13)	.709(-12)	.738(-11)
48					.000(-00)	.954(-14)	.592(-13)	.530(-12)	.336(-11)
49					.000(-00)	.953(-14)	.359(-13)	.456(-12)	.301(-11)
50					.000(-00)	.396(-14)	.169(-13)	.189(-12)	.181(-11)
51					.000(-00)	.000(-00)	.251(-13)	.259(-12)	.122(-11)
52					.177(-14)	.304(-14)	.391(-13)	.198(-12)	.963(-12)
53							.688(-14)	.980(-13)	.941(-12)
54							.424(-14)	.219(-13)	.508(-12)
55							.000(-00)	.921(-13)	.488(-12)
56							.496(-14)	.665(-13)	.452(-12)
57							.000(-00)	.625(-13)	.240(-12)
58							.161(-13)	.448(-13)	.159(-12)
59								.133(-13)	.221(-12)

Virt&I-Comm.5.2014.11

Table LXI		QCT L2 REACTIVE				$T_{tr}= 500.$	$T_{rot}= 500.$		
v'	v	10	15	20	25	30	35	40	45
0		.000(-00)	.000(-00)	.354(-13)	.871(-13)	.113(-12)	.139(-12)	.993(-13)	.960(-13)
1		.000(-00)	.312(-14)	.188(-13)	.501(-13)	.136(-12)	.162(-12)	.183(-12)	.140(-12)
2		.000(-00)	.425(-14)	.133(-13)	.468(-13)	.584(-13)	.872(-13)	.162(-12)	.146(-12)
3		.000(-00)	.217(-14)	.137(-13)	.467(-13)	.743(-13)	.120(-12)	.147(-12)	.149(-12)
4		.000(-00)	.000(-00)	.703(-14)	.581(-13)	.775(-13)	.100(-12)	.954(-13)	.137(-12)
5		.000(-00)	.749(-14)	.127(-13)	.427(-13)	.105(-12)	.855(-13)	.167(-12)	.916(-13)
6		.000(-00)	.000(-00)	.113(-13)	.614(-13)	.105(-12)	.110(-12)	.134(-12)	.117(-12)
7		.000(-00)	.179(-14)	.295(-13)	.531(-13)	.103(-12)	.101(-12)	.132(-12)	.166(-12)
8		.000(-00)	.165(-14)	.286(-13)	.427(-13)	.104(-12)	.130(-12)	.159(-12)	.199(-12)
9		.000(-00)	.484(-14)	.153(-13)	.806(-13)	.979(-13)	.232(-12)	.174(-12)	.147(-12)
10		.000(-00)	.369(-14)	.259(-13)	.457(-13)	.155(-12)	.186(-12)	.217(-12)	.129(-12)
11			.222(-14)	.253(-13)	.611(-13)	.141(-12)	.255(-12)	.181(-12)	.196(-12)
12			.495(-14)	.260(-13)	.761(-13)	.144(-12)	.230(-12)	.291(-12)	.184(-12)
13			.469(-14)	.323(-13)	.951(-13)	.172(-12)	.214(-12)	.324(-12)	.225(-12)
14			.104(-13)	.302(-13)	.886(-13)	.184(-12)	.257(-12)	.215(-12)	.205(-12)
15			.353(-14)	.347(-13)	.128(-12)	.241(-12)	.266(-12)	.317(-12)	.197(-12)
16			.486(-15)	.432(-13)	.107(-12)	.210(-12)	.316(-12)	.327(-12)	.307(-12)
17				.606(-13)	.130(-12)	.260(-12)	.371(-12)	.376(-12)	.387(-12)
18				.705(-13)	.152(-12)	.259(-12)	.451(-12)	.439(-12)	.391(-12)
19				.614(-13)	.156(-12)	.337(-12)	.457(-12)	.453(-12)	.433(-12)
20				.402(-13)	.157(-12)	.311(-12)	.506(-12)	.545(-12)	.607(-12)
21				.251(-14)	.203(-12)	.345(-12)	.574(-12)	.621(-12)	.555(-12)
22				.973(-15)	.242(-12)	.387(-12)	.639(-12)	.636(-12)	.627(-12)
23					.287(-12)	.398(-12)	.721(-12)	.780(-12)	.607(-12)
24					.365(-12)	.473(-12)	.617(-12)	.788(-12)	.602(-12)
25					.262(-12)	.576(-12)	.686(-12)	.880(-12)	.798(-12)
26					.176(-13)	.675(-12)	.879(-12)	.101(-11)	.903(-12)
27						.809(-12)	.986(-12)	.126(-11)	.111(-11)
28						.872(-12)	.101(-11)	.126(-11)	.116(-11)
29						.116(-11)	.109(-11)	.116(-11)	.114(-11)
30						.810(-12)	.136(-11)	.144(-11)	.133(-11)
31						.649(-13)	.139(-11)	.175(-11)	.149(-11)
32						.000(-00)	.188(-11)	.178(-11)	.166(-11)
33						.667(-15)	.223(-11)	.191(-11)	.203(-11)
34							.276(-11)	.232(-11)	.196(-11)
35							.212(-11)	.265(-11)	.260(-11)
36							.216(-12)	.329(-11)	.282(-11)
37							.137(-13)	.389(-11)	.319(-11)
38								.504(-11)	.357(-11)
39								.584(-11)	.421(-11)
40								.465(-11)	.455(-11)
41								.610(-12)	.572(-11)
42								.617(-13)	.721(-11)
43								.624(-14)	.914(-11)
44								.000(-00)	.119(-10)
45								.129(-14)	.965(-11)
46									.191(-11)
47									.256(-12)
48									.389(-13)
49									.318(-14)
50									.112(-14)

Virt&I-Comm.5.2014.11

Table LXII		QCT L2 REACTIVE				$T_{tr}=1000.$	$T_{rot}=1000.$		
v'	v	10	15	20	25	30	35	40	45
0		.000(-00)	.276(-13)	.376(-12)	.610(-12)	.645(-12)	.459(-12)	.428(-12)	.300(-12)
1		.110(-14)	.107(-12)	.302(-12)	.349(-12)	.445(-12)	.556(-12)	.469(-12)	.260(-12)
2		.343(-14)	.121(-12)	.237(-12)	.330(-12)	.401(-12)	.337(-12)	.522(-12)	.447(-12)
3		.780(-14)	.979(-13)	.190(-12)	.368(-12)	.373(-12)	.356(-12)	.404(-12)	.345(-12)
4		.143(-13)	.130(-12)	.218(-12)	.323(-12)	.335(-12)	.425(-12)	.317(-12)	.212(-12)
5		.249(-13)	.773(-13)	.221(-12)	.299(-12)	.417(-12)	.434(-12)	.384(-12)	.331(-12)
6		.254(-13)	.978(-13)	.263(-12)	.334(-12)	.418(-12)	.446(-12)	.362(-12)	.340(-12)
7		.145(-13)	.131(-12)	.225(-12)	.485(-12)	.453(-12)	.410(-12)	.382(-12)	.233(-12)
8		.505(-13)	.109(-12)	.221(-12)	.447(-12)	.529(-12)	.528(-12)	.408(-12)	.343(-12)
9		.602(-13)	.151(-12)	.273(-12)	.467(-12)	.542(-12)	.532(-12)	.539(-12)	.272(-12)
10		.573(-13)	.137(-12)	.306(-12)	.529(-12)	.591(-12)	.649(-12)	.567(-12)	.447(-12)
11		.105(-13)	.189(-12)	.408(-12)	.608(-12)	.746(-12)	.672(-12)	.742(-12)	.443(-12)
12			.189(-12)	.416(-12)	.617(-12)	.668(-12)	.728(-12)	.595(-12)	.664(-12)
13			.274(-12)	.420(-12)	.643(-12)	.724(-12)	.818(-12)	.813(-12)	.468(-12)
14			.331(-12)	.438(-12)	.610(-12)	.811(-12)	.837(-12)	.732(-12)	.507(-12)
15			.285(-12)	.491(-12)	.720(-12)	.111(-11)	.933(-12)	.866(-12)	.672(-12)
16			.409(-13)	.643(-12)	.887(-12)	.113(-11)	.106(-11)	.927(-12)	.843(-12)
17			.190(-14)	.704(-12)	.105(-11)	.106(-11)	.114(-11)	.882(-12)	.813(-12)
18				.909(-12)	.109(-11)	.122(-11)	.121(-11)	.109(-11)	.890(-12)
19				.108(-11)	.105(-11)	.131(-11)	.137(-11)	.123(-11)	.910(-12)
20				.910(-12)	.114(-11)	.135(-11)	.126(-11)	.137(-11)	.105(-11)
21				.179(-12)	.155(-11)	.147(-11)	.166(-11)	.159(-11)	.121(-11)
22				.183(-13)	.159(-11)	.194(-11)	.178(-11)	.148(-11)	.120(-11)
23				.325(-14)	.223(-11)	.198(-11)	.214(-11)	.190(-11)	.128(-11)
24					.258(-11)	.214(-11)	.204(-11)	.196(-11)	.149(-11)
25					.215(-11)	.269(-11)	.238(-11)	.221(-11)	.155(-11)
26					.502(-12)	.305(-11)	.269(-11)	.250(-11)	.182(-11)
27					.615(-13)	.359(-11)	.268(-11)	.276(-11)	.233(-11)
28					.508(-14)	.443(-11)	.333(-11)	.262(-11)	.242(-11)
29						.484(-11)	.369(-11)	.318(-11)	.247(-11)
30						.410(-11)	.396(-11)	.370(-11)	.283(-11)
31						.979(-12)	.543(-11)	.429(-11)	.317(-11)
32						.191(-12)	.620(-11)	.443(-11)	.361(-11)
33						.198(-13)	.752(-11)	.535(-11)	.427(-11)
34						.284(-14)	.956(-11)	.632(-11)	.476(-11)
35						.122(-14)	.730(-11)	.649(-11)	.533(-11)
36							.225(-11)	.796(-11)	.563(-11)
37							.428(-12)	.101(-10)	.707(-11)
38							.106(-12)	.126(-10)	.758(-11)
39							.134(-13)	.147(-10)	.846(-11)
40							.423(-14)	.117(-10)	.103(-10)
41							.654(-14)	.494(-11)	.126(-10)
42								.115(-11)	.152(-10)
43								.273(-12)	.188(-10)
44								.863(-13)	.235(-10)
45								.257(-13)	.190(-10)
46								.144(-13)	.904(-11)
47								.609(-14)	.297(-11)
48									.890(-12)
49									.432(-12)
50									.114(-12)
51									.409(-13)
52									.224(-13)
53									.132(-13)
54									.437(-14)
55									.859(-14)

Virt&I-Comm.5.2014.11

Table LXIII		QCT L2 REACTIVE				$T_{tr}=2000.$		$T_{rot}=2000.$	
v'	v	10	15	20	25	30	35	40	45
0		.382(-14)	.140(-12)	.125(-11)	.202(-11)	.154(-11)	.152(-11)	.819(-12)	.551(-12)
1		.389(-13)	.640(-12)	.106(-11)	.142(-11)	.131(-11)	.138(-11)	.101(-11)	.620(-12)
2		.748(-13)	.748(-12)	.105(-11)	.127(-11)	.121(-11)	.106(-11)	.101(-11)	.743(-12)
3		.176(-12)	.818(-12)	.105(-11)	.107(-11)	.115(-11)	.128(-11)	.930(-12)	.568(-12)
4		.338(-12)	.782(-12)	.101(-11)	.117(-11)	.109(-11)	.957(-12)	.732(-12)	.660(-12)
5		.389(-12)	.757(-12)	.900(-12)	.121(-11)	.137(-11)	.927(-12)	.792(-12)	.688(-12)
6		.502(-12)	.810(-12)	.114(-11)	.114(-11)	.134(-11)	.119(-11)	.901(-12)	.675(-12)
7		.648(-12)	.936(-12)	.116(-11)	.142(-11)	.138(-11)	.110(-11)	.864(-12)	.689(-12)
8		.798(-12)	.107(-11)	.129(-11)	.152(-11)	.181(-11)	.119(-11)	.101(-11)	.721(-12)
9		.137(-11)	.104(-11)	.139(-11)	.165(-11)	.156(-11)	.143(-11)	.125(-11)	.809(-12)
10		.143(-11)	.119(-11)	.153(-11)	.174(-11)	.148(-11)	.114(-11)	.959(-12)	.971(-12)
11		.395(-12)	.148(-11)	.194(-11)	.171(-11)	.168(-11)	.131(-11)	.143(-11)	.100(-11)
12		.914(-13)	.171(-11)	.188(-11)	.191(-11)	.184(-11)	.160(-11)	.130(-11)	.119(-11)
13		.175(-13)	.230(-11)	.203(-11)	.208(-11)	.208(-11)	.189(-11)	.145(-11)	.124(-11)
14		.839(-14)	.309(-11)	.241(-11)	.225(-11)	.206(-11)	.215(-11)	.148(-11)	.129(-11)
15			.281(-11)	.262(-11)	.251(-11)	.233(-11)	.212(-11)	.186(-11)	.155(-11)
16			.104(-11)	.296(-11)	.268(-11)	.284(-11)	.218(-11)	.188(-11)	.155(-11)
17			.245(-12)	.359(-11)	.290(-11)	.308(-11)	.229(-11)	.180(-11)	.112(-11)
18			.546(-13)	.454(-11)	.365(-11)	.304(-11)	.250(-11)	.229(-11)	.146(-11)
19			.310(-13)	.503(-11)	.370(-11)	.365(-11)	.324(-11)	.249(-11)	.195(-11)
20			.848(-14)	.485(-11)	.455(-11)	.407(-11)	.346(-11)	.248(-11)	.220(-11)
21			.248(-14)	.185(-11)	.522(-11)	.449(-11)	.332(-11)	.259(-11)	.209(-11)
22			.380(-14)	.545(-12)	.627(-11)	.468(-11)	.449(-11)	.350(-11)	.243(-11)
23				.273(-12)	.775(-11)	.526(-11)	.422(-11)	.348(-11)	.306(-11)
24				.625(-13)	.845(-11)	.600(-11)	.470(-11)	.374(-11)	.252(-11)
25				.101(-13)	.698(-11)	.679(-11)	.560(-11)	.421(-11)	.297(-11)
26				.116(-13)	.333(-11)	.830(-11)	.657(-11)	.457(-11)	.354(-11)
27					.124(-11)	.891(-11)	.692(-11)	.560(-11)	.419(-11)
28					.369(-12)	.111(-10)	.728(-11)	.589(-11)	.410(-11)
29					.213(-12)	.123(-10)	.899(-11)	.600(-11)	.438(-11)
30					.473(-13)	.103(-10)	.101(-10)	.810(-11)	.539(-11)
31					.266(-13)	.582(-11)	.116(-10)	.761(-11)	.565(-11)
32					.593(-14)	.242(-11)	.145(-10)	.967(-11)	.602(-11)
33					.000(-00)	.911(-12)	.163(-10)	.106(-10)	.730(-11)
34					.113(-14)	.382(-12)	.184(-10)	.123(-10)	.825(-11)
35					.000(-00)	.172(-12)	.155(-10)	.132(-10)	.894(-11)
36					.000(-00)	.343(-13)	.892(-11)	.167(-10)	.106(-10)
37					.215(-14)	.294(-13)	.408(-11)	.193(-10)	.131(-10)
38						.123(-13)	.199(-11)	.225(-10)	.141(-10)
39						.000(-00)	.785(-12)	.238(-10)	.157(-10)
40						.238(-14)	.302(-12)	.217(-10)	.176(-10)
41						.214(-14)	.137(-12)	.127(-10)	.230(-10)
42						.521(-14)	.597(-13)	.691(-11)	.247(-10)
43							.431(-13)	.383(-11)	.300(-10)
44							.222(-13)	.162(-11)	.296(-10)
45							.131(-13)	.969(-12)	.293(-10)
46							.230(-14)	.441(-12)	.201(-10)
47							.152(-14)	.325(-12)	.116(-10)
48							.518(-14)	.157(-12)	.663(-11)
49							.524(-14)	.987(-13)	.397(-11)
50							.141(-14)	.584(-13)	.216(-11)
51							.143(-14)	.518(-13)	.157(-11)
52								.638(-13)	.846(-12)
53								.735(-14)	.554(-12)
54								.121(-13)	.296(-12)
55								.747(-14)	.168(-12)
56								.716(-14)	.899(-13)
57								.000(-00)	.823(-13)
58								.000(-00)	.254(-13)
59								.126(-13)	.301(-13)

Virt&I-Comm.5.2014.11

Table LXIV		QCT L2 REACTIVE				$T_{tr}=4000.$	$T_{rot}=4000.$		
v'	v	10	15	20	25	30	35	40	45
0		.185(-12)	.663(-12)	.224(-11)	.378(-11)	.348(-11)	.265(-11)	.156(-11)	.122(-11)
1		.403(-12)	.178(-11)	.290(-11)	.275(-11)	.238(-11)	.238(-11)	.151(-11)	.113(-11)
2		.772(-12)	.225(-11)	.218(-11)	.252(-11)	.245(-11)	.203(-11)	.133(-11)	.968(-12)
3		.125(-11)	.251(-11)	.252(-11)	.274(-11)	.241(-11)	.202(-11)	.157(-11)	.101(-11)
4		.170(-11)	.274(-11)	.297(-11)	.267(-11)	.218(-11)	.210(-11)	.133(-11)	.115(-11)
5		.231(-11)	.286(-11)	.312(-11)	.256(-11)	.225(-11)	.245(-11)	.139(-11)	.107(-11)
6		.274(-11)	.316(-11)	.318(-11)	.292(-11)	.254(-11)	.188(-11)	.145(-11)	.145(-11)
7		.383(-11)	.329(-11)	.335(-11)	.262(-11)	.312(-11)	.198(-11)	.137(-11)	.132(-11)
8		.511(-11)	.387(-11)	.411(-11)	.321(-11)	.316(-11)	.257(-11)	.164(-11)	.132(-11)
9		.719(-11)	.451(-11)	.411(-11)	.344(-11)	.304(-11)	.249(-11)	.221(-11)	.132(-11)
10		.757(-11)	.482(-11)	.436(-11)	.392(-11)	.328(-11)	.261(-11)	.246(-11)	.121(-11)
11		.426(-11)	.604(-11)	.517(-11)	.402(-11)	.336(-11)	.295(-11)	.225(-11)	.130(-11)
12		.192(-11)	.712(-11)	.503(-11)	.426(-11)	.424(-11)	.292(-11)	.234(-11)	.145(-11)
13		.714(-12)	.849(-11)	.606(-11)	.458(-11)	.371(-11)	.315(-11)	.312(-11)	.190(-11)
14		.298(-12)	.973(-11)	.654(-11)	.519(-11)	.431(-11)	.403(-11)	.259(-11)	.191(-11)
15		.176(-12)	.865(-11)	.721(-11)	.636(-11)	.482(-11)	.358(-11)	.332(-11)	.180(-11)
16		.141(-12)	.577(-11)	.929(-11)	.713(-11)	.524(-11)	.471(-11)	.297(-11)	.233(-11)
17		.254(-13)	.302(-11)	.104(-10)	.740(-11)	.592(-11)	.481(-11)	.343(-11)	.242(-11)
18		.263(-13)	.131(-11)	.120(-10)	.841(-11)	.617(-11)	.547(-11)	.352(-11)	.221(-11)
19		.825(-14)	.658(-12)	.133(-10)	.968(-11)	.703(-11)	.548(-11)	.412(-11)	.235(-11)
20		.157(-14)	.442(-12)	.116(-10)	.106(-10)	.772(-11)	.608(-11)	.394(-11)	.399(-11)
21		.538(-14)	.230(-12)	.812(-11)	.120(-10)	.847(-11)	.563(-11)	.553(-11)	.330(-11)
22		.466(-14)	.883(-13)	.494(-11)	.133(-10)	.100(-10)	.740(-11)	.498(-11)	.444(-11)
23		.443(-14)	.862(-13)	.212(-11)	.165(-10)	.106(-10)	.838(-11)	.576(-11)	.427(-11)
24			.426(-13)	.118(-11)	.173(-10)	.122(-10)	.835(-11)	.677(-11)	.482(-11)
25			.226(-13)	.719(-12)	.155(-10)	.137(-10)	.101(-10)	.696(-11)	.547(-11)
26			.633(-14)	.445(-12)	.107(-10)	.166(-10)	.121(-10)	.721(-11)	.596(-11)
27			.470(-14)	.283(-12)	.647(-11)	.184(-10)	.128(-10)	.877(-11)	.650(-11)
28			.165(-14)	.138(-12)	.399(-11)	.201(-10)	.143(-10)	.103(-10)	.668(-11)
29			.912(-14)	.477(-13)	.215(-11)	.212(-10)	.162(-10)	.115(-10)	.750(-11)
30				.310(-13)	.104(-11)	.204(-10)	.200(-10)	.131(-10)	.858(-11)
31				.377(-13)	.910(-12)	.136(-10)	.205(-10)	.140(-10)	.891(-11)
32				.000(-00)	.396(-12)	.892(-11)	.230(-10)	.163(-10)	.982(-11)
33				.736(-14)	.383(-12)	.585(-11)	.252(-10)	.177(-10)	.112(-10)
34				.393(-14)	.129(-12)	.431(-11)	.237(-10)	.208(-10)	.130(-10)
35				.326(-14)	.976(-13)	.254(-11)	.232(-10)	.242(-10)	.139(-10)
36				.000(-00)	.359(-13)	.150(-11)	.169(-10)	.259(-10)	.169(-10)
37				.158(-14)	.537(-13)	.824(-12)	.128(-10)	.309(-10)	.205(-10)
38				.867(-14)	.298(-13)	.601(-12)	.855(-11)	.300(-10)	.215(-10)
39				.000(-00)	.373(-13)	.310(-12)	.619(-11)	.287(-10)	.251(-10)
40				.000(-00)	.000(-00)	.232(-12)	.333(-11)	.293(-10)	.261(-10)
41				.000(-00)	.609(-14)	.210(-12)	.299(-11)	.232(-10)	.304(-10)
42				.000(-00)	.271(-13)	.173(-12)	.204(-11)	.177(-10)	.339(-10)
43				.000(-00)	.563(-14)	.792(-13)	.146(-11)	.119(-10)	.337(-10)
44				.000(-00)	.234(-14)	.809(-13)	.746(-12)	.815(-11)	.362(-10)
45				.589(-14)	.000(-00)	.323(-13)	.543(-12)	.671(-11)	.308(-10)
46					.258(-14)	.550(-13)	.602(-12)	.461(-11)	.282(-10)
47					.683(-14)	.136(-13)	.341(-12)	.297(-11)	.220(-10)
48					.000(-00)	.399(-14)	.213(-12)	.195(-11)	.179(-10)
49					.263(-14)	.217(-14)	.163(-12)	.149(-11)	.122(-10)
50					.000(-00)	.458(-14)	.165(-12)	.127(-11)	.775(-11)
51					.000(-00)	.804(-14)	.128(-12)	.820(-12)	.537(-11)
52					.000(-00)	.000(-00)	.858(-13)	.557(-12)	.422(-11)
53					.000(-00)	.423(-14)	.313(-13)	.346(-12)	.279(-11)
54					.000(-00)	.375(-14)	.190(-13)	.218(-12)	.210(-11)
55					.000(-00)	.336(-14)	.117(-13)	.174(-12)	.118(-11)
56					.184(-14)	.000(-00)	.373(-14)	.119(-12)	.116(-11)
57						.328(-14)	.131(-13)	.123(-12)	.783(-12)
58							.000(-00)	.963(-13)	.485(-12)
59							.182(-13)	.498(-13)	.419(-12)

Virt&I-Comm.5.2014.11

Table LXV		QCT L3 NON REACTIVE						$T_{tr}= 500.$	$T_{rot}= 500.$
v'	v	10	15	20	25	30	35	40	45
0		.000(-00)	.320(-14)	.581(-13)	.132(-12)	.163(-12)	.122(-12)	.127(-12)	.163(-12)
1		.000(-00)	.714(-14)	.260(-13)	.661(-13)	.110(-12)	.167(-12)	.164(-12)	.139(-12)
2		.000(-00)	.413(-14)	.303(-13)	.571(-13)	.907(-13)	.210(-12)	.181(-12)	.126(-12)
3		.000(-00)	.226(-14)	.113(-13)	.606(-13)	.140(-12)	.960(-13)	.201(-12)	.138(-12)
4		.000(-00)	.114(-14)	.260(-13)	.731(-13)	.119(-12)	.169(-12)	.149(-12)	.153(-12)
5		.000(-00)	.152(-14)	.230(-13)	.519(-13)	.136(-12)	.732(-13)	.140(-12)	.121(-12)
6		.000(-00)	.514(-14)	.216(-13)	.525(-13)	.118(-12)	.123(-12)	.174(-12)	.136(-12)
7		.719(-15)	.585(-14)	.270(-13)	.661(-13)	.117(-12)	.127(-12)	.126(-12)	.106(-12)
8		.000(-00)	.652(-14)	.311(-13)	.661(-13)	.128(-12)	.183(-12)	.147(-12)	.134(-12)
9		.000(-00)	.209(-14)	.393(-13)	.705(-13)	.154(-12)	.206(-12)	.189(-12)	.175(-12)
10		.166(-09)	.194(-14)	.230(-13)	.545(-13)	.179(-12)	.188(-12)	.137(-12)	.147(-12)
11			.592(-14)	.211(-13)	.754(-13)	.174(-12)	.165(-12)	.199(-12)	.258(-12)
12			.454(-14)	.295(-13)	.758(-13)	.162(-12)	.263(-12)	.232(-12)	.189(-12)
13			.844(-14)	.235(-13)	.847(-13)	.131(-12)	.236(-12)	.288(-12)	.287(-12)
14			.409(-14)	.206(-13)	.976(-13)	.174(-12)	.267(-12)	.317(-12)	.224(-12)
15			.166(-09)	.159(-13)	.915(-13)	.193(-12)	.272(-12)	.348(-12)	.219(-12)
16			.793(-15)	.373(-13)	.108(-12)	.158(-12)	.337(-12)	.385(-12)	.343(-12)
17				.223(-13)	.721(-13)	.180(-12)	.375(-12)	.326(-12)	.352(-12)
18				.163(-13)	.103(-12)	.202(-12)	.430(-12)	.449(-12)	.499(-12)
19				.307(-13)	.758(-13)	.187(-12)	.381(-12)	.497(-12)	.561(-12)
20				.203(-09)	.119(-12)	.226(-12)	.469(-12)	.513(-12)	.422(-12)
21				.314(-14)	.123(-12)	.242(-12)	.367(-12)	.485(-12)	.444(-12)
22					.115(-12)	.210(-12)	.520(-12)	.538(-12)	.492(-12)
23					.106(-12)	.246(-12)	.371(-12)	.509(-12)	.647(-12)
24					.903(-13)	.200(-12)	.536(-12)	.642(-12)	.576(-12)
25					.241(-09)	.255(-12)	.527(-12)	.694(-12)	.608(-12)
26					.377(-14)	.272(-12)	.496(-12)	.632(-12)	.748(-12)
27					.710(-15)	.274(-12)	.569(-12)	.709(-12)	.794(-12)
28						.314(-12)	.477(-12)	.826(-12)	.834(-12)
29						.270(-12)	.448(-12)	.943(-12)	.104(-11)
30						.276(-09)	.609(-12)	.930(-12)	.914(-12)
31						.168(-13)	.559(-12)	.872(-12)	.119(-11)
32							.508(-12)	.106(-11)	.125(-11)
33							.594(-12)	.967(-12)	.122(-11)
34							.664(-12)	.108(-11)	.136(-11)
35							.303(-09)	.100(-11)	.155(-11)
36							.429(-13)	.950(-12)	.154(-11)
37							.458(-14)	.101(-11)	.148(-11)
38								.111(-11)	.155(-11)
39								.131(-11)	.166(-11)
40								.323(-09)	.179(-11)
41								.173(-12)	.194(-11)
42								.318(-14)	.181(-11)
43									.230(-11)
44									.226(-11)
45									.325(-09)
46									.293(-12)
47									.604(-13)
48									.424(-14)
49									.995(-15)

Virt&I-Comm.5.2014.11

Table LXVI		QCT L3 NON REACTIVE					$T_{tr}=1000.$	$T_{rot}=1000.$	
v'	v	10	15	20	25	30	35	40	45
0		.000(-00)	.445(-13)	.431(-12)	.620(-12)	.703(-12)	.400(-12)	.451(-12)	.380(-12)
1		.000(-00)	.175(-12)	.287(-12)	.396(-12)	.594(-12)	.527(-12)	.534(-12)	.275(-12)
2		.122(-14)	.114(-12)	.230(-12)	.366(-12)	.360(-12)	.535(-12)	.531(-12)	.315(-12)
3		.109(-13)	.903(-13)	.197(-12)	.384(-12)	.367(-12)	.479(-12)	.422(-12)	.317(-12)
4		.450(-13)	.860(-13)	.189(-12)	.482(-12)	.483(-12)	.362(-12)	.353(-12)	.302(-12)
5		.214(-13)	.858(-13)	.216(-12)	.337(-12)	.410(-12)	.527(-12)	.383(-12)	.296(-12)
6		.229(-13)	.106(-12)	.224(-12)	.368(-12)	.416(-12)	.350(-12)	.462(-12)	.508(-12)
7		.200(-13)	.647(-13)	.229(-12)	.347(-12)	.408(-12)	.431(-12)	.525(-12)	.456(-12)
8		.249(-13)	.743(-13)	.206(-12)	.337(-12)	.496(-12)	.542(-12)	.440(-12)	.371(-12)
9		.403(-13)	.935(-13)	.232(-12)	.408(-12)	.433(-12)	.608(-12)	.451(-12)	.374(-12)
10		.235(-09)	.836(-13)	.171(-12)	.324(-12)	.495(-12)	.488(-12)	.517(-12)	.329(-12)
11		.236(-14)	.866(-13)	.240(-12)	.337(-12)	.489(-12)	.594(-12)	.500(-12)	.552(-12)
12			.733(-13)	.172(-12)	.381(-12)	.559(-12)	.551(-12)	.592(-12)	.482(-12)
13			.106(-12)	.159(-12)	.485(-12)	.621(-12)	.730(-12)	.736(-12)	.690(-12)
14			.113(-12)	.276(-12)	.424(-12)	.700(-12)	.710(-12)	.765(-12)	.596(-12)
15			.230(-09)	.205(-12)	.333(-12)	.679(-12)	.772(-12)	.913(-12)	.491(-12)
16			.192(-13)	.254(-12)	.363(-12)	.722(-12)	.712(-12)	.741(-12)	.571(-12)
17				.252(-12)	.495(-12)	.666(-12)	.908(-12)	.897(-12)	.621(-12)
18				.223(-12)	.490(-12)	.696(-12)	.923(-12)	.926(-12)	.763(-12)
19				.391(-12)	.477(-12)	.884(-12)	.830(-12)	.828(-12)	.841(-12)
20				.271(-09)	.568(-12)	.637(-12)	.100(-11)	.115(-11)	.976(-12)
21				.272(-13)	.499(-12)	.871(-12)	.931(-12)	.124(-11)	.103(-11)
22				.000(-00)	.405(-12)	.717(-12)	.106(-11)	.114(-11)	.928(-12)
23				.422(-14)	.519(-12)	.887(-12)	.117(-11)	.106(-11)	.105(-11)
24					.658(-12)	.826(-12)	.112(-11)	.128(-11)	.134(-11)
25					.310(-09)	.100(-11)	.133(-11)	.132(-11)	.133(-11)
26					.129(-12)	.717(-12)	.115(-11)	.131(-11)	.146(-11)
27					.900(-14)	.826(-12)	.118(-11)	.155(-11)	.141(-11)
28						.920(-12)	.121(-11)	.157(-11)	.149(-11)
29						.137(-11)	.142(-11)	.172(-11)	.155(-11)
30						.342(-09)	.132(-11)	.166(-11)	.184(-11)
31						.365(-12)	.140(-11)	.178(-11)	.213(-11)
32						.351(-13)	.147(-11)	.203(-11)	.219(-11)
33						.565(-14)	.148(-11)	.182(-11)	.191(-11)
34							.291(-11)	.181(-11)	.216(-11)
35							.363(-09)	.230(-11)	.252(-11)
36							.655(-12)	.217(-11)	.257(-11)
37							.102(-12)	.207(-11)	.230(-11)
38							.267(-13)	.303(-11)	.271(-11)
39							.945(-14)	.373(-11)	.287(-11)
40								.378(-09)	.271(-11)
41								.178(-11)	.309(-11)
42								.323(-12)	.335(-11)
43								.641(-13)	.342(-11)
44								.223(-13)	.626(-11)
45								.709(-14)	.374(-09)
46								.000(-00)	.252(-11)
47								.234(-14)	.598(-12)
48									.145(-12)
49									.101(-12)
50									.660(-13)
51									.233(-13)
52									.454(-14)
53									.240(-14)
54									.000(-00)
55									.217(-14)

Virt&I-Comm.5.2014.11

Table LXVII		QCT L3 NON REACTIVE					$T_{tr}=2000.$	$T_{rot}=2000.$	
v'	v	10	15	20	25	30	35	40	45
0		.210(-14)	.179(-12)	.140(-11)	.191(-11)	.203(-11)	.153(-11)	.113(-11)	.749(-12)
1		.579(-14)	.598(-12)	.107(-11)	.127(-11)	.144(-11)	.134(-11)	.751(-12)	.647(-12)
2		.195(-13)	.589(-12)	.961(-12)	.108(-11)	.935(-12)	.955(-12)	.948(-12)	.771(-12)
3		.124(-12)	.641(-12)	.981(-12)	.983(-12)	.946(-12)	.963(-12)	.752(-12)	.375(-12)
4		.232(-12)	.633(-12)	.951(-12)	.147(-11)	.988(-12)	.102(-11)	.844(-12)	.672(-12)
5		.301(-12)	.535(-12)	.823(-12)	.109(-11)	.925(-12)	.903(-12)	.721(-12)	.606(-12)
6		.292(-12)	.556(-12)	.664(-12)	.841(-12)	.997(-12)	.947(-12)	.970(-12)	.490(-12)
7		.329(-12)	.542(-12)	.856(-12)	.991(-12)	.102(-11)	.934(-12)	.713(-12)	.795(-12)
8		.472(-12)	.582(-12)	.729(-12)	.102(-11)	.117(-11)	.866(-12)	.840(-12)	.731(-12)
9		.619(-12)	.589(-12)	.661(-12)	.111(-11)	.896(-12)	.117(-11)	.116(-11)	.563(-12)
10		.321(-09)	.436(-12)	.729(-12)	.102(-11)	.118(-11)	.102(-11)	.114(-11)	.761(-12)
11		.255(-12)	.407(-12)	.744(-12)	.113(-11)	.114(-11)	.139(-11)	.829(-12)	.595(-12)
12		.431(-13)	.589(-12)	.781(-12)	.104(-11)	.134(-11)	.119(-11)	.735(-12)	.898(-12)
13		.830(-14)	.733(-12)	.779(-12)	.103(-11)	.118(-11)	.155(-11)	.112(-11)	.831(-12)
14		.405(-14)	.132(-11)	.949(-12)	.109(-11)	.128(-11)	.129(-11)	.915(-12)	.111(-11)
15			.295(-09)	.773(-12)	.106(-11)	.133(-11)	.139(-11)	.121(-11)	.137(-11)
16			.464(-12)	.846(-12)	.128(-11)	.165(-11)	.183(-11)	.121(-11)	.123(-11)
17			.668(-13)	.939(-12)	.129(-11)	.143(-11)	.124(-11)	.124(-11)	.154(-11)
18			.260(-13)	.116(-11)	.118(-11)	.163(-11)	.138(-11)	.193(-11)	.129(-11)
19			.315(-14)	.255(-11)	.120(-11)	.144(-11)	.194(-11)	.155(-11)	.107(-11)
20			.000(-00)	.331(-09)	.142(-11)	.154(-11)	.188(-11)	.186(-11)	.152(-11)
21			.973(-15)	.116(-11)	.138(-11)	.165(-11)	.192(-11)	.183(-11)	.132(-11)
22				.208(-12)	.124(-11)	.146(-11)	.188(-11)	.193(-11)	.131(-11)
23				.376(-13)	.152(-11)	.165(-11)	.197(-11)	.221(-11)	.154(-11)
24				.135(-13)	.405(-11)	.176(-11)	.216(-11)	.207(-11)	.165(-11)
25				.341(-14)	.366(-09)	.192(-11)	.226(-11)	.198(-11)	.167(-11)
26				.278(-14)	.175(-11)	.183(-11)	.187(-11)	.245(-11)	.201(-11)
27					.236(-12)	.235(-11)	.241(-11)	.224(-11)	.172(-11)
28					.141(-12)	.275(-11)	.251(-11)	.336(-11)	.218(-11)
29					.458(-13)	.568(-11)	.216(-11)	.325(-11)	.216(-11)
30					.278(-13)	.395(-09)	.248(-11)	.246(-11)	.262(-11)
31					.000(-00)	.275(-11)	.279(-11)	.238(-11)	.266(-11)
32					.310(-14)	.514(-12)	.289(-11)	.289(-11)	.228(-11)
33						.240(-12)	.369(-11)	.306(-11)	.309(-11)
34						.683(-13)	.702(-11)	.304(-11)	.349(-11)
35						.278(-13)	.416(-09)	.326(-11)	.322(-11)
36						.297(-14)	.474(-11)	.292(-11)	.377(-11)
37						.113(-13)	.807(-12)	.409(-11)	.334(-11)
38						.384(-14)	.409(-12)	.497(-11)	.362(-11)
39						.371(-14)	.154(-12)	.111(-10)	.402(-11)
40							.815(-13)	.436(-09)	.362(-11)
41							.749(-13)	.627(-11)	.418(-11)
42							.251(-13)	.146(-11)	.458(-11)
43							.161(-13)	.652(-12)	.711(-11)
44							.000(-00)	.353(-12)	.138(-10)
45							.266(-14)	.116(-12)	.438(-09)
46							.000(-00)	.109(-12)	.114(-10)
47							.383(-14)	.827(-13)	.250(-11)
48							.471(-14)	.480(-13)	.114(-11)
49								.212(-13)	.815(-12)
50								.200(-13)	.432(-12)
51								.153(-13)	.436(-12)
52								.997(-14)	.167(-12)
53								.122(-13)	.176(-12)
54								.000(-00)	.140(-12)
55								.692(-14)	.726(-13)
56								.000(-00)	.561(-13)
57								.299(-14)	.476(-13)
58									.147(-13)
59									.379(-14)

Virt&I-Comm.5.2014.11

Table LXVIII		QCT L3 NON REACTIVE					$T_{tr}=4000.$	$T_{rot}=4000.$	
v'	v	10	15	20	25	30	35	40	45
0		.386(-13)	.472(-12)	.177(-11)	.309(-11)	.303(-11)	.238(-11)	.158(-11)	.102(-11)
1		.101(-12)	.133(-11)	.192(-11)	.230(-11)	.251(-11)	.147(-11)	.156(-11)	.956(-12)
2		.288(-12)	.158(-11)	.172(-11)	.233(-11)	.221(-11)	.199(-11)	.152(-11)	.946(-12)
3		.400(-12)	.141(-11)	.204(-11)	.220(-11)	.207(-11)	.149(-11)	.155(-11)	.840(-12)
4		.998(-12)	.152(-11)	.177(-11)	.219(-11)	.168(-11)	.131(-11)	.130(-11)	.108(-11)
5		.864(-12)	.156(-11)	.217(-11)	.199(-11)	.183(-11)	.178(-11)	.921(-12)	.764(-12)
6		.115(-11)	.181(-11)	.195(-11)	.157(-11)	.177(-11)	.166(-11)	.118(-11)	.699(-12)
7		.170(-11)	.147(-11)	.181(-11)	.215(-11)	.148(-11)	.157(-11)	.184(-11)	.876(-12)
8		.303(-11)	.182(-11)	.204(-11)	.200(-11)	.161(-11)	.150(-11)	.103(-11)	.102(-11)
9		.718(-11)	.161(-11)	.199(-11)	.200(-11)	.204(-11)	.208(-11)	.145(-11)	.822(-12)
10		.401(-09)	.175(-11)	.184(-11)	.221(-11)	.191(-11)	.188(-11)	.116(-11)	.130(-11)
11		.413(-11)	.167(-11)	.191(-11)	.197(-11)	.197(-11)	.174(-11)	.167(-11)	.137(-11)
12		.788(-12)	.205(-11)	.181(-11)	.242(-11)	.197(-11)	.202(-11)	.177(-11)	.150(-11)
13		.392(-12)	.343(-11)	.217(-11)	.210(-11)	.187(-11)	.214(-11)	.199(-11)	.144(-11)
14		.165(-12)	.802(-11)	.222(-11)	.211(-11)	.175(-11)	.199(-11)	.193(-11)	.115(-11)
15		.484(-13)	.337(-09)	.202(-11)	.219(-11)	.192(-11)	.192(-11)	.137(-11)	.118(-11)
16		.424(-13)	.436(-11)	.219(-11)	.238(-11)	.222(-11)	.252(-11)	.168(-11)	.127(-11)
17		.147(-13)	.113(-11)	.246(-11)	.256(-11)	.234(-11)	.265(-11)	.200(-11)	.210(-11)
18		.733(-14)	.370(-12)	.396(-11)	.231(-11)	.216(-11)	.236(-11)	.246(-11)	.166(-11)
19		.000(-00)	.171(-12)	.113(-10)	.275(-11)	.205(-11)	.264(-11)	.309(-11)	.181(-11)
20		.000(-00)	.740(-13)	.365(-09)	.262(-11)	.299(-11)	.260(-11)	.195(-11)	.210(-11)
21		.125(-14)	.373(-13)	.757(-11)	.256(-11)	.287(-11)	.247(-11)	.223(-11)	.193(-11)
22			.352(-13)	.152(-11)	.341(-11)	.307(-11)	.297(-11)	.180(-11)	.162(-11)
23			.903(-14)	.533(-12)	.629(-11)	.299(-11)	.357(-11)	.258(-11)	.206(-11)
24			.421(-14)	.287(-12)	.147(-10)	.296(-11)	.305(-11)	.265(-11)	.183(-11)
25			.569(-14)	.147(-12)	.400(-09)	.332(-11)	.262(-11)	.305(-11)	.206(-11)
26			.627(-14)	.126(-12)	.884(-11)	.338(-11)	.299(-11)	.317(-11)	.229(-11)
27			.855(-14)	.620(-13)	.154(-11)	.438(-11)	.337(-11)	.361(-11)	.265(-11)
28				.291(-13)	.703(-12)	.650(-11)	.340(-11)	.254(-11)	.252(-11)
29				.302(-13)	.406(-12)	.212(-10)	.344(-11)	.299(-11)	.260(-11)
30				.113(-13)	.311(-12)	.434(-09)	.310(-11)	.384(-11)	.322(-11)
31				.117(-13)	.206(-12)	.130(-10)	.455(-11)	.366(-11)	.327(-11)
32				.000(-00)	.695(-13)	.415(-11)	.468(-11)	.382(-11)	.354(-11)
33				.205(-13)	.105(-12)	.119(-11)	.849(-11)	.571(-11)	.289(-11)
34				.325(-14)	.474(-13)	.679(-12)	.256(-10)	.432(-11)	.359(-11)
35				.000(-00)	.383(-13)	.418(-12)	.464(-09)	.444(-11)	.388(-11)
36				.453(-14)	.285(-13)	.342(-12)	.159(-10)	.539(-11)	.410(-11)
37					.237(-13)	.223(-12)	.412(-11)	.582(-11)	.397(-11)
38					.207(-13)	.138(-12)	.169(-11)	.101(-10)	.564(-11)
39					.201(-14)	.922(-13)	.130(-11)	.265(-10)	.506(-11)
40					.227(-14)	.687(-13)	.702(-12)	.501(-09)	.489(-11)
41					.108(-13)	.854(-13)	.629(-12)	.201(-10)	.544(-11)
42					.000(-00)	.551(-13)	.372(-12)	.517(-11)	.848(-11)
43					.354(-14)	.347(-13)	.259(-12)	.222(-11)	.113(-10)
44					.458(-14)	.255(-13)	.299(-12)	.179(-11)	.304(-10)
45					.000(-00)	.491(-14)	.119(-12)	.142(-11)	.524(-09)
46					.000(-00)	.196(-13)	.106(-12)	.836(-12)	.278(-10)
47					.000(-00)	.497(-14)	.109(-12)	.777(-12)	.756(-11)
48					.000(-00)	.455(-14)	.624(-13)	.526(-12)	.484(-11)
49					.000(-00)	.000(-00)	.286(-13)	.369(-12)	.303(-11)
50					.177(-14)	.298(-14)	.341(-13)	.329(-12)	.165(-11)
51						.000(-00)	.387(-13)	.174(-12)	.163(-11)
52						.304(-14)	.183(-13)	.125(-12)	.118(-11)
53						.283(-14)	.000(-00)	.163(-12)	.854(-12)
54							.643(-14)	.600(-13)	.520(-12)
55							.992(-14)	.487(-13)	.397(-12)
56							.396(-13)	.546(-13)	.423(-12)
57							.217(-13)	.674(-13)	.302(-12)
58								.400(-13)	.151(-12)
59									.132(-12)

Virt&I-Comm.5.2014.11

Table LXIX		QCT L3 REACTIVE				$T_{lr}= 500.$	$T_{rot}= 500.$		
v'	v	10	15	20	25	30	35	40	45
0		.000(-00)	.893(-14)	.594(-13)	.117(-12)	.112(-12)	.130(-12)	.134(-12)	.103(-12)
1		.000(-00)	.160(-13)	.318(-13)	.744(-13)	.147(-12)	.219(-12)	.185(-12)	.167(-12)
2		.584(-15)	.924(-14)	.259(-13)	.773(-13)	.161(-12)	.111(-12)	.199(-12)	.177(-12)
3		.000(-00)	.811(-14)	.410(-13)	.708(-13)	.115(-12)	.133(-12)	.201(-12)	.140(-12)
4		.700(-15)	.875(-14)	.444(-13)	.640(-13)	.186(-12)	.147(-12)	.182(-12)	.206(-12)
5		.494(-15)	.809(-14)	.444(-13)	.830(-13)	.140(-12)	.137(-12)	.181(-12)	.180(-12)
6		.000(-00)	.108(-13)	.245(-13)	.831(-13)	.959(-13)	.179(-12)	.208(-12)	.142(-12)
7		.445(-15)	.614(-14)	.299(-13)	.973(-13)	.155(-12)	.224(-12)	.223(-12)	.150(-12)
8		.139(-14)	.556(-14)	.565(-13)	.919(-13)	.155(-12)	.189(-12)	.170(-12)	.192(-12)
9		.486(-15)	.101(-13)	.412(-13)	.964(-13)	.197(-12)	.178(-12)	.241(-12)	.167(-12)
10		.187(-14)	.121(-13)	.673(-13)	.128(-12)	.185(-12)	.220(-12)	.237(-12)	.190(-12)
11			.931(-14)	.543(-13)	.128(-12)	.216(-12)	.283(-12)	.326(-12)	.216(-12)
12			.101(-13)	.671(-13)	.155(-12)	.284(-12)	.395(-12)	.309(-12)	.246(-12)
13			.174(-13)	.704(-13)	.167(-12)	.327(-12)	.400(-12)	.341(-12)	.244(-12)
14			.272(-13)	.773(-13)	.203(-12)	.278(-12)	.350(-12)	.401(-12)	.297(-12)
15			.185(-13)	.843(-13)	.203(-12)	.340(-12)	.403(-12)	.330(-12)	.261(-12)
16			.114(-14)	.104(-12)	.233(-12)	.386(-12)	.479(-12)	.448(-12)	.387(-12)
17				.117(-12)	.239(-12)	.334(-12)	.563(-12)	.468(-12)	.392(-12)
18				.135(-12)	.268(-12)	.471(-12)	.614(-12)	.575(-12)	.404(-12)
19				.152(-12)	.280(-12)	.446(-12)	.538(-12)	.542(-12)	.433(-12)
20				.154(-12)	.364(-12)	.486(-12)	.676(-12)	.701(-12)	.618(-12)
21				.962(-14)	.384(-12)	.637(-12)	.758(-12)	.659(-12)	.625(-12)
22					.436(-12)	.654(-12)	.739(-12)	.903(-12)	.649(-12)
23					.580(-12)	.712(-12)	.758(-12)	.957(-12)	.732(-12)
24					.673(-12)	.800(-12)	.931(-12)	.108(-11)	.102(-11)
25					.487(-12)	.871(-12)	.115(-11)	.109(-11)	.985(-12)
26					.356(-13)	.966(-12)	.127(-11)	.106(-11)	.115(-11)
27						.112(-11)	.124(-11)	.133(-11)	.130(-11)
28						.137(-11)	.159(-11)	.134(-11)	.115(-11)
29						.186(-11)	.161(-11)	.167(-11)	.132(-11)
30						.118(-11)	.187(-11)	.181(-11)	.179(-11)
31						.867(-13)	.207(-11)	.224(-11)	.188(-11)
32						.107(-14)	.251(-11)	.220(-11)	.212(-11)
33						.667(-15)	.300(-11)	.269(-11)	.246(-11)
34							.392(-11)	.297(-11)	.282(-11)
35							.269(-11)	.363(-11)	.291(-11)
36							.284(-12)	.456(-11)	.314(-11)
37							.181(-13)	.489(-11)	.376(-11)
38								.591(-11)	.427(-11)
39								.787(-11)	.516(-11)
40								.573(-11)	.609(-11)
41								.789(-12)	.714(-11)
42								.599(-13)	.890(-11)
43								.390(-14)	.105(-10)
44								.129(-14)	.136(-10)
45									.110(-10)
46									.224(-11)
47									.293(-12)
48									.364(-13)
49									.806(-14)
50									.112(-14)

Virt&I-Comm.5.2014.11

Table LXX		QCT L3 REACTIVE				$T_{tr}=1000.$	$T_{rot}=1000.$		
v'	v	10	15	20	25	30	35	40	45
0		.991(-15)	.161(-12)	.577(-12)	.746(-12)	.538(-12)	.535(-12)	.446(-12)	.390(-12)
1		.654(-14)	.206(-12)	.347(-12)	.607(-12)	.600(-12)	.591(-12)	.619(-12)	.481(-12)
2		.197(-13)	.179(-12)	.308(-12)	.402(-12)	.441(-12)	.427(-12)	.583(-12)	.480(-12)
3		.578(-13)	.179(-12)	.316(-12)	.421(-12)	.554(-12)	.447(-12)	.348(-12)	.414(-12)
4		.562(-13)	.158(-12)	.369(-12)	.467(-12)	.480(-12)	.460(-12)	.347(-12)	.405(-12)
5		.507(-13)	.187(-12)	.343(-12)	.476(-12)	.441(-12)	.525(-12)	.418(-12)	.378(-12)
6		.525(-13)	.192(-12)	.359(-12)	.529(-12)	.518(-12)	.532(-12)	.454(-12)	.427(-12)
7		.590(-13)	.219(-12)	.392(-12)	.462(-12)	.548(-12)	.575(-12)	.355(-12)	.423(-12)
8		.745(-13)	.205(-12)	.393(-12)	.720(-12)	.708(-12)	.573(-12)	.548(-12)	.392(-12)
9		.123(-12)	.226(-12)	.456(-12)	.556(-12)	.673(-12)	.588(-12)	.489(-12)	.367(-12)
10		.105(-12)	.268(-12)	.501(-12)	.685(-12)	.859(-12)	.861(-12)	.583(-12)	.406(-12)
11		.156(-13)	.347(-12)	.484(-12)	.645(-12)	.867(-12)	.865(-12)	.635(-12)	.605(-12)
12		.860(-15)	.333(-12)	.598(-12)	.838(-12)	.900(-12)	.948(-12)	.974(-12)	.705(-12)
13			.424(-12)	.626(-12)	.870(-12)	.109(-11)	.914(-12)	.663(-12)	.754(-12)
14			.568(-12)	.838(-12)	.887(-12)	.101(-11)	.110(-11)	.852(-12)	.650(-12)
15			.502(-12)	.841(-12)	.909(-12)	.110(-11)	.111(-11)	.103(-11)	.753(-12)
16			.827(-13)	.820(-12)	.125(-11)	.126(-11)	.129(-11)	.116(-11)	.735(-12)
17			.766(-14)	.118(-11)	.125(-11)	.135(-11)	.137(-11)	.137(-11)	.106(-11)
18				.135(-11)	.137(-11)	.150(-11)	.149(-11)	.120(-11)	.848(-12)
19				.179(-11)	.150(-11)	.171(-11)	.169(-11)	.147(-11)	.108(-11)
20				.129(-11)	.170(-11)	.179(-11)	.159(-11)	.152(-11)	.149(-11)
21				.271(-12)	.202(-11)	.198(-11)	.189(-11)	.186(-11)	.150(-11)
22				.239(-13)	.255(-11)	.206(-11)	.233(-11)	.174(-11)	.171(-11)
23				.196(-14)	.298(-11)	.241(-11)	.245(-11)	.212(-11)	.153(-11)
24					.362(-11)	.315(-11)	.265(-11)	.246(-11)	.180(-11)
25					.276(-11)	.323(-11)	.264(-11)	.255(-11)	.176(-11)
26					.603(-12)	.410(-11)	.353(-11)	.321(-11)	.200(-11)
27					.733(-13)	.428(-11)	.369(-11)	.296(-11)	.278(-11)
28					.136(-13)	.543(-11)	.410(-11)	.332(-11)	.255(-11)
29						.653(-11)	.441(-11)	.391(-11)	.332(-11)
30						.516(-11)	.556(-11)	.432(-11)	.305(-11)
31						.125(-11)	.639(-11)	.492(-11)	.343(-11)
32						.223(-12)	.812(-11)	.509(-11)	.419(-11)
33						.276(-13)	.855(-11)	.579(-11)	.505(-11)
34						.916(-14)	.105(-10)	.756(-11)	.533(-11)
35						.000(-00)	.796(-11)	.802(-11)	.621(-11)
36						.122(-14)	.279(-11)	.970(-11)	.721(-11)
37							.518(-12)	.115(-10)	.775(-11)
38							.996(-13)	.134(-10)	.830(-11)
39							.140(-13)	.159(-10)	.102(-10)
40							.423(-14)	.132(-10)	.119(-10)
41							.333(-14)	.520(-11)	.137(-10)
42								.141(-11)	.167(-10)
43								.270(-12)	.214(-10)
44								.877(-13)	.249(-10)
45								.205(-13)	.198(-10)
46								.174(-13)	.913(-11)
47								.110(-14)	.311(-11)
48									.107(-11)
49									.483(-12)
50									.112(-12)
51									.332(-13)
52									.269(-13)
53									.142(-13)
54									.255(-14)
55									.293(-14)
56									.620(-14)

Virt&I-Comm.5.2014.11

Table LXXI		QCT L3 REACTIVE				$T_{tr}=2000.$		$T_{rot}=2000.$	
v'	v	10	15	20	25	30	35	40	45
0		.198(-13)	.560(-12)	.197(-11)	.220(-11)	.190(-11)	.161(-11)	.123(-11)	.848(-12)
1		.649(-13)	.117(-11)	.149(-11)	.159(-11)	.137(-11)	.111(-11)	.974(-12)	.741(-12)
2		.330(-12)	.109(-11)	.124(-11)	.140(-11)	.139(-11)	.128(-11)	.101(-11)	.883(-12)
3		.537(-12)	.112(-11)	.123(-11)	.135(-11)	.142(-11)	.951(-12)	.941(-12)	.898(-12)
4		.629(-12)	.965(-12)	.127(-11)	.170(-11)	.122(-11)	.117(-11)	.963(-12)	.711(-12)
5		.674(-12)	.117(-11)	.110(-11)	.145(-11)	.158(-11)	.124(-11)	.108(-11)	.798(-12)
6		.839(-12)	.107(-11)	.148(-11)	.155(-11)	.132(-11)	.135(-11)	.133(-11)	.850(-12)
7		.927(-12)	.105(-11)	.149(-11)	.160(-11)	.157(-11)	.154(-11)	.944(-12)	.947(-12)
8		.121(-11)	.136(-11)	.174(-11)	.165(-11)	.179(-11)	.148(-11)	.126(-11)	.708(-12)
9		.186(-11)	.148(-11)	.168(-11)	.187(-11)	.138(-11)	.151(-11)	.136(-11)	.953(-12)
10		.157(-11)	.177(-11)	.192(-11)	.203(-11)	.202(-11)	.161(-11)	.130(-11)	.883(-12)
11		.598(-12)	.187(-11)	.206(-11)	.228(-11)	.214(-11)	.161(-11)	.149(-11)	.943(-12)
12		.113(-12)	.244(-11)	.241(-11)	.245(-11)	.199(-11)	.199(-11)	.143(-11)	.105(-11)
13		.272(-13)	.310(-11)	.267(-11)	.221(-11)	.227(-11)	.207(-11)	.164(-11)	.136(-11)
14		.114(-13)	.383(-11)	.279(-11)	.281(-11)	.278(-11)	.251(-11)	.195(-11)	.124(-11)
15			.317(-11)	.341(-11)	.314(-11)	.270(-11)	.276(-11)	.209(-11)	.155(-11)
16			.136(-11)	.391(-11)	.339(-11)	.307(-11)	.235(-11)	.214(-11)	.177(-11)
17			.285(-12)	.419(-11)	.327(-11)	.379(-11)	.294(-11)	.230(-11)	.176(-11)
18			.115(-12)	.520(-11)	.427(-11)	.359(-11)	.328(-11)	.292(-11)	.182(-11)
19			.256(-13)	.667(-11)	.498(-11)	.444(-11)	.327(-11)	.260(-11)	.246(-11)
20			.250(-14)	.506(-11)	.531(-11)	.431(-11)	.366(-11)	.322(-11)	.231(-11)
21			.539(-14)	.233(-11)	.614(-11)	.465(-11)	.372(-11)	.337(-11)	.213(-11)
22				.642(-12)	.743(-11)	.543(-11)	.443(-11)	.373(-11)	.273(-11)
23				.333(-12)	.840(-11)	.638(-11)	.556(-11)	.407(-11)	.282(-11)
24				.688(-13)	.995(-11)	.621(-11)	.604(-11)	.440(-11)	.329(-11)
25				.113(-13)	.790(-11)	.833(-11)	.576(-11)	.493(-11)	.348(-11)
26				.816(-14)	.377(-11)	.918(-11)	.685(-11)	.506(-11)	.380(-11)
27				.189(-14)	.138(-11)	.107(-10)	.750(-11)	.537(-11)	.414(-11)
28					.508(-12)	.132(-10)	.846(-11)	.681(-11)	.451(-11)
29					.243(-12)	.142(-10)	.968(-11)	.648(-11)	.480(-11)
30					.737(-13)	.115(-10)	.111(-10)	.774(-11)	.562(-11)
31					.144(-13)	.619(-11)	.133(-10)	.931(-11)	.610(-11)
32					.136(-13)	.269(-11)	.145(-10)	.104(-10)	.678(-11)
33					.000(-00)	.103(-11)	.171(-10)	.119(-10)	.782(-11)
34					.000(-00)	.382(-12)	.199(-10)	.131(-10)	.927(-11)
35					.000(-00)	.196(-12)	.168(-10)	.148(-10)	.102(-10)
36					.000(-00)	.429(-13)	.905(-11)	.169(-10)	.118(-10)
37					.215(-14)	.141(-13)	.424(-11)	.205(-10)	.135(-10)
38						.170(-13)	.216(-11)	.238(-10)	.147(-10)
39						.542(-14)	.101(-11)	.254(-10)	.175(-10)
40						.238(-14)	.343(-12)	.225(-10)	.196(-10)
41						.000(-00)	.167(-12)	.130(-10)	.229(-10)
42						.735(-14)	.576(-13)	.739(-11)	.260(-10)
43							.428(-13)	.411(-11)	.306(-10)
44							.283(-13)	.180(-11)	.326(-10)
45							.247(-13)	.103(-11)	.302(-10)
46							.715(-14)	.554(-12)	.203(-10)
47							.152(-14)	.286(-12)	.121(-10)
48							.148(-14)	.198(-12)	.707(-11)
49							.369(-14)	.689(-13)	.460(-11)
50							.524(-14)	.794(-13)	.240(-11)
51							.141(-14)	.732(-13)	.149(-11)
52							.388(-14)	.224(-13)	.966(-12)
53								.131(-13)	.534(-12)
54								.224(-14)	.351(-12)
55								.476(-14)	.165(-12)
56								.624(-14)	.102(-12)
57								.432(-14)	.958(-13)
58									.746(-13)
59									.323(-13)

Virt&I-Comm.5.2014.11

Table LXXII		QCT L3 REACTIVE				$T_{lr}=4000.$	$T_{rot}=4000.$		
v'	v	10	15	20	25	30	35	40	45
0		.360(-12)	.133(-11)	.328(-11)	.373(-11)	.329(-11)	.283(-11)	.156(-11)	.147(-11)
1		.723(-12)	.250(-11)	.314(-11)	.297(-11)	.265(-11)	.217(-11)	.164(-11)	.148(-11)
2		.139(-11)	.303(-11)	.287(-11)	.294(-11)	.309(-11)	.238(-11)	.147(-11)	.150(-11)
3		.190(-11)	.297(-11)	.305(-11)	.289(-11)	.294(-11)	.173(-11)	.140(-11)	.133(-11)
4		.283(-11)	.326(-11)	.350(-11)	.353(-11)	.294(-11)	.224(-11)	.144(-11)	.150(-11)
5		.288(-11)	.315(-11)	.324(-11)	.270(-11)	.260(-11)	.232(-11)	.130(-11)	.100(-11)
6		.349(-11)	.358(-11)	.351(-11)	.349(-11)	.316(-11)	.202(-11)	.198(-11)	.145(-11)
7		.474(-11)	.380(-11)	.378(-11)	.385(-11)	.325(-11)	.280(-11)	.213(-11)	.164(-11)
8		.628(-11)	.466(-11)	.424(-11)	.343(-11)	.316(-11)	.288(-11)	.208(-11)	.163(-11)
9		.763(-11)	.516(-11)	.444(-11)	.387(-11)	.348(-11)	.249(-11)	.201(-11)	.105(-11)
10		.789(-11)	.538(-11)	.523(-11)	.473(-11)	.340(-11)	.300(-11)	.261(-11)	.163(-11)
11		.473(-11)	.680(-11)	.502(-11)	.484(-11)	.405(-11)	.320(-11)	.268(-11)	.150(-11)
12		.190(-11)	.797(-11)	.550(-11)	.553(-11)	.383(-11)	.336(-11)	.255(-11)	.176(-11)
13		.105(-11)	.953(-11)	.640(-11)	.505(-11)	.504(-11)	.417(-11)	.283(-11)	.172(-11)
14		.360(-12)	.107(-10)	.721(-11)	.588(-11)	.501(-11)	.393(-11)	.265(-11)	.254(-11)
15		.210(-12)	.977(-11)	.844(-11)	.698(-11)	.470(-11)	.430(-11)	.322(-11)	.228(-11)
16		.846(-13)	.617(-11)	.977(-11)	.777(-11)	.556(-11)	.449(-11)	.417(-11)	.275(-11)
17		.444(-13)	.313(-11)	.117(-10)	.791(-11)	.597(-11)	.521(-11)	.360(-11)	.324(-11)
18		.215(-13)	.153(-11)	.130(-10)	.884(-11)	.660(-11)	.575(-11)	.444(-11)	.306(-11)
19		.134(-13)	.807(-12)	.144(-10)	.103(-10)	.766(-11)	.616(-11)	.413(-11)	.378(-11)
20		.373(-14)	.407(-12)	.125(-10)	.111(-10)	.828(-11)	.569(-11)	.452(-11)	.385(-11)
21		.538(-14)	.250(-12)	.799(-11)	.127(-10)	.917(-11)	.743(-11)	.553(-11)	.446(-11)
22		.224(-14)	.126(-12)	.526(-11)	.156(-10)	.109(-10)	.767(-11)	.553(-11)	.445(-11)
23		.443(-14)	.806(-13)	.275(-11)	.171(-10)	.120(-10)	.862(-11)	.653(-11)	.519(-11)
24			.401(-13)	.138(-11)	.172(-10)	.132(-10)	.106(-10)	.667(-11)	.509(-11)
25			.156(-13)	.678(-12)	.149(-10)	.148(-10)	.113(-10)	.803(-11)	.504(-11)
26			.173(-13)	.451(-12)	.112(-10)	.175(-10)	.116(-10)	.833(-11)	.680(-11)
27			.110(-13)	.308(-12)	.724(-11)	.197(-10)	.147(-10)	.102(-10)	.743(-11)
28			.000(-00)	.124(-12)	.428(-11)	.222(-10)	.158(-10)	.101(-10)	.771(-11)
29			.000(-00)	.667(-13)	.208(-11)	.231(-10)	.173(-10)	.123(-10)	.864(-11)
30			.912(-14)	.325(-13)	.117(-11)	.179(-10)	.201(-10)	.148(-10)	.778(-11)
31				.241(-13)	.106(-11)	.142(-10)	.228(-10)	.161(-10)	.105(-10)
32				.109(-13)	.503(-12)	.103(-10)	.232(-10)	.174(-10)	.116(-10)
33				.000(-00)	.286(-12)	.605(-11)	.251(-10)	.186(-10)	.134(-10)
34				.393(-14)	.139(-12)	.440(-11)	.247(-10)	.204(-10)	.152(-10)
35				.000(-00)	.569(-13)	.248(-11)	.244(-10)	.244(-10)	.162(-10)
36				.000(-00)	.135(-12)	.164(-11)	.181(-10)	.268(-10)	.185(-10)
37				.000(-00)	.461(-13)	.905(-12)	.124(-10)	.298(-10)	.204(-10)
38				.000(-00)	.139(-13)	.555(-12)	.873(-11)	.309(-10)	.230(-10)
39				.867(-14)	.199(-13)	.387(-12)	.594(-11)	.304(-10)	.244(-10)
40				.000(-00)	.267(-13)	.220(-12)	.376(-11)	.280(-10)	.276(-10)
41				.158(-14)	.112(-13)	.194(-12)	.313(-11)	.246(-10)	.305(-10)
42					.126(-13)	.199(-12)	.184(-11)	.181(-10)	.330(-10)
43					.563(-14)	.701(-13)	.139(-11)	.120(-10)	.346(-10)
44					.000(-00)	.155(-12)	.954(-12)	.877(-11)	.348(-10)
45					.251(-14)	.186(-13)	.589(-12)	.664(-11)	.312(-10)
46					.000(-00)	.356(-13)	.577(-12)	.486(-11)	.266(-10)
47					.000(-00)	.562(-13)	.356(-12)	.320(-11)	.236(-10)
48					.942(-14)	.101(-13)	.267(-12)	.219(-11)	.170(-10)
49					.000(-00)	.880(-14)	.292(-12)	.160(-11)	.122(-10)
50					.000(-00)	.000(-00)	.130(-12)	.114(-11)	.763(-11)
51					.000(-00)	.217(-14)	.804(-13)	.957(-12)	.515(-11)
52					.263(-14)	.000(-00)	.166(-12)	.545(-12)	.437(-11)
53					.000(-00)	.354(-14)	.326(-13)	.507(-12)	.280(-11)
54					.000(-00)	.900(-14)	.342(-13)	.251(-12)	.237(-11)
55					.000(-00)	.000(-00)	.107(-13)	.121(-12)	.134(-11)
56					.000(-00)	.375(-14)	.448(-13)	.103(-12)	.112(-11)
57					.000(-00)	.000(-00)	.219(-13)	.162(-12)	.801(-12)
58					.330(-14)	.000(-00)	.127(-13)	.102(-12)	.570(-12)
59					.184(-14)	.191(-14)	.120(-13)	.970(-13)	.442(-12)

Virt&I-Comm.5.2014.11

Table LXXIII		RIOS LEPS REACTIVE					$T_{tr}= 500.$	$T_{rot}= 500.$	
v'	v	10	15	20	25	30	35	40	43
0		.631(-17)	.458(-15)	.250(-14)	.475(-14)	.773(-14)	.119(-13)	.892(-14)	.906(-14)
1		.145(-16)	.211(-15)	.283(-14)	.705(-14)	.892(-14)	.136(-13)	.101(-13)	.102(-13)
2		.134(-16)	.314(-15)	.188(-14)	.812(-14)	.101(-13)	.153(-13)	.114(-13)	.114(-13)
3		.109(-16)	.266(-15)	.210(-14)	.712(-14)	.110(-13)	.171(-13)	.124(-13)	.129(-13)
4		.146(-16)	.354(-15)	.248(-14)	.650(-14)	.113(-13)	.175(-13)	.149(-13)	.153(-13)
5		.188(-16)	.379(-15)	.260(-14)	.749(-14)	.108(-13)	.200(-13)	.151(-13)	.139(-13)
6		.218(-16)	.462(-15)	.310(-14)	.880(-14)	.111(-13)	.200(-13)	.152(-13)	.185(-13)
7		.299(-16)	.520(-15)	.357(-14)	.948(-14)	.144(-13)	.185(-13)	.188(-13)	.184(-13)
8		.416(-16)	.675(-15)	.409(-14)	.105(-13)	.137(-13)	.243(-13)	.180(-13)	.212(-13)
9		.641(-16)	.821(-15)	.506(-14)	.126(-13)	.168(-13)	.237(-13)	.204(-13)	.196(-13)
10		.805(-16)	.103(-14)	.582(-14)	.147(-13)	.183(-13)	.301(-13)	.212(-13)	.243(-13)
11		.590(-18)	.132(-14)	.722(-14)	.158(-13)	.207(-13)	.296(-13)	.235(-13)	.247(-13)
12		.355(-20)	.163(-14)	.819(-14)	.210(-13)	.245(-13)	.364(-13)	.282(-13)	.288(-13)
13		.222(-22)	.234(-14)	.109(-13)	.214(-13)	.274(-13)	.388(-13)	.294(-13)	.329(-13)
14		.164(-24)	.340(-14)	.125(-13)	.290(-13)	.314(-13)	.445(-13)	.360(-13)	.333(-13)
15			.382(-14)	.157(-13)	.308(-13)	.372(-13)	.530(-13)	.378(-13)	.397(-13)
16			.343(-16)	.204(-13)	.405(-13)	.417(-13)	.572(-13)	.415(-13)	.437(-13)
17			.255(-18)	.249(-13)	.455(-13)	.501(-13)	.684(-13)	.499(-13)	.467(-13)
18			.223(-20)	.333(-13)	.579(-13)	.576(-13)	.767(-13)	.546(-13)	.560(-13)
19			.210(-22)	.449(-13)	.682(-13)	.683(-13)	.884(-13)	.617(-13)	.647(-13)
20			.223(-24)	.455(-13)	.848(-13)	.806(-13)	.104(-12)	.734(-13)	.711(-13)
21				.584(-15)	.104(-12)	.958(-13)	.119(-12)	.834(-13)	.811(-13)
22				.593(-17)	.130(-12)	.114(-12)	.139(-12)	.952(-13)	.924(-13)
23				.631(-19)	.167(-12)	.137(-12)	.165(-12)	.110(-12)	.106(-12)
24				.780(-21)	.217(-12)	.166(-12)	.194(-12)	.127(-12)	.123(-12)
25				.143(-22)	.220(-12)	.203(-12)	.228(-12)	.149(-12)	.140(-12)
26				.251(-24)	.420(-14)	.251(-12)	.272(-12)	.174(-12)	.165(-12)
27					.546(-16)	.316(-12)	.325(-12)	.204(-12)	.191(-12)
28					.121(-17)	.408(-12)	.390(-12)	.243(-12)	.227(-12)
29					.258(-19)	.542(-12)	.474(-12)	.288(-12)	.265(-12)
30					.466(-21)	.607(-12)	.578(-12)	.347(-12)	.316(-12)
31					.159(-22)	.219(-13)	.715(-12)	.417(-12)	.380(-12)
32					.314(-24)	.441(-15)	.905(-12)	.505(-12)	.454(-12)
33					.130(-25)	.156(-16)	.118(-11)	.618(-12)	.553(-12)
34						.491(-18)	.160(-11)	.758(-12)	.672(-12)
35						.143(-19)	.198(-11)	.943(-12)	.834(-12)
36						.765(-21)	.939(-13)	.118(-11)	.103(-11)
37						.297(-22)	.359(-14)	.151(-11)	.130(-11)
38						.101(-23)	.116(-15)	.197(-11)	.166(-11)
39						.651(-25)	.669(-17)	.269(-11)	.216(-11)
40							.446(-18)	.343(-11)	.283(-11)
41							.297(-19)	.348(-12)	.383(-11)
42							.201(-20)	.225(-13)	.531(-11)
43							.146(-21)	.155(-14)	.666(-11)

Virt&I-Comm.5.2014.11

Table LXXIV		RIOS LEPS REACTIVE					$T_{tr}=500.$	$T_{rot}=1000.$	
v'	v	10	15	20	25	30	35	40	43
0		.426(-17)	.311(-15)	.170(-14)	.326(-14)	.531(-14)	.826(-14)	.623(-14)	.640(-14)
1		.984(-17)	.143(-15)	.193(-14)	.485(-14)	.614(-14)	.943(-14)	.710(-14)	.726(-14)
2		.910(-17)	.213(-15)	.128(-14)	.559(-14)	.701(-14)	.106(-13)	.800(-14)	.810(-14)
3		.738(-17)	.180(-15)	.144(-14)	.490(-14)	.761(-14)	.118(-13)	.871(-14)	.914(-14)
4		.992(-17)	.241(-15)	.170(-14)	.447(-14)	.784(-14)	.121(-13)	.104(-13)	.108(-13)
5		.127(-16)	.258(-15)	.177(-14)	.515(-14)	.748(-14)	.138(-13)	.105(-13)	.986(-14)
6		.147(-16)	.314(-15)	.212(-14)	.606(-14)	.769(-14)	.139(-13)	.106(-13)	.131(-13)
7		.202(-16)	.353(-15)	.244(-14)	.653(-14)	.993(-14)	.128(-13)	.131(-13)	.129(-13)
8		.281(-16)	.459(-15)	.279(-14)	.723(-14)	.950(-14)	.168(-13)	.126(-13)	.150(-13)
9		.433(-16)	.557(-15)	.346(-14)	.872(-14)	.116(-13)	.164(-13)	.142(-13)	.139(-13)
10		.543(-16)	.699(-15)	.398(-14)	.101(-13)	.126(-13)	.209(-13)	.148(-13)	.172(-13)
11		.397(-18)	.902(-15)	.494(-14)	.108(-13)	.143(-13)	.205(-13)	.164(-13)	.174(-13)
12		.238(-20)	.111(-14)	.560(-14)	.144(-13)	.169(-13)	.253(-13)	.197(-13)	.203(-13)
13		.149(-22)	.159(-14)	.747(-14)	.147(-13)	.189(-13)	.269(-13)	.205(-13)	.232(-13)
14		.110(-24)	.231(-14)	.859(-14)	.200(-13)	.216(-13)	.309(-13)	.251(-13)	.235(-13)
15			.259(-14)	.108(-13)	.212(-13)	.257(-13)	.368(-13)	.264(-13)	.280(-13)
16			.231(-16)	.140(-13)	.279(-13)	.288(-13)	.396(-13)	.290(-13)	.308(-13)
17			.171(-18)	.170(-13)	.313(-13)	.346(-13)	.474(-13)	.348(-13)	.329(-13)
18			.150(-20)	.228(-13)	.399(-13)	.397(-13)	.532(-13)	.381(-13)	.395(-13)
19			.141(-22)	.307(-13)	.470(-13)	.471(-13)	.613(-13)	.431(-13)	.457(-13)
20			.149(-24)	.311(-13)	.585(-13)	.556(-13)	.723(-13)	.513(-13)	.501(-13)
21				.395(-15)	.720(-13)	.661(-13)	.830(-13)	.582(-13)	.572(-13)
22				.399(-17)	.898(-13)	.789(-13)	.967(-13)	.665(-13)	.652(-13)
23				.424(-19)	.115(-12)	.945(-13)	.114(-12)	.772(-13)	.750(-13)
24				.524(-21)	.149(-12)	.114(-12)	.134(-12)	.889(-13)	.868(-13)
25				.962(-23)	.151(-12)	.140(-12)	.158(-12)	.104(-12)	.992(-13)
26				.168(-24)	.285(-14)	.173(-12)	.189(-12)	.122(-12)	.116(-12)
27					.369(-16)	.218(-12)	.225(-12)	.143(-12)	.135(-12)
28					.820(-18)	.282(-12)	.270(-12)	.170(-12)	.160(-12)
29					.173(-19)	.374(-12)	.328(-12)	.201(-12)	.187(-12)
30					.313(-21)	.418(-12)	.401(-12)	.243(-12)	.223(-12)
31					.106(-22)	.149(-13)	.496(-12)	.291(-12)	.268(-12)
32					.210(-24)	.298(-15)	.628(-12)	.353(-12)	.321(-12)
33						.105(-16)	.819(-12)	.432(-12)	.391(-12)
34						.331(-18)	.111(-11)	.530(-12)	.476(-12)
35						.965(-20)	.137(-11)	.660(-12)	.590(-12)
36						.513(-21)	.641(-13)	.828(-12)	.731(-12)
37						.199(-22)	.244(-14)	.105(-11)	.926(-12)
38						.679(-24)	.786(-16)	.138(-11)	.118(-11)
39						.436(-25)	.450(-17)	.188(-11)	.153(-11)
40							.300(-18)	.239(-11)	.201(-11)
41							.199(-19)	.239(-12)	.272(-11)
42							.135(-20)	.153(-13)	.377(-11)
43							.980(-22)	.105(-14)	.472(-11)

Virt&I-Comm.5.2014.11

Table LXXV		RIOS LEPS REACTIVE					$T_{tr}=500.$		$T_{rot}=2000.$	
v'	v	10	15	20	25	30	35	40	43	
0		.258(-17)	.189(-15)	.104(-14)	.200(-14)	.327(-14)	.511(-14)	.388(-14)	.401(-14)	
1		.597(-17)	.873(-16)	.118(-14)	.298(-14)	.377(-14)	.583(-14)	.442(-14)	.455(-14)	
2		.552(-17)	.130(-15)	.787(-15)	.344(-14)	.431(-14)	.658(-14)	.498(-14)	.508(-14)	
3		.448(-17)	.109(-15)	.880(-15)	.301(-14)	.469(-14)	.734(-14)	.542(-14)	.573(-14)	
4		.602(-17)	.146(-15)	.104(-14)	.275(-14)	.483(-14)	.753(-14)	.650(-14)	.679(-14)	
5		.771(-17)	.157(-15)	.108(-14)	.317(-14)	.460(-14)	.859(-14)	.658(-14)	.618(-14)	
6		.896(-17)	.191(-15)	.130(-14)	.372(-14)	.473(-14)	.861(-14)	.661(-14)	.824(-14)	
7		.122(-16)	.215(-15)	.149(-14)	.401(-14)	.611(-14)	.794(-14)	.817(-14)	.813(-14)	
8		.170(-16)	.279(-15)	.171(-14)	.445(-14)	.585(-14)	.104(-13)	.785(-14)	.941(-14)	
9		.262(-16)	.339(-15)	.211(-14)	.536(-14)	.714(-14)	.102(-13)	.888(-14)	.871(-14)	
10		.329(-16)	.426(-15)	.243(-14)	.625(-14)	.779(-14)	.129(-13)	.925(-14)	.108(-13)	
11		.240(-18)	.549(-15)	.302(-14)	.668(-14)	.880(-14)	.127(-13)	.102(-13)	.109(-13)	
12		.144(-20)	.676(-15)	.343(-14)	.891(-14)	.104(-13)	.156(-13)	.122(-13)	.127(-13)	
13		.899(-23)	.970(-15)	.457(-14)	.909(-14)	.116(-13)	.166(-13)	.127(-13)	.145(-13)	
14		.665(-25)	.140(-14)	.526(-14)	.123(-13)	.133(-13)	.191(-13)	.156(-13)	.147(-13)	
15			.158(-14)	.661(-14)	.130(-13)	.158(-13)	.227(-13)	.164(-13)	.175(-13)	
16			.140(-16)	.858(-14)	.172(-13)	.177(-13)	.245(-13)	.180(-13)	.193(-13)	
17			.103(-18)	.104(-13)	.193(-13)	.213(-13)	.293(-13)	.217(-13)	.206(-13)	
18			.905(-21)	.139(-13)	.245(-13)	.245(-13)	.329(-13)	.237(-13)	.247(-13)	
19			.852(-23)	.188(-13)	.289(-13)	.290(-13)	.379(-13)	.268(-13)	.286(-13)	
20			.900(-25)	.190(-13)	.360(-13)	.342(-13)	.447(-13)	.319(-13)	.314(-13)	
21				.240(-15)	.444(-13)	.407(-13)	.513(-13)	.362(-13)	.358(-13)	
22				.241(-17)	.553(-13)	.486(-13)	.598(-13)	.413(-13)	.408(-13)	
23				.256(-19)	.709(-13)	.583(-13)	.708(-13)	.480(-13)	.470(-13)	
24				.316(-21)	.921(-13)	.708(-13)	.832(-13)	.553(-13)	.544(-13)	
25				.580(-23)	.930(-13)	.866(-13)	.982(-13)	.651(-13)	.622(-13)	
26				.101(-24)	.173(-14)	.107(-12)	.117(-12)	.759(-13)	.730(-13)	
27					.223(-16)	.134(-12)	.139(-12)	.890(-13)	.848(-13)	
28					.496(-18)	.174(-12)	.167(-12)	.106(-12)	.100(-12)	
29					.104(-19)	.230(-12)	.203(-12)	.125(-12)	.117(-12)	
30					.189(-21)	.257(-12)	.248(-12)	.151(-12)	.140(-12)	
31					.644(-23)	.910(-14)	.307(-12)	.181(-12)	.168(-12)	
32					.127(-24)	.181(-15)	.388(-12)	.220(-12)	.201(-12)	
33						.639(-17)	.507(-12)	.269(-12)	.245(-12)	
34						.200(-18)	.687(-12)	.330(-12)	.298(-12)	
35						.583(-20)	.851(-12)	.410(-12)	.371(-12)	
36						.309(-21)	.392(-13)	.515(-12)	.459(-12)	
37						.120(-22)	.148(-14)	.658(-12)	.582(-12)	
38						.409(-24)	.476(-16)	.861(-12)	.742(-12)	
39						.262(-25)	.272(-17)	.117(-11)	.964(-12)	
40							.181(-18)	.149(-11)	.126(-11)	
41							.120(-19)	.146(-12)	.171(-11)	
42							.816(-21)	.936(-14)	.237(-11)	
43							.591(-22)	.639(-15)	.296(-11)	

Virt&I-Comm.5.2014.11

Table LXXVI		RIOS LEPS REACTIVE					$T_{tr}=500.$	$T_{rot}=4000.$	
v'	v	10	15	20	25	30	35	40	43
0		.144(-17)	.106(-15)	.587(-15)	.112(-14)	.184(-14)	.289(-14)	.220(-14)	.229(-14)
1		.334(-17)	.489(-16)	.667(-15)	.168(-14)	.213(-14)	.330(-14)	.251(-14)	.260(-14)
2		.309(-17)	.729(-16)	.443(-15)	.194(-14)	.243(-14)	.373(-14)	.283(-14)	.290(-14)
3		.250(-17)	.616(-16)	.495(-15)	.170(-14)	.265(-14)	.416(-14)	.308(-14)	.327(-14)
4		.337(-17)	.823(-16)	.585(-15)	.155(-14)	.273(-14)	.427(-14)	.370(-14)	.388(-14)
5		.431(-17)	.881(-16)	.612(-15)	.179(-14)	.260(-14)	.486(-14)	.374(-14)	.353(-14)
6		.501(-17)	.107(-15)	.731(-15)	.210(-14)	.267(-14)	.488(-14)	.376(-14)	.471(-14)
7		.686(-17)	.120(-15)	.841(-15)	.226(-14)	.345(-14)	.450(-14)	.465(-14)	.464(-14)
8		.955(-17)	.156(-15)	.963(-15)	.251(-14)	.330(-14)	.592(-14)	.446(-14)	.538(-14)
9		.147(-16)	.190(-15)	.119(-14)	.303(-14)	.403(-14)	.578(-14)	.505(-14)	.497(-14)
10		.184(-16)	.239(-15)	.137(-14)	.353(-14)	.440(-14)	.734(-14)	.526(-14)	.617(-14)
11		.134(-18)	.308(-15)	.170(-14)	.377(-14)	.497(-14)	.721(-14)	.582(-14)	.624(-14)
12		.803(-21)	.379(-15)	.193(-14)	.503(-14)	.589(-14)	.887(-14)	.698(-14)	.728(-14)
13		.501(-23)	.544(-15)	.257(-14)	.513(-14)	.659(-14)	.944(-14)	.725(-14)	.832(-14)
14		.370(-25)	.790(-15)	.296(-14)	.697(-14)	.753(-14)	.108(-13)	.889(-14)	.840(-14)
15			.886(-15)	.372(-14)	.739(-14)	.895(-14)	.129(-13)	.934(-14)	.100(-13)
16			.785(-17)	.483(-14)	.972(-14)	.100(-13)	.139(-13)	.102(-13)	.110(-13)
17			.579(-19)	.588(-14)	.109(-13)	.120(-13)	.166(-13)	.123(-13)	.117(-13)
18			.505(-21)	.786(-14)	.139(-13)	.138(-13)	.186(-13)	.135(-13)	.141(-13)
19			.475(-23)	.106(-13)	.163(-13)	.164(-13)	.215(-13)	.152(-13)	.163(-13)
20			.501(-25)	.107(-13)	.203(-13)	.193(-13)	.253(-13)	.181(-13)	.179(-13)
21				.134(-15)	.250(-13)	.230(-13)	.291(-13)	.206(-13)	.205(-13)
22				.135(-17)	.312(-13)	.275(-13)	.339(-13)	.235(-13)	.233(-13)
23				.143(-19)	.401(-13)	.329(-13)	.401(-13)	.273(-13)	.268(-13)
24				.176(-21)	.520(-13)	.400(-13)	.471(-13)	.314(-13)	.311(-13)
25				.323(-23)	.525(-13)	.490(-13)	.556(-13)	.370(-13)	.355(-13)
26				.566(-25)	.972(-15)	.606(-13)	.664(-13)	.431(-13)	.417(-13)
27					.125(-16)	.762(-13)	.792(-13)	.506(-13)	.484(-13)
28					.277(-18)	.984(-13)	.950(-13)	.602(-13)	.575(-13)
29					.584(-20)	.130(-12)	.115(-12)	.714(-13)	.672(-13)
30					.105(-21)	.145(-12)	.140(-12)	.860(-13)	.801(-13)
31					.359(-23)	.511(-14)	.174(-12)	.103(-12)	.964(-13)
32					.707(-25)	.101(-15)	.220(-12)	.125(-12)	.115(-12)
33						.357(-17)	.287(-12)	.153(-12)	.140(-12)
34						.111(-18)	.389(-12)	.188(-12)	.170(-12)
35						.325(-20)	.482(-12)	.233(-12)	.212(-12)
36						.172(-21)	.220(-13)	.293(-12)	.263(-12)
37						.670(-23)	.832(-15)	.374(-12)	.333(-12)
38						.228(-24)	.266(-16)	.490(-12)	.425(-12)
39						.146(-25)	.152(-17)	.667(-12)	.552(-12)
40							.101(-18)	.849(-12)	.726(-12)
41							.673(-20)	.827(-13)	.981(-12)
42							.455(-21)	.525(-14)	.136(-11)
43							.329(-22)	.358(-15)	.169(-11)

Virt&I-Comm.5.2014.11

Table LXXVII		RIOS LEPS REACTIVE							
v'	v	$T_{tr}=1000.$				$T_{rot}= 500.$			
		5	10	15	20	25	30	35	40
0		.135(-17)	.184(-14)	.258(-13)	.535(-13)	.599(-13)	.600(-13)	.552(-13)	.357(-13)
1		.894(-17)	.426(-14)	.155(-13)	.500(-13)	.707(-13)	.685(-13)	.626(-13)	.406(-13)
2		.332(-16)	.448(-14)	.192(-13)	.396(-13)	.730(-13)	.758(-13)	.705(-13)	.456(-13)
3		.924(-16)	.423(-14)	.186(-13)	.440(-13)	.676(-13)	.799(-13)	.780(-13)	.499(-13)
4		.251(-15)	.513(-14)	.224(-13)	.492(-13)	.679(-13)	.820(-13)	.808(-13)	.583(-13)
5		.131(-14)	.631(-14)	.248(-13)	.537(-13)	.768(-13)	.812(-13)	.916(-13)	.595(-13)
6		.492(-16)	.751(-14)	.290(-13)	.619(-13)	.882(-13)	.875(-13)	.935(-13)	.609(-13)
7		.370(-17)	.987(-14)	.338(-13)	.705(-13)	.952(-13)	.109(-12)	.904(-13)	.732(-13)
8		.276(-18)	.135(-13)	.410(-13)	.808(-13)	.105(-12)	.108(-12)	.112(-12)	.755(-13)
9		.226(-19)	.216(-13)	.493(-13)	.972(-13)	.128(-12)	.126(-12)	.118(-12)	.829(-13)
10		.194(-20)	.316(-13)	.605(-13)	.112(-12)	.144(-12)	.140(-12)	.142(-12)	.885(-13)
11		.156(-21)	.209(-14)	.759(-13)	.130(-12)	.162(-12)	.161(-12)	.147(-12)	.979(-13)
12		.130(-22)	.132(-15)	.948(-13)	.153(-12)	.196(-12)	.186(-12)	.171(-12)	.115(-12)
13		.112(-23)	.989(-17)	.128(-12)	.190(-12)	.215(-12)	.211(-12)	.189(-12)	.127(-12)
14		.948(-25)	.781(-18)	.182(-12)	.222(-12)	.264(-12)	.240(-12)	.215(-12)	.147(-12)
15			.643(-19)	.234(-12)	.273(-12)	.298(-12)	.279(-12)	.254(-12)	.159(-12)
16			.560(-20)	.187(-13)	.341(-12)	.362(-12)	.317(-12)	.282(-12)	.176(-12)
17			.498(-21)	.139(-14)	.422(-12)	.421(-12)	.372(-12)	.327(-12)	.204(-12)
18			.464(-22)	.117(-15)	.551(-12)	.508(-12)	.430(-12)	.369(-12)	.228(-12)
19			.454(-23)	.104(-16)	.747(-12)	.604(-12)	.504(-12)	.424(-12)	.260(-12)
20			.453(-24)	.997(-18)	.885(-12)	.732(-12)	.590(-12)	.495(-12)	.305(-12)
21			.464(-25)	.102(-18)	.872(-13)	.896(-12)	.694(-12)	.570(-12)	.350(-12)
22				.103(-19)	.794(-14)	.111(-11)	.819(-12)	.662(-12)	.399(-12)
23				.114(-20)	.768(-15)	.143(-11)	.972(-12)	.778(-12)	.456(-12)
24				.123(-21)	.788(-16)	.190(-11)	.116(-11)	.911(-12)	.526(-12)
25				.144(-22)	.920(-17)	.223(-11)	.141(-11)	.107(-11)	.613(-12)
26				.192(-23)	.116(-17)	.269(-12)	.173(-11)	.126(-11)	.712(-12)
27				.243(-24)	.139(-18)	.287(-13)	.216(-11)	.150(-11)	.832(-12)
28				.310(-25)	.181(-19)	.360(-14)	.279(-11)	.179(-11)	.981(-12)
29					.267(-20)	.494(-15)	.372(-11)	.216(-11)	.115(-11)
30					.352(-21)	.629(-16)	.454(-11)	.262(-11)	.137(-11)
31					.591(-22)	.103(-16)	.691(-12)	.323(-11)	.163(-11)
32					.842(-23)	.142(-17)	.909(-13)	.407(-11)	.196(-11)
33					.155(-23)	.261(-18)	.147(-13)	.527(-11)	.237(-11)
34					.249(-24)	.415(-19)	.235(-14)	.711(-11)	.289(-11)
35					.472(-25)	.754(-20)	.393(-15)	.905(-11)	.355(-11)
36						.150(-20)	.782(-16)	.160(-11)	.442(-11)
37						.277(-21)	.142(-16)	.268(-12)	.562(-11)
38						.546(-22)	.269(-17)	.479(-13)	.732(-11)
39						.126(-22)	.608(-18)	.100(-13)	.997(-11)
40						.296(-23)	.141(-18)	.226(-14)	.131(-10)

Virt&I-Comm.5.2014.11

Table LXXVIII		RIOS LEPS REACTIVE				$T_{tr}=1000.$		$T_{rot}=1000.$	
v'	v	5	10	15	20	25	30	35	40
0		.103(-17)	.141(-14)	.199(-13)	.416(-13)	.469(-13)	.473(-13)	.439(-13)	.285(-13)
1		.679(-17)	.326(-14)	.120(-13)	.390(-13)	.555(-13)	.540(-13)	.499(-13)	.324(-13)
2		.253(-16)	.344(-14)	.148(-13)	.308(-13)	.573(-13)	.598(-13)	.561(-13)	.364(-13)
3		.703(-16)	.324(-14)	.143(-13)	.342(-13)	.531(-13)	.630(-13)	.621(-13)	.399(-13)
4		.191(-15)	.393(-14)	.173(-13)	.383(-13)	.533(-13)	.647(-13)	.644(-13)	.466(-13)
5		.100(-14)	.484(-14)	.191(-13)	.418(-13)	.603(-13)	.640(-13)	.730(-13)	.476(-13)
6		.373(-16)	.576(-14)	.224(-13)	.482(-13)	.692(-13)	.689(-13)	.744(-13)	.487(-13)
7		.280(-17)	.757(-14)	.261(-13)	.549(-13)	.747(-13)	.859(-13)	.719(-13)	.585(-13)
8		.209(-18)	.104(-13)	.316(-13)	.629(-13)	.823(-13)	.851(-13)	.896(-13)	.603(-13)
9		.170(-19)	.165(-13)	.381(-13)	.757(-13)	.101(-12)	.999(-13)	.944(-13)	.662(-13)
10		.146(-20)	.242(-13)	.467(-13)	.876(-13)	.113(-12)	.110(-12)	.113(-12)	.707(-13)
11		.118(-21)	.159(-14)	.586(-13)	.101(-12)	.127(-12)	.127(-12)	.117(-12)	.782(-13)
12		.982(-23)	.100(-15)	.733(-13)	.119(-12)	.154(-12)	.146(-12)	.136(-12)	.921(-13)
13		.845(-24)	.750(-17)	.992(-13)	.148(-12)	.168(-12)	.166(-12)	.150(-12)	.101(-12)
14		.715(-25)	.591(-18)	.141(-12)	.173(-12)	.207(-12)	.189(-12)	.171(-12)	.118(-12)
15			.486(-19)	.181(-12)	.213(-12)	.234(-12)	.220(-12)	.202(-12)	.127(-12)
16			.423(-20)	.143(-13)	.266(-12)	.285(-12)	.250(-12)	.224(-12)	.141(-12)
17			.376(-21)	.106(-14)	.329(-12)	.330(-12)	.293(-12)	.260(-12)	.163(-12)
18			.350(-22)	.890(-16)	.429(-12)	.399(-12)	.339(-12)	.294(-12)	.182(-12)
19			.343(-23)	.790(-17)	.582(-12)	.474(-12)	.397(-12)	.338(-12)	.208(-12)
20			.341(-24)	.755(-18)	.689(-12)	.576(-12)	.465(-12)	.394(-12)	.244(-12)
21			.350(-25)	.771(-19)	.671(-13)	.705(-12)	.548(-12)	.453(-12)	.279(-12)
22				.784(-20)	.606(-14)	.878(-12)	.646(-12)	.527(-12)	.318(-12)
23				.862(-21)	.585(-15)	.112(-11)	.767(-12)	.619(-12)	.364(-12)
24				.934(-22)	.598(-16)	.149(-11)	.921(-12)	.725(-12)	.420(-12)
25				.109(-22)	.698(-17)	.175(-11)	.111(-11)	.853(-12)	.490(-12)
26				.145(-23)	.880(-18)	.208(-12)	.136(-11)	.100(-11)	.569(-12)
27				.183(-24)	.105(-18)	.219(-13)	.171(-11)	.119(-11)	.665(-12)
28				.234(-25)	.137(-19)	.275(-14)	.220(-11)	.143(-11)	.784(-12)
29					.202(-20)	.376(-15)	.293(-11)	.172(-11)	.925(-12)
30					.266(-21)	.477(-16)	.358(-11)	.209(-11)	.110(-11)
31					.446(-22)	.786(-17)	.536(-12)	.257(-11)	.131(-11)
32					.635(-23)	.108(-17)	.699(-13)	.324(-11)	.157(-11)
33					.116(-23)	.198(-18)	.113(-13)	.420(-11)	.190(-11)
34					.188(-24)	.314(-19)	.179(-14)	.567(-11)	.231(-11)
35					.356(-25)	.570(-20)	.299(-15)	.721(-11)	.285(-11)
36						.113(-20)	.594(-16)	.125(-11)	.354(-11)
37						.209(-21)	.108(-16)	.207(-12)	.450(-11)
38						.412(-22)	.204(-17)	.367(-13)	.587(-11)
39						.953(-23)	.460(-18)	.767(-14)	.799(-11)
40						.223(-23)	.107(-18)	.173(-14)	.105(-10)

Virt&I-Comm.5.2014.11

Table LXXIX		RIOS LEPS REACTIVE				$T_{tr}=1000.$		$T_{rot}=2000.$	
v'	v	5	10	15	20	25	30	35	40
0		.695(-18)	.962(-15)	.136(-13)	.287(-13)	.325(-13)	.330(-13)	.310(-13)	.202(-13)
1		.458(-17)	.222(-14)	.823(-14)	.270(-13)	.386(-13)	.377(-13)	.352(-13)	.229(-13)
2		.170(-16)	.234(-14)	.102(-13)	.212(-13)	.400(-13)	.418(-13)	.396(-13)	.258(-13)
3		.475(-16)	.221(-14)	.985(-14)	.236(-13)	.370(-13)	.441(-13)	.438(-13)	.282(-13)
4		.129(-15)	.268(-14)	.118(-13)	.264(-13)	.370(-13)	.453(-13)	.454(-13)	.330(-13)
5		.676(-15)	.329(-14)	.131(-13)	.288(-13)	.419(-13)	.447(-13)	.515(-13)	.337(-13)
6		.252(-16)	.392(-14)	.153(-13)	.333(-13)	.482(-13)	.482(-13)	.525(-13)	.345(-13)
7		.189(-17)	.516(-14)	.179(-13)	.379(-13)	.520(-13)	.601(-13)	.506(-13)	.415(-13)
8		.141(-18)	.709(-14)	.217(-13)	.435(-13)	.573(-13)	.595(-13)	.632(-13)	.426(-13)
9		.114(-19)	.113(-13)	.261(-13)	.523(-13)	.703(-13)	.698(-13)	.665(-13)	.469(-13)
10		.985(-21)	.165(-13)	.321(-13)	.605(-13)	.787(-13)	.772(-13)	.798(-13)	.500(-13)
11		.793(-22)	.108(-14)	.402(-13)	.704(-13)	.884(-13)	.891(-13)	.825(-13)	.553(-13)
12		.659(-23)	.679(-16)	.503(-13)	.828(-13)	.107(-12)	.102(-12)	.960(-13)	.651(-13)
13		.566(-24)	.506(-17)	.681(-13)	.102(-12)	.117(-12)	.116(-12)	.105(-12)	.717(-13)
14		.479(-25)	.398(-18)	.970(-13)	.120(-12)	.144(-12)	.132(-12)	.121(-12)	.835(-13)
15			.327(-19)	.124(-12)	.147(-12)	.163(-12)	.154(-12)	.142(-12)	.902(-13)
16			.284(-20)	.974(-14)	.184(-12)	.198(-12)	.175(-12)	.158(-12)	.997(-13)
17			.252(-21)	.720(-15)	.227(-12)	.230(-12)	.205(-12)	.183(-12)	.115(-12)
18			.235(-22)	.601(-16)	.297(-12)	.278(-12)	.237(-12)	.207(-12)	.129(-12)
19			.230(-23)	.532(-17)	.403(-12)	.331(-12)	.278(-12)	.238(-12)	.147(-12)
20			.229(-24)	.508(-18)	.476(-12)	.401(-12)	.325(-12)	.278(-12)	.172(-12)
21			.234(-25)	.519(-19)	.458(-13)	.491(-12)	.383(-12)	.319(-12)	.198(-12)
22				.527(-20)	.412(-14)	.613(-12)	.452(-12)	.371(-12)	.225(-12)
23				.578(-21)	.396(-15)	.787(-12)	.537(-12)	.436(-12)	.258(-12)
24				.627(-22)	.404(-16)	.104(-11)	.644(-12)	.511(-12)	.297(-12)
25				.731(-23)	.470(-17)	.122(-11)	.781(-12)	.601(-12)	.347(-12)
26				.972(-24)	.592(-18)	.142(-12)	.958(-12)	.711(-12)	.402(-12)
27				.122(-24)	.707(-19)	.149(-13)	.119(-11)	.844(-12)	.471(-12)
28				.157(-25)	.920(-20)	.186(-14)	.154(-11)	.100(-11)	.555(-12)
29					.135(-20)	.254(-15)	.205(-11)	.121(-11)	.655(-12)
30					.178(-21)	.322(-16)	.250(-11)	.147(-11)	.779(-12)
31					.299(-22)	.530(-17)	.369(-12)	.182(-11)	.928(-12)
32					.426(-23)	.728(-18)	.477(-13)	.229(-11)	.111(-11)
33					.783(-24)	.133(-18)	.768(-14)	.296(-11)	.134(-11)
34					.126(-24)	.211(-19)	.121(-14)	.400(-11)	.164(-11)
35					.238(-25)	.382(-20)	.202(-15)	.509(-11)	.202(-11)
36						.763(-21)	.401(-16)	.866(-12)	.251(-11)
37						.140(-21)	.729(-17)	.142(-12)	.319(-11)
38						.276(-22)	.137(-17)	.250(-13)	.416(-11)
39						.639(-23)	.310(-18)	.521(-14)	.567(-11)
40						.149(-23)	.721(-19)	.117(-14)	.747(-11)

Virt&I-Comm.5.2014.11

Table LXXX		RIOS LEPS REACTIVE				$T_{tr}=1000.$		$T_{rot}=4000.$	
v'	v	5	10	15	20	25	30	35	40
0		.421(-18)	.587(-15)	.840(-14)	.177(-13)	.201(-13)	.205(-13)	.194(-13)	.127(-13)
1		.278(-17)	.136(-14)	.504(-14)	.166(-13)	.239(-13)	.234(-13)	.220(-13)	.144(-13)
2		.103(-16)	.143(-14)	.626(-14)	.131(-13)	.248(-13)	.260(-13)	.248(-13)	.162(-13)
3		.288(-16)	.134(-14)	.604(-14)	.145(-13)	.229(-13)	.274(-13)	.274(-13)	.177(-13)
4		.785(-16)	.163(-14)	.727(-14)	.163(-13)	.229(-13)	.282(-13)	.284(-13)	.207(-13)
5		.410(-15)	.201(-14)	.806(-14)	.178(-13)	.260(-13)	.278(-13)	.322(-13)	.212(-13)
6		.152(-16)	.239(-14)	.943(-14)	.205(-13)	.299(-13)	.299(-13)	.328(-13)	.216(-13)
7		.114(-17)	.314(-14)	.109(-13)	.234(-13)	.322(-13)	.374(-13)	.317(-13)	.260(-13)
8		.852(-19)	.432(-14)	.133(-13)	.268(-13)	.355(-13)	.370(-13)	.396(-13)	.267(-13)
9		.693(-20)	.689(-14)	.160(-13)	.323(-13)	.436(-13)	.434(-13)	.416(-13)	.294(-13)
10		.595(-21)	.100(-13)	.197(-13)	.373(-13)	.488(-13)	.480(-13)	.499(-13)	.313(-13)
11		.478(-22)	.657(-15)	.247(-13)	.435(-13)	.548(-13)	.554(-13)	.516(-13)	.347(-13)
12		.397(-23)	.412(-16)	.308(-13)	.511(-13)	.666(-13)	.639(-13)	.601(-13)	.409(-13)
13		.341(-24)	.306(-17)	.418(-13)	.634(-13)	.728(-13)	.725(-13)	.662(-13)	.450(-13)
14		.288(-25)	.240(-18)	.595(-13)	.741(-13)	.899(-13)	.823(-13)	.757(-13)	.524(-13)
15			.197(-19)	.763(-13)	.909(-13)	.101(-12)	.958(-13)	.894(-13)	.566(-13)
16			.171(-20)	.594(-14)	.113(-12)	.123(-12)	.109(-12)	.989(-13)	.625(-13)
17			.152(-21)	.437(-15)	.140(-12)	.143(-12)	.127(-12)	.114(-12)	.725(-13)
18			.141(-22)	.364(-16)	.183(-12)	.173(-12)	.147(-12)	.129(-12)	.811(-13)
19			.138(-23)	.322(-17)	.249(-12)	.205(-12)	.173(-12)	.149(-12)	.923(-13)
20			.138(-24)	.307(-18)	.294(-12)	.249(-12)	.202(-12)	.174(-12)	.108(-12)
21			.141(-25)	.313(-19)	.280(-13)	.305(-12)	.238(-12)	.200(-12)	.124(-12)
22				.318(-20)	.251(-14)	.380(-12)	.281(-12)	.232(-12)	.141(-12)
23				.349(-21)	.240(-15)	.489(-12)	.334(-12)	.273(-12)	.161(-12)
24				.378(-22)	.245(-16)	.647(-12)	.401(-12)	.320(-12)	.186(-12)
25				.441(-23)	.284(-17)	.757(-12)	.486(-12)	.376(-12)	.217(-12)
26				.586(-24)	.358(-18)	.875(-13)	.597(-12)	.445(-12)	.252(-12)
27				.740(-25)	.427(-19)	.913(-14)	.747(-12)	.529(-12)	.295(-12)
28					.555(-20)	.113(-14)	.961(-12)	.631(-12)	.348(-12)
29					.819(-21)	.154(-15)	.128(-11)	.762(-12)	.411(-12)
30					.107(-21)	.195(-16)	.156(-11)	.925(-12)	.489(-12)
31					.180(-22)	.320(-17)	.227(-12)	.114(-11)	.583(-12)
32					.257(-23)	.440(-18)	.291(-13)	.143(-11)	.701(-12)
33					.472(-24)	.805(-19)	.468(-14)	.186(-11)	.847(-12)
34					.760(-25)	.127(-19)	.738(-15)	.251(-11)	.103(-11)
35					.143(-25)	.231(-20)	.122(-15)	.318(-11)	.127(-11)
36						.460(-21)	.243(-16)	.535(-12)	.158(-11)
37						.846(-22)	.441(-17)	.872(-13)	.201(-11)
38						.166(-22)	.830(-18)	.152(-13)	.262(-11)
39						.385(-23)	.187(-18)	.317(-14)	.357(-11)
40						.903(-24)	.436(-19)	.712(-15)	.470(-11)

Virt&I-Comm.5.2014.11

Table LXXXI		RIOS LEPS REACTIVE					$T_{tr}=2000.$		$T_{rot}= 500.$	
v'	v	3	5	10	15	20	25	30	35	
0		.161(-14)	.137(-14)	.459(-13)	.235(-12)	.305(-12)	.256(-12)	.196(-12)	.142(-12)	
1		.625(-14)	.515(-14)	.947(-13)	.176(-12)	.274(-12)	.281(-12)	.222(-12)	.160(-12)	
2		.158(-13)	.124(-13)	.109(-12)	.201(-12)	.246(-12)	.283(-12)	.242(-12)	.178(-12)	
3		.448(-13)	.252(-13)	.118(-12)	.211(-12)	.269(-12)	.278(-12)	.254(-12)	.195(-12)	
4		.564(-14)	.534(-13)	.139(-12)	.243(-12)	.299(-12)	.292(-12)	.265(-12)	.206(-12)	
5		.105(-14)	.205(-12)	.169(-12)	.275(-12)	.333(-12)	.328(-12)	.274(-12)	.231(-12)	
6		.325(-15)	.227(-13)	.207(-12)	.318(-12)	.379(-12)	.370(-12)	.304(-12)	.239(-12)	
7		.111(-15)	.517(-14)	.266(-12)	.372(-12)	.431(-12)	.406(-12)	.357(-12)	.250(-12)	
8		.352(-16)	.128(-14)	.362(-12)	.441(-12)	.497(-12)	.457(-12)	.375(-12)	.293(-12)	
9		.991(-17)	.339(-15)	.559(-12)	.526(-12)	.581(-12)	.542(-12)	.429(-12)	.325(-12)	
10		.271(-17)	.929(-16)	.940(-12)	.637(-12)	.669(-12)	.609(-12)	.482(-12)	.372(-12)	
11		.766(-18)	.252(-16)	.177(-12)	.784(-12)	.771(-12)	.694(-12)	.556(-12)	.404(-12)	
12		.220(-18)	.694(-17)	.377(-13)	.980(-12)	.907(-12)	.804(-12)	.632(-12)	.456(-12)	
13		.625(-19)	.194(-17)	.929(-14)	.129(-11)	.108(-11)	.912(-12)	.720(-12)	.515(-12)	
14		.176(-19)	.548(-18)	.241(-14)	.182(-11)	.127(-11)	.107(-11)	.815(-12)	.587(-12)	
15		.504(-20)	.156(-18)	.646(-15)	.256(-11)	.154(-11)	.123(-11)	.938(-12)	.682(-12)	
16		.148(-20)	.452(-19)	.179(-15)	.592(-12)	.188(-11)	.144(-11)	.107(-11)	.767(-12)	
17		.445(-21)	.133(-19)	.506(-16)	.139(-12)	.232(-11)	.169(-11)	.124(-11)	.874(-12)	
18		.134(-21)	.397(-20)	.147(-16)	.364(-13)	.298(-11)	.199(-11)	.143(-11)	.992(-12)	
19		.409(-22)	.119(-20)	.438(-17)	.100(-13)	.404(-11)	.236(-11)	.165(-11)	.113(-11)	
20		.125(-22)	.367(-21)	.131(-17)	.289(-14)	.529(-11)	.282(-11)	.192(-11)	.131(-11)	
21		.389(-23)	.114(-21)	.397(-18)	.861(-15)	.140(-11)	.342(-11)	.224(-11)	.150(-11)	
22		.124(-23)	.366(-22)	.124(-18)	.260(-15)	.371(-12)	.423(-11)	.263(-11)	.174(-11)	
23		.406(-24)	.119(-22)	.405(-19)	.816(-16)	.105(-12)	.538(-11)	.310(-11)	.202(-11)	
24		.136(-24)	.391(-23)	.132(-19)	.257(-16)	.313(-13)	.718(-11)	.368(-11)	.235(-11)	
25		.468(-25)	.131(-23)	.434(-20)	.835(-17)	.981(-14)	.925(-11)	.441(-11)	.274(-11)	
26		.165(-25)	.454(-24)	.146(-20)	.284(-17)	.323(-14)	.272(-11)	.536(-11)	.322(-11)	
27			.159(-24)	.509(-21)	.974(-18)	.106(-14)	.790(-12)	.664(-11)	.379(-11)	
28			.560(-25)	.179(-21)	.333(-18)	.361(-15)	.251(-12)	.846(-11)	.449(-11)	
29			.204(-25)	.653(-22)	.121(-18)	.130(-15)	.853(-13)	.112(-10)	.536(-11)	
30				.235(-22)	.435(-19)	.455(-16)	.285(-13)	.146(-10)	.646(-11)	
31				.894(-23)	.164(-19)	.172(-16)	.106(-13)	.476(-11)	.789(-11)	
32				.343(-23)	.614(-20)	.629(-17)	.375(-14)	.155(-11)	.981(-11)	
33				.140(-23)	.245(-20)	.249(-17)	.147(-14)	.552(-12)	.125(-10)	
34				.553(-24)	.959(-21)	.957(-18)	.558(-15)	.203(-12)	.167(-10)	
35				.229(-24)	.400(-21)	.391(-18)	.223(-15)	.770(-13)	.223(-10)	

Virt&I-Comm.5.2014.11

Table LXXXII		RIOS LEPS REACTIVE					$T_{tr}=2000.$		$T_{rot}=1000.$	
v'	v	3	5	10	15	20	25	30	35	
0		.136(-14)	.116(-14)	.393(-13)	.203(-12)	.265(-12)	.225(-12)	.173(-12)	.126(-12)	
1		.529(-14)	.436(-14)	.813(-13)	.152(-12)	.239(-12)	.246(-12)	.195(-12)	.142(-12)	
2		.134(-13)	.105(-13)	.940(-13)	.174(-12)	.214(-12)	.249(-12)	.213(-12)	.159(-12)	
3		.379(-13)	.214(-13)	.101(-12)	.182(-12)	.234(-12)	.243(-12)	.225(-12)	.174(-12)	
4		.477(-14)	.453(-13)	.119(-12)	.210(-12)	.260(-12)	.255(-12)	.234(-12)	.184(-12)	
5		.888(-15)	.174(-12)	.145(-12)	.237(-12)	.290(-12)	.287(-12)	.241(-12)	.205(-12)	
6		.274(-15)	.193(-13)	.177(-12)	.275(-12)	.329(-12)	.324(-12)	.267(-12)	.213(-12)	
7		.941(-16)	.438(-14)	.228(-12)	.321(-12)	.375(-12)	.355(-12)	.314(-12)	.221(-12)	
8		.296(-16)	.108(-14)	.310(-12)	.381(-12)	.432(-12)	.400(-12)	.330(-12)	.261(-12)	
9		.834(-17)	.285(-15)	.479(-12)	.454(-12)	.506(-12)	.475(-12)	.378(-12)	.288(-12)	
10		.228(-17)	.783(-16)	.805(-12)	.550(-12)	.583(-12)	.533(-12)	.424(-12)	.330(-12)	
11		.643(-18)	.212(-16)	.151(-12)	.677(-12)	.671(-12)	.608(-12)	.489(-12)	.358(-12)	
12		.185(-18)	.583(-17)	.320(-13)	.846(-12)	.789(-12)	.705(-12)	.557(-12)	.405(-12)	
13		.525(-19)	.163(-17)	.787(-14)	.111(-11)	.942(-12)	.799(-12)	.634(-12)	.457(-12)	
14		.147(-19)	.460(-18)	.203(-14)	.158(-11)	.111(-11)	.939(-12)	.718(-12)	.521(-12)	
15		.423(-20)	.131(-18)	.545(-15)	.221(-11)	.134(-11)	.107(-11)	.827(-12)	.605(-12)	
16		.124(-20)	.380(-19)	.150(-15)	.507(-12)	.164(-11)	.127(-11)	.946(-12)	.681(-12)	
17		.373(-21)	.112(-19)	.426(-16)	.119(-12)	.202(-11)	.148(-11)	.109(-11)	.777(-12)	
18		.112(-21)	.333(-20)	.123(-16)	.309(-13)	.260(-11)	.175(-11)	.126(-11)	.881(-12)	
19		.342(-22)	.100(-20)	.368(-17)	.850(-14)	.352(-11)	.207(-11)	.146(-11)	.100(-11)	
20		.104(-22)	.308(-21)	.110(-17)	.244(-14)	.461(-11)	.248(-11)	.170(-11)	.116(-11)	
21		.325(-23)	.962(-22)	.334(-18)	.727(-15)	.120(-11)	.300(-11)	.198(-11)	.134(-11)	
22		.104(-23)	.307(-22)	.104(-18)	.219(-15)	.317(-12)	.371(-11)	.232(-11)	.155(-11)	
23		.340(-24)	.100(-22)	.340(-19)	.687(-16)	.897(-13)	.473(-11)	.273(-11)	.180(-11)	
24		.114(-24)	.328(-23)	.111(-19)	.216(-16)	.266(-13)	.631(-11)	.325(-11)	.209(-11)	
25		.392(-25)	.110(-23)	.364(-20)	.702(-17)	.831(-14)	.811(-11)	.389(-11)	.244(-11)	
26		.138(-25)	.380(-24)	.122(-20)	.239(-17)	.273(-14)	.235(-11)	.473(-11)	.286(-11)	
27			.133(-24)	.427(-21)	.818(-18)	.902(-15)	.677(-12)	.587(-11)	.337(-11)	
28			.469(-25)	.150(-21)	.280(-18)	.304(-15)	.214(-12)	.748(-11)	.400(-11)	
29			.171(-25)	.547(-22)	.101(-18)	.109(-15)	.725(-13)	.994(-11)	.478(-11)	
30				.196(-22)	.365(-19)	.383(-16)	.242(-13)	.129(-10)	.576(-11)	
31				.749(-23)	.138(-19)	.144(-16)	.897(-14)	.414(-11)	.703(-11)	
32				.287(-23)	.515(-20)	.529(-17)	.317(-14)	.133(-11)	.874(-11)	
33				.117(-23)	.205(-20)	.209(-17)	.124(-14)	.473(-12)	.111(-10)	
34				.463(-24)	.804(-21)	.804(-18)	.470(-15)	.173(-12)	.149(-10)	
35				.191(-24)	.335(-21)	.328(-18)	.188(-15)	.655(-13)	.199(-10)	

Virt&I-Comm.5.2014.11

Table LXXXIII		RIOS LEPS REACTIVE					$T_{tr}=2000.$		$T_{rot}=2000.$	
v'	v	3	5	10	15	20	25	30	35	
0		.104(-14)	.886(-15)	.305(-13)	.159(-12)	.210(-12)	.179(-12)	.139(-12)	.102(-12)	
1		.405(-14)	.334(-14)	.632(-13)	.119(-12)	.189(-12)	.196(-12)	.157(-12)	.115(-12)	
2		.102(-13)	.808(-14)	.730(-13)	.136(-12)	.169(-12)	.198(-12)	.171(-12)	.128(-12)	
3		.290(-13)	.164(-13)	.784(-13)	.142(-12)	.185(-12)	.194(-12)	.180(-12)	.141(-12)	
4		.364(-14)	.348(-13)	.929(-13)	.164(-12)	.205(-12)	.203(-12)	.187(-12)	.148(-12)	
5		.676(-15)	.134(-12)	.112(-12)	.186(-12)	.228(-12)	.228(-12)	.193(-12)	.166(-12)	
6		.209(-15)	.147(-13)	.137(-12)	.215(-12)	.260(-12)	.258(-12)	.214(-12)	.172(-12)	
7		.715(-16)	.334(-14)	.177(-12)	.251(-12)	.296(-12)	.283(-12)	.252(-12)	.179(-12)	
8		.225(-16)	.825(-15)	.240(-12)	.298(-12)	.341(-12)	.318(-12)	.264(-12)	.211(-12)	
9		.632(-17)	.217(-15)	.372(-12)	.356(-12)	.399(-12)	.378(-12)	.303(-12)	.232(-12)	
10		.172(-17)	.595(-16)	.624(-12)	.431(-12)	.460(-12)	.425(-12)	.339(-12)	.267(-12)	
11		.487(-18)	.161(-16)	.116(-12)	.530(-12)	.530(-12)	.484(-12)	.392(-12)	.289(-12)	
12		.140(-18)	.442(-17)	.246(-13)	.663(-12)	.624(-12)	.562(-12)	.446(-12)	.327(-12)	
13		.397(-19)	.124(-17)	.602(-14)	.874(-12)	.745(-12)	.636(-12)	.508(-12)	.369(-12)	
14		.111(-19)	.348(-18)	.155(-14)	.123(-11)	.880(-12)	.748(-12)	.575(-12)	.421(-12)	
15		.319(-20)	.993(-19)	.415(-15)	.173(-11)	.106(-11)	.859(-12)	.662(-12)	.489(-12)	
16		.941(-21)	.287(-19)	.114(-15)	.393(-12)	.129(-11)	.101(-11)	.757(-12)	.550(-12)	
17		.281(-21)	.847(-20)	.324(-16)	.917(-13)	.160(-11)	.118(-11)	.877(-12)	.627(-12)	
18		.852(-22)	.252(-20)	.940(-17)	.237(-13)	.206(-11)	.139(-11)	.101(-11)	.711(-12)	
19		.258(-22)	.757(-21)	.279(-17)	.650(-14)	.279(-11)	.165(-11)	.117(-11)	.814(-12)	
20		.790(-23)	.232(-21)	.836(-18)	.186(-14)	.364(-11)	.198(-11)	.136(-11)	.941(-12)	
21		.245(-23)	.726(-22)	.252(-18)	.553(-15)	.939(-12)	.240(-11)	.159(-11)	.108(-11)	
22		.784(-24)	.231(-22)	.792(-19)	.167(-15)	.245(-12)	.296(-11)	.186(-11)	.125(-11)	
23		.256(-24)	.754(-23)	.257(-19)	.522(-16)	.690(-13)	.378(-11)	.219(-11)	.145(-11)	
24		.860(-25)	.247(-23)	.842(-20)	.164(-16)	.204(-13)	.504(-11)	.260(-11)	.169(-11)	
25		.295(-25)	.831(-24)	.275(-20)	.532(-17)	.635(-14)	.645(-11)	.313(-11)	.197(-11)	
26		.104(-25)	.286(-24)	.928(-21)	.181(-17)	.208(-14)	.184(-11)	.380(-11)	.231(-11)	
27			.100(-24)	.322(-21)	.619(-18)	.687(-15)	.525(-12)	.471(-11)	.273(-11)	
28			.353(-25)	.113(-21)	.212(-18)	.231(-15)	.165(-12)	.601(-11)	.324(-11)	
29			.129(-25)	.413(-22)	.769(-19)	.832(-16)	.557(-13)	.799(-11)	.387(-11)	
30				.148(-22)	.276(-19)	.290(-16)	.185(-13)	.103(-10)	.466(-11)	
31				.565(-23)	.104(-19)	.109(-16)	.686(-14)	.326(-11)	.570(-11)	
32				.217(-23)	.389(-20)	.401(-17)	.242(-14)	.104(-11)	.709(-11)	
33				.884(-24)	.155(-20)	.159(-17)	.950(-15)	.366(-12)	.908(-11)	
34				.349(-24)	.607(-21)	.609(-18)	.358(-15)	.133(-12)	.121(-10)	
35				.144(-24)	.253(-21)	.248(-18)	.143(-15)	.503(-13)	.161(-10)	

Virt&I-Comm.5.2014.11

Table LXXXIV		RIOS LEPS REACTIVE					$T_{tr}=2000.$		$T_{rot}=4000.$	
v'	v	3	5	10	15	20	25	30	35	
0		.709(-15)	.601(-15)	.210(-13)	.111(-12)	.147(-12)	.126(-12)	.986(-13)	.732(-13)	
1		.275(-14)	.227(-14)	.436(-13)	.827(-13)	.132(-12)	.139(-12)	.111(-12)	.826(-13)	
2		.698(-14)	.550(-14)	.503(-13)	.947(-13)	.118(-12)	.140(-12)	.121(-12)	.922(-13)	
3		.197(-13)	.111(-13)	.540(-13)	.991(-13)	.129(-12)	.137(-12)	.128(-12)	.101(-12)	
4		.247(-14)	.237(-13)	.640(-13)	.114(-12)	.144(-12)	.143(-12)	.133(-12)	.106(-12)	
5		.458(-15)	.917(-13)	.777(-13)	.129(-12)	.160(-12)	.161(-12)	.137(-12)	.119(-12)	
6		.141(-15)	.100(-13)	.948(-13)	.149(-12)	.182(-12)	.182(-12)	.151(-12)	.123(-12)	
7		.483(-16)	.227(-14)	.122(-12)	.174(-12)	.207(-12)	.199(-12)	.179(-12)	.127(-12)	
8		.152(-16)	.559(-15)	.166(-12)	.207(-12)	.239(-12)	.224(-12)	.187(-12)	.150(-12)	
9		.426(-17)	.147(-15)	.256(-12)	.247(-12)	.280(-12)	.266(-12)	.215(-12)	.166(-12)	
10		.116(-17)	.402(-16)	.430(-12)	.299(-12)	.322(-12)	.299(-12)	.240(-12)	.191(-12)	
11		.328(-18)	.108(-16)	.798(-13)	.369(-12)	.371(-12)	.341(-12)	.277(-12)	.206(-12)	
12		.944(-19)	.298(-17)	.167(-13)	.461(-12)	.437(-12)	.396(-12)	.316(-12)	.233(-12)	
13		.267(-19)	.835(-18)	.409(-14)	.608(-12)	.522(-12)	.448(-12)	.360(-12)	.263(-12)	
14		.750(-20)	.234(-18)	.105(-14)	.861(-12)	.617(-12)	.528(-12)	.408(-12)	.300(-12)	
15		.214(-20)	.668(-19)	.281(-15)	.120(-11)	.744(-12)	.606(-12)	.469(-12)	.349(-12)	
16		.632(-21)	.193(-19)	.775(-16)	.270(-12)	.911(-12)	.715(-12)	.537(-12)	.392(-12)	
17		.189(-21)	.569(-20)	.218(-16)	.627(-13)	.112(-11)	.835(-12)	.622(-12)	.448(-12)	
18		.572(-22)	.169(-20)	.633(-17)	.161(-13)	.144(-11)	.988(-12)	.717(-12)	.508(-12)	
19		.173(-22)	.508(-21)	.188(-17)	.441(-14)	.196(-11)	.117(-11)	.832(-12)	.581(-12)	
20		.529(-23)	.156(-21)	.563(-18)	.126(-14)	.255(-11)	.140(-11)	.967(-12)	.672(-12)	
21		.164(-23)	.487(-22)	.170(-18)	.374(-15)	.649(-12)	.169(-11)	.112(-11)	.774(-12)	
22		.525(-24)	.155(-22)	.533(-19)	.112(-15)	.168(-12)	.209(-11)	.132(-11)	.895(-12)	
23		.172(-24)	.506(-23)	.173(-19)	.352(-16)	.471(-13)	.267(-11)	.156(-11)	.104(-11)	
24		.576(-25)	.166(-23)	.566(-20)	.111(-16)	.139(-13)	.356(-11)	.185(-11)	.121(-11)	
25		.198(-25)	.557(-24)	.185(-20)	.359(-17)	.431(-14)	.455(-11)	.222(-11)	.141(-11)	
26			.192(-24)	.623(-21)	.122(-17)	.141(-14)	.128(-11)	.270(-11)	.166(-11)	
27			.673(-25)	.216(-21)	.417(-18)	.465(-15)	.362(-12)	.335(-11)	.195(-11)	
28			.237(-25)	.759(-22)	.142(-18)	.156(-15)	.113(-12)	.427(-11)	.232(-11)	
29				.277(-22)	.517(-19)	.562(-16)	.380(-13)	.568(-11)	.277(-11)	
30				.996(-23)	.185(-19)	.196(-16)	.126(-13)	.735(-11)	.334(-11)	
31				.379(-23)	.702(-20)	.741(-17)	.466(-14)	.228(-11)	.408(-11)	
32				.145(-23)	.261(-20)	.270(-17)	.164(-14)	.719(-12)	.508(-11)	
33				.593(-24)	.104(-20)	.107(-17)	.643(-15)	.252(-12)	.651(-11)	
34				.234(-24)	.407(-21)	.410(-18)	.242(-15)	.916(-13)	.873(-11)	
35				.970(-25)	.170(-21)	.167(-18)	.967(-16)	.343(-13)	.115(-10)	

Virt&I-Comm.5.2014.11

Table LXXXV		RIOS LEPS REACTIVE				$T_{tr}=4000.$		$T_{rot}= 500.$	
v'	v	1	3	5	10	15	20	25	27
0		.299(-12)	.125(-12)	.102(-12)	.353(-12)	.821(-12)	.835(-12)	.624(-12)	.539(-12)
1		.624(-12)	.292(-12)	.215(-12)	.562(-12)	.729(-12)	.781(-12)	.661(-12)	.586(-12)
2		.179(-12)	.572(-12)	.373(-12)	.680(-12)	.805(-12)	.764(-12)	.678(-12)	.616(-12)
3		.567(-13)	.150(-11)	.609(-12)	.791(-12)	.883(-12)	.829(-12)	.698(-12)	.641(-12)
4		.199(-13)	.351(-12)	.107(-11)	.947(-12)	.100(-11)	.921(-12)	.750(-12)	.681(-12)
5		.855(-14)	.124(-12)	.313(-11)	.115(-11)	.114(-11)	.103(-11)	.836(-12)	.748(-12)
6		.436(-14)	.561(-13)	.675(-12)	.141(-11)	.132(-11)	.117(-11)	.937(-12)	.829(-12)
7		.248(-14)	.283(-13)	.264(-12)	.180(-11)	.154(-11)	.133(-11)	.104(-11)	.932(-12)
8		.149(-14)	.146(-13)	.117(-12)	.239(-11)	.181(-11)	.152(-11)	.118(-11)	.106(-11)
9		.898(-15)	.745(-14)	.551(-13)	.355(-11)	.215(-11)	.175(-11)	.135(-11)	.119(-11)
10		.520(-15)	.376(-14)	.267(-13)	.667(-11)	.258(-11)	.201(-11)	.153(-11)	.134(-11)
11		.288(-15)	.192(-14)	.131(-13)	.203(-11)	.313(-11)	.232(-11)	.174(-11)	.153(-11)
12		.153(-15)	.989(-15)	.655(-14)	.805(-12)	.388(-11)	.271(-11)	.199(-11)	.174(-11)
13		.799(-16)	.507(-15)	.330(-14)	.359(-12)	.500(-11)	.318(-11)	.227(-11)	.199(-11)
14		.414(-16)	.260(-15)	.167(-14)	.168(-12)	.699(-11)	.374(-11)	.262(-11)	.227(-11)
15		.217(-16)	.135(-15)	.856(-15)	.815(-13)	.108(-10)	.446(-11)	.301(-11)	.261(-11)
16		.115(-16)	.705(-16)	.441(-15)	.402(-13)	.402(-11)	.537(-11)	.350(-11)	.299(-11)
17		.622(-17)	.371(-16)	.230(-15)	.202(-13)	.170(-11)	.657(-11)	.406(-11)	.346(-11)
18		.339(-17)	.196(-16)	.120(-15)	.103(-13)	.787(-12)	.830(-11)	.475(-11)	.399(-11)
19		.186(-17)	.104(-16)	.635(-16)	.536(-14)	.382(-12)	.111(-10)	.557(-11)	.464(-11)
20		.102(-17)	.557(-17)	.338(-16)	.279(-14)	.191(-12)	.161(-10)	.660(-11)	.541(-11)
21		.561(-18)	.300(-17)	.181(-16)	.146(-14)	.979(-13)	.665(-11)	.790(-11)	.636(-11)
22		.308(-18)	.163(-17)	.985(-17)	.786(-15)	.508(-13)	.300(-11)	.962(-11)	.754(-11)
23		.170(-18)	.901(-18)	.539(-17)	.427(-15)	.268(-13)	.146(-11)	.120(-10)	.902(-11)
24		.939(-19)	.502(-18)	.296(-17)	.233(-15)	.143(-13)	.740(-12)	.160(-10)	.109(-10)
25		.520(-19)	.282(-18)	.165(-17)	.127(-15)	.777(-14)	.385(-12)	.225(-10)	.136(-10)
26		.290(-19)	.160(-18)	.926(-18)	.709(-16)	.428(-14)	.206(-12)	.996(-11)	.180(-10)
27		.163(-19)	.919(-19)	.524(-18)	.398(-16)	.238(-14)	.111(-12)	.473(-11)	.254(-10)

Virt&I-Comm.5.2014.11

Table LXXXVI		RIOS LEPS REACTIVE				$T_{tr}=4000.$		$T_{rot}=1000.$	
v'	v	1	3	5	10	15	20	25	27
0		.273(-12)	.114(-12)	.936(-13)	.327(-12)	.767(-12)	.784(-12)	.588(-12)	.508(-12)
1		.570(-12)	.267(-12)	.197(-12)	.521(-12)	.679(-12)	.733(-12)	.623(-12)	.553(-12)
2		.163(-12)	.524(-12)	.342(-12)	.629(-12)	.750(-12)	.715(-12)	.639(-12)	.582(-12)
3		.517(-13)	.138(-11)	.559(-12)	.732(-12)	.822(-12)	.776(-12)	.657(-12)	.605(-12)
4		.181(-13)	.321(-12)	.982(-12)	.876(-12)	.937(-12)	.863(-12)	.706(-12)	.642(-12)
5		.778(-14)	.113(-12)	.288(-11)	.106(-11)	.107(-11)	.966(-12)	.786(-12)	.705(-12)
6		.396(-14)	.512(-13)	.619(-12)	.131(-11)	.123(-11)	.109(-11)	.881(-12)	.781(-12)
7		.226(-14)	.258(-13)	.242(-12)	.166(-11)	.143(-11)	.124(-11)	.982(-12)	.879(-12)
8		.136(-14)	.133(-13)	.107(-12)	.222(-11)	.169(-11)	.142(-11)	.111(-11)	.100(-11)
9		.815(-15)	.677(-14)	.502(-13)	.329(-11)	.200(-11)	.164(-11)	.127(-11)	.112(-11)
10		.472(-15)	.342(-14)	.243(-13)	.617(-11)	.240(-11)	.189(-11)	.144(-11)	.127(-11)
11		.261(-15)	.174(-14)	.119(-13)	.187(-11)	.292(-11)	.217(-11)	.164(-11)	.144(-11)
12		.139(-15)	.898(-15)	.595(-14)	.739(-12)	.361(-11)	.254(-11)	.188(-11)	.164(-11)
13		.724(-16)	.460(-15)	.299(-14)	.329(-12)	.466(-11)	.298(-11)	.214(-11)	.188(-11)
14		.375(-16)	.236(-15)	.152(-14)	.154(-12)	.651(-11)	.351(-11)	.247(-11)	.214(-11)
15		.196(-16)	.122(-15)	.777(-15)	.744(-13)	.101(-10)	.418(-11)	.284(-11)	.246(-11)
16		.104(-16)	.639(-16)	.400(-15)	.367(-13)	.372(-11)	.503(-11)	.329(-11)	.283(-11)
17		.563(-17)	.336(-16)	.208(-15)	.184(-13)	.156(-11)	.616(-11)	.383(-11)	.326(-11)
18		.307(-17)	.178(-16)	.109(-15)	.942(-14)	.723(-12)	.779(-11)	.448(-11)	.377(-11)
19		.168(-17)	.945(-17)	.576(-16)	.487(-14)	.350(-12)	.105(-10)	.525(-11)	.438(-11)
20		.924(-18)	.504(-17)	.306(-16)	.254(-14)	.175(-12)	.151(-10)	.622(-11)	.511(-11)
21		.507(-18)	.271(-17)	.164(-16)	.133(-14)	.894(-13)	.618(-11)	.745(-11)	.601(-11)
22		.279(-18)	.148(-17)	.892(-17)	.713(-15)	.463(-13)	.277(-11)	.908(-11)	.713(-11)
23		.153(-18)	.815(-18)	.488(-17)	.387(-15)	.244(-13)	.134(-11)	.114(-10)	.853(-11)
24		.849(-19)	.454(-18)	.268(-17)	.211(-15)	.130(-13)	.679(-12)	.151(-10)	.103(-10)
25		.470(-19)	.255(-18)	.149(-17)	.116(-15)	.706(-14)	.353(-12)	.212(-10)	.129(-10)
26		.262(-19)	.145(-18)	.838(-18)	.643(-16)	.389(-14)	.188(-12)	.929(-11)	.171(-10)
27		.147(-19)	.831(-19)	.474(-18)	.361(-16)	.216(-14)	.102(-12)	.438(-11)	.239(-10)

Virt&I-Comm.5.2014.11

Table LXXXVII		RIOS LEPS REACTIVE			$T_{tr}=4000.$		$T_{rot}=2000.$		
v'	v	1	3	5	10	15	20	25	27
0		.233(-12)	.976(-13)	.797(-13)	.283(-12)	.673(-12)	.694(-12)	.522(-12)	.453(-12)
1		.485(-12)	.228(-12)	.168(-12)	.453(-12)	.594(-12)	.648(-12)	.555(-12)	.494(-12)
2		.139(-12)	.448(-12)	.293(-12)	.547(-12)	.657(-12)	.631(-12)	.568(-12)	.520(-12)
3		.439(-13)	.118(-11)	.479(-12)	.635(-12)	.720(-12)	.685(-12)	.584(-12)	.539(-12)
4		.154(-13)	.274(-12)	.843(-12)	.760(-12)	.820(-12)	.761(-12)	.626(-12)	.571(-12)
5		.658(-14)	.964(-13)	.248(-11)	.924(-12)	.936(-12)	.852(-12)	.698(-12)	.628(-12)
6		.335(-14)	.435(-13)	.530(-12)	.113(-11)	.108(-11)	.965(-12)	.782(-12)	.695(-12)
7		.191(-14)	.219(-13)	.206(-12)	.144(-11)	.126(-11)	.109(-11)	.872(-12)	.781(-12)
8		.115(-14)	.113(-13)	.911(-13)	.192(-11)	.148(-11)	.125(-11)	.986(-12)	.895(-12)
9		.688(-15)	.574(-14)	.427(-13)	.286(-11)	.175(-11)	.145(-11)	.113(-11)	.100(-11)
10		.398(-15)	.289(-14)	.207(-13)	.535(-11)	.210(-11)	.166(-11)	.128(-11)	.113(-11)
11		.220(-15)	.147(-14)	.101(-13)	.161(-11)	.255(-11)	.192(-11)	.146(-11)	.128(-11)
12		.117(-15)	.758(-15)	.504(-14)	.634(-12)	.317(-11)	.224(-11)	.167(-11)	.146(-11)
13		.610(-16)	.388(-15)	.253(-14)	.281(-12)	.409(-11)	.263(-11)	.190(-11)	.167(-11)
14		.316(-16)	.199(-15)	.128(-14)	.131(-12)	.571(-11)	.310(-11)	.219(-11)	.191(-11)
15		.165(-16)	.103(-15)	.656(-15)	.633(-13)	.886(-11)	.369(-11)	.252(-11)	.219(-11)
16		.878(-17)	.538(-16)	.338(-15)	.312(-13)	.323(-11)	.445(-11)	.293(-11)	.252(-11)
17		.473(-17)	.283(-16)	.175(-15)	.156(-13)	.135(-11)	.544(-11)	.340(-11)	.291(-11)
18		.258(-17)	.149(-16)	.921(-16)	.798(-14)	.620(-12)	.689(-11)	.398(-11)	.336(-11)
19		.141(-17)	.795(-17)	.485(-16)	.412(-14)	.299(-12)	.929(-11)	.468(-11)	.391(-11)
20		.776(-18)	.424(-17)	.258(-16)	.214(-14)	.149(-12)	.133(-10)	.554(-11)	.456(-11)
21		.426(-18)	.228(-17)	.138(-16)	.112(-14)	.761(-13)	.539(-11)	.664(-11)	.537(-11)
22		.234(-18)	.124(-17)	.750(-17)	.602(-15)	.394(-13)	.240(-11)	.809(-11)	.636(-11)
23		.129(-18)	.685(-18)	.410(-17)	.327(-15)	.207(-13)	.115(-11)	.101(-10)	.763(-11)
24		.713(-19)	.381(-18)	.226(-17)	.178(-15)	.110(-13)	.582(-12)	.135(-10)	.927(-11)
25		.394(-19)	.214(-18)	.125(-17)	.977(-16)	.598(-14)	.301(-12)	.189(-10)	.115(-10)
26		.220(-19)	.122(-18)	.704(-18)	.541(-16)	.329(-14)	.161(-12)	.815(-11)	.153(-10)
27		.124(-19)	.697(-19)	.398(-18)	.304(-16)	.182(-14)	.869(-13)	.381(-11)	.214(-10)

Virt&I-Comm.5.2014.11

Table LXXXVIII		RIOS LEPS REACTIVE				$T_{tr}=4000.$		$T_{rot}=4000.$	
v'	v	1	3	5	10	15	20	25	27
0		.179(-12)	.752(-13)	.614(-13)	.222(-12)	.538(-12)	.558(-12)	.422(-12)	.367(-12)
1		.374(-12)	.176(-12)	.130(-12)	.357(-12)	.472(-12)	.520(-12)	.449(-12)	.401(-12)
2		.107(-12)	.347(-12)	.227(-12)	.431(-12)	.523(-12)	.505(-12)	.460(-12)	.422(-12)
3		.337(-13)	.915(-12)	.372(-12)	.500(-12)	.572(-12)	.549(-12)	.471(-12)	.437(-12)
4		.117(-13)	.211(-12)	.655(-12)	.598(-12)	.652(-12)	.610(-12)	.505(-12)	.462(-12)
5		.503(-14)	.742(-13)	.193(-11)	.727(-12)	.743(-12)	.683(-12)	.563(-12)	.508(-12)
6		.256(-14)	.334(-13)	.411(-12)	.895(-12)	.859(-12)	.773(-12)	.632(-12)	.563(-12)
7		.145(-14)	.168(-13)	.159(-12)	.113(-11)	.100(-11)	.880(-12)	.703(-12)	.632(-12)
8		.878(-15)	.865(-14)	.701(-13)	.151(-11)	.117(-11)	.100(-11)	.796(-12)	.725(-12)
9		.525(-15)	.439(-14)	.328(-13)	.225(-11)	.139(-11)	.116(-11)	.917(-12)	.809(-12)
10		.303(-15)	.221(-14)	.158(-13)	.421(-11)	.167(-11)	.133(-11)	.103(-11)	.915(-12)
11		.167(-15)	.112(-14)	.777(-14)	.126(-11)	.203(-11)	.154(-11)	.117(-11)	.104(-11)
12		.893(-16)	.578(-15)	.385(-14)	.493(-12)	.252(-11)	.179(-11)	.135(-11)	.118(-11)
13		.464(-16)	.296(-15)	.193(-14)	.218(-12)	.325(-11)	.211(-11)	.153(-11)	.135(-11)
14		.240(-16)	.151(-15)	.980(-15)	.101(-12)	.455(-11)	.249(-11)	.177(-11)	.154(-11)
15		.125(-16)	.784(-16)	.500(-15)	.487(-13)	.704(-11)	.296(-11)	.204(-11)	.178(-11)
16		.666(-17)	.409(-16)	.257(-15)	.239(-13)	.254(-11)	.357(-11)	.237(-11)	.204(-11)
17		.359(-17)	.215(-16)	.133(-15)	.119(-13)	.105(-11)	.438(-11)	.275(-11)	.236(-11)
18		.195(-17)	.113(-16)	.700(-16)	.610(-14)	.482(-12)	.554(-11)	.322(-11)	.273(-11)
19		.107(-17)	.603(-17)	.368(-16)	.315(-14)	.231(-12)	.747(-11)	.379(-11)	.317(-11)
20		.588(-18)	.321(-17)	.196(-16)	.163(-14)	.115(-12)	.107(-10)	.449(-11)	.371(-11)
21		.323(-18)	.173(-17)	.105(-16)	.859(-15)	.586(-13)	.427(-11)	.538(-11)	.436(-11)
22		.177(-18)	.943(-18)	.569(-17)	.459(-15)	.302(-13)	.188(-11)	.657(-11)	.517(-11)
23		.977(-19)	.519(-18)	.311(-17)	.249(-15)	.159(-13)	.904(-12)	.825(-11)	.620(-11)
24		.539(-19)	.289(-18)	.171(-17)	.135(-15)	.847(-14)	.452(-12)	.109(-10)	.754(-11)
25		.298(-19)	.162(-18)	.951(-18)	.743(-16)	.457(-14)	.233(-12)	.152(-10)	.943(-11)
26		.166(-19)	.923(-19)	.533(-18)	.411(-16)	.251(-14)	.124(-12)	.650(-11)	.124(-10)
27		.938(-20)	.528(-19)	.301(-18)	.230(-16)	.139(-14)	.669(-13)	.301(-11)	.173(-10)

Virt&I-Comm.5.2014.11

Table LXXXIX		RIOS LEPS REACTIVE					$T_{tr}=8000.$	$T_{rot}=500.$	
v'	v	1	3	5	7	10	11	13	15
0		.353(-11)	.172(-11)	.129(-11)	.124(-11)	.147(-11)	.157(-11)	.175(-11)	.182(-11)
1		.710(-11)	.272(-11)	.189(-11)	.174(-11)	.187(-11)	.190(-11)	.188(-11)	.181(-11)
2		.250(-11)	.435(-11)	.266(-11)	.230(-11)	.223(-11)	.219(-11)	.209(-11)	.198(-11)
3		.119(-11)	.994(-11)	.377(-11)	.299(-11)	.263(-11)	.255(-11)	.238(-11)	.221(-11)
4		.640(-12)	.336(-11)	.581(-11)	.389(-11)	.314(-11)	.300(-11)	.274(-11)	.251(-11)
5		.376(-12)	.170(-11)	.138(-10)	.521(-11)	.378(-11)	.355(-11)	.318(-11)	.286(-11)
6		.238(-12)	.994(-12)	.454(-11)	.766(-11)	.461(-11)	.425(-11)	.371(-11)	.329(-11)
7		.160(-12)	.625(-12)	.240(-11)	.170(-10)	.574(-11)	.514(-11)	.437(-11)	.382(-11)
8		.111(-12)	.407(-12)	.142(-11)	.589(-11)	.744(-11)	.638(-11)	.519(-11)	.445(-11)
9		.795(-13)	.270(-12)	.893(-12)	.316(-11)	.105(-10)	.820(-11)	.626(-11)	.522(-11)
10		.567(-13)	.181(-12)	.576(-12)	.188(-11)	.205(-10)	.115(-10)	.768(-11)	.617(-11)
11		.403(-13)	.122(-12)	.378(-12)	.118(-11)	.803(-11)	.217(-10)	.975(-11)	.739(-11)
12		.284(-13)	.838(-13)	.251(-12)	.763(-12)	.439(-11)	.876(-11)	.135(-10)	.900(-11)
13		.199(-13)	.573(-13)	.169(-12)	.501(-12)	.266(-11)	.484(-11)	.239(-10)	.113(-10)
14		.139(-13)	.394(-13)	.114(-12)	.333(-12)	.168(-11)	.294(-11)	.102(-10)	.154(-10)
15		.984(-14)	.272(-13)	.779(-13)	.224(-12)	.109(-11)	.187(-11)	.576(-11)	.263(-10)

Table XC		RIOS LEPS REACTIVE					$T_{tr}=8000.$	$T_{rot}=1000.$	
v'	v	1	3	5	7	10	11	13	15
0		.338(-11)	.165(-11)	.123(-11)	.119(-11)	.141(-11)	.152(-11)	.169(-11)	.177(-11)
1		.681(-11)	.261(-11)	.181(-11)	.167(-11)	.180(-11)	.184(-11)	.182(-11)	.175(-11)
2		.239(-11)	.417(-11)	.256(-11)	.222(-11)	.215(-11)	.211(-11)	.203(-11)	.192(-11)
3		.114(-11)	.955(-11)	.363(-11)	.288(-11)	.254(-11)	.246(-11)	.231(-11)	.214(-11)
4		.611(-12)	.322(-11)	.559(-11)	.374(-11)	.303(-11)	.290(-11)	.265(-11)	.243(-11)
5		.359(-12)	.163(-11)	.133(-10)	.502(-11)	.365(-11)	.343(-11)	.308(-11)	.278(-11)
6		.227(-12)	.951(-12)	.436(-11)	.738(-11)	.445(-11)	.411(-11)	.359(-11)	.320(-11)
7		.152(-12)	.597(-12)	.230(-11)	.164(-10)	.555(-11)	.498(-11)	.423(-11)	.370(-11)
8		.106(-12)	.389(-12)	.136(-11)	.567(-11)	.719(-11)	.617(-11)	.503(-11)	.432(-11)
9		.757(-13)	.258(-12)	.854(-12)	.303(-11)	.102(-10)	.793(-11)	.606(-11)	.506(-11)
10		.540(-13)	.173(-12)	.550(-12)	.180(-11)	.198(-10)	.111(-10)	.745(-11)	.599(-11)
11		.384(-13)	.117(-12)	.361(-12)	.113(-11)	.774(-11)	.210(-10)	.946(-11)	.717(-11)
12		.271(-13)	.798(-13)	.240(-12)	.730(-12)	.423(-11)	.846(-11)	.130(-10)	.874(-11)
13		.190(-13)	.546(-13)	.161(-12)	.478(-12)	.255(-11)	.465(-11)	.232(-10)	.110(-10)
14		.133(-13)	.375(-13)	.109(-12)	.318(-12)	.161(-11)	.283(-11)	.993(-11)	.150(-10)
15		.935(-14)	.259(-13)	.742(-13)	.213(-12)	.104(-11)	.179(-11)	.555(-11)	.255(-10)

Virt&I-Comm.5.2014.11

Table XCI		RIOS LEPS REACTIVE					$T_{tr}=8000.$	$T_{rot}=2000.$		
v'	v	1	3	5	7	10	11	13	15	
0		.312(-11)	.151(-11)	.113(-11)	.110(-11)	.132(-11)	.142(-11)	.159(-11)	.167(-11)	
1		.627(-11)	.241(-11)	.167(-11)	.154(-11)	.168(-11)	.172(-11)	.171(-11)	.165(-11)	
2		.220(-11)	.385(-11)	.236(-11)	.206(-11)	.201(-11)	.198(-11)	.190(-11)	.181(-11)	
3		.105(-11)	.884(-11)	.336(-11)	.268(-11)	.237(-11)	.230(-11)	.216(-11)	.201(-11)	
4		.560(-12)	.297(-11)	.518(-11)	.348(-11)	.283(-11)	.271(-11)	.249(-11)	.228(-11)	
5		.328(-12)	.150(-11)	.124(-10)	.467(-11)	.341(-11)	.321(-11)	.289(-11)	.261(-11)	
6		.208(-12)	.873(-12)	.404(-11)	.687(-11)	.416(-11)	.384(-11)	.337(-11)	.300(-11)	
7		.139(-12)	.548(-12)	.213(-11)	.153(-10)	.519(-11)	.466(-11)	.397(-11)	.348(-11)	
8		.973(-13)	.357(-12)	.125(-11)	.526(-11)	.672(-11)	.578(-11)	.472(-11)	.406(-11)	
9		.691(-13)	.236(-12)	.785(-12)	.280(-11)	.955(-11)	.743(-11)	.569(-11)	.476(-11)	
10		.493(-13)	.158(-12)	.505(-12)	.166(-11)	.186(-10)	.104(-10)	.699(-11)	.564(-11)	
11		.350(-13)	.107(-12)	.331(-12)	.104(-11)	.721(-11)	.196(-10)	.889(-11)	.675(-11)	
12		.247(-13)	.729(-13)	.219(-12)	.670(-12)	.392(-11)	.788(-11)	.123(-10)	.823(-11)	
13		.173(-13)	.498(-13)	.147(-12)	.439(-12)	.236(-11)	.432(-11)	.218(-10)	.103(-10)	
14		.121(-13)	.342(-13)	.996(-13)	.291(-12)	.149(-11)	.261(-11)	.928(-11)	.141(-10)	
15		.852(-14)	.236(-13)	.678(-13)	.195(-12)	.964(-12)	.165(-11)	.516(-11)	.240(-10)	

Table XCII		RIOS LEPS REACTIVE					$T_{tr}=8000.$	$T_{rot}=4000.$		
v'	v	1	3	5	7	10	11	13	15	
0		.269(-11)	.130(-11)	.980(-12)	.956(-12)	.115(-11)	.124(-11)	.141(-11)	.149(-11)	
1		.541(-11)	.208(-11)	.144(-11)	.134(-11)	.148(-11)	.151(-11)	.151(-11)	.146(-11)	
2		.189(-11)	.334(-11)	.205(-11)	.179(-11)	.177(-11)	.174(-11)	.168(-11)	.160(-11)	
3		.902(-12)	.767(-11)	.291(-11)	.233(-11)	.209(-11)	.203(-11)	.191(-11)	.178(-11)	
4		.479(-12)	.257(-11)	.451(-11)	.304(-11)	.249(-11)	.238(-11)	.220(-11)	.203(-11)	
5		.280(-12)	.129(-11)	.108(-10)	.408(-11)	.300(-11)	.283(-11)	.255(-11)	.231(-11)	
6		.177(-12)	.750(-12)	.350(-11)	.602(-11)	.366(-11)	.338(-11)	.298(-11)	.266(-11)	
7		.119(-12)	.470(-12)	.184(-11)	.134(-10)	.456(-11)	.410(-11)	.351(-11)	.309(-11)	
8		.829(-13)	.305(-12)	.108(-11)	.458(-11)	.592(-11)	.509(-11)	.418(-11)	.360(-11)	
9		.589(-13)	.202(-12)	.675(-12)	.243(-11)	.842(-11)	.656(-11)	.504(-11)	.423(-11)	
10		.420(-13)	.135(-12)	.433(-12)	.144(-11)	.163(-10)	.924(-11)	.619(-11)	.501(-11)	
11		.298(-13)	.913(-13)	.283(-12)	.897(-12)	.631(-11)	.173(-10)	.788(-11)	.600(-11)	
12		.210(-13)	.621(-13)	.188(-12)	.576(-12)	.341(-11)	.691(-11)	.109(-10)	.732(-11)	
13		.147(-13)	.424(-13)	.125(-12)	.376(-12)	.205(-11)	.376(-11)	.193(-10)	.924(-11)	
14		.102(-13)	.291(-13)	.849(-13)	.249(-12)	.128(-11)	.227(-11)	.816(-11)	.126(-10)	
15		.722(-14)	.200(-13)	.577(-13)	.167(-12)	.830(-12)	.143(-11)	.451(-11)	.213(-10)	

Virt&I-Comm.5.2014.11

Table XCIII		RIOS L0 REACTIVE				$T_{tr}= 500.$	$T_{rot}= 500.$		
v'	v	10	15	20	25	30	35	40	43
0		.348(-17)	.296(-15)	.167(-14)	.354(-14)	.577(-14)	.749(-14)	.585(-14)	.569(-14)
1		.105(-16)	.142(-15)	.121(-14)	.384(-14)	.729(-14)	.992(-14)	.735(-14)	.699(-14)
2		.117(-16)	.182(-15)	.885(-15)	.326(-14)	.782(-14)	.118(-13)	.871(-14)	.829(-14)
3		.866(-17)	.175(-15)	.107(-14)	.283(-14)	.732(-14)	.128(-13)	.984(-14)	.954(-14)
4		.108(-16)	.209(-15)	.117(-14)	.305(-14)	.674(-14)	.128(-13)	.106(-13)	.101(-13)
5		.142(-16)	.229(-15)	.122(-14)	.343(-14)	.690(-14)	.127(-13)	.104(-13)	.106(-13)
6		.163(-16)	.284(-15)	.147(-14)	.376(-14)	.774(-14)	.121(-13)	.113(-13)	.126(-13)
7		.221(-16)	.326(-15)	.165(-14)	.411(-14)	.876(-14)	.133(-13)	.117(-13)	.110(-13)
8		.316(-16)	.408(-15)	.190(-14)	.459(-14)	.886(-14)	.154(-13)	.116(-13)	.122(-13)
9		.466(-16)	.488(-15)	.230(-14)	.558(-14)	.109(-13)	.159(-13)	.130(-13)	.122(-13)
10		.571(-16)	.609(-15)	.262(-14)	.592(-14)	.112(-13)	.188(-13)	.145(-13)	.151(-13)
11		.402(-18)	.770(-15)	.316(-14)	.710(-14)	.135(-13)	.193(-13)	.155(-13)	.156(-13)
12		.219(-20)	.979(-15)	.366(-14)	.848(-14)	.152(-13)	.234(-13)	.184(-13)	.177(-13)
13		.151(-22)	.131(-14)	.457(-14)	.895(-14)	.173(-13)	.244(-13)	.185(-13)	.191(-13)
14		.971(-25)	.175(-14)	.524(-14)	.117(-13)	.198(-13)	.290(-13)	.231(-13)	.203(-13)
15			.182(-14)	.652(-14)	.122(-13)	.234(-13)	.347(-13)	.233(-13)	.241(-13)
16			.162(-16)	.805(-14)	.157(-13)	.258(-13)	.354(-13)	.270(-13)	.252(-13)
17			.119(-18)	.963(-14)	.177(-13)	.314(-13)	.451(-13)	.323(-13)	.285(-13)
18			.995(-21)	.125(-13)	.213(-13)	.353(-13)	.495(-13)	.345(-13)	.348(-13)
19			.880(-23)	.158(-13)	.251(-13)	.423(-13)	.570(-13)	.402(-13)	.381(-13)
20			.932(-25)	.154(-13)	.301(-13)	.489(-13)	.673(-13)	.467(-13)	.423(-13)
21				.216(-15)	.364(-13)	.578(-13)	.777(-13)	.526(-13)	.489(-13)
22				.255(-17)	.448(-13)	.679(-13)	.915(-13)	.605(-13)	.557(-13)
23				.326(-19)	.566(-13)	.803(-13)	.108(-12)	.701(-13)	.634(-13)
24				.401(-21)	.730(-13)	.953(-13)	.126(-12)	.817(-13)	.724(-13)
25				.523(-23)	.790(-13)	.114(-12)	.150(-12)	.957(-13)	.839(-13)
26				.107(-24)	.166(-14)	.137(-12)	.179(-12)	.112(-12)	.978(-13)
27					.287(-16)	.169(-12)	.214(-12)	.132(-12)	.114(-12)
28					.443(-18)	.213(-12)	.257(-12)	.157(-12)	.134(-12)
29					.125(-19)	.278(-12)	.309(-12)	.188(-12)	.158(-12)
30					.239(-21)	.326(-12)	.373(-12)	.225(-12)	.188(-12)
31					.743(-23)	.944(-14)	.456(-12)	.272(-12)	.224(-12)
32					.176(-24)	.217(-15)	.563(-12)	.333(-12)	.269(-12)
33						.811(-17)	.709(-12)	.407(-12)	.326(-12)
34						.192(-18)	.920(-12)	.504(-12)	.401(-12)
35						.932(-20)	.108(-11)	.629(-12)	.493(-12)
36						.394(-21)	.458(-13)	.791(-12)	.618(-12)
37						.123(-22)	.148(-14)	.101(-11)	.777(-12)
38						.695(-24)	.740(-16)	.131(-11)	.998(-12)
39						.449(-25)	.457(-17)	.174(-11)	.129(-11)
40							.283(-18)	.206(-11)	.171(-11)
41							.172(-19)	.203(-12)	.231(-11)
42							.111(-20)	.127(-13)	.318(-11)
43							.783(-22)	.860(-15)	.376(-11)

Virt&I-Comm.5.2014.11

Table XCIV		RIOS L0 REACTIVE				$T_{lr}=500.$	$T_{rot}=1000.$		
v'	v	10	15	20	25	30	35	40	43
0		.235(-17)	.201(-15)	.113(-14)	.242(-14)	.397(-14)	.518(-14)	.406(-14)	.395(-14)
1		.714(-17)	.966(-16)	.826(-15)	.262(-14)	.501(-14)	.687(-14)	.511(-14)	.487(-14)
2		.792(-17)	.123(-15)	.603(-15)	.223(-14)	.537(-14)	.818(-14)	.606(-14)	.579(-14)
3		.585(-17)	.118(-15)	.734(-15)	.193(-14)	.503(-14)	.892(-14)	.685(-14)	.667(-14)
4		.731(-17)	.142(-15)	.799(-15)	.209(-14)	.463(-14)	.890(-14)	.744(-14)	.713(-14)
5		.963(-17)	.155(-15)	.836(-15)	.235(-14)	.474(-14)	.880(-14)	.726(-14)	.744(-14)
6		.110(-16)	.192(-15)	.100(-14)	.257(-14)	.532(-14)	.843(-14)	.791(-14)	.886(-14)
7		.150(-16)	.221(-15)	.112(-14)	.281(-14)	.602(-14)	.925(-14)	.818(-14)	.775(-14)
8		.213(-16)	.276(-15)	.129(-14)	.314(-14)	.609(-14)	.107(-13)	.812(-14)	.858(-14)
9		.314(-16)	.331(-15)	.156(-14)	.382(-14)	.750(-14)	.110(-13)	.905(-14)	.858(-14)
10		.386(-16)	.413(-15)	.178(-14)	.405(-14)	.771(-14)	.130(-13)	.101(-13)	.105(-13)
11		.271(-18)	.522(-15)	.216(-14)	.486(-14)	.933(-14)	.133(-13)	.108(-13)	.109(-13)
12		.147(-20)	.665(-15)	.250(-14)	.580(-14)	.104(-13)	.162(-13)	.128(-13)	.123(-13)
13		.101(-22)	.889(-15)	.312(-14)	.612(-14)	.119(-13)	.169(-13)	.129(-13)	.133(-13)
14		.651(-25)	.119(-14)	.357(-14)	.803(-14)	.136(-13)	.201(-13)	.160(-13)	.141(-13)
15			.123(-14)	.445(-14)	.839(-14)	.161(-13)	.241(-13)	.162(-13)	.169(-13)
16			.109(-16)	.549(-14)	.107(-13)	.177(-13)	.245(-13)	.188(-13)	.176(-13)
17			.804(-19)	.657(-14)	.121(-13)	.216(-13)	.313(-13)	.225(-13)	.199(-13)
18			.668(-21)	.854(-14)	.146(-13)	.242(-13)	.343(-13)	.240(-13)	.243(-13)
19			.590(-23)	.108(-13)	.172(-13)	.291(-13)	.395(-13)	.280(-13)	.266(-13)
20			.624(-25)	.105(-13)	.206(-13)	.336(-13)	.466(-13)	.325(-13)	.295(-13)
21				.146(-15)	.249(-13)	.397(-13)	.538(-13)	.366(-13)	.342(-13)
22				.172(-17)	.307(-13)	.467(-13)	.634(-13)	.421(-13)	.389(-13)
23				.219(-19)	.387(-13)	.552(-13)	.748(-13)	.488(-13)	.443(-13)
24				.269(-21)	.499(-13)	.655(-13)	.878(-13)	.569(-13)	.506(-13)
25				.350(-23)	.540(-13)	.783(-13)	.104(-12)	.666(-13)	.587(-13)
26				.723(-25)	.112(-14)	.946(-13)	.124(-12)	.780(-13)	.684(-13)
27					.193(-16)	.116(-12)	.148(-12)	.923(-13)	.800(-13)
28					.298(-18)	.146(-12)	.178(-12)	.109(-12)	.942(-13)
29					.844(-20)	.191(-12)	.214(-12)	.131(-12)	.110(-12)
30					.160(-21)	.224(-12)	.258(-12)	.157(-12)	.131(-12)
31					.498(-23)	.642(-14)	.316(-12)	.189(-12)	.157(-12)
32					.118(-24)	.147(-15)	.390(-12)	.232(-12)	.189(-12)
33						.546(-17)	.491(-12)	.284(-12)	.228(-12)
34						.129(-18)	.637(-12)	.352(-12)	.281(-12)
35						.626(-20)	.748(-12)	.439(-12)	.346(-12)
36						.264(-21)	.313(-13)	.552(-12)	.434(-12)
37						.824(-23)	.100(-14)	.707(-12)	.546(-12)
38						.466(-24)	.499(-16)	.918(-12)	.702(-12)
39						.301(-25)	.308(-17)	.121(-11)	.910(-12)
40							.191(-18)	.144(-11)	.120(-11)
41							.115(-19)	.139(-12)	.163(-11)
42							.744(-21)	.866(-14)	.224(-11)
43							.525(-22)	.582(-15)	.264(-11)

Virt&I-Comm.5.2014.11

Table XCV		RIOS L0 REACTIVE				$T_{tr}=500.$	$T_{rot}=2000.$		
v'	v	10	15	20	25	30	35	40	43
0		.142(-17)	.122(-15)	.694(-15)	.148(-14)	.243(-14)	.320(-14)	.251(-14)	.244(-14)
1		.433(-17)	.587(-16)	.504(-15)	.160(-14)	.308(-14)	.424(-14)	.316(-14)	.302(-14)
2		.480(-17)	.751(-16)	.368(-15)	.136(-14)	.330(-14)	.506(-14)	.376(-14)	.360(-14)
3		.354(-17)	.721(-16)	.448(-15)	.118(-14)	.309(-14)	.552(-14)	.425(-14)	.415(-14)
4		.443(-17)	.864(-16)	.488(-15)	.127(-14)	.284(-14)	.550(-14)	.461(-14)	.444(-14)
5		.584(-17)	.947(-16)	.510(-15)	.143(-14)	.291(-14)	.544(-14)	.451(-14)	.463(-14)
6		.670(-17)	.117(-15)	.614(-15)	.157(-14)	.327(-14)	.521(-14)	.491(-14)	.551(-14)
7		.909(-17)	.134(-15)	.687(-15)	.172(-14)	.370(-14)	.571(-14)	.507(-14)	.482(-14)
8		.129(-16)	.168(-15)	.792(-15)	.192(-14)	.374(-14)	.661(-14)	.504(-14)	.534(-14)
9		.190(-16)	.201(-15)	.957(-15)	.233(-14)	.461(-14)	.681(-14)	.561(-14)	.533(-14)
10		.234(-16)	.251(-15)	.109(-14)	.248(-14)	.474(-14)	.806(-14)	.626(-14)	.657(-14)
11		.163(-18)	.318(-15)	.132(-14)	.297(-14)	.573(-14)	.827(-14)	.670(-14)	.678(-14)
12		.888(-21)	.404(-15)	.152(-14)	.355(-14)	.642(-14)	.100(-13)	.795(-14)	.771(-14)
13		.613(-23)	.541(-15)	.190(-14)	.374(-14)	.732(-14)	.104(-13)	.800(-14)	.832(-14)
14		.392(-25)	.725(-15)	.218(-14)	.492(-14)	.838(-14)	.124(-13)	.998(-14)	.882(-14)
15			.750(-15)	.272(-14)	.513(-14)	.990(-14)	.149(-13)	.100(-13)	.105(-13)
16			.663(-17)	.335(-14)	.658(-14)	.109(-13)	.151(-13)	.116(-13)	.109(-13)
17			.485(-19)	.401(-14)	.741(-14)	.132(-13)	.193(-13)	.139(-13)	.124(-13)
18			.403(-21)	.522(-14)	.893(-14)	.149(-13)	.212(-13)	.148(-13)	.151(-13)
19			.355(-23)	.661(-14)	.105(-13)	.179(-13)	.244(-13)	.173(-13)	.165(-13)
20			.376(-25)	.643(-14)	.126(-13)	.207(-13)	.288(-13)	.202(-13)	.184(-13)
21				.886(-16)	.152(-13)	.244(-13)	.332(-13)	.227(-13)	.212(-13)
22				.104(-17)	.188(-13)	.287(-13)	.392(-13)	.261(-13)	.242(-13)
23				.132(-19)	.237(-13)	.339(-13)	.462(-13)	.302(-13)	.276(-13)
24				.162(-21)	.306(-13)	.402(-13)	.543(-13)	.353(-13)	.315(-13)
25				.211(-23)	.330(-13)	.481(-13)	.645(-13)	.413(-13)	.365(-13)
26				.435(-25)	.685(-15)	.581(-13)	.769(-13)	.484(-13)	.426(-13)
27					.117(-16)	.714(-13)	.917(-13)	.573(-13)	.498(-13)
28					.180(-18)	.901(-13)	.110(-12)	.679(-13)	.587(-13)
29					.510(-20)	.117(-12)	.132(-12)	.813(-13)	.689(-13)
30					.967(-22)	.138(-12)	.160(-12)	.974(-13)	.821(-13)
31					.300(-23)	.391(-14)	.195(-12)	.117(-12)	.979(-13)
32					.712(-25)	.891(-16)	.241(-12)	.144(-12)	.117(-12)
33						.331(-17)	.303(-12)	.176(-12)	.142(-12)
34						.781(-19)	.394(-12)	.218(-12)	.175(-12)
35						.378(-20)	.462(-12)	.272(-12)	.216(-12)
36						.159(-21)	.191(-13)	.343(-12)	.271(-12)
37						.497(-23)	.609(-15)	.439(-12)	.341(-12)
38						.280(-24)	.302(-16)	.570(-12)	.439(-12)
39						.181(-25)	.186(-17)	.757(-12)	.569(-12)
40							.115(-18)	.895(-12)	.754(-12)
41							.698(-20)	.855(-13)	.102(-11)
42							.449(-21)	.527(-14)	.140(-11)
43							.317(-22)	.353(-15)	.165(-11)

Virt&I-Comm.5.2014.11

Table XCVI		RIOS L0 REACTIVE				$T_{lr}=500.$	$T_{rot}=4000.$		
v'	v	10	15	20	25	30	35	40	43
0		.798(-18)	.686(-16)	.390(-15)	.834(-15)	.137(-14)	.181(-14)	.142(-14)	.138(-14)
1		.242(-17)	.329(-16)	.283(-15)	.905(-15)	.173(-14)	.240(-14)	.179(-14)	.171(-14)
2		.268(-17)	.421(-16)	.206(-15)	.770(-15)	.186(-14)	.286(-14)	.213(-14)	.204(-14)
3		.198(-17)	.404(-16)	.251(-15)	.667(-15)	.174(-14)	.312(-14)	.241(-14)	.236(-14)
4		.248(-17)	.484(-16)	.274(-15)	.719(-15)	.160(-14)	.311(-14)	.262(-14)	.252(-14)
5		.327(-17)	.531(-16)	.286(-15)	.809(-15)	.164(-14)	.308(-14)	.256(-14)	.264(-14)
6		.375(-17)	.658(-16)	.345(-15)	.888(-15)	.184(-14)	.295(-14)	.278(-14)	.313(-14)
7		.509(-17)	.754(-16)	.386(-15)	.969(-15)	.209(-14)	.323(-14)	.288(-14)	.274(-14)
8		.724(-17)	.944(-16)	.445(-15)	.108(-14)	.211(-14)	.374(-14)	.286(-14)	.303(-14)
9		.106(-16)	.113(-15)	.538(-15)	.131(-14)	.260(-14)	.385(-14)	.318(-14)	.303(-14)
10		.130(-16)	.141(-15)	.612(-15)	.139(-14)	.267(-14)	.456(-14)	.355(-14)	.373(-14)
11		.914(-19)	.178(-15)	.741(-15)	.167(-14)	.323(-14)	.468(-14)	.380(-14)	.385(-14)
12		.495(-21)	.227(-15)	.858(-15)	.200(-14)	.362(-14)	.569(-14)	.451(-14)	.438(-14)
13		.342(-23)	.303(-15)	.107(-14)	.211(-14)	.413(-14)	.593(-14)	.454(-14)	.473(-14)
14		.218(-25)	.406(-15)	.122(-14)	.277(-14)	.473(-14)	.704(-14)	.567(-14)	.501(-14)
15			.420(-15)	.152(-14)	.289(-14)	.559(-14)	.843(-14)	.572(-14)	.599(-14)
16			.370(-17)	.188(-14)	.370(-14)	.615(-14)	.858(-14)	.663(-14)	.623(-14)
17			.271(-19)	.225(-14)	.417(-14)	.749(-14)	.109(-13)	.793(-14)	.704(-14)
18			.224(-21)	.293(-14)	.503(-14)	.841(-14)	.120(-13)	.845(-14)	.862(-14)
19			.198(-23)	.372(-14)	.594(-14)	.101(-13)	.138(-13)	.986(-14)	.942(-14)
20			.209(-25)	.361(-14)	.712(-14)	.116(-13)	.163(-13)	.114(-13)	.104(-13)
21				.496(-16)	.860(-14)	.137(-13)	.188(-13)	.129(-13)	.121(-13)
22				.581(-18)	.106(-13)	.162(-13)	.222(-13)	.148(-13)	.138(-13)
23				.739(-20)	.133(-13)	.191(-13)	.262(-13)	.172(-13)	.157(-13)
24				.906(-22)	.172(-13)	.227(-13)	.307(-13)	.200(-13)	.179(-13)
25				.117(-23)	.186(-13)	.271(-13)	.365(-13)	.235(-13)	.208(-13)
26				.242(-25)	.383(-15)	.328(-13)	.435(-13)	.275(-13)	.242(-13)
27					.655(-17)	.403(-13)	.519(-13)	.325(-13)	.283(-13)
28					.100(-18)	.508(-13)	.624(-13)	.385(-13)	.334(-13)
29					.284(-20)	.664(-13)	.752(-13)	.462(-13)	.392(-13)
30					.539(-22)	.778(-13)	.907(-13)	.553(-13)	.467(-13)
31					.167(-23)	.219(-14)	.110(-12)	.669(-13)	.557(-13)
32					.396(-25)	.498(-16)	.136(-12)	.819(-13)	.671(-13)
33						.185(-17)	.172(-12)	.100(-12)	.813(-13)
34						.436(-19)	.223(-12)	.124(-12)	.100(-12)
35						.210(-20)	.262(-12)	.155(-12)	.123(-12)
36						.890(-22)	.107(-13)	.195(-12)	.154(-12)
37						.277(-23)	.341(-15)	.250(-12)	.194(-12)
38						.156(-24)	.169(-16)	.324(-12)	.250(-12)
39						.101(-25)	.104(-17)	.430(-12)	.325(-12)
40							.644(-19)	.508(-12)	.430(-12)
41							.389(-20)	.482(-13)	.582(-12)
42							.250(-21)	.296(-14)	.802(-12)
43							.176(-22)	.198(-15)	.940(-12)

Virt&I-Comm.5.2014.11

Table XCVII		RIOS L0 REACTIVE				$T_{tr}=1000.$	$T_{rot}= 500.$		
v'	v	5	10	15	20	25	30	35	40
0		.920(-18)	.116(-14)	.213(-13)	.501(-13)	.585(-13)	.555(-13)	.473(-13)	.338(-13)
1		.637(-17)	.355(-14)	.142(-13)	.345(-13)	.594(-13)	.650(-13)	.573(-13)	.392(-13)
2		.248(-16)	.448(-14)	.153(-13)	.295(-13)	.508(-13)	.675(-13)	.644(-13)	.441(-13)
3		.781(-16)	.409(-14)	.157(-13)	.340(-13)	.468(-13)	.643(-13)	.679(-13)	.484(-13)
4		.237(-15)	.458(-14)	.177(-13)	.356(-13)	.510(-13)	.612(-13)	.687(-13)	.513(-13)
5		.133(-14)	.561(-14)	.199(-13)	.392(-13)	.564(-13)	.638(-13)	.699(-13)	.497(-13)
6		.516(-16)	.677(-14)	.232(-13)	.446(-13)	.611(-13)	.725(-13)	.674(-13)	.563(-13)
7		.384(-17)	.868(-14)	.270(-13)	.505(-13)	.672(-13)	.796(-13)	.760(-13)	.598(-13)
8		.275(-18)	.118(-13)	.323(-13)	.581(-13)	.767(-13)	.819(-13)	.877(-13)	.603(-13)
9		.211(-19)	.178(-13)	.384(-13)	.678(-13)	.896(-13)	.992(-13)	.917(-13)	.665(-13)
10		.173(-20)	.244(-13)	.471(-13)	.775(-13)	.969(-13)	.105(-12)	.105(-12)	.738(-13)
11		.135(-21)	.166(-14)	.577(-13)	.909(-13)	.114(-12)	.124(-12)	.111(-12)	.812(-13)
12		.109(-22)	.107(-15)	.727(-13)	.107(-12)	.133(-12)	.139(-12)	.129(-12)	.935(-13)
13		.920(-24)	.787(-17)	.952(-13)	.127(-12)	.147(-12)	.158(-12)	.142(-12)	.999(-13)
14		.774(-25)	.608(-18)	.128(-12)	.148(-12)	.179(-12)	.180(-12)	.164(-12)	.115(-12)
15			.501(-19)	.153(-12)	.180(-12)	.199(-12)	.210(-12)	.192(-12)	.125(-12)
16			.426(-20)	.126(-13)	.218(-12)	.240(-12)	.235(-12)	.206(-12)	.140(-12)
17			.374(-21)	.963(-15)	.266(-12)	.276(-12)	.279(-12)	.246(-12)	.161(-12)
18			.345(-22)	.803(-16)	.340(-12)	.327(-12)	.318(-12)	.277(-12)	.180(-12)
19			.324(-23)	.700(-17)	.440(-12)	.385(-12)	.374(-12)	.316(-12)	.207(-12)
20			.315(-24)	.665(-18)	.508(-12)	.459(-12)	.434(-12)	.367(-12)	.238(-12)
21			.321(-25)	.665(-19)	.511(-13)	.554(-12)	.508(-12)	.424(-12)	.270(-12)
22				.684(-20)	.489(-14)	.679(-12)	.596(-12)	.496(-12)	.308(-12)
23				.791(-21)	.505(-15)	.857(-12)	.702(-12)	.579(-12)	.353(-12)
24				.892(-22)	.536(-16)	.111(-11)	.831(-12)	.676(-12)	.408(-12)
25				.979(-23)	.586(-17)	.130(-11)	.992(-12)	.795(-12)	.474(-12)
26				.126(-23)	.731(-18)	.160(-12)	.120(-11)	.939(-12)	.550(-12)
27				.175(-24)	.975(-19)	.188(-13)	.147(-11)	.111(-11)	.643(-12)
28				.216(-25)	.120(-19)	.224(-14)	.186(-11)	.132(-11)	.755(-12)
29					.178(-20)	.322(-15)	.243(-11)	.159(-11)	.894(-12)
30					.257(-21)	.437(-16)	.293(-11)	.191(-11)	.105(-11)
31					.392(-22)	.675(-17)	.423(-12)	.234(-11)	.126(-11)
32					.635(-23)	.103(-17)	.609(-13)	.290(-11)	.151(-11)
33					.107(-23)	.178(-18)	.989(-14)	.369(-11)	.182(-11)
34					.175(-24)	.282(-19)	.152(-14)	.482(-11)	.222(-11)
35					.353(-25)	.565(-20)	.289(-15)	.588(-11)	.273(-11)
36						.103(-20)	.534(-16)	.104(-11)	.340(-11)
37						.193(-21)	.962(-17)	.179(-12)	.432(-11)
38						.428(-22)	.206(-17)	.353(-13)	.561(-11)
39						.975(-23)	.467(-18)	.760(-14)	.753(-11)
40						.219(-23)	.104(-18)	.167(-14)	.951(-11)

Virt&I-Comm.5.2014.11

Table XCVIII		RIOS L0 REACTIVE				$T_{tr}=1000.$		$T_{rot}=1000.$	
v'	v	5	10	15	20	25	30	35	40
0		.699(-18)	.890(-15)	.165(-13)	.388(-13)	.456(-13)	.436(-13)	.374(-13)	.268(-13)
1		.484(-17)	.272(-14)	.109(-13)	.268(-13)	.464(-13)	.511(-13)	.454(-13)	.311(-13)
2		.188(-16)	.343(-14)	.118(-13)	.229(-13)	.397(-13)	.531(-13)	.510(-13)	.350(-13)
3		.594(-16)	.313(-14)	.121(-13)	.264(-13)	.365(-13)	.506(-13)	.538(-13)	.385(-13)
4		.180(-15)	.351(-14)	.136(-13)	.276(-13)	.398(-13)	.481(-13)	.545(-13)	.408(-13)
5		.101(-14)	.430(-14)	.153(-13)	.304(-13)	.440(-13)	.501(-13)	.554(-13)	.395(-13)
6		.392(-16)	.518(-14)	.179(-13)	.346(-13)	.476(-13)	.570(-13)	.534(-13)	.448(-13)
7		.291(-17)	.665(-14)	.208(-13)	.392(-13)	.524(-13)	.626(-13)	.602(-13)	.475(-13)
8		.208(-18)	.910(-14)	.249(-13)	.451(-13)	.598(-13)	.644(-13)	.695(-13)	.479(-13)
9		.160(-19)	.136(-13)	.296(-13)	.526(-13)	.700(-13)	.779(-13)	.726(-13)	.528(-13)
10		.130(-20)	.187(-13)	.363(-13)	.602(-13)	.756(-13)	.832(-13)	.833(-13)	.586(-13)
11		.102(-21)	.127(-14)	.445(-13)	.706(-13)	.890(-13)	.978(-13)	.881(-13)	.645(-13)
12		.828(-23)	.815(-16)	.561(-13)	.831(-13)	.104(-12)	.109(-12)	.102(-12)	.743(-13)
13		.693(-24)	.597(-17)	.735(-13)	.992(-13)	.114(-12)	.124(-12)	.112(-12)	.793(-13)
14		.584(-25)	.460(-18)	.989(-13)	.114(-12)	.140(-12)	.141(-12)	.130(-12)	.917(-13)
15			.379(-19)	.118(-12)	.140(-12)	.155(-12)	.165(-12)	.152(-12)	.992(-13)
16			.322(-20)	.964(-14)	.169(-12)	.188(-12)	.185(-12)	.163(-12)	.111(-12)
17			.282(-21)	.734(-15)	.206(-12)	.216(-12)	.219(-12)	.195(-12)	.128(-12)
18			.260(-22)	.610(-16)	.264(-12)	.255(-12)	.250(-12)	.219(-12)	.143(-12)
19			.244(-23)	.531(-17)	.342(-12)	.301(-12)	.294(-12)	.250(-12)	.165(-12)
20			.237(-24)	.503(-18)	.394(-12)	.358(-12)	.341(-12)	.291(-12)	.189(-12)
21			.242(-25)	.503(-19)	.392(-13)	.432(-12)	.400(-12)	.336(-12)	.214(-12)
22				.516(-20)	.374(-14)	.530(-12)	.469(-12)	.393(-12)	.245(-12)
23				.598(-21)	.384(-15)	.669(-12)	.552(-12)	.459(-12)	.281(-12)
24				.673(-22)	.407(-16)	.868(-12)	.653(-12)	.536(-12)	.325(-12)
25				.739(-23)	.444(-17)	.102(-11)	.780(-12)	.631(-12)	.376(-12)
26				.951(-24)	.554(-18)	.123(-12)	.944(-12)	.745(-12)	.438(-12)
27				.132(-24)	.738(-19)	.144(-13)	.116(-11)	.883(-12)	.511(-12)
28				.163(-25)	.911(-20)	.171(-14)	.146(-11)	.105(-11)	.601(-12)
29					.134(-20)	.245(-15)	.191(-11)	.126(-11)	.711(-12)
30					.194(-21)	.331(-16)	.230(-11)	.152(-11)	.840(-12)
31					.296(-22)	.512(-17)	.328(-12)	.186(-11)	.100(-11)
32					.479(-23)	.784(-18)	.467(-13)	.230(-11)	.120(-11)
33					.807(-24)	.135(-18)	.756(-14)	.293(-11)	.145(-11)
34					.132(-24)	.213(-19)	.116(-14)	.383(-11)	.177(-11)
35					.266(-25)	.427(-20)	.220(-15)	.466(-11)	.218(-11)
36						.784(-21)	.406(-16)	.812(-12)	.271(-11)
37						.145(-21)	.729(-17)	.138(-12)	.345(-11)
38						.323(-22)	.156(-17)	.270(-13)	.447(-11)
39						.736(-23)	.353(-18)	.580(-14)	.601(-11)
40						.165(-23)	.788(-19)	.127(-14)	.758(-11)

Virt&I-Comm.5.2014.11

Table XCIX		RIOS L0 REACTIVE				$T_{tr}=1000.$		$T_{rot}=2000.$	
v'	v	5	10	15	20	25	30	35	40
0		.472(-18)	.606(-15)	.113(-13)	.268(-13)	.316(-13)	.303(-13)	.262(-13)	.188(-13)
1		.327(-17)	.185(-14)	.751(-14)	.184(-13)	.322(-13)	.356(-13)	.319(-13)	.218(-13)
2		.127(-16)	.234(-14)	.808(-14)	.157(-13)	.275(-13)	.370(-13)	.359(-13)	.246(-13)
3		.401(-16)	.213(-14)	.832(-14)	.181(-13)	.252(-13)	.353(-13)	.379(-13)	.271(-13)
4		.121(-15)	.239(-14)	.934(-14)	.190(-13)	.275(-13)	.335(-13)	.383(-13)	.288(-13)
5		.687(-15)	.293(-14)	.105(-13)	.209(-13)	.305(-13)	.349(-13)	.389(-13)	.279(-13)
6		.265(-16)	.353(-14)	.123(-13)	.238(-13)	.330(-13)	.397(-13)	.375(-13)	.315(-13)
7		.196(-17)	.453(-14)	.142(-13)	.270(-13)	.363(-13)	.436(-13)	.422(-13)	.335(-13)
8		.140(-18)	.620(-14)	.171(-13)	.310(-13)	.414(-13)	.448(-13)	.488(-13)	.337(-13)
9		.107(-19)	.932(-14)	.203(-13)	.362(-13)	.484(-13)	.543(-13)	.510(-13)	.372(-13)
10		.877(-21)	.127(-13)	.249(-13)	.414(-13)	.523(-13)	.579(-13)	.585(-13)	.412(-13)
11		.686(-22)	.862(-15)	.305(-13)	.486(-13)	.617(-13)	.681(-13)	.618(-13)	.454(-13)
12		.555(-23)	.550(-16)	.384(-13)	.573(-13)	.720(-13)	.764(-13)	.723(-13)	.523(-13)
13		.465(-24)	.402(-17)	.503(-13)	.684(-13)	.795(-13)	.870(-13)	.791(-13)	.557(-13)
14		.391(-25)	.309(-18)	.678(-13)	.791(-13)	.973(-13)	.986(-13)	.913(-13)	.646(-13)
15			.255(-19)	.812(-13)	.966(-13)	.107(-12)	.115(-12)	.107(-12)	.698(-13)
16			.216(-20)	.655(-14)	.117(-12)	.130(-12)	.129(-12)	.114(-12)	.786(-13)
17			.189(-21)	.496(-15)	.142(-12)	.149(-12)	.153(-12)	.137(-12)	.903(-13)
18			.174(-22)	.412(-16)	.182(-12)	.177(-12)	.174(-12)	.154(-12)	.100(-12)
19			.164(-23)	.357(-17)	.235(-12)	.208(-12)	.205(-12)	.176(-12)	.116(-12)
20			.159(-24)	.338(-18)	.271(-12)	.248(-12)	.238(-12)	.204(-12)	.133(-12)
21			.162(-25)	.338(-19)	.268(-13)	.299(-12)	.279(-12)	.236(-12)	.151(-12)
22				.347(-20)	.253(-14)	.367(-12)	.327(-12)	.276(-12)	.172(-12)
23				.401(-21)	.260(-15)	.464(-12)	.385(-12)	.323(-12)	.198(-12)
24				.452(-22)	.274(-16)	.601(-12)	.456(-12)	.377(-12)	.228(-12)
25				.495(-23)	.299(-17)	.706(-12)	.544(-12)	.444(-12)	.265(-12)
26				.637(-24)	.372(-18)	.844(-13)	.658(-12)	.524(-12)	.308(-12)
27				.884(-25)	.496(-19)	.979(-14)	.810(-12)	.621(-12)	.360(-12)
28				.109(-25)	.612(-20)	.116(-14)	.102(-11)	.741(-12)	.424(-12)
29					.903(-21)	.166(-15)	.133(-11)	.889(-12)	.501(-12)
30					.130(-21)	.223(-16)	.160(-11)	.107(-11)	.592(-12)
31					.198(-22)	.345(-17)	.225(-12)	.130(-11)	.708(-12)
32					.321(-23)	.527(-18)	.318(-13)	.162(-11)	.850(-12)
33					.541(-24)	.910(-19)	.513(-14)	.206(-11)	.102(-11)
34					.888(-25)	.143(-19)	.786(-15)	.269(-11)	.125(-11)
35					.178(-25)	.286(-20)	.148(-15)	.328(-11)	.154(-11)
36						.526(-21)	.274(-16)	.561(-12)	.192(-11)
37						.977(-22)	.491(-17)	.946(-13)	.243(-11)
38						.217(-22)	.105(-17)	.184(-13)	.316(-11)
39						.493(-23)	.238(-18)	.394(-14)	.425(-11)
40						.110(-23)	.530(-19)	.864(-15)	.535(-11)

Virt&I-Comm.5.2014.11

Table C		RIOS L0 REACTIVE				$T_{tr}=1000.$	$T_{rot}=4000.$		
v'	v	5	10	15	20	25	30	35	40
0		.286(-18)	.370(-15)	.693(-14)	.165(-13)	.195(-13)	.188(-13)	.163(-13)	.117(-13)
1		.198(-17)	.113(-14)	.460(-14)	.113(-13)	.199(-13)	.221(-13)	.199(-13)	.136(-13)
2		.772(-17)	.142(-14)	.495(-14)	.971(-14)	.170(-13)	.230(-13)	.224(-13)	.154(-13)
3		.243(-16)	.130(-14)	.510(-14)	.111(-13)	.156(-13)	.219(-13)	.237(-13)	.170(-13)
4		.739(-16)	.145(-14)	.572(-14)	.117(-13)	.170(-13)	.208(-13)	.239(-13)	.180(-13)
5		.417(-15)	.178(-14)	.644(-14)	.129(-13)	.188(-13)	.217(-13)	.243(-13)	.174(-13)
6		.160(-16)	.215(-14)	.753(-14)	.146(-13)	.204(-13)	.246(-13)	.234(-13)	.197(-13)
7		.118(-17)	.276(-14)	.875(-14)	.166(-13)	.224(-13)	.271(-13)	.264(-13)	.209(-13)
8		.847(-19)	.378(-14)	.104(-13)	.191(-13)	.256(-13)	.278(-13)	.305(-13)	.211(-13)
9		.649(-20)	.568(-14)	.124(-13)	.223(-13)	.299(-13)	.337(-13)	.318(-13)	.232(-13)
10		.529(-21)	.776(-14)	.152(-13)	.255(-13)	.323(-13)	.359(-13)	.365(-13)	.258(-13)
11		.413(-22)	.524(-15)	.187(-13)	.299(-13)	.381(-13)	.423(-13)	.386(-13)	.284(-13)
12		.335(-23)	.333(-16)	.235(-13)	.352(-13)	.445(-13)	.474(-13)	.451(-13)	.327(-13)
13		.280(-24)	.243(-17)	.308(-13)	.421(-13)	.491(-13)	.540(-13)	.493(-13)	.348(-13)
14		.235(-25)	.187(-18)	.415(-13)	.487(-13)	.601(-13)	.612(-13)	.570(-13)	.404(-13)
15			.154(-19)	.497(-13)	.595(-13)	.665(-13)	.716(-13)	.668(-13)	.436(-13)
16			.130(-20)	.399(-14)	.720(-13)	.805(-13)	.801(-13)	.715(-13)	.491(-13)
17			.114(-21)	.301(-15)	.877(-13)	.925(-13)	.951(-13)	.857(-13)	.565(-13)
18			.105(-22)	.249(-16)	.112(-12)	.109(-12)	.108(-12)	.964(-13)	.630(-13)
19			.989(-24)	.216(-17)	.145(-12)	.129(-12)	.127(-12)	.110(-12)	.726(-13)
20			.959(-25)	.204(-18)	.167(-12)	.153(-12)	.147(-12)	.127(-12)	.833(-13)
21				.204(-19)	.163(-13)	.185(-12)	.173(-12)	.147(-12)	.945(-13)
22				.209(-20)	.154(-14)	.227(-12)	.203(-12)	.172(-12)	.108(-12)
23				.242(-21)	.157(-15)	.287(-12)	.239(-12)	.202(-12)	.123(-12)
24				.272(-22)	.166(-16)	.372(-12)	.283(-12)	.235(-12)	.143(-12)
25				.298(-23)	.181(-17)	.436(-12)	.338(-12)	.277(-12)	.166(-12)
26				.384(-24)	.225(-18)	.517(-13)	.409(-12)	.327(-12)	.193(-12)
27				.533(-25)	.299(-19)	.597(-14)	.503(-12)	.388(-12)	.225(-12)
28					.369(-20)	.705(-15)	.635(-12)	.463(-12)	.265(-12)
29					.545(-21)	.100(-15)	.829(-12)	.556(-12)	.314(-12)
30					.785(-22)	.135(-16)	.998(-12)	.670(-12)	.371(-12)
31					.119(-22)	.208(-17)	.138(-12)	.818(-12)	.443(-12)
32					.193(-23)	.319(-18)	.194(-13)	.101(-11)	.533(-12)
33					.326(-24)	.549(-19)	.312(-14)	.128(-11)	.643(-12)
34					.535(-25)	.865(-20)	.478(-15)	.168(-11)	.786(-12)
35					.107(-25)	.173(-20)	.902(-16)	.204(-11)	.966(-12)
36						.317(-21)	.166(-16)	.345(-12)	.120(-11)
37						.589(-22)	.297(-17)	.579(-13)	.153(-11)
38						.130(-22)	.636(-18)	.112(-13)	.198(-11)
39						.297(-23)	.143(-18)	.240(-14)	.266(-11)
40						.667(-24)	.320(-19)	.525(-15)	.335(-11)

Virt&I-Comm.5.2014.11

Table CI		RIOS L0 REACTIVE				$T_{tr}=2000.$	$T_{rot}=500.$		
v'	v	3	5	10	15	20	25	30	35
0		.129(-14)	.933(-15)	.331(-13)	.216(-12)	.326(-12)	.291(-12)	.218(-12)	.153(-12)
1		.584(-14)	.402(-14)	.869(-13)	.183(-12)	.244(-12)	.281(-12)	.238(-12)	.173(-12)
2		.154(-13)	.106(-13)	.115(-12)	.192(-12)	.228(-12)	.253(-12)	.242(-12)	.187(-12)
3		.420(-13)	.232(-13)	.122(-12)	.204(-12)	.251(-12)	.248(-12)	.238(-12)	.194(-12)
4		.541(-14)	.512(-13)	.138(-12)	.225(-12)	.268(-12)	.269(-12)	.237(-12)	.200(-12)
5		.968(-15)	.201(-12)	.165(-12)	.253(-12)	.296(-12)	.294(-12)	.252(-12)	.207(-12)
6		.303(-15)	.229(-13)	.200(-12)	.290(-12)	.332(-12)	.319(-12)	.283(-12)	.209(-12)
7		.109(-15)	.530(-14)	.252(-12)	.335(-12)	.376(-12)	.355(-12)	.307(-12)	.238(-12)
8		.360(-16)	.131(-14)	.336(-12)	.393(-12)	.429(-12)	.406(-12)	.330(-12)	.268(-12)
9		.104(-16)	.339(-15)	.500(-12)	.464(-12)	.490(-12)	.459(-12)	.384(-12)	.289(-12)
10		.282(-17)	.906(-16)	.766(-12)	.557(-12)	.561(-12)	.508(-12)	.424(-12)	.322(-12)
11		.768(-18)	.243(-16)	.154(-12)	.677(-12)	.652(-12)	.584(-12)	.486(-12)	.353(-12)
12		.215(-18)	.663(-17)	.336(-13)	.843(-12)	.762(-12)	.671(-12)	.544(-12)	.401(-12)
13		.612(-19)	.182(-17)	.821(-14)	.109(-11)	.891(-12)	.759(-12)	.616(-12)	.451(-12)
14		.172(-19)	.510(-18)	.211(-14)	.147(-11)	.104(-11)	.888(-12)	.695(-12)	.511(-12)
15		.488(-20)	.144(-18)	.567(-15)	.192(-11)	.124(-11)	.101(-11)	.800(-12)	.586(-12)
16		.140(-20)	.415(-19)	.156(-15)	.468(-12)	.149(-11)	.118(-11)	.906(-12)	.650(-12)
17		.414(-21)	.121(-19)	.439(-16)	.114(-12)	.183(-11)	.136(-11)	.104(-11)	.746(-12)
18		.124(-21)	.359(-20)	.127(-16)	.299(-13)	.231(-11)	.159(-11)	.119(-11)	.845(-12)
19		.380(-22)	.108(-20)	.371(-17)	.819(-14)	.303(-11)	.187(-11)	.138(-11)	.960(-12)
20		.117(-22)	.329(-21)	.110(-17)	.234(-14)	.377(-11)	.222(-11)	.159(-11)	.110(-11)
21		.363(-23)	.102(-21)	.339(-18)	.694(-15)	.104(-11)	.266(-11)	.185(-11)	.126(-11)
22		.115(-23)	.326(-22)	.108(-18)	.210(-15)	.284(-12)	.325(-11)	.216(-11)	.146(-11)
23		.372(-24)	.106(-22)	.346(-19)	.668(-16)	.827(-13)	.409(-11)	.253(-11)	.169(-11)
24		.124(-24)	.354(-23)	.112(-19)	.214(-16)	.250(-13)	.532(-11)	.298(-11)	.195(-11)
25		.443(-25)	.124(-23)	.368(-20)	.692(-17)	.781(-14)	.660(-11)	.354(-11)	.227(-11)
26		.145(-25)	.404(-24)	.123(-20)	.232(-17)	.253(-14)	.203(-11)	.427(-11)	.265(-11)
27			.142(-24)	.437(-21)	.810(-18)	.866(-15)	.614(-12)	.524(-11)	.312(-11)
28			.505(-25)	.156(-21)	.278(-18)	.292(-15)	.195(-12)	.660(-11)	.368(-11)
29			.183(-25)	.561(-22)	.996(-19)	.104(-15)	.671(-13)	.861(-11)	.438(-11)
30				.208(-22)	.372(-19)	.379(-16)	.230(-13)	.108(-10)	.525(-11)
31				.781(-23)	.138(-19)	.139(-16)	.838(-14)	.361(-11)	.638(-11)
32				.310(-23)	.533(-20)	.532(-17)	.308(-14)	.122(-11)	.789(-11)
33				.121(-23)	.206(-20)	.205(-17)	.119(-14)	.438(-12)	.100(-10)
34				.485(-24)	.825(-21)	.802(-18)	.453(-15)	.160(-12)	.131(-10)
35				.201(-24)	.347(-21)	.332(-18)	.186(-15)	.631(-13)	.169(-10)

Virt&I-Comm.5.2014.11

Table CII		RIOS L0 REACTIVE				$T_{tr}=2000.$	$T_{rot}=1000.$		
v'	v	3	5	10	15	20	25	30	35
0		.109(-14)	.789(-15)	.283(-13)	.187(-12)	.284(-12)	.254(-12)	.191(-12)	.135(-12)
1		.495(-14)	.340(-14)	.746(-13)	.158(-12)	.212(-12)	.246(-12)	.209(-12)	.153(-12)
2		.131(-13)	.898(-14)	.987(-13)	.165(-12)	.198(-12)	.221(-12)	.213(-12)	.165(-12)
3		.356(-13)	.197(-13)	.105(-12)	.175(-12)	.218(-12)	.216(-12)	.209(-12)	.172(-12)
4		.457(-14)	.435(-13)	.119(-12)	.194(-12)	.233(-12)	.234(-12)	.208(-12)	.177(-12)
5		.817(-15)	.171(-12)	.141(-12)	.218(-12)	.257(-12)	.257(-12)	.221(-12)	.183(-12)
6		.255(-15)	.194(-13)	.171(-12)	.250(-12)	.288(-12)	.278(-12)	.249(-12)	.185(-12)
7		.918(-16)	.449(-14)	.216(-12)	.289(-12)	.326(-12)	.309(-12)	.269(-12)	.210(-12)
8		.303(-16)	.111(-14)	.288(-12)	.339(-12)	.372(-12)	.354(-12)	.289(-12)	.237(-12)
9		.881(-17)	.285(-15)	.428(-12)	.400(-12)	.426(-12)	.400(-12)	.337(-12)	.255(-12)
10		.237(-17)	.763(-16)	.656(-12)	.481(-12)	.487(-12)	.443(-12)	.372(-12)	.285(-12)
11		.645(-18)	.205(-16)	.131(-12)	.584(-12)	.566(-12)	.510(-12)	.427(-12)	.311(-12)
12		.181(-18)	.558(-17)	.285(-13)	.727(-12)	.662(-12)	.586(-12)	.478(-12)	.354(-12)
13		.513(-19)	.153(-17)	.695(-14)	.941(-12)	.774(-12)	.662(-12)	.541(-12)	.398(-12)
14		.144(-19)	.428(-18)	.178(-14)	.127(-11)	.904(-12)	.775(-12)	.610(-12)	.452(-12)
15		.409(-20)	.121(-18)	.478(-15)	.165(-11)	.108(-11)	.881(-12)	.703(-12)	.518(-12)
16		.117(-20)	.348(-19)	.131(-15)	.401(-12)	.130(-11)	.103(-11)	.795(-12)	.574(-12)
17		.347(-21)	.101(-19)	.369(-16)	.971(-13)	.159(-11)	.119(-11)	.921(-12)	.660(-12)
18		.104(-21)	.301(-20)	.106(-16)	.253(-13)	.201(-11)	.139(-11)	.105(-11)	.747(-12)
19		.318(-22)	.905(-21)	.312(-17)	.693(-14)	.263(-11)	.163(-11)	.121(-11)	.849(-12)
20		.982(-23)	.275(-21)	.930(-18)	.198(-14)	.327(-11)	.194(-11)	.140(-11)	.974(-12)
21		.304(-23)	.856(-22)	.285(-18)	.585(-15)	.896(-12)	.233(-11)	.163(-11)	.112(-11)
22		.962(-24)	.273(-22)	.906(-19)	.177(-15)	.243(-12)	.284(-11)	.190(-11)	.129(-11)
23		.311(-24)	.891(-23)	.290(-19)	.562(-16)	.703(-13)	.357(-11)	.222(-11)	.149(-11)
24		.103(-24)	.296(-23)	.939(-20)	.180(-16)	.212(-13)	.465(-11)	.262(-11)	.173(-11)
25		.370(-25)	.104(-23)	.308(-20)	.582(-17)	.661(-14)	.576(-11)	.311(-11)	.201(-11)
26		.121(-25)	.338(-24)	.103(-20)	.195(-17)	.214(-14)	.175(-11)	.376(-11)	.235(-11)
27			.119(-24)	.367(-21)	.681(-18)	.731(-15)	.525(-12)	.461(-11)	.276(-11)
28			.423(-25)	.130(-21)	.233(-18)	.246(-15)	.166(-12)	.581(-11)	.327(-11)
29			.153(-25)	.470(-22)	.836(-19)	.879(-16)	.570(-13)	.758(-11)	.389(-11)
30				.174(-22)	.312(-19)	.318(-16)	.195(-13)	.954(-11)	.466(-11)
31				.654(-23)	.115(-19)	.117(-16)	.709(-14)	.313(-11)	.567(-11)
32				.259(-23)	.447(-20)	.447(-17)	.260(-14)	.104(-11)	.701(-11)
33				.101(-23)	.173(-20)	.172(-17)	.100(-14)	.375(-12)	.889(-11)
34				.406(-24)	.691(-21)	.673(-18)	.382(-15)	.136(-12)	.116(-10)
35				.168(-24)	.291(-21)	.278(-18)	.157(-15)	.536(-13)	.149(-10)

Virt&I-Comm.5.2014.11

Table CIII		RIOS L0 REACTIVE			$T_{tr}=2000.$	$T_{rot}=2000.$			
v'	v	3	5	10	15	20	25	30	35
0		.838(-15)	.602(-15)	.220(-13)	.146(-12)	.224(-12)	.201(-12)	.152(-12)	.108(-12)
1		.378(-14)	.260(-14)	.579(-13)	.123(-12)	.167(-12)	.195(-12)	.167(-12)	.123(-12)
2		.100(-13)	.688(-14)	.766(-13)	.129(-12)	.156(-12)	.175(-12)	.170(-12)	.133(-12)
3		.272(-13)	.151(-13)	.816(-13)	.137(-12)	.172(-12)	.171(-12)	.167(-12)	.138(-12)
4		.349(-14)	.334(-13)	.922(-13)	.152(-12)	.183(-12)	.185(-12)	.166(-12)	.142(-12)
5		.622(-15)	.131(-12)	.109(-12)	.170(-12)	.202(-12)	.203(-12)	.176(-12)	.147(-12)
6		.194(-15)	.148(-13)	.133(-12)	.196(-12)	.227(-12)	.220(-12)	.198(-12)	.148(-12)
7		.698(-16)	.343(-14)	.168(-12)	.226(-12)	.257(-12)	.245(-12)	.215(-12)	.169(-12)
8		.230(-16)	.846(-15)	.223(-12)	.265(-12)	.293(-12)	.280(-12)	.230(-12)	.190(-12)
9		.668(-17)	.217(-15)	.332(-12)	.313(-12)	.335(-12)	.317(-12)	.269(-12)	.205(-12)
10		.180(-17)	.579(-16)	.508(-12)	.376(-12)	.383(-12)	.351(-12)	.296(-12)	.229(-12)
11		.489(-18)	.155(-16)	.101(-12)	.457(-12)	.445(-12)	.404(-12)	.340(-12)	.250(-12)
12		.137(-18)	.423(-17)	.219(-13)	.569(-12)	.521(-12)	.464(-12)	.381(-12)	.284(-12)
13		.388(-19)	.116(-17)	.531(-14)	.736(-12)	.609(-12)	.524(-12)	.431(-12)	.319(-12)
14		.109(-19)	.324(-18)	.136(-14)	.997(-12)	.712(-12)	.615(-12)	.487(-12)	.363(-12)
15		.309(-20)	.917(-19)	.364(-15)	.129(-11)	.852(-12)	.699(-12)	.561(-12)	.417(-12)
16		.889(-21)	.263(-19)	.999(-16)	.310(-12)	.102(-11)	.817(-12)	.635(-12)	.461(-12)
17		.262(-21)	.767(-20)	.280(-16)	.747(-13)	.125(-11)	.946(-12)	.735(-12)	.530(-12)
18		.788(-22)	.227(-20)	.810(-17)	.194(-13)	.158(-11)	.110(-11)	.840(-12)	.601(-12)
19		.240(-22)	.684(-21)	.236(-17)	.530(-14)	.207(-11)	.129(-11)	.972(-12)	.682(-12)
20		.741(-23)	.208(-21)	.704(-18)	.151(-14)	.257(-11)	.154(-11)	.112(-11)	.784(-12)
21		.229(-23)	.646(-22)	.215(-18)	.446(-15)	.697(-12)	.185(-11)	.130(-11)	.901(-12)
22		.725(-24)	.206(-22)	.685(-19)	.134(-15)	.187(-12)	.225(-11)	.152(-11)	.104(-11)
23		.235(-24)	.672(-23)	.219(-19)	.427(-16)	.541(-13)	.283(-11)	.178(-11)	.120(-11)
24		.783(-25)	.223(-23)	.710(-20)	.137(-16)	.162(-13)	.369(-11)	.209(-11)	.139(-11)
25		.279(-25)	.788(-24)	.233(-20)	.441(-17)	.505(-14)	.457(-11)	.249(-11)	.162(-11)
26			.255(-24)	.784(-21)	.148(-17)	.163(-14)	.137(-11)	.300(-11)	.189(-11)
27			.899(-25)	.277(-21)	.515(-18)	.557(-15)	.407(-12)	.369(-11)	.223(-11)
28			.319(-25)	.988(-22)	.177(-18)	.187(-15)	.128(-12)	.464(-11)	.263(-11)
29			.115(-25)	.355(-22)	.632(-19)	.668(-16)	.438(-13)	.606(-11)	.313(-11)
30				.131(-22)	.236(-19)	.242(-16)	.149(-13)	.762(-11)	.376(-11)
31				.493(-23)	.875(-20)	.888(-17)	.542(-14)	.245(-11)	.457(-11)
32				.195(-23)	.338(-20)	.339(-17)	.198(-14)	.816(-12)	.565(-11)
33				.764(-24)	.131(-20)	.130(-17)	.766(-15)	.290(-12)	.717(-11)
34				.306(-24)	.522(-21)	.510(-18)	.291(-15)	.105(-12)	.943(-11)
35				.127(-24)	.220(-21)	.211(-18)	.119(-15)	.411(-13)	.120(-10)

Virt&I-Comm.5.2014.11

Table CIV		RIOS L0 REACTIVE			$T_{tr}=2000.$	$T_{rot}=4000.$			
v'	v	3	5	10	15	20	25	30	35
0		.569(-15)	.408(-15)	.151(-13)	.102(-12)	.156(-12)	.141(-12)	.107(-12)	.770(-13)
1		.257(-14)	.177(-14)	.399(-13)	.859(-13)	.116(-12)	.137(-12)	.118(-12)	.878(-13)
2		.682(-14)	.468(-14)	.528(-13)	.898(-13)	.108(-12)	.123(-12)	.120(-12)	.950(-13)
3		.185(-13)	.102(-13)	.562(-13)	.952(-13)	.120(-12)	.120(-12)	.118(-12)	.987(-13)
4		.236(-14)	.228(-13)	.635(-13)	.105(-12)	.128(-12)	.130(-12)	.117(-12)	.101(-12)
5		.421(-15)	.900(-13)	.755(-13)	.118(-12)	.141(-12)	.143(-12)	.124(-12)	.105(-12)
6		.131(-15)	.101(-13)	.917(-13)	.136(-12)	.158(-12)	.155(-12)	.140(-12)	.105(-12)
7		.471(-16)	.233(-14)	.115(-12)	.157(-12)	.179(-12)	.172(-12)	.152(-12)	.120(-12)
8		.155(-16)	.573(-15)	.154(-12)	.184(-12)	.204(-12)	.196(-12)	.162(-12)	.135(-12)
9		.450(-17)	.147(-15)	.229(-12)	.217(-12)	.234(-12)	.223(-12)	.190(-12)	.146(-12)
10		.121(-17)	.391(-16)	.349(-12)	.261(-12)	.267(-12)	.246(-12)	.209(-12)	.163(-12)
11		.329(-18)	.105(-16)	.695(-13)	.317(-12)	.311(-12)	.283(-12)	.240(-12)	.177(-12)
12		.923(-19)	.285(-17)	.149(-13)	.395(-12)	.364(-12)	.326(-12)	.269(-12)	.202(-12)
13		.261(-19)	.783(-18)	.361(-14)	.511(-12)	.426(-12)	.368(-12)	.305(-12)	.227(-12)
14		.735(-20)	.218(-18)	.922(-15)	.692(-12)	.497(-12)	.432(-12)	.344(-12)	.258(-12)
15		.207(-20)	.617(-19)	.246(-15)	.897(-12)	.595(-12)	.491(-12)	.396(-12)	.296(-12)
16		.597(-21)	.177(-19)	.675(-16)	.213(-12)	.716(-12)	.574(-12)	.448(-12)	.327(-12)
17		.176(-21)	.515(-20)	.189(-16)	.511(-13)	.875(-12)	.665(-12)	.520(-12)	.377(-12)
18		.529(-22)	.152(-20)	.546(-17)	.132(-13)	.110(-11)	.777(-12)	.594(-12)	.427(-12)
19		.161(-22)	.459(-21)	.159(-17)	.360(-14)	.145(-11)	.913(-12)	.687(-12)	.485(-12)
20		.497(-23)	.139(-21)	.474(-18)	.102(-14)	.179(-11)	.108(-11)	.794(-12)	.558(-12)
21		.153(-23)	.434(-22)	.145(-18)	.301(-15)	.481(-12)	.130(-11)	.923(-12)	.641(-12)
22		.486(-24)	.138(-22)	.461(-19)	.910(-16)	.128(-12)	.158(-11)	.107(-11)	.742(-12)
23		.157(-24)	.451(-23)	.147(-19)	.288(-16)	.369(-13)	.199(-11)	.126(-11)	.858(-12)
24		.525(-25)	.150(-23)	.477(-20)	.924(-17)	.110(-13)	.259(-11)	.148(-11)	.994(-12)
25		.187(-25)	.528(-24)	.156(-20)	.297(-17)	.343(-14)	.321(-11)	.176(-11)	.115(-11)
26			.171(-24)	.526(-21)	.997(-18)	.110(-14)	.950(-12)	.212(-11)	.135(-11)
27			.602(-25)	.186(-21)	.347(-18)	.377(-15)	.280(-12)	.261(-11)	.159(-11)
28			.213(-25)	.663(-22)	.119(-18)	.126(-15)	.877(-13)	.329(-11)	.188(-11)
29				.238(-22)	.425(-19)	.451(-16)	.298(-13)	.429(-11)	.224(-11)
30				.883(-23)	.159(-19)	.163(-16)	.101(-13)	.539(-11)	.268(-11)
31				.330(-23)	.588(-20)	.599(-17)	.368(-14)	.171(-11)	.326(-11)
32				.131(-23)	.227(-20)	.228(-17)	.134(-14)	.564(-12)	.404(-11)
33				.512(-24)	.880(-21)	.881(-18)	.518(-15)	.199(-12)	.512(-11)
34				.205(-24)	.350(-21)	.343(-18)	.196(-15)	.720(-13)	.673(-11)
35				.851(-25)	.147(-21)	.142(-18)	.806(-16)	.281(-13)	.860(-11)

Virt&I-Comm.5.2014.11

Table CV		RIOS L0 REACTIVE				$T_{tr}=4000.$		$T_{rot}= 500.$	
v'	v	1	3	5	10	15	20	25	27
0		.299(-12)	.107(-12)	.835(-13)	.297(-12)	.812(-12)	.945(-12)	.752(-12)	.648(-12)
1		.611(-12)	.281(-12)	.191(-12)	.551(-12)	.784(-12)	.798(-12)	.724(-12)	.651(-12)
2		.180(-12)	.569(-12)	.348(-12)	.714(-12)	.838(-12)	.786(-12)	.693(-12)	.641(-12)
3		.546(-13)	.146(-11)	.589(-12)	.828(-12)	.910(-12)	.848(-12)	.707(-12)	.644(-12)
4		.180(-13)	.345(-12)	.104(-11)	.968(-12)	.101(-11)	.919(-12)	.761(-12)	.679(-12)
5		.759(-14)	.120(-12)	.306(-11)	.115(-11)	.113(-11)	.101(-11)	.831(-12)	.741(-12)
6		.388(-14)	.541(-13)	.668(-12)	.140(-11)	.129(-11)	.113(-11)	.908(-12)	.815(-12)
7		.224(-14)	.279(-13)	.264(-12)	.175(-11)	.148(-11)	.127(-11)	.101(-11)	.910(-12)
8		.137(-14)	.148(-13)	.118(-12)	.229(-11)	.172(-11)	.143(-11)	.113(-11)	.100(-11)
9		.849(-15)	.775(-14)	.555(-13)	.332(-11)	.202(-11)	.163(-11)	.127(-11)	.111(-11)
10		.510(-15)	.394(-14)	.268(-13)	.577(-11)	.239(-11)	.186(-11)	.142(-11)	.126(-11)
11		.294(-15)	.200(-14)	.132(-13)	.187(-11)	.288(-11)	.214(-11)	.161(-11)	.142(-11)
12		.162(-15)	.102(-14)	.656(-14)	.749(-12)	.354(-11)	.247(-11)	.183(-11)	.160(-11)
13		.863(-16)	.526(-15)	.328(-14)	.334(-12)	.451(-11)	.286(-11)	.207(-11)	.182(-11)
14		.450(-16)	.270(-15)	.166(-14)	.156(-12)	.613(-11)	.334(-11)	.237(-11)	.206(-11)
15		.233(-16)	.139(-15)	.848(-15)	.758(-13)	.888(-11)	.394(-11)	.271(-11)	.235(-11)
16		.122(-16)	.722(-16)	.437(-15)	.374(-13)	.349(-11)	.471(-11)	.311(-11)	.267(-11)
17		.647(-17)	.378(-16)	.226(-15)	.188(-13)	.150(-11)	.572(-11)	.360(-11)	.306(-11)
18		.348(-17)	.200(-16)	.118(-15)	.960(-14)	.701(-12)	.717(-11)	.416(-11)	.352(-11)
19		.190(-17)	.106(-16)	.627(-16)	.494(-14)	.340(-12)	.946(-11)	.486(-11)	.407(-11)
20		.104(-17)	.571(-17)	.333(-16)	.258(-14)	.169(-12)	.129(-10)	.573(-11)	.473(-11)
21		.580(-18)	.307(-17)	.179(-16)	.136(-14)	.868(-13)	.562(-11)	.683(-11)	.555(-11)
22		.323(-18)	.167(-17)	.973(-17)	.736(-15)	.451(-13)	.258(-11)	.827(-11)	.655(-11)
23		.181(-18)	.918(-18)	.535(-17)	.398(-15)	.240(-13)	.126(-11)	.103(-10)	.781(-11)
24		.101(-18)	.511(-18)	.295(-17)	.216(-15)	.129(-13)	.644(-12)	.134(-10)	.945(-11)
25		.586(-19)	.299(-18)	.171(-17)	.120(-15)	.702(-14)	.337(-12)	.181(-10)	.117(-10)
26		.321(-19)	.161(-18)	.919(-18)	.662(-16)	.385(-14)	.179(-12)	.841(-11)	.152(-10)
27		.182(-19)	.928(-19)	.521(-18)	.375(-16)	.215(-14)	.982(-13)	.407(-11)	.205(-10)

Virt&I-Comm.5.2014.11

Table CVI		RIOS L0 REACTIVE				$T_{tr}=4000.$	$T_{rot}=1000.$		
v'	v	1	3	5	10	15	20	25	27
0		.273(-12)	.977(-13)	.762(-13)	.274(-12)	.757(-12)	.886(-12)	.707(-12)	.609(-12)
1		.558(-12)	.257(-12)	.175(-12)	.510(-12)	.730(-12)	.746(-12)	.681(-12)	.613(-12)
2		.164(-12)	.521(-12)	.319(-12)	.661(-12)	.780(-12)	.734(-12)	.650(-12)	.603(-12)
3		.498(-13)	.134(-11)	.540(-12)	.767(-12)	.846(-12)	.793(-12)	.663(-12)	.606(-12)
4		.164(-13)	.316(-12)	.961(-12)	.896(-12)	.940(-12)	.858(-12)	.714(-12)	.638(-12)
5		.690(-14)	.109(-12)	.282(-11)	.106(-11)	.105(-11)	.948(-12)	.779(-12)	.696(-12)
6		.353(-14)	.493(-13)	.612(-12)	.129(-11)	.120(-11)	.105(-11)	.852(-12)	.766(-12)
7		.204(-14)	.254(-13)	.242(-12)	.162(-11)	.138(-11)	.118(-11)	.948(-12)	.856(-12)
8		.124(-14)	.135(-13)	.108(-12)	.212(-11)	.160(-11)	.134(-11)	.106(-11)	.948(-12)
9		.771(-15)	.705(-14)	.506(-13)	.307(-11)	.188(-11)	.152(-11)	.119(-11)	.104(-11)
10		.463(-15)	.358(-14)	.244(-13)	.533(-11)	.223(-11)	.173(-11)	.133(-11)	.118(-11)
11		.267(-15)	.181(-14)	.120(-13)	.172(-11)	.268(-11)	.200(-11)	.151(-11)	.134(-11)
12		.147(-15)	.930(-15)	.596(-14)	.688(-12)	.330(-11)	.231(-11)	.172(-11)	.151(-11)
13		.783(-16)	.477(-15)	.298(-14)	.306(-12)	.420(-11)	.268(-11)	.194(-11)	.172(-11)
14		.408(-16)	.245(-15)	.151(-14)	.143(-12)	.571(-11)	.312(-11)	.223(-11)	.193(-11)
15		.211(-16)	.126(-15)	.770(-15)	.692(-13)	.826(-11)	.369(-11)	.254(-11)	.221(-11)
16		.110(-16)	.655(-16)	.396(-15)	.341(-13)	.323(-11)	.440(-11)	.293(-11)	.251(-11)
17		.585(-17)	.343(-16)	.205(-15)	.171(-13)	.138(-11)	.535(-11)	.338(-11)	.288(-11)
18		.315(-17)	.181(-16)	.107(-15)	.873(-14)	.643(-12)	.671(-11)	.391(-11)	.332(-11)
19		.172(-17)	.965(-17)	.568(-16)	.449(-14)	.311(-12)	.886(-11)	.457(-11)	.384(-11)
20		.947(-18)	.517(-17)	.302(-16)	.234(-14)	.155(-12)	.121(-10)	.539(-11)	.446(-11)
21		.524(-18)	.278(-17)	.162(-16)	.124(-14)	.792(-13)	.521(-11)	.642(-11)	.523(-11)
22		.292(-18)	.151(-17)	.881(-17)	.668(-15)	.411(-13)	.238(-11)	.778(-11)	.617(-11)
23		.164(-18)	.831(-18)	.484(-17)	.361(-15)	.218(-13)	.116(-11)	.969(-11)	.737(-11)
24		.919(-19)	.463(-18)	.267(-17)	.196(-15)	.117(-13)	.591(-12)	.126(-10)	.891(-11)
25		.529(-19)	.270(-18)	.155(-17)	.108(-15)	.638(-14)	.309(-12)	.170(-10)	.110(-10)
26		.290(-19)	.146(-18)	.831(-18)	.600(-16)	.350(-14)	.164(-12)	.783(-11)	.144(-10)
27		.165(-19)	.839(-19)	.471(-18)	.339(-16)	.195(-14)	.896(-13)	.376(-11)	.193(-10)

Virt&I-Comm.5.2014.11

Table CVII		RIOS L0 REACTIVE				$T_{tr}=4000.$		$T_{rot}=2000.$	
v'	v	1	3	5	10	15	20	25	27
0		.233(-12)	.832(-13)	.649(-13)	.237(-12)	.664(-12)	.783(-12)	.627(-12)	.541(-12)
1		.475(-12)	.219(-12)	.149(-12)	.443(-12)	.638(-12)	.657(-12)	.604(-12)	.545(-12)
2		.140(-12)	.446(-12)	.273(-12)	.574(-12)	.682(-12)	.645(-12)	.576(-12)	.536(-12)
3		.422(-13)	.114(-11)	.463(-12)	.665(-12)	.740(-12)	.697(-12)	.586(-12)	.537(-12)
4		.139(-13)	.269(-12)	.825(-12)	.777(-12)	.821(-12)	.755(-12)	.631(-12)	.565(-12)
5		.584(-14)	.932(-13)	.243(-11)	.926(-12)	.923(-12)	.833(-12)	.689(-12)	.617(-12)
6		.298(-14)	.419(-13)	.524(-12)	.112(-11)	.105(-11)	.930(-12)	.753(-12)	.679(-12)
7		.172(-14)	.216(-13)	.206(-12)	.140(-11)	.120(-11)	.104(-11)	.838(-12)	.758(-12)
8		.105(-14)	.115(-13)	.920(-13)	.184(-11)	.140(-11)	.118(-11)	.945(-12)	.840(-12)
9		.651(-15)	.597(-14)	.430(-13)	.267(-11)	.164(-11)	.134(-11)	.105(-11)	.929(-12)
10		.391(-15)	.303(-14)	.207(-13)	.462(-11)	.195(-11)	.153(-11)	.118(-11)	.105(-11)
11		.225(-15)	.153(-14)	.101(-13)	.148(-11)	.234(-11)	.176(-11)	.134(-11)	.118(-11)
12		.124(-15)	.785(-15)	.505(-14)	.590(-12)	.288(-11)	.203(-11)	.152(-11)	.134(-11)
13		.659(-16)	.402(-15)	.252(-14)	.262(-12)	.367(-11)	.236(-11)	.172(-11)	.152(-11)
14		.343(-16)	.206(-15)	.127(-14)	.122(-12)	.500(-11)	.275(-11)	.197(-11)	.172(-11)
15		.178(-16)	.106(-15)	.650(-15)	.588(-13)	.721(-11)	.325(-11)	.225(-11)	.196(-11)
16		.930(-17)	.551(-16)	.334(-15)	.290(-13)	.280(-11)	.388(-11)	.259(-11)	.223(-11)
17		.492(-17)	.289(-16)	.173(-15)	.145(-13)	.119(-11)	.472(-11)	.299(-11)	.256(-11)
18		.265(-17)	.152(-16)	.907(-16)	.740(-14)	.552(-12)	.592(-11)	.347(-11)	.295(-11)
19		.144(-17)	.812(-17)	.479(-16)	.380(-14)	.266(-12)	.781(-11)	.405(-11)	.341(-11)
20		.795(-18)	.434(-17)	.254(-16)	.198(-14)	.132(-12)	.106(-10)	.478(-11)	.397(-11)
21		.440(-18)	.233(-17)	.136(-16)	.105(-14)	.674(-13)	.454(-11)	.570(-11)	.465(-11)
22		.245(-18)	.127(-17)	.741(-17)	.564(-15)	.349(-13)	.206(-11)	.690(-11)	.549(-11)
23		.137(-18)	.698(-18)	.407(-17)	.305(-15)	.185(-13)	.100(-11)	.860(-11)	.656(-11)
24		.771(-19)	.389(-18)	.225(-17)	.165(-15)	.996(-14)	.506(-12)	.112(-10)	.794(-11)
25		.444(-19)	.227(-18)	.130(-17)	.917(-16)	.540(-14)	.264(-12)	.151(-10)	.984(-11)
26		.243(-19)	.122(-18)	.698(-18)	.505(-16)	.296(-14)	.139(-12)	.686(-11)	.128(-10)
27		.138(-19)	.705(-19)	.396(-18)	.286(-16)	.165(-14)	.763(-13)	.327(-11)	.171(-10)

Virt&I-Comm.5.2014.11

Table CVIII		RIOS L0 REACTIVE				$T_{tr}=4000.$		$T_{rot}=4000.$	
v'	v	1	3	5	10	15	20	25	27
0		.179(-12)	.640(-13)	.499(-13)	.185(-12)	.529(-12)	.629(-12)	.505(-12)	.437(-12)
1		.366(-12)	.169(-12)	.115(-12)	.349(-12)	.507(-12)	.525(-12)	.487(-12)	.441(-12)
2		.107(-12)	.345(-12)	.211(-12)	.453(-12)	.541(-12)	.515(-12)	.463(-12)	.433(-12)
3		.324(-13)	.889(-12)	.359(-12)	.524(-12)	.587(-12)	.557(-12)	.471(-12)	.433(-12)
4		.106(-13)	.208(-12)	.641(-12)	.611(-12)	.652(-12)	.603(-12)	.507(-12)	.456(-12)
5		.446(-14)	.717(-13)	.189(-11)	.728(-12)	.733(-12)	.666(-12)	.554(-12)	.497(-12)
6		.228(-14)	.322(-13)	.406(-12)	.886(-12)	.835(-12)	.743(-12)	.605(-12)	.547(-12)
7		.131(-14)	.165(-13)	.159(-12)	.110(-11)	.959(-12)	.836(-12)	.673(-12)	.611(-12)
8		.804(-15)	.880(-14)	.709(-13)	.144(-11)	.111(-11)	.945(-12)	.760(-12)	.677(-12)
9		.496(-15)	.457(-14)	.331(-13)	.210(-11)	.130(-11)	.107(-11)	.850(-12)	.749(-12)
10		.297(-15)	.231(-14)	.159(-13)	.363(-11)	.155(-11)	.122(-11)	.950(-12)	.849(-12)
11		.171(-15)	.117(-14)	.779(-14)	.116(-11)	.186(-11)	.140(-11)	.107(-11)	.959(-12)
12		.944(-16)	.598(-15)	.386(-14)	.458(-12)	.229(-11)	.163(-11)	.122(-11)	.108(-11)
13		.501(-16)	.306(-15)	.192(-14)	.202(-12)	.292(-11)	.189(-11)	.138(-11)	.123(-11)
14		.261(-16)	.157(-15)	.973(-15)	.942(-13)	.397(-11)	.220(-11)	.159(-11)	.138(-11)
15		.135(-16)	.809(-16)	.495(-15)	.453(-13)	.571(-11)	.260(-11)	.181(-11)	.158(-11)
16		.705(-17)	.419(-16)	.254(-15)	.222(-13)	.220(-11)	.311(-11)	.209(-11)	.180(-11)
17		.373(-17)	.219(-16)	.131(-15)	.111(-13)	.932(-12)	.378(-11)	.241(-11)	.207(-11)
18		.200(-17)	.115(-16)	.690(-16)	.566(-14)	.428(-12)	.474(-11)	.280(-11)	.238(-11)
19		.109(-17)	.616(-17)	.363(-16)	.290(-14)	.206(-12)	.625(-11)	.327(-11)	.276(-11)
20		.602(-18)	.329(-17)	.193(-16)	.151(-14)	.102(-12)	.849(-11)	.385(-11)	.321(-11)
21		.333(-18)	.177(-17)	.103(-16)	.800(-15)	.519(-13)	.359(-11)	.459(-11)	.376(-11)
22		.186(-18)	.963(-18)	.562(-17)	.429(-15)	.268(-13)	.161(-11)	.557(-11)	.445(-11)
23		.104(-18)	.529(-18)	.309(-17)	.232(-15)	.142(-13)	.781(-12)	.694(-11)	.531(-11)
24		.583(-19)	.294(-18)	.170(-17)	.126(-15)	.762(-14)	.393(-12)	.908(-11)	.643(-11)
25		.336(-19)	.172(-18)	.989(-18)	.697(-16)	.413(-14)	.204(-12)	.121(-10)	.797(-11)
26		.184(-19)	.928(-19)	.529(-18)	.384(-16)	.226(-14)	.107(-12)	.545(-11)	.103(-10)
27		.104(-19)	.533(-19)	.300(-18)	.217(-16)	.126(-14)	.587(-13)	.257(-11)	.138(-10)

Virt&I-Comm.5.2014.11

Table CIX		RIOS L0 REACTIVE					$T_{tr}=8000.$	$T_{rot}=500.$	
v'	v	1	3	5	7	10	11	13	15
0		.362(-11)	.163(-11)	.120(-11)	.116(-11)	.139(-11)	.151(-11)	.174(-11)	.189(-11)
1		.719(-11)	.271(-11)	.181(-11)	.167(-11)	.187(-11)	.194(-11)	.199(-11)	.193(-11)
2		.254(-11)	.437(-11)	.260(-11)	.226(-11)	.229(-11)	.227(-11)	.219(-11)	.208(-11)
3		.119(-11)	.989(-11)	.373(-11)	.296(-11)	.269(-11)	.261(-11)	.246(-11)	.229(-11)
4		.621(-12)	.335(-11)	.575(-11)	.386(-11)	.317(-11)	.303(-11)	.279(-11)	.255(-11)
5		.361(-12)	.168(-11)	.136(-10)	.515(-11)	.377(-11)	.355(-11)	.318(-11)	.287(-11)
6		.229(-12)	.978(-12)	.449(-11)	.754(-11)	.454(-11)	.419(-11)	.367(-11)	.326(-11)
7		.154(-12)	.618(-12)	.238(-11)	.163(-10)	.560(-11)	.503(-11)	.427(-11)	.373(-11)
8		.108(-12)	.408(-12)	.141(-11)	.575(-11)	.718(-11)	.616(-11)	.502(-11)	.430(-11)
9		.783(-13)	.274(-12)	.888(-12)	.308(-11)	.101(-10)	.786(-11)	.599(-11)	.500(-11)
10		.569(-13)	.185(-12)	.574(-12)	.184(-11)	.188(-10)	.109(-10)	.730(-11)	.587(-11)
11		.413(-13)	.126(-12)	.377(-12)	.115(-11)	.763(-11)	.196(-10)	.922(-11)	.697(-11)
12		.296(-13)	.862(-13)	.251(-12)	.745(-12)	.418(-11)	.826(-11)	.126(-10)	.845(-11)
13		.210(-13)	.592(-13)	.169(-12)	.489(-12)	.253(-11)	.457(-11)	.213(-10)	.106(-10)
14		.148(-13)	.408(-13)	.114(-12)	.326(-12)	.160(-11)	.278(-11)	.955(-11)	.143(-10)
15		.104(-13)	.282(-13)	.783(-13)	.219(-12)	.104(-11)	.176(-11)	.538(-11)	.232(-10)

Table CX		RIOS L0 REACTIVE					$T_{tr}=8000.$	$T_{rot}=1000.$	
v'	v	1	3	5	7	10	11	13	15
0		.346(-11)	.156(-11)	.114(-11)	.111(-11)	.134(-11)	.145(-11)	.168(-11)	.184(-11)
1		.689(-11)	.259(-11)	.174(-11)	.161(-11)	.181(-11)	.188(-11)	.192(-11)	.187(-11)
2		.243(-11)	.420(-11)	.250(-11)	.218(-11)	.221(-11)	.220(-11)	.212(-11)	.202(-11)
3		.114(-11)	.950(-11)	.358(-11)	.285(-11)	.260(-11)	.253(-11)	.238(-11)	.222(-11)
4		.593(-12)	.322(-11)	.553(-11)	.371(-11)	.306(-11)	.293(-11)	.270(-11)	.248(-11)
5		.344(-12)	.161(-11)	.131(-10)	.496(-11)	.364(-11)	.343(-11)	.308(-11)	.279(-11)
6		.218(-12)	.935(-12)	.431(-11)	.727(-11)	.439(-11)	.405(-11)	.355(-11)	.317(-11)
7		.147(-12)	.591(-12)	.228(-11)	.157(-10)	.542(-11)	.486(-11)	.414(-11)	.362(-11)
8		.103(-12)	.390(-12)	.135(-11)	.553(-11)	.694(-11)	.596(-11)	.487(-11)	.417(-11)
9		.746(-13)	.261(-12)	.849(-12)	.295(-11)	.976(-11)	.760(-11)	.581(-11)	.485(-11)
10		.542(-13)	.176(-12)	.548(-12)	.176(-11)	.182(-10)	.105(-10)	.707(-11)	.569(-11)
11		.393(-13)	.120(-12)	.360(-12)	.110(-11)	.735(-11)	.190(-10)	.893(-11)	.677(-11)
12		.282(-13)	.821(-13)	.240(-12)	.713(-12)	.402(-11)	.796(-11)	.122(-10)	.820(-11)
13		.200(-13)	.564(-13)	.161(-12)	.468(-12)	.243(-11)	.440(-11)	.207(-10)	.102(-10)
14		.141(-13)	.388(-13)	.109(-12)	.311(-12)	.153(-11)	.267(-11)	.922(-11)	.138(-10)
15		.997(-14)	.268(-13)	.746(-13)	.209(-12)	.996(-12)	.169(-11)	.518(-11)	.225(-10)

Virt&I-Comm.5.2014.11

Table CXI		RIOS L0 REACTIVE					$T_{tr}=8000.$	$T_{rot}=2000.$		
v'	v	1	3	5	7	10	11	13	15	
0		.319(-11)	.144(-11)	.105(-11)	.102(-11)	.124(-11)	.135(-11)	.157(-11)	.173(-11)	
1		.635(-11)	.239(-11)	.160(-11)	.149(-11)	.169(-11)	.176(-11)	.181(-11)	.176(-11)	
2		.224(-11)	.388(-11)	.231(-11)	.202(-11)	.206(-11)	.205(-11)	.199(-11)	.190(-11)	
3		.104(-11)	.879(-11)	.332(-11)	.265(-11)	.243(-11)	.236(-11)	.224(-11)	.209(-11)	
4		.543(-12)	.297(-11)	.513(-11)	.345(-11)	.286(-11)	.274(-11)	.253(-11)	.233(-11)	
5		.315(-12)	.148(-11)	.122(-10)	.462(-11)	.340(-11)	.321(-11)	.289(-11)	.262(-11)	
6		.199(-12)	.859(-12)	.399(-11)	.677(-11)	.410(-11)	.379(-11)	.333(-11)	.297(-11)	
7		.134(-12)	.542(-12)	.210(-11)	.147(-10)	.506(-11)	.455(-11)	.388(-11)	.340(-11)	
8		.946(-13)	.357(-12)	.124(-11)	.513(-11)	.649(-11)	.558(-11)	.456(-11)	.392(-11)	
9		.682(-13)	.239(-12)	.781(-12)	.273(-11)	.913(-11)	.712(-11)	.545(-11)	.456(-11)	
10		.495(-13)	.161(-12)	.503(-12)	.162(-11)	.170(-10)	.991(-11)	.664(-11)	.535(-11)	
11		.358(-13)	.109(-12)	.330(-12)	.101(-11)	.684(-11)	.178(-10)	.839(-11)	.637(-11)	
12		.257(-13)	.750(-13)	.220(-12)	.655(-12)	.373(-11)	.742(-11)	.114(-10)	.772(-11)	
13		.182(-13)	.515(-13)	.147(-12)	.429(-12)	.224(-11)	.408(-11)	.194(-10)	.969(-11)	
14		.129(-13)	.354(-13)	.100(-12)	.285(-12)	.141(-11)	.247(-11)	.861(-11)	.130(-10)	
15		.908(-14)	.245(-13)	.681(-13)	.191(-12)	.917(-12)	.156(-11)	.482(-11)	.211(-10)	

Table CXII		RIOS L0 REACTIVE					$T_{tr}=8000.$	$T_{rot}=4000.$		
v'	v	1	3	5	7	10	11	13	15	
0		.275(-11)	.123(-11)	.909(-12)	.888(-12)	.108(-11)	.118(-11)	.139(-11)	.154(-11)	
1		.547(-11)	.207(-11)	.138(-11)	.129(-11)	.148(-11)	.155(-11)	.160(-11)	.156(-11)	
2		.193(-11)	.336(-11)	.200(-11)	.176(-11)	.182(-11)	.181(-11)	.176(-11)	.168(-11)	
3		.898(-12)	.763(-11)	.288(-11)	.231(-11)	.214(-11)	.208(-11)	.198(-11)	.185(-11)	
4		.465(-12)	.256(-11)	.446(-11)	.302(-11)	.251(-11)	.242(-11)	.223(-11)	.206(-11)	
5		.269(-12)	.127(-11)	.106(-10)	.404(-11)	.299(-11)	.282(-11)	.255(-11)	.232(-11)	
6		.170(-12)	.738(-12)	.346(-11)	.592(-11)	.361(-11)	.334(-11)	.294(-11)	.264(-11)	
7		.114(-12)	.465(-12)	.182(-11)	.128(-10)	.445(-11)	.401(-11)	.343(-11)	.302(-11)	
8		.806(-13)	.306(-12)	.107(-11)	.447(-11)	.572(-11)	.492(-11)	.403(-11)	.348(-11)	
9		.580(-13)	.205(-12)	.671(-12)	.237(-11)	.804(-11)	.628(-11)	.482(-11)	.404(-11)	
10		.421(-13)	.138(-12)	.432(-12)	.140(-11)	.149(-10)	.875(-11)	.588(-11)	.475(-11)	
11		.305(-13)	.936(-13)	.283(-12)	.877(-12)	.598(-11)	.156(-10)	.743(-11)	.565(-11)	
12		.218(-13)	.639(-13)	.188(-12)	.562(-12)	.324(-11)	.650(-11)	.101(-10)	.686(-11)	
13		.155(-13)	.438(-13)	.126(-12)	.368(-12)	.194(-11)	.355(-11)	.171(-10)	.861(-11)	
14		.109(-13)	.301(-13)	.852(-13)	.244(-12)	.122(-11)	.214(-11)	.756(-11)	.116(-10)	
15		.770(-14)	.208(-13)	.580(-13)	.163(-12)	.789(-12)	.135(-11)	.420(-11)	.187(-10)	

Virt&I-Comm.5.2014.11

Table CXIII		RIOS L1 REACTIVE				$T_{tr}=500.$	$T_{rot}=500.$		
v'	v	10	15	20	25	30	35	40	43
0		.115(-17)	.442(-15)	.896(-14)	.295(-13)	.284(-13)	.319(-13)	.236(-13)	.294(-13)
1		.685(-17)	.854(-15)	.683(-14)	.212(-13)	.264(-13)	.345(-13)	.260(-13)	.319(-13)
2		.171(-16)	.769(-15)	.708(-14)	.193(-13)	.237(-13)	.357(-13)	.286(-13)	.344(-13)
3		.250(-16)	.765(-15)	.661(-14)	.206(-13)	.214(-13)	.361(-13)	.288(-13)	.326(-13)
4		.261(-16)	.838(-15)	.714(-14)	.191(-13)	.248(-13)	.317(-13)	.278(-13)	.383(-13)
5		.257(-16)	.915(-15)	.789(-14)	.208(-13)	.257(-13)	.328(-13)	.345(-13)	.364(-13)
6		.308(-16)	.105(-14)	.809(-14)	.261(-13)	.232(-13)	.469(-13)	.257(-13)	.302(-13)
7		.413(-16)	.117(-14)	.838(-14)	.225(-13)	.334(-13)	.389(-13)	.326(-13)	.389(-13)
8		.551(-16)	.137(-14)	.106(-13)	.258(-13)	.322(-13)	.436(-13)	.339(-13)	.431(-13)
9		.816(-16)	.161(-14)	.116(-13)	.332(-13)	.365(-13)	.449(-13)	.419(-13)	.465(-13)
10		.101(-15)	.181(-14)	.111(-13)	.298(-13)	.369(-13)	.566(-13)	.407(-13)	.504(-13)
11		.777(-18)	.215(-14)	.137(-13)	.395(-13)	.426(-13)	.583(-13)	.476(-13)	.495(-13)
12		.506(-20)	.272(-14)	.158(-13)	.395(-13)	.472(-13)	.680(-13)	.483(-13)	.591(-13)
13		.376(-22)	.344(-14)	.160(-13)	.434(-13)	.539(-13)	.708(-13)	.539(-13)	.570(-13)
14		.279(-24)	.433(-14)	.193(-13)	.509(-13)	.598(-13)	.830(-13)	.577(-13)	.703(-13)
15			.407(-14)	.223(-13)	.518(-13)	.655(-13)	.883(-13)	.671(-13)	.764(-13)
16			.394(-16)	.240(-13)	.624(-13)	.738(-13)	.998(-13)	.776(-13)	.804(-13)
17			.310(-18)	.291(-13)	.663(-13)	.824(-13)	.110(-12)	.805(-13)	.985(-13)
18			.266(-20)	.351(-13)	.750(-13)	.938(-13)	.131(-12)	.970(-13)	.100(-12)
19			.283(-22)	.414(-13)	.856(-13)	.102(-12)	.140(-12)	.103(-12)	.117(-12)
20			.316(-24)	.449(-13)	.935(-13)	.116(-12)	.161(-12)	.117(-12)	.129(-12)
21				.538(-15)	.111(-12)	.132(-12)	.181(-12)	.131(-12)	.141(-12)
22				.589(-17)	.130(-12)	.150(-12)	.207(-12)	.144(-12)	.166(-12)
23				.682(-19)	.157(-12)	.169(-12)	.235(-12)	.168(-12)	.178(-12)
24				.861(-21)	.199(-12)	.193(-12)	.268(-12)	.187(-12)	.208(-12)
25				.158(-22)	.217(-12)	.222(-12)	.305(-12)	.216(-12)	.232(-12)
26				.278(-24)	.394(-14)	.261(-12)	.350(-12)	.246(-12)	.266(-12)
27					.549(-16)	.311(-12)	.404(-12)	.282(-12)	.302(-12)
28					.116(-17)	.379(-12)	.467(-12)	.323(-12)	.344(-12)
29					.261(-19)	.476(-12)	.539(-12)	.370(-12)	.399(-12)
30					.507(-21)	.533(-12)	.631(-12)	.429(-12)	.453(-12)
31					.163(-22)	.199(-13)	.745(-12)	.499(-12)	.524(-12)
32					.384(-24)	.398(-15)	.893(-12)	.581(-12)	.607(-12)
33					.148(-25)	.148(-16)	.109(-11)	.678(-12)	.706(-12)
34						.453(-18)	.136(-11)	.803(-12)	.821(-12)
35						.157(-19)	.162(-11)	.958(-12)	.967(-12)
36						.763(-21)	.795(-13)	.116(-11)	.113(-11)
37						.334(-22)	.293(-14)	.142(-11)	.134(-11)
38						.126(-23)	.107(-15)	.179(-11)	.161(-11)
39						.829(-25)	.693(-17)	.231(-11)	.195(-11)
40							.449(-18)	.280(-11)	.242(-11)
41							.301(-19)	.276(-12)	.308(-11)
42							.221(-20)	.178(-13)	.401(-11)
43							.176(-21)	.132(-14)	.496(-11)

Virt&I-Comm.5.2014.11

Table CXIV		RIOS L1 REACTIVE				$T_{tr}=500.$	$T_{rot}=1000.$		
v'	v	10	15	20	25	30	35	40	43
0		.782(-18)	.300(-15)	.613(-14)	.204(-13)	.197(-13)	.221(-13)	.165(-13)	.209(-13)
1		.463(-17)	.580(-15)	.468(-14)	.146(-13)	.182(-13)	.240(-13)	.182(-13)	.226(-13)
2		.116(-16)	.523(-15)	.485(-14)	.133(-13)	.164(-13)	.247(-13)	.200(-13)	.245(-13)
3		.169(-16)	.519(-15)	.453(-14)	.142(-13)	.148(-13)	.251(-13)	.201(-13)	.231(-13)
4		.176(-16)	.570(-15)	.488(-14)	.132(-13)	.171(-13)	.220(-13)	.194(-13)	.272(-13)
5		.174(-16)	.622(-15)	.540(-14)	.143(-13)	.178(-13)	.227(-13)	.242(-13)	.258(-13)
6		.208(-16)	.716(-15)	.553(-14)	.180(-13)	.161(-13)	.325(-13)	.180(-13)	.214(-13)
7		.279(-16)	.798(-15)	.573(-14)	.155(-13)	.231(-13)	.270(-13)	.228(-13)	.276(-13)
8		.372(-16)	.935(-15)	.730(-14)	.178(-13)	.222(-13)	.303(-13)	.237(-13)	.306(-13)
9		.551(-16)	.109(-14)	.799(-14)	.229(-13)	.252(-13)	.312(-13)	.293(-13)	.330(-13)
10		.686(-16)	.123(-14)	.762(-14)	.206(-13)	.255(-13)	.393(-13)	.284(-13)	.357(-13)
11		.523(-18)	.146(-14)	.940(-14)	.273(-13)	.294(-13)	.405(-13)	.333(-13)	.350(-13)
12		.340(-20)	.185(-14)	.108(-13)	.272(-13)	.326(-13)	.472(-13)	.337(-13)	.419(-13)
13		.252(-22)	.234(-14)	.109(-13)	.299(-13)	.372(-13)	.491(-13)	.377(-13)	.404(-13)
14		.187(-24)	.294(-14)	.132(-13)	.351(-13)	.413(-13)	.576(-13)	.403(-13)	.499(-13)
15			.276(-14)	.153(-13)	.357(-13)	.453(-13)	.612(-13)	.470(-13)	.541(-13)
16			.266(-16)	.164(-13)	.430(-13)	.510(-13)	.692(-13)	.542(-13)	.569(-13)
17			.208(-18)	.199(-13)	.457(-13)	.569(-13)	.764(-13)	.562(-13)	.698(-13)
18			.178(-20)	.240(-13)	.517(-13)	.648(-13)	.910(-13)	.679(-13)	.714(-13)
19			.189(-22)	.283(-13)	.590(-13)	.706(-13)	.975(-13)	.726(-13)	.834(-13)
20			.211(-24)	.307(-13)	.644(-13)	.807(-13)	.112(-12)	.819(-13)	.915(-13)
21				.364(-15)	.766(-13)	.915(-13)	.125(-12)	.920(-13)	.100(-12)
22				.397(-17)	.901(-13)	.103(-12)	.144(-12)	.100(-12)	.117(-12)
23				.459(-19)	.108(-12)	.117(-12)	.163(-12)	.117(-12)	.126(-12)
24				.578(-21)	.137(-12)	.133(-12)	.186(-12)	.131(-12)	.147(-12)
25				.106(-22)	.150(-12)	.153(-12)	.212(-12)	.151(-12)	.164(-12)
26				.186(-24)	.267(-14)	.180(-12)	.243(-12)	.172(-12)	.188(-12)
27					.370(-16)	.215(-12)	.280(-12)	.197(-12)	.214(-12)
28					.782(-18)	.262(-12)	.324(-12)	.226(-12)	.243(-12)
29					.176(-19)	.329(-12)	.374(-12)	.258(-12)	.282(-12)
30					.340(-21)	.367(-12)	.438(-12)	.300(-12)	.321(-12)
31					.109(-22)	.135(-13)	.517(-12)	.349(-12)	.371(-12)
32					.257(-24)	.269(-15)	.619(-12)	.406(-12)	.430(-12)
33						.100(-16)	.756(-12)	.474(-12)	.500(-12)
34						.305(-18)	.945(-12)	.562(-12)	.581(-12)
35						.105(-19)	.112(-11)	.670(-12)	.684(-12)
36						.512(-21)	.543(-13)	.811(-12)	.805(-12)
37						.224(-22)	.199(-14)	.996(-12)	.953(-12)
38						.845(-24)	.724(-16)	.125(-11)	.114(-11)
39						.556(-25)	.467(-17)	.161(-11)	.138(-11)
40							.302(-18)	.195(-11)	.171(-11)
41							.202(-19)	.190(-12)	.217(-11)
42							.149(-20)	.121(-13)	.283(-11)
43							.118(-21)	.896(-15)	.350(-11)

Virt&I-Comm.5.2014.11

Table CXV		RIOS L1 REACTIVE				$T_{tr}=500.$	$T_{rot}=2000.$		
v'	v	10	15	20	25	30	35	40	43
0		.474(-18)	.183(-15)	.376(-14)	.125(-13)	.122(-13)	.137(-13)	.103(-13)	.131(-13)
1		.280(-17)	.353(-15)	.287(-14)	.904(-14)	.112(-13)	.148(-13)	.113(-13)	.142(-13)
2		.703(-17)	.318(-15)	.297(-14)	.825(-14)	.101(-13)	.153(-13)	.124(-13)	.154(-13)
3		.102(-16)	.316(-15)	.277(-14)	.877(-14)	.915(-14)	.155(-13)	.125(-13)	.145(-13)
4		.107(-16)	.347(-15)	.299(-14)	.814(-14)	.106(-13)	.136(-13)	.121(-13)	.171(-13)
5		.105(-16)	.379(-15)	.331(-14)	.886(-14)	.110(-13)	.141(-13)	.150(-13)	.162(-13)
6		.126(-16)	.436(-15)	.339(-14)	.111(-13)	.993(-14)	.201(-13)	.112(-13)	.135(-13)
7		.169(-16)	.486(-15)	.351(-14)	.957(-14)	.142(-13)	.167(-13)	.142(-13)	.173(-13)
8		.225(-16)	.570(-15)	.447(-14)	.110(-13)	.137(-13)	.187(-13)	.147(-13)	.192(-13)
9		.334(-16)	.669(-15)	.489(-14)	.141(-13)	.156(-13)	.193(-13)	.183(-13)	.207(-13)
10		.415(-16)	.752(-15)	.466(-14)	.126(-13)	.157(-13)	.243(-13)	.177(-13)	.224(-13)
11		.316(-18)	.893(-15)	.575(-14)	.168(-13)	.182(-13)	.250(-13)	.207(-13)	.220(-13)
12		.205(-20)	.113(-14)	.666(-14)	.167(-13)	.201(-13)	.292(-13)	.210(-13)	.264(-13)
13		.152(-22)	.142(-14)	.671(-14)	.184(-13)	.230(-13)	.304(-13)	.235(-13)	.254(-13)
14		.112(-24)	.179(-14)	.809(-14)	.216(-13)	.255(-13)	.356(-13)	.251(-13)	.313(-13)
15			.168(-14)	.937(-14)	.219(-13)	.279(-13)	.379(-13)	.292(-13)	.340(-13)
16			.161(-16)	.100(-13)	.265(-13)	.314(-13)	.428(-13)	.338(-13)	.357(-13)
17			.126(-18)	.122(-13)	.281(-13)	.351(-13)	.473(-13)	.350(-13)	.439(-13)
18			.107(-20)	.147(-13)	.318(-13)	.400(-13)	.563(-13)	.422(-13)	.448(-13)
19			.114(-22)	.173(-13)	.363(-13)	.435(-13)	.603(-13)	.452(-13)	.524(-13)
20			.127(-24)	.188(-13)	.396(-13)	.497(-13)	.693(-13)	.509(-13)	.575(-13)
21				.221(-15)	.471(-13)	.564(-13)	.777(-13)	.572(-13)	.629(-13)
22				.240(-17)	.555(-13)	.638(-13)	.891(-13)	.628(-13)	.740(-13)
23				.277(-19)	.668(-13)	.723(-13)	.101(-12)	.732(-13)	.792(-13)
24				.348(-21)	.845(-13)	.823(-13)	.115(-12)	.817(-13)	.927(-13)
25				.640(-23)	.922(-13)	.948(-13)	.131(-12)	.940(-13)	.103(-12)
26				.112(-24)	.162(-14)	.111(-12)	.150(-12)	.107(-12)	.118(-12)
27					.224(-16)	.132(-12)	.173(-12)	.122(-12)	.134(-12)
28					.473(-18)	.161(-12)	.200(-12)	.141(-12)	.153(-12)
29					.106(-19)	.203(-12)	.231(-12)	.161(-12)	.177(-12)
30					.205(-21)	.226(-12)	.271(-12)	.187(-12)	.201(-12)
31					.662(-23)	.828(-14)	.320(-12)	.217(-12)	.233(-12)
32					.155(-24)	.163(-15)	.383(-12)	.252(-12)	.270(-12)
33						.605(-17)	.468(-12)	.295(-12)	.314(-12)
34						.184(-18)	.585(-12)	.349(-12)	.365(-12)
35						.637(-20)	.695(-12)	.417(-12)	.430(-12)
36						.309(-21)	.332(-13)	.505(-12)	.506(-12)
37						.135(-22)	.121(-14)	.620(-12)	.598(-12)
38						.509(-24)	.439(-16)	.779(-12)	.716(-12)
39						.335(-25)	.282(-17)	.100(-11)	.868(-12)
40							.182(-18)	.121(-11)	.107(-11)
41							.122(-19)	.116(-12)	.136(-11)
42							.899(-21)	.741(-14)	.177(-11)
43							.713(-22)	.544(-15)	.219(-11)

Virt&I-Comm.5.2014.11

Table CXVI		RIOS L1 REACTIVE				$T_{lr}=500.$	$T_{rot}=4000.$		
v'	v	10	15	20	25	30	35	40	43
0		.265(-18)	.102(-15)	.211(-14)	.712(-14)	.692(-14)	.777(-14)	.587(-14)	.755(-14)
1		.157(-17)	.198(-15)	.161(-14)	.511(-14)	.639(-14)	.842(-14)	.646(-14)	.818(-14)
2		.393(-17)	.178(-15)	.167(-14)	.466(-14)	.573(-14)	.869(-14)	.710(-14)	.884(-14)
3		.574(-17)	.177(-15)	.156(-14)	.496(-14)	.518(-14)	.880(-14)	.714(-14)	.833(-14)
4		.598(-17)	.194(-15)	.168(-14)	.460(-14)	.600(-14)	.772(-14)	.690(-14)	.984(-14)
5		.590(-17)	.212(-15)	.186(-14)	.501(-14)	.623(-14)	.799(-14)	.859(-14)	.929(-14)
6		.707(-17)	.245(-15)	.191(-14)	.629(-14)	.562(-14)	.114(-13)	.637(-14)	.773(-14)
7		.948(-17)	.272(-15)	.197(-14)	.541(-14)	.808(-14)	.947(-14)	.809(-14)	.996(-14)
8		.126(-16)	.319(-15)	.251(-14)	.622(-14)	.776(-14)	.106(-13)	.840(-14)	.110(-13)
9		.187(-16)	.375(-15)	.275(-14)	.799(-14)	.883(-14)	.109(-13)	.104(-13)	.118(-13)
10		.232(-16)	.422(-15)	.262(-14)	.716(-14)	.890(-14)	.137(-13)	.100(-13)	.128(-13)
11		.176(-18)	.501(-15)	.324(-14)	.952(-14)	.103(-13)	.142(-13)	.118(-13)	.126(-13)
12		.114(-20)	.633(-15)	.375(-14)	.948(-14)	.113(-13)	.165(-13)	.119(-13)	.151(-13)
13		.848(-23)	.800(-15)	.377(-14)	.104(-13)	.130(-13)	.172(-13)	.133(-13)	.145(-13)
14		.628(-25)	.100(-14)	.456(-14)	.122(-13)	.144(-13)	.202(-13)	.143(-13)	.179(-13)
15			.943(-15)	.527(-14)	.124(-13)	.158(-13)	.215(-13)	.166(-13)	.194(-13)
16			.902(-17)	.567(-14)	.150(-13)	.178(-13)	.243(-13)	.192(-13)	.204(-13)
17			.703(-19)	.688(-14)	.159(-13)	.198(-13)	.268(-13)	.199(-13)	.251(-13)
18			.602(-21)	.827(-14)	.180(-13)	.226(-13)	.319(-13)	.240(-13)	.256(-13)
19			.637(-23)	.977(-14)	.205(-13)	.246(-13)	.342(-13)	.257(-13)	.300(-13)
20			.711(-25)	.105(-13)	.224(-13)	.281(-13)	.393(-13)	.290(-13)	.329(-13)
21				.124(-15)	.266(-13)	.319(-13)	.440(-13)	.325(-13)	.360(-13)
22				.134(-17)	.313(-13)	.361(-13)	.505(-13)	.357(-13)	.423(-13)
23				.154(-19)	.377(-13)	.409(-13)	.574(-13)	.417(-13)	.453(-13)
24				.194(-21)	.477(-13)	.465(-13)	.653(-13)	.464(-13)	.530(-13)
25				.357(-23)	.521(-13)	.536(-13)	.744(-13)	.535(-13)	.592(-13)
26				.626(-25)	.912(-15)	.628(-13)	.852(-13)	.609(-13)	.678(-13)
27					.125(-16)	.749(-13)	.983(-13)	.698(-13)	.770(-13)
28					.264(-18)	.913(-13)	.113(-12)	.801(-13)	.875(-13)
29					.592(-20)	.114(-12)	.131(-12)	.916(-13)	.101(-12)
30					.114(-21)	.128(-12)	.153(-12)	.106(-12)	.115(-12)
31					.369(-23)	.465(-14)	.181(-12)	.123(-12)	.133(-12)
32					.865(-25)	.915(-16)	.217(-12)	.143(-12)	.154(-12)
33						.338(-17)	.265(-12)	.168(-12)	.179(-12)
34						.103(-18)	.331(-12)	.199(-12)	.208(-12)
35						.355(-20)	.394(-12)	.237(-12)	.246(-12)
36						.172(-21)	.187(-13)	.287(-12)	.289(-12)
37						.753(-23)	.679(-15)	.352(-12)	.342(-12)
38						.283(-24)	.245(-16)	.443(-12)	.410(-12)
39						.186(-25)	.157(-17)	.571(-12)	.496(-12)
40							.102(-18)	.693(-12)	.615(-12)
41							.683(-20)	.657(-13)	.781(-12)
42							.501(-21)	.416(-14)	.101(-11)
43							.397(-22)	.305(-15)	.125(-11)

Virt&I-Comm.5.2014.11

Table CXVII		RIOS L1 REACTIVE				$T_{tr}=1000.$	$T_{rot}= 500.$		
v'	v	5	10	15	20	25	30	35	40
0		.945(-18)	.593(-15)	.268(-13)	.127(-12)	.194(-12)	.163(-12)	.137(-12)	.852(-13)
1		.567(-17)	.302(-14)	.433(-13)	.902(-13)	.156(-12)	.164(-12)	.149(-12)	.941(-13)
2		.217(-16)	.659(-14)	.369(-13)	.102(-12)	.136(-12)	.151(-12)	.154(-12)	.103(-12)
3		.666(-16)	.865(-14)	.421(-13)	.976(-13)	.149(-12)	.139(-12)	.155(-12)	.104(-12)
4		.205(-15)	.879(-14)	.447(-13)	.109(-12)	.151(-12)	.156(-12)	.140(-12)	.102(-12)
5		.140(-14)	.934(-14)	.480(-13)	.115(-12)	.163(-12)	.165(-12)	.147(-12)	.119(-12)
6		.464(-16)	.116(-13)	.559(-13)	.124(-12)	.195(-12)	.159(-12)	.195(-12)	.102(-12)
7		.468(-17)	.149(-13)	.616(-13)	.134(-12)	.181(-12)	.208(-12)	.178(-12)	.119(-12)
8		.437(-18)	.193(-13)	.710(-13)	.163(-12)	.205(-12)	.218(-12)	.193(-12)	.129(-12)
9		.354(-19)	.283(-13)	.811(-13)	.176(-12)	.249(-12)	.235(-12)	.205(-12)	.153(-12)
10		.287(-20)	.404(-13)	.915(-13)	.183(-12)	.258(-12)	.249(-12)	.248(-12)	.159(-12)
11		.258(-21)	.278(-14)	.110(-12)	.211(-12)	.306(-12)	.280(-12)	.265(-12)	.178(-12)
12		.238(-22)	.191(-15)	.137(-12)	.244(-12)	.322(-12)	.314(-12)	.303(-12)	.188(-12)
13		.207(-23)	.147(-16)	.171(-12)	.267(-12)	.359(-12)	.360(-12)	.325(-12)	.204(-12)
14		.178(-24)	.119(-17)	.221(-12)	.314(-12)	.405(-12)	.401(-12)	.369(-12)	.225(-12)
15		.160(-25)	.970(-19)	.256(-12)	.364(-12)	.442(-12)	.443(-12)	.398(-12)	.258(-12)
16			.858(-20)	.211(-13)	.415(-12)	.512(-12)	.496(-12)	.446(-12)	.295(-12)
17			.816(-21)	.167(-14)	.498(-12)	.568(-12)	.556(-12)	.500(-12)	.323(-12)
18			.778(-22)	.143(-15)	.602(-12)	.647(-12)	.625(-12)	.581(-12)	.374(-12)
19			.744(-23)	.134(-16)	.735(-12)	.736(-12)	.695(-12)	.640(-12)	.409(-12)
20			.737(-24)	.133(-17)	.852(-12)	.839(-12)	.791(-12)	.728(-12)	.455(-12)
21			.791(-25)	.132(-18)	.836(-13)	.986(-12)	.900(-12)	.817(-12)	.510(-12)
22				.139(-19)	.813(-14)	.116(-11)	.102(-11)	.926(-12)	.566(-12)
23				.151(-20)	.835(-15)	.141(-11)	.116(-11)	.105(-11)	.648(-12)
24				.169(-21)	.890(-16)	.176(-11)	.133(-11)	.119(-11)	.730(-12)
25				.213(-22)	.105(-16)	.206(-11)	.154(-11)	.135(-11)	.837(-12)
26				.277(-23)	.132(-17)	.253(-12)	.181(-11)	.155(-11)	.957(-12)
27				.352(-24)	.169(-18)	.290(-13)	.217(-11)	.179(-11)	.109(-11)
28				.500(-25)	.229(-19)	.359(-14)	.265(-11)	.207(-11)	.124(-11)
29					.328(-20)	.512(-15)	.332(-11)	.240(-11)	.142(-11)
30					.473(-21)	.688(-16)	.394(-11)	.282(-11)	.165(-11)
31					.778(-22)	.110(-16)	.632(-12)	.334(-11)	.191(-11)
32					.120(-22)	.169(-17)	.850(-13)	.402(-11)	.222(-11)
33					.216(-23)	.300(-18)	.143(-13)	.495(-11)	.259(-11)
34					.383(-24)	.513(-19)	.230(-14)	.623(-11)	.306(-11)
35					.692(-25)	.955(-20)	.422(-15)	.756(-11)	.365(-11)
36					.140(-25)	.189(-20)	.812(-16)	.140(-11)	.441(-11)
37						.376(-21)	.158(-16)	.243(-12)	.542(-11)
38						.756(-22)	.318(-17)	.458(-13)	.683(-11)
39						.175(-22)	.737(-18)	.102(-13)	.884(-11)
40						.409(-23)	.171(-18)	.231(-14)	.111(-10)

Virt&I-Comm.5.2014.11

Table CXVIII		RIOS L1 REACTIVE				$T_{tr}=1000.$		$T_{rot}=1000.$	
v'	v	5	10	15	20	25	30	35	40
0		.718(-18)	.454(-15)	.207(-13)	.997(-13)	.153(-12)	.129(-12)	.109(-12)	.683(-13)
1		.431(-17)	.231(-14)	.335(-13)	.705(-13)	.123(-12)	.130(-12)	.119(-12)	.755(-13)
2		.165(-16)	.505(-14)	.285(-13)	.800(-13)	.107(-12)	.120(-12)	.123(-12)	.827(-13)
3		.506(-16)	.663(-14)	.325(-13)	.762(-13)	.118(-12)	.110(-12)	.124(-12)	.841(-13)
4		.156(-15)	.674(-14)	.346(-13)	.853(-13)	.119(-12)	.124(-12)	.111(-12)	.823(-13)
5		.107(-14)	.716(-14)	.371(-13)	.904(-13)	.128(-12)	.130(-12)	.117(-12)	.960(-13)
6		.352(-16)	.890(-14)	.432(-13)	.969(-13)	.154(-12)	.126(-12)	.156(-12)	.820(-13)
7		.355(-17)	.114(-13)	.476(-13)	.104(-12)	.142(-12)	.164(-12)	.141(-12)	.957(-13)
8		.331(-18)	.148(-13)	.549(-13)	.127(-12)	.161(-12)	.173(-12)	.154(-12)	.103(-12)
9		.268(-19)	.217(-13)	.627(-13)	.137(-12)	.196(-12)	.186(-12)	.163(-12)	.122(-12)
10		.217(-20)	.310(-13)	.707(-13)	.143(-12)	.203(-12)	.196(-12)	.198(-12)	.127(-12)
11		.195(-21)	.212(-14)	.852(-13)	.165(-12)	.241(-12)	.221(-12)	.211(-12)	.143(-12)
12		.179(-22)	.145(-15)	.106(-12)	.190(-12)	.254(-12)	.248(-12)	.242(-12)	.150(-12)
13		.156(-23)	.112(-16)	.132(-12)	.208(-12)	.282(-12)	.285(-12)	.259(-12)	.164(-12)
14		.134(-24)	.900(-18)	.171(-12)	.245(-12)	.319(-12)	.316(-12)	.294(-12)	.180(-12)
15		.121(-25)	.734(-19)	.197(-12)	.284(-12)	.348(-12)	.350(-12)	.317(-12)	.206(-12)
16			.648(-20)	.162(-13)	.324(-12)	.403(-12)	.392(-12)	.356(-12)	.236(-12)
17			.616(-21)	.127(-14)	.389(-12)	.447(-12)	.439(-12)	.398(-12)	.258(-12)
18			.587(-22)	.108(-15)	.469(-12)	.509(-12)	.494(-12)	.463(-12)	.299(-12)
19			.561(-23)	.102(-16)	.573(-12)	.579(-12)	.549(-12)	.510(-12)	.327(-12)
20			.555(-24)	.100(-17)	.664(-12)	.659(-12)	.625(-12)	.580(-12)	.364(-12)
21			.596(-25)	.100(-18)	.643(-13)	.775(-12)	.711(-12)	.651(-12)	.408(-12)
22				.105(-19)	.621(-14)	.917(-12)	.809(-12)	.738(-12)	.453(-12)
23				.114(-20)	.636(-15)	.111(-11)	.920(-12)	.839(-12)	.519(-12)
24				.128(-21)	.676(-16)	.138(-11)	.105(-11)	.951(-12)	.584(-12)
25				.161(-22)	.800(-17)	.162(-11)	.122(-11)	.108(-11)	.670(-12)
26				.209(-23)	.100(-17)	.196(-12)	.143(-11)	.123(-11)	.766(-12)
27				.265(-24)	.127(-18)	.222(-13)	.171(-11)	.142(-11)	.873(-12)
28				.377(-25)	.173(-19)	.274(-14)	.209(-11)	.165(-11)	.100(-11)
29					.247(-20)	.390(-15)	.262(-11)	.191(-11)	.114(-11)
30					.357(-21)	.522(-16)	.311(-11)	.224(-11)	.132(-11)
31					.587(-22)	.840(-17)	.490(-12)	.266(-11)	.153(-11)
32					.909(-23)	.128(-17)	.653(-13)	.320(-11)	.177(-11)
33					.163(-23)	.227(-18)	.110(-13)	.394(-11)	.207(-11)
34					.289(-24)	.388(-19)	.175(-14)	.496(-11)	.245(-11)
35					.522(-25)	.722(-20)	.321(-15)	.602(-11)	.292(-11)
36					.105(-25)	.143(-20)	.616(-16)	.109(-11)	.353(-11)
37						.284(-21)	.119(-16)	.187(-12)	.434(-11)
38						.570(-22)	.241(-17)	.351(-13)	.547(-11)
39						.132(-22)	.558(-18)	.783(-14)	.708(-11)
40						.309(-23)	.129(-18)	.176(-14)	.889(-11)

Virt&I-Comm.5.2014.11

Table CXIX		RIOS L1 REACTIVE				$T_{tr}=1000.$		$T_{rot}=2000.$	
v'	v	5	10	15	20	25	30	35	40
0		.485(-18)	.309(-15)	.142(-13)	.691(-13)	.107(-12)	.908(-13)	.773(-13)	.485(-13)
1		.291(-17)	.157(-14)	.230(-13)	.489(-13)	.859(-13)	.912(-13)	.843(-13)	.536(-13)
2		.111(-16)	.344(-14)	.196(-13)	.554(-13)	.751(-13)	.841(-13)	.873(-13)	.587(-13)
3		.342(-16)	.452(-14)	.223(-13)	.528(-13)	.825(-13)	.771(-13)	.877(-13)	.597(-13)
4		.105(-15)	.459(-14)	.237(-13)	.591(-13)	.832(-13)	.869(-13)	.789(-13)	.584(-13)
5		.723(-15)	.488(-14)	.254(-13)	.626(-13)	.899(-13)	.916(-13)	.830(-13)	.683(-13)
6		.238(-16)	.606(-14)	.297(-13)	.671(-13)	.107(-12)	.883(-13)	.110(-12)	.581(-13)
7		.239(-17)	.780(-14)	.327(-13)	.725(-13)	.997(-13)	.115(-12)	.100(-12)	.679(-13)
8		.222(-18)	.101(-13)	.377(-13)	.884(-13)	.113(-12)	.121(-12)	.108(-12)	.736(-13)
9		.180(-19)	.148(-13)	.431(-13)	.952(-13)	.137(-12)	.130(-12)	.115(-12)	.871(-13)
10		.146(-20)	.211(-13)	.485(-13)	.991(-13)	.141(-12)	.138(-12)	.139(-12)	.902(-13)
11		.130(-21)	.144(-14)	.585(-13)	.114(-12)	.168(-12)	.155(-12)	.149(-12)	.101(-12)
12		.120(-22)	.984(-16)	.729(-13)	.132(-12)	.177(-12)	.174(-12)	.171(-12)	.106(-12)
13		.105(-23)	.754(-17)	.911(-13)	.144(-12)	.197(-12)	.199(-12)	.182(-12)	.116(-12)
14		.899(-25)	.606(-18)	.117(-12)	.169(-12)	.222(-12)	.222(-12)	.207(-12)	.128(-12)
15			.493(-19)	.135(-12)	.197(-12)	.242(-12)	.245(-12)	.223(-12)	.146(-12)
16			.435(-20)	.110(-13)	.224(-12)	.281(-12)	.275(-12)	.251(-12)	.167(-12)
17			.414(-21)	.864(-15)	.269(-12)	.312(-12)	.308(-12)	.281(-12)	.182(-12)
18			.394(-22)	.734(-16)	.325(-12)	.355(-12)	.346(-12)	.327(-12)	.212(-12)
19			.376(-23)	.687(-17)	.396(-12)	.404(-12)	.384(-12)	.360(-12)	.231(-12)
20			.372(-24)	.678(-18)	.459(-12)	.459(-12)	.437(-12)	.409(-12)	.258(-12)
21			.399(-25)	.673(-19)	.439(-13)	.540(-12)	.498(-12)	.460(-12)	.289(-12)
22				.707(-20)	.422(-14)	.639(-12)	.566(-12)	.521(-12)	.320(-12)
23				.768(-21)	.430(-15)	.774(-12)	.645(-12)	.592(-12)	.368(-12)
24				.858(-22)	.456(-16)	.966(-12)	.737(-12)	.671(-12)	.414(-12)
25				.108(-22)	.539(-17)	.113(-11)	.855(-12)	.765(-12)	.475(-12)
26				.140(-23)	.677(-18)	.134(-12)	.100(-11)	.874(-12)	.543(-12)
27				.178(-24)	.859(-19)	.151(-13)	.120(-11)	.100(-11)	.619(-12)
28				.252(-25)	.116(-19)	.186(-14)	.146(-11)	.116(-11)	.708(-12)
29					.166(-20)	.263(-15)	.183(-11)	.135(-11)	.810(-12)
30					.240(-21)	.352(-16)	.217(-11)	.158(-11)	.937(-12)
31					.394(-22)	.566(-17)	.337(-12)	.188(-11)	.108(-11)
32					.609(-23)	.862(-18)	.445(-13)	.226(-11)	.126(-11)
33					.109(-23)	.152(-18)	.747(-14)	.278(-11)	.147(-11)
34					.193(-24)	.261(-19)	.119(-14)	.350(-11)	.174(-11)
35					.349(-25)	.485(-20)	.217(-15)	.424(-11)	.207(-11)
36						.962(-21)	.416(-16)	.758(-12)	.250(-11)
37						.191(-21)	.808(-17)	.128(-12)	.308(-11)
38						.382(-22)	.162(-17)	.239(-13)	.388(-11)
39						.885(-23)	.375(-18)	.531(-14)	.502(-11)
40						.207(-23)	.870(-19)	.119(-14)	.629(-11)

Virt&I-Comm.5.2014.11

Table CXX		RIOS L1 REACTIVE				$T_{tr}=1000.$		$T_{rot}=4000.$	
v'	v	5	10	15	20	25	30	35	40
0	.294(-18)	.188(-15)	.874(-14)	.427(-13)	.671(-13)	.567(-13)	.484(-13)	.305(-13)	
1	.176(-17)	.960(-15)	.141(-13)	.303(-13)	.535(-13)	.569(-13)	.528(-13)	.337(-13)	
2	.674(-17)	.210(-14)	.120(-13)	.343(-13)	.467(-13)	.525(-13)	.547(-13)	.369(-13)	
3	.207(-16)	.276(-14)	.137(-13)	.326(-13)	.513(-13)	.481(-13)	.550(-13)	.375(-13)	
4	.639(-16)	.280(-14)	.145(-13)	.365(-13)	.517(-13)	.542(-13)	.494(-13)	.367(-13)	
5	.438(-15)	.297(-14)	.156(-13)	.387(-13)	.559(-13)	.571(-13)	.520(-13)	.430(-13)	
6	.144(-16)	.370(-14)	.182(-13)	.415(-13)	.670(-13)	.550(-13)	.694(-13)	.365(-13)	
7	.144(-17)	.476(-14)	.200(-13)	.448(-13)	.619(-13)	.721(-13)	.627(-13)	.427(-13)	
8	.134(-18)	.618(-14)	.231(-13)	.546(-13)	.702(-13)	.755(-13)	.682(-13)	.462(-13)	
9	.108(-19)	.905(-14)	.264(-13)	.588(-13)	.855(-13)	.814(-13)	.723(-13)	.548(-13)	
10	.881(-21)	.128(-13)	.298(-13)	.612(-13)	.880(-13)	.859(-13)	.876(-13)	.567(-13)	
11	.789(-22)	.876(-15)	.359(-13)	.707(-13)	.104(-12)	.969(-13)	.934(-13)	.639(-13)	
12	.726(-23)	.596(-16)	.447(-13)	.815(-13)	.110(-12)	.108(-12)	.107(-12)	.671(-13)	
13	.632(-24)	.457(-17)	.559(-13)	.893(-13)	.122(-12)	.124(-12)	.114(-12)	.731(-13)	
14	.541(-25)	.366(-18)	.722(-13)	.105(-12)	.138(-12)	.138(-12)	.130(-12)	.804(-13)	
15		.298(-19)	.832(-13)	.121(-12)	.150(-12)	.153(-12)	.140(-12)	.921(-13)	
16		.262(-20)	.672(-14)	.138(-12)	.175(-12)	.171(-12)	.157(-12)	.105(-12)	
17		.249(-21)	.525(-15)	.166(-12)	.193(-12)	.192(-12)	.176(-12)	.114(-12)	
18		.237(-22)	.445(-16)	.200(-12)	.220(-12)	.216(-12)	.205(-12)	.133(-12)	
19		.226(-23)	.416(-17)	.244(-12)	.251(-12)	.239(-12)	.225(-12)	.145(-12)	
20		.224(-24)	.410(-18)	.283(-12)	.285(-12)	.272(-12)	.256(-12)	.162(-12)	
21		.240(-25)	.407(-19)	.268(-13)	.335(-12)	.310(-12)	.288(-12)	.182(-12)	
22			.426(-20)	.257(-14)	.397(-12)	.353(-12)	.326(-12)	.201(-12)	
23			.463(-21)	.261(-15)	.481(-12)	.401(-12)	.371(-12)	.231(-12)	
24			.517(-22)	.276(-16)	.600(-12)	.459(-12)	.421(-12)	.260(-12)	
25			.651(-23)	.326(-17)	.701(-12)	.533(-12)	.479(-12)	.298(-12)	
26			.844(-24)	.409(-18)	.825(-13)	.626(-12)	.548(-12)	.341(-12)	
27			.107(-24)	.519(-19)	.922(-14)	.747(-12)	.632(-12)	.389(-12)	
28			.152(-25)	.702(-20)	.113(-14)	.913(-12)	.731(-12)	.445(-12)	
29				.100(-20)	.160(-15)	.114(-11)	.847(-12)	.509(-12)	
30				.144(-21)	.213(-16)	.135(-11)	.994(-12)	.589(-12)	
31				.237(-22)	.343(-17)	.208(-12)	.117(-11)	.683(-12)	
32				.367(-23)	.521(-18)	.272(-13)	.141(-11)	.792(-12)	
33				.659(-24)	.923(-19)	.455(-14)	.174(-11)	.926(-12)	
34				.116(-24)	.157(-19)	.722(-15)	.219(-11)	.109(-11)	
35				.210(-25)	.292(-20)	.131(-15)	.266(-11)	.130(-11)	
36					.580(-21)	.252(-16)	.468(-12)	.157(-11)	
37					.115(-21)	.489(-17)	.787(-13)	.193(-11)	
38					.230(-22)	.981(-18)	.146(-13)	.243(-11)	
39					.534(-23)	.227(-18)	.323(-14)	.315(-11)	
40					.124(-23)	.525(-19)	.726(-15)	.395(-11)	

Virt&I-Comm.5.2014.11

Table CXXI		RIOS L1 REACTIVE				$T_{tr}=2000.$	$T_{rot}= 500.$		
v'	v	3	5	10	15	20	25	30	35
0		.968(-15)	.103(-14)	.255(-13)	.271(-12)	.616(-12)	.637(-12)	.471(-12)	.329(-12)
1		.542(-14)	.461(-14)	.941(-13)	.381(-12)	.438(-12)	.540(-12)	.480(-12)	.356(-12)
2		.198(-13)	.123(-13)	.169(-12)	.340(-12)	.499(-12)	.474(-12)	.450(-12)	.367(-12)
3		.595(-13)	.270(-13)	.207(-12)	.392(-12)	.495(-12)	.518(-12)	.426(-12)	.366(-12)
4		.667(-14)	.604(-13)	.220(-12)	.416(-12)	.549(-12)	.548(-12)	.464(-12)	.346(-12)
5		.112(-14)	.262(-12)	.247(-12)	.455(-12)	.585(-12)	.591(-12)	.494(-12)	.374(-12)
6		.349(-15)	.272(-13)	.301(-12)	.521(-12)	.640(-12)	.670(-12)	.516(-12)	.447(-12)
7		.128(-15)	.697(-14)	.378(-12)	.578(-12)	.708(-12)	.677(-12)	.612(-12)	.445(-12)
8		.470(-16)	.189(-14)	.489(-12)	.661(-12)	.816(-12)	.763(-12)	.660(-12)	.481(-12)
9		.158(-16)	.502(-15)	.710(-12)	.756(-12)	.887(-12)	.880(-12)	.714(-12)	.524(-12)
10		.477(-17)	.135(-15)	.111(-11)	.871(-12)	.971(-12)	.957(-12)	.769(-12)	.607(-12)
11		.133(-17)	.386(-16)	.223(-12)	.104(-11)	.109(-11)	.108(-11)	.863(-12)	.664(-12)
12		.362(-18)	.112(-16)	.499(-13)	.127(-11)	.125(-11)	.117(-11)	.965(-12)	.744(-12)
13		.102(-18)	.315(-17)	.124(-13)	.159(-11)	.141(-11)	.131(-11)	.109(-11)	.813(-12)
14		.307(-19)	.887(-18)	.328(-14)	.208(-11)	.164(-11)	.147(-11)	.121(-11)	.905(-12)
15		.934(-20)	.258(-18)	.882(-15)	.268(-11)	.191(-11)	.164(-11)	.135(-11)	.989(-12)
16		.278(-20)	.771(-19)	.249(-15)	.648(-12)	.223(-11)	.187(-11)	.150(-11)	.110(-11)
17		.813(-21)	.230(-19)	.729(-16)	.161(-12)	.267(-11)	.211(-11)	.168(-11)	.124(-11)
18		.239(-21)	.681(-20)	.213(-16)	.431(-13)	.325(-11)	.241(-11)	.188(-11)	.141(-11)
19		.724(-22)	.205(-20)	.629(-17)	.122(-13)	.406(-11)	.276(-11)	.211(-11)	.158(-11)
20		.228(-22)	.641(-21)	.190(-17)	.358(-14)	.503(-11)	.319(-11)	.239(-11)	.178(-11)
21		.742(-23)	.204(-21)	.593(-18)	.107(-14)	.137(-11)	.375(-11)	.272(-11)	.199(-11)
22		.243(-23)	.655(-22)	.190(-18)	.329(-15)	.384(-12)	.445(-11)	.310(-11)	.224(-11)
23		.797(-24)	.210(-22)	.616(-19)	.103(-15)	.113(-12)	.541(-11)	.354(-11)	.253(-11)
24		.258(-24)	.688(-23)	.201(-19)	.331(-16)	.347(-13)	.676(-11)	.408(-11)	.286(-11)
25		.866(-25)	.235(-23)	.679(-20)	.111(-16)	.111(-13)	.836(-11)	.475(-11)	.326(-11)
26		.298(-25)	.835(-24)	.235(-20)	.382(-17)	.367(-14)	.258(-11)	.559(-11)	.373(-11)
27		.100(-25)	.290(-24)	.811(-21)	.131(-17)	.124(-14)	.794(-12)	.669(-11)	.429(-11)
28			.104(-24)	.292(-21)	.470(-18)	.432(-15)	.254(-12)	.817(-11)	.496(-11)
29			.381(-25)	.105(-21)	.170(-18)	.154(-15)	.887(-13)	.102(-10)	.576(-11)
30			.135(-25)	.374(-22)	.625(-19)	.565(-16)	.307(-13)	.127(-10)	.676(-11)
31				.144(-22)	.240(-19)	.214(-16)	.114(-13)	.440(-11)	.803(-11)
32				.545(-23)	.908(-20)	.817(-17)	.423(-14)	.148(-11)	.969(-11)
33				.222(-23)	.361(-20)	.325(-17)	.165(-14)	.545(-12)	.119(-10)
34				.917(-24)	.144(-20)	.130(-17)	.648(-15)	.203(-12)	.152(-10)
35				.373(-24)	.578(-21)	.529(-18)	.264(-15)	.805(-13)	.192(-10)

Virt&I-Comm.5.2014.11

Table CXXII		RIOS L1 REACTIVE			$T_{tr}=2000.$	$T_{rot}=1000.$			
v'	v	3	5	10	15	20	25	30	35
0		.818(-15)	.877(-15)	.218(-13)	.234(-12)	.538(-12)	.561(-12)	.417(-12)	.293(-12)
1		.458(-14)	.390(-14)	.806(-13)	.330(-12)	.382(-12)	.475(-12)	.424(-12)	.317(-12)
2		.168(-13)	.104(-13)	.145(-12)	.294(-12)	.436(-12)	.418(-12)	.398(-12)	.327(-12)
3		.504(-13)	.229(-13)	.178(-12)	.339(-12)	.432(-12)	.456(-12)	.376(-12)	.327(-12)
4		.563(-14)	.512(-13)	.189(-12)	.360(-12)	.480(-12)	.482(-12)	.411(-12)	.308(-12)
5		.952(-15)	.222(-12)	.211(-12)	.394(-12)	.510(-12)	.520(-12)	.437(-12)	.333(-12)
6		.294(-15)	.230(-13)	.258(-12)	.451(-12)	.559(-12)	.590(-12)	.455(-12)	.399(-12)
7		.108(-15)	.590(-14)	.324(-12)	.500(-12)	.617(-12)	.595(-12)	.541(-12)	.396(-12)
8		.395(-16)	.160(-14)	.420(-12)	.572(-12)	.712(-12)	.670(-12)	.583(-12)	.428(-12)
9		.133(-16)	.424(-15)	.609(-12)	.654(-12)	.774(-12)	.775(-12)	.632(-12)	.466(-12)
10		.401(-17)	.114(-15)	.955(-12)	.753(-12)	.847(-12)	.841(-12)	.680(-12)	.541(-12)
11		.111(-17)	.325(-16)	.190(-12)	.902(-12)	.957(-12)	.954(-12)	.763(-12)	.591(-12)
12		.304(-18)	.942(-17)	.424(-13)	.110(-11)	.109(-11)	.103(-11)	.853(-12)	.663(-12)
13		.862(-19)	.265(-17)	.105(-13)	.138(-11)	.123(-11)	.115(-11)	.968(-12)	.724(-12)
14		.258(-19)	.745(-18)	.277(-14)	.180(-11)	.143(-11)	.129(-11)	.107(-11)	.806(-12)
15		.783(-20)	.216(-18)	.744(-15)	.232(-11)	.167(-11)	.144(-11)	.119(-11)	.881(-12)
16		.233(-20)	.647(-19)	.210(-15)	.555(-12)	.194(-11)	.164(-11)	.133(-11)	.985(-12)
17		.682(-21)	.192(-19)	.614(-16)	.137(-12)	.233(-11)	.185(-11)	.148(-11)	.110(-11)
18		.200(-21)	.571(-20)	.179(-16)	.366(-13)	.283(-11)	.212(-11)	.166(-11)	.126(-11)
19		.607(-22)	.172(-20)	.528(-17)	.103(-13)	.354(-11)	.243(-11)	.186(-11)	.140(-11)
20		.191(-22)	.537(-21)	.159(-17)	.303(-14)	.438(-11)	.280(-11)	.212(-11)	.158(-11)
21		.621(-23)	.171(-21)	.497(-18)	.903(-15)	.118(-11)	.329(-11)	.241(-11)	.177(-11)
22		.203(-23)	.549(-22)	.160(-18)	.277(-15)	.328(-12)	.391(-11)	.274(-11)	.200(-11)
23		.667(-24)	.176(-22)	.517(-19)	.871(-16)	.965(-13)	.475(-11)	.313(-11)	.226(-11)
24		.216(-24)	.576(-23)	.169(-19)	.279(-16)	.295(-13)	.594(-11)	.360(-11)	.255(-11)
25		.725(-25)	.197(-23)	.569(-20)	.936(-17)	.939(-14)	.733(-11)	.419(-11)	.291(-11)
26		.249(-25)	.699(-24)	.197(-20)	.321(-17)	.310(-14)	.223(-11)	.494(-11)	.333(-11)
27			.243(-24)	.679(-21)	.110(-17)	.105(-14)	.681(-12)	.591(-11)	.382(-11)
28			.875(-25)	.245(-21)	.395(-18)	.365(-15)	.217(-12)	.722(-11)	.442(-11)
29			.319(-25)	.884(-22)	.143(-18)	.130(-15)	.755(-13)	.908(-11)	.514(-11)
30			.113(-25)	.313(-22)	.524(-19)	.476(-16)	.260(-13)	.112(-10)	.603(-11)
31				.120(-22)	.201(-19)	.180(-16)	.964(-14)	.382(-11)	.716(-11)
32				.457(-23)	.761(-20)	.687(-17)	.358(-14)	.127(-11)	.864(-11)
33				.186(-23)	.303(-20)	.273(-17)	.139(-14)	.467(-12)	.106(-10)
34				.768(-24)	.121(-20)	.109(-17)	.547(-15)	.173(-12)	.135(-10)
35				.312(-24)	.485(-21)	.444(-18)	.223(-15)	.684(-13)	.171(-10)

Virt&I-Comm.5.2014.11

Table CXXIII		RIOS L1 REACTIVE				$T_{tr}=2000.$		$T_{rot}=2000.$	
v'	v	3	5	10	15	20	25	30	35
0		.623(-15)	.669(-15)	.168(-13)	.183(-12)	.427(-12)	.450(-12)	.335(-12)	.238(-12)
1		.350(-14)	.298(-14)	.624(-13)	.259(-12)	.303(-12)	.380(-12)	.342(-12)	.257(-12)
2		.128(-13)	.799(-14)	.113(-12)	.231(-12)	.346(-12)	.334(-12)	.320(-12)	.265(-12)
3		.385(-13)	.175(-13)	.138(-12)	.266(-12)	.342(-12)	.365(-12)	.302(-12)	.265(-12)
4		.430(-14)	.393(-13)	.146(-12)	.283(-12)	.380(-12)	.386(-12)	.330(-12)	.250(-12)
5		.725(-15)	.171(-12)	.164(-12)	.309(-12)	.404(-12)	.416(-12)	.351(-12)	.269(-12)
6		.224(-15)	.176(-13)	.200(-12)	.353(-12)	.443(-12)	.472(-12)	.365(-12)	.325(-12)
7		.823(-16)	.450(-14)	.251(-12)	.392(-12)	.489(-12)	.475(-12)	.436(-12)	.321(-12)
8		.300(-16)	.122(-14)	.326(-12)	.448(-12)	.565(-12)	.535(-12)	.469(-12)	.347(-12)
9		.101(-16)	.322(-15)	.473(-12)	.513(-12)	.614(-12)	.620(-12)	.508(-12)	.377(-12)
10		.304(-17)	.866(-16)	.741(-12)	.591(-12)	.671(-12)	.672(-12)	.546(-12)	.438(-12)
11		.846(-18)	.247(-16)	.146(-12)	.707(-12)	.758(-12)	.763(-12)	.613(-12)	.479(-12)
12		.230(-18)	.714(-17)	.325(-13)	.866(-12)	.867(-12)	.827(-12)	.685(-12)	.537(-12)
13		.652(-19)	.200(-17)	.808(-14)	.108(-11)	.980(-12)	.923(-12)	.778(-12)	.586(-12)
14		.195(-19)	.564(-18)	.211(-14)	.141(-11)	.113(-11)	.103(-11)	.864(-12)	.653(-12)
15		.592(-20)	.164(-18)	.567(-15)	.181(-11)	.132(-11)	.115(-11)	.960(-12)	.713(-12)
16		.176(-20)	.489(-19)	.159(-15)	.430(-12)	.154(-11)	.131(-11)	.107(-11)	.798(-12)
17		.515(-21)	.145(-19)	.466(-16)	.106(-12)	.184(-11)	.148(-11)	.119(-11)	.896(-12)
18		.151(-21)	.431(-20)	.136(-16)	.281(-13)	.224(-11)	.169(-11)	.133(-11)	.102(-11)
19		.458(-22)	.130(-20)	.400(-17)	.790(-14)	.280(-11)	.194(-11)	.150(-11)	.114(-11)
20		.144(-22)	.406(-21)	.121(-17)	.231(-14)	.346(-11)	.224(-11)	.170(-11)	.128(-11)
21		.469(-23)	.129(-21)	.377(-18)	.688(-15)	.921(-12)	.263(-11)	.193(-11)	.144(-11)
22		.153(-23)	.414(-22)	.121(-18)	.211(-15)	.254(-12)	.312(-11)	.220(-11)	.162(-11)
23		.503(-24)	.133(-22)	.391(-19)	.661(-16)	.743(-13)	.379(-11)	.252(-11)	.183(-11)
24		.162(-24)	.434(-23)	.128(-19)	.211(-16)	.226(-13)	.474(-11)	.289(-11)	.207(-11)
25		.546(-25)	.148(-23)	.430(-20)	.710(-17)	.718(-14)	.584(-11)	.337(-11)	.236(-11)
26		.188(-25)	.527(-24)	.149(-20)	.243(-17)	.236(-14)	.174(-11)	.397(-11)	.270(-11)
27			.183(-24)	.513(-21)	.838(-18)	.801(-15)	.528(-12)	.475(-11)	.310(-11)
28			.659(-25)	.185(-21)	.299(-18)	.277(-15)	.167(-12)	.580(-11)	.359(-11)
29			.240(-25)	.667(-22)	.108(-18)	.988(-16)	.580(-13)	.730(-11)	.417(-11)
30				.236(-22)	.397(-19)	.361(-16)	.199(-13)	.905(-11)	.489(-11)
31				.910(-23)	.152(-19)	.136(-16)	.737(-14)	.301(-11)	.581(-11)
32				.344(-23)	.575(-20)	.521(-17)	.273(-14)	.992(-12)	.701(-11)
33				.140(-23)	.228(-20)	.207(-17)	.106(-14)	.361(-12)	.865(-11)
34				.579(-24)	.913(-21)	.831(-18)	.416(-15)	.133(-12)	.109(-10)
35				.235(-24)	.366(-21)	.336(-18)	.169(-15)	.526(-13)	.138(-10)

Virt&I-Comm.5.2014.11

Table CXXIV		RIOS L1 REACTIVE			$T_{tr}=2000.$		$T_{rot}=4000.$		
v'	v	3	5	10	15	20	25	30	35
0		.422(-15)	.454(-15)	.115(-13)	.127(-12)	.300(-12)	.319(-12)	.239(-12)	.170(-12)
1		.237(-14)	.202(-14)	.430(-13)	.180(-12)	.213(-12)	.269(-12)	.243(-12)	.184(-12)
2		.873(-14)	.543(-14)	.779(-13)	.160(-12)	.243(-12)	.237(-12)	.228(-12)	.190(-12)
3		.262(-13)	.119(-13)	.955(-13)	.185(-12)	.240(-12)	.258(-12)	.215(-12)	.190(-12)
4		.291(-14)	.268(-13)	.101(-12)	.196(-12)	.267(-12)	.273(-12)	.235(-12)	.179(-12)
5		.490(-15)	.116(-12)	.113(-12)	.215(-12)	.284(-12)	.294(-12)	.250(-12)	.192(-12)
6		.151(-15)	.120(-13)	.138(-12)	.246(-12)	.311(-12)	.335(-12)	.259(-12)	.233(-12)
7		.556(-16)	.306(-14)	.173(-12)	.273(-12)	.343(-12)	.336(-12)	.310(-12)	.230(-12)
8		.202(-16)	.828(-15)	.224(-12)	.312(-12)	.397(-12)	.379(-12)	.333(-12)	.248(-12)
9		.681(-17)	.218(-15)	.326(-12)	.357(-12)	.431(-12)	.439(-12)	.361(-12)	.270(-12)
10		.205(-17)	.585(-16)	.511(-12)	.411(-12)	.471(-12)	.475(-12)	.388(-12)	.314(-12)
11		.570(-18)	.166(-16)	.100(-12)	.492(-12)	.532(-12)	.540(-12)	.435(-12)	.343(-12)
12		.155(-18)	.481(-17)	.222(-13)	.603(-12)	.609(-12)	.585(-12)	.487(-12)	.385(-12)
13		.438(-19)	.135(-17)	.549(-14)	.753(-12)	.688(-12)	.653(-12)	.553(-12)	.420(-12)
14		.131(-19)	.379(-18)	.143(-14)	.985(-12)	.799(-12)	.732(-12)	.615(-12)	.468(-12)
15		.397(-20)	.110(-18)	.384(-15)	.126(-11)	.929(-12)	.817(-12)	.682(-12)	.511(-12)
16		.118(-20)	.329(-19)	.108(-15)	.296(-12)	.108(-11)	.932(-12)	.760(-12)	.572(-12)
17		.345(-21)	.980(-20)	.314(-16)	.726(-13)	.129(-11)	.105(-11)	.849(-12)	.642(-12)
18		.101(-21)	.289(-20)	.917(-17)	.191(-13)	.157(-11)	.119(-11)	.952(-12)	.733(-12)
19		.307(-22)	.873(-21)	.270(-17)	.537(-14)	.196(-11)	.137(-11)	.106(-11)	.818(-12)
20		.968(-23)	.272(-21)	.814(-18)	.156(-14)	.242(-11)	.158(-11)	.121(-11)	.921(-12)
21		.314(-23)	.869(-22)	.253(-18)	.465(-15)	.637(-12)	.186(-11)	.137(-11)	.103(-11)
22		.103(-23)	.278(-22)	.815(-19)	.142(-15)	.174(-12)	.220(-11)	.157(-11)	.116(-11)
23		.337(-24)	.893(-23)	.262(-19)	.446(-16)	.507(-13)	.268(-11)	.179(-11)	.131(-11)
24		.109(-24)	.291(-23)	.860(-20)	.142(-16)	.154(-13)	.335(-11)	.206(-11)	.148(-11)
25		.366(-25)	.998(-24)	.289(-20)	.478(-17)	.488(-14)	.412(-11)	.239(-11)	.169(-11)
26		.126(-25)	.353(-24)	.100(-20)	.164(-17)	.160(-14)	.121(-11)	.282(-11)	.193(-11)
27			.122(-24)	.344(-21)	.564(-18)	.542(-15)	.364(-12)	.337(-11)	.222(-11)
28			.442(-25)	.124(-21)	.201(-18)	.187(-15)	.114(-12)	.412(-11)	.257(-11)
29			.161(-25)	.447(-22)	.729(-19)	.667(-16)	.396(-13)	.519(-11)	.299(-11)
30				.158(-22)	.266(-19)	.244(-16)	.136(-13)	.642(-11)	.351(-11)
31				.610(-23)	.102(-19)	.922(-17)	.501(-14)	.210(-11)	.416(-11)
32				.231(-23)	.386(-20)	.351(-17)	.185(-14)	.686(-12)	.503(-11)
33				.942(-24)	.153(-20)	.139(-17)	.722(-15)	.248(-12)	.620(-11)
34				.388(-24)	.613(-21)	.559(-18)	.281(-15)	.913(-13)	.787(-11)
35				.157(-24)	.245(-21)	.226(-18)	.114(-15)	.359(-13)	.993(-11)

Virt&I-Comm.5.2014.11

Table CXXV		RIOS L1 REACTIVE			$T_{tr}=4000.$	$T_{rot}= 500.$			
v'	v	1	3	5	10	15	20	25	27
0		.378(-12)	.121(-12)	.104(-12)	.319(-12)	.105(-11)	.154(-11)	.133(-11)	.116(-11)
1		.917(-12)	.325(-12)	.239(-12)	.692(-12)	.128(-11)	.121(-11)	.118(-11)	.110(-11)
2		.239(-12)	.740(-12)	.433(-12)	.101(-11)	.126(-11)	.130(-11)	.109(-11)	.102(-11)
3		.632(-13)	.199(-11)	.725(-12)	.120(-11)	.141(-11)	.135(-11)	.115(-11)	.103(-11)
4		.216(-13)	.435(-12)	.129(-11)	.135(-11)	.152(-11)	.146(-11)	.124(-11)	.113(-11)
5		.952(-14)	.147(-12)	.397(-11)	.156(-11)	.168(-11)	.158(-11)	.133(-11)	.121(-11)
6		.490(-14)	.679(-13)	.821(-12)	.188(-11)	.189(-11)	.174(-11)	.146(-11)	.129(-11)
7		.277(-14)	.357(-13)	.338(-12)	.232(-11)	.212(-11)	.192(-11)	.156(-11)	.142(-11)
8		.166(-14)	.198(-13)	.156(-12)	.298(-11)	.242(-11)	.215(-11)	.173(-11)	.159(-11)
9		.103(-14)	.108(-13)	.746(-13)	.424(-11)	.277(-11)	.237(-11)	.194(-11)	.174(-11)
10		.642(-15)	.573(-14)	.364(-13)	.725(-11)	.321(-11)	.264(-11)	.214(-11)	.191(-11)
11		.392(-15)	.292(-14)	.183(-13)	.238(-11)	.381(-11)	.298(-11)	.238(-11)	.211(-11)
12		.231(-15)	.148(-14)	.933(-14)	.971(-12)	.461(-11)	.338(-11)	.262(-11)	.233(-11)
13		.131(-15)	.766(-15)	.473(-14)	.439(-12)	.573(-11)	.385(-11)	.293(-11)	.260(-11)
14		.717(-16)	.404(-15)	.241(-14)	.208(-12)	.756(-11)	.444(-11)	.328(-11)	.291(-11)
15		.379(-16)	.214(-15)	.125(-14)	.101(-12)	.107(-10)	.515(-11)	.369(-11)	.326(-11)
16		.197(-16)	.113(-15)	.656(-15)	.508(-13)	.425(-11)	.602(-11)	.417(-11)	.364(-11)
17		.102(-16)	.591(-16)	.344(-15)	.260(-13)	.187(-11)	.719(-11)	.472(-11)	.409(-11)
18		.538(-17)	.311(-16)	.181(-15)	.133(-13)	.883(-12)	.878(-11)	.538(-11)	.462(-11)
19		.288(-17)	.166(-16)	.960(-16)	.694(-14)	.435(-12)	.111(-10)	.618(-11)	.525(-11)
20		.158(-17)	.903(-17)	.517(-16)	.365(-14)	.220(-12)	.150(-10)	.716(-11)	.601(-11)
21		.883(-18)	.497(-17)	.281(-16)	.195(-14)	.113(-12)	.655(-11)	.839(-11)	.690(-11)
22		.499(-18)	.274(-17)	.154(-16)	.106(-14)	.597(-13)	.308(-11)	.996(-11)	.801(-11)
23		.283(-18)	.151(-17)	.844(-17)	.579(-15)	.318(-13)	.153(-11)	.121(-10)	.940(-11)
24		.161(-18)	.834(-18)	.467(-17)	.319(-15)	.171(-13)	.790(-12)	.153(-10)	.112(-10)
25		.930(-19)	.465(-18)	.262(-17)	.177(-15)	.946(-14)	.417(-12)	.203(-10)	.136(-10)
26		.538(-19)	.262(-18)	.149(-17)	.100(-15)	.528(-14)	.225(-12)	.952(-11)	.172(-10)
27		.308(-19)	.148(-18)	.849(-18)	.564(-16)	.296(-14)	.123(-12)	.471(-11)	.228(-10)

Virt&I-Comm.5.2014.11

Table CXXVI		RIOS L1 REACTIVE				$T_{tr}=4000.$	$T_{rot}=1000.$		
v'	v	1	3	5	10	15	20	25	27
0		.345(-12)	.110(-12)	.954(-13)	.293(-12)	.986(-12)	.145(-11)	.126(-11)	.110(-11)
1		.838(-12)	.298(-12)	.219(-12)	.640(-12)	.119(-11)	.113(-11)	.112(-11)	.105(-11)
2		.218(-12)	.678(-12)	.396(-12)	.937(-12)	.117(-11)	.122(-11)	.102(-11)	.965(-12)
3		.576(-13)	.182(-11)	.665(-12)	.111(-11)	.131(-11)	.126(-11)	.109(-11)	.977(-12)
4		.196(-13)	.398(-12)	.118(-11)	.125(-11)	.142(-11)	.137(-11)	.117(-11)	.107(-11)
5		.865(-14)	.135(-12)	.365(-11)	.145(-11)	.156(-11)	.148(-11)	.126(-11)	.115(-11)
6		.445(-14)	.619(-13)	.753(-12)	.174(-11)	.176(-11)	.163(-11)	.138(-11)	.122(-11)
7		.251(-14)	.325(-13)	.309(-12)	.215(-11)	.198(-11)	.180(-11)	.147(-11)	.134(-11)
8		.151(-14)	.180(-13)	.143(-12)	.276(-11)	.225(-11)	.202(-11)	.164(-11)	.150(-11)
9		.936(-15)	.988(-14)	.681(-13)	.393(-11)	.259(-11)	.223(-11)	.184(-11)	.165(-11)
10		.582(-15)	.521(-14)	.331(-13)	.671(-11)	.300(-11)	.248(-11)	.202(-11)	.181(-11)
11		.356(-15)	.266(-14)	.166(-13)	.219(-11)	.356(-11)	.280(-11)	.225(-11)	.199(-11)
12		.210(-15)	.134(-14)	.849(-14)	.892(-12)	.430(-11)	.318(-11)	.248(-11)	.221(-11)
13		.119(-15)	.695(-15)	.430(-14)	.402(-12)	.535(-11)	.361(-11)	.277(-11)	.246(-11)
14		.649(-16)	.366(-15)	.219(-14)	.190(-12)	.706(-11)	.417(-11)	.310(-11)	.275(-11)
15		.343(-16)	.194(-15)	.113(-14)	.926(-13)	.100(-10)	.483(-11)	.348(-11)	.308(-11)
16		.178(-16)	.102(-15)	.595(-15)	.464(-13)	.393(-11)	.566(-11)	.394(-11)	.345(-11)
17		.928(-17)	.536(-16)	.312(-15)	.236(-13)	.172(-11)	.675(-11)	.446(-11)	.387(-11)
18		.487(-17)	.282(-16)	.164(-15)	.121(-13)	.811(-12)	.824(-11)	.508(-11)	.437(-11)
19		.261(-17)	.150(-16)	.870(-16)	.631(-14)	.398(-12)	.105(-10)	.584(-11)	.497(-11)
20		.143(-17)	.818(-17)	.468(-16)	.332(-14)	.201(-12)	.141(-10)	.676(-11)	.568(-11)
21		.799(-18)	.450(-17)	.255(-16)	.177(-14)	.103(-12)	.609(-11)	.792(-11)	.653(-11)
22		.451(-18)	.248(-17)	.139(-16)	.963(-15)	.545(-13)	.285(-11)	.940(-11)	.758(-11)
23		.256(-18)	.137(-17)	.765(-17)	.526(-15)	.290(-13)	.141(-11)	.114(-10)	.889(-11)
24		.146(-18)	.755(-18)	.422(-17)	.289(-15)	.156(-13)	.725(-12)	.144(-10)	.106(-10)
25		.841(-19)	.420(-18)	.237(-17)	.161(-15)	.861(-14)	.382(-12)	.192(-10)	.129(-10)
26		.486(-19)	.237(-18)	.135(-17)	.907(-16)	.480(-14)	.206(-12)	.889(-11)	.163(-10)
27		.279(-19)	.133(-18)	.768(-18)	.511(-16)	.269(-14)	.113(-12)	.437(-11)	.216(-10)

Virt&I-Comm.5.2014.11

Table CXXVII		RIOS L1 REACTIVE			$T_{tr}=4000.$		$T_{rot}=2000.$		
v'	v	1	3	5	10	15	20	25	27
0		.294(-12)	.942(-13)	.812(-13)	.252(-12)	.864(-12)	.129(-11)	.113(-11)	.991(-12)
1		.714(-12)	.254(-12)	.187(-12)	.555(-12)	.105(-11)	.100(-11)	.100(-11)	.940(-12)
2		.186(-12)	.580(-12)	.339(-12)	.815(-12)	.103(-11)	.108(-11)	.917(-12)	.862(-12)
3		.489(-13)	.156(-11)	.570(-12)	.973(-12)	.115(-11)	.112(-11)	.973(-12)	.873(-12)
4		.166(-13)	.340(-12)	.101(-11)	.109(-11)	.124(-11)	.122(-11)	.104(-11)	.959(-12)
5		.732(-14)	.114(-12)	.314(-11)	.126(-11)	.137(-11)	.131(-11)	.112(-11)	.103(-11)
6		.376(-14)	.526(-13)	.645(-12)	.151(-11)	.155(-11)	.144(-11)	.123(-11)	.109(-11)
7		.212(-14)	.276(-13)	.264(-12)	.187(-11)	.173(-11)	.159(-11)	.131(-11)	.120(-11)
8		.127(-14)	.152(-13)	.122(-12)	.240(-11)	.198(-11)	.179(-11)	.146(-11)	.134(-11)
9		.791(-15)	.837(-14)	.579(-13)	.342(-11)	.227(-11)	.197(-11)	.164(-11)	.147(-11)
10		.491(-15)	.441(-14)	.281(-13)	.583(-11)	.263(-11)	.220(-11)	.180(-11)	.162(-11)
11		.300(-15)	.225(-14)	.141(-13)	.189(-11)	.312(-11)	.247(-11)	.201(-11)	.178(-11)
12		.177(-15)	.113(-14)	.719(-14)	.766(-12)	.378(-11)	.281(-11)	.221(-11)	.197(-11)
13		.100(-15)	.586(-15)	.364(-14)	.344(-12)	.470(-11)	.320(-11)	.247(-11)	.220(-11)
14		.547(-16)	.309(-15)	.185(-14)	.162(-12)	.620(-11)	.369(-11)	.277(-11)	.246(-11)
15		.289(-16)	.164(-15)	.959(-15)	.789(-13)	.878(-11)	.428(-11)	.310(-11)	.275(-11)
16		.150(-16)	.864(-16)	.502(-15)	.394(-13)	.342(-11)	.501(-11)	.351(-11)	.308(-11)
17		.780(-17)	.451(-16)	.263(-15)	.201(-13)	.148(-11)	.598(-11)	.397(-11)	.346(-11)
18		.409(-17)	.237(-16)	.138(-15)	.103(-13)	.696(-12)	.730(-11)	.454(-11)	.391(-11)
19		.219(-17)	.126(-16)	.733(-16)	.534(-14)	.341(-12)	.929(-11)	.521(-11)	.444(-11)
20		.120(-17)	.688(-17)	.394(-16)	.281(-14)	.172(-12)	.124(-10)	.603(-11)	.508(-11)
21		.671(-18)	.378(-17)	.214(-16)	.149(-14)	.885(-13)	.532(-11)	.706(-11)	.584(-11)
22		.379(-18)	.208(-17)	.117(-16)	.813(-15)	.463(-13)	.246(-11)	.839(-11)	.678(-11)
23		.215(-18)	.115(-17)	.643(-17)	.443(-15)	.246(-13)	.121(-11)	.101(-10)	.796(-11)
24		.122(-18)	.634(-18)	.355(-17)	.244(-15)	.132(-13)	.622(-12)	.128(-10)	.948(-11)
25		.705(-19)	.353(-18)	.199(-17)	.135(-15)	.729(-14)	.327(-12)	.170(-10)	.115(-10)
26		.408(-19)	.199(-18)	.113(-17)	.764(-16)	.406(-14)	.176(-12)	.780(-11)	.146(-10)
27		.234(-19)	.112(-18)	.645(-18)	.431(-16)	.227(-14)	.963(-13)	.380(-11)	.192(-10)

Virt&I-Comm.5.2014.11

Table CXXVIII		RIOS L1 REACTIVE			$T_{tr}=4000.$		$T_{rot}=4000.$		
v'	v	1	3	5	10	15	20	25	27
0		.226(-12)	.724(-13)	.624(-13)	.197(-12)	.688(-12)	.104(-11)	.920(-12)	.808(-12)
1		.550(-12)	.196(-12)	.144(-12)	.436(-12)	.841(-12)	.809(-12)	.813(-12)	.766(-12)
2		.143(-12)	.449(-12)	.262(-12)	.643(-12)	.822(-12)	.877(-12)	.744(-12)	.701(-12)
3		.375(-13)	.121(-11)	.442(-12)	.768(-12)	.922(-12)	.903(-12)	.790(-12)	.710(-12)
4		.127(-13)	.262(-12)	.790(-12)	.860(-12)	.994(-12)	.984(-12)	.847(-12)	.780(-12)
5		.559(-14)	.883(-13)	.245(-11)	.993(-12)	.109(-11)	.106(-11)	.912(-12)	.839(-12)
6		.287(-14)	.404(-13)	.500(-12)	.119(-11)	.123(-11)	.116(-11)	.100(-11)	.886(-12)
7		.162(-14)	.212(-13)	.204(-12)	.147(-11)	.138(-11)	.128(-11)	.106(-11)	.976(-12)
8		.973(-15)	.117(-13)	.940(-13)	.189(-11)	.158(-11)	.144(-11)	.118(-11)	.109(-11)
9		.602(-15)	.641(-14)	.445(-13)	.270(-11)	.181(-11)	.159(-11)	.133(-11)	.120(-11)
10		.374(-15)	.337(-14)	.216(-13)	.459(-11)	.210(-11)	.177(-11)	.146(-11)	.132(-11)
11		.228(-15)	.171(-14)	.108(-13)	.148(-11)	.249(-11)	.199(-11)	.163(-11)	.145(-11)
12		.134(-15)	.867(-15)	.550(-14)	.596(-12)	.301(-11)	.226(-11)	.179(-11)	.160(-11)
13		.763(-16)	.447(-15)	.278(-14)	.266(-12)	.375(-11)	.257(-11)	.200(-11)	.179(-11)
14		.415(-16)	.235(-15)	.141(-14)	.125(-12)	.494(-11)	.297(-11)	.224(-11)	.200(-11)
15		.219(-16)	.124(-15)	.731(-15)	.607(-13)	.698(-11)	.345(-11)	.252(-11)	.224(-11)
16		.114(-16)	.656(-16)	.383(-15)	.302(-13)	.269(-11)	.403(-11)	.285(-11)	.251(-11)
17		.592(-17)	.343(-16)	.200(-15)	.154(-13)	.116(-11)	.481(-11)	.323(-11)	.282(-11)
18		.310(-17)	.180(-16)	.105(-15)	.789(-14)	.541(-12)	.588(-11)	.368(-11)	.318(-11)
19		.166(-17)	.962(-17)	.557(-16)	.408(-14)	.264(-12)	.747(-11)	.423(-11)	.362(-11)
20		.911(-18)	.522(-17)	.299(-16)	.214(-14)	.133(-12)	.999(-11)	.489(-11)	.414(-11)
21		.508(-18)	.286(-17)	.163(-16)	.114(-14)	.681(-13)	.421(-11)	.573(-11)	.475(-11)
22		.287(-18)	.158(-17)	.890(-17)	.620(-15)	.356(-13)	.193(-11)	.681(-11)	.552(-11)
23		.163(-18)	.873(-18)	.488(-17)	.338(-15)	.188(-13)	.949(-12)	.827(-11)	.648(-11)
24		.929(-19)	.480(-18)	.269(-17)	.185(-15)	.101(-13)	.483(-12)	.104(-10)	.772(-11)
25		.534(-19)	.267(-18)	.151(-17)	.103(-15)	.558(-14)	.253(-12)	.138(-10)	.941(-11)
26		.309(-19)	.151(-18)	.861(-18)	.581(-16)	.310(-14)	.136(-12)	.622(-11)	.118(-10)
27		.177(-19)	.850(-19)	.488(-18)	.327(-16)	.173(-14)	.742(-13)	.300(-11)	.156(-10)

Virt&I-Comm.5.2014.11

Table CXXIX		RIOS L1 REACTIVE				$T_{tr}=8000.$	$T_{rot}= 500.$		
v'	v	1	3	5	7	10	11	13	15
0		.442(-11)	.194(-11)	.148(-11)	.144(-11)	.169(-11)	.183(-11)	.217(-11)	.248(-11)
1		.933(-11)	.320(-11)	.220(-11)	.207(-11)	.237(-11)	.252(-11)	.270(-11)	.269(-11)
2		.316(-11)	.534(-11)	.312(-11)	.278(-11)	.297(-11)	.301(-11)	.294(-11)	.280(-11)
3		.141(-11)	.122(-10)	.442(-11)	.361(-11)	.348(-11)	.340(-11)	.323(-11)	.308(-11)
4		.741(-12)	.402(-11)	.678(-11)	.465(-11)	.400(-11)	.384(-11)	.362(-11)	.337(-11)
5		.439(-12)	.199(-11)	.164(-10)	.613(-11)	.465(-11)	.443(-11)	.407(-11)	.374(-11)
6		.282(-12)	.117(-11)	.525(-11)	.887(-11)	.553(-11)	.516(-11)	.461(-11)	.419(-11)
7		.191(-12)	.754(-12)	.283(-11)	.191(-10)	.672(-11)	.610(-11)	.529(-11)	.471(-11)
8		.134(-12)	.507(-12)	.171(-11)	.676(-11)	.849(-11)	.736(-11)	.613(-11)	.535(-11)
9		.978(-13)	.348(-12)	.108(-11)	.365(-11)	.117(-10)	.925(-11)	.720(-11)	.612(-11)
10		.721(-13)	.239(-12)	.707(-12)	.220(-11)	.214(-10)	.127(-10)	.865(-11)	.707(-11)
11		.534(-13)	.163(-12)	.471(-12)	.140(-11)	.885(-11)	.222(-10)	.107(-10)	.829(-11)
12		.393(-13)	.112(-12)	.318(-12)	.911(-12)	.490(-11)	.952(-11)	.144(-10)	.991(-11)
13		.286(-13)	.774(-13)	.215(-12)	.605(-12)	.299(-11)	.533(-11)	.239(-10)	.122(-10)
14		.205(-13)	.540(-13)	.147(-12)	.407(-12)	.191(-11)	.327(-11)	.108(-10)	.161(-10)
15		.145(-13)	.378(-13)	.101(-12)	.275(-12)	.125(-11)	.209(-11)	.621(-11)	.256(-10)

Table CXXX		RIOS L1 REACTIVE				$T_{tr}=8000.$	$T_{rot}=1000.$		
v'	v	1	3	5	7	10	11	13	15
0		.423(-11)	.186(-11)	.142(-11)	.138(-11)	.162(-11)	.177(-11)	.210(-11)	.241(-11)
1		.894(-11)	.307(-11)	.211(-11)	.199(-11)	.229(-11)	.243(-11)	.262(-11)	.262(-11)
2		.303(-11)	.513(-11)	.300(-11)	.268(-11)	.288(-11)	.292(-11)	.286(-11)	.273(-11)
3		.134(-11)	.117(-10)	.425(-11)	.348(-11)	.337(-11)	.329(-11)	.313(-11)	.300(-11)
4		.707(-12)	.385(-11)	.652(-11)	.448(-11)	.386(-11)	.372(-11)	.351(-11)	.328(-11)
5		.419(-12)	.191(-11)	.158(-10)	.592(-11)	.450(-11)	.429(-11)	.395(-11)	.363(-11)
6		.268(-12)	.112(-11)	.505(-11)	.856(-11)	.535(-11)	.500(-11)	.447(-11)	.407(-11)
7		.182(-12)	.720(-12)	.271(-11)	.185(-10)	.650(-11)	.590(-11)	.513(-11)	.458(-11)
8		.128(-12)	.485(-12)	.164(-11)	.650(-11)	.822(-11)	.713(-11)	.595(-11)	.520(-11)
9		.932(-13)	.332(-12)	.103(-11)	.350(-11)	.114(-10)	.896(-11)	.699(-11)	.595(-11)
10		.687(-13)	.228(-12)	.676(-12)	.211(-11)	.207(-10)	.123(-10)	.839(-11)	.687(-11)
11		.508(-13)	.155(-12)	.450(-12)	.134(-11)	.854(-11)	.215(-10)	.104(-10)	.806(-11)
12		.374(-13)	.106(-12)	.303(-12)	.871(-12)	.472(-11)	.919(-11)	.140(-10)	.964(-11)
13		.272(-13)	.737(-13)	.206(-12)	.578(-12)	.288(-11)	.513(-11)	.232(-10)	.119(-10)
14		.195(-13)	.514(-13)	.140(-12)	.388(-12)	.183(-11)	.314(-11)	.105(-10)	.157(-10)
15		.138(-13)	.360(-13)	.968(-13)	.263(-12)	.119(-11)	.201(-11)	.598(-11)	.249(-10)

Virt&I-Comm.5.2014.11

Table CXXXI		RIOS L1 REACTIVE					$T_{tr}=8000.$	$T_{rot}=2000.$		
v'	v	1	3	5	7	10	11	13	15	
0		.390(-11)	.171(-11)	.130(-11)	.127(-11)	.151(-11)	.164(-11)	.196(-11)	.227(-11)	
1		.824(-11)	.283(-11)	.195(-11)	.184(-11)	.214(-11)	.228(-11)	.247(-11)	.247(-11)	
2		.279(-11)	.474(-11)	.277(-11)	.249(-11)	.269(-11)	.274(-11)	.269(-11)	.257(-11)	
3		.123(-11)	.108(-10)	.393(-11)	.323(-11)	.315(-11)	.309(-11)	.294(-11)	.283(-11)	
4		.648(-12)	.355(-11)	.605(-11)	.417(-11)	.362(-11)	.349(-11)	.331(-11)	.309(-11)	
5		.383(-12)	.175(-11)	.147(-10)	.551(-11)	.421(-11)	.402(-11)	.371(-11)	.343(-11)	
6		.245(-12)	.103(-11)	.467(-11)	.798(-11)	.501(-11)	.469(-11)	.420(-11)	.384(-11)	
7		.166(-12)	.661(-12)	.250(-11)	.172(-10)	.609(-11)	.554(-11)	.483(-11)	.432(-11)	
8		.117(-12)	.444(-12)	.151(-11)	.604(-11)	.770(-11)	.669(-11)	.559(-11)	.491(-11)	
9		.851(-13)	.304(-12)	.956(-12)	.324(-11)	.106(-10)	.841(-11)	.658(-11)	.561(-11)	
10		.627(-13)	.208(-12)	.621(-12)	.195(-11)	.194(-10)	.115(-10)	.790(-11)	.648(-11)	
11		.464(-13)	.142(-12)	.413(-12)	.123(-11)	.796(-11)	.202(-10)	.983(-11)	.761(-11)	
12		.341(-13)	.975(-13)	.278(-12)	.801(-12)	.438(-11)	.858(-11)	.132(-10)	.910(-11)	
13		.248(-13)	.673(-13)	.188(-12)	.531(-12)	.266(-11)	.476(-11)	.218(-10)	.112(-10)	
14		.178(-13)	.469(-13)	.128(-12)	.356(-12)	.169(-11)	.291(-11)	.982(-11)	.148(-10)	
15		.126(-13)	.328(-13)	.884(-13)	.241(-12)	.110(-11)	.185(-11)	.557(-11)	.234(-10)	

Table CXXXII		RIOS L1 REACTIVE					$T_{tr}=8000.$	$T_{rot}=4000.$		
v'	v	1	3	5	7	10	11	13	15	
0		.336(-11)	.147(-11)	.112(-11)	.109(-11)	.131(-11)	.143(-11)	.173(-11)	.202(-11)	
1		.712(-11)	.244(-11)	.168(-11)	.160(-11)	.188(-11)	.201(-11)	.220(-11)	.221(-11)	
2		.240(-11)	.411(-11)	.240(-11)	.217(-11)	.237(-11)	.242(-11)	.239(-11)	.229(-11)	
3		.106(-11)	.945(-11)	.342(-11)	.282(-11)	.278(-11)	.273(-11)	.261(-11)	.252(-11)	
4		.554(-12)	.307(-11)	.527(-11)	.365(-11)	.319(-11)	.308(-11)	.293(-11)	.275(-11)	
5		.327(-12)	.151(-11)	.129(-10)	.482(-11)	.371(-11)	.355(-11)	.329(-11)	.305(-11)	
6		.209(-12)	.886(-12)	.405(-11)	.700(-11)	.442(-11)	.414(-11)	.373(-11)	.342(-11)	
7		.142(-12)	.567(-12)	.217(-11)	.151(-10)	.537(-11)	.489(-11)	.428(-11)	.385(-11)	
8		.100(-12)	.381(-12)	.130(-11)	.527(-11)	.680(-11)	.591(-11)	.497(-11)	.437(-11)	
9		.725(-13)	.260(-12)	.822(-12)	.281(-11)	.944(-11)	.744(-11)	.584(-11)	.500(-11)	
10		.534(-13)	.178(-12)	.533(-12)	.169(-11)	.171(-10)	.102(-10)	.702(-11)	.578(-11)	
11		.395(-13)	.121(-12)	.354(-12)	.106(-11)	.698(-11)	.178(-10)	.873(-11)	.678(-11)	
12		.290(-13)	.831(-13)	.238(-12)	.689(-12)	.381(-11)	.753(-11)	.117(-10)	.812(-11)	
13		.210(-13)	.573(-13)	.161(-12)	.455(-12)	.231(-11)	.416(-11)	.193(-10)	.100(-10)	
14		.151(-13)	.399(-13)	.109(-12)	.305(-12)	.146(-11)	.252(-11)	.865(-11)	.132(-10)	
15		.107(-13)	.279(-13)	.753(-13)	.206(-12)	.951(-12)	.160(-11)	.487(-11)	.208(-10)	

Virt&I-Comm.5.2014.11

Table CXXXIII		RIOS L2 REACTIVE				$T_{tr}=500.$	$T_{rot}=500.$		
v'	v	10	15	20	25	30	35	40	43
0		.120(-17)	.454(-15)	.918(-14)	.291(-13)	.279(-13)	.308(-13)	.219(-13)	.246(-13)
1		.709(-17)	.848(-15)	.628(-14)	.171(-13)	.263(-13)	.330(-13)	.236(-13)	.265(-13)
2		.175(-16)	.711(-15)	.601(-14)	.153(-13)	.231(-13)	.313(-13)	.239(-13)	.275(-13)
3		.251(-16)	.691(-15)	.548(-14)	.171(-13)	.181(-13)	.297(-13)	.245(-13)	.277(-13)
4		.254(-16)	.760(-15)	.642(-14)	.156(-13)	.196(-13)	.263(-13)	.245(-13)	.286(-13)
5		.245(-16)	.816(-15)	.656(-14)	.186(-13)	.206(-13)	.300(-13)	.210(-13)	.245(-13)
6		.297(-16)	.959(-15)	.695(-14)	.188(-13)	.252(-13)	.287(-13)	.244(-13)	.295(-13)
7		.402(-16)	.108(-14)	.805(-14)	.199(-13)	.237(-13)	.347(-13)	.255(-13)	.257(-13)
8		.532(-16)	.123(-14)	.889(-14)	.240(-13)	.257(-13)	.357(-13)	.277(-13)	.340(-13)
9		.777(-16)	.143(-14)	.949(-14)	.248(-13)	.344(-13)	.377(-13)	.303(-13)	.323(-13)
10		.963(-16)	.168(-14)	.107(-13)	.273(-13)	.365(-13)	.459(-13)	.312(-13)	.385(-13)
11		.731(-18)	.205(-14)	.123(-13)	.320(-13)	.356(-13)	.467(-13)	.367(-13)	.382(-13)
12		.479(-20)	.250(-14)	.134(-13)	.336(-13)	.415(-13)	.538(-13)	.385(-13)	.450(-13)
13		.350(-22)	.309(-14)	.148(-13)	.381(-13)	.484(-13)	.588(-13)	.432(-13)	.467(-13)
14		.257(-24)	.399(-14)	.172(-13)	.426(-13)	.501(-13)	.654(-13)	.476(-13)	.523(-13)
15			.378(-14)	.195(-13)	.467(-13)	.554(-13)	.748(-13)	.536(-13)	.570(-13)
16			.361(-16)	.221(-13)	.527(-13)	.641(-13)	.827(-13)	.590(-13)	.646(-13)
17			.284(-18)	.261(-13)	.588(-13)	.719(-13)	.941(-13)	.670(-13)	.707(-13)
18			.248(-20)	.311(-13)	.656(-13)	.790(-13)	.105(-12)	.745(-13)	.811(-13)
19			.249(-22)	.380(-13)	.739(-13)	.899(-13)	.119(-12)	.845(-13)	.893(-13)
20			.275(-24)	.402(-13)	.842(-13)	.101(-12)	.134(-12)	.942(-13)	.101(-12)
21				.489(-15)	.964(-13)	.114(-12)	.153(-12)	.106(-12)	.113(-12)
22				.536(-17)	.114(-12)	.129(-12)	.177(-12)	.121(-12)	.127(-12)
23				.616(-19)	.139(-12)	.148(-12)	.199(-12)	.137(-12)	.145(-12)
24				.767(-21)	.172(-12)	.170(-12)	.230(-12)	.156(-12)	.162(-12)
25				.142(-22)	.188(-12)	.199(-12)	.266(-12)	.180(-12)	.186(-12)
26				.247(-24)	.353(-14)	.237(-12)	.304(-12)	.204(-12)	.213(-12)
27					.496(-16)	.277(-12)	.352(-12)	.237(-12)	.243(-12)
28					.102(-17)	.335(-12)	.410(-12)	.273(-12)	.283(-12)
29					.231(-19)	.424(-12)	.479(-12)	.315(-12)	.323(-12)
30					.440(-21)	.478(-12)	.563(-12)	.368(-12)	.377(-12)
31					.146(-22)	.177(-13)	.669(-12)	.428(-12)	.437(-12)
32					.328(-24)	.344(-15)	.809(-12)	.502(-12)	.510(-12)
33					.128(-25)	.130(-16)	.992(-12)	.593(-12)	.600(-12)
34						.392(-18)	.124(-11)	.704(-12)	.703(-12)
35						.140(-19)	.147(-11)	.845(-12)	.835(-12)
36						.669(-21)	.699(-13)	.102(-11)	.989(-12)
37						.287(-22)	.255(-14)	.126(-11)	.118(-11)
38						.110(-23)	.960(-16)	.160(-11)	.142(-11)
39						.711(-25)	.619(-17)	.208(-11)	.174(-11)
40							.394(-18)	.253(-11)	.216(-11)
41							.264(-19)	.245(-12)	.275(-11)
42							.193(-20)	.158(-13)	.359(-11)
43							.151(-21)	.117(-14)	.441(-11)

Virt&I-Comm.5.2014.11

Table CXXXIV		RIOS L2 REACTIVE				$T_{tr}=500.$	$T_{rot}=1000.$		
v'	v	10	15	20	25	30	35	40	43
0		.816(-18)	.308(-15)	.629(-14)	.201(-13)	.193(-13)	.214(-13)	.153(-13)	.175(-13)
1		.479(-17)	.576(-15)	.430(-14)	.118(-13)	.182(-13)	.229(-13)	.165(-13)	.188(-13)
2		.118(-16)	.483(-15)	.411(-14)	.105(-13)	.159(-13)	.217(-13)	.167(-13)	.195(-13)
3		.169(-16)	.469(-15)	.375(-14)	.118(-13)	.125(-13)	.206(-13)	.172(-13)	.196(-13)
4		.171(-16)	.516(-15)	.439(-14)	.107(-13)	.135(-13)	.182(-13)	.171(-13)	.202(-13)
5		.166(-16)	.555(-15)	.449(-14)	.128(-13)	.142(-13)	.208(-13)	.147(-13)	.173(-13)
6		.201(-16)	.651(-15)	.476(-14)	.130(-13)	.174(-13)	.199(-13)	.170(-13)	.209(-13)
7		.272(-16)	.734(-15)	.551(-14)	.137(-13)	.164(-13)	.240(-13)	.178(-13)	.182(-13)
8		.359(-16)	.839(-15)	.608(-14)	.166(-13)	.178(-13)	.247(-13)	.194(-13)	.241(-13)
9		.525(-16)	.977(-15)	.649(-14)	.171(-13)	.238(-13)	.261(-13)	.212(-13)	.229(-13)
10		.650(-16)	.114(-14)	.734(-14)	.188(-13)	.252(-13)	.319(-13)	.218(-13)	.273(-13)
11		.492(-18)	.139(-14)	.841(-14)	.220(-13)	.246(-13)	.324(-13)	.256(-13)	.271(-13)
12		.322(-20)	.170(-14)	.921(-14)	.232(-13)	.287(-13)	.373(-13)	.269(-13)	.319(-13)
13		.235(-22)	.210(-14)	.101(-13)	.263(-13)	.334(-13)	.408(-13)	.302(-13)	.330(-13)
14		.172(-24)	.271(-14)	.117(-13)	.294(-13)	.346(-13)	.453(-13)	.332(-13)	.370(-13)
15			.256(-14)	.133(-13)	.322(-13)	.382(-13)	.519(-13)	.375(-13)	.403(-13)
16			.243(-16)	.151(-13)	.363(-13)	.442(-13)	.574(-13)	.413(-13)	.457(-13)
17			.191(-18)	.178(-13)	.405(-13)	.496(-13)	.653(-13)	.468(-13)	.500(-13)
18			.167(-20)	.213(-13)	.452(-13)	.545(-13)	.730(-13)	.521(-13)	.574(-13)
19			.167(-22)	.260(-13)	.509(-13)	.620(-13)	.825(-13)	.590(-13)	.632(-13)
20			.184(-24)	.275(-13)	.580(-13)	.698(-13)	.935(-13)	.659(-13)	.721(-13)
21				.331(-15)	.664(-13)	.791(-13)	.106(-12)	.745(-13)	.804(-13)
22				.361(-17)	.787(-13)	.895(-13)	.122(-12)	.845(-13)	.902(-13)
23				.414(-19)	.957(-13)	.102(-12)	.138(-12)	.958(-13)	.102(-12)
24				.515(-21)	.119(-12)	.117(-12)	.159(-12)	.109(-12)	.115(-12)
25				.957(-23)	.129(-12)	.137(-12)	.184(-12)	.125(-12)	.132(-12)
26				.165(-24)	.239(-14)	.163(-12)	.211(-12)	.143(-12)	.151(-12)
27					.335(-16)	.191(-12)	.244(-12)	.165(-12)	.172(-12)
28					.687(-18)	.231(-12)	.284(-12)	.191(-12)	.200(-12)
29					.155(-19)	.293(-12)	.333(-12)	.220(-12)	.229(-12)
30					.295(-21)	.329(-12)	.390(-12)	.257(-12)	.267(-12)
31					.979(-23)	.120(-13)	.464(-12)	.299(-12)	.310(-12)
32					.219(-24)	.233(-15)	.561(-12)	.351(-12)	.361(-12)
33						.882(-17)	.688(-12)	.415(-12)	.425(-12)
34						.264(-18)	.863(-12)	.492(-12)	.498(-12)
35						.943(-20)	.102(-11)	.591(-12)	.591(-12)
36						.449(-21)	.478(-13)	.719(-12)	.700(-12)
37						.192(-22)	.173(-14)	.887(-12)	.839(-12)
38						.740(-24)	.648(-16)	.112(-11)	.101(-11)
39						.476(-25)	.417(-17)	.145(-11)	.123(-11)
40							.265(-18)	.177(-11)	.153(-11)
41							.177(-19)	.168(-12)	.194(-11)
42							.130(-20)	.107(-13)	.253(-11)
43							.101(-21)	.798(-15)	.312(-11)

Virt&I-Comm.5.2014.11

Table CXXXV		RIOS L2 REACTIVE					$T_{lr}=500.$		$T_{rot}=2000.$	
v'	v	10	15	20	25	30	35	40	43	
0		.494(-18)	.187(-15)	.385(-14)	.124(-13)	.119(-13)	.132(-13)	.958(-14)	.110(-13)	
1		.290(-17)	.350(-15)	.263(-14)	.730(-14)	.112(-13)	.141(-13)	.103(-13)	.118(-13)	
2		.719(-17)	.294(-15)	.251(-14)	.650(-14)	.983(-14)	.134(-13)	.104(-13)	.122(-13)	
3		.103(-16)	.285(-15)	.229(-14)	.728(-14)	.773(-14)	.127(-13)	.107(-13)	.123(-13)	
4		.104(-16)	.314(-15)	.269(-14)	.664(-14)	.836(-14)	.112(-13)	.106(-13)	.127(-13)	
5		.100(-16)	.338(-15)	.275(-14)	.792(-14)	.879(-14)	.129(-13)	.917(-14)	.109(-13)	
6		.121(-16)	.396(-15)	.291(-14)	.801(-14)	.107(-13)	.123(-13)	.106(-13)	.131(-13)	
7		.165(-16)	.447(-15)	.337(-14)	.847(-14)	.101(-13)	.149(-13)	.111(-13)	.114(-13)	
8		.218(-16)	.511(-15)	.372(-14)	.102(-13)	.109(-13)	.153(-13)	.120(-13)	.151(-13)	
9		.318(-16)	.595(-15)	.397(-14)	.105(-13)	.146(-13)	.161(-13)	.132(-13)	.143(-13)	
10		.394(-16)	.698(-15)	.450(-14)	.116(-13)	.155(-13)	.197(-13)	.136(-13)	.171(-13)	
11		.297(-18)	.848(-15)	.515(-14)	.136(-13)	.151(-13)	.200(-13)	.159(-13)	.170(-13)	
12		.194(-20)	.103(-14)	.564(-14)	.143(-13)	.176(-13)	.231(-13)	.167(-13)	.200(-13)	
13		.141(-22)	.128(-14)	.624(-14)	.162(-13)	.206(-13)	.252(-13)	.188(-13)	.207(-13)	
14		.103(-24)	.165(-14)	.721(-14)	.181(-13)	.213(-13)	.280(-13)	.207(-13)	.233(-13)	
15			.156(-14)	.816(-14)	.198(-13)	.235(-13)	.321(-13)	.233(-13)	.253(-13)	
16			.147(-16)	.926(-14)	.224(-13)	.272(-13)	.355(-13)	.257(-13)	.287(-13)	
17			.115(-18)	.109(-13)	.249(-13)	.305(-13)	.404(-13)	.291(-13)	.314(-13)	
18			.100(-20)	.130(-13)	.278(-13)	.336(-13)	.452(-13)	.324(-13)	.361(-13)	
19			.101(-22)	.159(-13)	.313(-13)	.382(-13)	.510(-13)	.367(-13)	.397(-13)	
20			.111(-24)	.168(-13)	.357(-13)	.430(-13)	.578(-13)	.410(-13)	.452(-13)	
21				.201(-15)	.408(-13)	.487(-13)	.659(-13)	.464(-13)	.505(-13)	
22				.218(-17)	.484(-13)	.551(-13)	.760(-13)	.526(-13)	.566(-13)	
23				.250(-19)	.589(-13)	.631(-13)	.858(-13)	.596(-13)	.644(-13)	
24				.310(-21)	.732(-13)	.726(-13)	.987(-13)	.680(-13)	.723(-13)	
25				.577(-23)	.798(-13)	.849(-13)	.114(-12)	.783(-13)	.829(-13)	
26				.999(-25)	.145(-14)	.100(-12)	.130(-12)	.891(-13)	.948(-13)	
27					.202(-16)	.118(-12)	.151(-12)	.103(-12)	.108(-12)	
28					.415(-18)	.142(-12)	.176(-12)	.118(-12)	.125(-12)	
29					.939(-20)	.180(-12)	.206(-12)	.137(-12)	.143(-12)	
30					.178(-21)	.203(-12)	.241(-12)	.160(-12)	.167(-12)	
31					.590(-23)	.735(-14)	.287(-12)	.186(-12)	.194(-12)	
32					.132(-24)	.141(-15)	.347(-12)	.218(-12)	.227(-12)	
33						.534(-17)	.426(-12)	.258(-12)	.267(-12)	
34						.159(-18)	.534(-12)	.306(-12)	.312(-12)	
35						.569(-20)	.632(-12)	.367(-12)	.371(-12)	
36						.271(-21)	.292(-13)	.447(-12)	.439(-12)	
37						.116(-22)	.105(-14)	.552(-12)	.526(-12)	
38						.446(-24)	.392(-16)	.698(-12)	.634(-12)	
39						.287(-25)	.252(-17)	.906(-12)	.773(-12)	
40							.160(-18)	.110(-11)	.960(-12)	
41							.107(-19)	.103(-12)	.122(-11)	
42							.785(-21)	.656(-14)	.159(-11)	
43							.614(-22)	.485(-15)	.195(-11)	

Virt&I-Comm.5.2014.11

CXXXVI REACTIVE		$T_{tr}=500.$			$T_{rot}=4000.$				
v'	v	10	15	20	25	30	35	40	43
0		.276(-18)	.105(-15)	.217(-14)	.703(-14)	.676(-14)	.752(-14)	.545(-14)	.631(-14)
1		.162(-17)	.196(-15)	.148(-14)	.412(-14)	.634(-14)	.803(-14)	.586(-14)	.678(-14)
2		.402(-17)	.165(-15)	.141(-14)	.367(-14)	.556(-14)	.763(-14)	.592(-14)	.703(-14)
3		.576(-17)	.160(-15)	.129(-14)	.412(-14)	.437(-14)	.725(-14)	.609(-14)	.706(-14)
4		.582(-17)	.176(-15)	.151(-14)	.375(-14)	.473(-14)	.639(-14)	.607(-14)	.729(-14)
5		.563(-17)	.189(-15)	.155(-14)	.448(-14)	.497(-14)	.731(-14)	.521(-14)	.624(-14)
6		.681(-17)	.222(-15)	.164(-14)	.452(-14)	.609(-14)	.699(-14)	.605(-14)	.752(-14)
7		.923(-17)	.250(-15)	.190(-14)	.479(-14)	.572(-14)	.845(-14)	.633(-14)	.655(-14)
8		.122(-16)	.286(-15)	.209(-14)	.578(-14)	.621(-14)	.869(-14)	.687(-14)	.868(-14)
9		.178(-16)	.334(-15)	.224(-14)	.595(-14)	.830(-14)	.917(-14)	.751(-14)	.822(-14)
10		.220(-16)	.391(-15)	.253(-14)	.655(-14)	.880(-14)	.111(-13)	.774(-14)	.983(-14)
11		.166(-18)	.476(-15)	.290(-14)	.769(-14)	.859(-14)	.113(-13)	.909(-14)	.974(-14)
12		.108(-20)	.582(-15)	.317(-14)	.808(-14)	.100(-13)	.131(-13)	.954(-14)	.114(-13)
13		.790(-23)	.719(-15)	.351(-14)	.915(-14)	.116(-13)	.143(-13)	.107(-13)	.118(-13)
14		.578(-25)	.927(-15)	.406(-14)	.102(-13)	.120(-13)	.159(-13)	.117(-13)	.133(-13)
15			.876(-15)	.459(-14)	.112(-13)	.133(-13)	.182(-13)	.132(-13)	.145(-13)
16			.825(-17)	.521(-14)	.126(-13)	.154(-13)	.201(-13)	.146(-13)	.164(-13)
17			.646(-19)	.615(-14)	.141(-13)	.173(-13)	.229(-13)	.166(-13)	.179(-13)
18			.562(-21)	.735(-14)	.157(-13)	.190(-13)	.256(-13)	.184(-13)	.206(-13)
19			.563(-23)	.897(-14)	.177(-13)	.216(-13)	.289(-13)	.209(-13)	.227(-13)
20			.620(-25)	.947(-14)	.201(-13)	.243(-13)	.328(-13)	.233(-13)	.259(-13)
21				.112(-15)	.231(-13)	.275(-13)	.373(-13)	.263(-13)	.289(-13)
22				.122(-17)	.273(-13)	.311(-13)	.431(-13)	.299(-13)	.324(-13)
23				.139(-19)	.332(-13)	.356(-13)	.486(-13)	.339(-13)	.368(-13)
24				.173(-21)	.413(-13)	.410(-13)	.559(-13)	.386(-13)	.414(-13)
25				.321(-23)	.451(-13)	.480(-13)	.648(-13)	.445(-13)	.474(-13)
26				.556(-25)	.818(-15)	.570(-13)	.742(-13)	.506(-13)	.542(-13)
27					.113(-16)	.667(-13)	.857(-13)	.587(-13)	.618(-13)
28					.232(-18)	.806(-13)	.999(-13)	.676(-13)	.720(-13)
29					.524(-20)	.102(-12)	.116(-12)	.780(-13)	.822(-13)
30					.993(-22)	.114(-12)	.137(-12)	.911(-13)	.960(-13)
31					.329(-23)	.412(-14)	.162(-12)	.106(-12)	.111(-12)
32					.737(-25)	.791(-16)	.196(-12)	.124(-12)	.129(-12)
33						.298(-17)	.241(-12)	.146(-12)	.152(-12)
34						.891(-19)	.302(-12)	.174(-12)	.178(-12)
35						.317(-20)	.358(-12)	.209(-12)	.212(-12)
36						.151(-21)	.164(-13)	.254(-12)	.251(-12)
37						.647(-23)	.590(-15)	.314(-12)	.301(-12)
38						.248(-24)	.219(-16)	.397(-12)	.362(-12)
39						.159(-25)	.140(-17)	.515(-12)	.442(-12)
40							.894(-19)	.626(-12)	.549(-12)
41							.598(-20)	.582(-13)	.698(-12)
42							.437(-21)	.368(-14)	.909(-12)
43							.342(-22)	.271(-15)	.111(-11)

Virt&I-Comm.5.2014.11

Table CXXXVII		RIOS L2 REACTIVE				$T_{tr}=1000.$		$T_{rot}= 500.$	
v'	v	5	10	15	20	25	30	35	40
0		.982(-18)	.616(-15)	.277(-13)	.132(-12)	.198(-12)	.168(-12)	.134(-12)	.804(-13)
1		.572(-17)	.313(-14)	.445(-13)	.886(-13)	.143(-12)	.169(-12)	.144(-12)	.882(-13)
2		.213(-16)	.680(-14)	.369(-13)	.952(-13)	.120(-12)	.150(-12)	.140(-12)	.903(-13)
3		.646(-16)	.885(-14)	.409(-13)	.882(-13)	.134(-12)	.123(-12)	.133(-12)	.931(-13)
4		.198(-15)	.885(-14)	.424(-13)	.101(-12)	.133(-12)	.132(-12)	.121(-12)	.918(-13)
5		.140(-14)	.928(-14)	.450(-13)	.102(-12)	.146(-12)	.143(-12)	.134(-12)	.838(-13)
6		.467(-16)	.114(-13)	.533(-13)	.114(-12)	.155(-12)	.166(-12)	.134(-12)	.940(-13)
7		.473(-17)	.147(-13)	.582(-13)	.127(-12)	.165(-12)	.163(-12)	.157(-12)	.100(-12)
8		.436(-18)	.189(-13)	.659(-13)	.142(-12)	.196(-12)	.179(-12)	.164(-12)	.108(-12)
9		.354(-19)	.274(-13)	.763(-13)	.151(-12)	.206(-12)	.223(-12)	.176(-12)	.117(-12)
10		.286(-20)	.387(-13)	.883(-13)	.175(-12)	.227(-12)	.242(-12)	.205(-12)	.125(-12)
11		.255(-21)	.267(-14)	.106(-12)	.198(-12)	.261(-12)	.247(-12)	.216(-12)	.142(-12)
12		.232(-22)	.183(-15)	.129(-12)	.222(-12)	.286(-12)	.283(-12)	.245(-12)	.154(-12)
13		.199(-23)	.139(-16)	.159(-12)	.249(-12)	.322(-12)	.325(-12)	.271(-12)	.170(-12)
14		.168(-24)	.113(-17)	.207(-12)	.287(-12)	.361(-12)	.346(-12)	.302(-12)	.189(-12)
15		.150(-25)	.937(-19)	.240(-12)	.332(-12)	.405(-12)	.385(-12)	.342(-12)	.212(-12)
16			.828(-20)	.200(-13)	.384(-12)	.457(-12)	.441(-12)	.381(-12)	.235(-12)
17			.753(-21)	.158(-14)	.458(-12)	.516(-12)	.496(-12)	.430(-12)	.265(-12)
18			.684(-22)	.134(-15)	.555(-12)	.585(-12)	.551(-12)	.484(-12)	.297(-12)
19			.670(-23)	.123(-16)	.687(-12)	.667(-12)	.626(-12)	.545(-12)	.335(-12)
20			.703(-24)	.121(-17)	.786(-12)	.769(-12)	.709(-12)	.617(-12)	.375(-12)
21			.758(-25)	.122(-18)	.779(-13)	.892(-12)	.804(-12)	.702(-12)	.425(-12)
22				.128(-19)	.753(-14)	.106(-11)	.916(-12)	.802(-12)	.481(-12)
23				.139(-20)	.767(-15)	.129(-11)	.105(-11)	.910(-12)	.545(-12)
24				.155(-21)	.818(-16)	.160(-11)	.121(-11)	.104(-11)	.622(-12)
25				.195(-22)	.967(-17)	.186(-11)	.142(-11)	.120(-11)	.711(-12)
26				.250(-23)	.120(-17)	.233(-12)	.168(-11)	.137(-11)	.813(-12)
27				.312(-24)	.152(-18)	.266(-13)	.199(-11)	.159(-11)	.935(-12)
28				.439(-25)	.207(-19)	.327(-14)	.242(-11)	.185(-11)	.107(-11)
29					.300(-20)	.465(-15)	.305(-11)	.216(-11)	.124(-11)
30					.421(-21)	.624(-16)	.362(-11)	.254(-11)	.144(-11)
31					.694(-22)	.100(-16)	.574(-12)	.303(-11)	.167(-11)
32					.105(-22)	.151(-17)	.773(-13)	.368(-11)	.196(-11)
33					.189(-23)	.266(-18)	.130(-13)	.453(-11)	.231(-11)
34					.326(-24)	.457(-19)	.207(-14)	.572(-11)	.273(-11)
35					.588(-25)	.842(-20)	.382(-15)	.691(-11)	.328(-11)
36					.119(-25)	.166(-20)	.726(-16)	.127(-11)	.399(-11)
37						.327(-21)	.140(-16)	.219(-12)	.492(-11)
38						.653(-22)	.283(-17)	.416(-13)	.622(-11)
39						.149(-22)	.644(-18)	.925(-14)	.809(-11)
40						.346(-23)	.148(-18)	.206(-14)	.101(-10)

Virt&I-Comm.5.2014.11

Table CXXXVIII		RIOS L2 REACTIVE				$T_{tr}=1000.$		$T_{rot}=1000.$	
v'	v	5	10	15	20	25	30	35	40
0		.746(-18)	.471(-15)	.214(-13)	.103(-12)	.156(-12)	.133(-12)	.107(-12)	.645(-13)
1		.434(-17)	.239(-14)	.344(-13)	.692(-13)	.112(-12)	.134(-12)	.114(-12)	.706(-13)
2		.162(-16)	.521(-14)	.285(-13)	.743(-13)	.951(-13)	.119(-12)	.111(-12)	.723(-13)
3		.491(-16)	.679(-14)	.316(-13)	.688(-13)	.105(-12)	.977(-13)	.106(-12)	.746(-13)
4		.151(-15)	.678(-14)	.328(-13)	.794(-13)	.104(-12)	.104(-12)	.965(-13)	.735(-13)
5		.106(-14)	.712(-14)	.348(-13)	.803(-13)	.115(-12)	.113(-12)	.106(-12)	.670(-13)
6		.354(-16)	.880(-14)	.412(-13)	.889(-13)	.122(-12)	.131(-12)	.107(-12)	.752(-13)
7		.359(-17)	.112(-13)	.450(-13)	.997(-13)	.130(-12)	.128(-12)	.125(-12)	.801(-13)
8		.330(-18)	.145(-13)	.509(-13)	.111(-12)	.154(-12)	.141(-12)	.130(-12)	.865(-13)
9		.268(-19)	.210(-13)	.590(-13)	.118(-12)	.162(-12)	.176(-12)	.140(-12)	.937(-13)
10		.216(-20)	.297(-13)	.682(-13)	.136(-12)	.179(-12)	.191(-12)	.163(-12)	.100(-12)
11		.192(-21)	.203(-14)	.822(-13)	.154(-12)	.206(-12)	.195(-12)	.172(-12)	.113(-12)
12		.175(-22)	.139(-15)	.100(-12)	.173(-12)	.225(-12)	.223(-12)	.195(-12)	.123(-12)
13		.150(-23)	.105(-16)	.123(-12)	.194(-12)	.253(-12)	.257(-12)	.216(-12)	.136(-12)
14		.126(-24)	.856(-18)	.160(-12)	.224(-12)	.284(-12)	.273(-12)	.240(-12)	.151(-12)
15		.113(-25)	.708(-19)	.186(-12)	.259(-12)	.318(-12)	.304(-12)	.272(-12)	.169(-12)
16			.626(-20)	.153(-13)	.300(-12)	.360(-12)	.348(-12)	.303(-12)	.188(-12)
17			.568(-21)	.120(-14)	.357(-12)	.405(-12)	.392(-12)	.343(-12)	.212(-12)
18			.516(-22)	.102(-15)	.433(-12)	.460(-12)	.435(-12)	.385(-12)	.237(-12)
19			.505(-23)	.937(-17)	.535(-12)	.524(-12)	.494(-12)	.434(-12)	.268(-12)
20			.530(-24)	.918(-18)	.612(-12)	.604(-12)	.560(-12)	.491(-12)	.300(-12)
21			.571(-25)	.926(-19)	.599(-13)	.701(-12)	.635(-12)	.559(-12)	.340(-12)
22				.968(-20)	.576(-14)	.833(-12)	.723(-12)	.639(-12)	.384(-12)
23				.105(-20)	.584(-15)	.101(-11)	.830(-12)	.725(-12)	.436(-12)
24				.117(-21)	.621(-16)	.126(-11)	.957(-12)	.830(-12)	.497(-12)
25				.147(-22)	.733(-17)	.146(-11)	.112(-11)	.957(-12)	.569(-12)
26				.188(-23)	.909(-18)	.180(-12)	.133(-11)	.109(-11)	.650(-12)
27				.235(-24)	.115(-18)	.204(-13)	.157(-11)	.126(-11)	.748(-12)
28				.331(-25)	.157(-19)	.249(-14)	.191(-11)	.147(-11)	.861(-12)
29					.226(-20)	.353(-15)	.240(-11)	.172(-11)	.992(-12)
30					.318(-21)	.474(-16)	.285(-11)	.203(-11)	.115(-11)
31					.524(-22)	.761(-17)	.445(-12)	.241(-11)	.134(-11)
32					.795(-23)	.114(-17)	.594(-13)	.293(-11)	.156(-11)
33					.142(-23)	.201(-18)	.994(-14)	.361(-11)	.185(-11)
34					.246(-24)	.345(-19)	.158(-14)	.456(-11)	.219(-11)
35					.443(-25)	.636(-20)	.290(-15)	.550(-11)	.262(-11)
36						.126(-20)	.551(-16)	.991(-12)	.319(-11)
37						.247(-21)	.106(-16)	.169(-12)	.393(-11)
38						.493(-22)	.214(-17)	.319(-13)	.498(-11)
39						.112(-22)	.488(-18)	.707(-14)	.647(-11)
40						.261(-23)	.112(-18)	.157(-14)	.808(-11)

Virt&I-Comm.5.2014.11

Table CXXXIX		RIOS L2 REACTIVE				$T_{tr}=1000.$		$T_{rot}=2000.$	
v'	v	5	10	15	20	25	30	35	40
0		.504(-18)	.321(-15)	.147(-13)	.715(-13)	.109(-12)	.936(-13)	.756(-13)	.457(-13)
1		.293(-17)	.163(-14)	.236(-13)	.480(-13)	.785(-13)	.940(-13)	.811(-13)	.501(-13)
2		.109(-16)	.355(-14)	.196(-13)	.514(-13)	.664(-13)	.835(-13)	.787(-13)	.513(-13)
3		.331(-16)	.462(-14)	.217(-13)	.476(-13)	.738(-13)	.684(-13)	.749(-13)	.529(-13)
4		.102(-15)	.462(-14)	.225(-13)	.550(-13)	.730(-13)	.731(-13)	.681(-13)	.521(-13)
5		.722(-15)	.485(-14)	.239(-13)	.556(-13)	.804(-13)	.793(-13)	.754(-13)	.474(-13)
6		.239(-16)	.600(-14)	.283(-13)	.615(-13)	.853(-13)	.921(-13)	.754(-13)	.533(-13)
7		.242(-17)	.767(-14)	.309(-13)	.691(-13)	.907(-13)	.901(-13)	.884(-13)	.568(-13)
8		.222(-18)	.988(-14)	.349(-13)	.768(-13)	.107(-12)	.990(-13)	.922(-13)	.613(-13)
9		.180(-19)	.143(-13)	.405(-13)	.820(-13)	.113(-12)	.123(-12)	.992(-13)	.664(-13)
10		.145(-20)	.202(-13)	.468(-13)	.946(-13)	.125(-12)	.134(-12)	.115(-12)	.709(-13)
11		.129(-21)	.138(-14)	.564(-13)	.107(-12)	.143(-12)	.136(-12)	.121(-12)	.807(-13)
12		.117(-22)	.940(-16)	.687(-13)	.120(-12)	.157(-12)	.156(-12)	.138(-12)	.874(-13)
13		.100(-23)	.713(-17)	.848(-13)	.134(-12)	.176(-12)	.180(-12)	.152(-12)	.967(-13)
14		.849(-25)	.576(-18)	.110(-12)	.155(-12)	.198(-12)	.191(-12)	.169(-12)	.107(-12)
15			.476(-19)	.127(-12)	.179(-12)	.222(-12)	.213(-12)	.192(-12)	.120(-12)
16			.420(-20)	.104(-13)	.207(-12)	.251(-12)	.244(-12)	.214(-12)	.133(-12)
17			.381(-21)	.819(-15)	.247(-12)	.282(-12)	.274(-12)	.242(-12)	.150(-12)
18			.346(-22)	.692(-16)	.299(-12)	.321(-12)	.305(-12)	.272(-12)	.168(-12)
19			.339(-23)	.631(-17)	.370(-12)	.365(-12)	.346(-12)	.306(-12)	.189(-12)
20			.355(-24)	.618(-18)	.423(-12)	.421(-12)	.392(-12)	.346(-12)	.212(-12)
21			.383(-25)	.623(-19)	.409(-13)	.488(-12)	.444(-12)	.394(-12)	.240(-12)
22				.650(-20)	.391(-14)	.580(-12)	.506(-12)	.451(-12)	.272(-12)
23				.706(-21)	.395(-15)	.706(-12)	.581(-12)	.511(-12)	.309(-12)
24				.785(-22)	.419(-16)	.877(-12)	.670(-12)	.586(-12)	.352(-12)
25				.990(-23)	.494(-17)	.102(-11)	.785(-12)	.675(-12)	.403(-12)
26				.126(-23)	.612(-18)	.123(-12)	.931(-12)	.774(-12)	.460(-12)
27				.157(-24)	.773(-19)	.138(-13)	.110(-11)	.894(-12)	.530(-12)
28				.221(-25)	.105(-19)	.169(-14)	.133(-11)	.104(-11)	.610(-12)
29					.152(-20)	.239(-15)	.168(-11)	.121(-11)	.703(-12)
30					.213(-21)	.320(-16)	.199(-11)	.143(-11)	.817(-12)
31					.351(-22)	.513(-17)	.307(-12)	.170(-11)	.950(-12)
32					.533(-23)	.771(-18)	.405(-13)	.206(-11)	.111(-11)
33					.956(-24)	.135(-18)	.675(-14)	.255(-11)	.131(-11)
34					.165(-24)	.232(-19)	.107(-14)	.321(-11)	.155(-11)
35					.297(-25)	.427(-20)	.196(-15)	.388(-11)	.186(-11)
36						.846(-21)	.372(-16)	.686(-12)	.226(-11)
37						.165(-21)	.719(-17)	.116(-12)	.279(-11)
38						.330(-22)	.144(-17)	.217(-13)	.353(-11)
39						.754(-23)	.328(-18)	.480(-14)	.458(-11)
40						.175(-23)	.756(-19)	.106(-14)	.572(-11)

Virt&I-Comm.5.2014.11

Table CXL		RIOS L2 REACTIVE				$T_{tr}=1000.$	$T_{rot}=4000.$		
v'	v	5	10	15	20	25	30	35	40
0		.305(-18)	.195(-15)	.902(-14)	.442(-13)	.682(-13)	.584(-13)	.474(-13)	.288(-13)
1		.177(-17)	.996(-15)	.145(-13)	.297(-13)	.488(-13)	.586(-13)	.508(-13)	.315(-13)
2		.663(-17)	.216(-14)	.120(-13)	.318(-13)	.413(-13)	.520(-13)	.493(-13)	.322(-13)
3		.201(-16)	.282(-14)	.133(-13)	.294(-13)	.459(-13)	.426(-13)	.469(-13)	.332(-13)
4		.619(-16)	.282(-14)	.138(-13)	.340(-13)	.453(-13)	.455(-13)	.426(-13)	.328(-13)
5		.438(-15)	.295(-14)	.146(-13)	.343(-13)	.500(-13)	.494(-13)	.473(-13)	.298(-13)
6		.144(-16)	.366(-14)	.173(-13)	.380(-13)	.530(-13)	.574(-13)	.472(-13)	.335(-13)
7		.146(-17)	.468(-14)	.189(-13)	.427(-13)	.563(-13)	.561(-13)	.554(-13)	.356(-13)
8		.134(-18)	.603(-14)	.214(-13)	.475(-13)	.670(-13)	.617(-13)	.578(-13)	.385(-13)
9		.108(-19)	.876(-14)	.248(-13)	.507(-13)	.704(-13)	.772(-13)	.621(-13)	.417(-13)
10		.875(-21)	.123(-13)	.287(-13)	.584(-13)	.777(-13)	.836(-13)	.724(-13)	.445(-13)
11		.779(-22)	.839(-15)	.346(-13)	.661(-13)	.894(-13)	.851(-13)	.761(-13)	.507(-13)
12		.709(-23)	.570(-16)	.422(-13)	.741(-13)	.975(-13)	.975(-13)	.865(-13)	.548(-13)
13		.608(-24)	.432(-17)	.521(-13)	.832(-13)	.109(-12)	.112(-12)	.954(-13)	.607(-13)
14		.511(-25)	.348(-18)	.677(-13)	.959(-13)	.123(-12)	.119(-12)	.106(-12)	.673(-13)
15			.287(-19)	.782(-13)	.110(-12)	.138(-12)	.132(-12)	.120(-12)	.755(-13)
16			.253(-20)	.637(-14)	.128(-12)	.156(-12)	.152(-12)	.134(-12)	.837(-13)
17			.230(-21)	.497(-15)	.152(-12)	.175(-12)	.171(-12)	.151(-12)	.943(-13)
18			.208(-22)	.419(-16)	.185(-12)	.199(-12)	.190(-12)	.170(-12)	.105(-12)
19			.204(-23)	.382(-17)	.228(-12)	.227(-12)	.215(-12)	.192(-12)	.119(-12)
20			.214(-24)	.373(-18)	.261(-12)	.261(-12)	.244(-12)	.217(-12)	.133(-12)
21			.230(-25)	.376(-19)	.250(-13)	.303(-12)	.277(-12)	.247(-12)	.151(-12)
22				.392(-20)	.238(-14)	.360(-12)	.315(-12)	.282(-12)	.171(-12)
23				.426(-21)	.239(-15)	.438(-12)	.361(-12)	.320(-12)	.194(-12)
24				.473(-22)	.254(-16)	.544(-12)	.417(-12)	.367(-12)	.221(-12)
25				.597(-23)	.299(-17)	.632(-12)	.489(-12)	.423(-12)	.253(-12)
26				.762(-24)	.370(-18)	.757(-13)	.579(-12)	.485(-12)	.289(-12)
27				.950(-25)	.467(-19)	.847(-14)	.685(-12)	.560(-12)	.333(-12)
28				.133(-25)	.637(-20)	.103(-14)	.832(-12)	.652(-12)	.383(-12)
29					.918(-21)	.145(-15)	.105(-11)	.762(-12)	.441(-12)
30					.129(-21)	.194(-16)	.124(-11)	.897(-12)	.513(-12)
31					.212(-22)	.310(-17)	.189(-12)	.107(-11)	.596(-12)
32					.321(-23)	.466(-18)	.247(-13)	.129(-11)	.698(-12)
33					.576(-24)	.819(-19)	.411(-14)	.159(-11)	.823(-12)
34					.994(-25)	.140(-19)	.651(-15)	.201(-11)	.976(-12)
35					.179(-25)	.258(-20)	.119(-15)	.243(-11)	.117(-11)
36						.510(-21)	.225(-16)	.423(-12)	.142(-11)
37						.100(-21)	.435(-17)	.711(-13)	.175(-11)
38						.199(-22)	.874(-18)	.132(-13)	.221(-11)
39						.454(-23)	.198(-18)	.292(-14)	.288(-11)
40						.105(-23)	.457(-19)	.649(-15)	.359(-11)

Virt&I-Comm.5.2014.11

Table CXL1		RIOS L2 REACTIVE				$T_{tr}=2000.$		$T_{rot}=500.$	
v'	v	3	5	10	15	20	25	30	35
0		.796(-15)	.102(-14)	.263(-13)	.279(-12)	.639(-12)	.659(-12)	.489(-12)	.327(-12)
1		.486(-14)	.451(-14)	.971(-13)	.395(-12)	.445(-12)	.526(-12)	.486(-12)	.347(-12)
2		.190(-13)	.119(-13)	.175(-12)	.349(-12)	.488(-12)	.452(-12)	.442(-12)	.341(-12)
3		.594(-13)	.260(-13)	.213(-12)	.392(-12)	.475(-12)	.490(-12)	.393(-12)	.329(-12)
4		.639(-14)	.581(-13)	.224(-12)	.408(-12)	.529(-12)	.510(-12)	.415(-12)	.314(-12)
5		.108(-14)	.256(-12)	.248(-12)	.442(-12)	.551(-12)	.543(-12)	.454(-12)	.336(-12)
6		.347(-15)	.266(-13)	.300(-12)	.507(-12)	.611(-12)	.589(-12)	.504(-12)	.351(-12)
7		.129(-15)	.687(-14)	.373(-12)	.557(-12)	.674(-12)	.639(-12)	.516(-12)	.400(-12)
8		.477(-16)	.188(-14)	.480(-12)	.632(-12)	.746(-12)	.725(-12)	.575(-12)	.423(-12)
9		.162(-16)	.505(-15)	.692(-12)	.729(-12)	.815(-12)	.781(-12)	.666(-12)	.462(-12)
10		.490(-17)	.135(-15)	.107(-11)	.846(-12)	.930(-12)	.863(-12)	.730(-12)	.519(-12)
11		.136(-17)	.386(-16)	.215(-12)	.100(-11)	.104(-11)	.973(-12)	.782(-12)	.562(-12)
12		.370(-18)	.111(-16)	.482(-13)	.122(-11)	.118(-11)	.107(-11)	.876(-12)	.629(-12)
13		.104(-18)	.310(-17)	.120(-13)	.151(-11)	.134(-11)	.121(-11)	.989(-12)	.698(-12)
14		.310(-19)	.864(-18)	.317(-14)	.198(-11)	.154(-11)	.135(-11)	.108(-11)	.778(-12)
15		.934(-20)	.250(-18)	.857(-15)	.252(-11)	.178(-11)	.152(-11)	.120(-11)	.873(-12)
16		.276(-20)	.750(-19)	.240(-15)	.619(-12)	.209(-11)	.172(-11)	.136(-11)	.975(-12)
17		.798(-21)	.223(-19)	.687(-16)	.154(-12)	.250(-11)	.195(-11)	.152(-11)	.109(-11)
18		.231(-21)	.654(-20)	.197(-16)	.411(-13)	.306(-11)	.223(-11)	.171(-11)	.122(-11)
19		.698(-22)	.195(-20)	.588(-17)	.114(-13)	.383(-11)	.256(-11)	.193(-11)	.137(-11)
20		.219(-22)	.606(-21)	.182(-17)	.335(-14)	.467(-11)	.297(-11)	.218(-11)	.155(-11)
21		.712(-23)	.192(-21)	.568(-18)	.100(-14)	.129(-11)	.347(-11)	.248(-11)	.175(-11)
22		.233(-23)	.619(-22)	.179(-18)	.306(-15)	.361(-12)	.414(-11)	.283(-11)	.199(-11)
23		.766(-24)	.200(-22)	.567(-19)	.966(-16)	.106(-12)	.504(-11)	.325(-11)	.225(-11)
24		.247(-24)	.647(-23)	.183(-19)	.309(-16)	.323(-13)	.630(-11)	.376(-11)	.257(-11)
25		.822(-25)	.216(-23)	.613(-20)	.103(-16)	.103(-13)	.768(-11)	.439(-11)	.294(-11)
26		.280(-25)	.752(-24)	.213(-20)	.351(-17)	.338(-14)	.240(-11)	.520(-11)	.337(-11)
27			.257(-24)	.731(-21)	.119(-17)	.114(-14)	.739(-12)	.620(-11)	.388(-11)
28			.920(-25)	.261(-21)	.425(-18)	.399(-15)	.236(-12)	.757(-11)	.450(-11)
29			.339(-25)	.950(-22)	.154(-18)	.142(-15)	.820(-13)	.956(-11)	.526(-11)
30			.124(-25)	.342(-22)	.558(-19)	.515(-16)	.283(-13)	.118(-10)	.620(-11)
31				.131(-22)	.213(-19)	.195(-16)	.104(-13)	.408(-11)	.739(-11)
32				.490(-23)	.801(-20)	.734(-17)	.387(-14)	.137(-11)	.895(-11)
33				.199(-23)	.320(-20)	.289(-17)	.150(-14)	.502(-12)	.110(-10)
34				.789(-24)	.127(-20)	.115(-17)	.589(-15)	.186(-12)	.140(-10)
35				.318(-24)	.512(-21)	.462(-18)	.238(-15)	.739(-13)	.177(-10)

Virt&I-Comm.5.2014.11

Table CXLII		RIOS L2 REACTIVE			$T_{tr}=2000.$	$T_{rot}=1000.$			
v'	v	3	5	10	15	20	25	30	35
0		.672(-15)	.862(-15)	.224(-13)	.241(-12)	.559(-12)	.581(-12)	.433(-12)	.292(-12)
1		.411(-14)	.382(-14)	.832(-13)	.342(-12)	.389(-12)	.462(-12)	.430(-12)	.310(-12)
2		.161(-13)	.101(-13)	.150(-12)	.301(-12)	.426(-12)	.397(-12)	.391(-12)	.304(-12)
3		.503(-13)	.221(-13)	.183(-12)	.339(-12)	.414(-12)	.431(-12)	.347(-12)	.293(-12)
4		.540(-14)	.493(-13)	.192(-12)	.353(-12)	.461(-12)	.448(-12)	.366(-12)	.279(-12)
5		.919(-15)	.218(-12)	.212(-12)	.382(-12)	.481(-12)	.477(-12)	.401(-12)	.299(-12)
6		.293(-15)	.226(-13)	.257(-12)	.438(-12)	.533(-12)	.517(-12)	.445(-12)	.312(-12)
7		.109(-15)	.581(-14)	.320(-12)	.482(-12)	.588(-12)	.561(-12)	.456(-12)	.356(-12)
8		.401(-16)	.159(-14)	.411(-12)	.547(-12)	.651(-12)	.637(-12)	.507(-12)	.376(-12)
9		.136(-16)	.426(-15)	.594(-12)	.631(-12)	.711(-12)	.686(-12)	.589(-12)	.411(-12)
10		.412(-17)	.114(-15)	.917(-12)	.731(-12)	.811(-12)	.759(-12)	.645(-12)	.461(-12)
11		.114(-17)	.325(-16)	.184(-12)	.871(-12)	.912(-12)	.856(-12)	.691(-12)	.499(-12)
12		.310(-18)	.934(-17)	.409(-13)	.105(-11)	.103(-11)	.947(-12)	.774(-12)	.559(-12)
13		.876(-19)	.260(-17)	.101(-13)	.131(-11)	.116(-11)	.106(-11)	.874(-12)	.621(-12)
14		.260(-19)	.726(-18)	.267(-14)	.171(-11)	.134(-11)	.119(-11)	.954(-12)	.692(-12)
15		.783(-20)	.210(-18)	.723(-15)	.218(-11)	.155(-11)	.134(-11)	.106(-11)	.777(-12)
16		.231(-20)	.629(-19)	.202(-15)	.530(-12)	.182(-11)	.151(-11)	.120(-11)	.867(-12)
17		.669(-21)	.187(-19)	.578(-16)	.131(-12)	.218(-11)	.172(-11)	.135(-11)	.973(-12)
18		.194(-21)	.549(-20)	.165(-16)	.349(-13)	.266(-11)	.196(-11)	.151(-11)	.109(-11)
19		.585(-22)	.164(-20)	.494(-17)	.971(-14)	.334(-11)	.225(-11)	.170(-11)	.122(-11)
20		.184(-22)	.508(-21)	.152(-17)	.283(-14)	.406(-11)	.260(-11)	.193(-11)	.138(-11)
21		.596(-23)	.161(-21)	.477(-18)	.844(-15)	.111(-11)	.305(-11)	.219(-11)	.156(-11)
22		.195(-23)	.518(-22)	.150(-18)	.258(-15)	.309(-12)	.363(-11)	.250(-11)	.177(-11)
23		.641(-24)	.167(-22)	.475(-19)	.814(-16)	.902(-13)	.442(-11)	.287(-11)	.200(-11)
24		.207(-24)	.541(-23)	.153(-19)	.260(-16)	.274(-13)	.553(-11)	.332(-11)	.229(-11)
25		.688(-25)	.181(-23)	.514(-20)	.869(-17)	.873(-14)	.673(-11)	.388(-11)	.262(-11)
26		.234(-25)	.630(-24)	.178(-20)	.295(-17)	.286(-14)	.207(-11)	.459(-11)	.300(-11)
27			.215(-24)	.613(-21)	.100(-17)	.968(-15)	.634(-12)	.548(-11)	.346(-11)
28			.770(-25)	.218(-21)	.356(-18)	.336(-15)	.201(-12)	.669(-11)	.401(-11)
29			.284(-25)	.796(-22)	.129(-18)	.120(-15)	.697(-13)	.845(-11)	.469(-11)
30			.104(-25)	.286(-22)	.468(-19)	.434(-16)	.240(-13)	.104(-10)	.552(-11)
31				.110(-22)	.179(-19)	.164(-16)	.885(-14)	.354(-11)	.659(-11)
32				.410(-23)	.672(-20)	.617(-17)	.327(-14)	.117(-11)	.797(-11)
33				.166(-23)	.268(-20)	.243(-17)	.126(-14)	.430(-12)	.985(-11)
34				.660(-24)	.106(-20)	.965(-18)	.497(-15)	.159(-12)	.125(-10)
35				.266(-24)	.429(-21)	.388(-18)	.201(-15)	.628(-13)	.157(-10)

Virt&I-Comm.5.2014.11

Table CXLIII		RIOS L2 REACTIVE			$T_{tr}=2000.$	$T_{rot}=2000.$			
v'	v	3	5	10	15	20	25	30	35
0		.512(-15)	.658(-15)	.173(-13)	.189(-12)	.443(-12)	.466(-12)	.348(-12)	.236(-12)
1		.314(-14)	.292(-14)	.644(-13)	.269(-12)	.308(-12)	.369(-12)	.346(-12)	.251(-12)
2		.123(-13)	.776(-14)	.116(-12)	.236(-12)	.337(-12)	.317(-12)	.315(-12)	.247(-12)
3		.385(-13)	.169(-13)	.142(-12)	.266(-12)	.328(-12)	.344(-12)	.278(-12)	.237(-12)
4		.412(-14)	.378(-13)	.149(-12)	.277(-12)	.365(-12)	.358(-12)	.294(-12)	.225(-12)
5		.699(-15)	.167(-12)	.165(-12)	.300(-12)	.381(-12)	.381(-12)	.322(-12)	.242(-12)
6		.223(-15)	.173(-13)	.199(-12)	.344(-12)	.422(-12)	.413(-12)	.358(-12)	.252(-12)
7		.830(-16)	.444(-14)	.248(-12)	.378(-12)	.466(-12)	.448(-12)	.366(-12)	.288(-12)
8		.305(-16)	.121(-14)	.319(-12)	.429(-12)	.516(-12)	.509(-12)	.407(-12)	.304(-12)
9		.103(-16)	.324(-15)	.461(-12)	.495(-12)	.563(-12)	.548(-12)	.474(-12)	.332(-12)
10		.312(-17)	.870(-16)	.711(-12)	.573(-12)	.642(-12)	.605(-12)	.518(-12)	.374(-12)
11		.868(-18)	.247(-16)	.141(-12)	.683(-12)	.722(-12)	.683(-12)	.554(-12)	.404(-12)
12		.235(-18)	.708(-17)	.314(-13)	.828(-12)	.817(-12)	.756(-12)	.621(-12)	.453(-12)
13		.662(-19)	.197(-17)	.778(-14)	.102(-11)	.925(-12)	.849(-12)	.703(-12)	.502(-12)
14		.196(-19)	.549(-18)	.204(-14)	.134(-11)	.106(-11)	.952(-12)	.766(-12)	.560(-12)
15		.592(-20)	.159(-18)	.550(-15)	.170(-11)	.123(-11)	.107(-11)	.854(-12)	.629(-12)
16		.175(-20)	.476(-19)	.154(-15)	.411(-12)	.144(-11)	.121(-11)	.966(-12)	.702(-12)
17		.505(-21)	.141(-19)	.439(-16)	.101(-12)	.172(-11)	.137(-11)	.108(-11)	.787(-12)
18		.146(-21)	.415(-20)	.125(-16)	.267(-13)	.211(-11)	.156(-11)	.121(-11)	.884(-12)
19		.441(-22)	.124(-20)	.375(-17)	.743(-14)	.264(-11)	.179(-11)	.137(-11)	.993(-12)
20		.138(-22)	.383(-21)	.115(-17)	.216(-14)	.321(-11)	.208(-11)	.155(-11)	.111(-11)
21		.450(-23)	.121(-21)	.361(-18)	.642(-15)	.869(-12)	.243(-11)	.176(-11)	.126(-11)
22		.147(-23)	.391(-22)	.113(-18)	.196(-15)	.239(-12)	.290(-11)	.201(-11)	.143(-11)
23		.483(-24)	.126(-22)	.359(-19)	.618(-16)	.693(-13)	.353(-11)	.231(-11)	.162(-11)
24		.156(-24)	.408(-23)	.116(-19)	.197(-16)	.210(-13)	.441(-11)	.267(-11)	.185(-11)
25		.518(-25)	.136(-23)	.388(-20)	.659(-17)	.667(-14)	.536(-11)	.312(-11)	.212(-11)
26		.177(-25)	.475(-24)	.135(-20)	.224(-17)	.218(-14)	.162(-11)	.369(-11)	.243(-11)
27			.162(-24)	.463(-21)	.762(-18)	.737(-15)	.492(-12)	.440(-11)	.280(-11)
28			.580(-25)	.165(-21)	.270(-18)	.256(-15)	.155(-12)	.537(-11)	.325(-11)
29			.214(-25)	.601(-22)	.979(-19)	.913(-16)	.536(-13)	.678(-11)	.380(-11)
30				.216(-22)	.354(-19)	.329(-16)	.184(-13)	.835(-11)	.448(-11)
31				.830(-23)	.135(-19)	.124(-16)	.677(-14)	.279(-11)	.534(-11)
32				.309(-23)	.508(-20)	.468(-17)	.249(-14)	.918(-12)	.647(-11)
33				.125(-23)	.203(-20)	.184(-17)	.967(-15)	.333(-12)	.799(-11)
34				.498(-24)	.805(-21)	.731(-18)	.378(-15)	.122(-12)	.101(-10)
35				.201(-24)	.324(-21)	.294(-18)	.152(-15)	.482(-13)	.127(-10)

Virt&I-Comm.5.2014.11

Table CXLIV		RIOS L2 REACTIVE				$T_{tr}=2000.$	$T_{rot}=4000.$		
v'	v	3	5	10	15	20	25	30	35
0		.347(-15)	.446(-15)	.119(-13)	.131(-12)	.311(-12)	.330(-12)	.248(-12)	.169(-12)
1		.213(-14)	.198(-14)	.443(-13)	.187(-12)	.216(-12)	.261(-12)	.247(-12)	.180(-12)
2		.840(-14)	.527(-14)	.803(-13)	.164(-12)	.237(-12)	.224(-12)	.224(-12)	.177(-12)
3		.261(-13)	.115(-13)	.981(-13)	.185(-12)	.230(-12)	.243(-12)	.198(-12)	.170(-12)
4		.279(-14)	.258(-13)	.102(-12)	.192(-12)	.256(-12)	.253(-12)	.209(-12)	.161(-12)
5		.473(-15)	.114(-12)	.113(-12)	.208(-12)	.267(-12)	.269(-12)	.228(-12)	.173(-12)
6		.150(-15)	.117(-13)	.137(-12)	.239(-12)	.296(-12)	.292(-12)	.254(-12)	.180(-12)
7		.560(-16)	.301(-14)	.171(-12)	.263(-12)	.327(-12)	.316(-12)	.260(-12)	.206(-12)
8		.206(-16)	.822(-15)	.220(-12)	.298(-12)	.362(-12)	.360(-12)	.289(-12)	.217(-12)
9		.698(-17)	.219(-15)	.318(-12)	.344(-12)	.395(-12)	.387(-12)	.337(-12)	.237(-12)
10		.210(-17)	.587(-16)	.490(-12)	.399(-12)	.450(-12)	.428(-12)	.369(-12)	.267(-12)
11		.584(-18)	.166(-16)	.971(-13)	.475(-12)	.507(-12)	.483(-12)	.394(-12)	.289(-12)
12		.158(-18)	.477(-17)	.214(-13)	.576(-12)	.573(-12)	.534(-12)	.441(-12)	.324(-12)
13		.445(-19)	.133(-17)	.529(-14)	.715(-12)	.649(-12)	.600(-12)	.500(-12)	.359(-12)
14		.132(-19)	.370(-18)	.138(-14)	.935(-12)	.746(-12)	.673(-12)	.544(-12)	.400(-12)
15		.397(-20)	.107(-18)	.372(-15)	.118(-11)	.866(-12)	.758(-12)	.607(-12)	.450(-12)
16		.117(-20)	.320(-19)	.104(-15)	.283(-12)	.101(-11)	.856(-12)	.686(-12)	.502(-12)
17		.339(-21)	.950(-20)	.296(-16)	.694(-13)	.121(-11)	.970(-12)	.771(-12)	.563(-12)
18		.984(-22)	.278(-20)	.849(-17)	.182(-13)	.148(-11)	.110(-11)	.862(-12)	.632(-12)
19		.296(-22)	.832(-21)	.252(-17)	.505(-14)	.185(-11)	.127(-11)	.975(-12)	.710(-12)
20		.931(-23)	.257(-21)	.779(-18)	.146(-14)	.225(-11)	.147(-11)	.110(-11)	.800(-12)
21		.301(-23)	.818(-22)	.243(-18)	.435(-15)	.601(-12)	.172(-11)	.125(-11)	.906(-12)
22		.990(-24)	.262(-22)	.765(-19)	.133(-15)	.164(-12)	.204(-11)	.143(-11)	.102(-11)
23		.324(-24)	.848(-23)	.241(-19)	.417(-16)	.474(-13)	.249(-11)	.164(-11)	.116(-11)
24		.104(-24)	.274(-23)	.780(-20)	.133(-16)	.143(-13)	.311(-11)	.189(-11)	.133(-11)
25		.347(-25)	.918(-24)	.261(-20)	.444(-17)	.453(-14)	.378(-11)	.221(-11)	.152(-11)
26		.118(-25)	.318(-24)	.906(-21)	.151(-17)	.148(-14)	.113(-11)	.262(-11)	.174(-11)
27			.108(-24)	.310(-21)	.513(-18)	.499(-15)	.339(-12)	.312(-11)	.201(-11)
28			.389(-25)	.110(-21)	.181(-18)	.173(-15)	.106(-12)	.381(-11)	.233(-11)
29			.143(-25)	.403(-22)	.658(-19)	.617(-16)	.366(-13)	.482(-11)	.272(-11)
30				.145(-22)	.238(-19)	.222(-16)	.125(-13)	.593(-11)	.321(-11)
31				.556(-23)	.910(-20)	.840(-17)	.460(-14)	.195(-11)	.383(-11)
32				.207(-23)	.341(-20)	.315(-17)	.169(-14)	.635(-12)	.463(-11)
33				.842(-24)	.136(-20)	.124(-17)	.655(-15)	.229(-12)	.572(-11)
34				.333(-24)	.540(-21)	.492(-18)	.256(-15)	.839(-13)	.728(-11)
35				.134(-24)	.217(-21)	.197(-18)	.103(-15)	.329(-13)	.913(-11)

Virt&I-Comm.5.2014.11

Table CXLV		RIOS L2 REACTIVE			$T_{tr}=4000.$	$T_{rot}= 500.$			
v'	v	1	3	5	10	15	20	25	27
0		.355(-12)	.112(-12)	.103(-12)	.327(-12)	.109(-11)	.160(-11)	.139(-11)	.121(-11)
1		.904(-12)	.305(-12)	.234(-12)	.710(-12)	.132(-11)	.124(-11)	.119(-11)	.111(-11)
2		.229(-12)	.709(-12)	.421(-12)	.103(-11)	.129(-11)	.131(-11)	.108(-11)	.100(-11)
3		.592(-13)	.193(-11)	.701(-12)	.123(-11)	.142(-11)	.134(-11)	.113(-11)	.100(-11)
4		.206(-13)	.417(-12)	.124(-11)	.136(-11)	.151(-11)	.144(-11)	.119(-11)	.108(-11)
5		.933(-14)	.142(-12)	.382(-11)	.156(-11)	.166(-11)	.154(-11)	.127(-11)	.114(-11)
6		.489(-14)	.666(-13)	.797(-12)	.186(-11)	.186(-11)	.169(-11)	.138(-11)	.123(-11)
7		.280(-14)	.355(-13)	.330(-12)	.229(-11)	.207(-11)	.185(-11)	.150(-11)	.136(-11)
8		.169(-14)	.198(-13)	.154(-12)	.292(-11)	.235(-11)	.205(-11)	.166(-11)	.146(-11)
9		.105(-14)	.110(-13)	.745(-13)	.414(-11)	.270(-11)	.227(-11)	.181(-11)	.161(-11)
10		.659(-15)	.584(-14)	.363(-13)	.701(-11)	.313(-11)	.255(-11)	.200(-11)	.178(-11)
11		.403(-15)	.298(-14)	.182(-13)	.231(-11)	.369(-11)	.287(-11)	.222(-11)	.197(-11)
12		.238(-15)	.151(-14)	.930(-14)	.944(-12)	.444(-11)	.324(-11)	.247(-11)	.219(-11)
13		.135(-15)	.779(-15)	.470(-14)	.426(-12)	.551(-11)	.368(-11)	.276(-11)	.243(-11)
14		.742(-16)	.410(-15)	.239(-14)	.202(-12)	.725(-11)	.422(-11)	.309(-11)	.271(-11)
15		.393(-16)	.217(-15)	.123(-14)	.988(-13)	.101(-10)	.489(-11)	.347(-11)	.303(-11)
16		.205(-16)	.114(-15)	.649(-15)	.493(-13)	.408(-11)	.572(-11)	.392(-11)	.340(-11)
17		.106(-16)	.593(-16)	.340(-15)	.249(-13)	.179(-11)	.682(-11)	.444(-11)	.382(-11)
18		.559(-17)	.310(-16)	.178(-15)	.127(-13)	.846(-12)	.834(-11)	.507(-11)	.432(-11)
19		.298(-17)	.165(-16)	.940(-16)	.665(-14)	.414(-12)	.106(-10)	.582(-11)	.491(-11)
20		.163(-17)	.898(-17)	.504(-16)	.352(-14)	.209(-12)	.140(-10)	.674(-11)	.562(-11)
21		.905(-18)	.492(-17)	.274(-16)	.188(-14)	.108(-12)	.622(-11)	.789(-11)	.648(-11)
22		.508(-18)	.271(-17)	.149(-16)	.101(-14)	.566(-13)	.292(-11)	.938(-11)	.753(-11)
23		.288(-18)	.149(-17)	.819(-17)	.548(-15)	.301(-13)	.145(-11)	.114(-10)	.884(-11)
24		.163(-18)	.823(-18)	.450(-17)	.299(-15)	.162(-13)	.745(-12)	.144(-10)	.105(-10)
25		.935(-19)	.455(-18)	.250(-17)	.166(-15)	.892(-14)	.393(-12)	.189(-10)	.128(-10)
26		.539(-19)	.256(-18)	.141(-17)	.935(-16)	.495(-14)	.211(-12)	.896(-11)	.161(-10)
27		.309(-19)	.143(-18)	.799(-18)	.527(-16)	.276(-14)	.116(-12)	.443(-11)	.212(-10)

Virt&I-Comm.5.2014.11

Table CXLVI		RIOS L2 REACTIVE			$T_{tr}=4000.$	$T_{rot}=1000.$			
v'	v	1	3	5	10	15	20	25	27
0		.324(-12)	.102(-12)	.940(-13)	.301(-12)	.101(-11)	.151(-11)	.131(-11)	.115(-11)
1		.826(-12)	.278(-12)	.214(-12)	.657(-12)	.124(-11)	.117(-11)	.112(-11)	.105(-11)
2		.209(-12)	.650(-12)	.385(-12)	.960(-12)	.121(-11)	.123(-11)	.101(-11)	.953(-12)
3		.539(-13)	.177(-11)	.643(-12)	.114(-11)	.133(-11)	.125(-11)	.106(-11)	.945(-12)
4		.187(-13)	.381(-12)	.114(-11)	.126(-11)	.141(-11)	.135(-11)	.113(-11)	.102(-11)
5		.848(-14)	.130(-12)	.352(-11)	.145(-11)	.155(-11)	.145(-11)	.120(-11)	.108(-11)
6		.444(-14)	.608(-13)	.730(-12)	.173(-11)	.174(-11)	.159(-11)	.130(-11)	.116(-11)
7		.254(-14)	.324(-13)	.302(-12)	.212(-11)	.193(-11)	.174(-11)	.141(-11)	.128(-11)
8		.154(-14)	.181(-13)	.141(-12)	.271(-11)	.219(-11)	.192(-11)	.156(-11)	.138(-11)
9		.959(-15)	.100(-13)	.680(-13)	.384(-11)	.252(-11)	.213(-11)	.171(-11)	.152(-11)
10		.598(-15)	.531(-14)	.331(-13)	.649(-11)	.292(-11)	.239(-11)	.188(-11)	.169(-11)
11		.366(-15)	.271(-14)	.166(-13)	.213(-11)	.345(-11)	.269(-11)	.210(-11)	.186(-11)
12		.216(-15)	.137(-14)	.846(-14)	.867(-12)	.415(-11)	.304(-11)	.233(-11)	.207(-11)
13		.123(-15)	.707(-15)	.427(-14)	.391(-12)	.514(-11)	.345(-11)	.260(-11)	.230(-11)
14		.672(-16)	.372(-15)	.217(-14)	.185(-12)	.676(-11)	.396(-11)	.291(-11)	.256(-11)
15		.356(-16)	.196(-15)	.112(-14)	.902(-13)	.949(-11)	.459(-11)	.328(-11)	.286(-11)
16		.185(-16)	.103(-15)	.589(-15)	.450(-13)	.378(-11)	.537(-11)	.370(-11)	.321(-11)
17		.965(-17)	.538(-16)	.308(-15)	.227(-13)	.165(-11)	.641(-11)	.419(-11)	.361(-11)
18		.506(-17)	.281(-16)	.161(-15)	.116(-13)	.777(-12)	.783(-11)	.478(-11)	.409(-11)
19		.270(-17)	.150(-16)	.852(-16)	.605(-14)	.380(-12)	.997(-11)	.549(-11)	.465(-11)
20		.147(-17)	.813(-17)	.457(-16)	.320(-14)	.191(-12)	.132(-10)	.636(-11)	.531(-11)
21		.818(-18)	.446(-17)	.248(-16)	.171(-14)	.985(-13)	.578(-11)	.745(-11)	.612(-11)
22		.460(-18)	.245(-17)	.135(-16)	.919(-15)	.516(-13)	.270(-11)	.885(-11)	.712(-11)
23		.261(-18)	.135(-17)	.742(-17)	.497(-15)	.275(-13)	.133(-11)	.107(-10)	.837(-11)
24		.148(-18)	.744(-18)	.407(-17)	.271(-15)	.148(-13)	.684(-12)	.136(-10)	.997(-11)
25		.846(-19)	.412(-18)	.226(-17)	.150(-15)	.812(-14)	.360(-12)	.178(-10)	.121(-10)
26		.487(-19)	.231(-18)	.128(-17)	.847(-16)	.450(-14)	.193(-12)	.836(-11)	.153(-10)
27		.280(-19)	.129(-18)	.723(-18)	.477(-16)	.251(-14)	.105(-12)	.411(-11)	.200(-10)

Virt&I-Comm.5.2014.11

Table CXLVII		RIOS L2 REACTIVE			$T_{tr}=4000.$		$T_{rot}=2000.$		
v'	v	1	3	5	10	15	20	25	27
0		.276(-12)	.871(-13)	.800(-13)	.259(-12)	.890(-12)	.134(-11)	.117(-11)	.103(-11)
1		.704(-12)	.237(-12)	.183(-12)	.569(-12)	.109(-11)	.103(-11)	.100(-11)	.941(-12)
2		.178(-12)	.556(-12)	.329(-12)	.834(-12)	.106(-11)	.109(-11)	.905(-12)	.851(-12)
3		.457(-13)	.152(-11)	.551(-12)	.992(-12)	.116(-11)	.111(-11)	.950(-12)	.843(-12)
4		.158(-13)	.325(-12)	.978(-12)	.110(-11)	.124(-11)	.120(-11)	.100(-11)	.916(-12)
5		.717(-14)	.111(-12)	.303(-11)	.126(-11)	.136(-11)	.128(-11)	.106(-11)	.963(-12)
6		.376(-14)	.516(-13)	.625(-12)	.150(-11)	.152(-11)	.140(-11)	.115(-11)	.103(-11)
7		.215(-14)	.275(-13)	.258(-12)	.184(-11)	.170(-11)	.154(-11)	.126(-11)	.115(-11)
8		.130(-14)	.153(-13)	.120(-12)	.235(-11)	.192(-11)	.170(-11)	.139(-11)	.123(-11)
9		.810(-15)	.850(-14)	.578(-13)	.334(-11)	.221(-11)	.188(-11)	.152(-11)	.136(-11)
10		.505(-15)	.449(-14)	.281(-13)	.563(-11)	.256(-11)	.212(-11)	.168(-11)	.151(-11)
11		.308(-15)	.229(-14)	.141(-13)	.184(-11)	.302(-11)	.238(-11)	.187(-11)	.166(-11)
12		.182(-15)	.116(-14)	.716(-14)	.744(-12)	.364(-11)	.269(-11)	.208(-11)	.185(-11)
13		.103(-15)	.597(-15)	.361(-14)	.334(-12)	.451(-11)	.305(-11)	.232(-11)	.206(-11)
14		.566(-16)	.314(-15)	.183(-14)	.158(-12)	.593(-11)	.351(-11)	.260(-11)	.229(-11)
15		.300(-16)	.166(-15)	.948(-15)	.767(-13)	.831(-11)	.406(-11)	.292(-11)	.256(-11)
16		.156(-16)	.870(-16)	.497(-15)	.382(-13)	.328(-11)	.475(-11)	.330(-11)	.287(-11)
17		.811(-17)	.453(-16)	.260(-15)	.193(-13)	.142(-11)	.567(-11)	.374(-11)	.323(-11)
18		.425(-17)	.237(-16)	.136(-15)	.984(-14)	.667(-12)	.693(-11)	.426(-11)	.365(-11)
19		.227(-17)	.126(-16)	.718(-16)	.512(-14)	.325(-12)	.882(-11)	.490(-11)	.415(-11)
20		.124(-17)	.683(-17)	.385(-16)	.271(-14)	.163(-12)	.116(-10)	.567(-11)	.475(-11)
21		.687(-18)	.375(-17)	.209(-16)	.144(-14)	.839(-13)	.504(-11)	.664(-11)	.548(-11)
22		.386(-18)	.206(-17)	.114(-16)	.776(-15)	.438(-13)	.234(-11)	.789(-11)	.637(-11)
23		.219(-18)	.113(-17)	.624(-17)	.419(-15)	.233(-13)	.115(-11)	.959(-11)	.748(-11)
24		.124(-18)	.625(-18)	.342(-17)	.229(-15)	.125(-13)	.586(-12)	.121(-10)	.891(-11)
25		.710(-19)	.346(-18)	.190(-17)	.126(-15)	.687(-14)	.308(-12)	.158(-10)	.108(-10)
26		.409(-19)	.194(-18)	.107(-17)	.714(-16)	.381(-14)	.165(-12)	.733(-11)	.137(-10)
27		.235(-19)	.109(-18)	.607(-18)	.402(-16)	.212(-14)	.902(-13)	.357(-11)	.178(-10)

Virt&I-Comm.5.2014.11

Table CXLVIII		RIOS L2 REACTIVE			$T_{tr}=4000.$		$T_{rot}=4000.$		
v'	v	1	3	5	10	15	20	25	27
0		.213(-12)	.669(-13)	.615(-13)	.202(-12)	.709(-12)	.108(-11)	.958(-12)	.843(-12)
1		.542(-12)	.183(-12)	.141(-12)	.448(-12)	.872(-12)	.833(-12)	.813(-12)	.766(-12)
2		.137(-12)	.430(-12)	.255(-12)	.658(-12)	.846(-12)	.879(-12)	.733(-12)	.691(-12)
3		.351(-13)	.117(-11)	.427(-12)	.783(-12)	.931(-12)	.893(-12)	.770(-12)	.684(-12)
4		.121(-13)	.251(-12)	.760(-12)	.869(-12)	.990(-12)	.967(-12)	.814(-12)	.744(-12)
5		.548(-14)	.853(-13)	.236(-11)	.993(-12)	.108(-11)	.103(-11)	.865(-12)	.782(-12)
6		.287(-14)	.396(-13)	.485(-12)	.118(-11)	.121(-11)	.113(-11)	.939(-12)	.842(-12)
7		.164(-14)	.211(-13)	.199(-12)	.145(-11)	.135(-11)	.124(-11)	.102(-11)	.935(-12)
8		.992(-15)	.117(-13)	.929(-13)	.186(-11)	.153(-11)	.137(-11)	.113(-11)	.100(-11)
9		.617(-15)	.650(-14)	.444(-13)	.263(-11)	.176(-11)	.151(-11)	.123(-11)	.110(-11)
10		.384(-15)	.343(-14)	.216(-13)	.444(-11)	.204(-11)	.170(-11)	.136(-11)	.122(-11)
11		.235(-15)	.175(-14)	.108(-13)	.144(-11)	.241(-11)	.191(-11)	.152(-11)	.135(-11)
12		.138(-15)	.885(-15)	.548(-14)	.579(-12)	.290(-11)	.216(-11)	.168(-11)	.150(-11)
13		.788(-16)	.455(-15)	.276(-14)	.259(-12)	.360(-11)	.246(-11)	.188(-11)	.167(-11)
14		.430(-16)	.239(-15)	.140(-14)	.122(-12)	.473(-11)	.282(-11)	.211(-11)	.186(-11)
15		.228(-16)	.126(-15)	.723(-15)	.591(-13)	.660(-11)	.327(-11)	.237(-11)	.208(-11)
16		.118(-16)	.661(-16)	.378(-15)	.293(-13)	.258(-11)	.382(-11)	.267(-11)	.233(-11)
17		.615(-17)	.344(-16)	.198(-15)	.148(-13)	.111(-11)	.456(-11)	.303(-11)	.263(-11)
18		.322(-17)	.179(-16)	.103(-15)	.753(-14)	.519(-12)	.558(-11)	.346(-11)	.297(-11)
19		.172(-17)	.957(-17)	.545(-16)	.391(-14)	.251(-12)	.709(-11)	.397(-11)	.338(-11)
20		.939(-18)	.518(-17)	.292(-16)	.207(-14)	.126(-12)	.933(-11)	.460(-11)	.386(-11)
21		.521(-18)	.284(-17)	.158(-16)	.110(-14)	.646(-13)	.400(-11)	.538(-11)	.445(-11)
22		.292(-18)	.156(-17)	.865(-17)	.591(-15)	.337(-13)	.183(-11)	.640(-11)	.518(-11)
23		.166(-18)	.863(-18)	.473(-17)	.319(-15)	.179(-13)	.897(-12)	.778(-11)	.609(-11)
24		.941(-19)	.473(-18)	.259(-17)	.174(-15)	.960(-14)	.455(-12)	.982(-11)	.726(-11)
25		.537(-19)	.262(-18)	.144(-17)	.965(-16)	.525(-14)	.238(-12)	.128(-10)	.883(-11)
26		.309(-19)	.147(-18)	.815(-18)	.542(-16)	.291(-14)	.127(-12)	.584(-11)	.111(-10)
27		.177(-19)	.825(-19)	.460(-18)	.305(-16)	.161(-14)	.694(-13)	.282(-11)	.145(-10)

Virt&I-Comm.5.2014.11

Table CXLIX		RIOS L2 REACTIVE					$T_{tr}=8000.$	$T_{rot}= 500.$	
v'	v	1	3	5	7	10	11	13	15
0		.425(-11)	.189(-11)	.147(-11)	.145(-11)	.173(-11)	.188(-11)	.223(-11)	.256(-11)
1		.911(-11)	.310(-11)	.218(-11)	.208(-11)	.242(-11)	.257(-11)	.278(-11)	.278(-11)
2		.306(-11)	.518(-11)	.307(-11)	.278(-11)	.301(-11)	.306(-11)	.301(-11)	.287(-11)
3		.136(-11)	.118(-10)	.432(-11)	.358(-11)	.350(-11)	.343(-11)	.327(-11)	.312(-11)
4		.725(-12)	.389(-11)	.659(-11)	.459(-11)	.400(-11)	.385(-11)	.363(-11)	.338(-11)
5		.434(-12)	.195(-11)	.159(-10)	.602(-11)	.462(-11)	.441(-11)	.405(-11)	.372(-11)
6		.281(-12)	.115(-11)	.513(-11)	.867(-11)	.547(-11)	.511(-11)	.456(-11)	.415(-11)
7		.191(-12)	.748(-12)	.278(-11)	.187(-10)	.662(-11)	.600(-11)	.521(-11)	.464(-11)
8		.136(-12)	.506(-12)	.169(-11)	.662(-11)	.833(-11)	.722(-11)	.601(-11)	.524(-11)
9		.993(-13)	.350(-12)	.107(-11)	.359(-11)	.115(-10)	.905(-11)	.704(-11)	.598(-11)
10		.734(-13)	.240(-12)	.703(-12)	.217(-11)	.209(-10)	.123(-10)	.843(-11)	.689(-11)
11		.546(-13)	.165(-12)	.469(-12)	.137(-11)	.862(-11)	.215(-10)	.104(-10)	.806(-11)
12		.403(-13)	.113(-12)	.316(-12)	.897(-12)	.478(-11)	.925(-11)	.140(-10)	.961(-11)
13		.294(-13)	.784(-13)	.214(-12)	.596(-12)	.292(-11)	.518(-11)	.230(-10)	.118(-10)
14		.211(-13)	.547(-13)	.146(-12)	.401(-12)	.186(-11)	.318(-11)	.105(-10)	.155(-10)
15		.150(-13)	.383(-13)	.101(-12)	.271(-12)	.122(-11)	.204(-11)	.600(-11)	.245(-10)

Table CL		RIOS L2 REACTIVE					$T_{tr}=8000.$	$T_{rot}=1000.$	
v'	v	1	3	5	7	10	11	13	15
0		.407(-11)	.180(-11)	.141(-11)	.139(-11)	.166(-11)	.181(-11)	.216(-11)	.249(-11)
1		.873(-11)	.297(-11)	.209(-11)	.200(-11)	.233(-11)	.249(-11)	.270(-11)	.270(-11)
2		.293(-11)	.497(-11)	.295(-11)	.267(-11)	.292(-11)	.297(-11)	.292(-11)	.279(-11)
3		.130(-11)	.114(-10)	.416(-11)	.345(-11)	.339(-11)	.333(-11)	.317(-11)	.303(-11)
4		.692(-12)	.373(-11)	.634(-11)	.442(-11)	.387(-11)	.373(-11)	.353(-11)	.329(-11)
5		.414(-12)	.186(-11)	.153(-10)	.581(-11)	.447(-11)	.427(-11)	.393(-11)	.362(-11)
6		.268(-12)	.110(-11)	.493(-11)	.836(-11)	.529(-11)	.495(-11)	.442(-11)	.403(-11)
7		.182(-12)	.715(-12)	.266(-11)	.180(-10)	.641(-11)	.581(-11)	.505(-11)	.451(-11)
8		.129(-12)	.484(-12)	.162(-11)	.637(-11)	.807(-11)	.699(-11)	.583(-11)	.510(-11)
9		.946(-13)	.334(-12)	.103(-11)	.345(-11)	.111(-10)	.877(-11)	.683(-11)	.581(-11)
10		.700(-13)	.229(-12)	.672(-12)	.208(-11)	.202(-10)	.119(-10)	.818(-11)	.670(-11)
11		.519(-13)	.157(-12)	.448(-12)	.132(-11)	.832(-11)	.208(-10)	.101(-10)	.784(-11)
12		.383(-13)	.108(-12)	.302(-12)	.858(-12)	.460(-11)	.893(-11)	.135(-10)	.934(-11)
13		.279(-13)	.747(-13)	.205(-12)	.569(-12)	.280(-11)	.499(-11)	.223(-10)	.115(-10)
14		.201(-13)	.521(-13)	.139(-12)	.383(-12)	.179(-11)	.306(-11)	.101(-10)	.151(-10)
15		.143(-13)	.365(-13)	.963(-13)	.259(-12)	.116(-11)	.195(-11)	.578(-11)	.238(-10)

Virt&I-Comm.5.2014.11

Table CLI		RIOS L2 REACTIVE				$T_{tr}=8000.$	$T_{rot}=2000.$		
v'	v	1	3	5	7	10	11	13	15
0		.375(-11)	.166(-11)	.129(-11)	.128(-11)	.154(-11)	.169(-11)	.202(-11)	.234(-11)
1		.805(-11)	.274(-11)	.193(-11)	.185(-11)	.218(-11)	.233(-11)	.254(-11)	.255(-11)
2		.270(-11)	.460(-11)	.272(-11)	.248(-11)	.273(-11)	.279(-11)	.275(-11)	.263(-11)
3		.119(-11)	.105(-10)	.385(-11)	.321(-11)	.318(-11)	.312(-11)	.298(-11)	.286(-11)
4		.634(-12)	.344(-11)	.588(-11)	.411(-11)	.362(-11)	.350(-11)	.332(-11)	.310(-11)
5		.379(-12)	.172(-11)	.142(-10)	.541(-11)	.419(-11)	.400(-11)	.369(-11)	.341(-11)
6		.245(-12)	.101(-11)	.456(-11)	.780(-11)	.495(-11)	.464(-11)	.416(-11)	.380(-11)
7		.167(-12)	.656(-12)	.246(-11)	.168(-10)	.600(-11)	.545(-11)	.475(-11)	.425(-11)
8		.118(-12)	.444(-12)	.149(-11)	.592(-11)	.756(-11)	.656(-11)	.549(-11)	.481(-11)
9		.864(-13)	.306(-12)	.949(-12)	.319(-11)	.104(-10)	.823(-11)	.643(-11)	.549(-11)
10		.639(-13)	.210(-12)	.617(-12)	.192(-11)	.189(-10)	.112(-10)	.770(-11)	.632(-11)
11		.474(-13)	.144(-12)	.411(-12)	.121(-11)	.775(-11)	.195(-10)	.956(-11)	.740(-11)
12		.350(-13)	.987(-13)	.277(-12)	.789(-12)	.427(-11)	.833(-11)	.128(-10)	.882(-11)
13		.255(-13)	.682(-13)	.187(-12)	.523(-12)	.259(-11)	.463(-11)	.209(-10)	.108(-10)
14		.183(-13)	.475(-13)	.127(-12)	.351(-12)	.165(-11)	.283(-11)	.949(-11)	.143(-10)
15		.130(-13)	.333(-13)	.880(-13)	.237(-12)	.107(-11)	.180(-11)	.538(-11)	.224(-10)

Table CLII		RIOS L2 REACTIVE				$T_{tr}=8000.$	$T_{rot}=4000.$		
v'	v	1	3	5	7	10	11	13	15
0		.323(-11)	.142(-11)	.111(-11)	.110(-11)	.134(-11)	.147(-11)	.178(-11)	.208(-11)
1		.695(-11)	.236(-11)	.167(-11)	.160(-11)	.191(-11)	.205(-11)	.226(-11)	.228(-11)
2		.232(-11)	.398(-11)	.236(-11)	.216(-11)	.241(-11)	.247(-11)	.244(-11)	.234(-11)
3		.102(-11)	.917(-11)	.334(-11)	.280(-11)	.280(-11)	.276(-11)	.264(-11)	.255(-11)
4		.542(-12)	.298(-11)	.512(-11)	.360(-11)	.319(-11)	.309(-11)	.294(-11)	.276(-11)
5		.324(-12)	.148(-11)	.124(-10)	.474(-11)	.369(-11)	.354(-11)	.328(-11)	.304(-11)
6		.209(-12)	.874(-12)	.396(-11)	.684(-11)	.437(-11)	.410(-11)	.369(-11)	.339(-11)
7		.142(-12)	.563(-12)	.213(-11)	.148(-10)	.529(-11)	.482(-11)	.422(-11)	.378(-11)
8		.101(-12)	.380(-12)	.128(-11)	.516(-11)	.667(-11)	.580(-11)	.487(-11)	.428(-11)
9		.735(-13)	.262(-12)	.816(-12)	.277(-11)	.922(-11)	.728(-11)	.570(-11)	.489(-11)
10		.543(-13)	.179(-12)	.530(-12)	.166(-11)	.167(-10)	.996(-11)	.684(-11)	.563(-11)
11		.403(-13)	.122(-12)	.352(-12)	.104(-11)	.679(-11)	.172(-10)	.849(-11)	.659(-11)
12		.297(-13)	.841(-13)	.237(-12)	.678(-12)	.372(-11)	.731(-11)	.113(-10)	.786(-11)
13		.216(-13)	.580(-13)	.160(-12)	.449(-12)	.225(-11)	.404(-11)	.185(-10)	.968(-11)
14		.155(-13)	.404(-13)	.109(-12)	.300(-12)	.142(-11)	.246(-11)	.835(-11)	.127(-10)
15		.110(-13)	.283(-13)	.750(-13)	.203(-12)	.928(-12)	.156(-11)	.470(-11)	.199(-10)

Virt&I-Comm.5.2014.11

Table CLIII		RIOS L3 REACTIVE				$T_{tr}=500.$		$T_{rot}=500.$	
v'	v	10	15	20	25	30	35	40	43
0		.214(-16)	.318(-14)	.199(-13)	.421(-13)	.365(-13)	.300(-13)	.206(-13)	.247(-13)
1		.893(-16)	.331(-14)	.124(-13)	.388(-13)	.374(-13)	.344(-13)	.232(-13)	.264(-13)
2		.149(-15)	.255(-14)	.126(-13)	.278(-13)	.367(-13)	.383(-13)	.261(-13)	.298(-13)
3		.141(-15)	.319(-14)	.125(-13)	.283(-13)	.306(-13)	.399(-13)	.296(-13)	.317(-13)
4		.124(-15)	.278(-14)	.120(-13)	.333(-13)	.295(-13)	.381(-13)	.264(-13)	.327(-13)
5		.160(-15)	.343(-14)	.139(-13)	.272(-13)	.392(-13)	.290(-13)	.320(-13)	.399(-13)
6		.213(-15)	.380(-14)	.155(-13)	.378(-13)	.308(-13)	.430(-13)	.279(-13)	.295(-13)
7		.251(-15)	.381(-14)	.148(-13)	.380(-13)	.418(-13)	.417(-13)	.304(-13)	.357(-13)
8		.319(-15)	.466(-14)	.175(-13)	.369(-13)	.401(-13)	.478(-13)	.303(-13)	.354(-13)
9		.476(-15)	.546(-14)	.212(-13)	.492(-13)	.506(-13)	.453(-13)	.380(-13)	.410(-13)
10		.548(-15)	.598(-14)	.200(-13)	.450(-13)	.483(-13)	.553(-13)	.377(-13)	.477(-13)
11		.350(-17)	.670(-14)	.244(-13)	.581(-13)	.598(-13)	.586(-13)	.429(-13)	.453(-13)
12		.192(-19)	.813(-14)	.272(-13)	.584(-13)	.612(-13)	.666(-13)	.465(-13)	.532(-13)
13		.129(-21)	.100(-13)	.288(-13)	.678(-13)	.720(-13)	.741(-13)	.515(-13)	.570(-13)
14		.944(-24)	.122(-13)	.344(-13)	.744(-13)	.778(-13)	.822(-13)	.570(-13)	.605(-13)
15			.132(-13)	.388(-13)	.821(-13)	.891(-13)	.916(-13)	.607(-13)	.693(-13)
16			.108(-15)	.455(-13)	.935(-13)	.983(-13)	.105(-12)	.713(-13)	.758(-13)
17			.783(-18)	.547(-13)	.104(-12)	.110(-12)	.115(-12)	.789(-13)	.866(-13)
18			.630(-20)	.673(-13)	.118(-12)	.122(-12)	.129(-12)	.882(-13)	.971(-13)
19			.573(-22)	.851(-13)	.136(-12)	.140(-12)	.149(-12)	.101(-12)	.106(-12)
20			.545(-24)	.972(-13)	.159(-12)	.155(-12)	.167(-12)	.111(-12)	.123(-12)
21				.973(-15)	.190(-12)	.176(-12)	.191(-12)	.127(-12)	.133(-12)
22				.930(-17)	.230(-12)	.200(-12)	.217(-12)	.143(-12)	.152(-12)
23				.112(-18)	.290(-12)	.226(-12)	.248(-12)	.162(-12)	.170(-12)
24				.169(-20)	.364(-12)	.262(-12)	.284(-12)	.186(-12)	.192(-12)
25				.267(-22)	.414(-12)	.304(-12)	.325(-12)	.211(-12)	.221(-12)
26				.393(-24)	.550(-14)	.359(-12)	.373(-12)	.244(-12)	.250(-12)
27					.792(-16)	.438(-12)	.428(-12)	.281(-12)	.289(-12)
28					.189(-17)	.546(-12)	.496(-12)	.324(-12)	.330(-12)
29					.328(-19)	.693(-12)	.572(-12)	.377(-12)	.383(-12)
30					.775(-21)	.796(-12)	.670(-12)	.437(-12)	.439(-12)
31					.205(-22)	.241(-13)	.794(-12)	.512(-12)	.515(-12)
32					.541(-24)	.595(-15)	.958(-12)	.599(-12)	.596(-12)
33					.169(-25)	.173(-16)	.118(-11)	.708(-12)	.699(-12)
34						.592(-18)	.150(-11)	.842(-12)	.820(-12)
35						.167(-19)	.180(-11)	.100(-11)	.969(-12)
36						.865(-21)	.910(-13)	.122(-11)	.114(-11)
37						.386(-22)	.361(-14)	.149(-11)	.137(-11)
38						.147(-23)	.129(-15)	.187(-11)	.165(-11)
39						.853(-25)	.715(-17)	.239(-11)	.202(-11)
40							.478(-18)	.292(-11)	.252(-11)
41							.318(-19)	.302(-12)	.323(-11)
42							.228(-20)	.195(-13)	.422(-11)
43							.177(-21)	.139(-14)	.529(-11)

Virt&I-Comm.5.2014.11

Table CLIV		RIOS L3 REACTIVE				$T_{tr}=500.$	$T_{rot}=1000.$		
v'	v	10	15	20	25	30	35	40	43
0		.145(-16)	.217(-14)	.137(-13)	.291(-13)	.254(-13)	.208(-13)	.144(-13)	.175(-13)
1		.604(-16)	.225(-14)	.851(-14)	.268(-13)	.260(-13)	.239(-13)	.162(-13)	.187(-13)
2		.101(-15)	.173(-14)	.868(-14)	.192(-13)	.255(-13)	.266(-13)	.182(-13)	.212(-13)
3		.960(-16)	.217(-14)	.858(-14)	.196(-13)	.213(-13)	.277(-13)	.207(-13)	.225(-13)
4		.844(-16)	.189(-14)	.824(-14)	.230(-13)	.205(-13)	.265(-13)	.185(-13)	.232(-13)
5		.108(-15)	.234(-14)	.957(-14)	.188(-13)	.273(-13)	.201(-13)	.224(-13)	.283(-13)
6		.144(-15)	.259(-14)	.106(-13)	.262(-13)	.213(-13)	.298(-13)	.195(-13)	.209(-13)
7		.170(-15)	.259(-14)	.101(-13)	.262(-13)	.291(-13)	.289(-13)	.213(-13)	.254(-13)
8		.216(-15)	.317(-14)	.120(-13)	.255(-13)	.278(-13)	.332(-13)	.212(-13)	.251(-13)
9		.322(-15)	.372(-14)	.145(-13)	.340(-13)	.352(-13)	.314(-13)	.266(-13)	.290(-13)
10		.371(-15)	.407(-14)	.137(-13)	.310(-13)	.335(-13)	.384(-13)	.264(-13)	.339(-13)
11		.236(-17)	.456(-14)	.167(-13)	.401(-13)	.416(-13)	.407(-13)	.300(-13)	.321(-13)
12		.129(-19)	.554(-14)	.186(-13)	.404(-13)	.425(-13)	.462(-13)	.325(-13)	.377(-13)
13		.866(-22)	.685(-14)	.197(-13)	.468(-13)	.500(-13)	.515(-13)	.360(-13)	.404(-13)
14		.633(-24)	.833(-14)	.236(-13)	.514(-13)	.540(-13)	.570(-13)	.399(-13)	.429(-13)
15			.902(-14)	.265(-13)	.568(-13)	.619(-13)	.636(-13)	.424(-13)	.492(-13)
16			.730(-16)	.312(-13)	.646(-13)	.682(-13)	.730(-13)	.499(-13)	.537(-13)
17			.527(-18)	.375(-13)	.720(-13)	.766(-13)	.804(-13)	.552(-13)	.614(-13)
18			.423(-20)	.461(-13)	.818(-13)	.850(-13)	.899(-13)	.617(-13)	.688(-13)
19			.384(-22)	.583(-13)	.939(-13)	.977(-13)	.104(-12)	.710(-13)	.751(-13)
20			.365(-24)	.666(-13)	.110(-12)	.108(-12)	.116(-12)	.780(-13)	.877(-13)
21				.659(-15)	.131(-12)	.122(-12)	.133(-12)	.891(-13)	.942(-13)
22				.627(-17)	.159(-12)	.139(-12)	.151(-12)	.100(-12)	.108(-12)
23				.755(-19)	.201(-12)	.157(-12)	.172(-12)	.113(-12)	.120(-12)
24				.114(-20)	.252(-12)	.181(-12)	.197(-12)	.130(-12)	.136(-12)
25				.179(-22)	.286(-12)	.211(-12)	.225(-12)	.148(-12)	.156(-12)
26				.263(-24)	.373(-14)	.249(-12)	.259(-12)	.170(-12)	.177(-12)
27					.535(-16)	.304(-12)	.297(-12)	.197(-12)	.205(-12)
28					.127(-17)	.379(-12)	.344(-12)	.226(-12)	.234(-12)
29					.220(-19)	.481(-12)	.397(-12)	.263(-12)	.271(-12)
30					.520(-21)	.553(-12)	.465(-12)	.306(-12)	.311(-12)
31					.137(-22)	.164(-13)	.551(-12)	.358(-12)	.365(-12)
32					.362(-24)	.403(-15)	.665(-12)	.419(-12)	.422(-12)
33					.113(-25)	.117(-16)	.821(-12)	.496(-12)	.495(-12)
34						.398(-18)	.104(-11)	.589(-12)	.581(-12)
35						.112(-19)	.125(-11)	.705(-12)	.686(-12)
36						.581(-21)	.622(-13)	.854(-12)	.814(-12)
37						.259(-22)	.245(-14)	.104(-11)	.974(-12)
38						.990(-24)	.872(-16)	.131(-11)	.117(-11)
39						.571(-25)	.482(-17)	.167(-11)	.143(-11)
40							.322(-18)	.204(-11)	.178(-11)
41							.213(-19)	.207(-12)	.228(-11)
42							.153(-20)	.132(-13)	.298(-11)
43							.119(-21)	.947(-15)	.374(-11)

Virt&I-Comm.5.2014.11

Table CLV		RIOS L3 REACTIVE				$T_{tr}=500.$	$T_{rot}=2000.$		
v'	v	10	15	20	25	30	35	40	43
0		.882(-17)	.132(-14)	.840(-14)	.180(-13)	.158(-13)	.129(-13)	.900(-14)	.110(-13)
1		.367(-16)	.137(-14)	.522(-14)	.165(-13)	.161(-13)	.148(-13)	.101(-13)	.118(-13)
2		.613(-16)	.106(-14)	.532(-14)	.118(-13)	.158(-13)	.165(-13)	.113(-13)	.133(-13)
3		.583(-16)	.132(-14)	.526(-14)	.121(-13)	.132(-13)	.172(-13)	.129(-13)	.141(-13)
4		.513(-16)	.115(-14)	.505(-14)	.142(-13)	.127(-13)	.164(-13)	.115(-13)	.146(-13)
5		.660(-16)	.142(-14)	.586(-14)	.116(-13)	.169(-13)	.125(-13)	.139(-13)	.178(-13)
6		.878(-16)	.158(-14)	.654(-14)	.161(-13)	.132(-13)	.185(-13)	.121(-13)	.131(-13)
7		.103(-15)	.158(-14)	.623(-14)	.162(-13)	.180(-13)	.179(-13)	.132(-13)	.160(-13)
8		.131(-15)	.193(-14)	.735(-14)	.157(-13)	.172(-13)	.205(-13)	.132(-13)	.158(-13)
9		.195(-15)	.227(-14)	.891(-14)	.210(-13)	.218(-13)	.195(-13)	.165(-13)	.182(-13)
10		.225(-15)	.248(-14)	.840(-14)	.191(-13)	.208(-13)	.238(-13)	.164(-13)	.213(-13)
11		.143(-17)	.278(-14)	.102(-13)	.248(-13)	.257(-13)	.252(-13)	.187(-13)	.201(-13)
12		.779(-20)	.338(-14)	.114(-13)	.249(-13)	.263(-13)	.286(-13)	.202(-13)	.237(-13)
13		.522(-22)	.418(-14)	.121(-13)	.289(-13)	.310(-13)	.319(-13)	.224(-13)	.254(-13)
14		.381(-24)	.508(-14)	.144(-13)	.317(-13)	.335(-13)	.353(-13)	.248(-13)	.270(-13)
15			.550(-14)	.163(-13)	.350(-13)	.383(-13)	.394(-13)	.264(-13)	.309(-13)
16			.442(-16)	.191(-13)	.398(-13)	.423(-13)	.452(-13)	.310(-13)	.337(-13)
17			.319(-18)	.230(-13)	.444(-13)	.474(-13)	.497(-13)	.343(-13)	.386(-13)
18			.255(-20)	.282(-13)	.505(-13)	.526(-13)	.556(-13)	.384(-13)	.432(-13)
19			.232(-22)	.357(-13)	.579(-13)	.605(-13)	.644(-13)	.442(-13)	.471(-13)
20			.220(-24)	.408(-13)	.680(-13)	.670(-13)	.719(-13)	.485(-13)	.551(-13)
21				.400(-15)	.811(-13)	.758(-13)	.823(-13)	.555(-13)	.592(-13)
22				.379(-17)	.981(-13)	.860(-13)	.935(-13)	.625(-13)	.680(-13)
23				.456(-19)	.124(-12)	.971(-13)	.106(-12)	.707(-13)	.758(-13)
24				.688(-21)	.155(-12)	.112(-12)	.122(-12)	.810(-13)	.859(-13)
25				.108(-22)	.176(-12)	.130(-12)	.139(-12)	.922(-13)	.984(-13)
26				.159(-24)	.227(-14)	.154(-12)	.160(-12)	.106(-12)	.111(-12)
27					.324(-16)	.188(-12)	.184(-12)	.122(-12)	.128(-12)
28					.771(-18)	.235(-12)	.213(-12)	.141(-12)	.147(-12)
29					.133(-19)	.298(-12)	.246(-12)	.164(-12)	.170(-12)
30					.314(-21)	.342(-12)	.288(-12)	.190(-12)	.195(-12)
31					.830(-23)	.100(-13)	.341(-12)	.223(-12)	.229(-12)
32					.218(-24)	.244(-15)	.411(-12)	.261(-12)	.265(-12)
33						.709(-17)	.508(-12)	.308(-12)	.311(-12)
34						.241(-18)	.644(-12)	.367(-12)	.365(-12)
35						.677(-20)	.776(-12)	.439(-12)	.431(-12)
36						.350(-21)	.380(-13)	.532(-12)	.511(-12)
37						.156(-22)	.149(-14)	.652(-12)	.612(-12)
38						.596(-24)	.528(-16)	.816(-12)	.737(-12)
39						.344(-25)	.291(-17)	.104(-11)	.901(-12)
40							.194(-18)	.127(-11)	.112(-11)
41							.129(-19)	.127(-12)	.143(-11)
42							.924(-21)	.808(-14)	.187(-11)
43							.719(-22)	.575(-15)	.235(-11)

Virt&I-Comm.5.2014.11

Table CLVI		RIOS L3 REACTIVE				$T_{tr}=500.$	$T_{rot}=4000.$		
v'	v	10	15	20	25	30	35	40	43
0		.494(-17)	.744(-15)	.473(-14)	.101(-13)	.899(-14)	.733(-14)	.512(-14)	.635(-14)
1		.205(-16)	.773(-15)	.294(-14)	.939(-14)	.917(-14)	.840(-14)	.576(-14)	.677(-14)
2		.343(-16)	.596(-15)	.300(-14)	.671(-14)	.898(-14)	.936(-14)	.648(-14)	.764(-14)
3		.326(-16)	.746(-15)	.296(-14)	.685(-14)	.750(-14)	.975(-14)	.736(-14)	.812(-14)
4		.287(-16)	.649(-15)	.285(-14)	.804(-14)	.722(-14)	.931(-14)	.656(-14)	.839(-14)
5		.370(-16)	.802(-15)	.330(-14)	.658(-14)	.962(-14)	.708(-14)	.796(-14)	.102(-13)
6		.491(-16)	.889(-15)	.368(-14)	.915(-14)	.751(-14)	.105(-13)	.693(-14)	.753(-14)
7		.579(-16)	.889(-15)	.351(-14)	.917(-14)	.102(-13)	.101(-13)	.756(-14)	.917(-14)
8		.735(-16)	.108(-14)	.414(-14)	.890(-14)	.979(-14)	.116(-13)	.751(-14)	.906(-14)
9		.109(-15)	.127(-14)	.502(-14)	.118(-13)	.123(-13)	.110(-13)	.943(-14)	.104(-13)
10		.126(-15)	.139(-14)	.473(-14)	.108(-13)	.118(-13)	.135(-13)	.935(-14)	.122(-13)
11		.799(-18)	.156(-14)	.577(-14)	.140(-13)	.146(-13)	.143(-13)	.106(-13)	.115(-13)
12		.435(-20)	.189(-14)	.643(-14)	.141(-13)	.149(-13)	.162(-13)	.115(-13)	.136(-13)
13		.291(-22)	.235(-14)	.683(-14)	.163(-13)	.176(-13)	.180(-13)	.127(-13)	.145(-13)
14		.212(-24)	.285(-14)	.815(-14)	.179(-13)	.190(-13)	.200(-13)	.141(-13)	.154(-13)
15			.309(-14)	.918(-14)	.198(-13)	.217(-13)	.223(-13)	.150(-13)	.177(-13)
16			.247(-16)	.107(-13)	.225(-13)	.239(-13)	.256(-13)	.176(-13)	.193(-13)
17			.178(-18)	.129(-13)	.251(-13)	.269(-13)	.282(-13)	.195(-13)	.221(-13)
18			.142(-20)	.159(-13)	.285(-13)	.298(-13)	.315(-13)	.218(-13)	.247(-13)
19			.129(-22)	.201(-13)	.328(-13)	.343(-13)	.365(-13)	.251(-13)	.270(-13)
20			.122(-24)	.230(-13)	.384(-13)	.380(-13)	.407(-13)	.276(-13)	.315(-13)
21				.224(-15)	.459(-13)	.429(-13)	.467(-13)	.315(-13)	.338(-13)
22				.212(-17)	.555(-13)	.488(-13)	.530(-13)	.355(-13)	.389(-13)
23				.254(-19)	.702(-13)	.550(-13)	.605(-13)	.402(-13)	.434(-13)
24				.383(-21)	.880(-13)	.638(-13)	.692(-13)	.461(-13)	.491(-13)
25				.602(-23)	.999(-13)	.741(-13)	.792(-13)	.524(-13)	.563(-13)
26				.885(-25)	.127(-14)	.877(-13)	.910(-13)	.605(-13)	.639(-13)
27					.181(-16)	.106(-12)	.104(-12)	.698(-13)	.737(-13)
28					.430(-18)	.133(-12)	.121(-12)	.803(-13)	.842(-13)
29					.744(-20)	.169(-12)	.139(-12)	.934(-13)	.976(-13)
30					.175(-21)	.194(-12)	.163(-12)	.108(-12)	.112(-12)
31					.462(-23)	.563(-14)	.193(-12)	.127(-12)	.131(-12)
32					.121(-24)	.137(-15)	.233(-12)	.148(-12)	.152(-12)
33						.396(-17)	.288(-12)	.175(-12)	.178(-12)
34						.134(-18)	.365(-12)	.208(-12)	.209(-12)
35						.377(-20)	.440(-12)	.249(-12)	.246(-12)
36						.195(-21)	.214(-13)	.302(-12)	.292(-12)
37						.871(-23)	.835(-15)	.371(-12)	.350(-12)
38						.332(-24)	.295(-16)	.464(-12)	.422(-12)
39						.191(-25)	.162(-17)	.594(-12)	.515(-12)
40							.108(-18)	.725(-12)	.642(-12)
41							.720(-20)	.718(-13)	.821(-12)
42							.515(-21)	.454(-14)	.107(-11)
43							.401(-22)	.322(-15)	.134(-11)

Virt&I-Comm.5.2014.11

Table CLVII		RIOS L3 REACTIVE				$T_{tr}=1000.$	$T_{rot}= 500.$		
v'	v	5	10	15	20	25	30	35	40
0		.735(-17)	.385(-14)	.841(-13)	.214(-12)	.237(-12)	.171(-12)	.125(-12)	.736(-13)
1		.515(-16)	.141(-13)	.827(-13)	.137(-12)	.226(-12)	.187(-12)	.144(-12)	.834(-13)
2		.188(-15)	.212(-13)	.706(-13)	.141(-12)	.171(-12)	.187(-12)	.160(-12)	.944(-13)
3		.494(-15)	.200(-13)	.860(-13)	.146(-12)	.175(-12)	.161(-12)	.166(-12)	.106(-12)
4		.120(-14)	.196(-13)	.797(-13)	.145(-12)	.201(-12)	.160(-12)	.158(-12)	.986(-13)
5		.520(-14)	.249(-13)	.955(-13)	.167(-12)	.183(-12)	.197(-12)	.132(-12)	.112(-12)
6		.238(-15)	.306(-13)	.103(-12)	.179(-12)	.234(-12)	.176(-12)	.178(-12)	.105(-12)
7		.167(-16)	.358(-13)	.111(-12)	.183(-12)	.245(-12)	.211(-12)	.183(-12)	.112(-12)
8		.117(-17)	.460(-13)	.132(-12)	.212(-12)	.245(-12)	.227(-12)	.204(-12)	.116(-12)
9		.883(-19)	.668(-13)	.151(-12)	.250(-12)	.299(-12)	.266(-12)	.202(-12)	.137(-12)
10		.764(-20)	.873(-13)	.170(-12)	.256(-12)	.305(-12)	.273(-12)	.236(-12)	.146(-12)
11		.647(-21)	.573(-14)	.195(-12)	.298(-12)	.368(-12)	.317(-12)	.258(-12)	.163(-12)
12		.507(-22)	.382(-15)	.234(-12)	.331(-12)	.390(-12)	.339(-12)	.291(-12)	.180(-12)
13		.399(-23)	.287(-16)	.290(-12)	.365(-12)	.445(-12)	.386(-12)	.326(-12)	.197(-12)
14		.345(-24)	.225(-17)	.364(-12)	.426(-12)	.492(-12)	.431(-12)	.362(-12)	.216(-12)
15		.316(-25)	.179(-18)	.424(-12)	.486(-12)	.549(-12)	.488(-12)	.404(-12)	.235(-12)
16			.145(-19)	.338(-13)	.572(-12)	.620(-12)	.544(-12)	.456(-12)	.270(-12)
17			.128(-20)	.257(-14)	.684(-12)	.697(-12)	.609(-12)	.505(-12)	.302(-12)
18			.120(-21)	.212(-15)	.838(-12)	.793(-12)	.684(-12)	.566(-12)	.341(-12)
19			.111(-22)	.189(-16)	.105(-11)	.913(-12)	.779(-12)	.648(-12)	.389(-12)
20			.102(-23)	.176(-17)	.123(-11)	.106(-11)	.872(-12)	.731(-12)	.433(-12)
21			.102(-24)	.173(-18)	.115(-12)	.125(-11)	.989(-12)	.833(-12)	.490(-12)
22			.109(-25)	.176(-19)	.104(-13)	.151(-11)	.112(-11)	.944(-12)	.551(-12)
23				.188(-20)	.102(-14)	.187(-11)	.128(-11)	.107(-11)	.623(-12)
24				.218(-21)	.112(-15)	.232(-11)	.148(-11)	.122(-11)	.709(-12)
25				.263(-22)	.132(-16)	.271(-11)	.172(-11)	.140(-11)	.806(-12)
26				.318(-23)	.158(-17)	.301(-12)	.204(-11)	.160(-11)	.925(-12)
27				.398(-24)	.192(-18)	.328(-13)	.246(-11)	.184(-11)	.106(-11)
28				.566(-25)	.267(-19)	.440(-14)	.302(-11)	.213(-11)	.122(-11)
29					.374(-20)	.576(-15)	.379(-11)	.246(-11)	.141(-11)
30					.538(-21)	.790(-16)	.450(-11)	.289(-11)	.163(-11)
31					.831(-22)	.123(-16)	.690(-12)	.343(-11)	.190(-11)
32					.132(-22)	.186(-17)	.965(-13)	.414(-11)	.221(-11)
33					.223(-23)	.318(-18)	.155(-13)	.512(-11)	.261(-11)
34					.393(-24)	.548(-19)	.252(-14)	.649(-11)	.309(-11)
35					.694(-25)	.983(-20)	.432(-15)	.793(-11)	.369(-11)
36					.137(-25)	.193(-20)	.855(-16)	.148(-11)	.446(-11)
37						.389(-21)	.164(-16)	.257(-12)	.547(-11)
38						.761(-22)	.326(-17)	.479(-13)	.687(-11)
39						.171(-22)	.739(-18)	.103(-13)	.887(-11)
40						.396(-23)	.170(-18)	.236(-14)	.111(-10)

Virt&I-Comm.5.2014.11

Table CLVIII		RIOS L3 REACTIVE				$T_{tr}=1000.$		$T_{rot}=1000.$	
v'	v	5	10	15	20	25	30	35	40
0		.559(-17)	.296(-14)	.653(-13)	.168(-12)	.188(-12)	.136(-12)	.100(-12)	.590(-13)
1		.392(-16)	.108(-13)	.643(-13)	.107(-12)	.179(-12)	.148(-12)	.115(-12)	.669(-13)
2		.143(-15)	.163(-13)	.548(-13)	.111(-12)	.136(-12)	.149(-12)	.128(-12)	.757(-13)
3		.377(-15)	.154(-13)	.668(-13)	.114(-12)	.138(-12)	.128(-12)	.132(-12)	.851(-13)
4		.917(-15)	.151(-13)	.619(-13)	.113(-12)	.159(-12)	.127(-12)	.126(-12)	.790(-13)
5		.396(-14)	.192(-13)	.742(-13)	.131(-12)	.144(-12)	.157(-12)	.105(-12)	.899(-13)
6		.181(-15)	.236(-13)	.801(-13)	.140(-12)	.185(-12)	.139(-12)	.142(-12)	.847(-13)
7		.127(-16)	.275(-13)	.863(-13)	.143(-12)	.193(-12)	.168(-12)	.146(-12)	.901(-13)
8		.890(-18)	.354(-13)	.103(-12)	.166(-12)	.193(-12)	.180(-12)	.162(-12)	.932(-13)
9		.668(-19)	.514(-13)	.118(-12)	.196(-12)	.237(-12)	.211(-12)	.161(-12)	.110(-12)
10		.577(-20)	.671(-13)	.132(-12)	.200(-12)	.241(-12)	.216(-12)	.188(-12)	.117(-12)
11		.489(-21)	.438(-14)	.151(-12)	.233(-12)	.291(-12)	.252(-12)	.205(-12)	.130(-12)
12		.383(-22)	.291(-15)	.182(-12)	.259(-12)	.308(-12)	.269(-12)	.232(-12)	.144(-12)
13		.301(-23)	.218(-16)	.225(-12)	.286(-12)	.351(-12)	.306(-12)	.260(-12)	.158(-12)
14		.260(-24)	.170(-17)	.282(-12)	.333(-12)	.388(-12)	.342(-12)	.288(-12)	.173(-12)
15		.238(-25)	.135(-18)	.328(-12)	.380(-12)	.434(-12)	.387(-12)	.322(-12)	.188(-12)
16			.110(-19)	.259(-13)	.447(-12)	.489(-12)	.432(-12)	.364(-12)	.216(-12)
17			.968(-21)	.196(-14)	.535(-12)	.550(-12)	.483(-12)	.403(-12)	.242(-12)
18			.908(-22)	.161(-15)	.655(-12)	.626(-12)	.542(-12)	.451(-12)	.273(-12)
19			.837(-23)	.143(-16)	.821(-12)	.721(-12)	.618(-12)	.517(-12)	.312(-12)
20			.771(-24)	.133(-17)	.962(-12)	.839(-12)	.692(-12)	.583(-12)	.346(-12)
21			.773(-25)	.131(-18)	.887(-13)	.993(-12)	.784(-12)	.664(-12)	.393(-12)
22				.133(-19)	.801(-14)	.119(-11)	.889(-12)	.753(-12)	.441(-12)
23				.142(-20)	.783(-15)	.147(-11)	.101(-11)	.856(-12)	.499(-12)
24				.164(-21)	.852(-16)	.184(-11)	.117(-11)	.977(-12)	.567(-12)
25				.198(-22)	.100(-16)	.214(-11)	.136(-11)	.111(-11)	.645(-12)
26				.240(-23)	.120(-17)	.233(-12)	.161(-11)	.128(-11)	.741(-12)
27				.300(-24)	.145(-18)	.251(-13)	.195(-11)	.147(-11)	.852(-12)
28				.427(-25)	.202(-19)	.336(-14)	.240(-11)	.170(-11)	.980(-12)
29					.282(-20)	.438(-15)	.301(-11)	.196(-11)	.113(-11)
30					.406(-21)	.600(-16)	.357(-11)	.230(-11)	.130(-11)
31					.627(-22)	.934(-17)	.536(-12)	.274(-11)	.152(-11)
32					.999(-23)	.141(-17)	.742(-13)	.331(-11)	.177(-11)
33					.168(-23)	.241(-18)	.118(-13)	.408(-11)	.209(-11)
34					.296(-24)	.415(-19)	.192(-14)	.518(-11)	.247(-11)
35					.523(-25)	.743(-20)	.329(-15)	.633(-11)	.296(-11)
36					.103(-25)	.146(-20)	.649(-16)	.115(-11)	.358(-11)
37						.294(-21)	.124(-16)	.199(-12)	.439(-11)
38						.574(-22)	.247(-17)	.367(-13)	.551(-11)
39						.129(-22)	.559(-18)	.791(-14)	.711(-11)
40						.299(-23)	.129(-18)	.180(-14)	.891(-11)

Virt&I-Comm.5.2014.11

Table CLIX		RIOS L3 REACTIVE				$T_{tr}=1000.$		$T_{rot}=2000.$	
v'	v	5	10	15	20	25	30	35	40
0		.378(-17)	.202(-14)	.451(-13)	.117(-12)	.132(-12)	.960(-13)	.709(-13)	.419(-13)
1		.265(-16)	.740(-14)	.443(-13)	.747(-13)	.126(-12)	.104(-12)	.813(-13)	.475(-13)
2		.970(-16)	.112(-13)	.378(-13)	.773(-13)	.953(-13)	.104(-12)	.905(-13)	.537(-13)
3		.255(-15)	.105(-13)	.461(-13)	.795(-13)	.971(-13)	.903(-13)	.940(-13)	.604(-13)
4		.621(-15)	.103(-13)	.426(-13)	.790(-13)	.112(-12)	.896(-13)	.896(-13)	.560(-13)
5		.268(-14)	.131(-13)	.511(-13)	.913(-13)	.101(-12)	.110(-12)	.742(-13)	.639(-13)
6		.122(-15)	.161(-13)	.552(-13)	.977(-13)	.130(-12)	.981(-13)	.100(-12)	.600(-13)
7		.856(-17)	.188(-13)	.595(-13)	.999(-13)	.135(-12)	.118(-12)	.103(-12)	.639(-13)
8		.599(-18)	.242(-13)	.709(-13)	.115(-12)	.135(-12)	.127(-12)	.115(-12)	.661(-13)
9		.449(-19)	.351(-13)	.813(-13)	.136(-12)	.166(-12)	.149(-12)	.113(-12)	.784(-13)
10		.388(-20)	.458(-13)	.912(-13)	.139(-12)	.169(-12)	.152(-12)	.133(-12)	.830(-13)
11		.328(-21)	.297(-14)	.104(-12)	.162(-12)	.204(-12)	.177(-12)	.145(-12)	.926(-13)
12		.257(-22)	.197(-15)	.125(-12)	.180(-12)	.216(-12)	.189(-12)	.164(-12)	.102(-12)
13		.202(-23)	.147(-16)	.155(-12)	.198(-12)	.246(-12)	.215(-12)	.183(-12)	.112(-12)
14		.174(-24)	.115(-17)	.194(-12)	.231(-12)	.272(-12)	.240(-12)	.203(-12)	.123(-12)
15		.159(-25)	.911(-19)	.226(-12)	.264(-12)	.304(-12)	.272(-12)	.227(-12)	.133(-12)
16			.741(-20)	.176(-13)	.311(-12)	.343(-12)	.303(-12)	.257(-12)	.153(-12)
17			.650(-21)	.133(-14)	.371(-12)	.385(-12)	.339(-12)	.284(-12)	.171(-12)
18			.609(-22)	.109(-15)	.455(-12)	.438(-12)	.381(-12)	.319(-12)	.193(-12)
19			.561(-23)	.969(-17)	.570(-12)	.505(-12)	.434(-12)	.365(-12)	.221(-12)
20			.517(-24)	.898(-18)	.668(-12)	.588(-12)	.486(-12)	.411(-12)	.245(-12)
21			.518(-25)	.881(-19)	.607(-13)	.695(-12)	.551(-12)	.469(-12)	.278(-12)
22				.895(-20)	.544(-14)	.836(-12)	.624(-12)	.532(-12)	.313(-12)
23				.957(-21)	.530(-15)	.103(-11)	.714(-12)	.605(-12)	.353(-12)
24				.110(-21)	.575(-16)	.129(-11)	.825(-12)	.691(-12)	.402(-12)
25				.133(-22)	.676(-17)	.150(-11)	.961(-12)	.790(-12)	.457(-12)
26				.161(-23)	.809(-18)	.160(-12)	.113(-11)	.906(-12)	.525(-12)
27				.201(-24)	.976(-19)	.171(-13)	.137(-11)	.103(-11)	.604(-12)
28				.286(-25)	.135(-19)	.228(-14)	.168(-11)	.120(-11)	.695(-12)
29					.189(-20)	.296(-15)	.211(-11)	.139(-11)	.804(-12)
30					.272(-21)	.405(-16)	.251(-11)	.163(-11)	.928(-12)
31					.421(-22)	.630(-17)	.369(-12)	.193(-11)	.108(-11)
32					.670(-23)	.950(-18)	.507(-13)	.233(-11)	.126(-11)
33					.112(-23)	.162(-18)	.807(-14)	.289(-11)	.148(-11)
34					.198(-24)	.279(-19)	.130(-14)	.366(-11)	.175(-11)
35					.350(-25)	.499(-20)	.222(-15)	.447(-11)	.210(-11)
36						.981(-21)	.438(-16)	.802(-12)	.254(-11)
37						.197(-21)	.842(-17)	.136(-12)	.311(-11)
38						.385(-22)	.166(-17)	.250(-13)	.391(-11)
39						.867(-23)	.376(-18)	.537(-14)	.504(-11)
40						.200(-23)	.868(-19)	.122(-14)	.631(-11)

Virt&I-Comm.5.2014.11

Table CLX		RIOS L3 REACTIVE				$T_{tr}=1000.$		$T_{rot}=4000.$	
v'	v	5	10	15	20	25	30	35	40
0		.229(-17)	.123(-14)	.277(-13)	.726(-13)	.825(-13)	.601(-13)	.445(-13)	.264(-13)
1		.160(-16)	.453(-14)	.273(-13)	.463(-13)	.786(-13)	.656(-13)	.510(-13)	.299(-13)
2		.588(-16)	.685(-14)	.233(-13)	.479(-13)	.594(-13)	.656(-13)	.568(-13)	.338(-13)
3		.155(-15)	.644(-14)	.284(-13)	.492(-13)	.605(-13)	.565(-13)	.590(-13)	.380(-13)
4		.377(-15)	.631(-14)	.262(-13)	.489(-13)	.698(-13)	.560(-13)	.562(-13)	.352(-13)
5		.163(-14)	.803(-14)	.315(-13)	.565(-13)	.630(-13)	.693(-13)	.465(-13)	.402(-13)
6		.742(-16)	.986(-14)	.340(-13)	.605(-13)	.811(-13)	.613(-13)	.632(-13)	.377(-13)
7		.518(-17)	.115(-13)	.366(-13)	.618(-13)	.846(-13)	.740(-13)	.647(-13)	.402(-13)
8		.362(-18)	.148(-13)	.437(-13)	.716(-13)	.844(-13)	.792(-13)	.722(-13)	.415(-13)
9		.271(-19)	.215(-13)	.501(-13)	.846(-13)	.103(-12)	.931(-13)	.714(-13)	.493(-13)
10		.234(-20)	.280(-13)	.561(-13)	.862(-13)	.105(-12)	.950(-13)	.836(-13)	.521(-13)
11		.198(-21)	.181(-14)	.642(-13)	.100(-12)	.127(-12)	.110(-12)	.911(-13)	.582(-13)
12		.155(-22)	.119(-15)	.773(-13)	.111(-12)	.134(-12)	.118(-12)	.102(-12)	.642(-13)
13		.121(-23)	.891(-17)	.957(-13)	.123(-12)	.153(-12)	.134(-12)	.115(-12)	.704(-13)
14		.105(-24)	.695(-18)	.119(-12)	.143(-12)	.169(-12)	.150(-12)	.127(-12)	.774(-13)
15			.551(-19)	.139(-12)	.163(-12)	.189(-12)	.170(-12)	.142(-12)	.837(-13)
16			.447(-20)	.108(-13)	.192(-12)	.213(-12)	.189(-12)	.161(-12)	.964(-13)
17			.392(-21)	.811(-15)	.230(-12)	.240(-12)	.212(-12)	.178(-12)	.108(-12)
18			.367(-22)	.662(-16)	.282(-12)	.273(-12)	.238(-12)	.200(-12)	.121(-12)
19			.338(-23)	.587(-17)	.353(-12)	.314(-12)	.271(-12)	.229(-12)	.139(-12)
20			.311(-24)	.543(-18)	.413(-12)	.366(-12)	.303(-12)	.258(-12)	.154(-12)
21			.312(-25)	.532(-19)	.371(-13)	.433(-12)	.344(-12)	.294(-12)	.175(-12)
22				.540(-20)	.331(-14)	.521(-12)	.390(-12)	.333(-12)	.196(-12)
23				.577(-21)	.321(-15)	.645(-12)	.446(-12)	.379(-12)	.222(-12)
24				.666(-22)	.348(-16)	.804(-12)	.515(-12)	.433(-12)	.253(-12)
25				.802(-23)	.409(-17)	.936(-12)	.600(-12)	.495(-12)	.287(-12)
26				.972(-24)	.489(-18)	.982(-13)	.709(-12)	.568(-12)	.330(-12)
27				.121(-24)	.590(-19)	.104(-13)	.856(-12)	.651(-12)	.380(-12)
28				.172(-25)	.820(-20)	.138(-14)	.105(-11)	.753(-12)	.437(-12)
29					.114(-20)	.179(-15)	.132(-11)	.872(-12)	.505(-12)
30					.164(-21)	.245(-16)	.156(-11)	.102(-11)	.583(-12)
31					.253(-22)	.381(-17)	.227(-12)	.121(-11)	.680(-12)
32					.404(-23)	.574(-18)	.310(-13)	.146(-11)	.792(-12)
33					.680(-24)	.980(-19)	.492(-14)	.181(-11)	.935(-12)
34					.119(-24)	.168(-19)	.793(-15)	.229(-11)	.110(-11)
35					.211(-25)	.301(-20)	.135(-15)	.280(-11)	.132(-11)
36						.592(-21)	.265(-16)	.495(-12)	.159(-11)
37						.119(-21)	.509(-17)	.837(-13)	.196(-11)
38						.232(-22)	.100(-17)	.152(-13)	.246(-11)
39						.523(-23)	.227(-18)	.327(-14)	.317(-11)
40						.120(-23)	.524(-19)	.743(-15)	.397(-11)

Virt&I-Comm.5.2014.11

Table CLXI		RIOS L3 REACTIVE			$T_{tr}=2000.$		$T_{rot}= 500.$		
v'	v	3	5	10	15	20	25	30	35
0		.190(-14)	.336(-14)	.810(-13)	.535(-12)	.827(-12)	.689(-12)	.456(-12)	.296(-12)
1		.942(-14)	.138(-13)	.230(-12)	.504(-12)	.565(-12)	.663(-12)	.502(-12)	.336(-12)
2		.332(-13)	.337(-13)	.313(-12)	.477(-12)	.578(-12)	.543(-12)	.499(-12)	.367(-12)
3		.129(-12)	.667(-13)	.312(-12)	.547(-12)	.614(-12)	.550(-12)	.453(-12)	.379(-12)
4		.122(-13)	.131(-12)	.331(-12)	.548(-12)	.629(-12)	.616(-12)	.461(-12)	.365(-12)
5		.277(-14)	.460(-12)	.399(-12)	.630(-12)	.711(-12)	.618(-12)	.527(-12)	.341(-12)
6		.911(-15)	.573(-13)	.478(-12)	.685(-12)	.755(-12)	.727(-12)	.523(-12)	.415(-12)
7		.307(-15)	.128(-13)	.572(-12)	.767(-12)	.818(-12)	.775(-12)	.597(-12)	.442(-12)
8		.971(-16)	.309(-14)	.732(-12)	.887(-12)	.927(-12)	.816(-12)	.657(-12)	.485(-12)
9		.273(-16)	.791(-15)	.103(-11)	.101(-11)	.105(-11)	.937(-12)	.746(-12)	.505(-12)
10		.714(-17)	.217(-15)	.150(-11)	.115(-11)	.114(-11)	.101(-11)	.793(-12)	.570(-12)
11		.186(-17)	.600(-16)	.305(-12)	.134(-11)	.129(-11)	.116(-11)	.892(-12)	.635(-12)
12		.521(-18)	.160(-16)	.688(-13)	.161(-11)	.145(-11)	.127(-11)	.976(-12)	.711(-12)
13		.153(-18)	.433(-17)	.171(-13)	.200(-11)	.163(-11)	.143(-11)	.109(-11)	.795(-12)
14		.453(-19)	.122(-17)	.441(-14)	.256(-11)	.188(-11)	.159(-11)	.123(-11)	.882(-12)
15		.129(-19)	.354(-18)	.116(-14)	.323(-11)	.217(-11)	.179(-11)	.138(-11)	.983(-12)
16		.358(-20)	.101(-18)	.315(-15)	.786(-12)	.255(-11)	.202(-11)	.154(-11)	.109(-11)
17		.100(-20)	.284(-19)	.886(-16)	.193(-12)	.305(-11)	.228(-11)	.172(-11)	.121(-11)
18		.292(-21)	.822(-20)	.258(-16)	.509(-13)	.372(-11)	.260(-11)	.193(-11)	.136(-11)
19		.895(-22)	.249(-20)	.757(-17)	.141(-13)	.466(-11)	.299(-11)	.219(-11)	.154(-11)
20		.281(-22)	.775(-21)	.222(-17)	.404(-14)	.570(-11)	.348(-11)	.246(-11)	.175(-11)
21		.884(-23)	.240(-21)	.675(-18)	.120(-14)	.156(-11)	.410(-11)	.279(-11)	.198(-11)
22		.274(-23)	.725(-22)	.211(-18)	.365(-15)	.428(-12)	.490(-11)	.317(-11)	.223(-11)
23		.863(-24)	.224(-22)	.665(-19)	.114(-15)	.123(-12)	.600(-11)	.364(-11)	.253(-11)
24		.278(-24)	.729(-23)	.214(-19)	.366(-16)	.375(-13)	.748(-11)	.420(-11)	.287(-11)
25		.916(-25)	.245(-23)	.717(-20)	.120(-16)	.120(-13)	.909(-11)	.490(-11)	.328(-11)
26		.305(-25)	.859(-24)	.246(-20)	.402(-17)	.393(-14)	.273(-11)	.580(-11)	.375(-11)
27		.104(-25)	.302(-24)	.850(-21)	.136(-17)	.130(-14)	.823(-12)	.696(-11)	.430(-11)
28			.112(-24)	.306(-21)	.488(-18)	.456(-15)	.272(-12)	.852(-11)	.496(-11)
29			.400(-25)	.107(-21)	.173(-18)	.162(-15)	.922(-13)	.107(-10)	.576(-11)
30			.145(-25)	.388(-22)	.644(-19)	.585(-16)	.319(-13)	.132(-10)	.676(-11)
31				.145(-22)	.241(-19)	.217(-16)	.117(-13)	.450(-11)	.803(-11)
32				.560(-23)	.920(-20)	.828(-17)	.433(-14)	.152(-11)	.970(-11)
33				.218(-23)	.355(-20)	.321(-17)	.167(-14)	.557(-12)	.119(-10)
34				.884(-24)	.142(-20)	.128(-17)	.654(-15)	.207(-12)	.152(-10)
35				.350(-24)	.574(-21)	.519(-18)	.265(-15)	.804(-13)	.193(-10)

Virt&I-Comm.5.2014.11

Table CLXII		RIOS L3 REACTIVE				$T_{tr}=2000.$	$T_{rot}=1000.$		
v'	v	3	5	10	15	20	25	30	35
0		.160(-14)	.285(-14)	.695(-13)	.465(-12)	.726(-12)	.610(-12)	.405(-12)	.264(-12)
1		.797(-14)	.117(-13)	.198(-12)	.439(-12)	.495(-12)	.586(-12)	.445(-12)	.300(-12)
2		.281(-13)	.286(-13)	.270(-12)	.414(-12)	.507(-12)	.479(-12)	.444(-12)	.328(-12)
3		.110(-12)	.567(-13)	.269(-12)	.475(-12)	.538(-12)	.486(-12)	.401(-12)	.338(-12)
4		.103(-13)	.111(-12)	.284(-12)	.476(-12)	.551(-12)	.544(-12)	.408(-12)	.326(-12)
5		.234(-14)	.392(-12)	.343(-12)	.548(-12)	.623(-12)	.545(-12)	.468(-12)	.303(-12)
6		.769(-15)	.486(-13)	.412(-12)	.596(-12)	.662(-12)	.642(-12)	.463(-12)	.370(-12)
7		.259(-15)	.108(-13)	.493(-12)	.666(-12)	.716(-12)	.684(-12)	.529(-12)	.394(-12)
8		.818(-16)	.261(-14)	.630(-12)	.771(-12)	.812(-12)	.719(-12)	.581(-12)	.432(-12)
9		.229(-16)	.667(-15)	.891(-12)	.878(-12)	.928(-12)	.827(-12)	.661(-12)	.450(-12)
10		.600(-17)	.183(-15)	.129(-11)	.100(-11)	.100(-11)	.895(-12)	.702(-12)	.508(-12)
11		.157(-17)	.505(-16)	.261(-12)	.117(-11)	.113(-11)	.103(-11)	.791(-12)	.565(-12)
12		.437(-18)	.135(-16)	.585(-13)	.140(-11)	.127(-11)	.112(-11)	.864(-12)	.633(-12)
13		.129(-18)	.364(-17)	.144(-13)	.174(-11)	.143(-11)	.126(-11)	.972(-12)	.709(-12)
14		.380(-19)	.102(-17)	.372(-14)	.223(-11)	.164(-11)	.141(-11)	.109(-11)	.786(-12)
15		.108(-19)	.297(-18)	.982(-15)	.280(-11)	.190(-11)	.158(-11)	.122(-11)	.876(-12)
16		.300(-20)	.847(-19)	.265(-15)	.674(-12)	.223(-11)	.178(-11)	.136(-11)	.977(-12)
17		.838(-21)	.238(-19)	.746(-16)	.165(-12)	.266(-11)	.201(-11)	.153(-11)	.108(-11)
18		.244(-21)	.689(-20)	.217(-16)	.432(-13)	.326(-11)	.229(-11)	.171(-11)	.121(-11)
19		.749(-22)	.208(-20)	.636(-17)	.119(-13)	.408(-11)	.264(-11)	.194(-11)	.138(-11)
20		.235(-22)	.649(-21)	.187(-17)	.342(-14)	.499(-11)	.307(-11)	.218(-11)	.156(-11)
21		.740(-23)	.201(-21)	.567(-18)	.101(-14)	.134(-11)	.361(-11)	.247(-11)	.176(-11)
22		.230(-23)	.607(-22)	.177(-18)	.308(-15)	.366(-12)	.433(-11)	.281(-11)	.199(-11)
23		.722(-24)	.187(-22)	.558(-19)	.961(-16)	.105(-12)	.530(-11)	.322(-11)	.225(-11)
24		.233(-24)	.610(-23)	.180(-19)	.308(-16)	.318(-13)	.660(-11)	.373(-11)	.256(-11)
25		.766(-25)	.205(-23)	.601(-20)	.101(-16)	.101(-13)	.802(-11)	.435(-11)	.292(-11)
26		.255(-25)	.719(-24)	.206(-20)	.338(-17)	.332(-14)	.236(-11)	.514(-11)	.334(-11)
27			.253(-24)	.712(-21)	.115(-17)	.110(-14)	.706(-12)	.617(-11)	.384(-11)
28			.942(-25)	.256(-21)	.410(-18)	.384(-15)	.232(-12)	.756(-11)	.443(-11)
29			.335(-25)	.896(-22)	.145(-18)	.136(-15)	.784(-13)	.948(-11)	.514(-11)
30			.121(-25)	.325(-22)	.540(-19)	.492(-16)	.271(-13)	.117(-10)	.604(-11)
31				.121(-22)	.202(-19)	.182(-16)	.994(-14)	.391(-11)	.717(-11)
32				.469(-23)	.771(-20)	.696(-17)	.366(-14)	.131(-11)	.866(-11)
33				.182(-23)	.298(-20)	.270(-17)	.141(-14)	.477(-12)	.107(-10)
34				.740(-24)	.119(-20)	.107(-17)	.552(-15)	.176(-12)	.136(-10)
35				.293(-24)	.481(-21)	.436(-18)	.223(-15)	.683(-13)	.172(-10)

Virt&I-Comm.5.2014.11

Table CLXIII		RIOS L3 REACTIVE			$T_{tr}=2000.$	$T_{rot}=2000.$			
v'	v	3	5	10	15	20	25	30	35
0		.122(-14)	.218(-14)	.540(-13)	.367(-12)	.579(-12)	.491(-12)	.328(-12)	.215(-12)
1		.609(-14)	.898(-14)	.154(-12)	.347(-12)	.394(-12)	.472(-12)	.360(-12)	.243(-12)
2		.215(-13)	.220(-13)	.210(-12)	.326(-12)	.404(-12)	.385(-12)	.358(-12)	.266(-12)
3		.843(-13)	.436(-13)	.209(-12)	.375(-12)	.428(-12)	.390(-12)	.323(-12)	.275(-12)
4		.788(-14)	.860(-13)	.221(-12)	.375(-12)	.438(-12)	.437(-12)	.329(-12)	.265(-12)
5		.179(-14)	.302(-12)	.268(-12)	.432(-12)	.496(-12)	.436(-12)	.378(-12)	.245(-12)
6		.586(-15)	.373(-13)	.321(-12)	.470(-12)	.527(-12)	.516(-12)	.372(-12)	.301(-12)
7		.197(-15)	.830(-14)	.384(-12)	.525(-12)	.569(-12)	.549(-12)	.427(-12)	.319(-12)
8		.621(-16)	.199(-14)	.491(-12)	.608(-12)	.646(-12)	.576(-12)	.468(-12)	.351(-12)
9		.174(-16)	.508(-15)	.695(-12)	.692(-12)	.738(-12)	.664(-12)	.533(-12)	.364(-12)
10		.455(-17)	.139(-15)	.101(-11)	.792(-12)	.796(-12)	.717(-12)	.565(-12)	.412(-12)
11		.118(-17)	.384(-16)	.201(-12)	.922(-12)	.903(-12)	.827(-12)	.637(-12)	.458(-12)
12		.331(-18)	.102(-16)	.449(-13)	.110(-11)	.101(-11)	.904(-12)	.696(-12)	.513(-12)
13		.976(-19)	.276(-17)	.110(-13)	.137(-11)	.113(-11)	.101(-11)	.783(-12)	.574(-12)
14		.287(-19)	.779(-18)	.284(-14)	.175(-11)	.131(-11)	.113(-11)	.878(-12)	.637(-12)
15		.818(-20)	.225(-18)	.748(-15)	.220(-11)	.151(-11)	.126(-11)	.988(-12)	.710(-12)
16		.226(-20)	.641(-19)	.202(-15)	.524(-12)	.177(-11)	.143(-11)	.110(-11)	.793(-12)
17		.633(-21)	.180(-19)	.567(-16)	.127(-12)	.212(-11)	.161(-11)	.123(-11)	.881(-12)
18		.184(-21)	.521(-20)	.165(-16)	.332(-13)	.259(-11)	.184(-11)	.138(-11)	.988(-12)
19		.566(-22)	.157(-20)	.482(-17)	.914(-14)	.324(-11)	.212(-11)	.156(-11)	.112(-11)
20		.177(-22)	.490(-21)	.141(-17)	.261(-14)	.396(-11)	.246(-11)	.176(-11)	.126(-11)
21		.558(-23)	.151(-21)	.429(-18)	.773(-15)	.105(-11)	.290(-11)	.199(-11)	.143(-11)
22		.173(-23)	.458(-22)	.134(-18)	.234(-15)	.283(-12)	.347(-11)	.227(-11)	.162(-11)
23		.544(-24)	.141(-22)	.422(-19)	.730(-16)	.808(-13)	.425(-11)	.260(-11)	.183(-11)
24		.175(-24)	.460(-23)	.136(-19)	.233(-16)	.244(-13)	.530(-11)	.300(-11)	.208(-11)
25		.578(-25)	.155(-23)	.454(-20)	.768(-17)	.777(-14)	.642(-11)	.350(-11)	.237(-11)
26		.192(-25)	.542(-24)	.156(-20)	.256(-17)	.253(-14)	.185(-11)	.414(-11)	.272(-11)
27			.190(-24)	.538(-21)	.871(-18)	.841(-15)	.548(-12)	.497(-11)	.312(-11)
28			.710(-25)	.194(-21)	.310(-18)	.292(-15)	.179(-12)	.609(-11)	.360(-11)
29			.252(-25)	.676(-22)	.110(-18)	.103(-15)	.602(-13)	.764(-11)	.418(-11)
30				.245(-22)	.409(-19)	.374(-16)	.207(-13)	.942(-11)	.490(-11)
31				.917(-23)	.153(-19)	.138(-16)	.760(-14)	.309(-11)	.583(-11)
32				.354(-23)	.583(-20)	.528(-17)	.279(-14)	.102(-11)	.703(-11)
33				.137(-23)	.225(-20)	.204(-17)	.107(-14)	.369(-12)	.869(-11)
34				.558(-24)	.903(-21)	.815(-18)	.420(-15)	.136(-12)	.110(-10)
35				.221(-24)	.363(-21)	.330(-18)	.170(-15)	.525(-13)	.140(-10)

Virt&I-Comm.5.2014.11

Table CLXIV		RIOS L3 REACTIVE			$T_{tr}=2000.$	$T_{rot}=4000.$			
v'	v	3	5	10	15	20	25	30	35
0		.832(-15)	.148(-14)	.373(-13)	.257(-12)	.409(-12)	.350(-12)	.234(-12)	.154(-12)
1		.414(-14)	.612(-14)	.107(-12)	.243(-12)	.278(-12)	.336(-12)	.257(-12)	.175(-12)
2		.146(-13)	.150(-13)	.146(-12)	.228(-12)	.285(-12)	.273(-12)	.256(-12)	.191(-12)
3		.575(-13)	.298(-13)	.145(-12)	.262(-12)	.302(-12)	.277(-12)	.231(-12)	.198(-12)
4		.535(-14)	.588(-13)	.153(-12)	.262(-12)	.309(-12)	.311(-12)	.234(-12)	.190(-12)
5		.121(-14)	.207(-12)	.185(-12)	.302(-12)	.350(-12)	.309(-12)	.270(-12)	.175(-12)
6		.396(-15)	.254(-13)	.222(-12)	.328(-12)	.371(-12)	.367(-12)	.265(-12)	.216(-12)
7		.133(-15)	.564(-14)	.266(-12)	.366(-12)	.400(-12)	.390(-12)	.304(-12)	.229(-12)
8		.419(-16)	.135(-14)	.340(-12)	.425(-12)	.455(-12)	.409(-12)	.333(-12)	.252(-12)
9		.117(-16)	.344(-15)	.481(-12)	.484(-12)	.521(-12)	.472(-12)	.380(-12)	.261(-12)
10		.306(-17)	.943(-16)	.698(-12)	.553(-12)	.560(-12)	.509(-12)	.402(-12)	.296(-12)
11		.800(-18)	.259(-16)	.138(-12)	.644(-12)	.637(-12)	.587(-12)	.454(-12)	.328(-12)
12		.222(-18)	.692(-17)	.307(-13)	.774(-12)	.712(-12)	.642(-12)	.496(-12)	.368(-12)
13		.656(-19)	.186(-17)	.754(-14)	.960(-12)	.801(-12)	.722(-12)	.558(-12)	.412(-12)
14		.193(-19)	.524(-18)	.193(-14)	.122(-11)	.923(-12)	.803(-12)	.626(-12)	.457(-12)
15		.549(-20)	.151(-18)	.507(-15)	.154(-11)	.106(-11)	.900(-12)	.704(-12)	.509(-12)
16		.152(-20)	.431(-19)	.136(-15)	.361(-12)	.125(-11)	.101(-11)	.786(-12)	.568(-12)
17		.425(-21)	.121(-19)	.383(-16)	.874(-13)	.149(-11)	.114(-11)	.879(-12)	.632(-12)
18		.124(-21)	.350(-20)	.111(-16)	.226(-13)	.182(-11)	.130(-11)	.987(-12)	.708(-12)
19		.379(-22)	.105(-20)	.325(-17)	.622(-14)	.228(-11)	.150(-11)	.111(-11)	.804(-12)
20		.119(-22)	.329(-21)	.954(-18)	.177(-14)	.278(-11)	.174(-11)	.125(-11)	.908(-12)
21		.374(-23)	.101(-21)	.289(-18)	.523(-15)	.728(-12)	.206(-11)	.142(-11)	.102(-11)
22		.116(-23)	.307(-22)	.903(-19)	.158(-15)	.194(-12)	.246(-11)	.161(-11)	.116(-11)
23		.365(-24)	.949(-23)	.283(-19)	.493(-16)	.553(-13)	.302(-11)	.185(-11)	.131(-11)
24		.117(-24)	.308(-23)	.915(-20)	.157(-16)	.166(-13)	.376(-11)	.214(-11)	.149(-11)
25		.387(-25)	.104(-23)	.305(-20)	.518(-17)	.528(-14)	.455(-11)	.249(-11)	.170(-11)
26		.129(-25)	.363(-24)	.104(-20)	.172(-17)	.172(-14)	.129(-11)	.295(-11)	.195(-11)
27			.127(-24)	.361(-21)	.586(-18)	.569(-15)	.378(-12)	.354(-11)	.224(-11)
28			.476(-25)	.130(-21)	.209(-18)	.197(-15)	.123(-12)	.434(-11)	.258(-11)
29			.169(-25)	.453(-22)	.742(-19)	.701(-16)	.411(-13)	.545(-11)	.300(-11)
30				.164(-22)	.275(-19)	.252(-16)	.141(-13)	.671(-11)	.352(-11)
31				.615(-23)	.102(-19)	.936(-17)	.516(-14)	.216(-11)	.418(-11)
32				.237(-23)	.391(-20)	.355(-17)	.189(-14)	.710(-12)	.505(-11)
33				.923(-24)	.151(-20)	.138(-17)	.730(-15)	.254(-12)	.623(-11)
34				.374(-24)	.606(-21)	.548(-18)	.284(-15)	.934(-13)	.793(-11)
35				.148(-24)	.244(-21)	.222(-18)	.114(-15)	.358(-13)	.100(-10)

Virt&I-Comm.5.2014.11

Table CLXV		RIOS L3 REACTIVE			$T_{tr}=4000.$		$T_{rot}= 500.$		
v'	v	1	3	5	10	15	20	25	27
0		.480(-12)	.176(-12)	.178(-12)	.591(-12)	.158(-11)	.181(-11)	.136(-11)	.114(-11)
1		.132(-11)	.431(-12)	.382(-12)	.111(-11)	.147(-11)	.140(-11)	.131(-11)	.116(-11)
2		.305(-12)	.937(-12)	.652(-12)	.138(-11)	.149(-11)	.139(-11)	.117(-11)	.109(-11)
3		.837(-13)	.275(-11)	.103(-11)	.149(-11)	.164(-11)	.149(-11)	.118(-11)	.105(-11)
4		.318(-13)	.560(-12)	.173(-11)	.165(-11)	.173(-11)	.156(-11)	.128(-11)	.111(-11)
5		.151(-13)	.211(-12)	.492(-11)	.194(-11)	.194(-11)	.172(-11)	.135(-11)	.123(-11)
6		.816(-14)	.101(-12)	.110(-11)	.231(-11)	.214(-11)	.185(-11)	.151(-11)	.132(-11)
7		.473(-14)	.532(-13)	.443(-12)	.279(-11)	.240(-11)	.204(-11)	.163(-11)	.141(-11)
8		.285(-14)	.280(-13)	.197(-12)	.353(-11)	.274(-11)	.228(-11)	.176(-11)	.157(-11)
9		.172(-14)	.142(-13)	.923(-13)	.490(-11)	.313(-11)	.256(-11)	.197(-11)	.173(-11)
10		.102(-14)	.706(-14)	.451(-13)	.788(-11)	.361(-11)	.283(-11)	.217(-11)	.193(-11)
11		.585(-15)	.350(-14)	.223(-13)	.268(-11)	.423(-11)	.319(-11)	.244(-11)	.213(-11)
12		.320(-15)	.178(-14)	.110(-13)	.110(-11)	.507(-11)	.359(-11)	.270(-11)	.236(-11)
13		.169(-15)	.927(-15)	.549(-14)	.500(-12)	.626(-11)	.407(-11)	.301(-11)	.262(-11)
14		.864(-16)	.483(-15)	.279(-14)	.235(-12)	.811(-11)	.467(-11)	.336(-11)	.292(-11)
15		.436(-16)	.248(-15)	.143(-14)	.113(-12)	.112(-10)	.539(-11)	.378(-11)	.327(-11)
16		.221(-16)	.127(-15)	.737(-15)	.560(-13)	.452(-11)	.632(-11)	.426(-11)	.367(-11)
17		.114(-16)	.653(-16)	.378(-15)	.282(-13)	.199(-11)	.752(-11)	.483(-11)	.414(-11)
18		.606(-17)	.343(-16)	.197(-15)	.144(-13)	.937(-12)	.916(-11)	.550(-11)	.468(-11)
19		.330(-17)	.183(-16)	.104(-15)	.748(-14)	.458(-12)	.116(-10)	.632(-11)	.531(-11)
20		.182(-17)	.993(-17)	.560(-16)	.389(-14)	.230(-12)	.154(-10)	.732(-11)	.607(-11)
21		.102(-17)	.537(-17)	.300(-16)	.205(-14)	.118(-12)	.676(-11)	.858(-11)	.699(-11)
22		.573(-18)	.289(-17)	.160(-16)	.110(-14)	.620(-13)	.317(-11)	.102(-10)	.810(-11)
23		.321(-18)	.156(-17)	.863(-17)	.594(-15)	.329(-13)	.157(-11)	.124(-10)	.947(-11)
24		.180(-18)	.857(-18)	.476(-17)	.324(-15)	.177(-13)	.805(-12)	.156(-10)	.112(-10)
25		.102(-18)	.474(-18)	.266(-17)	.180(-15)	.967(-14)	.425(-12)	.205(-10)	.136(-10)
26		.575(-19)	.265(-18)	.151(-17)	.101(-15)	.534(-14)	.229(-12)	.957(-11)	.172(-10)
27		.323(-19)	.150(-18)	.860(-18)	.569(-16)	.297(-14)	.125(-12)	.471(-11)	.227(-10)

Virt&I-Comm.5.2014.11

Table CLXVI		RIOS L3 REACTIVE			$T_{tr}=4000.$		$T_{rot}=1000.$		
v'	v	1	3	5	10	15	20	25	27
0		.439(-12)	.161(-12)	.163(-12)	.547(-12)	.148(-11)	.171(-11)	.129(-11)	.108(-11)
1		.120(-11)	.394(-12)	.350(-12)	.103(-11)	.138(-11)	.132(-11)	.124(-11)	.110(-11)
2		.279(-12)	.860(-12)	.599(-12)	.128(-11)	.140(-11)	.131(-11)	.111(-11)	.103(-11)
3		.763(-13)	.252(-11)	.954(-12)	.138(-11)	.153(-11)	.140(-11)	.111(-11)	.993(-12)
4		.289(-13)	.513(-12)	.160(-11)	.154(-11)	.162(-11)	.147(-11)	.121(-11)	.105(-11)
5		.137(-13)	.193(-12)	.453(-11)	.180(-11)	.181(-11)	.162(-11)	.128(-11)	.117(-11)
6		.742(-14)	.928(-13)	.101(-11)	.214(-11)	.200(-11)	.175(-11)	.143(-11)	.125(-11)
7		.430(-14)	.485(-13)	.406(-12)	.259(-11)	.225(-11)	.192(-11)	.154(-11)	.133(-11)
8		.259(-14)	.255(-13)	.180(-12)	.328(-11)	.257(-11)	.215(-11)	.167(-11)	.149(-11)
9		.156(-14)	.129(-13)	.842(-13)	.455(-11)	.293(-11)	.241(-11)	.187(-11)	.164(-11)
10		.929(-15)	.642(-14)	.411(-13)	.732(-11)	.338(-11)	.266(-11)	.205(-11)	.183(-11)
11		.531(-15)	.318(-14)	.203(-13)	.247(-11)	.396(-11)	.300(-11)	.231(-11)	.201(-11)
12		.291(-15)	.161(-14)	.100(-13)	.101(-11)	.474(-11)	.338(-11)	.255(-11)	.224(-11)
13		.153(-15)	.841(-15)	.499(-14)	.459(-12)	.586(-11)	.383(-11)	.285(-11)	.248(-11)
14		.783(-16)	.438(-15)	.253(-14)	.215(-12)	.759(-11)	.439(-11)	.318(-11)	.277(-11)
15		.395(-16)	.225(-15)	.130(-14)	.103(-12)	.105(-10)	.508(-11)	.358(-11)	.310(-11)
16		.200(-16)	.115(-15)	.669(-15)	.511(-13)	.419(-11)	.595(-11)	.403(-11)	.348(-11)
17		.103(-16)	.592(-16)	.343(-15)	.257(-13)	.184(-11)	.708(-11)	.457(-11)	.392(-11)
18		.549(-17)	.311(-16)	.179(-15)	.131(-13)	.861(-12)	.862(-11)	.521(-11)	.443(-11)
19		.298(-17)	.166(-16)	.949(-16)	.681(-14)	.420(-12)	.109(-10)	.598(-11)	.504(-11)
20		.165(-17)	.899(-17)	.508(-16)	.354(-14)	.211(-12)	.144(-10)	.693(-11)	.575(-11)
21		.925(-18)	.486(-17)	.272(-16)	.186(-14)	.108(-12)	.629(-11)	.812(-11)	.662(-11)
22		.518(-18)	.262(-17)	.145(-16)	.100(-14)	.566(-13)	.293(-11)	.967(-11)	.767(-11)
23		.290(-18)	.141(-17)	.782(-17)	.539(-15)	.300(-13)	.144(-11)	.117(-10)	.897(-11)
24		.163(-18)	.775(-18)	.431(-17)	.294(-15)	.161(-13)	.739(-12)	.148(-10)	.106(-10)
25		.925(-19)	.429(-18)	.241(-17)	.163(-15)	.880(-14)	.390(-12)	.194(-10)	.129(-10)
26		.520(-19)	.240(-18)	.137(-17)	.917(-16)	.485(-14)	.209(-12)	.893(-11)	.163(-10)
27		.292(-19)	.135(-18)	.778(-18)	.516(-16)	.270(-14)	.114(-12)	.437(-11)	.215(-10)

Virt&I-Comm.5.2014.11

Table CLXVII		RIOS L3 REACTIVE			$T_{tr}=4000.$		$T_{rot}=2000.$		
v'	v	1	3	5	10	15	20	25	27
0		.374(-12)	.137(-12)	.139(-12)	.473(-12)	.130(-11)	.153(-11)	.116(-11)	.970(-12)
1		.103(-11)	.337(-12)	.300(-12)	.899(-12)	.122(-11)	.117(-11)	.111(-11)	.990(-12)
2		.237(-12)	.736(-12)	.514(-12)	.112(-11)	.123(-11)	.117(-11)	.992(-12)	.927(-12)
3		.647(-13)	.217(-11)	.821(-12)	.121(-11)	.135(-11)	.124(-11)	.999(-12)	.888(-12)
4		.245(-13)	.438(-12)	.137(-11)	.134(-11)	.143(-11)	.130(-11)	.108(-11)	.947(-12)
5		.116(-13)	.164(-12)	.391(-11)	.157(-11)	.160(-11)	.144(-11)	.114(-11)	.104(-11)
6		.628(-14)	.790(-13)	.874(-12)	.187(-11)	.176(-11)	.155(-11)	.128(-11)	.112(-11)
7		.364(-14)	.412(-13)	.347(-12)	.226(-11)	.198(-11)	.170(-11)	.138(-11)	.119(-11)
8		.219(-14)	.217(-13)	.153(-12)	.286(-11)	.226(-11)	.191(-11)	.149(-11)	.133(-11)
9		.132(-14)	.110(-13)	.717(-13)	.397(-11)	.258(-11)	.214(-11)	.167(-11)	.146(-11)
10		.784(-15)	.543(-14)	.349(-13)	.637(-11)	.298(-11)	.236(-11)	.184(-11)	.164(-11)
11		.448(-15)	.269(-14)	.172(-13)	.214(-11)	.349(-11)	.266(-11)	.206(-11)	.180(-11)
12		.245(-15)	.136(-14)	.850(-14)	.874(-12)	.418(-11)	.300(-11)	.228(-11)	.200(-11)
13		.129(-15)	.710(-15)	.422(-14)	.393(-12)	.516(-11)	.340(-11)	.255(-11)	.222(-11)
14		.659(-16)	.369(-15)	.214(-14)	.184(-12)	.669(-11)	.390(-11)	.285(-11)	.248(-11)
15		.332(-16)	.190(-15)	.110(-14)	.884(-13)	.925(-11)	.451(-11)	.320(-11)	.277(-11)
16		.168(-16)	.969(-16)	.565(-15)	.434(-13)	.365(-11)	.528(-11)	.361(-11)	.312(-11)
17		.870(-17)	.499(-16)	.289(-15)	.218(-13)	.158(-11)	.629(-11)	.408(-11)	.351(-11)
18		.462(-17)	.261(-16)	.150(-15)	.111(-13)	.740(-12)	.766(-11)	.466(-11)	.397(-11)
19		.251(-17)	.140(-16)	.799(-16)	.576(-14)	.359(-12)	.969(-11)	.535(-11)	.451(-11)
20		.138(-17)	.756(-17)	.427(-16)	.299(-14)	.180(-12)	.128(-10)	.620(-11)	.516(-11)
21		.777(-18)	.409(-17)	.228(-16)	.157(-14)	.923(-13)	.550(-11)	.727(-11)	.594(-11)
22		.435(-18)	.220(-17)	.122(-16)	.845(-15)	.481(-13)	.254(-11)	.865(-11)	.688(-11)
23		.243(-18)	.119(-17)	.657(-17)	.455(-15)	.254(-13)	.124(-11)	.105(-10)	.804(-11)
24		.137(-18)	.651(-18)	.362(-17)	.248(-15)	.136(-13)	.634(-12)	.132(-10)	.955(-11)
25		.776(-19)	.360(-18)	.202(-17)	.137(-15)	.745(-14)	.333(-12)	.173(-10)	.115(-10)
26		.436(-19)	.201(-18)	.115(-17)	.773(-16)	.410(-14)	.179(-12)	.785(-11)	.146(-10)
27		.245(-19)	.114(-18)	.654(-18)	.434(-16)	.228(-14)	.974(-13)	.380(-11)	.192(-10)

Virt&I-Comm.5.2014.11

Table CLXVIII		RIOS L3 REACTIVE				$T_{tr}=4000.$		$T_{rot}=4000.$	
v'	v	1	3	5	10	15	20	25	27
0		.289(-12)	.105(-12)	.107(-12)	.372(-12)	.105(-11)	.124(-11)	.949(-12)	.792(-12)
1		.797(-12)	.260(-12)	.232(-12)	.712(-12)	.982(-12)	.949(-12)	.913(-12)	.810(-12)
2		.183(-12)	.571(-12)	.400(-12)	.893(-12)	.989(-12)	.947(-12)	.807(-12)	.756(-12)
3		.497(-13)	.168(-11)	.639(-12)	.958(-12)	.108(-11)	.101(-11)	.813(-12)	.723(-12)
4		.188(-13)	.339(-12)	.107(-11)	.106(-11)	.114(-11)	.105(-11)	.887(-12)	.771(-12)
5		.893(-14)	.126(-12)	.306(-11)	.125(-11)	.128(-11)	.116(-11)	.932(-12)	.853(-12)
6		.480(-14)	.608(-13)	.680(-12)	.148(-11)	.141(-11)	.125(-11)	.104(-11)	.913(-12)
7		.278(-14)	.317(-13)	.269(-12)	.179(-11)	.159(-11)	.138(-11)	.112(-11)	.972(-12)
8		.167(-14)	.166(-13)	.118(-12)	.227(-11)	.181(-11)	.154(-11)	.121(-11)	.109(-11)
9		.101(-14)	.843(-14)	.552(-13)	.315(-11)	.207(-11)	.173(-11)	.136(-11)	.119(-11)
10		.597(-15)	.415(-14)	.268(-13)	.504(-11)	.239(-11)	.191(-11)	.149(-11)	.134(-11)
11		.341(-15)	.205(-14)	.132(-13)	.168(-11)	.279(-11)	.215(-11)	.168(-11)	.147(-11)
12		.186(-15)	.104(-14)	.650(-14)	.681(-12)	.335(-11)	.242(-11)	.186(-11)	.163(-11)
13		.981(-16)	.541(-15)	.323(-14)	.304(-12)	.413(-11)	.274(-11)	.208(-11)	.181(-11)
14		.501(-16)	.281(-15)	.163(-14)	.142(-12)	.535(-11)	.315(-11)	.232(-11)	.202(-11)
15		.252(-16)	.144(-15)	.840(-15)	.681(-13)	.738(-11)	.364(-11)	.260(-11)	.226(-11)
16		.128(-16)	.737(-16)	.430(-15)	.333(-13)	.288(-11)	.427(-11)	.294(-11)	.254(-11)
17		.660(-17)	.379(-16)	.220(-15)	.167(-13)	.124(-11)	.508(-11)	.332(-11)	.287(-11)
18		.350(-17)	.198(-16)	.114(-15)	.855(-14)	.576(-12)	.619(-11)	.379(-11)	.324(-11)
19		.190(-17)	.106(-16)	.607(-16)	.440(-14)	.278(-12)	.783(-11)	.436(-11)	.368(-11)
20		.105(-17)	.574(-17)	.324(-16)	.228(-14)	.139(-12)	.103(-10)	.505(-11)	.421(-11)
21		.589(-18)	.310(-17)	.173(-16)	.120(-14)	.710(-13)	.437(-11)	.592(-11)	.484(-11)
22		.329(-18)	.166(-17)	.925(-17)	.644(-15)	.369(-13)	.200(-11)	.705(-11)	.561(-11)
23		.184(-18)	.902(-18)	.498(-17)	.346(-15)	.195(-13)	.973(-12)	.859(-11)	.656(-11)
24		.103(-18)	.493(-18)	.274(-17)	.189(-15)	.104(-13)	.493(-12)	.108(-10)	.779(-11)
25		.587(-19)	.273(-18)	.153(-17)	.104(-15)	.570(-14)	.258(-12)	.140(-10)	.946(-11)
26		.330(-19)	.152(-18)	.872(-18)	.587(-16)	.314(-14)	.138(-12)	.627(-11)	.119(-10)
27		.185(-19)	.863(-19)	.495(-18)	.330(-16)	.174(-14)	.750(-13)	.300(-11)	.156(-10)

Virt&I-Comm.5.2014.11

Table CLXIX		RIOS L3 REACTIVE					$T_{tr}=8000.$	$T_{rot}= 500.$		
v'	v	1	3	5	7	10	11	13	15	
0		.486(-11)	.226(-11)	.183(-11)	.184(-11)	.222(-11)	.241(-11)	.279(-11)	.306(-11)	
1		.106(-10)	.358(-11)	.263(-11)	.256(-11)	.294(-11)	.305(-11)	.310(-11)	.294(-11)	
2		.347(-11)	.583(-11)	.361(-11)	.335(-11)	.344(-11)	.339(-11)	.321(-11)	.306(-11)	
3		.157(-11)	.136(-10)	.500(-11)	.421(-11)	.385(-11)	.372(-11)	.353(-11)	.331(-11)	
4		.857(-12)	.437(-11)	.745(-11)	.527(-11)	.437(-11)	.421(-11)	.391(-11)	.358(-11)	
5		.522(-12)	.225(-11)	.174(-10)	.677(-11)	.508(-11)	.481(-11)	.434(-11)	.397(-11)	
6		.342(-12)	.135(-11)	.578(-11)	.955(-11)	.598(-11)	.554(-11)	.491(-11)	.440(-11)	
7		.236(-12)	.877(-12)	.312(-11)	.194(-10)	.719(-11)	.650(-11)	.560(-11)	.495(-11)	
8		.168(-12)	.586(-12)	.187(-11)	.718(-11)	.899(-11)	.781(-11)	.646(-11)	.560(-11)	
9		.122(-12)	.393(-12)	.118(-11)	.390(-11)	.122(-10)	.973(-11)	.756(-11)	.639(-11)	
10		.890(-13)	.264(-12)	.771(-12)	.235(-11)	.214(-10)	.131(-10)	.904(-11)	.735(-11)	
11		.646(-13)	.178(-12)	.511(-12)	.149(-11)	.912(-11)	.221(-10)	.111(-10)	.858(-11)	
12		.462(-13)	.122(-12)	.341(-12)	.969(-12)	.510(-11)	.976(-11)	.147(-10)	.102(-10)	
13		.326(-13)	.845(-13)	.230(-12)	.640(-12)	.312(-11)	.551(-11)	.237(-10)	.125(-10)	
14		.228(-13)	.585(-13)	.156(-12)	.427(-12)	.199(-11)	.339(-11)	.110(-10)	.163(-10)	
15		.159(-13)	.405(-13)	.107(-12)	.289(-12)	.130(-11)	.216(-11)	.634(-11)	.254(-10)	

Table CLXX		RIOS L3 REACTIVE					$T_{tr}=8000.$	$T_{rot}=1000.$		
v'	v	1	3	5	7	10	11	13	15	
0		.466(-11)	.217(-11)	.175(-11)	.176(-11)	.214(-11)	.233(-11)	.271(-11)	.298(-11)	
1		.102(-10)	.343(-11)	.252(-11)	.247(-11)	.285(-11)	.296(-11)	.301(-11)	.287(-11)	
2		.333(-11)	.560(-11)	.347(-11)	.323(-11)	.334(-11)	.330(-11)	.312(-11)	.298(-11)	
3		.150(-11)	.131(-10)	.481(-11)	.407(-11)	.373(-11)	.361(-11)	.343(-11)	.322(-11)	
4		.818(-12)	.420(-11)	.718(-11)	.509(-11)	.424(-11)	.408(-11)	.380(-11)	.348(-11)	
5		.498(-12)	.215(-11)	.168(-10)	.654(-11)	.492(-11)	.467(-11)	.422(-11)	.386(-11)	
6		.327(-12)	.129(-11)	.556(-11)	.923(-11)	.580(-11)	.538(-11)	.478(-11)	.429(-11)	
7		.225(-12)	.839(-12)	.299(-11)	.187(-10)	.697(-11)	.631(-11)	.545(-11)	.481(-11)	
8		.160(-12)	.560(-12)	.179(-11)	.691(-11)	.872(-11)	.758(-11)	.628(-11)	.546(-11)	
9		.116(-12)	.375(-12)	.113(-11)	.375(-11)	.118(-10)	.944(-11)	.735(-11)	.622(-11)	
10		.848(-13)	.252(-12)	.737(-12)	.226(-11)	.207(-10)	.127(-10)	.879(-11)	.716(-11)	
11		.615(-13)	.170(-12)	.488(-12)	.142(-11)	.881(-11)	.215(-10)	.108(-10)	.835(-11)	
12		.440(-13)	.116(-12)	.326(-12)	.928(-12)	.491(-11)	.943(-11)	.143(-10)	.993(-11)	
13		.311(-13)	.805(-13)	.219(-12)	.612(-12)	.300(-11)	.531(-11)	.230(-10)	.121(-10)	
14		.217(-13)	.558(-13)	.149(-12)	.408(-12)	.191(-11)	.325(-11)	.106(-10)	.159(-10)	
15		.151(-13)	.385(-13)	.102(-12)	.275(-12)	.124(-11)	.207(-11)	.611(-11)	.247(-10)	

Virt&I-Comm.5.2014.11

Table CLXXI		RIOS L3 REACTIVE					$T_{tr}=8000.$	$T_{rot}=2000.$		
v'	v	1	3	5	7	10	11	13	15	
0		.429(-11)	.199(-11)	.161(-11)	.163(-11)	.200(-11)	.218(-11)	.255(-11)	.283(-11)	
1		.943(-11)	.317(-11)	.233(-11)	.229(-11)	.267(-11)	.279(-11)	.285(-11)	.271(-11)	
2		.306(-11)	.519(-11)	.322(-11)	.301(-11)	.314(-11)	.310(-11)	.294(-11)	.282(-11)	
3		.138(-11)	.122(-10)	.446(-11)	.380(-11)	.351(-11)	.339(-11)	.324(-11)	.305(-11)	
4		.750(-12)	.388(-11)	.668(-11)	.475(-11)	.398(-11)	.384(-11)	.358(-11)	.329(-11)	
5		.457(-12)	.198(-11)	.157(-10)	.611(-11)	.462(-11)	.439(-11)	.398(-11)	.365(-11)	
6		.299(-12)	.119(-11)	.516(-11)	.863(-11)	.545(-11)	.506(-11)	.451(-11)	.406(-11)	
7		.206(-12)	.771(-12)	.277(-11)	.175(-10)	.655(-11)	.593(-11)	.514(-11)	.455(-11)	
8		.146(-12)	.514(-12)	.165(-11)	.643(-11)	.819(-11)	.713(-11)	.592(-11)	.516(-11)	
9		.106(-12)	.344(-12)	.104(-11)	.348(-11)	.111(-10)	.888(-11)	.694(-11)	.589(-11)	
10		.775(-13)	.231(-12)	.678(-12)	.209(-11)	.195(-10)	.119(-10)	.829(-11)	.677(-11)	
11		.561(-13)	.156(-12)	.448(-12)	.131(-11)	.822(-11)	.201(-10)	.102(-10)	.790(-11)	
12		.401(-13)	.106(-12)	.298(-12)	.853(-12)	.456(-11)	.882(-11)	.135(-10)	.940(-11)	
13		.283(-13)	.735(-13)	.201(-12)	.562(-12)	.278(-11)	.494(-11)	.216(-10)	.115(-10)	
14		.198(-13)	.509(-13)	.136(-12)	.374(-12)	.176(-11)	.301(-11)	.997(-11)	.150(-10)	
15		.137(-13)	.352(-13)	.936(-13)	.252(-12)	.114(-11)	.192(-11)	.569(-11)	.233(-10)	

Table CLXXII		RIOS L3 REACTIVE					$T_{tr}=8000.$	$T_{rot}=4000.$		
v'	v	1	3	5	7	10	11	13	15	
0		.371(-11)	.172(-11)	.139(-11)	.141(-11)	.175(-11)	.192(-11)	.227(-11)	.253(-11)	
1		.816(-11)	.274(-11)	.202(-11)	.200(-11)	.236(-11)	.248(-11)	.255(-11)	.243(-11)	
2		.264(-11)	.450(-11)	.280(-11)	.264(-11)	.278(-11)	.276(-11)	.262(-11)	.252(-11)	
3		.119(-11)	.106(-10)	.389(-11)	.333(-11)	.310(-11)	.301(-11)	.288(-11)	.273(-11)	
4		.643(-12)	.336(-11)	.584(-11)	.417(-11)	.352(-11)	.340(-11)	.319(-11)	.294(-11)	
5		.390(-12)	.171(-11)	.138(-10)	.537(-11)	.409(-11)	.390(-11)	.354(-11)	.327(-11)	
6		.255(-12)	.102(-11)	.449(-11)	.760(-11)	.482(-11)	.449(-11)	.401(-11)	.362(-11)	
7		.175(-12)	.663(-12)	.240(-11)	.154(-10)	.580(-11)	.526(-11)	.458(-11)	.407(-11)	
8		.125(-12)	.441(-12)	.143(-11)	.562(-11)	.726(-11)	.633(-11)	.528(-11)	.462(-11)	
9		.906(-13)	.295(-12)	.898(-12)	.302(-11)	.990(-11)	.789(-11)	.618(-11)	.526(-11)	
10		.660(-13)	.197(-12)	.582(-12)	.181(-11)	.172(-10)	.106(-10)	.739(-11)	.606(-11)	
11		.478(-13)	.133(-12)	.384(-12)	.113(-11)	.722(-11)	.178(-10)	.912(-11)	.707(-11)	
12		.341(-13)	.908(-13)	.255(-12)	.734(-12)	.398(-11)	.775(-11)	.120(-10)	.841(-11)	
13		.240(-13)	.626(-13)	.171(-12)	.482(-12)	.241(-11)	.432(-11)	.192(-10)	.103(-10)	
14		.168(-13)	.433(-13)	.116(-12)	.321(-12)	.152(-11)	.262(-11)	.879(-11)	.134(-10)	
15		.116(-13)	.299(-13)	.798(-13)	.216(-12)	.989(-12)	.166(-11)	.498(-11)	.207(-10)	